

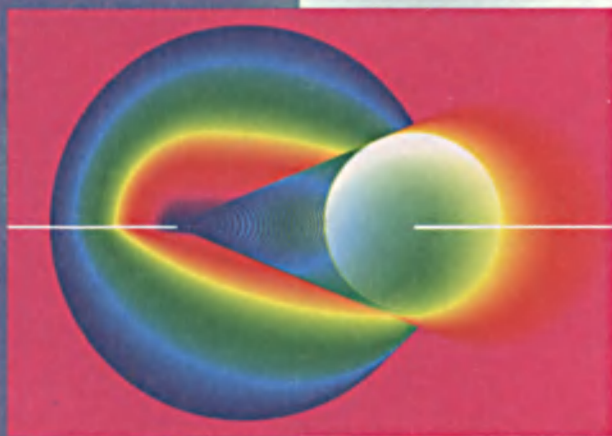


*Е. М. ГЕРШЕНЗОН  
Н. Н. МАЛОВ  
А. Н. МАНСУРОВ*

**ОПТИКА**

**И АТОМНАЯ**

**ФИЗИКА**



*ВЫСШЕЕ ОБРАЗОВАНИЕ*

---

Е. М. ГЕРШЕНЗОН, Н. Н. МАЛОВ, А. Н. МАНСУРОВ

# ОПТИКА И АТОМНАЯ ФИЗИКА

*Рекомендовано*

*Учебно-методическим объединением вузов РФ  
по педагогическому образованию в качестве учебного пособия  
для студентов педагогических вузов по специальности 032200 – физика*

Москва  
  
АКАДЕМІА  
2000

УДК 53 (075.8)  
ББК 22.343.4  
Г 42

**Рецензенты:**

кафедра физики МГОПУ (зав. кафедрой доктор физико-математических наук,  
профессор *Л. Ф. Уткина*);  
доктор педагогических наук, профессор, член-корреспондент РАО *Ю. И. Дик*

Рукопись предоставлена учебно-педагогическим агентством «Кафедра-М»

**Гершензон Е. М., Малов Н. Н., Мансуров А. Н.**

Г 42      **Оптика и атомная физика: Учеб. пособие для студ. высш. пед.  
учеб. заведений. – М.: Издательский центр «Академия», 2000. –  
408 с.  
ISBN 5-7695-0351-X**

Рассмотрены волновая природа света, лучевая оптика, взаимодействие излучения с веществом, строение атома и другие вопросы оптики и атомной физики, физики атомного ядра и элементарных частиц.

УДК 53 (075.8)  
ББК 22.343.4

ISBN 5-7695-0351-X

© Гершензон Е. М., Малов Н. Н., Мансуров А. Н., 2000  
© Издательский центр «Академия», 2000

## ПРЕДИСЛОВИЕ

В разделе курса общей физики «Оптика и атомная физика» рассматриваются оптические явления, явления микромира и способы их описания.

Большое внимание уделяется экспериментальным методам изучения оптических явлений, выяснению природы света, обсуждению физических основ зрительных ощущений, благодаря которым человек получает 90–95% сведений об окружающем мире.

Явления интерференции, дифракции, поляризации и дисперсии света рассматриваются с позиций волновых представлений, основу которых составляют идеи Гюйгенса и Френеля и теория электромагнитного поля Максвелла, дополненная элементарными сведениями из теории частичной когерентности света.

Геометрическая оптика рассматривается как предельный случай волновой при условии стремления длины волны света к нулю. Концентрированное выражение этого предельного перехода при описании оптических явлений – принцип Ферма.

Квантовые свойства света изучаются на основе фундаментальных идей, сформулированных Планком и Эйнштейном в начале XX в. В результате анализа всей совокупности экспериментальных фактов, выражающих свойства света, обосновывается и развивается идея корпускулярно-волнового дуализма, базирующаяся на дополнительном способе описания физических явлений и вероятностном методе их математического моделирования. Эта идея получает дальнейшее убедительное подтверждение при изучении физических опытов с микрообъектами вещества. Многочисленные эксперименты, проведенные в конце XIX – начале XX в., убедительно продемонстрировали волновой характер микрообъектов, считавшихся ранее частицами. Описание свойств микрочастиц с волновой точки зрения позволило найти новые подходы для математического описания явлений микромира, составившие основу квантовой механики.

Если в механике изучались в основном движения макроскопических тел, локализованных в пространстве, а в электродинамике – свойства электромагнитных полей, существующих в виде непрерывно распределенных во времени и пространстве электромаг-

нитных волн, то в оптике и атомной физике впервые применяется физическая модель, которая отражает дополнительные, квантовые, свойства физических объектов. Как показали физические эксперименты, электромагнитное поле и частицы вещества в определенной ситуации проявляют волновые свойства, в других же условиях – корпускулярные свойства, что на первый взгляд кажется совершенно невозможным. Однако современные воззрения на природу поля и вещества позволяют разрешить кажущееся противоречие, связанное с особенностями восприятия человеком окружающего мира. Материальный мир значительно сложнее наших упрощенных моделей, ни одна из них не дает всестороннего описания. Лишь взаимно дополняющие друг друга, а потому двойственные (дуальные) корпускулярно-волновые представления приводят к удовлетворяющей практику теории.

Другой фундаментальной идеей курса является идея атомизма, развиваемая последовательно при изучении физических свойств молекул, атомов, ядер, элементарных и фундаментальных частиц.

В книге рассматриваются основные физические явления и эксперименты, изучение которых позволяет построить современную картину строения окружающего нас мира, начиная от фундаментальных частиц и кончая Метагалактикой.

Столь широкий диапазон изучаемых природных явлений и методов их описания играют особую роль в формировании у будущего учителя не только современных научных представлений о соответствующих разделах физики как науки, но и физической картины мира. Изучение законов микромира имеет огромное познавательное и мировоззренческое значение, так как позволяет если не дать окончательные ответы на многие вечные вопросы, то указать направление поисков столь желанной истины.

## ВВЕДЕНИЕ

Оптика – это раздел физики, в котором изучаются световые явления и законы, взаимодействие света с веществом, физическая природа света.

Оптика, так же как астрономия, относится к самым древним областям знаний об окружающем мире. Еще в древней Месопотамии за 5000 лет до нашей эры люди знали о прямолинейности распространения света. В древнем Египте это свойство света использовалось при строительстве пирамид. Впервые систематическое изложение оптических явлений и законов мы находим в работах «Оптика» и «Катоптрика» древнегреческого мыслителя Евклида, жившего в III в. до н.э. В «Оптике» формулируется закон прямолинейного распространения света, а в «Катоптрике» – закон отражения света; здесь же описаны опыты, иллюстрирующие преломление света на границе воды и воздуха. Количественная формулировка закона преломления появилась значительно позже, около 1620 г., после экспериментальных исследований голландского ученого В.Снеллиа и французского ученого Р.Декарта. В своей работе «Диоптрика» Декарт в 1637 г., рассуждая о преломлении света, записывает количественную формулировку закона преломления света. По Декарту, отношение синусов углов падения и преломления равно обратному отношению скоростей света в преломляющих средах. Декарт объяснял подобное поведение света зависимостью скорости света от среды: скорость света тем больше, чем плотнее среда, в которой распространяется свет. Такой же позиции придерживался впоследствии английский ученый И.Ньютон. Другие ученые, например французский ученый П.Ферма и голландский физик Х.Гюйгенс, считали, что отношение синусов углов падения и преломления должно быть пропорционально отношению скоростей света. Ферма при выводе формулы для закона преломления исходил из принципа наименьшего времени для распространения света по реальному пути, а Гюйгенс – из принципа разложения волнового поля на систему сферических волн, который впоследствии был назван его именем. Работы Ферма составили фундамент геометрической оптики, позволившей описать процесс распространения, отражения и преломления света.

Однако такие оптические явления, как дифракция (открыта итальянским ученым Ф.Гримальди в 1665 г.), интерференция (открыта английским физиком Р.Гуком в 1665 г.), дисперсия (открыта И.Ньютоном в 1666 г.), двойное лучепреломление (открыто датским ученым Э.Бартолином в 1669 г.), поляризация света (открыта Х.Гюйгенсом в 1678 г.), не смогли найти объяснения в границах геометрической оптики.

Первая успешная попытка описания световых явлений с волновой точки зрения принадлежит Гюйгенсу, объяснившему в своем «Трактате о свете» (1690) механизм распространения, отражения и преломления света с помощью сформулированного им принципа, в соответствии с которым каждая точка волнового фронта может рассматриваться как источник вторичных сферических волн, огибающая которых представляет собой фронт реальной волны в последующий момент времени.

Конкурентом волновой теории света выступала «теория истечения» Ньютона, согласно которой свет представляет собой поток корпускул, испускаемых в пространство светящимися телами. Теория Ньютона господствовала в физике вплоть до начала XIX в., пока другой англичанин, Т.Юнг, в 1801 г. не разработал волновую теорию интерференции света, экспериментально подтвержденную им же в 1802 г. в опыте по дифракции солнечного света на двух щелях. В 1803 г. Юнг на основе волновой теории делает попытку объяснить дифракцию света на тонкой нити. Однако полностью решить задачу о дифракции света с волновой точки зрения сумел только французский физик О.Френель, который в 1816 г. дополняет принцип Гюйгенса идеей интерференции вторичных волн (принцип Гюйгенса – Френеля), что позволяет разработать теорию дифракции света в общем виде. Френелю совместно с другим французским физиком Д.Ф.Араго удалось экспериментально установить в 1821 г. поперечность световых волн, построить теорию распространения света в двоякопреломляющих кристаллах и вывести в 1823 г. формулы для амплитуд отраженной и преломленной волн различной поляризации на границе раздела двух сред (формулы Френеля).

Таким образом, к середине XIX в. волновая теория завоевывает прочные позиции в объяснении оптических явлений. Вполне естественно встает вопрос о природе световых волн. Многие физики высказывали догадки о распространении световых колебаний в виде упругих возмущений особой светоносной среды – эфира. Однако эта теория не находила экспериментального подтверждения.

Мощный импульс развитию представлений о природе света дала теория электромагнитного поля, разработанная Д.К.Максвеллом в

1865 г. Основываясь на выводе о равенстве скорости распространения электромагнитных волн скорости света, Максвелл пришел к заключению об электромагнитной природе света, которое в дальнейшем было экспериментально подтверждено сначала в опытах немецкого физика Генриха Герца в 1888 г., а затем и в экспериментах других исследователей. Из решения уравнений Максвелла следовало, что электромагнитные волны могли распространяться в свободном пространстве без всякого эфира. Экспериментально этот вывод был подтвержден опытами американского физика А. Майкельсона еще в 1881–1887 гг. и полностью осознан в специальной теории относительности, сформулированной А. Эйнштейном в 1905 г.

Несмотря на очевидные успехи волновой теории света в объяснении множества экспериментальных фактов, к началу XX в. накопилось немало других физических явлений и закономерностей, понимание которых с волновой точки зрения было весьма затруднительным. К ним относятся прежде всего спектральные закономерности в излучении атома водорода, открытые швейцарским физиком И. Бальмером в 1885 г., фотоэффект, открытый Г. Герцем в 1887 г., закономерности теплового излучения, рентгеновское излучение, открытое В. Рентгеном в 1895 г., и др.

Пытаясь дать объяснение особенностям теплового излучения, немецкий физик М. Планк в 1900 г. вводит понятие о кванте энергии электромагнитного поля, что явилось началом квантовой физики. В 1905 г. А. Эйнштейн с квантовых позиций объясняет явление фотоэффекта. Дальнейшее развитие квантовая физика получает в работах датского физика Н. Бора и немецкого физика А. Зоммерфельда. Бор в 1913 г. построил модель атома, которая естественным образом объяснила спектральные закономерности излучения атома водорода. Центральной идеей теории Бора является квантование момента импульса и энергии электрона в атоме. Знаменитые постулаты Бора утверждали существование стационарных орбит в атоме Резерфорда, планетарную модель которого последний разработал в результате интерпретации экспериментов, проведенных им в 1911 г., по рассеянию  $\alpha$ -частиц на атомах золота.

Дальнейшее подтверждение квантовые представления получили в опытах Д. Франка и Густава Герца, проведенных в 1913 г., и в опытах Штерна и Герлаха, выполненных в 1922 г. Опыты Штерна и Герлаха позволили не только подтвердить пространственное квантование момента импульса, но и открыть собственный момент импульса электрона, его спин.

В 1923–1926 гг. усилиями В. Гейзенберга, Э. Шредингера, М. Берна, П. Иордана, П. Дирака разрабатываются теоретические



основы квантовой механики. В 1924 г. французский физик Л. де Бройль выдвигает идею о волновой природе микрочастиц, которая подтверждается в экспериментах американских физиков Девиссона и Джермера в 1927 г. по рассеянию электронов на монокристалле никеля. В дальнейшем волновые свойства были обнаружены и у других микрочастиц. Таким образом, было установлено, что двойственная природа свойственна не только свету, но и всем микрообъектам.

Квантовая физика, основанная на новых идеях описания окружающего мира, позволила существенно продвинуться в изучении структуры вещества и физических полей. Атомная гипотеза, возникшая еще в древней Греции на основе умозрительных построений мыслителей того времени, получила в начале XX в. необходимое экспериментальное и теоретическое обоснование. Открытие французским физиком А. Беккерелем явления радиоактивности (1896), английским физиком Дж. Дж. Томсоном электрона (1897), Э. Резерфордом ядра атома (1911), супругами И. и Жюлио-Кюри новых радиоактивных элементов, швейцарским физиком В. Паули принципа запрета позволило понять строение атома и объяснить периодичность свойств химических элементов, установленную русским химиком Д. И. Менделеевым (1869). Понимание сложности атома поставило перед физиками вопрос о строении атомного ядра. Открытие протона Э. Резерфордом (1919) и нейтрона английским физиком Д. Чедвиком (1932) позволило немецкому физiku В. Гейзенбергу и советскому физiku Д. Д. Иваненко разработать протонно-нейтронную модель ядра (1933), а советскому физiku И. Е. Тамму и японскому физiku Х. Юкаве выдвинуть гипотезу об обменном характере ядерных сил. Перед второй мировой войной немецкие физики О. Ган и Ф. Штрассман открывают цепную ядерную реакцию (1937), используя которую американский физик Э. Ферми создает первый ядерный реактор, работавший за счет расщепления ядер урана (1943). В 1945 г. в США под руководством американского физика Р. Оппенгеймера была создана первая атомная бомба, сброшенная на японские города Хиросиму и Нагасаки в августе 1945 г. В СССР под руководством И. В. Курчатова была введена в эксплуатацию первая атомная электростанция в г. Обнинск (1954). В послевоенные годы продолжается интенсивное изучение внутренней структуры ядра атома и элементарных частиц, составляющих еще более глубокий уровень строения материи. Если в конце 30-х годов XX в. элементарных частиц насчитывалось около десятка, то в 50-е годы их число стало стремительно расти. В составе космических лучей были открыты пионы, каоны, с помощью мощных ускорителей

удалось наблюдать тяжелые мезоны и гипероны. В 1964 г. американский физик М.Гелл-Манн для объяснения особенностей взаимодействия частиц, участвующих в сильных взаимодействиях (адронов), выдвинул идею об их кварковом строении, предположив, таким образом, существование еще более глубокого структурного уровня строения материи, связанного с фундаментальными частицами. Дальнейшие исследования показали, что все известные в настоящее время взаимодействия в природе можно свести к четырем фундаментальным взаимодействиям: гравитационному, слабому, электромагнитному и сильному. В этих взаимодействиях участвуют фундаментальные частицы – кварки и лептоны, другие частицы – переносчики взаимодействий, обеспечивающие эти взаимодействия за счет обменного механизма. Сильное взаимодействие переносится восемью глюонами, электромагнитное взаимодействие – фотонами, слабое – тремя векторными бозонами, гравитационное – не открытым пока гравитоном. В последние годы ведутся интенсивные поиски возможностей объединения известных фундаментальных взаимодействий в одно универсальное взаимодействие. Первый шаг на этом пути был сделан А.Саламом, Л.Глэшоу, С.Вайнбергом, разработавшими в 60-х годах XX в. теорию, позволившую объединить электромагнитное и слабое взаимодействие в одно – электрослабое взаимодействие. Дальнейшее изучение физики фундаментальных частиц и их взаимодействий позволит ответить на вопрос о происхождении Вселенной и ее эволюции. Особый интерес представляет исследование гравитационного взаимодействия, поиски гравитационных волн и переносчика гравитационного взаимодействия – гравитона.

# Глава 1

## ОСНОВНЫЕ СВОЙСТВА СВЕТА И ЕГО ХАРАКТЕРИСТИКИ

### 1.1. ЭЛЕКТРОМАГНИТНАЯ ПРИРОДА СВЕТА

Что такое свет? Какова его физическая природа? Эти вопросы давно волновали людей, так как информация об окружающем мире поступает к нам в основном благодаря зрению. Разобраться в том, что и как мы видим, означало не только удовлетворить естественную любознательность, но и попытаться расширить границы зрительного восприятия, а следовательно, границы познания окружающего мира. Представления о природе зрения за время развития человечества сильно изменились. Древние полагали, что мы видим окружающий мир благодаря лучам, истекающим из глаз людей. Только значительно позже общепринятой стала другая теория, согласно которой мы видим свет, попадающий к нам в глаза от предметов окружающего мира. Таким образом, свет, в узком смысле этого слова, – это нечто, вызывающее у человека зрительное ощущение. Наука о свете – оптика – изучает световые явления и законы, взаимодействие света с веществом, природу света.

Хотя оптика наряду с астрономией относится к древнейшим областям знаний о природе, основной вопрос оптики – какова природа света – нашел свое частичное разрешение только во второй половине XIX в., а более полное – в первой половине XX в.

Английский физик Д.К.Максвелл (1831–1879), обобщая законы электромагнетизма, пришел к выводу об электромагнитной природе света. Это стало возможным потому, что система уравнений Максвелла, записанная для электромагнитного поля в вакууме:

$$\begin{aligned} \operatorname{div} \vec{D} = 0 \quad (1), \quad \operatorname{div} \vec{B} = 0 \quad (2), \\ \operatorname{rot} \vec{E} = -\frac{\partial \vec{B}}{\partial t} \quad (3), \quad \operatorname{rot} \vec{H} = \frac{\partial \vec{D}}{\partial t} \quad (4), \end{aligned} \tag{1.1}$$

после соответствующих преобразований приводит к волновому уравнению для векторов  $\vec{E}$  и  $\vec{H}$ .

Действительно, применив операцию rot к уравнению (3) из системы (1.1), получим:

$$\text{rot rot } \vec{E} = -\frac{\partial \text{rot } \vec{B}}{\partial t}. \quad (1.2)$$

Так как для вакуума  $\vec{D} = \epsilon_0 \vec{E}$  и  $\vec{B} = \mu_0 \vec{H}$ , то с учетом уравнения (4) и соотношения  $\text{rot rot } \vec{E} = \text{grad div } \vec{E} - \nabla^2 \vec{E}$  получим:

$$\nabla^2 \vec{E} - \mu_0 \epsilon_0 \frac{\partial^2 \vec{E}}{\partial t^2} = 0, \quad (1.3)$$

поскольку  $\text{grad div } \vec{E} = 0$ . Это уравнение называется волновым уравнением из-за того, что его решением является функция

$$\vec{E}(t, \vec{r}) = \vec{E} \left( t \mp \frac{\vec{r} \cdot \vec{m}}{c} \right) = \vec{E} \left( t \mp \frac{x \cos \alpha + y \cos \beta + z \cos \gamma}{c} \right), \quad (1.4)$$

где  $\vec{r}$  – радиус-вектор, проведенный в данную точку поля,  $\vec{m}$  – единичный вектор, проведенный в направлении распространения волны. Прямой подстановкой (1.4) в (1.3) легко убедиться, что функция  $\vec{E}$  и любая линейная комбинация подобных функций удовлетворяют волновому уравнению, если выполнено условие

$$c = \frac{1}{\sqrt{\epsilon_0 \mu_0}}. \quad (1.5)$$

Вид функции  $\vec{E}(t, \vec{r})$  может быть любым, в частности, ее можно выбрать и гармонической. Это особенно удобно, так как многие физические устройства регистрируют поля, гармонически изменяющиеся со временем. Кроме того, по теореме Фурье любая физически реализуемая функция может быть выражена через совокупность гармонических функций с определенными частотами, амплитудами и начальными фазами.

В частности, напряженность  $\vec{E}$  поля, распространяющегося вдоль координатной оси  $OZ$ , может быть выражена через совокупность функций вида  $\vec{E} = \vec{E}_m \cos \left[ \omega \left( t \pm \frac{z}{c} \right) \right]$ , соответствующих плоским волнам, распространяющимся в сторону возрастающих  $z$

с аргументом  $\omega\left(t - \frac{z}{c}\right)$ , а в сторону убывающих  $z$  – с аргументом  $\omega\left(t + \frac{z}{c}\right)$ .

Такое решение получается и для вектора напряженности магнитного поля  $\vec{H}$ . При этом векторы  $\vec{E}$  и  $\vec{H}$  перпендикулярны направлению распространения волны. Таким образом, электромагнитная волна в свободном пространстве является поперечной волной.

Решение уравнений (1.1), с учетом того что для диэлектрика  $\vec{D} = \epsilon\epsilon_0\vec{E}$ ,  $\vec{B} = \mu\mu_0\vec{H}$ , примет вид:  $\vec{E} = \vec{E}\left(t \mp \frac{\vec{r} \cdot \vec{m}}{v}\right)$ , причем скорость

$$v = \frac{c}{\sqrt{\epsilon\mu}}, \quad (1.6)$$

где  $\epsilon$  и  $\mu$  – диэлектрическая и магнитная проницаемости среды соответственно.

Так как отношение  $c$  к  $v$  есть  $n$  – абсолютный показатель преломления среды, то из (1.6) следует, что при  $\mu \approx 1$ , что справедливо для большинства оптических сред, являющихся пара- или диамагнетиками,  $n = \sqrt{\epsilon}$ . Таким образом, электромагнитная теория устанавливает прямую, доступную экспериментальной проверке, связь между оптической величиной – показателем преломления  $n$  и электрической величиной – диэлектрической проницаемостью  $\epsilon$ .

Поверхность, которую достигает волна в некоторый момент времени  $t$ , распространяясь в пространстве, называется *фронтом волны*.

Если фронт волны сферический, то волновое уравнение следует записать в сферической системе координат и принять  $E_m = \frac{E_0}{\rho}$ ,

где  $\rho$  – радиус волнового фронта. Если волна цилиндрическая, то используют цилиндрическую систему координат и принимают  $E_m = \frac{E_0}{\sqrt{\rho}}$ . Это необходимо для выполнения закона сохранения

энергии при распространении соответствующих волн.

Важным следствием из уравнений электродинамики является вывод о том, что электромагнитное поле, возникнув около заря-

дов, движущихся с ускорением, в дальнейшем может существовать независимо от них, распространяясь в пространстве со скоростью света. Это свойство электромагнитного поля позволило окончательно расстаться с идеей существования гипотетического эфира как некоторой светоносной среды, обладающей весьма противоречивыми свойствами. Для электромагнитных волн не нужна никакой среды, они сами являются наряду с веществом одним из видов материи.

Скорость света не зависит от скорости источника света и является инвариантом при переходе от одной инерциальной системы отсчета к другой. Этот физический факт хорошо согласуется с уравнениями Максвелла, которые были сформулированы задолго до создания специальной теории относительности. Система уравнений Максвелла оказалась инвариантной к преобразованиям Лоренца. Таким образом, скорость света в вакууме является фундаментальной константой и определяет максимальную скорость передачи взаимодействий в природе.

Гипотеза Максвелла об электромагнитной природе света получила экспериментальное подтверждение. В 1887 г. немецкий физик Г.Герц (1857–1894) впервые получил электромагнитные волны с частотой  $\approx 10^7$  Гц, русский физик-экспериментатор П. Н. Лебедев (1866–1912) наблюдал в своих опытах (1890) волны с частотой  $10^{10}$  Гц. Волны в опытах Герца и Лебедева возникали в результате электрических колебаний в различных контурах.

Для непосредственной проверки идей Максвелла необходимо было получить световые волны «электрическим» методом. Первым шагом на этом пути были опыты, проведенные в 20-х годах XX в. профессором МГУ А. А. Глаголевой-Аркадьевой, создавшей ряд излучателей, в которых электромагнитные колебания возбуждались в металлических опилках, игравших роль маленьких диполей Герца; опилки при разряде сторали и тут же заменялись новыми. Излучение было очень монохроматичным и слабым. Тем не менее удалось доказать, что такие излучатели дают частоты до  $5 \cdot 10^{12}$  Гц, т.е. длинноволновое инфракрасное излучение.

Позже, при разгоне электронов до релятивистских скоростей в синхротронных ускорителях, наблюдалось световое излучение электронов, движущихся по циклическим траекториям.

Эксперименты с электромагнитными волнами показали, что видимый свет – это электромагнитное излучение с частотой, лежащей в интервале от  $4 \cdot 10^{14}$  до  $8 \cdot 10^{14}$  Гц, и соответственно с длиной волны от 0,75 до 0,38 мкм. По своей физической природе видимый свет не отличается от излучения, имеющего большую длину

волны, названного инфракрасным излучением (ИК), и меньшую длину волны, названного ультрафиолетовым излучением (УФ). ИК, УФ и видимое излучение по существующей договоренности называются оптическим излучением.

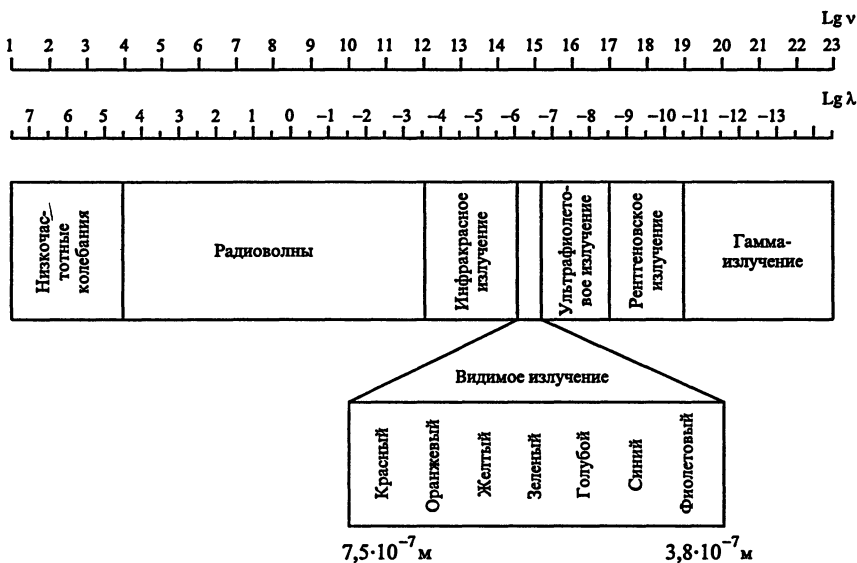


Рис. 1.1

Теперь считается, что инфракрасное излучение охватывает частоты от  $4 \cdot 10^{14}$  до  $10^{12}$  Гц. Границами ультрафиолетового излучения принято считать частоты  $8 \cdot 10^{14}$  и  $10^{17}$  Гц. При дальнейшем изложении курса термины «оптическое излучение» и «свет» мы будем употреблять как синонимы, понимая под светом в широком смысле слова электромагнитные волны, значения длин которых заключены в интервале от единиц нанометров до десятых долей миллиметра.

В 1895 г. В.Рентген обнаружил высокочастотное излучение при торможении пучка быстрых электронов металлической преградой. Это излучение (частоты от  $10^{17}$  до  $10^{19}$  Гц) было названо рентгеновским. Такое же и еще более высокочастотное излучение (от  $10^{19}$  до  $10^{23}$  Гц) возникает при ядерных реакциях и превращениях элементарных частиц; его называют гамма-излучением. Самое высокочастотное гамма-излучение приходит к нам из космоса.

На рис. 1.1 изображена шкала электромагнитных волн, дающая представление о богатстве электромагнитного спектра в принятом ныне делении его на диапазоны. Тем не менее взаимодействие излучения соседних диапазонов с веществом имеет заметные качествен-

ные различия и требует особых методов исследования – последние описываются в соответствующих главах. Обратим внимание читателя на логарифмический масштаб шкалы, необходимый из-за громадности интервала рассматриваемых частот.

## 1.2. ОСНОВНЫЕ ЗАКОНЫ РАСПРОСТРАНЕНИЯ СВЕТА. ПРИНЦИП ГЮЙГЕНСА. ПРИНЦИП ФЕРМА

Ко времени создания Максвеллом электромагнитной теории уже были известны многие закономерности распространения света. В процессе наблюдений и экспериментальных исследований было установлено, что свет часто распространяется в пространстве в виде узких пучков – лучей света, направление которых перпендикулярно фронту волны. Исторически сложилось так, что понятие о лучах света появилось раньше, чем представления о волновой природе света. Первыми оптическими законами явились как раз законы о распространении световых лучей.

### 1. Закон прямолинейного распространения света:

В однородной изотропной среде свет распространяется по прямой.

### 2. Закон независимости световых лучей:

Световые лучи распространяются в пространстве независимо друг от друга. Пересечение лучей не влияет на характер их распространения.

### 3. Закон отражения:

Луч падающий, луч отраженный и перпендикуляр к поверхности раздела двух сред, восставленный из точки падения луча, лежат в одной плоскости, называемой *плоскостью падения*.

Угол падения  $\alpha_0$  равен углу отражения  $\alpha_1$  (рис. 1.2).

### 4. Закон преломления:

Луч падающий, луч преломленный и перпендикуляр к поверхности раздела двух сред, восставленный из точки падения луча, лежат в одной плоскости – плоскости падения.

Отношение синуса угла падения  $\alpha_0$  к синусу угла преломления  $\alpha_2$  равно отношению скоростей света в обеих средах (см. рис. 1.2).

Величина  $n_{12} = \frac{v_1}{v_2}$  называется *относительным показателем*

*преломления среды 2 относительно среды 1*. Приняв некоторую среду за стандартную (в оптике это вакуум, характеризующийся наибольшей скоростью распространения света  $c$ ) и введя *абсолютные показатели преломления*  $n_k = \frac{c}{v_k}$ , можно написать законы



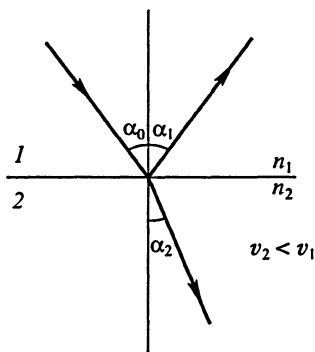


Рис. 1.2

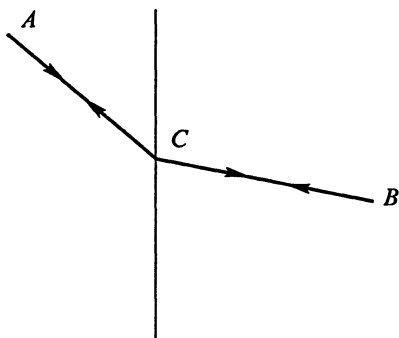


Рис. 1.3

отражения и преломления в единой и удобной для запоминания форме:

$$n_k \sin \alpha_k = \text{const},$$

где  $\alpha_k$  – углы падения, отражения и преломления.

#### 5. Закон обратимости световых лучей:

Если свет от  $A$  к  $B$  идет по некоторому пути  $ACB$ , то при распространении от  $B$  к  $A$  во встречном направлении траектория  $BСА$  света останется прежней (рис. 1.3).

Пытаясь описать совокупность опытных закономерностей поведения световых лучей с единых позиций, французский физик П. Ферма выдвинул принцип наименьшего времени, гласящий:

**Свет, распространяющийся между двумя точками, идет по пути, соответствующему экстремальному – чаще всего минимальному – времени.**

Согласно принципу Ферма, в свободном однородном изотропном пространстве луч прямолинеен.

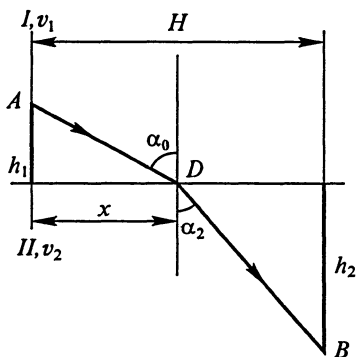


Рис. 1.4

Покажем, что получится, если начальная  $A$  и конечная  $B$  точки лежат в разных средах (рис. 1.4). Выбрав произвольно точку  $D$ , где луч пересекает границу раздела, и пользуясь обозначениями рисунка, находим время прохождения светом пути  $ADB$ :

$$t = \frac{1}{v_1} \sqrt{x^2 + h_1^2} + \frac{1}{v_2} \sqrt{(H - x)^2 + h_2^2}.$$

Условие экстремума для времени распространения света между точками  $A$  и  $B$  запишется так:

$$\frac{dt}{dx} = \frac{1}{v_1} \frac{x}{\sqrt{x^2 + h_1^2}} - \frac{1}{v_2} \frac{H-x}{\sqrt{(H-x)^2 + h_2^2}} = \frac{\sin \alpha_0}{v_1} - \frac{\sin \alpha_2}{v_2} = 0.$$

Отсюда сразу же получается выражение для закона преломления. Аналогичными рассуждениями можно доказать, исходя из принципа Ферма, справедливость закона отражения и закона обратимости световых лучей. Другая успешная попытка объяснить эти законы была сделана голландским физиком Х. Гюйгенсом (1629–1695). Гюйгенс в 1678 г. сформулировал эвристический принцип, позволяющий определять изменение положения волнового фронта со временем. Подробно этот принцип рассматривается в § 3.1. Здесь лишь отметим, что он позволяет получить законы отражения и преломления света.

Ни принцип Ферма, ни принцип Гюйгенса ничего не говорят о распределении энергии между отраженным и преломленным лучами, о влиянии на частоту света его отражения или преломления на границе двух сред. Нет в этих принципах и указаний на возможную зависимость скорости распространения света в веществе от его частоты.

Эти принципы также не объясняют, почему оптические явления происходят именно так, а не иначе, что оставляет у читателя чувство неудовлетворенности. От перечисленных выше недостатков свободна электромагнитная теория света.

### 1.3. ТЕОРИЯ МАКСВЕЛЛА И ОСНОВНЫЕ ЗАКОНЫ ОПТИКИ. ФОРМУЛЫ ФРЕНЕЛЯ

Теория Максвелла позволяет получить основные законы распространения света. Для этого воспользуемся выводами из теории электромагнитного поля (см. «Электродинамику», гл. 12).

1. Уравнение плоской электромагнитной волны, распространяющейся в направлении, образующем углы  $\alpha$ ,  $\beta$ ,  $\gamma$  с осями прямоугольной системы координат, записывается в виде

$$\vec{E} = \vec{E}_m \cos \left[ \omega \left( t - \frac{x \cos \alpha + y \cos \beta + z \cos \gamma}{v} \right) \right]. \quad (1.7)$$

Выражение (1.7) можно переписать в виде

$$\vec{E} = \vec{E}_m \cos\omega\left(t - \frac{\vec{m} \cdot \vec{r}}{v}\right), \quad (1.8)$$

где  $\vec{r}$  – радиус-вектор, проведенный из начала координат в некоторую точку волнового фронта с координатами  $x, y, z$ ;  $\vec{m}$  – единичный вектор, составляющий углы  $\alpha, \beta, \gamma$  с осями координат.

Вместо единичного вектора  $\vec{m}$  часто вводят волновой вектор  $\vec{k}$ :

$$\vec{k} = \frac{2\pi}{\lambda} \vec{m}. \quad (1.9)$$

С учетом (1.9) выражение (1.8) запишется в виде

$$\vec{E} = \vec{E}_m \cos(\omega t - \vec{k} \cdot \vec{r}). \quad (1.10)$$

2. Скорость распространения электромагнитной волны в диэлектрике ( $\epsilon, \mu = 1$ ) равна:

$$v = \frac{c}{n}, \quad n = \sqrt{\epsilon},$$

где  $c = 3 \cdot 10^8$  м/с – скорость света в вакууме.

3. В электромагнитной волне амплитуды напряженностей электрического и магнитного полей связаны соотношением

$$H_m = \sqrt{\frac{\epsilon_0}{\mu_0}} \sqrt{\epsilon}; \quad E_m = \sqrt{\frac{\epsilon_0}{\mu_0}} n E_m. \quad (1.11)$$

4. Средняя за период мощность, переносимая плоской волной через поверхность  $S$ , равна:

$$P = \frac{1}{2} E_m H_m S \cos\alpha = \frac{1}{2} E_m^2 \sqrt{\frac{\epsilon_0}{\mu_0}} n S \cos\alpha = IS \cos\alpha, \quad (1.12)$$

где  $\alpha$  – угол между нормалью к поверхности и лучом;  $I$  – интенсивность волны, пропорциональная квадрату амплитуды.

5. На границе раздела двух диэлектриков ( $\epsilon_1, \epsilon_2, \mu_1 = \mu_2 = 1$ ) выполняются граничные условия для касательных ( $\vec{E}_t, \vec{H}_t$ ) и нормальных ( $\vec{E}_n, \vec{H}_n$ ) составляющих поля:

$$\vec{E}_1 = \vec{E}_2, \quad \vec{H}_1 = \vec{H}_2, \quad \epsilon_1 \vec{E}_n = \epsilon_2 \vec{E}_n, \quad \vec{H}_n = \vec{H}_n. \quad (1.13)$$

Предположим, что направление распространения (направление луча) перпендикулярно оси ординат ( $\cos\beta = 0$ ) и волна падает на

плоскую границу раздела двух диэлектриков, совпадающую с плоскостью  $YOZ$ ; тогда на границе будет происходить частичное отражение и частичное преломление волн.

Считая волну линейно поляризованной (вектор  $\vec{E}$  сохраняет направление в однородном изотропном диэлектрике), мы можем разложить вектор  $\vec{E}$  на две составляющие (перпендикулярно плоскости падения  $\vec{E}_\perp$  и параллельно ей  $\vec{E}_\parallel$ ) и рассмотреть каждую из них отдельно.

Записав выражения (1.10) для падающей (индекс 0), отраженной (индекс 1) и преломленной (индекс 2) волн и требуя выполнения граничных условий в любой момент времени, получаем условие сохранения частоты:

$$\omega_0 = \omega_1 = \omega_2. \quad (1.14)$$

На границе раздела координата  $x = 0$  (ранее мы приняли  $\cos\beta = 0$ ), так что в аргументе (1.7) остается только зависимость от координаты  $z$ :

$$\frac{\cos\gamma_0}{v_1} = \frac{\cos\gamma_1}{v_1} = \frac{\cos\gamma_2}{v_2}. \quad (1.15)$$

Первые два члена равенства дают

$$\gamma_0 = \gamma_1, \quad (1.16)$$

т.е. закон отражения (при этом отраженный луч оказывается в плоскости падения).

Так как углы  $\alpha$  и  $\gamma$  связаны известной зависимостью  $\alpha + \gamma = 90^\circ$ , то выражение (1.16) можно переписать в более привычном виде:

$$\alpha_0 = \alpha_1,$$

где введены углы падения и отражения.

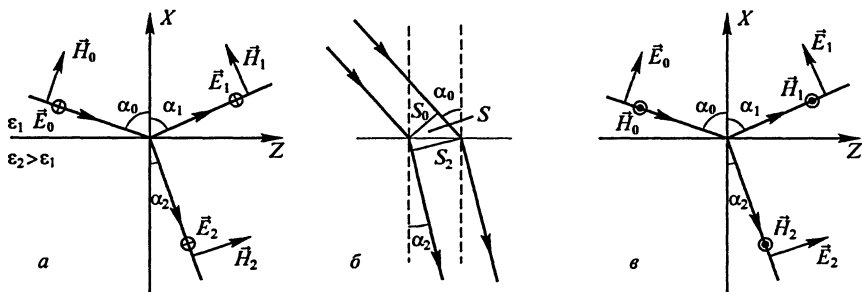


Рис. 1.5

Равенство первой дроби третьей в (1.15) дает  $\frac{\cos \gamma_0}{v_1} = \frac{\cos \gamma_2}{v_2}$ ,

что можно переписать в привычном виде:  $n_1 \sin \alpha_0 = n_2 \sin \alpha_2$ , представляющем закон преломления.

Для нахождения соотношения между амплитудами рассмотрим сначала волну с электрическим вектором, перпендикулярным плоскости падения,  $\vec{E}_\perp$  (рис. 1.5, а).

При выбранных положительных направлениях векторов  $\vec{E}$  и  $\vec{H}$  (напомним, что векторы  $\vec{E}, \vec{H}, \vec{v}$  образуют правую тройку) применение граничных условий дает

$$E_0 + E_1 = E_2, \quad H_0 \cos \alpha_0 - H_1 \cos \alpha_1 = H_2 \cos \alpha_2$$

или

$$E_0 - E_1 = E_2 \frac{n_2 \cos \alpha_2}{n_1 \cos \alpha_1}.$$

Складывая эти уравнения, получаем:

$$2E_0 = E_2 \left( 1 + \frac{n_2 \cos \alpha_2}{n_1 \cos \alpha_1} \right) = E_2 \frac{\sin \alpha_1 \cos \alpha_2 + \sin \alpha_2 \cos \alpha_1}{\sin \alpha_2 \cos \alpha_1}.$$

Поэтому амплитудный коэффициент пропускания оказывается равным

$$d_\perp = \frac{E_2}{E_0} = \frac{2 \sin \alpha_2 \cos \alpha_1}{\sin(\alpha_1 + \alpha_2)}. \quad (1.17)$$

Определив  $E_2$ , находим амплитудный коэффициент отражения:

$$r_\perp = \frac{E_1}{E_0} = 1 - \frac{E_2}{E_0} = -\frac{\sin(\alpha_1 - \alpha_2)}{\sin(\alpha_1 + \alpha_2)}. \quad (1.18)$$

Так как площади сечений падающей, отраженной и преломленной волн равны соответственно (рис. 1.5, б)

$$S_0 = S_1 = S \cos \alpha_1, \quad S_2 = S \cos \alpha_2,$$

то энергетический коэффициент отражения равен:

$$R_\perp = \left( \frac{E_1}{E_0} \right)^2 = r_\perp^2 = \frac{\sin^2(\alpha_1 - \alpha_2)}{\sin^2(\alpha_1 + \alpha_2)}. \quad (1.19)$$

Пользуясь выражением (1.12), находим энергетический коэффициент пропускания:

$$D_{\perp} = d_{\perp}^2 \frac{n_2 S_2}{n_1 S_1} = \frac{4 \sin \alpha_1 \sin \alpha_2 \cos \alpha_1 \cos \alpha_2}{\sin^2(\alpha_1 + \alpha_2)}. \quad (1.20)$$

При этом, конечно, выполняется закон сохранения энергии:

$$R_{\perp} + D_{\perp} = 1.$$

Пусть теперь волна имеет электрический вектор в плоскости падения ( $\vec{E}_{\parallel}$ ). Из рис. 1.5, в находим:

$$E_0 + E_1 = \frac{n_2}{n_1} E_2 = \frac{\sin \alpha_1}{\sin \alpha_2} E_2, \quad (1.21)$$

$$E_0 - E_1 = \frac{\cos \alpha_2}{\cos \alpha_1} E_2. \quad (1.22)$$

Складывая эти уравнения, находим амплитудный коэффициент пропускания:

$$d_{\parallel} = \frac{E_2}{E_0} = \frac{2 \cos \alpha_1 \sin \alpha_2}{\frac{1}{2}(\sin 2\alpha_1 + \sin 2\alpha_2)} = \frac{2 \cos \alpha_1 \sin \alpha_2}{\sin(\alpha_1 + \alpha_2) \cos(\alpha_2 - \alpha_1)}. \quad (1.23)$$

Далее, беря отношение уравнений (1.21) и (1.22), находим:

$$\frac{E_0 - E_1}{E_0 + E_1} = \frac{\sin 2\alpha_1}{\sin 2\alpha_2}.$$

Поэтому амплитудный коэффициент отражения

$$r_{\parallel} = \frac{E_1}{E_0} = \frac{\sin 2\alpha_1 - \sin 2\alpha_2}{\sin 2\alpha_1 + \sin 2\alpha_2} = \frac{\operatorname{tg}(\alpha_1 - \alpha_2)}{\operatorname{tg}(\alpha_1 + \alpha_2)}. \quad (1.24)$$

Энергетические коэффициенты равны соответственно

$$R_{\parallel} = r_{\parallel}^2 = \frac{\operatorname{tg}^2(\alpha_1 - \alpha_2)}{\operatorname{tg}^2(\alpha_1 + \alpha_2)}, \quad (1.25)$$

$$D_{\parallel} = d_{\parallel}^2 \frac{n_2 \cos \alpha_2}{\cos \alpha_1} = d_{\parallel}^2 \frac{\sin \alpha_1 \cos \alpha_2}{\cos \alpha_1 \sin \alpha_2} = \frac{4 \sin 2\alpha_1 \sin 2\alpha_2}{(\sin 2\alpha_1 + \sin 2\alpha_2)^2}. \quad (1.26)$$

Конечно, и здесь  $R_{\parallel} + D_{\parallel} = 1$ .

Соотношения (1.17), (1.18), (1.23), (1.24) называются *формулами Френеля*. Впервые они были получены Френелем, создавшим задолго до Максвелла механическую волновую теорию света.

Из уравнения (1.24) получается замечательное следствие: при условии

$$\alpha_1 + \alpha_2 = 90^\circ,$$

что равносильно требованию

$$\operatorname{tg}\alpha_1 = \frac{n_2}{n_1} = \sqrt{\frac{\epsilon_2}{\epsilon_1}},$$

отражение должно полностью отсутствовать. Это так называемый *закон Брюстера*; мы встретимся с ним в главе 5, посвященной поляризации света.

Наконец, рассмотрим нормальное падение волны ( $\alpha_0 \rightarrow 0$ ). В этом случае положение плоскости поляризации делается неопределенным. Переписав соотношение (1.18) в виде

$$r_{\perp} = -\frac{\sin\alpha_1 \cos\alpha_2 - \cos\alpha_1 \sin\alpha_2}{\sin\alpha_1 \cos\alpha_2 + \cos\alpha_1 \sin\alpha_2} = -\frac{\frac{n_2}{n_1} \cos\alpha_2 - \cos\alpha_1}{\frac{n_2}{n_1} \cos\alpha_2 + \cos\alpha_1}$$

и перейдя к пределу, получим:

$$\lim_{\alpha_1, \alpha_2 \rightarrow 0} r_{\perp} = -\frac{\frac{n_2}{n_1} - 1}{\frac{n_2}{n_1} + 1} = \frac{n_1 - n_2}{n_1 + n_2}, \quad \lim R_{\perp} = \left( \frac{n_1 - n_2}{n_1 + n_2} \right)^2.$$

Таким же предельным переходом легко получить  $R_{\parallel}$  и убедиться, что

$$R_{\perp} = R_{\parallel} = R,$$

как и следовало ожидать.

При  $n_1 < n_2$  получается  $r_{\perp} < 0$ . Это значит, что фаза отраженной волны противоположна фазе падающей (электрическая волна при отражении «теряет полволны», т.е. фаза волны скачком меняется на  $\pi$ ).

С подобным явлением мы сталкивались в механике для волны смещения при отражении ее от закрепленного конца шнура или от среды с большим акустическим сопротивлением (с большей плотностью). Поэтому и в оптике среду с  $n = \frac{n_2}{n_1} > 1$  называют оптически более плотной.

Если волна падает из вакуума ( $n = 1$ ), то величина

$$R = \left( \frac{n_2 - 1}{n_2 + 1} \right)^2 \quad (1.27)$$

называется *отражательной способностью среды*. Соответствующая ей величина

$$D = \frac{4n_2}{(n_2 + 1)^2} \quad (1.28)$$

называется *поверхностной прозрачностью вещества*.

Выражения (1.27) и (1.28) не изменяются при изменении направления падающего луча на противоположное, в чем легко убедиться, заменив  $n_2$  на  $\frac{1}{n_2}$ . Следовательно, принцип обратимости

луча верен не только в отношении направления рассматриваемых лучей, но и в отношении распределения энергии между ними.

Таким образом, теория Максвелла позволяет не только объяснить основные законы распространения света, но и ответить на ряд вопросов, в решении которых принципы Ферма и Гюйгенса бессильны.

#### 1.4. ВОЛНОВЫЕ И КОРПУСКУЛЯРНЫЕ СВОЙСТВА СВЕТА

При изучении электромагнитных волн оптического диапазона обнаруживается одна характерная особенность. В одних явлениях (интерференция, дифракция, поляризация, оптическая анизотропия кристаллов, преломление света на границе двух сред) четко проявляются волновые свойства света. Другие явления (фотоэффект, излучение абсолютно черного тела, спектры атомов и молекул) можно объяснить только предположив, что свет является потоком частиц – фотонов, каждая из которых переносит энергию  $\varepsilon = \hbar\omega$  и импульс  $\vec{p} = \hbar\vec{k}$ , где  $\hbar = \frac{h}{2\pi}$ ,  $h = 6,64 \cdot 10^{-34}$  Дж·с – посто-

янная Планка;  $\omega$  – круговая частота света;  $\vec{k}$  – волновой вектор световой волны. Третью группу явлений (давление света, отражение света, дисперсия) можно описать как с корпускулярной, так и с волновой точки зрения. Такая ситуация кажется весьма странной, а с позиций классических представлений просто невозможной. Действительно, если свет – электромагнитная волна, то поле, соответствующее ей, распределено в пространстве и изменяется со



временем. Следовательно, энергия излучения не может быть локализована в ограниченной области пространства, как это должно быть, если придерживаться корпускулярных представлений о природе света. То есть волна и частица являются как бы исключаящими друг друга физическими моделями и по классическим воззрениям не могут описывать один и тот же объект. Однако детальное изучение поведения света, а также объектов микромира – частиц, имеющих характерные размеры порядка  $10^{-10} \dots 10^{-15}$  м, показало, что такая точка зрения ошибочна. Модели частицы и волны не исключают друг друга при описании поведения света и микрообъектов, а дополняют одна другую. Микрообъекты также обнаруживают двойственность в физических экспериментах. Причем в одних могут в большей степени проявляться волновые свойства, в других – корпускулярные. Сами же микрообъекты не являются ни волнами, ни частицами. Такая точка зрения, развитая Н. Бором (1885–1962), С. И. Вавиловым (1891–1951), М. Борном (1882–1970), П. Дираком (1902–1982) и другими физиками, в настоящее время принята во всем мире.

## 1.5. ИСТОЧНИКИ СВЕТА

В оптическом диапазоне основным механизмом излучения света является изменение энергии атомов или молекул при их переходах из одного энергетического состояния в другое. Электроны атомов, теряя энергию при переходах, возбуждают в окружающем пространстве электромагнитные волны. Многочисленные эксперименты показали, что излучение, испускаемое атомом, в первом приближении можно считать подобным излучению диполя, описанного в «Электродинамике». Это позволяет моделировать сложные процессы взаимодействия электрона с ядром атома, приводящие к излучению света, хорошо изученным в классической электродинамике поведением диполя или осциллятора с периодически изменяющимся во времени дипольным моментом.

В рамках такой модели источник света – это совокупность элементарных диполей, испускающих независимо друг от друга так называемые *цуги* электромагнитных волн. Под *цугом волны* понимается *ограниченный во времени «обрывок» гармонической волны, длительность которого определяется добротностью атомного осциллятора  $Q$ .*

Как было показано в курсе «Электродинамика» (см. § 12.8), добротность атомного осциллятора  $\approx 10^7$ . Это означает, что за время излучения произойдет примерно  $10^7$  колебаний электро-

магнитного поля, т.е. длительность цуга  $\tau = QT_0$ , где  $T_0$  – период колебаний:  $T_0 = \frac{2\pi}{\omega_0} = \frac{1}{\nu_0}$ , здесь  $\nu_0$  – частота колебаний. Так как

$$Q = \frac{\omega_0}{\Delta\omega}, \text{ то } \tau \Delta\omega = 2\pi, \text{ или}$$

$$\tau \Delta\nu \approx 1. \quad (1.29)$$

Здесь  $\Delta\nu$  – полоса частот излученного пучка, не являющегося строго монохроматическим излучением (рис. 1.6); согласно (1.29) продолжительность монохроматического излучения была бы неопределенно велика, что лишено физического смысла.

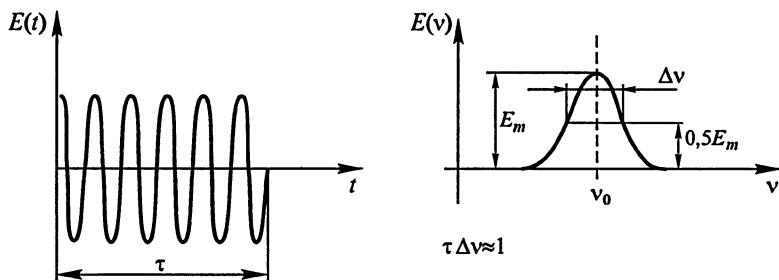


Рис. 1.6

Оценочное соотношение (1.29) выражает очень важное свойство периодических процессов, ограниченных во времени: **произведение длительности процесса на ширину полосы частот такого процесса примерно равно единице.**

За время  $\tau$  электромагнитные колебания распространяются в вакууме на расстояние  $l = \tau c$ . Величина  $l$  называется *длиной цуга*.

С учетом (1.29) и соотношения  $|\Delta\nu| = \frac{c}{\lambda^2} |\Delta\lambda|$  ( $\Delta\lambda$  – интервал длин волн, соответствующий ширине спектра  $\Delta\nu$ ) нетрудно показать, что

$$l = \frac{c}{\Delta\nu} = \frac{\lambda^2}{\Delta\lambda} \equiv m\lambda, \quad (1.30)$$

где  $m = \frac{\lambda}{\Delta\lambda}$ .

Как будет показано далее, число  $m$  определяет максимальное число полос, наблюдаемых в интерференционных экспериментах, поэтому оно носит название *порядок интерференции*.

В реальном источнике света излучение создается огромным числом атомов. Так, если светится возбужденный тем или иным способом газ при нормальных условиях, то в каждом кубическом сантиметре могут изменять свои энергетические состояния до  $10^{19}$  атомов. Если атомы излучают свет независимо друг от друга, то фазы колебаний в отдельных цугах никак не связаны. При наложении таких колебаний результирующая интенсивность поля равна сумме отдельных интенсивностей. Спектральная ширина излучения определяется спектром отдельного излучателя. Контур спектральной линии излучения (см. рис. 1.6) повторяет контур спектра излучения каждого атома. В этом случае говорят об *однородном уширении спектральной линии источника света*, подчеркивая одинаковый вклад всех элементарных излучателей в суммарное поле источника света. Ширина спектральной линии, определяемая выражением (1.29), называется *естественной шириной*.

Однако случается и так, что центральные частоты  $\nu_0$  каждого атома несколько разнятся друг от друга. Так бывает при движении атомов в газах вследствие эффекта Доплера. В этом случае контур спектральной линии зависит не только от спектра излучения каждого атома, но и от распределения числа атомов по скоростям. Уширение спектральной линии в этом случае называется *неоднородным*.

Так как время излучения атомом (для видимого света)  $\tau \approx 10^{-8}$  с (см. «Электродинамику», § 12.7), то для естественной ширины получается  $\Delta\nu \approx 10^8$  Гц. Отношение  $\frac{\Delta\nu}{\nu_0}$  в этом случае много меньше

единицы. Излучение, для которого выполняется условие  $\frac{\Delta\nu}{\nu_0} \ll 1$ ,

называется *квазимонохроматическим*. В результате столкновений атомов друг с другом длительность излучения отдельных атомов может уменьшаться. Это приводит к уширению спектра излучения. Уширение спектральных линий наблюдается и из-за эффекта Доплера. Так, например, для водорода при комнатной температуре ширина линии в 500 раз больше естественной.

Чтобы уменьшить ширину спектра излучения, необходимо или увеличить добротность излучающей системы, или попытаться обеспечить согласованное излучение отдельных атомов. В лазерах удается реализовать эти пути повышения монохроматичности оптического излучения. Помещая вещество в оптический резонатор с большой добротностью и используя механизм индуцированного излучения (см. гл. 11), добиваются существенного уменьшения ширины линии излучения. В активных средах лазеров отдельные атомы излучают свет согласованно друг с другом. Длина

цуга волны для таких излучателей существенно больше по сравнению с источниками, где используется механизм спонтанного излучения отдельными атомами. В специально стабилизированных лазерах удастся получить ширину линии излучения  $\approx 10^3$  Гц, что соответствует длине цуга в сотни километров. Для сравнения заметим, что для солнечного света  $m = \frac{\lambda}{\Delta\lambda}$  составляет несколько единиц, и, следовательно, длина цуга не превышает 10 мкм.

Важной характеристикой источника света является *распределение излучения в пространстве вокруг источника*. Из опыта известно, что свет от одних источников распространяется примерно одинаково во все стороны, как, например, от Солнца, от других – остро направленным пучком, как, например, от лазера. Решающим обстоятельством, определяющим направленность излучения, является согласованность излучения (корреляция) отдельных атомов. Если атомы излучают независимо друг от друга за счет механизма спонтанного излучения, то каждый участок поверхности источника площадью  $\approx \lambda^2$  излучает свет по всем направлениям примерно с одинаковой интенсивностью. В произвольном направлении интенсивности света от отдельных участков суммируются. Поэтому некогерентный источник света – изотропный излучатель. При когерентном возбуждении поверхности (что обеспечивается механизмом индуцированного излучения) чем большая площадь излучающей поверхности возбуждена, тем направленнее излучение распространяется в пространстве. Соотношение между угловым размером пучка  $\Delta\varphi$  и площадью  $\Delta S$  поверхности, возбуждаемой согласованными излучателями, отнесенной к  $\lambda^2$ , аналогично соотношению между длительностью сигнала и шириной его спектра, а именно:

$$\Delta\varphi \frac{\Delta S}{\lambda^2} \approx 1. \quad (1.31)$$

Пользуясь выражением (1.31), можно оценить расходимость  $\Delta\varphi$  как некогерентного, так и лазерного излучателя света. В первом случае  $\Delta S = \lambda^2$ , тогда  $\Delta\varphi \approx 1$  рад, т.е. излучение изотропно; во втором, принимая  $\Delta S \approx 1$  мм<sup>2</sup> (типичную для маломощных лазеров), получим для  $\Delta\varphi$  величину порядка  $10^{-3}$  рад, что свидетельствует о высокой направленности лазерного излучения.

## 1.6. ПРИЕМНИКИ СВЕТА

Электромагнитная волна, распространяясь в вакууме, переносит энергию, поток которой определяется *вектором Умова*–

*Пойнтинга*  $\vec{S} = [\vec{E}, \vec{H}]$ . При взаимодействии электромагнитного поля с веществом наблюдается ряд характерных эффектов, которые могут быть использованы для измерения потока, например нагревание тел при их освещении, внешний и внутренний фотоэффекты, фотолюминесценция, т.е. свечение тел под действием излучения, как правило, с длиной волны, большей длины волны падающего света, и др. Особенностью взаимодействия оптического излучения с веществом является его квантовый характер. Это означает, что характерная реакция на приходящее излучение определяется не напряженностью электрического поля в приходящей волне, а числом фотонов, взаимодействующих с атомами вещества. Число же фотонов в поле пропорционально интенсивности электромагнитного поля. Соответствующая реакция вещества на излучение может быть принята за меру интенсивности последнего. На этом основано действие приемников или детекторов оптического излучения. Так как любой приемник излучения имеет конечную инерционность, то все приемники света реагируют на усредненную интенсивность света. При этом время усреднения определяется временем инерционности приемника, т.е. возможностью зарегистрировать изменение интенсивности света, происходящее за некоторое минимальное время  $\Delta t_{\text{п}}$ . Экспериментально значение  $\Delta t_{\text{п}}$  можно определить, освещая приемник светом, интенсивность которого меняется со временем (модулируется) по гармоническому закону с частотой  $\Omega$ . При возрастании частоты модуляции можно наблюдать уменьшение отклика приемника, например фототока, на частоте модуляции  $\Omega$ . За *граничную частоту*  $\Omega_{\text{гр}}$ , определяющую инерционность приемника, обычно принимают такую *частоту модуляции, при которой величина, характеризующая отклик приемника, уменьшается в 2 раза*. Значения  $\Omega_{\text{гр}}$  и  $\Delta t_{\text{п}}$  связаны между собой соотношением, подобным (1.29), т.е.  $\Omega_{\text{гр}} \Delta t_{\text{п}} \approx 1$ .

Свойство приемника реагировать на излучение того или иного спектрального диапазона обуславливается его *спектральной характеристикой*. На рис. 1.7 приведены примеры спектральных характеристик фотодиодов на основе кремния (Si) и германия (Ge). Видно, что значение фототока  $I_{\lambda}$  существенно изменяется в зависимости от длины волны света. Спектральная характеристика другого приемника излучения – болометра, откликом которого является изменение сопротивления резистора при нагревании его падающим излучением, практически не зависит от длины волны излучения. Первый тип приемника называется *селективным*, второй – *неселективным*. Глаз человека относится к числу селективных приемников. Его спектральные характеристики для дневного (1) и сумеречного зрения (2) приведены на рис. 1.8.

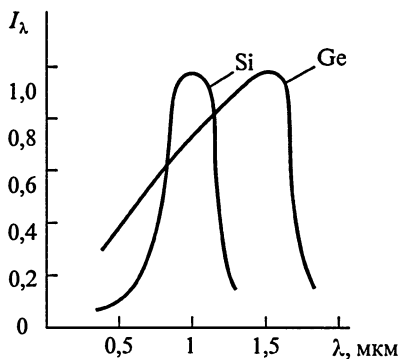


Рис. 1.7

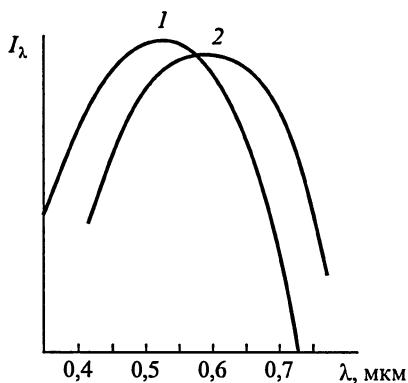


Рис. 1.8

Важной характеристикой любого оптического приемника является его *способность обнаруживать слабые световые потоки*. Уникальной способностью к обнаружению слабых световых потоков обладает глаз человека. После адаптации к темноте глаз реагирует на отдельные фотоны.

## 1.7. МАТЕМАТИЧЕСКОЕ ОПИСАНИЕ ОПТИЧЕСКИХ ПОЛЕЙ И ИХ ВОЗДЕЙСТВИЯ НА ПРИЕМНИКИ ИЗЛУЧЕНИЯ

Источник света возбуждает в окружающем его пространстве электромагнитное поле, которое можно описать, задавая в каждой точке напряженность электрического поля в виде функции  $\vec{E}(r,t)$ , подчиняющейся волновому уравнению. Задание только  $\vec{E}(r,t)$  вполне достаточно для описания оптических полей, так как, во-первых, зная  $\vec{E}$  всегда можно определить  $\vec{H}$ , используя уравнения электродинамики, во-вторых, взаимодействие поля с веществом определяется только напряженностью электрического поля. Как следует из решения волнового уравнения, направление вектора  $\vec{E}$  перпендикулярно направлению распространения волны, т.е. направлению вектора скорости  $\vec{c}$ , что свидетельствует о поперечности световых волн. В оптике плоскость, проходящая через вектор  $\vec{E}$  и направление распространения электромагнитной волны, называется *плоскостью поляризации волны*.

Свет, у которого направление колебания вектора  $\vec{E}$  не меняется со временем в любой точке пространства, называется *линейно поляризованным*. Свет, у которого вектор  $\vec{E}$  в любой точке пространства равномерно вращается со временем, а конец этого вектора описывает окружность, называется *поляризованным по кругу*. Свет, у которого вектор  $\vec{E}$  в любой точке пространства вращается со временем, а конец этого вектора описывает эллипс, называется *эллиптически поляризованным*. Причем если вращение  $\vec{E}$  при наблюдении в направлении, противоположном направлению распространения света, происходит по часовой стрелке, то говорят о *правой поляризации*, если против – то о *левой*.

Как было показано в курсе «Механика», движение по эллипсу или окружности может быть представлено как сложение двух взаимно перпендикулярных колебаний с одинаковыми частотами и определенной разностью фаз. Аналогично свет, поляризованный по кругу или эллипсу, может быть представлен суммой двух линейно поляризованных волн, колебания вектора  $\vec{E}$  в которых происходят в двух взаимно перпендикулярных направлениях. Если в поле электромагнитной волны в любой точке пространства в любой момент времени можно с равной вероятностью обнаружить вектор произвольного направления, то такой свет называется *неполяризованным*, или *естественным*. В пределах одного цуга направление вектора  $\vec{E}$  сохраняется неизменным.

Векторный характер оптических полей необходимо учитывать при рассмотрении явлений анизотропии, оптической активности вещества, рассеяния света и некоторых других. Во многих же явлениях, таких, как интерференция, дифракция, дисперсия света, часто достаточно ограничиться скалярным приближением, принимая  $E(r,t)$  за скалярную функцию координат и времени. Так как в оптике существует ряд устройств (призма, дифракционная решетка, интерферометр Фабри – Перо и др.), с помощью которых можно анализировать поле  $E(r,t)$  как *функцию времени* по гармоническим составляющим, а также устройства (линзы, пространственные фильтры), которые позволяют анализировать поле  $E(r,t)$  как *функцию пространственных координат* по гармоническим составляющим, то часто удобно представить  $E(r,t)$  как *совокупность плоских гармонических волн*, воспользовавшись математическим аппаратом спектрального разложения Фурье и свойством линейности уравнений Максвелла.

Запишем уравнение плоской гармонической волны  $E_\omega$ :

$$E_\omega = E_{0\omega} \cos(\omega t - \vec{k} \cdot \vec{r} - \varphi_0). \quad (1.32)$$

Здесь  $E_{0\omega}$  – амплитуда волны,  $\omega$  – круговая частота,  $\vec{k}$  – волновой вектор, модуль которого  $k = \frac{2\pi}{\lambda}$ , а направление совпадает с направлением распространения волны,  $\vec{r}$  – радиус-вектор, проведенный из начала координат в точку наблюдения,  $\varphi_0$  – начальная фаза.

Так как по формуле Эйлера  $\cos \Phi = \frac{1}{2} [\exp(i\Phi) + \exp(-i\Phi)]$ , то (1.32) можно записать через комплексную функцию:

$$E_{\omega} = \frac{1}{2} E_{0\omega} \left\{ \exp[i(\omega t - \vec{k} \cdot \vec{r} - \varphi_0)] + \exp[-i(\omega t - \vec{k} \cdot \vec{r} - \varphi_0)] \right\}. \quad (1.33)$$

В силу линейности волнового уравнения любое слагаемое из (1.33) также будет его решением. Исходя из этого, плоской волне (1.32) ставят в соответствие функцию

$$\dot{E}_{\omega} = E_{0\omega} \exp[i(\vec{k} \cdot \vec{r} + \varphi_0)] \exp(-i\omega t), \quad (1.34)$$

являющуюся решением волнового уравнения.

Величина

$$\dot{E}_{0\omega} = E_{0\omega} \exp(i\varphi_0) \exp[i(k_x x + k_y y + k_z z)] \quad (1.35)$$

называется *комплексной амплитудой* и имеет тот же физический смысл, что и комплексная амплитуда колебаний. В отличие от последней  $\dot{E}_{0\omega}$  содержит теперь множитель, определяющий зависимость фазы волны от пространственных координат:  $\exp [i(k_x x + k_y y + k_z z)]$ , причем

$$k_x^2 + k_y^2 + k_z^2 = \frac{4\pi^2}{\lambda^2}. \quad (1.36)$$

Соотношение (1.36) показывает, что для плоской волны значения проекции вектора  $\vec{k}$  на оси координат не являются независимыми друг от друга. Если две проекции заданы условиями эксперимента, например прозрачностью экрана, стоящего на пути света, то значение третьей проекции будет вполне определенным. Например, если заданы  $k_x$  и  $k_y$ , то

$$k_z = \sqrt{k^2 - k_x^2 - k_y^2}. \quad (1.37)$$

С учетом (1.37) и (1.34) можно написать:



$$\dot{E}_{0\omega} = E_{0\omega} \exp(i\varphi_0) \exp\left[i\left(\sqrt{k^2 - k_x^2 - k_y^2}z\right)\right] \exp[i(k_x x + k_y y)]. \quad (1.38)$$

Волновое поле оптического излучения можно всегда представить как сумму бесконечного числа плоских волн различных частот с комплексными амплитудами, задаваемыми (1.38). Временная зависимость этих полей характеризуется быстрым изменением  $E$  во времени с частотой  $10^{14} \dots 10^{15}$  Гц. Как отмечалось ранее, любой приемник оптического излучения не может измерить  $E(r, t)$  мгновенно, так как каждый из них реагирует на число фотонов, достигающих чувствительной площадки приемника за некоторое конечное время  $\tau$ , характерное для данного приемника. По этой причине невозможно прямым способом, помещая оптический приемник в некоторую область электромагнитного поля, измерить там его амплитуду и фазу. Приемник света будет регистрировать интенсивность поля, усредненную во времени. Для математического описания процесса регистрации оптического поля удобно воспользоваться комплексным представлением этого поля, например (1.34). С помощью комплексной функции  $\dot{E}(r, t)$  легко определить среднюю интенсивность излучения за период колебаний оптического излучения:

$$I(r, t) \approx \dot{E}\dot{E}^* = |\dot{E}|^2 = \frac{1}{2}E_{0\omega}^2. \quad (1.39)$$

Интенсивность излучения, усредненная по времени с учетом инерционных свойств приемника, будет соответствовать его отклику на электромагнитное поле:

$$I(r) = \langle I(r, t) \rangle = \frac{1}{\tau} \int_0^{\tau} \dot{E}\dot{E}^* dt. \quad (1.40)$$

Угловые скобки  $\langle \rangle$  означают здесь операцию усреднения по времени. Заметим, что приемники радиодиапазона (в частности, сантиметровых волн), широко используемые в лекционных демонстрациях по оптике, позволяют определять мгновенные значения напряженности электрического поля (амплитуду и фазу).

## 1.8. ЭНЕРГЕТИЧЕСКИЕ ФОТОМЕТРИЧЕСКИЕ ВЕЛИЧИНЫ

Из сказанного выше ясно, какую большую роль играют энергетические характеристики оптических полей, в частности пере-

носимая волной средняя мощность, так как эта величина доступна экспериментальному измерению. Раздел оптики, изучающий энергетические характеристики света, называется *фотометрией* (от греческих слов *photos* – свет и *metreo* – измеряю).

Представим себе, что на пути квазимонохроматического света перпендикулярно к направлению его распространения помещен приемник света с площадью поверхности  $dS$ . Свет, поступающий на вход фотоприемника, вызовет появление фототока  $i$ , равного

$$i = \eta \frac{edW}{h\nu dt}, \quad (1.41)$$

где  $dW$  – энергия излучения, приходящая за время  $dt$ ,  $\eta$  – квантовый выход фотопроцесса (число носителей заряда, освобождаемых одним фотоном),  $e$  – заряд электрона,  $h$  – постоянная Планка,  $\nu$  – частота света.

Величина  $d\Phi_e$ , определяемая отношением энергии, переносимой излучением, ко времени излучения, называется *поток излучения*:

$$d\Phi_e = \frac{dW}{dt}. \quad (1.42)$$

Единицей потока излучения в СИ является единица мощности – ватт.

Полный поток излучения через замкнутую поверхность, охватывающую источник света,  $\Phi_e = \int_S d\Phi_e$ , не может быть увеличен никакими оптическими системами – возможно лишь перераспределение его, обычно сопровождающееся потерями на нагревание этих систем.

Казалось бы, экспериментальное определение значения потока излучения не представляет большой проблемы. В соответствии с (1.41) измерения  $d\Phi_e$  сводятся к измерению фототока для приемника с известным квантовым выходом. Однако на практике определение  $d\Phi_e$  – не простая задача. Дело в том, что выражение (1.41) служит, как правило, для измерения  $\eta$  как функции длины волны или частоты света. При этом поток должен быть известен. Определение потока производится с помощью калиброванного неселективного приемника, например болометра. Калибровка же его, т.е. определение коэффициента пропорциональности между энергией, поступающей на его поглощающую поверхность, и реакцией на падающее излучение (например, увеличение температуры), производится при облучении поверхности приемника известной энергией, излучаемой, например, физической моделью абсолютно

черного тела, находящейся при некоторой температуре  $T$ . При помощи калиброванного болометра можно определить энергию излучения  $dW$  и по ней поток излучения в некотором спектральном диапазоне между длинами волн  $\lambda$  и  $\lambda + d\lambda$ . Изменяя с помощью монохроматора (прибора, позволяющего из падающего на его вход белого света выделять небольшой спектральный участок квазимонохроматического излучения) спектр излучения, падающего на приемник, и каждый раз измеряя поток этого излучения с помощью неселективного приемника, можно измерить спектральную зависимость чувствительности любого селективного приемника.

Постараемся понять, чем определяется поток излучения. Ограничимся рассмотрением некогерентного источника света. Для определенности будем считать, что источник имеет излучающую поверхность площадью  $dS$ , а приемник света – поверхность площадью  $dS'$ . Расположение источника и приемника света поясняет рис. 1.9. Система координат  $XYZ$  связана с поверхностью источника так, что направление оси  $OZ$  совпадает с направлением внешней нормали, а сам источник расположен в плоскости  $XOY$ . Начало координат находится в произвольной точке на поверхности  $dS$ . Система координат  $X'Y'Z'$  связана с поверхностью приемника аналогичным образом.

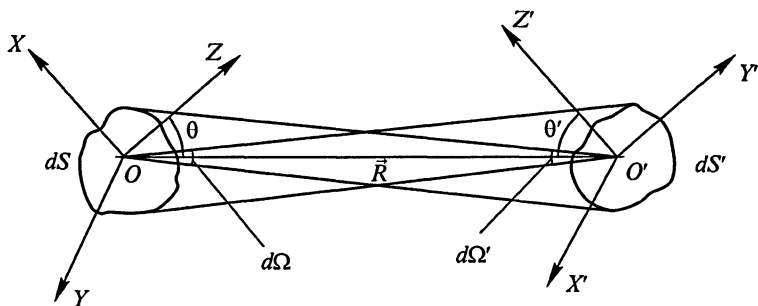


Рис. 1.9

Согласно (1.12) поток излучения в некотором направлении, определяемом углом  $\theta$ , пропорционален  $dS \cos \theta$  – значению видимой площади излучателя вдоль направления излучения. Поток  $d\Phi_e$ , излучаемый источником света в таком малом телесном угле  $d\Omega$  вдоль направления  $\theta$ , что значение  $\cos \theta$  можно считать постоянным в пределах  $d\Omega$ , будет пропорционален значению  $d\Omega$ . Линия, вдоль которой распространяется поток излучения, является *лучом света*.

Таким образом, можно записать:

$$d\Phi_e = L_e dS d\Omega \cos \theta, \quad (1.43)$$

где  $d\Omega$  – элемент телесного угла вдоль направления излучателя,  $\theta$  – угол между нормалью к поверхности излучателя и направлением излучения света, задаваемым радиусом-вектором  $\vec{R}$ ,  $L_e$  – энергетическая яркость излучения.

Как следует из (1.43),

$$L_e = \frac{d\Phi_e}{\cos \theta dS d\Omega}. \quad (1.44)$$

Величина, определяемая отношением потока излучения  $d\Phi_e$ , распространяющегося от источника излучения внутри малого телесного угла  $d\Omega$ , содержащего рассматриваемое направление, к этому телесному углу, называется *силой излучения*  $I_e$ :

$$I_e = \frac{d\Phi}{d\Omega}. \quad (1.45)$$

Единица силы излучения в СИ – 1 Вт/ср.

С учетом силы излучения энергетическую яркость можно определить так:

*Энергетическая яркость* – величина, определяемая отношением силы излучения плоской излучающей поверхности к площади поверхности при перпендикулярном направлении излучения:

$$L_e = \frac{I_e}{dS}. \quad (1.46)$$

Единицей энергетической яркости является 1 Вт/(м<sup>2</sup>·ср).

Из (1.43) и (1.45) следует, что

$$I_e = L_e \cos \theta dS. \quad (1.47)$$

Если яркость не зависит от направления излучения, то значение  $I_e$  пропорционально  $\cos \theta$ . Такие источники называются *косинусоидальными*, или *ламбертовскими* по имени немецкого физика Ламберта (1728–1777), изучавшего вопросы фотометрии.

Величина, равная отношению потока  $d\Phi_e$ , исходящего от малого участка поверхности, к площади  $dS$  этой поверхности, называется *энергетической светимостью*  $M_e$ :

$$M_e = \frac{d\Phi_e}{dS}. \quad (1.48)$$

Единица энергетической светимости – 1 Вт/м<sup>2</sup>.

Из (1.43) имеем

$$\frac{d\Phi_e}{dS} = L_e \cos \theta d\Omega \quad (1.49)$$

(излучение происходит в направлении  $\theta$ ).

Используя сферические координаты, выразим элемент телесного угла  $d\Omega$  через долготу  $\varphi$  и дополнение широты  $\theta$ :

$$d\Omega = \sin \theta d\theta d\varphi$$

и подставим это выражение в (1.49).

Интегрируя полученное выражение по  $\varphi$  от 0 до  $2\pi$  и по  $\theta$  от 0 до  $\frac{\pi}{2}$ , для ламбертовских источников получим энергетическую светимость:

$$M_e = L_e \int_0^{2\pi} d\varphi \int_0^{\frac{\pi}{2}} \cos \theta \sin \theta d\theta = \pi L_e. \quad (1.50)$$

Из рис. 1.9 видно, что поток излучения  $d\Phi'_e$ , достигающий поверхности приемника, равен:

$$d\Phi'_e = L_e \cos \theta dS \frac{dS' \cos \theta'}{R^2}, \quad (1.51)$$

или

$$d\Phi'_e = L_e dS' \cos \theta' d\Omega'. \quad (1.52)$$

Из (1.52) видно, что энергетическую яркость  $L_e$  можно определить, измерив поток  $d\Phi'$  приемником, если значения видимой по направлению  $\theta'$  площади приемника  $dS'$  и телесного угла  $d\Omega'$ , под которым источник света виден из места расположения приемника, известны.

Отношение потока  $d\Phi'_e$ , падающего на приемник, к площади  $dS'$  поверхности называется *облученностью* поверхности  $E_e$ :

$$E_e = \frac{d\Phi'_e}{dS'}. \quad (1.53)$$

Единица облученности есть 1 Вт/м<sup>2</sup>.

Если поверхность приемника освещается точечным источником, то из (1.53) с учетом (1.47) и (1.51) можно получить, что облученность в этом случае равна:

$$E_e = \frac{I_e \cos \theta'}{R^2}. \quad (1.54)$$

Облученность, создаваемая Солнцем на поверхности Земли в ясный полдень, составляет  $1 \text{ кВт/м}^2$ , причем более двух третей солнечной энергии приходится на видимый свет. Облученность поверхности стола стоваттной электрической лампочкой, находящейся на расстоянии  $1 \text{ м}$ , составляет около  $1 \text{ Вт/м}^2$ . Этого вполне достаточно, чтобы питать микрокалькулятор с солнечной батареей площадью порядка  $1 \text{ см}^2$ .

## 1.9. СВЕТОВЫЕ ВЕЛИЧИНЫ. ЭЛЕМЕНТЫ ФОТОМЕТРИИ

Энергетические характеристики оптического излучения оказываются малопригодными для описания восприятия света человеческим глазом. Это связано с двумя обстоятельствами. Во-первых, чувствительность глаза к одинаковым потокам излучения с разной длиной волны неодинакова. Как уже отмечалось, глаз относится к селективным приемникам. Во-вторых, с помощью глаза наблюдатель не может установить абсолютное значение потока излучения, а может только определить равенство облученностей двух областей поля зрения, освещенных светом одинаковой частоты. Для проведения таких сравнительных экспериментов применяют фотометр, простейшая схема которого приведена на рис. 1.10. Потоки излучения от точечных источников  $S_1$  и  $S_2$  отражаются (или рассеиваются) гранями призмы и попадают на соседние участки поля зрения. Изменяя расстояния  $\rho_1$  и  $\rho_2$  до источников, можно уравнивать облученности. Тогда будут справедливы следующие соотношения:

$$E_{e1} = \frac{I_{e1} \cos \alpha}{\rho_1^2} = \frac{I_{e2} \cos \alpha}{\rho_2^2} = E_{e2}, \quad \frac{I_{e1}}{I_{e2}} = \left( \frac{\rho_1}{\rho_2} \right)^2.$$

Если один из источников эталонный, то отсюда можно найти силу излучения другого источника.

Многочисленные остроумные видоизменения фотометрических приборов служат для повышения точности измерений, но не отличаются принципиально от рассмотренной выше простой схемы.

Фотометрические измерения, выполненные с помощью многих наблюдателей и с применением откалиброванных физических приемников света, показали, что чувствительность глаза сильно

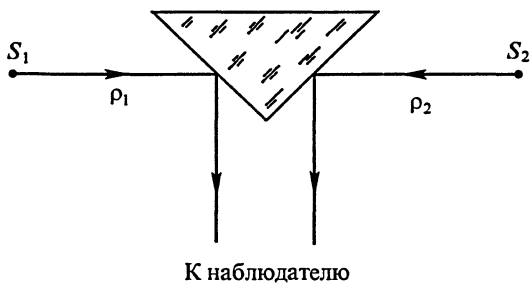


Рис. 1.10

меняется в зависимости от длины волны (или частоты) воспринимаемого света и, конечно, от наблюдателя. Чтобы исключить субъективный фактор, провели усреднение результатов многих экспериментов, проделанных разными наблюдателями. В итоге удалось получить относительную спектральную характеристику так называемого «среднего» глаза, *кривую видности* для глаза.

Одна из методик экспериментального построения кривой видности состоит в следующем.

Если при фотометрировании использовать источники  $S_1$  и  $S_2$  с разными, но близкими длинами волн, то глаз в состоянии установить в этом случае равенство облученностей частей фотометрического поля. Потоки излучения от источников  $S_1$  и  $S_2$  измеряются при помощи калиброванных приемников света. Изменяя длину волны, можно установить чувствительность глаза во всем видимом диапазоне оптического излучения. Нужно только помнить, что эти измерения имеют смысл при таких уровнях облученности, при которых у человека работает дневное зрение. При малых уровнях облученности глаза человек не различает цветов, т.е. световая эффективность потока излучения мала. Измерения показали, что глаз обладает максимальной чувствительностью к зеленому свету с длиной волны 0,555 мкм (максимальная световая эффективность лежит в зеленой области спектра). Чувствительность глаза к зеленому свету с этой длиной волны принимается равной единице, а к свету с другими длинами волн выражается в долях этой чувствительности. Зависимость относительной спектральной эффективности от длины волны света или частоты называется *кривой видности*. График кривой видности приведен на рис. 1.11. По графику можно установить, что зеленый свет вызовет совершенно иное зрительное ощущение, чем красный свет, а зрительного ощущения от инфракрасного света нет вообще. Целесообразно поэтому кроме энергетических фотометрических величин ввести такие величины, которые учитывали бы специфику светового

восприятия глаза как селективного приемника излучения. Их называют световыми.

За основную световую величину принимается *сила света*. Единицей силы света является кандела (кд). Кандела определяется как сила света источника, испускающего в заданном направлении монохроматическое излучение частотой  $5,4 \cdot 10^{14}$  Гц, сила излучения которого в этом направлении составляет  $1/683$  Вт/ср.

К производным световым величинам относятся световой поток, освещенность, яркость, светимость.

*Световой поток*  $d\Phi_v$  источника силой  $I_v$  в элементарном телесном угле  $d\Omega$  составляет

$$d\Phi_v = I_v d\Omega. \quad (1.55)$$

Единица светового потока –  $1$  кд·ср; она называется люменом.

Освещенность  $E_v$  определяется отношением светового потока  $d\Phi_v$ , падающего на элемент поверхности, к площади  $dS$  этого элемента:

$$E_v = \frac{d\Phi_v}{dS}. \quad (1.56)$$

Единица освещенности –  $1$  лм/м<sup>2</sup>; она называется люксом.

*Яркостью*  $L_v$  светящейся поверхности называется величина, равная отношению силы света  $I_v$  к площади  $dS$  элемента светящейся поверхности:

$$L_v = \frac{I_v}{dS}. \quad (1.57)$$

Единицей яркости является  $1$  кд/м<sup>2</sup>.

*Светимость*  $M_v$  определяется отношением светового потока  $d\Phi_v$  к площади  $dS$  элемента поверхности, испускающего световой поток:

$$M_v = \frac{d\Phi_v}{dS}. \quad (1.58)$$

Единицей светимости является  $1$  лм/м<sup>2</sup>.

Солнце в летнее время создает на поверхности Земли прямыми лучами освещенность  $\approx 10^5$  лк. Яркость поверхности Солнца в зените (видимой на земной поверхности) достигает  $1,5 \cdot 10^9$  кд/м<sup>2</sup>, яркость поверхности Луны в миллион раз меньше.

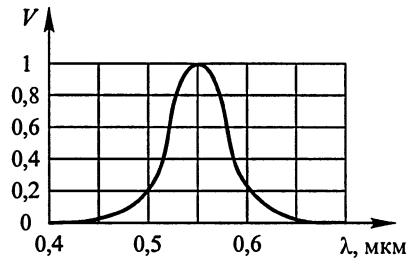


Рис. 1.11



Отношение светового потока  $\Phi_v$  к потоку излучения  $\Phi_e$  называется *световой эффективностью потока излучения K*:

$$K = \frac{\Phi_v}{\Phi_e}. \quad (1.59)$$

Единица световой эффективности – 1 лм/Вт.

Люмен на ватт равен световой эффективности, при которой потоку излучения 1 Вт соответствует световой поток 1 лм.

Максимальная световая эффективность  $K_m$  лежит в зеленой области спектра при длине волны  $\lambda = 555$  нм и равна 683 лм/Вт при различных значениях спектральной световой эффективности на отдельных участках спектра.

Отношение спектральной световой эффективности (для данной длины волны) к максимальной световой эффективности называют *относительной спектральной световой эффективностью V*:

$$V(\lambda) = \frac{K(\lambda)}{K_m}. \quad (1.60)$$

График на рис. 1.11 как раз и выражает зависимость относительной спектральной световой эффективности от длины волны.

## Глава 2

### ИНТЕРФЕРЕНЦИЯ СВЕТА

#### 2.1. СЛОЖЕНИЕ СВЕТОВЫХ ВОЛН. ИНТЕРФЕРЕНЦИЯ СВЕТА

Наблюдая отражение белого света от тонких прозрачных пленок, можно заметить, что их поверхности имеют характерную радужную окраску. При изменении положения наблюдателя переливаются всеми цветами радуги освещенные поверхности мыльного пузыря, пятна машинного масла на асфальте, объективы современных фотоаппаратов, теле- и кинокамер, покрытые тонкими, просветляющими диэлектрическими пленками. Подобная картина может наблюдаться не только на поверхности пленок, но и в пространстве около отражающих поверхностей. Немецкий физик Р.Поля предложил для наблюдения интерференции света использовать тонкую слюдяную пластинку (пластинку Поля). Если осветить узким пучком света от ртутной лампы пластинку Поля (угол падения лучей должен быть невелик) и перемещать плоский экран приблизительно вдоль оси, соединяющей мнимые изображения лампы, получающиеся при отражении света от передней и задней сторон пластинки, то на экране получатся цветные дуги, радиус которых растет при удалении экрана от пластинки. Это неравномерное освещение экрана представляет собой интерференционную картину, возникающую при делении амплитуды световой волны в процессе отражения последней от пленки. Такое же «деление амплитуды» происходит и в описанных выше явлениях.

Другой способ получения интерференционной картины – путем «деления фронта волны» – поясняется рис. 2.1. На пути светового пучка от гелий-неонового лазера располагается поперечный экран с двумя близкими (доли миллиметра) узкими (сотые доли миллиметра) щелями, выделяющими на волновом фронте два близких щелевых источника света. На другом экране, удаленном от первого на несколько метров, видны чередующиеся черные и красные полосы в области перекрытия лучей, идущих от каждого из отверстий.

Явление, возникающее при сложении световых волн в пространстве и состоящее в том, что интенсивность результирующей световой волны в различных точках может быть больше или меньше суммы их интенсивностей, называется *интерференцией света* (от латинского *inter* – взаимно, между собой, *ferio* – ударяю, поражаю).

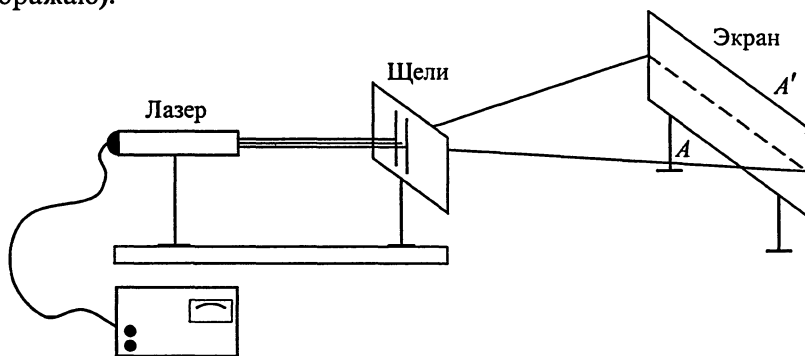


Рис. 2.1

Для анализа явления интерференции рассмотрим два точечных источника  $S_1, S_2$  (рис. 2.2), создающих сферические волны. Допустим, что направления электрических векторов совпадают, так что можно рассматривать скалярные волны. Пусть источники имеют одинаковую центральную частоту  $\omega$  и постоянную разность начальных фаз (для сокращения записи она дальше принята равной нулю). Такие источники называют *когерентными*. Примем, что амплитуды колебаний, создаваемых источниками на равных расстояниях, одинаковы. Расстояние между источниками обозначим  $2c = 2M\lambda$ , где  $\lambda$  – длина волны,  $M$  – целое число (порядка сотен). Тогда поля, создаваемые в некоторой точке  $A$ , описываются уравнениями

$$E_1 = E \cos(\omega t - \vec{k} \cdot \vec{r}_1), \quad E_2 = E \cos(\omega t - \vec{k} \cdot \vec{r}_2),$$

где  $r_1$  и  $r_2$  – расстояния от источников до рассматриваемой точки,  $k = \frac{2\pi}{\lambda}$ . Так как разность хода лучей  $\Delta = r_1 - r_2$  гораздо меньше, чем  $r_1$  или  $r_2$  (эти расстояния имеют в опыте порядок метров), то амплитуды обеих волн в точке наблюдения приняты равными. Суммарная напряженность поля в точке  $A$  равна:

$$E_A = E_1 + E_2 = 2E \cos\left(k \frac{\Delta}{2}\right) \cos\left(\omega t - k \frac{r_1 + r_2}{2}\right) =$$

$$= 2E \cos\left(\pi \frac{\Delta}{\lambda}\right) \cos\left(\omega t - k \frac{r_1 + r_2}{2}\right).$$

Так как все оптические приемники регистрируют среднюю во времени интенсивность  $I_A \sim E_A^2$ , то в точке  $A$  получим:

$$I_A = 4I \cos^2\left(\pi \frac{\Delta}{\lambda}\right),$$

где  $I$  – интенсивность, которую создал бы один источник. В зависимости от значения разности хода  $\Delta$  в различных точках будут получаться различные интенсивности (от нуля до  $4I$ ).

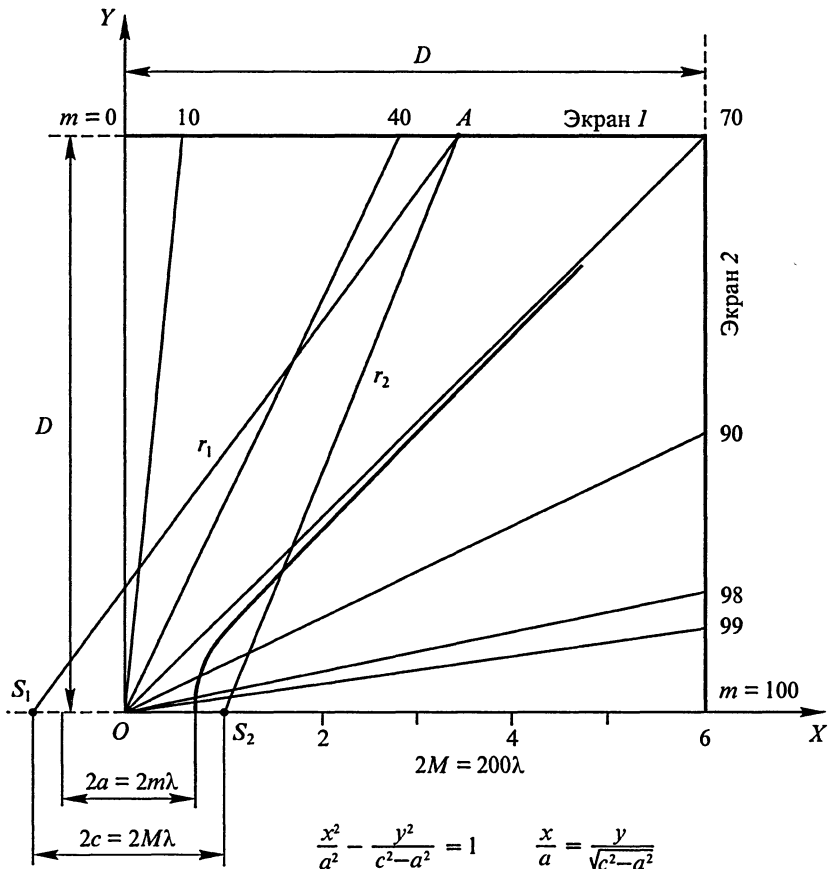


Рис. 2.2

На рис. 2.2 точки, соответствующие постоянной разности хода  $\Delta = 2m\lambda$ , располагаются на гиперболе. Но точечные источники равномерно излучают во все стороны. Поэтому пространственная картина интерференции обладает круговой симметрией относительно оси  $X$ , содержащей источники, а поверхности, содержащие точки с постоянной  $\Delta$ , являются гиперboloидами вращения. На экране 1, расположенном в плоскости  $y = D$ , получится семейство гипербол. На экране 2, расположенном в плоскости  $x = D$ , получатся окружности. Рассмотрим подробнее интерференционное поле в плоскости чертежа. Пусть координаты источников  $x = \pm c$ ; разность хода  $\Delta = 2m\lambda$  имеют точки, расположенные на гиперболе:

$$\frac{x^2}{a^2} - \frac{y^2}{c^2 - a^2} = 1.$$

Так как расстояние  $D$  до экранов 1 и 2 всегда много больше, чем  $\Delta$ , то вместо гиперболы можно рассматривать ее асимптоту, описываемую уравнением

$$\frac{x}{a} = \frac{y}{\sqrt{c^2 - a^2}}, \quad \text{или} \quad \frac{x}{m} = \frac{y}{\sqrt{M^2 - m^2}}.$$

При этом оси ординат соответствует  $m = 0$ , оси абсцисс – наибольшая разность хода ( $m = M$ ).

Найдем абсциссы первых максимумов, наблюдаемых на экране 1 ( $m \leq 5$ ); примем  $M = 100$ :

$$x = D \frac{m}{\sqrt{M^2 - m^2}} \approx D \frac{m}{M}.$$

Легко видеть, что на экране 1 уложится  $m = 0,71 M$  максимумов, расстояния между которыми постепенно растут с увеличением значения  $m$ .

На экране 2 будут наблюдаться интерференционные кольца с радиусами  $y = D \frac{\sqrt{M^2 - m^2}}{m}$ . Число их равно  $0,29 M$ .

Сравним теперь абсциссу первого ( $m = 1$ ) максимума  $x_1 = \frac{D}{M}$  с ординатой последнего ( $m = M - 1$ )  $y_1 = \frac{D}{M} \sqrt{2M}$ .

При  $M = 100$  получим:  $\frac{y}{x} = 14$ , т.е. наблюдение вдоль оси источников (экран 2) гораздо удобнее, чем в перпендикулярном направлении. Именно это направление и было выбрано Ньютоном, очень точно измерившим радиусы колец, но не зная причин их возникновения. Отметим, что классические опыты основателей теории интерференции Юнга, Френеля и других велись на экране 1, где наблюдение картины интерференции гораздо труднее из-за малых расстояний между соседними максимумами.

## 2.2. КОГЕРЕНТНОСТЬ

Предположим, что в точках  $S_1$  и  $S_2$  (рис. 2.3) расположены два точечных источника квазимонохроматического излучения с центральной частотой  $\nu_0$ , которой соответствует циклическая частота  $\omega_0$ . Амплитуды напряженностей для излучателей положим равными  $E_{01}$  и  $E_{02}$ , начальные фазы —  $\varphi_1(t)$  и  $\varphi_2(t)$  соответственно. Тогда выражения для колебаний  $\vec{E}_1(t)$  и  $\vec{E}_2(t)$  в точках  $S_1$  и  $S_2$  таковы:

$$\begin{aligned} \vec{E}_1(t) &= \vec{E}_{10}(t) \cos [\omega_0 t + \varphi_1(t)], \\ \vec{E}_2(t) &= \vec{E}_{20}(t) \cos [\omega_0 t + \varphi_2(t)]. \end{aligned} \quad (2.1)$$

В случае квазимонохроматического излучения амплитуда и фаза изменяются со временем значительно медленнее, чем  $\cos \omega_0 t$ . Колебания в точке  $A$  повторяют колебания в точках  $S_1$  и  $S_2$ , но из-за конечной скорости распространения света поле от источника  $S_1$  в точке  $A$  в некоторый момент времени  $t$  будет таким же, каким оно было в точке  $S_1$  в момент времени  $\left(t - \frac{r_1}{c}\right)$ , а поле в точке  $A$  от

$S_2$  таким, каким оно было в  $S_2$  в момент времени  $\left(t - \frac{r_2}{c}\right)$ . В таком

случае говорят, что колебания в точке наблюдения  $A$  происходят с задержкой по отношению к колебаниям в точках

$S_1$  и  $S_2$ . Времена задержки  $\tau_1 = \frac{r_1}{c}$  и

$\tau_2 = \frac{r_2}{c}$  зависят от расстояний  $r_1$  и  $r_2$  и скорости распространения света  $c$ .

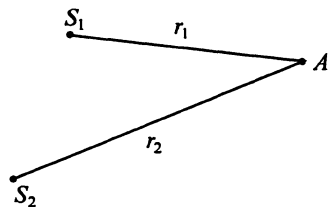


Рис. 2.3

В процессе распространения света в свободном пространстве изменяется также амплитуда колебаний, приходящих в точку  $A$ . Однако чтобы не перегружать математические выкладки излишними обозначениями, это изменение мы не будем учитывать.

С учетом сказанного колебания в точке  $A$  от источников  $S_1$  и  $S_2$  можно выразить следующим образом:

$$\begin{aligned}\vec{E}_{1A}(t) &= \vec{E}_{10}(t - \tau_1) \cos \left[ \omega_0 \left( t - \frac{r_1}{c} \right) + \varphi_1(t - \tau_1) \right] = \\ &= \vec{E}_{10}(t - \tau_1) \cos [\omega_0 t - kr_1 + \varphi_1(t - \tau_1)]; \\ \vec{E}_{2A}(t) &= \vec{E}_{20}(t - \tau_2) \cos \left[ \omega_0 \left( t - \frac{r_2}{c} \right) + \varphi_2(t - \tau_2) \right] = \\ &= \vec{E}_{20}(t - \tau_2) \cos [\omega_0 t - kr_2 + \varphi_2(t - \tau_2)], \quad \text{где } k = \frac{\omega_0}{c} = \frac{2\pi}{\lambda}.\end{aligned}\tag{2.2}$$

Будем снова считать, что эти колебания происходят по одному направлению, тогда при дальнейших рассуждениях векторный характер полей можно не учитывать и выражения (2.2) рассматривать как скалярные. Для определения реакции на излучение оптического приемника в точке наблюдения  $A$  удобно использовать запись для полей в комплексной форме. Имея в виду (2.2), комплексные выражения для  $\dot{E}_{1A}$  и  $\dot{E}_{2A}$  можно записать следующим образом:

$$\begin{aligned}\dot{E}_{1A} &= E_{10}(t - \tau_1) \exp i[\omega_0 t - kr_1 + \varphi_1(t - \tau_1)], \\ \dot{E}_{2A} &= E_{20}(t - \tau_2) \exp i[\omega_0 t - kr_2 + \varphi_2(t - \tau_2)].\end{aligned}\tag{2.3}$$

Напряженность электрического поля  $\dot{E}_A(t)$  в точке  $A$  в силу принципа суперпозиции будет равна сумме напряженностей  $\dot{E}_{1A}(t)$  и  $\dot{E}_{2A}(t)$  полей, или:

$$\begin{aligned}\dot{E}_A(t) &= \dot{E}_{1A} + \dot{E}_{2A} = E_{10}(t - \tau_1) \exp i[\omega_0 t - kr_1 + \varphi_1(t - \tau_1)] + \\ &+ E_{20}(t - \tau_2) \exp i[\omega_0 t - kr_2 + \varphi_2(t - \tau_2)].\end{aligned}\tag{2.4}$$

Оптический приемник, расположенный в точке  $A$ , будет регистрировать среднюю интенсивность поля  $I_A$ .

В соответствии с (1.40) и учитывая (2.4) запишем выражение для  $I_A$ :

$$I_A = \langle |\dot{E}_A| \rangle = \langle (\dot{E}_{1A} + \dot{E}_{2A})(\dot{E}_{1A}^* + \dot{E}_{2A}^*) \rangle =$$

$$\begin{aligned}
&= \langle |\dot{E}_{1A}|^2 \rangle + \langle |\dot{E}_{2A}|^2 \rangle + \langle (\dot{E}_{1A}\dot{E}_{2A}^* + \dot{E}_{1A}^*\dot{E}_{2A}) \rangle = \\
&= I_{1A} + I_{2A} + 2 \operatorname{Re} \langle \dot{E}_{1A}\dot{E}_{2A}^* \rangle,
\end{aligned} \quad (2.5)$$

где  $I_{1A}$  – интенсивность света, создаваемая в точке  $A$  источником  $S_1$ ;  $I_{2A}$  – интенсивность света, создаваемая в точке  $A$  источником  $S_2$ . Для квазимонохроматических источников выражение (2.5) можно переписать следующим образом:

$$\begin{aligned}
I_A &= I_{1A} + I_{2A} + 2 \langle E_{10}(t - \tau_1) E_{20}(t - \tau_2) \times \\
&\times \cos[k(r_1 - r_2) + \varphi_2(t - \tau_2) - \varphi_1(t - \tau_1)] \rangle.
\end{aligned} \quad (2.6)$$

Это выражение удобно представить в виде формулы для квадрата результирующей амплитуды двух гармонических колебаний, происходящих вдоль одной прямой (см. «Механику», § 1.24):

$$E_A^2 = E_{1A}^2 + E_{2A}^2 + 2E_{1A}E_{2A} \cos(\Delta\varphi), \quad (2.7)$$

а именно:

$$\begin{aligned}
I_A &= I_{1A} + I_{2A} + \\
&+ 2\sqrt{I_{1A}I_{2A}} \frac{\langle E_{10}(t - \tau_1) E_{20}(t - \tau_2) \cos[k(r_1 - r_2) + (\varphi_2 - \varphi_1)] \rangle}{\sqrt{I_{1A}I_{2A}}}.
\end{aligned} \quad (2.8)$$

Полученное выражение описывает распределение интенсивности света в пространстве в результате сложения волн от двух точечных квазимонохроматических источников с одинаковыми центральными частотами.

Сравнивая выражения (2.7) и (2.8), можно заметить, что они подобны друг другу. Физически усреднение осуществляется приемником за время  $\Delta t_n$  (см. § 1.6).

Рассмотрим два предельных случая, имеющих большое значение для анализа явлений суперпозиции световых колебаний.

В первом случае будем считать, что амплитуды и начальные фазы меняются так медленно, что за время наблюдения  $E_{10}$  и  $E_{20}$  практически не меняются, а разность фаз  $(\varphi_2 - \varphi_1)$  остается постоянной. Выражение (2.8) переходит в (2.7). Интенсивность света  $I_A$  в этом случае равна:

$$I_A = I_{1A} + I_{2A} + 2\sqrt{I_{1A}I_{2A}} \cos[k(r_1 - r_2) + (\varphi_2 - \varphi_1)]. \quad (2.9)$$

Имеет место явление интерференции.



Если положить  $I_{1A} = I_{2A} = I_0$  и  $\varphi_2 - \varphi_1 = 0$ , то

$$I_A = 2I_0(1 + \cos k\Delta r), \quad (2.10)$$

где  $\Delta r = r_1 - r_2$ .

Как видно из (2.9) и (2.10), интенсивность в произвольной точке  $A$  зависит от разности фаз складываемых полей.

Если

$$\Delta r = 2m \frac{\lambda}{2}, \quad \text{или} \quad k\Delta r = 2\pi m, \quad (2.11)$$

то интенсивность максимальна и превышает  $I_0$  в четыре раза; если

$$\Delta r = (2m - 1) \frac{\lambda}{2}, \quad \text{или} \quad k\Delta r = (2m - 1)\pi, \quad (2.12)$$

то интенсивность обращается в нуль. В этом случае поля в точке  $A$  от источников  $S_1$  и  $S_2$  называются *когерентными* (от лат. *cohaerens* – находящийся в связи), и источники  $S_1$  и  $S_2$  также называются *когерентными*, т.е. колебания от них изменяются со временем согласованно друг с другом.

Выражения (2.9) – (2.12) подтверждают, что интерференционная картина от двух точечных когерентных источников света представляет собой совокупность максимумов и минимумов интенсивности света, располагающихся на поверхностях гиперболоидов вращения, фокусы которых совпадают с источниками света.

Далее рассмотрим такие источники, для которых амплитуда колебаний остается постоянной за время  $\Delta t_{\text{п}}$ , а разность фаз  $\varphi_2 - \varphi_1$  меняется за время усреднения большое число раз. Среднее значение косинуса в этом случае, очевидно, равно 0, а результирующая интенсивность  $I_A$  равна сумме интенсивностей  $I_{1A}$  и  $I_{2A}$ :

$$I_A = I_{1A} + I_{2A}. \quad (2.13)$$

Явление интерференции в этом случае не наблюдается, поля от источников  $S_1$  и  $S_2$  в точке  $A$  называются *некогерентными*, и говорят, что источники света  $S_1$  и  $S_2$  в этом случае *некогерентные*. Из данного выше определения ясно, что когерентность колебаний зависит не только от свойств источников света, но и от инерционных свойств приемника. От одних и тех же источников света приемниками с разной инерционностью можно наблюдать, а можно и не наблюдать, интерференционную картину, т.е. когерентность есть свойство суммы колебаний, наблюдаемых приемником с определенной инерционностью.

Интерференция в оптике имеет место только тогда, когда разность фаз складываемых колебаний не меняется за время  $\Delta t_{\text{п}}$ , оп-

ределяемое инерционностью приемника излучения. Это важное соображение легко подтвердить в модельном опыте с медленными колебаниями, допускающем регистрацию амплитуд и фазовых сдвигов. К первичной обмотке трансформатора (пригоден обычный школьный трансформатор) подключаются два звуковых генератора ЗГ (рис. 2.4). Они дают напряжения

$$u_1 = U \cos \omega t,$$

$$u_2 = U \cos [(\omega + 2\Delta\omega) t] = U \cos [\omega t + \varphi(t)],$$

где  $\varphi(t) = 2\Delta\omega t$  – периодически меняющаяся во времени начальная фаза.

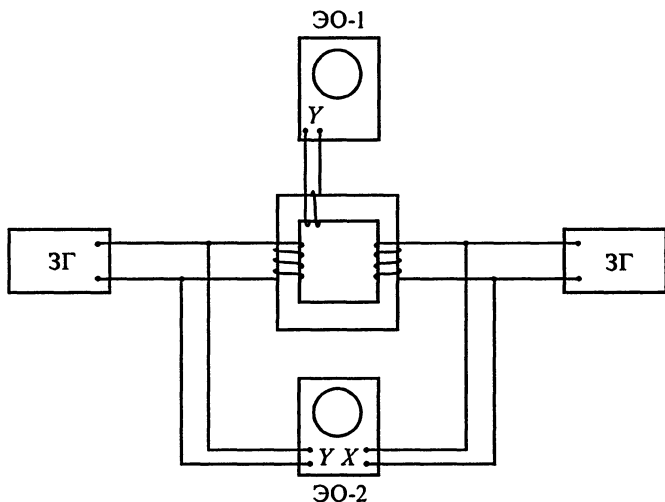


Рис. 2.4

Ко вторичной обмотке присоединяется электронный осциллограф ЭО-1 с выключенной временной разверткой. Отклонения его луча пропорциональны сумме напряжений:

$$u = u_1 + u_2 = U \cos \omega t + U \cos [\omega t + \varphi(t)] =$$

$$= 2U \cos (\Delta\omega t) \cos [\omega t + \Delta\omega t].$$

Если частота  $f = \frac{\omega}{2\pi}$  невелика (30–40 Гц) и  $\Delta f = 1-2$  Гц, то электронный луч регистрирует амплитуду, медленно меняющуюся со временем с частотой 1–2 Гц, т.е. наблюдается интерференция.

Кроме того, к генераторам подключаются входы X и Y осциллографа ЭО-2. Он регистрирует фигуру Лиссажу, непрерывно ме-

няющую свой вид в соответствии с изменениями фазового угла  $\Delta\omega t$ : прямая переходит в эллипс, снова в прямую и т. д. – наблюдается интерференция.

Если увеличить  $\Delta f$  до значения 5–7 Гц, то из-за инерции зрительного восприятия глаз увидит на экране ЭО-1 прямую постоянной длины, пропорциональной  $2U$ , – интерференция перестает наблюдаться. Но на экране ЭО-2 будут видны слегка искаженные быстроменяющиеся фигуры Лиссажу – интерференция наблюдается.

При дальнейшем увеличении  $\Delta f$  фигуры Лиссажу делаются неразборчивыми – интерференция перестает наблюдаться.

Как видно из выражения (2.10), средняя по пространственным координатам точки наблюдения интенсивность равна  $2I_0$ . Это означает, что при интерференции происходит перераспределение энергии в пространстве. Общая же энергия, поступающая от источников в окружающее пространство, как для некогерентного, так и для когерентного случая одинакова.

### 2.3. ОСНОВНЫЕ ПОНЯТИЯ ЭЛЕМЕНТАРНОЙ ТЕОРИИ КОГЕРЕНТНОСТИ

Из выражения (2.5) видно, что картина интерференции определяется третьим слагаемым в этой формуле, так называемым *интерференционным членом*, представляющим собой удвоенную реальную часть от усредненной по времени функции  $\langle \dot{E}_{1A} \dot{E}_{2A}^* \rangle$ . Эта функция в оптике названа *взаимной функцией когерентности* и обозначается буквой  $\dot{\Gamma}$ :

$$\dot{\Gamma}_{12} = \langle \dot{E}_{1A} \dot{E}_{2A}^* \rangle. \quad (2.14)$$

Функция  $\dot{\Gamma}_{12}$ , как видно из определения (2.14), зависит от положения источников излучения  $S_1$  и  $S_2$  и от задержек  $\tau_1$  и  $\tau_2$ . Используя взаимную функцию когерентности, выражение (2.8), определяющее интерференционную картину для двух квазимонохроматических источников, можно переписать следующим образом:

$$I_A = I_{1A} + I_{2A} + 2\sqrt{I_{1A}I_{2A}} \frac{|\dot{\Gamma}_{12}|}{\sqrt{I_{1A}I_{2A}}} \langle \cos[k\Delta r + (\varphi_2 - \varphi_1)] \rangle. \quad (2.15)$$

Отношение  $\frac{\dot{\Gamma}_{12}}{\sqrt{I_{1A}I_{2A}}} = \dot{\alpha}_{12}$  называется *комплексной степенью когерентности*, а  $\frac{|\Gamma_{12}|}{\sqrt{I_{1A}I_{2A}}} = \alpha_{12}$  – *степенью когерентности*.

Таким образом, формулу (2.15) в принятых обозначениях можно переписать в виде

$$I_A = I_{1A} + I_{2A} + 2\sqrt{I_{1A}I_{2A}} \alpha_{12} \langle \cos[k\Delta r + (\varphi_2 - \varphi_1)] \rangle. \quad (2.16)$$

Ценность таких понятий, как *взаимная функция когерентности*, *комплексная степень когерентности* и *степень когерентности*, заключается в том, что они в отличие от напряженности электрического или магнитного поля могут быть *экспериментально измерены* в оптическом диапазоне.

Убедимся в этом на примере определения степени когерентности по измерению интенсивности света в максимумах  $I_{\max}$  и минимумах  $I_{\min}$  интерференционной картины от двух квазимонохроматических источников света.

Как следует из (2.15),

$$\begin{aligned} I_{\max} &= I_{1A} + I_{2A} + 2\sqrt{I_{1A}I_{2A}} \alpha_{12}, \\ I_{\min} &= I_{1A} + I_{2A} - 2\sqrt{I_{1A}I_{2A}} \alpha_{12}. \end{aligned} \quad (2.17)$$

А. Майкельсон (1852–1931) предложил для экспериментально определения степени когерентности использовать так называемую *видность* интерференционных полос  $\gamma$ , равную

$$\gamma = \frac{I_{\max} - I_{\min}}{I_{\max} + I_{\min}}. \quad (2.18)$$

Подставляя (2.17) в выражение для  $\gamma$ , получим:

$$\gamma = \frac{2\sqrt{I_{1A}I_{2A}}}{I_{1A} + I_{2A}} \alpha_{12}. \quad (2.19)$$

Если  $I_{1A} = I_{2A}$ , то

$$\gamma = \alpha_{12}. \quad (2.20)$$

Таким образом, в этом случае степень когерентности просто равна видимости интерференционных полос.

Принято считать при  $\gamma = 1$  свет полностью когерентным, при  $\gamma = 0$  некогерентным, при  $0 < \gamma < 1$  частично когерентным.

## 2.4. ВРЕМЕННАЯ И ПРОСТРАНСТВЕННАЯ КОГЕРЕНТНОСТЬ

Взаимная функция когерентности так же полно описывает излучение, как и напряженности электрического и магнитного полей, с той лишь разницей, что последние не могут быть измерены в оптическом диапазоне, а величина  $\dot{\Gamma}_{12}$  доступна экспериментальному определению. Знание взаимной функции когерентности позволяет проводить количественное изучение когерентных свойств оптических полей, определять возможность наблюдения интерференции в том или ином конкретном опыте. Возникает вопрос: нельзя ли связать вид функции  $\dot{\Gamma}_{12}$  с такими известными параметрами источника света, как его размер, ширина полосы излучения, средняя длина волны излучения? Или для измерения  $\dot{\Gamma}_{12}$  мы каждый раз должны проводить уточняющие эксперименты по определению видности интерференционных полос? Оказывается, возможно определить свойства  $\dot{\Gamma}_{12}$ , зная отдельные характеристики источника света. Однако в общем виде такая зависимость достаточно сложна, и мы ограничимся рассмотрением оценочных соотношений. Выше уже отмечалось, что величина  $\dot{\Gamma}_{12}$  зависит как от расположения источников сравниваемых колебаний, так и от задержек  $\tau_1$  и  $\tau_2$ . При рассмотрении зависимости  $\dot{\Gamma}_{12}$  от этих переменных выделяют два предельных случая, особенно просто поддающихся описанию.

В первом случае рассматривают  $\dot{\Gamma}_{12}$  для точек поля, образованного источниками, у которых координаты одни и те же, т.е.  $r_1 = r_2$ , а задержки  $\tau_1$  и  $\tau_2$  разные. Можно сказать, что в этом случае сравниваются колебания от одного и того же источника, дошедшие до точки наблюдения различными путями. Согласованность суммируемых колебаний определяется колебаниями, излученными источником в разные моменты времени. Говорят, что  $\dot{\Gamma}_{11}(\tau_1, \tau_2)$  в этом случае определяет *временную когерентность* излучения.

Степень временной когерентности может быть измерена при помощи оптического интерферометра Майкельсона (рис. 2.5). Свет от источника  $S$  делится по амплитуде светоделительной пластинкой  $T$ , затем, распространяясь по разным оптическим путям, отражаясь от зеркал  $M_1$  и  $M_2$ , попадает на фотоприемник ФП. Изменение временной задержки  $\tau$  между интерферирующими пучками света достигается изменением положения одного из зеркал. По

Майкельсону, степень когерентности в этом случае определяется видностью  $\gamma$  интерференционных полос в плоскости наблюдения.

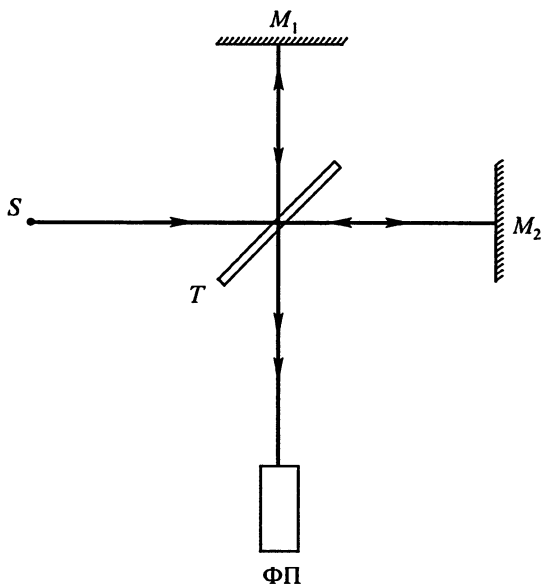


Рис. 2.5

Максимальная разность хода  $l_k$ , определяющая задержку пучков во времени на  $\tau_k = \frac{l_k}{c}$ , при которой еще наблюдается интерференция, называется *длиной когерентности*;  $\tau_k$  называется *временем когерентности*. Для квазимонохроматического света длина когерентности равна длине цуга волн, а время когерентности равно длительности цуга волн. Так как длительность цуга волн связана с шириной спектра излучения соотношением (1.29), то длина когерентности обратно пропорциональна ширине спектра излучения  $\Delta\nu$ . Всякий раз, когда разность хода интерферирующих колебаний изменяется на  $\lambda$ , на экране будет наблюдаться следующая полоса в картине интерференции. Максимальное число полос будет определяться длиной цуга, выраженной в длинах волн [см. выражение (1.30)]. Именно поэтому число  $m$  называется *порядком интерференции*.

Во втором случае рассматриваются  $\dot{\Gamma}_{12}$ , для которых источники колебаний имеют различные координаты, а задержки  $\tau_1$  и  $\tau_2$  одинаковы. Если источники расположены как на рис. 2.2, то фо-



Юнг Томас (1773–1829), английский физик, один из создателей волновой теории света. В 1801 г. первым объяснил интерференцию света. В 1802 г. впервые продемонстрировал интерференцию света от двух щелей, освещенных солнечным светом (опыт Юнга). В 1817 г. выдвинул гипотезу о поперечности световых волн. Исследовал деформацию сдвига, в 1807 г. ввел характеристику упругости – модуль упругости (модуль Юнга).

топриемник перемещается по оси ординат. Говорят, что в этом случае  $\tilde{\Gamma}_{12}(r_1, r_2, \tau_1 = \tau_2)$  определяет *пространственную когерентность* излучения.

Степень пространственной когерентности можно определить из опыта Юнга (рис. 2.6). Свет от источника  $S$  проходит через две щели  $S_1$  и  $S_2$  в экране, расположенном на некотором расстоянии  $r_0$  от источника. На расстоянии  $r'_0$  от экрана оптический приемник регистрирует сумму колебаний от  $S_1$  и  $S_2$ . При симметричном расположении  $S$  и фотоприемника относительно источников  $S_1$  и  $S_2$  результат интерференции будет зависеть только от разности фаз колебаний в точках поля, соответствующих расположению щелей. Видность интерференционных полос в этом случае определяет степень пространственной когерентности.

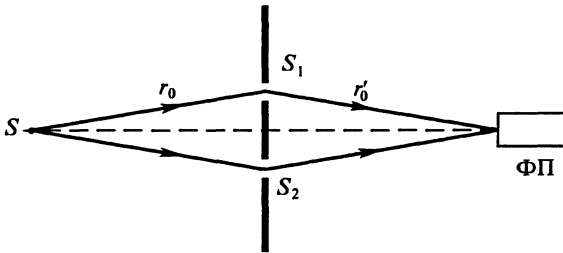


Рис. 2.6

Степень пространственной когерентности для оптического излучения от источника, состоящего из независимо излучающих атомов, зависит как от размеров источника света, так и от расстояния до него. Можно показать, что если источник имеет форму диска радиусом  $a$ , то на расстоянии  $r$  от источника полная некогерентность наблюдается в двух точках, удаленных друг от друга на расстояние  $a_k$ , причем

$$d_k = \frac{0,61r\bar{\lambda}}{a}, \quad (2.21)$$

где  $\bar{\lambda}$  – средняя длина волны света источника. Интересно, что с увеличением расстояния между точками наблюдения степень когерентности вновь возрастает, затем снова достигает нуля и т. д.

Нетрудно найти, какая область на поверхности Земли когерентно освещается Солнцем. Так как угловой размер Солнца 0,018 рад, то  $d = 33\bar{\lambda} \approx 0,02$  мм. Теперь становится понятным, почему для наблюдения интерференционных полос в схеме Юнга свет от Солнца необходимо пропустить через экран с маленьким отверстием диаметром  $\approx 0,01$  мм, что приводит к большим потерям света. Из-за этого опыт Юнга с солнечными лучами трудно наблюдать.

Таким образом, излучение любого реального источника можно характеризовать некоторой областью когерентности, объем которой  $V_k$  можно найти по оценочной формуле:

$$V_k = l_k d_k^2, \quad (2.22)$$

где  $l_k$  – длина когерентности,  $d_k^2$  – площадь пространственной когерентности в направлении, перпендикулярном распространению луча света. Подставляя в (2.22) выражения для  $l_k$  и  $d_k$  из (1.30) и (2.21), получим для  $V_k$ :

$$V_k = \frac{\bar{\lambda}^2}{\Delta\lambda} \frac{r^2 \bar{\lambda}^2}{a^2} = \left( \frac{\bar{\lambda}^2}{\Delta\lambda r} \right) \left( \frac{\bar{\lambda}^2}{a^2} \right) r^3. \quad (2.23)$$

Из последнего равенства в (2.23) видно, что объем когерентности по порядку величины равен отношению объема сферы радиусом  $r$ , характеризующим расстояние, на которое свет распространится от источника, к числу объемов когерентности  $N_k$ , создаваемых источником в этой сфере.

Из (2.23) видно, что

$$N_k = \frac{r}{\left( \frac{\bar{\lambda}^2}{\Delta\lambda} \right) \bar{\lambda}^2} \quad (2.24)$$

или  $N_k$  равно произведению отношения  $r$  к длине когерентности и числа независимых излучателей на видимой поверхности источника света.



С увеличением расстояния  $r$  число областей когерентности увеличивается линейно, объем когерентности растет пропорционально квадрату расстояния до источника. Поэтому и некогерентным источником на большом расстоянии можно когерентно осветить весьма большие площади. Однако интенсивность света при этом бывает, как правило, незначительной, что затрудняет наблюдение интерференционных явлений. Полученные выражения позволяют оценить размер области когерентности в зависимости от характеристик излучателя.

## 2.5. МЕТОДЫ НАБЛЮДЕНИЯ ИНТЕРФЕРЕНЦИОННОЙ КАРТИНЫ В ОПТИКЕ

Из сказанного ранее ясно, что интерференция наблюдается инерционным приемником излучения в области перекрытия двух когерентных световых пучков. Для их создания нужно в объеме когерентности выделить два вторичных источника света и с помощью того или иного способа осуществить наложение этих пучков. Тогда в области перекрытия, там, где разность хода лучей света не превышает длину когерентности, будет наблюдаться интерференция. Получить экспериментально когерентные источники в оптическом поле излучения лазера сравнительно просто. Гораздо труднее осуществить интерференционный эксперимент для тепловых источников света. В этом случае для получения когерентных источников применяются два экспериментальных метода: *метод деления амплитуды* и *метод деления фронта* волны.

Суть *метода деления амплитуды* заключается в следующем. Свет от источника попадает на светоделительную пластину. Отраженный и проходящий лучи света имеют примерно одинаковые амплитуды. Отсюда и название метода. Так как лучи образовались из деления одного и того же цуга волны, то они являются когерентными. С помощью оптических устройств, например зеркал (а иногда и без них), когерентные пучки перекрываются в некоторой области пространства. Если разность хода не превышает  $l_k$ , то наблюдается интерференция. Схема оптического интерферометра Майкельсона, приведенная на рис. 2.5, является примером интерференционной схемы с делением амплитуды волны.

Из других схем с делением амплитуды волны наиболее часто применяется в физических экспериментах интерферометр Маха – Цендера (рис. 2.7), описанная в 2.1 пластинка Поля, интерферометр Жамена (рис. 2.8). В каждой из этих схем луч света делится при отражении от поверхности двух сред на две части, затем создается с

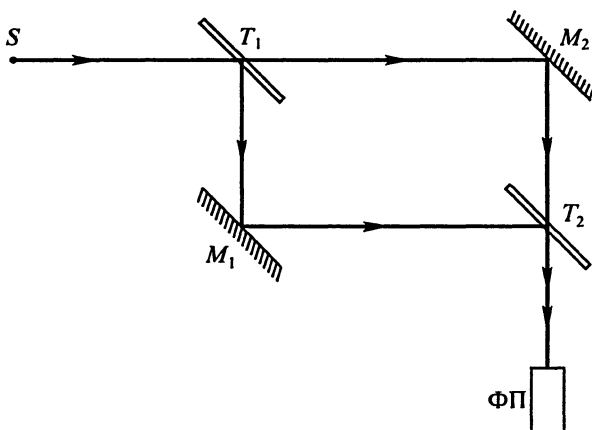


Рис. 2.7

помощью оптических элементов и конструкции системы задержка между интерферирующими лучами.

В *методе деления фронта волны* когерентные излучатели получают с помощью тех или иных оптических устройств, например отверстий, зеркал, линз и т.д., расположенных на поверхности фронта волны, отсюда и название метода. Важно, чтобы эти устройства не выходили в пространстве за пределы объема когерентности. Пучки от этих когерентных вторичных источников вновь перекрываются друг другом, например из-за дифракции (см. гл. 3), как в опыте Юнга. В области перекрытия пучков при условии, что разность их хода не превышает  $l_k$ , наблюдается интерференция. Схема опыта Юнга на рис. 2.9 иллюстрирует метод деления фронта волны. При измерениях фотоприемник перемещается в направлении стрелки.

Существует много конкретных схем реализации этого метода. Наиболее распространенными из них являются схемы с использо-

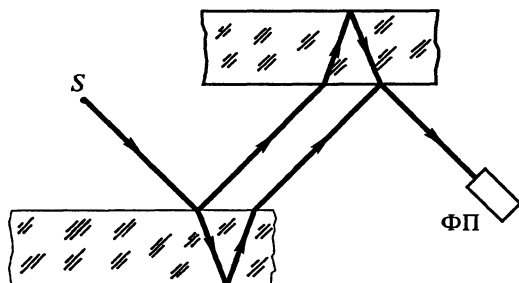


Рис. 2.8

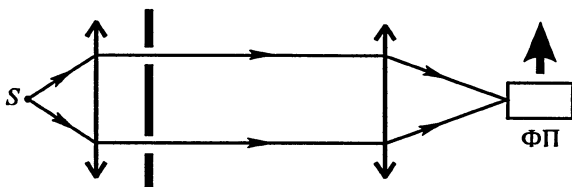


Рис. 2.9

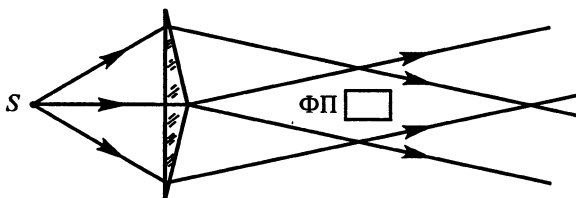


Рис. 2.10

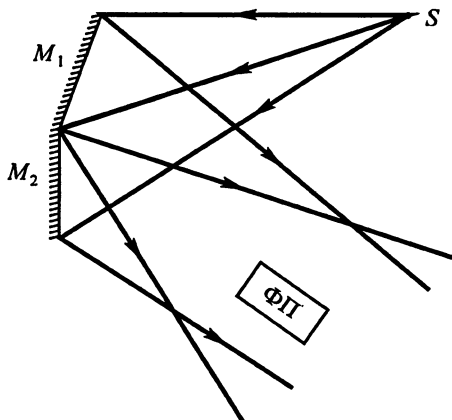


Рис. 2.11

ванием бипризмы Френеля (рис. 2.10), бизеркал Френеля (рис. 2.11), билинзы Бийе (рис. 2.12). Приведенные схемы получения когерентных источников не требуют подробных пояснений, принцип их действия понятен из рисунков. Общим для них является получение от реального источника  $S$  двух когерентных источников  $S_1$  и  $S_2$ , которые располагаются на некотором расстоянии  $2b$  друг от друга и от которых на экране, расположенном на расстоянии  $L$  от этих источников, наблюдается картина интерференции.

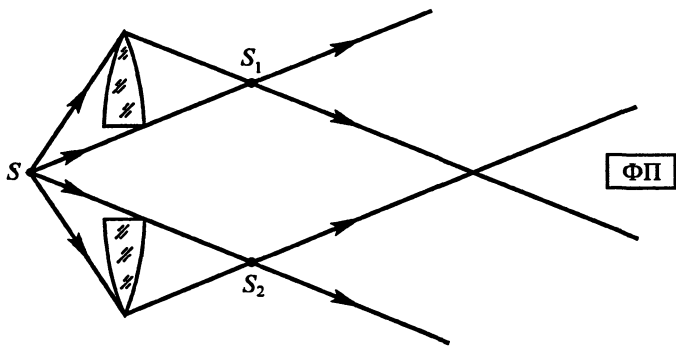


Рис. 2.12

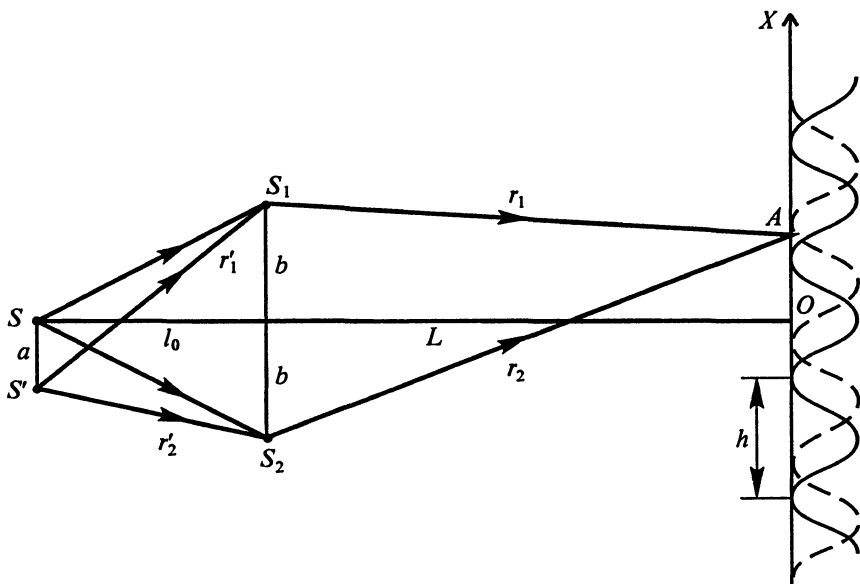


Рис. 2.13

На рис. 2.13 приведена обобщенная схема такого интерференционного эксперимента. Определим ширину интерференционных полос на экране, считая источник  $S$  точечным и излучающим квазимонохроматический свет с центральной длиной волны  $\lambda$  и шириной спектра  $\Delta\lambda$ . Как следует из (2.10), результирующая интенсивность  $I_x$  на экране будет определяться выражением

$$I_x = 4I_0 \cos^2 \frac{\pi \Delta r}{\lambda}, \quad (2.25)$$

где  $\Delta r = r_1 - r_2$ ,  $x$  – координата любой точки наблюдения  $A$ .

Так как

$$\begin{aligned}r_2^2 &= L^2 + b^2 + x^2 + 2bx, \\r_1^2 &= L^2 + b^2 + x^2 - 2bx, \quad r_1 + r_2 \approx 2L,\end{aligned}$$

то

$$r_2^2 - r_1^2 = 4bx \quad \text{и} \quad r_2 - r_1 = \frac{4bx}{2L} = \frac{2bx}{L}. \quad (2.26)$$

Максимум интерференционной картины будет иметь место при условии

$$\frac{2bx}{L\lambda} = m.$$

При изменении  $m$  на единицу изменение  $x$  равно ширине одной интерференционной полосы  $h$ , т. е.

$$h = \frac{\lambda}{2b} L. \quad (2.27)$$

Полученное выражение позволяет по измерениям  $h$ ,  $2b$  и  $L$  определять экспериментально длину волны света.

## 2.6. ВЛИЯНИЕ РАЗМЕРОВ И НЕМОНОХРОМАТИЧНОСТИ ИСТОЧНИКОВ СВЕТА НА ИНТЕРФЕРЕНЦИОННУЮ КАРТИНУ

Изменение разности фаз между колебаниями от источников  $S_1$  и  $S_2$  на  $\pi$  приведет к сдвигу интерференционной картины на  $\frac{h}{2}$ .

Такое изменение в разности фаз источников можно осуществить сдвинув источник  $S$  в положение  $S'$  на расстояние  $a$  так, как показано на рис. 2.13. Из чертежа видно, что

$$\begin{aligned}(\hat{r}_1')^2 &= l_0^2 + (b+a)^2, \\(\hat{r}_2')^2 &= l_0^2 + (b-a)^2,\end{aligned}$$

где  $l_0$  – расстояние от источника до плоскости расположения когерентных излучателей. Полагая, что  $a \ll l_0$ , получим:

$$r_2' - r_1' = \frac{2ab}{l_0}. \quad (2.28)$$

Таким образом, если  $\frac{2ab}{l_0}$  сделать равным  $\frac{\lambda}{2}$ , то интерференционная картина сдвинется на половину полосы  $h$ .

Представим себе, что картина интерференции одновременно создается источниками  $S$  и  $S'$ . Очевидно, в этом случае интерференционные полосы, создаваемые этими источниками, так наложатся друг на друга, что максимум одной совпадет с минимумом другой. Практически интерференционные полосы наблюдаться не будут. Для того чтобы этого не произошло, расстояние между источниками  $S$  и  $S'$  должно быть таким, чтобы разность  $r_2 - r_1$  была меньше  $\frac{\lambda}{2}$ . Для отчетливого наблюдения эту разность полагают меньше  $\frac{\lambda}{4}$ . Тогда условием отчетливого наблюдения интерференционной картины при наличии протяженного источника размером  $a$  является неравенство

$$2b < \frac{\lambda}{4a} l_0, \quad (2.29)$$

или

$$a \frac{2b}{l_0} < \frac{\lambda}{4}. \quad (2.30)$$

Отношение  $\frac{2b}{l_0}$  обычно называют *апертурой интерференции*.

Фактически полученное соотношение утверждает, что когерентные источники должны лежать в области когерентности, создаваемой излучателем с видимой поверхностью размером  $a$ . Роль монохроматичности источника света учесть совсем просто. Она сводится к тому, что в интерференционной картине будет наблюдаться лишь  $m$  полос, где  $m = \frac{\lambda}{\Delta\lambda}$ , что связано с конечной длиной цуга интерферирующих волн.

К этому же соотношению можно прийти из других соображений. Если приемник света является селективным, как, например, глаз человека, то он будет регистрировать отдельные спектральные составляющие излучения. Если источник света имеет сложный спектральный состав, то каждая спектральная составляющая даст свою картину интерференции. Когда  $(m + 1)$ -я полоса, соответствующая волне длиной  $\lambda$ , совпадет с  $m$ -й полосой, соответствующей волне длиной  $(\lambda + \Delta\lambda)$ , то полосы наложатся друг на дру-

га и интерференционная картина смажется. Таким образом, условие исчезновения картины будет иметь вид:

$$(m + 1) \lambda = m (\lambda + \Delta\lambda),$$

или  $m = \frac{\lambda}{\Delta\lambda}$ , что совпадает с предыдущим соотношением.

Очевидно, что для глаза интерференционные полосы окрашены.

## 2.7. ИНТЕРФЕРЕНЦИЯ В ТОНКИХ ПЛЕНКАХ. ПРОСВЕТЛЕНИЕ ОПТИКИ

Предположим, что свет от двух точечных когерентных источников может распространяться во все стороны. Тогда в пространстве около источников, как уже отмечалось ранее (см. § 2.1), будет наблюдаться интерференционная картина в виде совокупности гиперboloидов вращения, ось которых проходит через источники (рис. 2.14, а). Каждый гиперboloид будет соответствовать определенной разности хода  $m\lambda$ . В зависимости от расположения в пространстве экрана для наблюдения интерференционная картина имеет вид полос, системы окружностей или частей гипербол (рис. 2.14, б). Интерференция наблюдается в любой области пространства около источников. Если размер когерентных источников увеличивать, то в соответствии с (2.30) пространственная область, где может наблюдаться интерференционная картина, будет уменьшаться. Если же источник столь протяженный, как небо, т. е. имеет угловые размеры  $2\pi$  ср, то, казалось бы, интерференция вообще не должна наблюдаться. Однако на тонких пленках масла, разлитого на асфальте, глазом можно наблюдать прекрасную интерференционную картину. Особенностью интерференционных полос в этом случае является то, что они локализованы на поверхности пленки масла. Поэтому при их наблюдении глаз аккомодируется на поверхности пленки. На рис. 2.15 показано образование разности хода между интерферирующими лучами  $l$  и 2. В ходе расчетов необходимо учесть, что фаза волны определяется не геометрической длиной пути, проходимого волной в среде, а произведением длины пути на  $k = \frac{2\pi}{\lambda}$ . В масле скорость света в  $n$  раз меньше скорости света в вакууме, где  $n$  – показатель преломления масла. Следовательно, после прохождения светом в масле расстояния  $l$  его фаза изменится на  $\frac{2\pi}{\lambda_0}nl = \frac{2\pi}{\lambda_0}l_1$ , где  $\lambda_0$  – длина

волны в вакууме. Величина  $l_1$  называется оптической длиной пути. Кроме подсчета разности оптических длин, необходимо учесть, что при отражении света от среды с бóльшим показателем преломления (оптически более плотной) фаза отраженной волны меняется на  $\pi$ , что равносильно изменению пути наполовину длины волны.

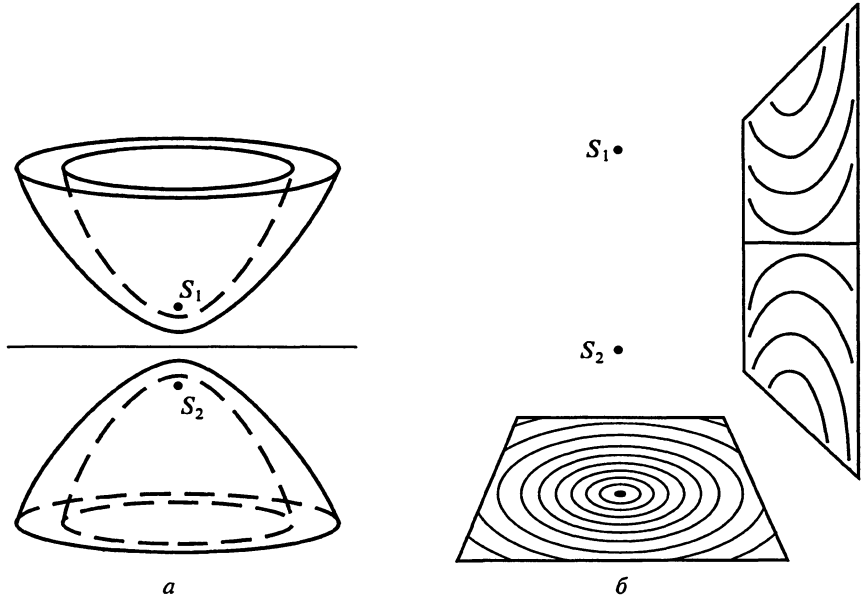


Рис. 2.14

С учетом сделанных замечаний для оптической разности хода имеем:

$$\Delta = (BD + DA)n - \left( AC - \frac{1}{2}\lambda \right), \quad n(BD + DA) = \frac{2hn}{\cos \alpha_2},$$

$AC = 2h \operatorname{tg} \alpha_2 \sin \alpha_0$ ,  $\sin \alpha_0 / \sin \alpha_2 = n$ , где  $h$  – толщина пленки.

Отсюда

$$\Delta = 2hn \cos \alpha_2 + \frac{1}{2}\lambda. \quad (2.31)$$

При наблюдении интерференционной картины глазом из-за малости отверстия его зрачка происходит резкое ограничение по углу лучей, попадающих от протяженного источника света после отражения от пленки в глаз наблюдателя. Можно считать при-



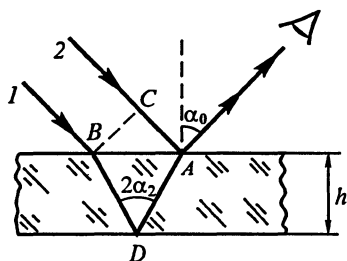


Рис. 2.15

ближенно, что при определенном положении наблюдателя  $\cos \alpha_2$  является постоянной величиной. Поэтому картина интерференции зависит исключительно от толщины пленки. По понятным причинам интерференционные полосы в этом случае называют *полосами равной толщины*.

Схема постановки лекционного опыта с тонкой мыльной пленкой, образованной на каркасе, изображена на рис. 2.16, а; наблюдаемая картина показана на рис. 2.16, б.

Изображение пленки на экране (действительное перевернутое) оказывается перерезанным горизонтальными линиями разных (чередующихся) цветов. В нижней части изображения пленка кажется черной, а в верхней интерференция незаметна и пленка кажется прозрачной. Расстояния между полосами одного цвета уменьшаются на изображении снизу вверх. По мере испарения пленки и стекания мыльного раствора под действием силы тяжести картина непрерывно изменяется, причем расстояния между полосами растут.

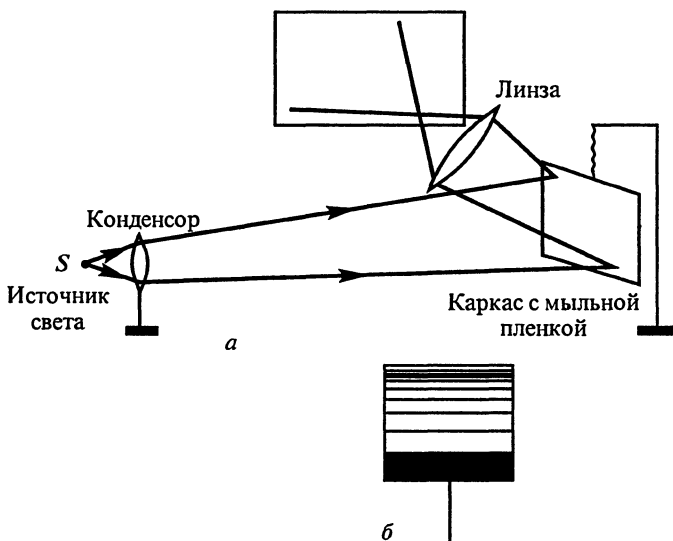


Рис. 2.16

Все эти результаты вполне понятны. Черный цвет пленки в нижней части изображения связан с тем, что соответствующая

толщина пленки сверху много меньше длины полуволны, и разность хода определяется только различием в условиях отражения света. Дальше толщина увеличивается и начинает «работать» условие (2.31). Если бы пленка была в точности клинообразной, то расстояния между линиями одного цвета были бы одинаковы. Исчезновение интерференционной картины в толстой части пленки связано с некогерентностью света.

Малейшее изменение толщины пленки влияет на интерференцию – это наводит на мысль о возможности использования интерференционных эффектов для измерения малых смещений отражающих поверхностей.

Освещенность интерференционной картины не очень велика, так как коэффициент отражения света от прозрачной пленки с показателем преломления, не превышающим 1,5–2, относительно мал. Напомним, что при нормальном падении коэффициент отражения (по энергии) равен:

$$R = \left( \frac{n-1}{n+2} \right)^2 \approx \left( \frac{0,5}{2,5} \right)^2 = 0,04.$$

В проходящем свете наблюдается дополнительная картина – максимум света в отраженном свете соответствует его минимуму в проходящем свете, так как интерференция сводится к перераспределению светового потока, а не к изменению его значения. Но наблюдение в проходящем свете затруднено небольшой разницей освещенности в максимумах и минимумах.

И. Ньютон наблюдал стационарную картину интерференции в тонком воздушном слое, образованном между поверхностями плоскопараллельной пластины и плосковыпуклой линзы большого радиуса. Нижняя поверхность линзы отображалась на экран при помощи собирающей линзы (или же глаз фокусировался на эту поверхность). На рис. 2.17 показана схема опыта, из которой следует, что в отраженном

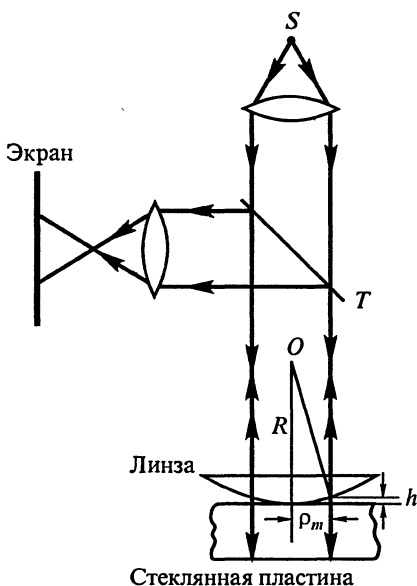


Рис. 2.17

свете в центре картины должна быть минимальная освещенность (если контакт между обоими стеклами надежен), а вокруг должны получаться кольца.

При малых углах падения имеем:

$$\frac{\Delta}{\lambda} = \frac{2m}{2} - \frac{1}{2} = (2m - 1) \frac{1}{2}, \quad h = m\lambda, \quad m = 1, 2, \dots, \quad \rho_m = \sqrt{Rh} = \sqrt{m\lambda R}$$

( $\rho_m$  – радиус  $m$ -го темного кольца). Радиусы растут с длиной волны. Из точных наблюдений Ньютона можно было (это сделали в XIX в. его последователи) вычислить длину световых волн.

Если шлифовка стекол несовершенна, то вместо окружностей получаются кривые сложной формы, позволяющие судить о качестве шлифовки и отклонении от заданной формы, – это находит практическое применение в технике.

Другой способ наблюдения полос интерференции в тонких пленках (*полос равного наклона*) заключается в помещении экрана в фокальной плоскости отображающей линзы (или фокусировке глаза «на бесконечность»). В этом случае в каждой точке экрана собираются лучи определенного направления (рис. 2.18). Если тонкий слой освещается широким световым конусом, то, как легко понять, лучи, падающие под определенным углом, образуют в фокальной плоскости (если толщина слоя во всех точках одна и та же) кольцо, радиус которого зависит только от угла падения лучей, т. е. от их наклона к поверхности слоя [см. уравнение (2.31)].

Интерференция в тонких слоях применяется для уменьшения потерь на отражение в различных оптических приборах.

Нанесем на стекло слой диэлектрика с показателем преломления  $n$ , удовлетворяющим условию

$$1 < n < n_0,$$

где  $n_0$  – показатель преломления стекла. Толщину слоя диэлектрика сделаем равной четверти длины волны в диэлектрике (или нечетному числу четвертей длины волны). Тогда разность хода волны, отраженной на границе воздух – диэлектрик, и волны, отраженной от стекла, будет равна полуволне (обе волны отражаются с изменением фазы на  $\pi$ , так что с этим изменением можно не считаться). Если бы амплитуды обеих волн были одинаковыми, то не возникло бы никакого отражения от системы.

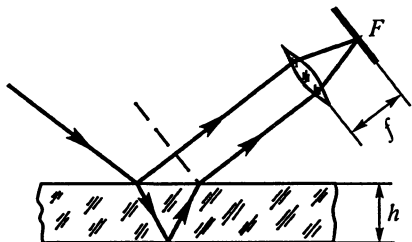


Рис. 2.18

Пусть на диэлектрик нормально падает плоская волна. Коэффициент отражения (по амплитуде) равен

$$r = -\frac{n-1}{n+1}$$

и сравнительно невелик. Так, при  $n = 1,3$  он составляет всего лишь 13%. Дойдя до границы со стеклом, волна снова отразится, причем коэффициент отражения равен

$$r_0 = -\frac{n_0 - n}{n_0 + n}$$

и также невелик (при  $n_0 = 1,6$  получится  $r_0 = 0,1$ ). Поэтому можно приближенно считать (что и делают на практике), что заметного отражения волны от системы не произойдет. Из условия

$$r = r_0$$

легко получается требование, налагаемое на показатели преломления:

$$n = \sqrt{n_0}.$$

В современных оптических приборах это «просветление» оптики применяется очень широко. «Просветление» обычно проводят для желто-зеленой части спектра, а красные и синие лучи имеют при этом больший коэффициент отражения. Поэтому стекло с таким покрытием в отраженном свете кажется голубоватым или пурпурным (смесь синего и красного цвета).

«Просветление» легко показать на сантиметровых волнах, наливая на стекло (для сантиметровых волн  $n_0 = 2,5$ ) слой бензола ( $n = 1,5$ ). При определенных толщинах слоя, кратных нечетному числу четвертой длины волны, заметно возрастает интенсивность сигнала, принимаемого в проходящей волне.

Подобным же образом можно создать и слои, увеличивающие отражение света определенной частоты, т.е. «затемнить» оптическую систему в том или ином интервале частот.

## 2.8. ДВУХЛУЧЕВЫЕ ИНТЕРФЕРОМЕТРЫ

Для измерения малых разностей расстояний или малых изменений оптических свойств среды применяются различные интерферометры – приборы, позволяющие разделить поток излучения, обеспечить прохождение его частей по различным оптическим

путям и затем осуществить сложение обеих частей потока, создающих доступную наблюдению интерференцию.

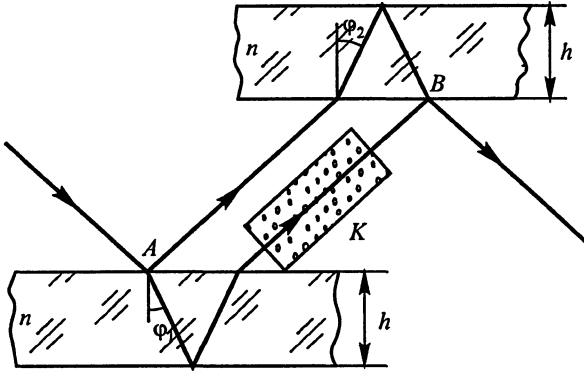


Рис. 2.19

Один из простейших двухлучевых интерферометров – интерферометр Жамена – состоит из двух толстых плоскопараллельных пластин (рис. 2.19). Ход лучей показан на этом же рисунке. При раздвоении луча в точке *A* возникает разность хода:

$$\Delta_1 = 2nh \cos \varphi_1 - \frac{\lambda}{2}.$$

При схождении лучей в точке *B* добавляется разность хода:

$$\Delta_2 = -2nh \cos \varphi_2 + \frac{\lambda}{2}$$

(*h* – толщина пластин). Если пластины одинаковы и строго параллельны друг другу, то разность хода (полная) обращается в нуль. Если же между пластинами образован малый угол  $\varepsilon$ , то разность хода равна:

$$\Delta = 2nh (\cos \varphi_1 - \cos \varphi_2) \approx 2nh \sin \varphi \Delta \varphi \approx nh \varepsilon \sin \varphi,$$

где  $\varphi = \frac{\varphi_1 + \varphi_2}{2}$ ,  $\Delta \varphi = \frac{\varepsilon}{2}$ .

Таким образом, чем меньше  $\varepsilon$ , тем дальше отстоят друг от друга соседние максимумы. Малейшее изменение условий распространения одного из лучей меняет интерференционную картину. Так, установив кювету *K* на пути одного из лучей и заполняя ее разными газами, можно определять их показатель преломления.

Меняя давление в кювете, можно изучать влияние давления на показатель преломления (или влияние температуры) и т. д.

Пусть толщина кюветы равна  $K$ . При изменении состояния газа в ней возникает некоторое изменение  $\Delta n$  показателя преломления газа, что вызывает изменение разности хода:  $\Delta k = K\Delta n$ . Легко заметить, например, изменение интерференционной картины при  $\Delta k = 0,2\lambda$ . Если  $\lambda = 0,56$  мкм,  $K = 0,1$  м, то

$$\Delta n = \frac{0,2 \cdot 5,6 \cdot 10^{-7}}{0,1} \approx 10^{-6},$$

т.е. можно заметить изменение показателя преломления на миллионные доли его значения.

Однако лучи в интерферометре Жамена сравнительно близки друг к другу, что мешает в эксперименте воздействовать на один из них. Более удобен интерферометр Майкельсона, полная схема которого изображена на рис. 2.20.

Луч света от возможно более совершенного монохроматического источника попадает на разделительную пластину  $P$ , покрытую спереди полупрозрачным металлическим слоем, и раздваивается. Луч  $1$  идет к зеркалу  $3$ , отражается и, пройдя разделительную пластину, попадает в зрительную трубу. Луч  $2$  проходит к зеркалу  $4$ , отражается им к разделительной пластине и также поступает в трубу. Так как первый луч проходит пластину трижды, а второй – один раз, то на пути второго луча ставится пластинка  $K$ , подобная разделительной, компенсирующая эту разность хода. В поле зрения трубы можно наблюдать интерференционную картину. Если сместить одно из зеркал на отрезок  $\Delta h$ , то возникнет дополнительная разность хода  $2\Delta h$ , что скажется на интерференционной картине – полосы претерпят некоторое смещение, доступное измерению. Таким образом можно измерять очень малые изменения оптических путей обоих лучей, причем, так как лучи разведены относительно далеко, на каждый из них можно воздействовать независимо от другого.

Интерферометр Майкельсона обладает весьма большой чувствительностью. В частности, с его помощью исследовалось влияние движения Земли на скорость распространения света.

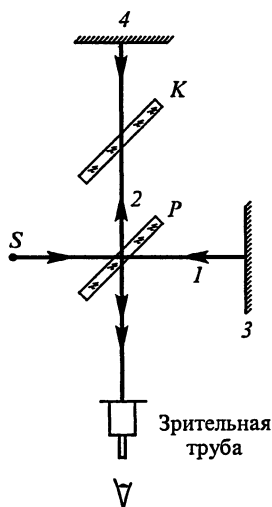


Рис. 2.20

На этом же приборе было выполнено сравнение длины эталона метра с длиной световой волны. О точности этого сравнения свидетельствует следующее: на 1 м укладывается 1 650 763,73 длины волны оранжевой спектральной линии криптона, излучаемого газом при стандартных физических условиях.

Как отмечалось выше, интерферометр Майкельсона является прибором для определения длины когерентности: можно перемещать одно из зеркал до тех пор, пока интерференционная картина не перестанет наблюдаться. Наиболее узкополосное излучение паров кадмия позволяет получить длину когерентности порядка 20 см при частоте излучения  $\nu = 4,68 \cdot 10^{14}$  Гц. При этом немонахроматичность излучения составляет  $\nu \approx 10^9$  Гц, а относительная немонахроматичность равна:

$$\frac{\Delta\nu}{\nu} \approx 2 \cdot 10^{-6}.$$

С помощью двухлучевых интерферометров можно измерять степень не только временной когерентности, но и пространственной, как, например, в схеме Юнга. Из сказанного в § 2.4 ясно, что измеряя степень пространственной когерентности удаленного источника, можно определить его угловой размер. Это соображение было впервые использовано Майкельсоном для определения угловых размеров далеких звезд в его звездном интерферометре. Схема звездного интерферометра Майкельсона представлена на рис. 2.21. Свет, идущий от звезды, отражается от двух зеркал, разнесенных на расстояние  $d$ , и через линзу телескопа поступает или к наблюдателю, или на фотоприемник. Если расстояние  $d$  лежит внутри области когерентности, то изображение звезды представится наблюдателю пересеченным системой светлых и темных полос. Увеличивая  $d$ , можно добиться полного исчезновения полос, т.е. уменьшения видности интерференционной картины до нуля. Это позволяет экспериментально определить расстояние  $d_k$  [см. формулу (2.21)]. Угловое разрешение звездного интерферометра определяется той максимальной базой  $d$  интерферометра, при которой можно проводить измерения видности. Звездный интерферометр Майкельсона с базой 20 м сооружен в Австралии. Дальнейшее увеличение базы  $d$  ограничивается техническими трудностями и нестабильностью среды, в которой распространяется свет от входных зеркал к линзе телескопа. Дело в том, что устройство звездного интерферометра должно обеспечивать точность установки входных зеркал не меньшую чем  $\frac{\bar{\lambda}}{8}$  за время на-

блюдения, иначе интерференционная картина смажется. При базе порядка 10 м выдержать такие требования сложно из-за различного рода деформаций, температурных градиентов, случайных вибраций и т.п.

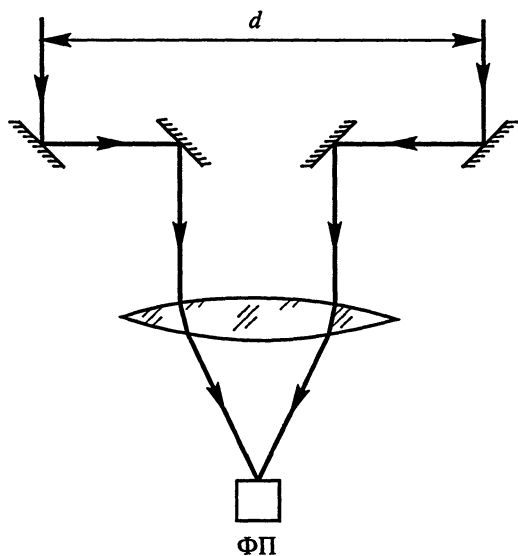


Рис. 2.21

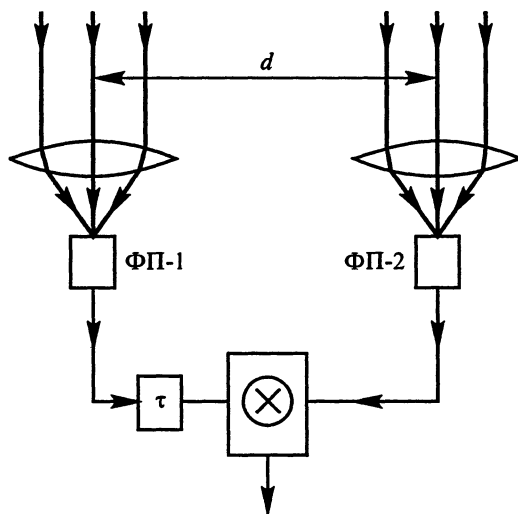


Рис. 2.22



Преодолеть эти экспериментальные трудности удалось Брауну и Твиссу, предложившим интерферометр, схема которого представлена на рис. 2.22. В интерферометре Брауна – Твисса свет от удаленного источника падает на вход двух фотоприемников, реагирующих на квадрат модуля входных сигналов. Эти, уже низкочастотные, сигналы после регулируемой линии задержки  $\tau$  поступают на перемножитель, на выходе которого измеряется квадрат степени когерентности. Этого вполне достаточно для определения расстояния  $d_k$ , а фазовые нестабильности, возникающие из-за атмосферной турбулентности или деформаций конструкции, не мешают работе системы, так как частоты сравниваемых сигналов значительно меньше оптических.

Экспериментальная реализация нового интерферометрического принципа позволила создать интерферометры с огромными базами. Особенно успешное развитие получили интерферометры Брауна – Твисса в радиодиапазоне, где их база в наземных условиях ограничена лишь размером Земли.

## 2.9. МНОГОЛУЧЕВЫЕ ИНТЕРФЕРОМЕТРЫ

В многолучевых интерферометрах используется многократная интерференция нескольких световых лучей, что представляет известные принципиальные и практические преимущества. Например, можно создать оптические устройства, пропускающие излучение лишь вблизи строго определенной частоты, т.е. весьма совершенные интерференционные светофильтры.

Наиболее широко распространен многолучевой интерферометр Фабри – Перо. В частности, он применяется в качестве оптического резонатора в лазерах. Интерферометр Фабри – Перо состоит из двух плоскопараллельных стеклянных пластинок, поверхности  $A$ ,  $A_1$  которых или серебрят, или покрывают диэлектрическими пленками, обеспечивающими высокий коэффициент отражения для того или иного диапазона длин волн. При освещении интерферометра широким пучком света в фокальной плоскости линзы наблюдается система интерференционных колец. На рис. 2.23 показан ход одного луча, испытывающего многократные отражения под углом  $\varphi$ . При каждом отражении малая часть энергии света проходит через зеркало. Все эти лучи выходят из резонатора в одном направлении. Если с помощью линзы, как показано на рисунке, собрать все  $N$  лучей, то в фокусе линзы результирующая напряженность поля  $E_\Phi$  будет определяться суммой напряженностей прошедших полей:

$$E_{\Phi} = E_0 + E_0 \exp(-i\Delta\varphi) + E_0 \exp(-2i\Delta\varphi) + \dots + E_0 \exp(-iN\Delta\varphi). \quad (2.32)$$

Для простоты математических выкладок амплитуды всех полей будем считать одинаковыми. Так как (2.32) есть сумма геометрической прогрессии, то

$$E_{\Phi} = E_0 \frac{1 - \exp(-iN\Delta\varphi)}{1 - \exp(-i\Delta\varphi)} = E_0 \frac{\sin(N\Delta\varphi)}{\sin \frac{\Delta\varphi}{2}}, \quad (2.33)$$

где  $\Delta\varphi = (2nh \cos\varphi) \frac{2\pi}{\lambda}$ .

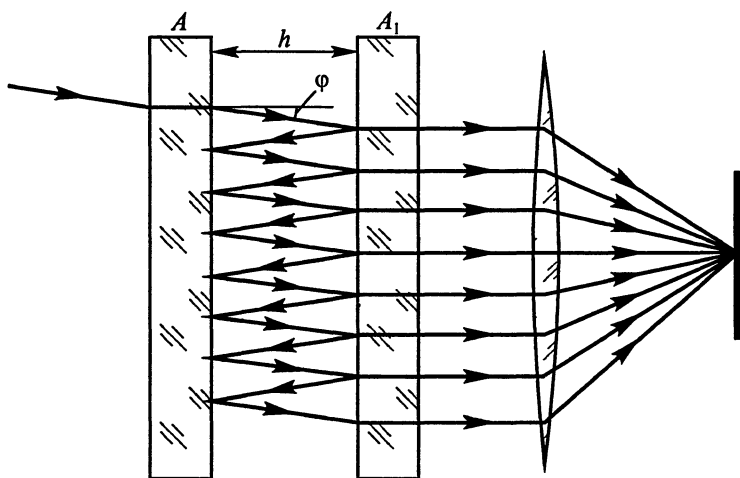


Рис. 2.23

Результирующая напряженность будет достигать максимума при  $\Delta\varphi = 2m\pi$ ; первый же минимум будет наблюдаться при условии

$$N\Delta\varphi = 2\pi, \quad (2.34)$$

что и определяет ширину интерференционной полосы в зависимости от изменения длины волны света. Из (2.33) видно, что изменение разности хода на  $\frac{\lambda}{N}$  определяет ширину полосы интерференции. Таким образом, интерферометр Фабри – Перо оказывается высокоточным измерителем длины (применялся, в частности, при создании эталона метра).

## Глава 3

# ДИФРАКЦИЯ СВЕТА

### 3.1. ЯВЛЕНИЕ ДИФРАКЦИИ. ПРИНЦИП ГЮЙГЕНСА–ФРЕНЕЛЯ

Наблюдения за прохождением света через непрозрачный экран с отверстием выявляют следующие закономерности. Если размер отверстия значительно превышает длину волны света, то свет распространяется за экраном по прямой и дает изображение отверстия на втором экране, расположенном за первым. При рассмотрении отверстия непосредственно глазом свет за экраном с таким отверстием распространяется по прямой, соединяющей глаз наблюдателя с источником света, видимым через отверстие в экране. Само понятие линии возникло, очевидно, как обобщение наблюдений за распространением солнечного света, прошедшего через узкую щель. Если размер отверстия в экране уменьшать, то изображение отверстия также будет уменьшаться, однако это происходит до определенного предела. Как только размер отверстия становится сравнимым с длиной волны света, наблюдается огибание светом препятствия – размер изображения отверстия начинает увеличиваться при его сужении. Явление отклонения света от закона прямолинейного распространения при прохождении через экраны называется *дифракцией* (от лат. diffractus – разломанный, преломленный).

Особенно просто дифракцию можно наблюдать, если свет от лазера направить на щель, ширина которой в процессе эксперимента может изменяться. На рис. 3.1 представлена схема такого эксперимента. При уменьшении ширины щели  $d$  сначала наблюдается сужение потока света на экране, затем изображение щели начинает расширяться, и на экране появляется характерная картина чередующихся минимумов и максимумов интенсивности прошедшего через щель света, симметричная относительно середины щели ( $x = 0$ ) (рис. 3.2). Это изображение называют *дифракционной картиной*.

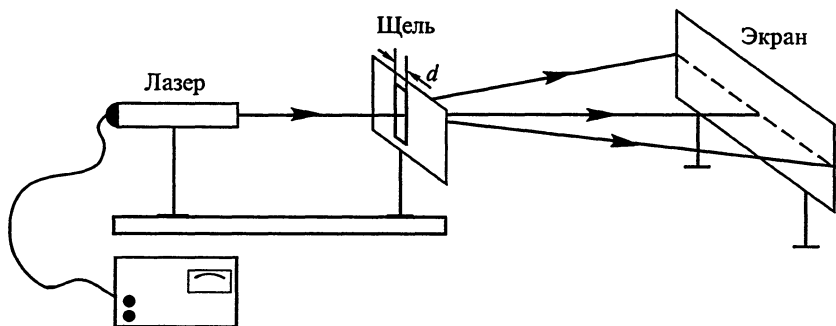


Рис. 3.1

Эксперименты по дифракции света показали, что отклонение света от прямолинейного направления распространения происходит не только когда свет проходит через отверстие в непрозрачном экране, но и в тех случаях, когда на пути света находится небольшая преграда или прозрачная среда, показатель преломления которой зависит от координат. Дифракция, таким образом, наблюдается всегда, когда свет проходит через среду или экран с оптическими неоднородностями. Если экраны изменяют только амплитуду оптического поля, то они называются амплитудными экранами, если фазу – то фазовыми экранами.

С точки зрения электромагнитной теории явление дифракции объясняется тем, что распространение света подчиняется волновому уравнению. При существовании каких-либо препятствий в пространстве однородность условий распространения электромагнитных волн нарушается, следствием чего и является дифракция.

Впервые дифракцию с волновой точки зрения рассмотрел Х.Гюйгенс. Сформулированный им принцип заключается в следующем. Пусть возмущение (волна) распространяется в некотором направлении и известно положение волнового фронта в некоторый момент времени  $t$ , а также скорость распространения волны  $c$  (рис. 3.3). Примем каждую точку фронта за источник вторичных полу-сферических волн, распространяющихся только вперед, построим элементарные волны радиусом  $\Delta r = c\Delta t$  и проведем огибающую их поверхность. Она и определит положение волнового фронта в момент  $t + \Delta t$ .

Этот принцип ничего не говорит о распределении амплитуд по фронту волны.

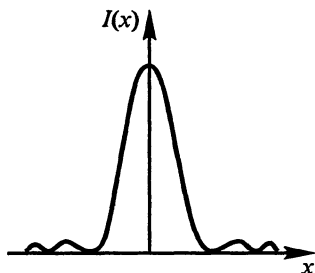


Рис. 3.2

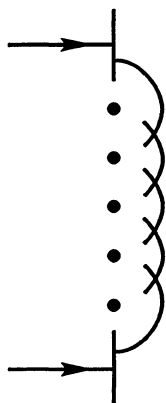


Рис. 3.3

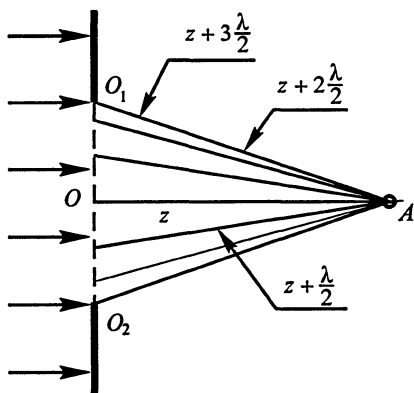


Рис. 3.4

Французский физик О. Френель дополнил принцип Гюйгенса, предложив учитывать интерференцию вторичных волн, и разработал для этого весьма простой и изящный метод расчета. Пользуясь им, Френель не только рассчитывал дифракционные задачи, но смог объяснить прямолинейность распространения света в свободном пространстве, что было триумфом нового метода и способствовало всеобщему признанию волновой теории света. Начнем с этого объяснения.

Пусть плоский волновой фронт, перпендикулярный чертежу (рис. 3.4), в момент  $t$  занимает положение  $O_1O_2$  и волна распространяется вправо.

Для вычисления волнового поля в точке  $A$ , куда волна придет в момент  $t + z/c$ , ее фронт разбивают на так называемые зоны Френеля и из каждой точки фронта проводят прямые в точку  $A$ , т.е. лучи вторичных волн. Так как их длина различна, то вторичные волны (их мы изображать не будем) придут в точку  $A$  в разных фазах. Но они когерентны, а потому происходит их интерферен-



**Френель Огюстен Жан (1788–1827)**, французский физик, один из создателей волновой теории света. В 1816 г. ввёл понятие о когерентных вторичных волнах. В 1821 г. доказал поперечность световых волн, исследовал интерференцию поляризованного света. Исследовал влияние движения тел на скорость распространения света.

ция. Границей первой зоны (круговой) является окружность, каждая точка которой отстоит от точки  $A$  на расстоянии  $z + \frac{\lambda}{2}$  ( $z$  – расстояние от центра первой зоны до точки  $A$ ). Совокупность лучей первой зоны имеет разность хода, не превышающую  $\frac{\lambda}{2}$ , т. е.

фазовые сдвиги, меньшие или равные  $\pi$ , а потому в результате их интерференции получится суммарное поле, созданное первой зоной, амплитуду которого обозначим  $E_1$ . Вторая зона представляет собой кольцо, примыкающее к первой; лучи, идущие от наружного края, проходят до точки  $A$  расстояние  $z + \lambda$ . Следовательно, соответствующие точки второй зоны создадут в точке  $A$  колебания, отличающиеся от колебаний, созданных первой зоной, по фазе на  $\pi$ , т. е. находящиеся в противофазах с колебаниями от первой зоны. Поэтому суммарную амплитуду  $E_2$  созданного ими поля следует взять со знаком «минус». Аналогично строятся и последующие зоны.

При этом все зоны равновелики. Действительно, площадь первой зоны

$$S_1 = \pi r_1^2 = \pi \left[ \left( z + \frac{\lambda}{2} \right)^2 - z^2 \right] \approx \pi z \lambda,$$

так как в оптике практически всегда выполняется условие  $z \gg \lambda$ .

Площадь  $k$ -й зоны равна:

$$S_k = \pi r_k^2 - \pi r_{k-1}^2, \quad S_k = \pi z \lambda.$$

Суммируя действия всех зон, находим амплитуду колебаний в точке  $A$ :

$$E_A = E_1 - E_2 + E_3 - E_4 + \dots \quad (3.1)$$

При этом  $E_k > E_{k-1}$ , но различия в их значениях малы.

В случае свободного распространения волны число членов ряда неограниченно велико.

Для оценки суммы ряда (3.1) перепишем его в таком виде:

$$E = (E_1 - E_2) + (E_3 - E_4) + \dots \quad (3.2)$$

Так как каждое слагаемое положительно, то и сумма ряда положительна:

$$E > 0.$$

Если же ряд записать как

$$E = E_1 - (E_2 - E_3) - (E_4 - E_5) - \dots,$$

то станет очевидным, что сумма ряда

$$E < E_1,$$

так как разности, стоящие в скобках, всегда положительны. Таким образом, убеждаемся, что сумма ряда лежит в пределах

$$0 < E < E_1.$$

Иначе говоря, благодаря интерференции действие всего волнового фронта сводится к действию части первой зоны. При некоторых дополнительных предположениях можно считать действующей половину первой зоны.

Но угловой размер первой зоны, рассматриваемой из точки наблюдения, очень мал:

$$\operatorname{tg} 2\alpha \approx 2 \operatorname{tg} \alpha = \frac{\rho_1}{z} = 2\sqrt{\frac{\lambda}{z}}.$$

При  $\lambda = 0,56$  мкм и  $z = 1$  м получается:

$$\operatorname{tg} 2\lambda = 2\sqrt{\lambda} = 2 \cdot 0,77 \cdot 10^{-3} \approx 5',$$

т.е. наблюдателю кажется, что свет приходит к нему по прямой. Такое же заключение сделает и наблюдатель, находящийся в иной точке пространства, но для него прямая  $OA$  сместится в пространстве.

Таким образом, прямолинейность распространения света в свободном однородном изотропном пространстве получает полное объяснение с волновой точки зрения.

Расположим в плоскости, перпендикулярной распространению волны, непрозрачный экран с круглым отверстием так, чтобы центр отверстия совпадал с точкой  $O$ . Если размер отверстия таков, что открытым остается небольшое четное число зон, например четыре, то ряд (3.2) запишется в таком виде:

$$E = (E_1 - E_2) + (E_3 - E_4) \approx 0.$$

Его сумма близка к нулю, следовательно, в точке наблюдения должна быть «темнота». Изменение диаметра отверстия приводит к периодическому усилению и ослаблению света при переходе от четного числа открытых зон к нечетному и обратно.

Более того, если перемещать точку наблюдения вдоль прямой  $AO$ , начав с расстояния, на котором отверстие оставляет открытым, скажем, одну зону, и приближаться к экрану, то число открытых зон при фиксированном размере отверстия будет расти, а потому снова должны наблюдаться попеременные переходы от света к темноте.

Френель доказал экспериментально, что все эти явления доступны наблюдению и соответствуют его теории.

Вслед за этим Пуассон рассмотрел задачу о небольшом круглом препятствии с центром на прямой  $OA$ , поставленном на пути волны. Так как препятствие закрывает некоторое число зон  $p$  (допустим, что оно целое), то ряд (3.2) начнется с какого-то члена и примет вид:

$$E = E_{p+1} - E_{p+2} + \dots > 0. \quad (3.3)$$

Но эта сумма отлична от нуля. Следовательно, из выбранной точки наблюдения в центре круглого непрозрачного препятствия должен наблюдаться свет. Это казалось невероятным, и Пуассон считал, что он опроверг Френеля. Однако опыты, поставленные специально для проверки заключений Пуассона, подтвердили этот вывод (разумеется, при малом числе закрытых зон, так как сумма ряда (3.3) убывает при росте числа закрытых зон).

Наибольшее значение суммы ряда (3.2) получается если открыта только одна зона. Это можно истолковать как получение изображения точечного источника, посылающего световую волну.

Этим свойством (не понимая еще существа дела) издавна пользовались для получения «безлинзового» изображения при помощи темной камеры (камеры-обскуры). Эта камера представляет собой ящик с непрозрачными стенками; в передней стенке сделано отверстие радиусом  $\rho$ , освещаемое извне. На задней стенке, отстоящей от передней на расстоянии

$$D = \frac{\rho^2}{\lambda},$$

получается довольно четкое изображение удаленных предметов.

Полученные результаты можно сделать весьма наглядными при помощи векторной диаграммы (рис. 3.5). Разобьем мысленно первую зону на большое число равновеликих кольцевых зон. Пусть колебания, создаваемые частью зоны, прилегающей к оси  $OA$  (см. рис. 3.4), изображаются вектором  $\vec{k}$ . Каждая следующая часть зоны создаст колебания, изображаемые таким же по модулю вектором, повернутым относительно первого на малый угол, учитывающий малый сдвиг фазы. Продолжая построение, получим половину правильного многоугольника, так как фазы колебаний, создаваемых центром и крайними частями первой зоны, сдвинуты на  $180^\circ$ . При неограниченном росте числа вспомогательных подзон этот многоугольник перейдет в полуокружность  $KL_1$ , изображенную на рис. 3.5. Действие второй зоны будет изображено такой же полуокружностью несколько меньшего радиуса, так как амплитуда



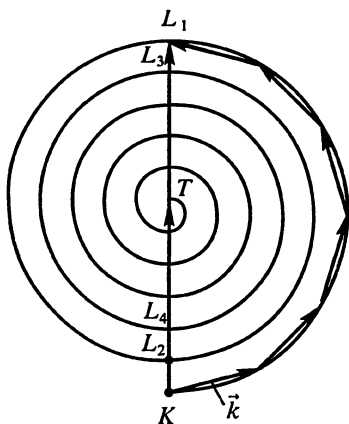


Рис. 3.5

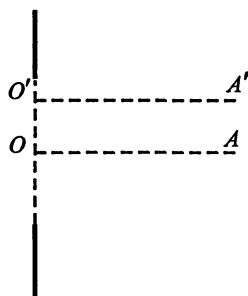


Рис. 3.6

колебаний, приходящих в точку  $A$ , уменьшается (на чертеже различие радиусов двух соседних полуокружностей преувеличено). Продолжая построение для случая беспрепятственного распространения света, получим спираль, свертывающуюся к центру полуокружностей  $T$ . Тогда амплитуда колебаний в точке наблюдения изобразится отрезком  $KT$ , соответствующим примерно половине отрезка  $KL_1$ . Если же на пути световой волны поставлен непрозрачный экран с отверстием, на котором укладывается одна или три зоны, то амплитуда колебаний будет определяться соответственно модулями векторов  $\overrightarrow{KL_1}$  и  $\overrightarrow{KL_3}$ , большими, чем  $KT$ . Напротив, при четном числе открытых зон (две или четыре) амплитуды  $KL_2$  и  $KL_4$  оказываются малыми по сравнению с  $KT$ . Таким же образом можно проследить, что произойдет при закрытии экраном некоторого числа центральных зон.

Если наблюдение ведется из некоторой точки  $A'$ , смещенной от оси отверстия (рис. 3.6), то оказываются открытыми только части зон. При этом распределение интенсивности света на экране будет неравномерным, в чем нетрудно убедиться, построив диаграмму Френеля для этой точки. Расчет интенсивности в этом случае значительно осложняется.

### 3.2. ДИФРАКЦИОННАЯ ТЕОРИЯ КИРХГОФА. МЕТОД РЭЛЕЯ

Идея о представлении некоторой поверхности, до которой дошел свет, совокупностью точечных источников принадлежит

Гюйгенсу, пришедшему к такому предположению, исходя из интуитивных представлений. Гипотеза Гюйгенса, дополненная Френелем положением об интерференции волн от вторичных источников, легла в основу метода расчета дифракционных задач. Так как этот метод также имел эвристические основы, он получил название *принципа Гюйгенса – Френеля*. Только последующие исследования Максвелла, Кирхгофа, Грина позволили обосновать принцип Гюйгенса – Френеля и показать, что, по существу, он является одним из методов решения волнового уравнения с заданными граничными условиями.

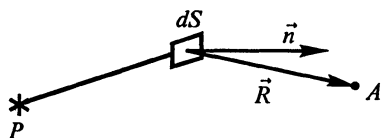


Рис. 3.7

Действительно, решением волнового уравнения, как отмечалось выше, являются произвольные функции аргумента  $\left(t \pm \frac{\vec{r} \cdot \vec{n}}{c}\right)$ , в частности сферические или плоские гармонические волны. Метод описания дифракционных явлений, в котором поле представляется набором *сферических* волн, называется *методом Гюйгенса – Френеля*, метод с применением *плоских* волн – *методом Рэлея* по имени английского физика Д. У. Рэлея (1842–1919).

Главным в обоих методах является определение амплитуд и фаз сферических или плоских волн, называемых часто *вторичными*, в зависимости от амплитуды и фазы излучения, задаваемых физическими условиями распространения света в пространстве.

Применительно к методу Гюйгенса – Френеля эту задачу впервые точно решил немецкий физик Г. Р. Кирхгоф (1824–1887). Не имея возможности воспроизвести доказательство, которое было проведено Кирхгофом при решении волнового уравнения для электромагнитного поля с заданными граничными условиями, ограничимся сообщением конечных результатов.

В соответствии с выводами Кирхгофа, амплитуда вторичной сферической волны  $d\dot{E}_A$ , распространяющейся от элемента поверхности  $dS$  источника излучения до точки  $A$  на расстоянии  $R$  от поверхности (рис. 3.7), связана с амплитудой  $\dot{E}_0$  излучения в месте нахождения  $dS$  следующим образом:

$$d\dot{E}_A = \dot{E}_0 \frac{1 + \cos \varphi}{2} \frac{dS}{\lambda R}, \quad (3.4)$$

где  $\varphi$  – угол между нормалью  $\vec{n}$  к  $dS$  и радиусом-вектором  $\vec{R}$ ,  $\lambda$  – длина волны излучения.

Фаза  $\Phi_A$  вторичной волны в точке  $A$  связана с фазой  $\Phi_0$  излучения в месте нахождения  $dS$  выражением

$$\Phi_A = \Phi_0 - kR - \frac{\pi}{2}. \quad (3.5)$$

С учетом (3.4) и (3.5) выражение для комплексной амплитуды вторичной сферической волны от  $dS$  в точке  $A$  можно записать так:

$$\begin{aligned} d\dot{E}_A &= \dot{E}_0 \frac{1 + \cos \varphi}{2} \frac{\exp[i(\Phi_0 - \pi)]}{\lambda} \frac{\exp(-ikR)}{R} dS = \\ &= -i \frac{E_0}{\lambda R} \frac{1 + \cos \varphi}{2} \exp(i\Phi_0) \exp(-ikR) dS. \end{aligned} \quad (3.6)$$

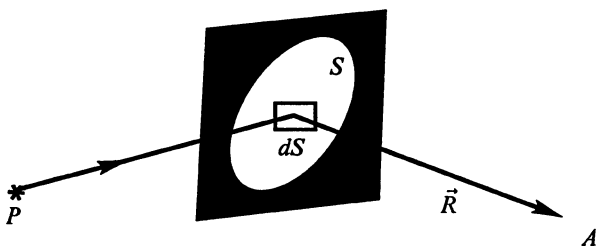


Рис. 3.8

Используя представление об интерференции вторичных волн, рассмотрим дифракцию света от источника  $P$  на экране с произвольным отверстием  $S$  (рис. 3.8). Будем определять амплитуду света  $\dot{E}_A$  в некоторой точке  $A$  как сумму амплитуд колебаний, приходящих в точку  $A$  от каждого участка экрана  $dS$ . Правда, пока неясным остается действие экрана на поле излучения. Кирхгоф предложил считать, что там, где экран перекрывает свет, поле отсутствует, там, где нет экрана, поле можно считать таким же, каким оно было бы в отсутствие экрана. Несмотря на кажущуюся очевидность, сделанное предположение является бездоказательным, и особенно сомнительно выполнение этого условия непосредственно около краев экрана. Однако если размеры отверстия экрана и неоднородностей функции пропускания экрана значительно превышают длину волны излучения, то сравнение результатов экспериментов по дифракции света на таких экранах с теорией показывает справедливость принятых Кирхгофом предположений. Это позволяет для многих дифракционных задач принять, что амплитуда напряженности поля непосредственно за эк-

раном  $\dot{E}$  (рис. 3.9) равна произведению амплитуды поля до экрана на  $\dot{E}_0$  и функции пропускания экрана  $\dot{T}(x, y)$ , т. е.

$$\dot{E} = \dot{E}_0 \dot{T}. \quad (3.7)$$

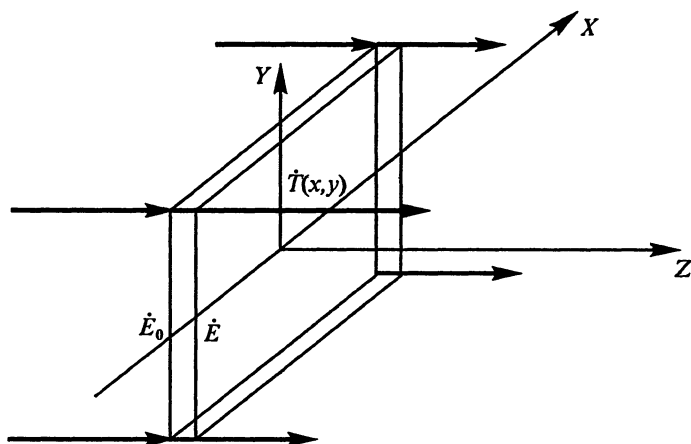


Рис. 3.9

Таким образом, результирующее поле  $\dot{E}_A$  в точке  $A$  определяется суперпозицией всех полей, создаваемых сферическими волнами, распространяющимися от отдельных излучателей на поверхности экрана:

$$\dot{E}_A = -\frac{i}{\lambda} \iint_S \frac{(1 + \cos \varphi)}{2} \dot{E}_0 \dot{T} \frac{\exp(-ikR)}{R} dS, \quad (3.8)$$

причем  $\Phi_0 = 0$ .

Выражение (3.8) называется *интегралом Кирхгофа – Френеля* и является математической формулировкой принципа Гюйгенса – Френеля.

Если ограничиться рассмотрением малых углов дифракции ( $\varphi \ll 1$ ), что имеет место при выполнении условия Кирхгофа, выражение (3.8) с учетом выражения (3.7) можно записать в виде

$$\dot{E}_A = -\frac{i}{\lambda} \iint_S \dot{E} \frac{\exp(-ikR)}{R} dS. \quad (3.9)$$

Из (3.9) отчетливо видно, что поле за экраном можно рассматривать как совокупность сферических волн, амплитуда и фаза ко-

торых определяются амплитудой и фазой колебаний в плоскости экрана.

Если экран плоский, то  $\dot{E}$  является функцией двух координат, например декартовых  $x$  и  $y$ . Часто из-за симметрии функция  $\dot{E}(x, y)$  может быть представлена произведением двух сомножителей, один из которых зависит только от  $x$ , другой – от  $y$ . При расчете дифракционной картины в плоскости, отстоящей на расстоянии  $z_0$  от плоскости экрана, при малых углах дифракции, как правило, значение  $R$  в знаменателе можно считать равным  $z_0$ . Если при этом фаза ( $ikR$ ) может быть представлена суммой двух слагаемых, одно из которых зависит только от  $x$ , другое – от  $y$ , то двухмерный интеграл (3.9) можно представить в виде произведения двух одномерных интегралов Кирхгофа – Френеля. Именно если  $\dot{T} = 1$ , то

$$\dot{E}_A(x', y') = \dot{E}_A(x')\dot{E}_A(y'), \quad (3.10)$$

где

$$\begin{aligned} \dot{E}_A(x') &= \frac{1}{\sqrt{i\lambda z_0}} \int_x \dot{E}(x) \exp[-i\Phi(x)] dx, \\ \dot{E}_A(y') &= \frac{1}{\sqrt{i\lambda z_0}} \int_y \dot{E}(y) \exp[-i\Phi(y)] dy, \end{aligned} \quad (3.11)$$

$x', y'$  – координаты в плоскости наблюдения.

Представление поля оптического излучения в виде совокупности сферических волн не является единственным способом его описания. Поле за экраном можно представить по методу Рэлея и в виде совокупности плоских волн.

Имея в виду условие Кирхгофа, представим поле за экраном набором плоских волн, комплексную амплитуду одной из которых можно записать в соответствии с (1.38) следующим образом:

$$d\dot{E}_A = \dot{E}_A(k_x, k_y) \exp\left[i\sqrt{k^2 - k_x^2 - k_y^2} z\right] \exp[i(k_x x + k_y y)] dk_x dk_y. \quad (3.12)$$

Поле в произвольной точке  $A$  будет суммой полей всех плоских волн, распространяющихся за экраном:

$$\begin{aligned} \dot{E}_A &= \iint_{k_x k_y} \dot{E}_A(k_x, k_y) \exp\left[i\sqrt{k^2 - k_x^2 - k_y^2} z\right] \times \\ &\times \exp[i(k_x x + k_y y)] dk_x dk_y. \end{aligned} \quad (3.13)$$

Чтобы вычислить эту сумму, необходимо знать зависимость амплитуды и фазы вторичных волн от амплитуды и фазы поля в плоскости экрана. В методе Рэля комплексная амплитуда плоских волн выбирается такой, чтобы сумма напряженностей полей всех плоских волн в плоскости экрана была равна напряженности поля непосредственно за экраном:

$$\dot{E}_A = \iint_{k_x, k_y} \dot{E}_A(k_x, k_y) \exp[i(k_x x + k_y y)] dk_x dk_y \equiv \dot{E}. \quad (3.14)$$

Связь между амплитудой напряженности поля непосредственно за экраном  $\dot{E}$  и амплитудами  $\dot{E}_A(k_x, k_y)$  плоских волн, распространяющихся за экраном, становится особенно простой, если  $\dot{E}$  считать одномерной функцией, например, координаты  $x$ . Тогда поле за экраном можно рассматривать как суперпозицию плоских волн, имеющих пространственные частоты вдоль  $X$  и  $Y$ . В этом случае выражение (3.14) преобразуется к виду

$$\dot{E}(x) = \int_{k_x} \dot{E}_A(k_x) \exp(ik_x x) dk_x, \quad (3.15)$$

т. е.  $\dot{E}(x)$  и  $\dot{E}(k_x)$  связаны между собой преобразованием Фурье. Из свойств преобразования Фурье следует, что

$$\dot{E}_A(k_x) = \int_{-\infty}^{\infty} \dot{E}(x) \exp(-ik_x x) dx. \quad (3.16)$$

Зная амплитуды вторичных плоских волн, определяемых по (3.15), можно с помощью (3.13) определить поле в любой точке  $A$  за экраном.

Применение метода Рэля для решения дифракционных задач имеет свои преимущества из-за высокой степени разработанности математического аппарата преобразований Фурье.

Оба метода совершенно эквивалентны при решении дифракционных задач. В методах Гюйгенса – Френеля, Рэля существенным является предположение о значении поля на поверхности экрана. Кирхгоф предположил, исходя из интуитивных соображений, что поле за экраном определяется просто перемножением функции пропускания экрана на амплитуду падающего света. Для одних дифракционных задач это предположение дает хорошее согласие с экспериментом, но его обоснование встречает серьезные трудности, для других это условие не выполняется.

### 3.3. ДИФРАКЦИЯ ФРЕНЕЛЯ. СПИРАЛЬ КОРНЮ

Решение дифракционных задач в оптике при выполнении условия Кирхгофа сводится к расчету поля с помощью формул Кирхгофа – Френеля или Рэлея. В общем случае вычислить эти интегралы – непростая задача. Но в ряде случаев они вычисляются достаточно просто, и полученный результат допускает наглядную геометрическую интерпретацию. В качестве одного из таких примеров снова рассмотрим дифракцию плоской монохроматической волны на круглом отверстии радиусом  $\rho_0 \gg \lambda$  (рис. 3.10). Для расчета дифракционной картины воспользуемся выражением (3.8). Так как форма отверстия обладает центральной симметрией, введем полярные координаты с началом в центре  $O$ . В этой системе  $dS = \rho d\rho d\alpha$ . Напряженность поля в точке  $A$ , лежащей на оси  $OZ$ , очевидно, будет равна:

$$\dot{E}_A = -\frac{i}{\lambda} \int_0^{2\pi} \int_0^{\rho_0} \dot{E}_0 \frac{\exp(-ik\sqrt{\rho^2 + z^2})}{\sqrt{\rho^2 + z^2}} \rho d\rho d\alpha. \quad (3.17)$$

Если  $z \gg \rho$ , можно воспользоваться приближением  $\sqrt{\rho^2 + z^2} \approx z$  для знаменателя и  $\sqrt{\rho^2 + z^2} \approx z + \frac{1}{2} \frac{\rho^2}{z}$  для фазы числителя. Это связано с тем, что малое по сравнению с  $z$  изменение  $\rho$  практически не изменит знаменателя, а числитель может изменить свое значение достаточно сильно, так как  $\rho$  умножается на очень большое значение  $k$ .

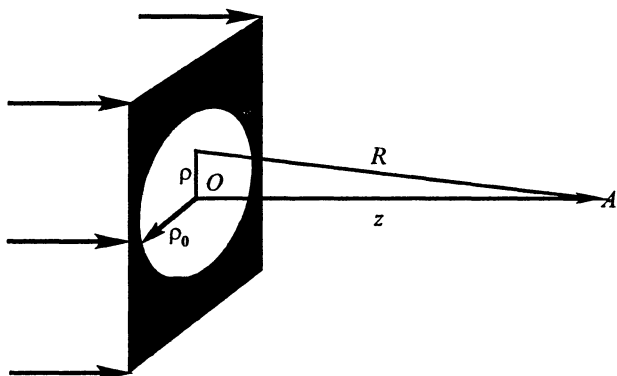


Рис. 3.10

С учетом сказанного (3.17) примет вид:

$$\dot{E}_A = -\frac{i}{\lambda} \int_0^{2\pi} \int_0^{\rho_0} \dot{E} \frac{\exp(-ikz) \exp\left(-i \frac{k\rho^2}{2z}\right)}{z} \rho d\rho d\alpha. \quad (3.18)$$

После вычисления интеграла (3.18) получаем:

$$\dot{E}_A = 2i\dot{E}_0 \exp(-ikz) \exp\left(-i \frac{k\rho_0^2}{4z}\right) \sin \frac{k\rho_0^2}{4z}. \quad (3.19)$$

Интенсивность света  $I_A$  в точке  $A$  будет, очевидно, равна:

$$I_A = \dot{E}_A \dot{E}_A^* = 4I_0 \sin^2 \frac{k\rho_0^2}{4z}, \quad (3.20)$$

где  $I_0 = |\dot{E}_0|^2$ .

Интенсивность  $I_A$  достигает максимума всякий раз, когда  $\frac{k\rho_0^2}{4z} = (2m-1)\frac{\pi}{2}$ , и равна нулю, когда  $\frac{k\rho_0^2}{4z} = 2m\frac{\pi}{2}$ . Такая зависимость легко наблюдается в экспериментах по дифракции света на круглом отверстии. На рис. 3.11 приведены фотографии с изображением дифракционной картины от круглого отверстия при различных  $z$ . Отчетливо видно изменение освещенности центрального пятна с изменением  $z$ . Из выражения (3.17) видно, что особенности дифракции в данном случае определяются квадратичной зависимостью фазы вторичных волн от «поперечной» координаты  $\rho$ .

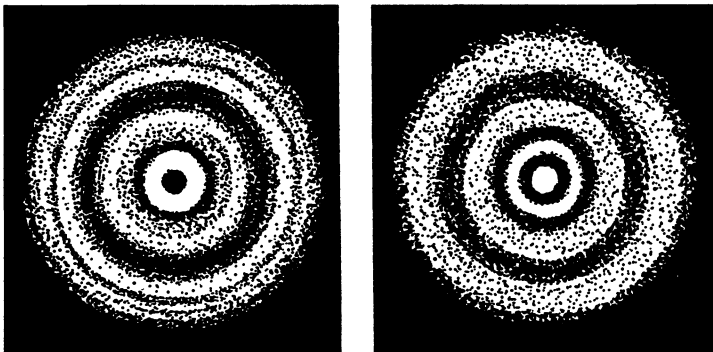


Рис. 3.11



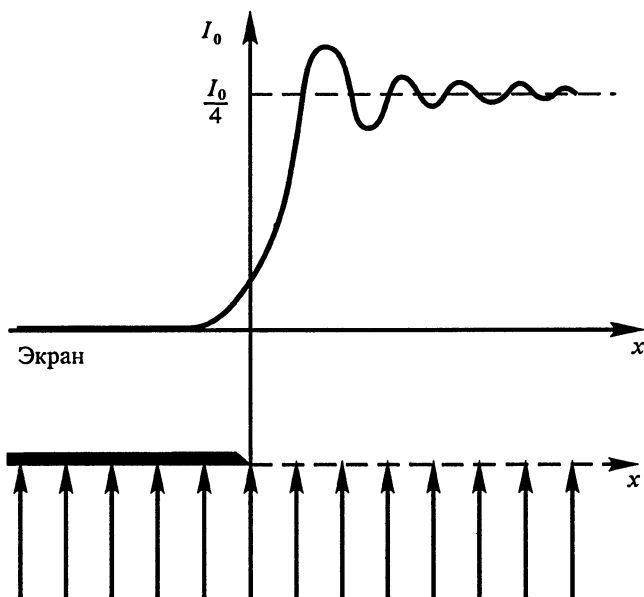


Рис. 3.12

Дифракция света, при которой фаза вторичных волн квадратично зависит от поперечной координаты вторичного сферического излучателя, называется *дифракцией Френеля*.

При дифракции света на краю плоского экрана наблюдается характерная зависимость интенсивности света от положения точки наблюдения по отношению к экрану (рис. 3.12). За экраном, в области геометрической тени, интенсивность постепенно спадает до нуля: около края с освещенной стороны значение интенсивности осциллирует вокруг некоторого значения  $I_0$ , равного интенсивности освещенной части пространства вдали от экрана. Точный расчет картины дифракции в приближении Френеля приводит к так называемым *интегралам Френеля*, которые не берутся в явном виде. Для качественного описания явления дифракции удобно применить *геометрический метод векторных диаграмм*.

Разобьем пространство, освещаемое сферической волной от источника  $P$ , вне тени экрана (рис. 3.13) на зоны плоскостями, проходящими через точку  $A$  и точки  $B_0, B_1, B_2, B_3$  на поверхности фронта волны так, что  $AB_1 = AB_0 + \frac{\lambda}{2}$ ,  $AB_2 = AB_1 + \frac{\lambda}{2}$  и т.д. При таком способе разбиения вся поверхность фронта волны будет разделена на так называемые *зоны Шустера*. Колебания от каждой

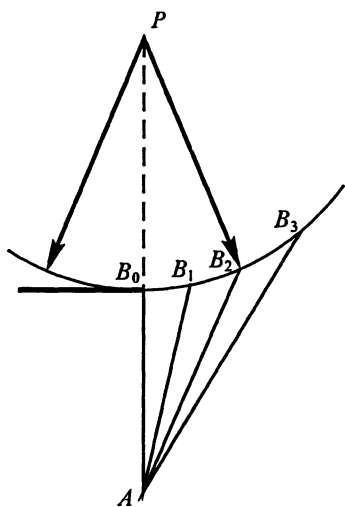


Рис. 3.13

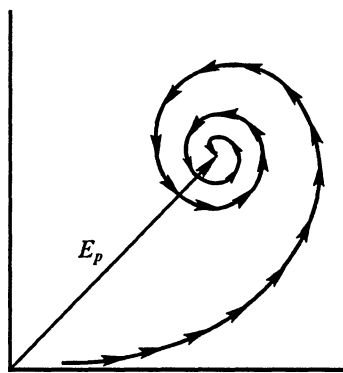


Рис. 3.14

из последующих зон будут приходить в точку наблюдения  $A$  в противофазе по сравнению с колебаниями предыдущей зоны. В отличие от зон Френеля зоны Шустера имеют разные площади.

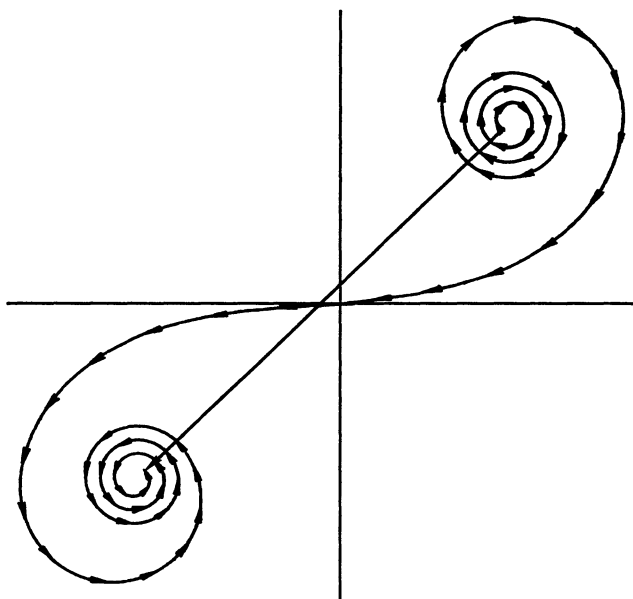


Рис. 3.15

Площади первой и последующих зон относятся между собой как  $(\sqrt{k} - \sqrt{k-1}) : (\sqrt{k+1} - \sqrt{k})$ , т.е. как 1:0,41:0,32:0,27:0,23:0,22:0,20.

Векторная диаграмма, построенная для точки  $A$ , находящейся на линии, перпендикулярной краю экрана, будет иметь вид, показанный на рис. 3.14. По мере того как точка  $A$  будет смещаться параллельно экрану в сторону освещенной части пространства, будут открываться новые зоны. Если удалиться от края экрана так, что его действие можно не учитывать, то векторная диаграмма будет выглядеть так, как показано на рис. 3.15. Эта векторная диаграмма называется *спиралью Корню*.

Пользуясь спиралью Корню, можно установить, что интенсивность дифракционного света в точке  $A$ , когда для наблюдателя экран закрывает половину волнового фронта от источника  $P$ , равна  $\frac{I_0}{4}$ . С помощью спирали Корню удобно также анализировать результат дифракции Френеля от сферической волны на щели размером  $d$ .

### 3.4. ЗОННАЯ ПЛАСТИНКА

Применяя метод зон Френеля для расчета дифракционной картины, мы обнаружили, что непрозрачное препятствие, заслоняющее источник света  $P$  в точке наблюдения  $A$ , может не только уменьшить интенсивность света в точке  $A$ , но и увеличить ее. Это явление связано с тем, что с помощью непрозрачного экрана частично перекрываются те вторичные излучатели, которые обеспечивают отрицательный вклад в результирующую амплитуду в точке наблюдения. Колебания, приходящие в точку  $A$  от соседних зон Френеля, находятся в противофазе. Очевидно, что если создать неоднородный экран, перекрывающий излучение от всех четных или нечетных зон Френеля, он обеспечит значительное усиление интенсивности в точке  $A$ . Экран, функция пропускания которого обеспечивает перекрытие всех четных или нечетных зон Френеля, называется *зонной пластинкой Френеля*. На рис. 3.16, *a* изображена зонная пластинка Френеля, на ней (для определенных условий наблюдения) нанесены зоны Френеля, причем четные оставлены прозрачными, а нечетные зачернены (практически чертеж выполняется в большом масштабе, а затем фотографическим способом уменьшается в нужное число раз). Если такую пластинку поставить на пути световой волны, то сумма ряда (3.2) примет вид:

$$E = E_2 + E_4 + E_6 + \dots > E_2.$$

Таким образом, будет суммироваться действие всех четных зон, и освещенность должна возрасти (по сравнению со случаем свободного распространения света), что и наблюдается в действительности. При этом векторная диаграмма (рис. 3.16, б) будет описывать действие только четных зон, т.е. будет содержать сумму полувитков спирали. Конечно, такой же результат достигается и при зачернении только нечетных зон. Если же четные (или нечетные) зоны не просто зачернить, а покрыть слоем диэлектрика, создающим (благодаря уменьшению скорости света) дополнительную разность хода, равную половине длины волны (или нечетному числу полуволн), то выигрыш в освещенности увеличится еще в четыре раза. Так как при изменении точки наблюдения условия оптимальной освещенности для данной зонной пластинки не выполняются, она создает значительную интенсивность света лишь в окрестности точки *A*, для которой она рассчитана. Поэтому зонная пластинка в известном смысле подобна собирающей линзе, и при ее помощи удастся получать удовлетворительные изображения.

Действительно, особенно эффективна была бы зонная пластинка, представляющая собой такой экран на пути света от *P* к *A*, чтобы все колебания от вторичных источников в точке *A* складывались в одной фазе. Это позволило бы получить максимальную интенсивность в точке *A*. Векторная диаграмма, описывающая действие такой зонной пластинки, представляла бы в этом случае прямую линию. Оказывается, это можно сделать. Например, таким экраном служит линза, образованная двумя сферическими или плоской и сферической поверхностями. Такой фазовый экран обеспечивает изменение фазы вторичных излучателей на «выходе» линзы по квадратичному закону (в зависимости от поперечной координаты *ρ*), что и приводит к фокусировке плоской волны, падающей на линзу.

Так как (при прочих равных условиях) радиусы зон Френеля пропорциональны корню квадратному из длины волны, то для сантиметровых электромагнитных волн зонная пластинка получается большой и ее действие (как и вообще дифракцию Френеля) легко показать в аудитории. Аналогичного эффекта можно добиться, если на

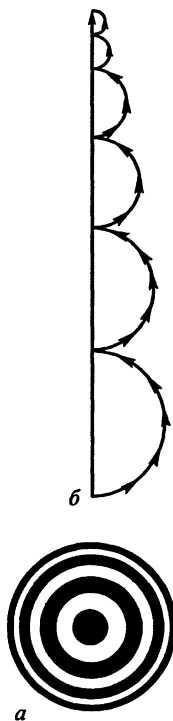


Рис. 3.16

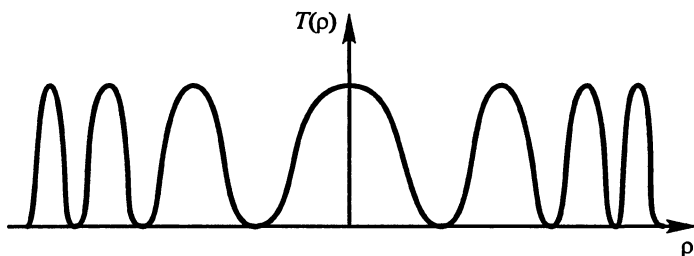


Рис. 3.17

пути плоской волны поставить экран, имеющий функцию пропускания  $T$  вида

$$T = T_0 \cos \frac{k\rho^2}{2z_0} = \frac{T_0}{2} \left[ \exp\left(-i \frac{k\rho^2}{2z_0}\right) + \exp\left(+i \frac{k\rho^2}{2z_0}\right) \right]. \quad (3.21)$$

Из выражения (3.21) видно, что такой экран обеспечивает для вторичных волн квадратичную зависимость фазы от поперечной координаты только одновременно и со знаком «плюс» и со знаком «минус». Действие такой пластинки на плоскую волну эквивалентно действию двух линз – одной собирающей, другой рассеивающей. График функции представлен на рис. 3.17. Пластинка с функцией прозрачности вида (3.21) называется *пластинкой Габора*.

### 3.5. ДИФРАКЦИЯ ФРАУНГОФЕРА

Рассмотрим дифракцию в случае, когда расстояние  $z$  от экрана до точки наблюдения настолько велико, что

$$z \gg \frac{\rho_0^2}{\lambda}. \quad (3.22)$$

Ее называют *дифракцией Фраунгофера*, впервые применившего этот метод наблюдения и создавшего первые дифракционные решетки. При очень больших удалениях от экрана с неоднородностью, например щелью, на поверхности щели уложится лишь часть первой зоны Френеля. Пусть неоднородность представляет собой прямоугольную щель бесконечной длины. Координаты ее краев равны  $\pm \frac{b}{2}$ . Пусть на экран падает плоская монохроматическая волна с амплитудой  $E_0$  и длиной волны  $\lambda$ . Считаем, что

$\lambda \ll b$ . Наблюдение дифракционной картины будем проводить на достаточно больших расстояниях  $z$ , удовлетворяющих условию Фраунгофера (3.22) в различных точках, расположенных в плоскости, перпендикулярной  $OB$  (рис. 3.18). Практически для наблюдения дифракции Фраунгофера используется собирающая линза, которая устанавливается за экраном. Наблюдение дифракционной картины ведется в задней фокальной плоскости линзы.

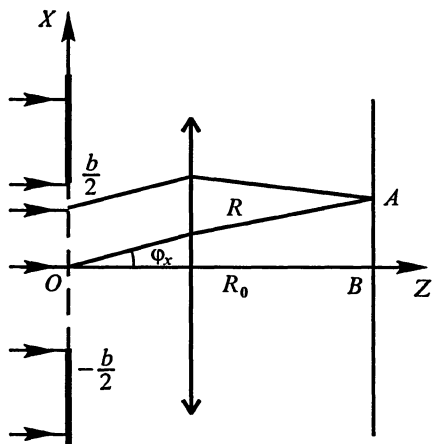


Рис. 3.18

При этом все волны, идущие после экрана по одному направлению, собираются в соответствующем побочном фокусе линзы. Применение линзы позволяет наблюдать дифракцию Фраунгофера при более высоких уровнях интенсивности дифрагированного света, не меняя условий интерференции вторичных волн.

Как видно из рис. 3.18, для некоторого произвольного направления в плоскости  $XOZ$ , определяемого малым углом  $\varphi_x$ , расстояние  $R$  можно выразить как линейную функцию поперечной координаты  $x$ . Именно

$$R = R_0 + x \sin \varphi_x, \quad (3.23)$$

где  $R_0$  – расстояние от экрана до точки наблюдения по направлению  $\varphi_x = 0$ .

С учетом (3.23) одномерный интеграл Кирхгофа – Френеля примет вид:

$$\begin{aligned} E_A(\varphi_x) &= \frac{\dot{E}_0}{\sqrt{i\lambda z_0}} \exp(-ikR_0) \int_{-b/2}^{b/2} \exp(-ikx \sin \varphi_x) dx = \\ &= \dot{E}_0 \frac{\exp(-ikR_0)}{\sqrt{i\lambda z_0}} b \frac{\sin\left(\frac{kb \sin \varphi_x}{2}\right)}{\frac{kb}{2} \sin \varphi_x}. \end{aligned} \quad (3.24)$$

Интенсивность света как функция  $\varphi_x$  будет определяться выражением

$$I_A(\varphi_x) = I_m \left[ \frac{\sin\left(\frac{kb}{2} \sin \varphi_x\right)}{\frac{kb}{2} \sin \varphi_x} \right]^2, \quad (3.25)$$

где  $I_m$  – интенсивность света при  $\varphi_x = 0$ .

График функции  $I_A(\varphi_x)$  приведен на рис. 3.19.

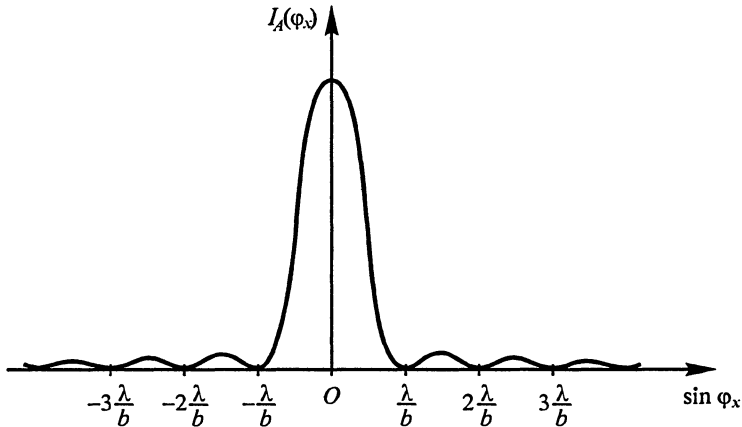


Рис. 3.19

Функция  $I_A(\varphi_x)$  имеет главный максимум при значении  $\varphi_x = 0$ , равна нулю при значениях  $\varphi_x$ , для которых  $b \sin \varphi_x = n\lambda$ . Угол между двумя первыми нулями определяет ширину главного максимума дифракционной картины. Видно, что главный максимум тем шире, чем уже щель. Если ширина щели  $b$  равна  $\lambda$ , то направление на первые нули соответствует углу  $\frac{\pi}{2}$ . Щель становится точечным излучателем, свет за ней распространяется во все стороны.

Между минимумами располагаются боковые максимумы в направлениях, для которых отношение  $\frac{\sin \alpha}{\alpha}$ , где  $\alpha = \frac{kb}{2} \sin \varphi_x$ , максимално. Расчет показывает, что максимумам соответствуют углы

$$\varphi_{x1} = \arcsin\left(1,43 \frac{\lambda}{b}\right), \quad \varphi_{x2} = \arcsin\left(2,46 \frac{\lambda}{b}\right), \dots$$

В первом приближении можно считать условие максимума более простым:

$$\sin \varphi_{xk} = \frac{2k+1}{2} \frac{\lambda}{b}, \quad k = 1, 2, \dots$$

При этом интенсивность быстро падает с увеличением номера максимума. Если интенсивность при  $\alpha = 0$  (для монохроматического света) принять за 100, то интенсивности следующих максимумов таковы: 4,7; 1,7; ... . Следовательно, подавляющая часть светового потока собирается в пределах центрального максимума, т. е. в пределах угла

$$\varphi_x = \arcsin \frac{\lambda}{b}.$$

Точно такие же результаты можно получить, решая дифракционную задачу методом Рэлея, представляя поле за щелью совокупностью плоских волн. Как уже отмечалось, амплитуды волн должны быть такими, чтобы сумма напряженностей волн в плоскости щели была равна напряженности поля в этой плоскости. Удобно функцию пропускания щели представить в виде интеграла Фурье

$$\dot{T} = \dot{E}_0 \int_{-b/2}^{b/2} \exp(-ik_x x) dx. \quad (3.26)$$

Каждой гармонической составляющей в интеграле (3.26) с пространственной частотой  $\nu_x = k_x c$  соответствует плоская волна, распространяющаяся за щелью с той же пространственной частотой вдоль направления, определяемого углом  $\varphi_x$ , и с амплитудой и фазой такими, чтобы в плоскости щели они в точности были равны амплитуде и фазе соответствующей гармонической составляющей.

Так как  $k_x = k \sin \varphi_x$ , то интеграл (3.26) равен:

$$\dot{T} = \dot{E}_0 b \frac{\sin k \frac{b}{2} \sin \varphi_x}{\frac{kb}{2} \sin \varphi_x}. \quad (3.27)$$

Следовательно, по направлению  $\varphi_x$  должна распространяться плоская волна с амплитудой:

$$\dot{E}(\varphi_x) = \dot{E}_0 b \frac{\sin \left( k \frac{b}{2} \sin \varphi_x \right)}{\frac{kb}{2} \sin \varphi_x} e^{-ik_x x}; \quad (3.28)$$





Рис. 3.20

интенсивность этой волны пропорциональна квадрату модуля амплитуды.

На рис. 3.20 показана дифракционная картина, даваемая прямоугольной щелью конечных размеров (высота щели вдвое больше ее ширины). При этом дифракционная картина растянута по горизонтали меньше, чем по вертикали, так как дифракция тем заметнее, чем уже освещаемый участок.

При дифракции на круглом отверстии радиусом  $\rho$  дифракционная картина обладает круговой симметрией. Распределение интенсивности света в направлении  $\alpha$  от оси круглого отверстия зависит от значения параметра

$$\theta = \frac{2\pi\rho}{\lambda} \sin\alpha.$$

При этом направление на первый минимум определяется условием

$$\sin\varphi_x = 0,61 \frac{\lambda}{\rho}. \quad (3.29)$$

Если дифракция происходит на одном отверстии, то практически весь световой поток можно считать сосредоточенным в пределах центрального максимума.

### 3.6. ДИФРАКЦИОННЫЕ РЕШЕТКИ

Рассмотрим дифракцию Фраунгофера на системе параллельных щелей шириной  $b$ , разделенных непрозрачными промежутками шириной  $a$  (рис. 3.21). Такие структуры, называемые *дифракционными решетками* (одномерными), имеют большое практическое применение. Они изготавливаются путем нанесения при помощи делительной машины непрозрачных штрихов на прозрачной пластине (либо шероховатых, рассеивающих свет, штрихов на полированной металлической пластине) и применяются соответственно в проходящем или отраженном свете; принципиальной разницы между обоими случаями нет.

Величина  $d = a + b$  называется *постоянной решетки* (или периодом); обратная ей величина  $n = \frac{1}{d}$  определяет *число штрихов на единицу длины*. При длине  $L$  полное число штрихов  $N = nL$ . Хорошие

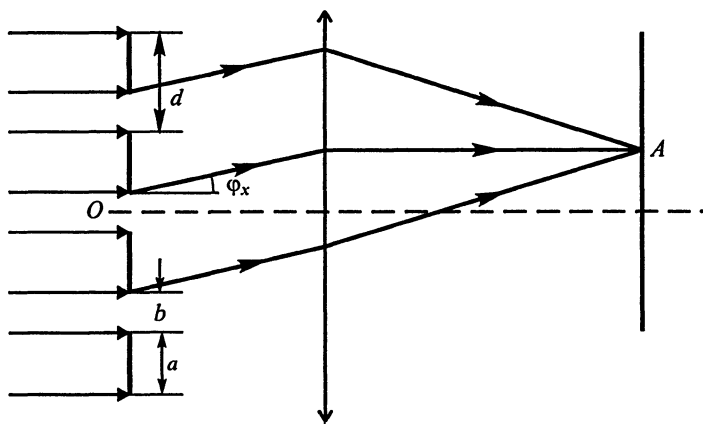


Рис. 3.21

современные решетки имеют до 2000 штрихов на 1 мм длины при общей длине, достигающей 250 мм. Таким образом, полное число штрихов решетки может быть очень велико – до 500 000.

Допустим, что решетка освещается когерентным светом. Пусть плоская волна падает на решетку под нулевым углом (см. рис. 3.21). Каждая щель даст дифракционную картину, описываемую уже известным нам выражением (3.25). Но многочисленные световые пучки, посылаемые отдельными щелями, будут, кроме того, интерферировать между собой, в результате чего произойдет существенное перераспределение света на экране.

С учетом того, что разность фаз между колебаниями от соседних щелей, которая возникает при распространении света за решеткой по направлению  $\varphi_x$ , равна

$$\Delta = kd \sin \varphi_x,$$

для амплитуды результирующего поля  $\dot{E}(\varphi_x)$ , наблюдаемого под углом дифракции  $\varphi_x$ , получим выражение

$$\begin{aligned} \dot{E}(\varphi_x) &= \frac{\dot{E}_0 \exp(-ikR_0)}{\sqrt{i\lambda z_0}} b \sum_{m=1}^N \frac{\sin\left(\frac{kb}{2} \sin \varphi_x\right)}{\frac{kb \sin \varphi_x}{2}} \exp(ikmd \sin \varphi_x) = \\ &= \frac{b \dot{E}_0 \exp(-ikR_0)}{\sqrt{i\lambda z_0}} \frac{\sin \frac{kb}{2} \sin \varphi_x}{\frac{kb \sin \varphi_x}{2}} \sum_{m=1}^N \exp(ikmd \sin \varphi). \end{aligned} \quad (3.30)$$

Сумма в выражении (3.30) легко находится как сумма геометрической прогрессии:

$$\begin{aligned} \sum_{m=1}^N \exp(ikmd \sin \varphi_x) &= \frac{1 - \exp(ikNd \sin \varphi_x)}{1 - \exp(ikd \sin \varphi_x)} = \\ &= \frac{\exp\left(i \frac{kNd \sin \varphi_x}{2}\right) \sin\left(\frac{kNd \sin \varphi_x}{2}\right)}{\exp\left(i \frac{kd \sin \varphi_x}{2}\right) \sin\left(\frac{kd \sin \varphi_x}{2}\right)}. \end{aligned} \quad (3.31)$$

С учетом (3.31) выражение для  $\dot{E}(\varphi_x)$  принимает вид:

$$\dot{E}(\varphi_x) = \dot{E}'_0 \frac{\sin \frac{kb}{2} \sin \varphi_x \sin \frac{kNd \sin \varphi_x}{2}}{\frac{kb \sin \varphi_x}{2} \sin \frac{kd}{2} \sin \varphi_x}, \quad (3.32)$$

где

$$\dot{E}'_0 = \dot{E}_0 \frac{\exp(-ikR_0)}{\sqrt{i\lambda z_0}} b \frac{\exp\left(i \frac{kNd \sin \varphi_x}{2}\right)}{\exp\left(i \frac{kd \sin \varphi_x}{2}\right)}.$$

Зная (3.32), нетрудно получить выражение, определяющее зависимость интенсивности дифрагированного света как функции угла  $\varphi_x$ :

$$I(\varphi_x) = \dot{E}(\varphi_x) \dot{E}^*(\varphi_x) = I_m N^2 \frac{\sin^2 \alpha}{\alpha^2} \frac{\sin^2 N\beta}{N^2 \sin^2 \beta}, \quad (3.33)$$

где  $\alpha = \frac{kbs \sin \varphi_x}{2}$ ,  $\beta = \frac{kd \sin \varphi_x}{2}$ ,  $I_m$  – интенсивность света от одной щели при  $\varphi_x = 0$ .

Полученное выражение позволяет проанализировать характер картины дифракции Фраунгофера от  $N$  щелей.

Распределение интенсивности в дифракционной картине зави-

сит от двух сомножителей:  $\left(\frac{\sin \alpha}{\alpha}\right)^2$  и  $\left(\frac{\sin N\beta}{N \sin \beta}\right)^2$ . Первый из них

определяет дифракцию света на одной щели, второй – взаимодействие лучей, идущих от отдельных щелей решетки. Графики обеих функций и их произведения представлены на рис. 3.22.

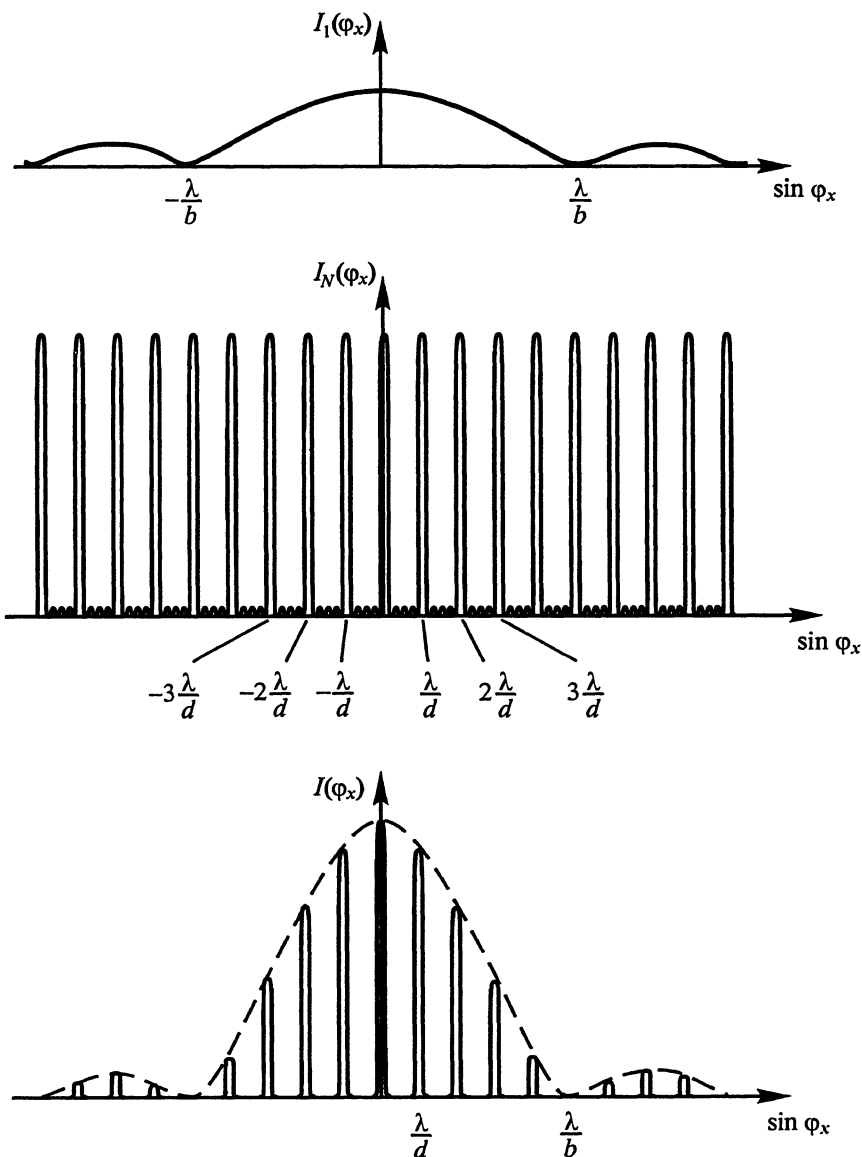


Рис. 3.22

В отличие от дифракции на одной щели дифракционная картина на  $N$  щелях характеризуется наличием острых дифракционных максимумов, соответствующих синфазному сложению лучей, идущих от отдельных щелей, и соответственно максимуму множи-

теля решетки. Эти так называемые *главные максимумы* дифракционной картины наблюдаются при условии

$$\beta = m\pi$$

или

$$\frac{kd \sin \varphi_m}{2} = m\pi, \quad d \sin \varphi_m = m\lambda. \quad (3.34)$$

Интенсивность света по этим направлениям равна  $N^2 I_m$ .

Ширину главного максимума можно определить, найдя значение  $\varphi_x$ , при котором интенсивность света спадает до нуля вблизи этого максимума:

$$N\beta = (Nm + 1)\pi, \\ N \frac{kd \sin \varphi_x}{2} = Nm\pi + \pi.$$

Таким образом,

$$N \frac{kd}{2} \sin \varphi_x = \frac{\sin \varphi_m Nkd}{2} + \pi, \\ N \frac{kd}{2} (\sin \varphi_x - \sin \varphi_m) = \pi.$$

Для небольших углов дифракции

$$d\Delta\varphi_x = \frac{\lambda}{N}. \quad (3.35)$$

где  $\Delta\varphi_x$  – угол между направлениями на главный максимум и первый его минимум.

Видно, что ширина главного максимума не зависит от его номера  $m$  и тем меньше, чем больше число штрихов в решетке. Ясно, что между главными максимумами с номерами  $m$  и  $m + 1$  располагаются  $(N - 1)$  минимумов и, следовательно,  $(N - 2)$  побочных максимумов, где интенсивность гораздо меньше, чем в главных максимумах.

Таким образом, увеличение числа щелей на единицу длины увеличивает расстояние между соседними максимумами (для данной волны  $\lambda$ ), а также между максимумами для двух близких длин волн ( $\lambda$  и  $\lambda + \Delta\lambda$ ).

Если для получения спектральной картины от решетки применяется линза с главным фокусным расстоянием  $f$ , то линейное расстояние между центральным максимумом (0) и главным ( $m$ ) равно:

$$y = f \operatorname{tg} \varphi \approx f \sin \varphi = f \frac{m}{d} \lambda. \quad (3.36)$$

При небольшом изменении длины волны  $d\lambda$  максимум смещается на расстояние

$$dy = \frac{fm}{d} dy.$$

Отношение

$$\frac{dy}{d\lambda} = f \frac{m}{d} = fmm \quad (3.37)$$

называется *дисперсионной способностью решетки*. Как видно, эта величина растет при увеличении числа штрихов на единицу длины.

Учтем теперь роль общего числа штрихов. Если интенсивность света в нулевом максимуме ( $\varphi_x = 0$ ) при одной щели равна  $I_m$ , то при  $N$  щелях, как видно из формулы (3.33), она делается равной

$$I_0 = I_m N^2,$$

т.е. растет пропорционально квадрату числа щелей. Но полная энергия, пропускаемая решеткой в единицу времени, пропорциональна числу щелей  $N$ . Более резкое возрастание интенсивности в нулевом и остальных главных максимумах объясняется перераспределением света – максимумы делаются более узкими. Поэтому увеличение общего числа щелей не только резко увеличивает интенсивность, но и дает возможность различить максимумы для близких длин волн  $\lambda_1$  и  $\lambda_2$ . Действительно, полагая, что наблюдения ведутся при небольших углах, так что можно в (3.34) синус заменить углом, напишем условие для главного максимума волны длиной  $\lambda$ :

$$\varphi_1 = m \frac{\lambda_1}{d}.$$

Условие для ближайшего минимума той же волны есть

$$\varphi_2 = \left( m + \frac{1}{N} \right) \frac{\lambda_1}{d}.$$

Если максимум для второй волны виден под углом, не меньшим  $\varphi_2$ , то он будет замечен наблюдателем. Пусть направление на максимум света для второй волны таково, что

$$\varphi_2 = \frac{m}{d} \lambda_2.$$

Принимая  $\lambda_2 = \lambda_1 + \Delta\lambda$ , получаем:

$$m \frac{\lambda_2}{d} = \left( m + \frac{1}{N} \right) \frac{\lambda_1}{d},$$

откуда находим выражение для *разрешающей способности решетки*:

$$\frac{\lambda_1}{\Delta\lambda} = mN. \quad (3.38)$$

Она определяется общим числом штрихов  $N$ , умноженным на порядок дифракционного спектра. У наилучших решеток разрешающая способность достигает значения  $10^4$ , т. е. решетка позволяет в видимом свете разделить две волны, длины которых разнятся на  $10^{-11}$  м. При некоторых соотношениях между  $b$  и  $a$  отдельные максимумы выпадают, за счет чего концентрация света в главных максимумах еще улучшается. Так, если  $b = a$ , то направление на дифракционный минимум каждой щели, определяемое соотношением

$$\sin \varphi = \frac{k\lambda}{a},$$

совпадает с направлением на главный максимум решетки:

$$\sin \psi = \frac{m\lambda}{2a} = \sin \varphi, \quad m = 2k.$$

Если решетка используется в отраженном свете, то можно, подобрав соответствующий профиль отражающей поверхности, увеличить интенсивность света в главных максимумах. Как видно из (3.35), смещение максимума (относительно нулевого) пропорционально длине волны; это весьма благоприятное для спектральных измерений соотношение делает решетку очень ценным спектральным прибором. Спектр решетки называют *нормальным* в отличие от *призматического* спектра, где отсутствует пропорциональность между отклонением луча и соответствующей длиной волны.

Если волна падает на решетку наклонно (под углом  $\beta$ ), то условие получения главных максимумов таково (рис. 3.23):

$$d \sin \varphi - d \sin \beta = m\lambda,$$

откуда

$$\sin \varphi = \frac{m\lambda}{d} + \sin \beta.$$

Таким образом, дисперсионная способность при этом возрастает, что важно при

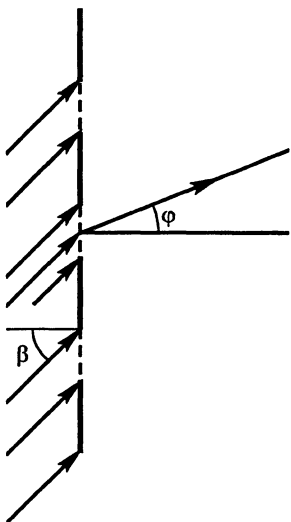


Рис. 3.23

работе с очень короткими волнами; например, именно таким способом удалось получить дифракцию рентгеновских волн ( $\lambda < 10$  нм) на обычной дифракционной решетке.

Напротив, при более длинных волнах чрезмерное уменьшение постоянной решетки может привести к нежелательным последствиям. Так как направление на главный максимум есть

$$\sin\varphi = m\frac{\lambda}{d},$$

то даже для работы в первом максимуме нужно, чтобы было

$$\lambda < d.$$

Поэтому решетка, имеющая  $n = 10^3$  мм<sup>-1</sup>, непригодна для исследования инфракрасных волн, длина волны которых превышает 1 мкм.

Если пропустить свет через две перекрещенные решетки, представляющие двухмерную периодическую структуру, то придется считаться с образованием дифракционной картины в двух взаимно перпендикулярных направлениях. При этом главные максимумы получаются при одновременном соблюдении двух условий:

$$d_1 \sin\varphi_1 = m_1\lambda, \quad d_2 \sin\varphi_2 = m_2\lambda,$$

где индексы 1 и 2 отвечают двум взаимно перпендикулярным направлениям, параллельным штрихам решеток. Иначе говоря, свет, испытавший дифракцию на одной решетке, дифрагирует и на другой. В результате получается центральное пятно (здесь источник света следует считать небольшим и круглым), интенсивные максимумы в двух взаимно перпендикулярных направлениях и более слабые максимумы еще в некоторых основных направлениях, удовлетворяющих условиям дифракции (рис. 3.24). Если слегка поворачивать решетки в их плоскости, то поворачивается и дифракционная картина.

Во всех рассматриваемых ранее случаях мы считали падающий свет когерентным. Если это условие выполнено лишь частично (источник света не точечный), то видимость дифракционной картины существенно ухудшается, однако первые главные максимумы обычно заметны и в этом случае.

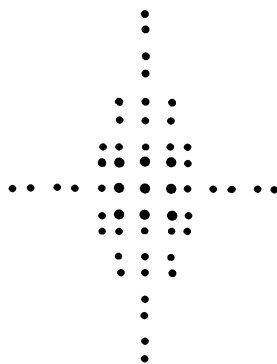


Рис. 3.24



### 3.7. ДИФРАКЦИЯ РЕНТГЕНОВСКИХ ВОЛН. ФОРМУЛА ВУЛЬФА – БРЭГГА

Большой интерес представляет дифракция на пространственных периодических структурах. Таковы кристаллы; на них можно наблюдать дифракцию рентгеновских волн, длина волны которых соизмерима с межатомными расстояниями.

Впервые такой опыт был поставлен по предложению Лауэ в 1912 г., причем оказалось, что за кристаллом на фотопластинке получилось центральное неотклоненное пятно и ряд закономерно расположенных пятен, распределенных в плоскости, перпендикулярной оси неотклоненного пучка рентгеновских лучей. Определение межатомных расстояний (при известной длине волны) или длины волны (при заданных межатомных расстояниях) представляет сложную стереометрическую задачу, имеющую большое практическое значение.

Мы ограничимся здесь простейшим видом дифракции в отраженных лучах, рассчитанной Вульфом и Брэггами в 1913 г.

На рис. 3.25 точки показаны равновесные положения атомов в кристаллической решетке. Пусть расстояние между атомными слоями равно  $d$ . Падающие рентгеновские лучи рассеиваются на нескольких атомных плоскостях в различных направлениях. При интерференции рассеянных волн можно найти направления, где интенсивность рассеянных лучей будет наибольшей. Действительно, для этого необходимо, чтобы разность хода между лучами, отраженными от соседних атомных плоскостей, равнялась целому числу длин волн. Из рис. 3.25 видно, что это получится, если

$$2CB = 2d \sin \theta = m\lambda, \quad m = 1, 2, \dots, \quad (3.39)$$

где  $\theta$  – так называемый угол скольжения, дополняющий угол падения до прямого угла.

Если использовать простейший кристалл с кубической решеткой – хлорид натрия, то, зная, что между ионами Na и Cl расстояние равно  $d$  и что один ион приходится на объем  $d^3$ , можно написать:

$$2Nd^3 = \frac{M}{\rho},$$

где  $N = 6,02 \cdot 10^{23}$  моль<sup>-1</sup> – постоянная Авогадро,  $M = 5,85 \cdot 10^{-2}$  кг/моль – молярная масса вещества, а  $\rho =$

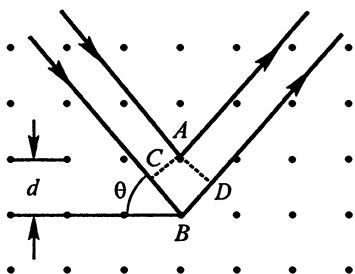


Рис. 3.25

$= 2140 \text{ кг/м}^3$  – его плотность. Отсюда получается межионное расстояние

$$d = 2,8 \cdot 10^{-10} \text{ м.}$$

Заставив рентгеновские волны неизвестной длины  $\lambda$  отражаться от кристалла NaCl, можно было, пользуясь уравнением Вульфа – Брэгга (3.39), найти неизвестную длину волны. По известной длине волны можно исследовать другие кристаллы. Современный рентгеноструктурный анализ представляет развитие этой простой идеи.

Дебай и Шерер предложили получать рентгенограммы от столбиков прессованного кристаллического порошка. Так как в нем найдутся всевозможные ориентации атомных плоскостей, то отражение рентгеновских лучей некоторого направления будет происходить в различных направлениях, образующих постоянный угол с направлением падающего луча. Таким образом, в пространстве получится конус с углом раствора  $\theta$ .

На узкой фотопластинке, помещенной нормально к первоначальному пучку, получится по два отрезка дуг (для каждого возможного угла отражения). Таким образом можно производить исследование поликристаллических материалов. Так как обычно в отражении участвует громадное число атомов, то линии на пластинке получаются резкими. Но при очень малых размерах кристалликов линии размываются.

Таким методом, в частности, было показано, что в жидкости при температуре, немного превышающей температуру плавления вещества, имеются мелкие кристаллические образования. По-видимому, они неустойчивы и все время распадаются и вновь возникают. При повышении температуры число их резко уменьшается.

Для измерения длин рентгеновских волн их направляют на кристалл известной структуры. Вращая кристалл, меняют угол падения луча. Отраженный луч направляют в приемник, например ионизационную камеру, поворачивающуюся вместе с кристаллом, так что отраженный луч всегда попадает в нее (если этот луч существует). Отмечая углы, при которых сила тока в камере возрастает, определяют направления интенсивного отражения и по ним находят длину волны.

### **3.8. ДИФРАКЦИЯ СВЕТА НА ФАЗОВЫХ ЭКРАНАХ**

Не меньший интерес как в теоретическом, так и в прикладном отношении представляет рассмотрение дифракции света на фазовых экранах, которая частично уже рассматривалась в § 3.4. Примером

фазовых экранов являются хорошо известные оптические устройства: призма, линза, ультразвуковой модулятор света.

Рассмотрим дифракцию света на тонкой призме, имеющей столь малый преломляющий угол  $\theta$ , что закон преломления можно записать для луча, выходящего из призмы, в виде  $\frac{\alpha_0}{\alpha_1} = \frac{1}{n}$ .

Пусть плоская волна падает на призму нормально (рис. 3.26). Тогда у преломляющей грани  $\alpha_0 = \theta$  и отклонение луча от горизонтали:

$$\delta = \theta (n - 1), \quad (3.40)$$

оно и определяет направление распространения волны за призмой.

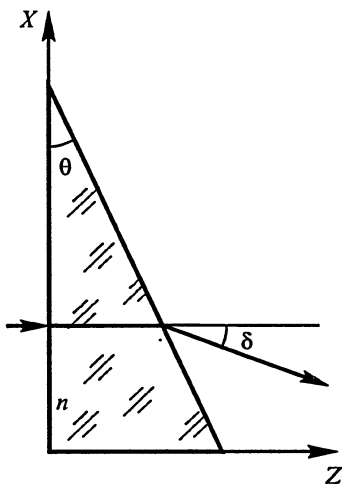


Рис. 3.26

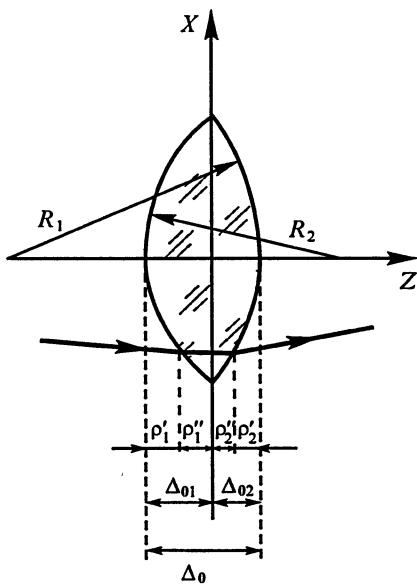


Рис. 3.27

Такое же значение для угла отклонения плоской волны, прошедшей через тонкую призму, можно получить, рассматривая последнюю как фазовый экран, толщина которого есть линейная функция от координаты  $x$ .

Примем ширину основания призмы при  $x = 0$  за  $\Delta$ . Тогда фаза волнового поля  $\Phi(x)$  в плоскости  $z = \Delta$  будет зависеть от  $x$  по закону

$$\Phi(x) = k [n\Delta - x\theta (n - 1)], \quad \text{где } k = 2\pi/\lambda.$$

Эта формула справедлива при малом преломляющем угле призмы, таком, что  $\operatorname{tg} \theta \approx \theta$ .

Если амплитуда волны, падающей на призму, есть  $\dot{E}_0$ , то комплексная амплитуда волны за призмой  $\dot{E}(x)$  в плоскости  $z = \Delta$  равна:

$$\dot{E}(x) = \dot{E}_0 e^{ik[n\Delta - x\theta(n-1)]},$$

и, следовательно, проекция вектора  $\vec{k}$  на ось  $OX$  равна  $k_x = -k\theta(n-1)$ .

Отношение  $\frac{k_x}{k}$  определяет угол отклонения  $\delta$ , который, как видно из полученного выше соотношения, равен:

$$\delta = -\theta(n-1).$$

Знак минус указывает на поворот вектора  $\vec{k}$  по часовой стрелке при выбранном расположении призмы относительно падающей волны света.

Действие тонкой линзы на падающую волну также можно рассматривать как действие фазового экрана. Линза называется тонкой, если ее максимальная толщина намного меньше радиусов кривизны сферических поверхностей, образующих линзу, т.е.  $\Delta_0 \ll R_1$ ,  $\Delta_0 \ll R_2$  (рис. 3.27). Линию, соединяющую центры сферических поверхностей линзы, будем называть главной оптической осью линзы. Лучи, образующие с главной оптической осью малые углы (параксиальные лучи), падающие на поверхность линзы в точке с координатами  $x$ ,  $y$ , выходят из линзы практически без смещения, т.е. в точке с теми же координатами  $x$ ,  $y$ . Действие линзы на электромагнитную волну, проходящую через нее, сводится к неравномерному изменению фазы волны вдоль координат  $x$ ,  $y$  или координаты  $x$  для одномерного случая. Чтобы определить закон изменения фазы волны, прошедшей через линзу, запишем выражение для оптической длины пути  $\rho$  произвольного луча, проходящего через линзу:

$$\rho = \rho_1 + \rho_2, \quad (3.41)$$

причем

$$\rho_1 = \rho'_1 + n\rho'_2, \quad (3.42)$$

где  $\rho'_1$  – геометрическая длина пути, проходимого светом в воздухе,  $\rho'_2$  – геометрическая длина пути, проходимого светом в линзе. Ясно, что

$$\rho'_1 = R_2 - \sqrt{R_2^2 - x^2} = \frac{x^2}{2R_2}. \quad (3.43)$$

Положим  $\rho'_1 + \rho''_1 = \Delta_{01}$ , тогда, приписывая  $R_2$  положительный знак, получим:

$$\rho_1 = \frac{x^2}{2R_2} + n \left( \Delta_{01} - \frac{x^2}{2R_2} \right) = n\Delta_{01} - \frac{x^2}{2R_2}(n-1). \quad (3.44)$$

Аналогично для  $\rho_2$  с учетом отрицательного знака  $R_1$  получим:

$$\rho_2 = n\Delta_{02} + \frac{x^2}{2R_1}(n-1). \quad (3.45)$$

Суммируя выражения (3.35) и (3.36), определим  $\rho$ :

$$\rho = n\Delta_0 + (n-1) \frac{x^2}{2} \left( \frac{1}{R_1} - \frac{1}{R_2} \right). \quad (3.46)$$

Зная  $\rho$  как функцию  $x$ , можно определить, какую фазовую задержку  $\Delta\varphi$  вносит линза:

$$\Delta\varphi = k\rho.$$

Обозначая  $(n-1) \left( \frac{1}{R_1} - \frac{1}{R_2} \right) = \frac{1}{f}$ , где  $f$  – фокусное расстояние линзы, получим:

$$\Delta\varphi = kn\Delta_0 + \frac{kx^2}{2f}. \quad (3.47)$$

Таким образом, линзу можно рассматривать как экран, который меняет только фазу падающей на линзу волны в соответствии с законом (3.47). Если поле перед линзой обозначить через  $\dot{E}_1(x)$ , а за ней – через  $\dot{E}_2(x)$ , то можно записать, что

$$\dot{E}_2(x) = \dot{E}_1(x) \exp\left(-i \frac{kx^2}{2f}\right). \quad (3.48)$$

Множитель  $\exp(-ikn\Delta)$ , обуславливающий постоянную фазовую задержку для всех  $x$ , не будем учитывать, так как его наличие никак не проявляется при рассмотрении зависимости интенсивно-

сти света от  $x$ . Если ввести для линзы функцию пропускания линзы  $\dot{T}(x)$  как отношение  $\frac{\dot{E}_2(x)}{\dot{E}_1(x)}$ , то для тонкой линзы

$$\dot{T}(x) = \exp(-i\beta x^2), \quad \text{где } \beta = \frac{k}{2f}. \quad (3.49)$$

Действие тонкой линзы на поле электромагнитной волны сводится, таким образом, к умножению функции распределения этого поля вдоль  $x$  на функцию пропускания линзы  $\dot{T}(x)$ .

Если на линзу падает плоская волна с амплитудой  $E_0$ , то за линзой амплитуда поля будет равна  $E_0 \exp(-i\beta x^2)$ , что соответствует сферической волне, сходящейся в точку на расстоянии  $f$  за линзой, т.е. линза преобразует плоскую волну в сферическую с кривизной  $\frac{1}{f}$ .

Если на линзу падает сферическая волна от источника, находящегося от линзы на расстоянии  $-a$  на главной оптической оси (начало прямоугольной системы координат располагается в центре линзы), то линза изменит кривизну волны на  $\frac{1}{f}$  и за линзой будет распространяться волна с кривизной  $\frac{1}{b} = \frac{1}{f} - \frac{1}{a}$ .

Следовательно, за линзой сферическая волна сфокусируется в точке, отстоящей на расстоянии  $b$  от линзы.

Световая волна после линзы из-за дифракции на апертуре линзы будет создавать или в фокусе, или в точке, где возникает изображение источника света, дифракционную картину, характерные размеры которой нетрудно оценить. В случае падения на линзу плоской волны на апертуре линзы наблюдается дифракция Фраунгофера. Направление на первый минимум определяется выражением  $\sin \varphi = \frac{\lambda}{D}$ . На расстоянии  $f$  от линзы площадь дифракционного пятна  $\Delta S$ , очевидно, будет определяться формулой

$$\Delta S = \left( f \frac{\lambda}{D} \right)^2, \quad (3.50)$$

где  $D$  – размер линзы по оси  $X$ .

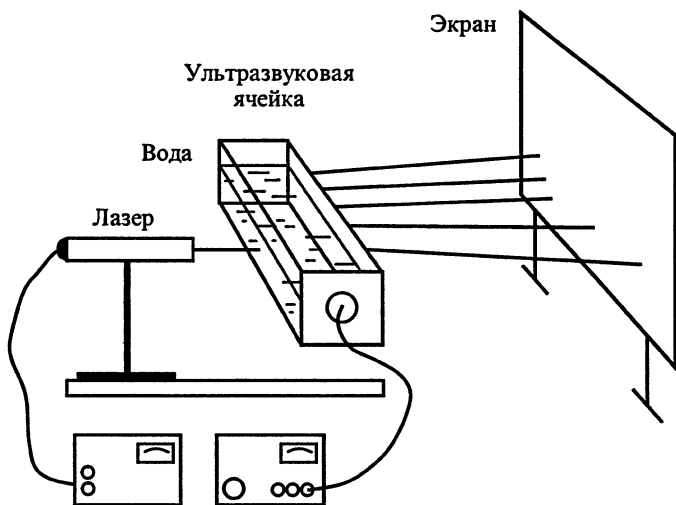


Рис. 3.28

Своеобразный тип дифракции создается при пропускании света через сосуд, где в жидкости созданы стоячие ультразвуковые волны (оси светового и ультразвукового пучка взаимно перпендикулярны). Схема эксперимента приведена на рис 3.28. Так как в ультразвуковой волне возникают сжатия и разрежения, вызывающие изменения показателя преломления жидкости, то стоячая волна представляет собой периодическую структуру фазовой дифракционной решетки. По положению максимумов света в дифракционной картине можно вычислить длину ультразвуковой волны, а при известной ее частоте найти скорость распространения ультразвука в жидкости.

### 3.9. ДИФРАКЦИОННАЯ ПРИРОДА ОПТИЧЕСКОГО ИЗОБРАЖЕНИЯ

Известно, что для получения изображений пользуются линзами. Любая линза перехватывает не все лучи, посылаемые самосветящимся или отраженные несамосветящимся предметом, а лишь часть их. Поэтому линзу можно рассматривать как отверстие в непрозрачном экране (ведь лучи, проходящие мимо линзы, не участвуют в создании изображения). Следовательно, должна возникать более или менее заметная дифракция. Рассмотрим простой случай получения изображения узкой светящейся щели, освещаемой слева плоской монохроматической вол-

ной, нормально падающей на щель. Ширину щели обозначим через  $d$  (рис. 3.29).

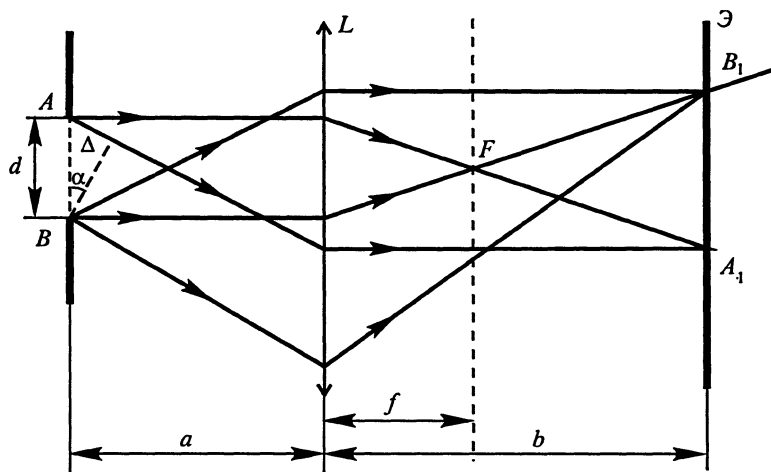


Рис. 3.29

Из школьного курса известно, что для получения действительного изображения расстояние  $a$  между щелью и линзой должно превышать фокусное расстояние линзы  $f$ , причем изображение также получится на расстоянии  $b > f$ . Луч, идущий из точки  $A$  параллельно главной оптической оси линзы, после преломления пройдет через главный фокус  $F$  и дальше к экрану  $\mathcal{E}$ . Луч, идущий из этой же точки через передний главный фокус, после преломления пойдет параллельно оптической оси. Так же пойдут соответственные лучи от точки  $B$  (и лучи от всех других точек поверхности щели, не показанные на рисунке). Таким образом, изображение щели будет ограничено точками  $A_1$  и  $B_1$ , а все лучи одинакового направления будут пересекаться в задней фокальной плоскости, имея разность хода  $\Delta_x = x \sin \alpha$ , где  $x$  – расстояние от нижнего края щели до точки в ее плоскости.

При  $\Delta = n\lambda$  будут получаться минимумы света, так как при этом щель разбивается на четное число зон Френеля. Если же число зон нечетно, так, что  $\Delta = \frac{1}{2}(2n-1)\lambda$ , получаются максимумы света. Их называют *дифракционными изображениями*. Если в задней фокальной плоскости поместить непрозрачный экран с узкой щелью, расположенной вертикально и пересекающей оптическую ось, то все лучи от дифракционных максимумов пройдут через



щель и изображение на экране Э сохранится. Если же повернуть этот экран в собственной плоскости на  $90^\circ$ , то изображение полностью исчезнет.

Этот наглядный опыт, поставленный Аббе, доказывает, что **изображение, даваемое линзой, имеет дифракционную природу.**

Если предмет очень мал, то лучи, дающие первый дифракционный минимум, будут идти под большим углом к оптической оси и могут не попасть в линзу. Очевидно, в этом случае никакого изображения не получится – экран будет освещен во всех точках. Поэтому предельный угол дифракции для первого минимума удовлетворяет неравенству

$$\sin \alpha < \frac{\lambda}{d},$$

но так как синус не превосходит единицы, то это означает, что линза неспособна отобразить предмет, размеры которого соизмеримы с длиной волны.

Рассмотрим теперь вопрос о природе изображения более строго. Осветим квазимонохроматическим светом от лазера транспарант (слайд) с изображением произвольного предмета. Если за транспарантом поставить экран, то сходство наблюдаемой на нем картины с предметом будет приблизительное, причем с увеличением расстояния все труднее в картине на экране уловить сходство с оригиналом. Возникают, естественно, вопросы: почему при распространении света в свободном пространстве теряется сходство между наблюдаемыми оптическими картинками в плоскости наблюдения и предметной плоскости? Почему для получения изображения транспаранта на пути света необходимо поставить линзу? Нельзя ли такое восстановление изображения осуществить без линзы? Как точно воспроизводится изображение и есть ли физические ограничения на точность восстановления изображения предмета? Ответы на поставленные вопросы тесно связаны с теорией дифракции света.

Напряженность поля на некотором расстоянии  $R_0$  от транспаранта связана с напряженностью поля непосредственно в плоскости за транспарантом интегральным соотношением Кирхгофа – Френеля:

$$\dot{E}_1(x_1, y_1) = \frac{1}{i\lambda} \iint \dot{E}(x, y) \frac{\exp(ikr)}{r} dx dy.$$

Ограничившись приближением для  $r$ , соответствующим дифракции Френеля,

$$r = R_0 + \frac{(x_1 - x)^2}{2R_0} + \frac{(y_1 - y)^2}{2R_0},$$

получаем для  $\dot{E}_1(x_1, y_1)$ :

$$\dot{E}_1(x_1, y_1) = \frac{\exp(ikR_0)}{i\lambda R_0} \iint_{-\infty}^{\infty} \dot{E}(x, y) \exp\left(ik\left[\frac{(x - x_1)^2}{2R_0} + \frac{(y_1 - y)^2}{2R_0}\right]\right) dx dy.$$

Чтобы избежать громоздких записей, рассмотрим одномерный случай (постоянную перед интегралом обозначим через  $K$ ). Тогда

$$\dot{E}_1(x_1) = K \int_{-\infty}^{+\infty} \dot{E}(x) \exp\left(ik\frac{(x - x_1)^2}{2R_0}\right) dx. \quad (3.51)$$

Полученное выражение позволяет ответить на вопрос, почему распространение света в свободном пространстве приводит к искажению изображения. Видно, что поле  $\dot{E}_1$  в любой точке  $(x_1)$  получается суммированием полей от всех точек предметного поля, помноженных на фазовый множитель, квадратично зависящий от координаты источника  $x$ . Интеграл типа (3.51) в математике называют интегралом свертки двух функций  $\dot{E}(x)$  и  $\exp\frac{ikx^2}{2R_0}$ .

Удобно процессы, происходящие с искажением изображения в свободном пространстве, описывать на языке плоских волн. Для этого нужно поля  $\dot{E}(x)$  и  $\dot{E}_1(x)$  представить в виде совокупности плоских волн, распространяющихся за экраном. Совершим пространственное преобразование Фурье над выражением (3.51) и перейдем тем самым в область пространственных частот  $k_x$ .

В этом случае выражение (3.51) преобразуется к виду

$$\dot{E}_1(k_x) = \dot{E}(k_x) \dot{T}(k_x), \quad (3.52)$$

где  $\dot{E}_1(k_x)$  – спектр пространственных частот (преобразование Фурье) поля в плоскости экрана;  $\dot{E}(k_x)$  – спектр пространственных частот поля непосредственно за экраном, являющийся преобразованием Фурье от  $\dot{E}(x)$ ;  $\dot{T}(k_x) = \sqrt{\frac{\pi i \cdot 2\pi R_0}{k}} \exp\left(-i\frac{k_x^2}{2k} R_0\right)$  –

преобразование Фурье  $\exp\left(i\frac{kx^2}{2R_0}\right)$ .

Соотношение (3.52) является следствием спектральной теоремы о том, что преобразование Фурье от свертки двух функций является произведением преобразований Фурье сворачиваемых функций. Действие свободного пространства, как следует из (3.52), приводит к умножению амплитуд плоских волн, распространяющихся по различным направлениям, на единицу и к изменению фазы волны на величину, пропорциональную квадрату пространственной частоты  $k_x$ .

Последнее обстоятельство является решающим для искажения изображения предмета. Проиллюстрируем это на следующем примере. Пусть предметом служит решетка с прозрачностью, изменяющейся по закону косинуса:

$$T(x) = (1 + m \cos k_x x),$$

где  $m \ll 1$ . Поле непосредственно за экраном при значении  $z = 0$  будет иметь вид:

$$\begin{aligned} E(x) &= E_0 (1 + m \cos k_x x) = \\ &= E_0 + \frac{1}{2} m E_0 \exp(i k_x x) + \frac{1}{2} m E_0 \exp(-i k_x x). \end{aligned}$$

Граничному условию соответствует в свободном пространстве за экраном электромагнитное поле из трех плоских волн:

$$\begin{aligned} E(x, y) &= E_0 \exp(-i k z) + \frac{1}{2} m E_0 \exp[i(k_x x - k_z z)] + \\ &+ \frac{1}{2} m E_0 \exp[-i(k_x x + k_z z)], \end{aligned} \quad (3.53)$$

здесь  $k_z = \sqrt{k^2 - k_x^2} \approx k - \frac{1}{2} \frac{k_x^2}{k}$ .

Найдем напряженность поля  $E_1(x_1, z)$  на некотором расстоянии  $z$  от экрана. Координату  $x_1$  вводим только для удобства описания поля на экране;  $x_1$  пробегает те же значения, что и  $x$ .

$$\begin{aligned} E_1(x_1, z) &= E_0 \exp(-i k z) + \frac{1}{2} m E_0 \exp \left[ i \left( k_x x - k_z z + \frac{1}{2} \frac{k_x^2}{k} z \right) \right] + \\ &+ \frac{1}{2} m E_0 \exp \left[ i \left( -k_x x - k_z z + \frac{1}{2} \frac{k_x^2}{k} z \right) \right] = E_0 \exp(-i k z) \times \end{aligned}$$

$$\begin{aligned} & \times \left\{ 1 + \frac{1}{2} m \exp \left[ i \left( k_x x + \frac{k_x^2}{2k} z \right) \right] + \frac{1}{2} m \exp \left[ i \left( -k_x x + \frac{k_x^2}{2k} z \right) \right] \right\} = \\ & = E_0 \exp(-ikz) \left[ 1 + \exp \left( \frac{i k_x^2}{2k} z \right) m \cos k_x x \right]. \end{aligned} \quad (3.54)$$

Из выражения (3.54) видно, что гармоническая составляющая функции пропускания экрана на пространственной частоте  $k_x$  умножается на фазовый множитель, показатель которого пропорционален  $k_x^2$ . Приемник в плоскости  $x$  зафиксирует интенсивность света, равную

$$\begin{aligned} I_1(x_1) &= \dot{E}_1(x_1) \dot{E}_1^*(x_1) = \\ &= E_0^2 \left( 1 + 2m \cos k_x x \cos \frac{1}{2} \frac{k_x^2}{k} z + m^2 \cos k_x x \right). \end{aligned} \quad (3.55)$$

Последним слагаемым в сумме (3.55) можно пренебречь из-за малости  $m$ .

Из полученного выражения видно, что изображение решетки с увеличением значения  $z$  будет периодически повторяться с интервалом

$$\Delta z = 2 \frac{d^2}{\lambda}, \quad (3.56)$$

где  $d = \frac{2\pi}{k_x}$  – пространственный период решетки.

Если экран перемещать вдоль оси  $OZ$ , то изображение решетки на экране будет то появляться, то исчезать с периодичностью  $\Delta z$ . Следует обратить внимание на то, что  $\Delta z$  определяется квадратом пространственного периода решетки, что является следствием нелинейности фазовой характеристики свободного пространства в вышеуказанном смысле. Если транспарант имеет произвольную функцию пропускания  $\dot{T}(x)$ , то ее можно всегда представить набором гармонических составляющих, т.е. совокупностью гармонических пространственных решеток. Плоские волны, распространяясь за транспарантом, будут давать их изображения на расстояниях вдоль  $z$ , определенных выражением (3.56). В общем случае за транспарантом не будет такой плоскости, где все решетки дадут свои изображения в фазе. Это может быть только тогда, когда спектр пространственных частот предмета содержит составляющие, кратные основной частоте, что имеет место для ди-

фракционной решетки с  $T(x)$  типа меандра. В этом случае, действительно, через расстояние  $\Delta z_0 = 2 \frac{d_0^2}{x}$  появляются изображения решетки, называемые *Фурье-изображениями*.

Итак, искажение изображения транспаранта происходит из-за тех фазовых искажений, которые появляются при распространении волн в свободном пространстве между экраном и транспарантом. Восстановить изображение – это значит скомпенсировать эти искажения. Реально такая компенсация в оптике может быть осуществлена при помощи линз, зонных пластинок или голографическим методом.

Действие линзы или зонной пластинки по восстановлению изображения сводится к следующему. Линза с соответствующим фокусным расстоянием так воздействует на фазу волн, распространяющихся за транспарантом, что фазовые искажения компенсируются с избытком и только действие свободного пространства за линзой приводит к восстановлению изображения. Линза компенсирует, таким образом, действие свободного пространства между предметом и линзой и между линзой и изображением.

Восстановленное изображение из-за конечности размеров линзы не полностью идентично изображению предмета. Это происходит из-за того, что область площадью  $\lambda^2$  преобразуется из-за дифракции на апертуре линзы в кружок площадью  $\left(f \frac{\lambda}{D}\right)^2$ .

### 3.10. ГОЛОГРАФИЯ

*Голографию – метод восстановления изображений без линз* – предложил и экспериментально осуществил в 1948 г. английский физик венгерского происхождения Д. Габор. Слово «голография» происходит от двух греческих слов: *holos* – полный, целый, *grapho* – записывать – и означает, что при этом методе фиксируется полная информация о распределении амплитуды и фазы волновых полей в отличие от фотографического метода, который позволяет судить о распределении в пространстве только интенсивности поля.

Схема получения изображения предмета, по Габору, выглядит следующим образом. Объект с переменной прозрачностью помещается на пути распространения пространственно-когерентного света. Свет, дифрагируя на объекте, распространяется в свободном пространстве. На фотопластинке, расположенной на расстоянии  $d$  от объекта, регистрируется распределение интенсивно-

сти дифрагированного поля. Обработанная обычным способом фотопластинка называется *голограммой*. Если голограмму поместить в пучок пространственно-когерентного света той же частоты, что и при записи голограммы, то на расстоянии  $d$  от голограммы будет восстановлено действительное изображение объекта, а на расстоянии, равном  $-d$ , – мнимое изображение (рис. 3.30). Недостатком метода Габора является то обстоятельство, что лучи, формирующие действительное и мнимое изображения, при восстановлении распространяются по одному направлению. В итоге сфокусированное действительное изображение наблюдается на фоне расфокусированного мнимого и наоборот. В 1962 г. американскими физиками И. Лейтом и Ю. Упатниексом была предложена несколько иная схема записи голограммы, которая позволила разделить в пространстве лучи, формирующие действительное и мнимое изображения. Часть пучка пространственно-когерентного света падает на объект, другая часть проходит через призму, формирующую «опорный» пучок – плоскую волну, когерентную с «предметной», падающую на голограмму под некоторым углом  $\varphi$  (рис. 3.31). На голограмме при таком расположении фиксируется результат интерференции дифрагированной волны и волны, распространяющейся под углом  $\varphi$  к нормали голограммы. Если затем голограмму осветить когерентным светом, то под углом  $\varphi$  наблюдается действительное изображение объекта, а под углом  $-\varphi$  – мнимое изображение (рис. 3.32). Мнимое изображение наблюдается через голограмму, как через окно. Оно кажется парящим в воздухе и передает форму, объемность реального предмета, перспективу изображения. В этом методе лучи, формирующие действительное и мнимое изображения, распространяются по разным направлениям и не мешают наблюдению.

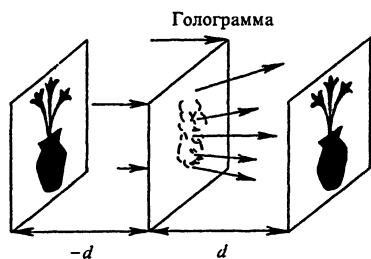


Рис. 3.30

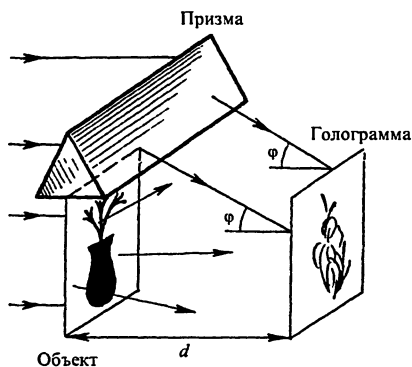


Рис. 3.31

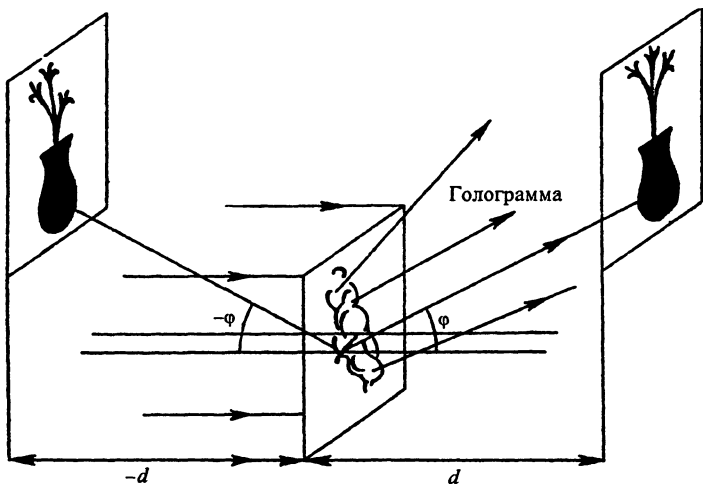


Рис. 3.32

Для объяснения голографического метода восстановления изображений воспользуемся снова представлением поля как в виде вторичных плоских волн, так и в виде совокупности сферических волн.

Функцию пропускания  $\hat{T}(x)$  любого транспаранта можно представить в виде суммы постоянной составляющей  $\hat{T}_0$  и переменной  $\hat{T}_1(x)$ , содержащей сведения об изменениях прозрачности транспаранта. Для плоской волны с амплитудой  $\dot{E}_0$ , падающей нормально на транспарант, амплитуду поля непосредственно за экраном получим, умножив  $\dot{E}_0$  на  $\hat{T}(x)$ . За экраном будут распространяться плоская волна с амплитудой  $\dot{E}_0\hat{T}_0$  и волна, дифрагированная на неоднородностях экрана с амплитудой  $\dot{E}_0\hat{T}_1 = \dot{E}_1$ .

Последнюю представим как совокупность плоских волн с соответствующими фазами и амплитудами. Из всей совокупности плоских волн рассмотрим поведение лишь одной с пространственной частотой  $k_x$ . Эта волна, пройдя расстояние  $d$  в свободном пространстве до плоскости голограммы, приобретет изменение фазы на  $\frac{k_x^2}{2k}d$ . Если бы одна эта волна регистрировалась на фотопластинке, то информация о фазе была бы полностью утрачена. Но на фотопластинку поступают две когерентные волны, одна из них на нулевой пространственной частоте, другая на частоте  $k_x$ . Эти волны интерферируют, и после взаимодействия с фотоэмуль-

сией, проявления и закрепления фотопластинки на ней будет зафиксирована решетка, в изменениях прозрачности которой содержится информация о фазе плоской волны на частоте  $k_x$  в плоскости голограммы.

Если теперь голограмму осветить когерентным светом, то из-за дифракции на гармонической решетке за голограммой будут распространяться две волны на частотах  $k_x$  и  $-k_x$ . Пройдя расстояние

$d$  за голограммой, волна на частоте  $-k_x$  приобретет фазу  $-\frac{k_x^2}{2k}d$ ,

которая полностью скомпенсирует соответствующий набег фазы этой волны в пространстве между предметом и голограммой. Так как такая компенсация произойдет на всех пространственных частотах одновременно, то в этом месте мы увидим действительное изображение предмета.

На частоте  $k_x$  на расстоянии  $d$  набег фазы увеличится в 2 раза, что соответствует прохождению волной удвоенного расстояния в свободном пространстве. Так как это будет иметь место для плоских волн со всеми  $k_x$ , то наблюдатель увидит мнимое изображение предмета на расстоянии  $-d$  за голограммой.

Другой подход к объяснению голографического метода получения изображения основан на представлении поля за транспарантом совокупностью сферических волн, амплитуды которых определяются функцией  $\dot{T}(x)$ .

Рассмотрим результат интерференции плоской волны с амплитудой  $\dot{E}_0\dot{T}_0$  и одной из сферических волн с амплитудой  $\dot{E}_1$  в плоскости голограммы (рис. 3.33). Нетрудно показать, что при малых углах дифракции на фотопластинке будет зафиксирована зонная пластинка, функция пропускания которой вдоль  $x'$  изменяется по закону

$$2E_0^2T_0T_1 \cos \frac{k(x')^2}{2d}.$$

Действительно, результирующая амплитуда поля  $\dot{E}$  в плоскости голограммы является суммой амплитуд интерферирующих волн:

$$\dot{E} = \dot{E}_0\dot{T}_0 + \dot{E}_0\dot{T}_1 \exp \left[ i \frac{k(x')^2}{2d} \right]. \quad (3.57)$$

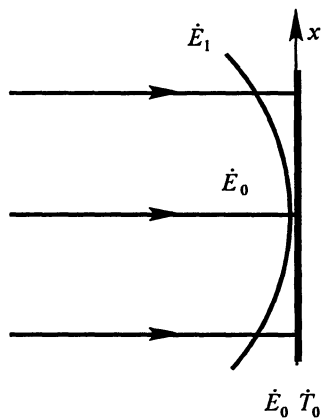


Рис. 3.33



Прозрачность голограммы будет пропорциональна интенсивности поля:

$$\dot{E}\dot{E}^* = (E_0T_0)^2 + (E_0T_1)^2 + 2E_0^2T_0T_1 \cos \frac{k(x')^2}{2d}. \quad (3.58)$$

Такая зонная пластинка и есть голограмма одной точки, точнее, участка транспаранта с площадью порядка  $\lambda^2$ . Из выражения (3.58) видно, что функция пропускания голограммы точки идентична функции пропускания собирающей и рассеивающей линз одновременно. Раз это так, то при освещении голограммы пространственно-когерентным светом часть голограммы, соответствующая собирающей линзе, скомпенсирует фазовые искажения, которые вносит свободное пространство, и за голограммой на расстоянии  $d$  получится действительное изображение точки, а часть голограммы, соответствующая рассеивающей линзе, увеличит фазовые искажения и наблюдателю будет казаться, что точка находится на расстоянии  $-d$  за голограммой. Всякая другая точка транспаранта создаст свою зонную пластинку на голограмме. Ясно, что при реконструкции каждая зонная пластинка строит два изображения «своей» точки – действительное и мнимое, что и приводит к реконструкции изображения предмета.

В методе Лейта и Упатниекса по существу происходит то же самое, только зонная пластинка получается эллиптической. Из-за этого действительное и мнимое изображения точки наблюдаются под разными углами.

В методах Габора, Лейта и Упатниекса голограммы фиксируются в фотоэмульсиях, толщина которых меньше расстояния между интерференционными полосами. Поэтому такие голограммы называются *тонкими*.

В 1962 г. советский физик Ю.Н.Денисюк предложил метод регистрации голограмм в толстых эмульсиях, толщина которых больше расстояния между полосами интерференции регистрируемого оптического поля. Это позволяет получать объемную дифракционную решетку, при освещении которой можно восстановить не только изображение объекта, но и спектр излучения, в котором была записана голограмма. Последнее обстоятельство позволяет при реконструкции изображения использовать квази-монохроматические источники света типа ртутной лампы, Солнца, лампы накаливания.

Если в качестве основного пучка применять не плоскую волну, а сферическую радиусом кривизны, равным радиусу сферических волн, испускаемых отдельными точками объекта, то на голограмме фиксируется Фурье-преобразование функции пропускания

объекта по пространственным частотам. Такие голограммы называются *Фурье-голограммами*.

При реконструкции в этом случае получаются два действительных изображения объекта с центральной симметрией.

Голограмма совершенно не похожа на объект. Это происходит из-за того, что информация о некотором небольшом участке объекта регистрируется практически на всей площади голограммы в виде зонной пластинки. При этом каждая, даже малая, часть голограммы восстанавливает изображение полностью.

Как подчеркивалось выше, изображение объекта, полученное голографическим методом, сохраняет все видимые свойства объекта. Это позволило говорить о создании голографических кино и телевидения.

Наконец, голограмма может быть получена при освещении объекта светом, длина волны которого  $\lambda_1$ , а реконструкция изображения проведена светом, длина волны которого  $\lambda_2$ . В этом случае, получая голограмму в диапазоне волн, недоступных восприятию человеческим глазом, и осуществляя реконструкцию изображения в оптическом диапазоне, можно увидеть невидимое. Успешно развиваются такие направления применения голографии, как голографическая интерферометрия, динамическая голография, голографическая микроскопия.

## Глава 4

# ГЕОМЕТРИЧЕСКАЯ ОПТИКА

### 4.1. ГЕОМЕТРИЧЕСКАЯ ОПТИКА КАК ПРЕДЕЛЬНЫЙ СЛУЧАЙ ВОЛНОВОЙ ОПТИКИ. СВЕТОВЫЕ ЛУЧИ

Многочисленные наблюдения и физические эксперименты показывают, что в свободном пространстве свет от точечного источника  $P$  в точку  $A$  распространяется по прямой линии. С точки зрения волновой оптики этот факт можно объяснить следующим образом. Согласно принципу Гюйгенса–Френеля амплитуда электромагнитного поля в точке  $A$  равна сумме амплитуд волн от вторичных сферических источников, расположенных на вспомогательной сферической поверхности  $\Sigma$  с центром в точке  $P$ , разбитой по известному правилу на зоны Френеля (рис. 4.1). Из диаграммы Френеля видно, что результирующая амплитуда в точке  $A$  в 2 раза меньше амплитуды поля, создаваемого лишь первой зоной Френеля радиусом  $\rho = \sqrt{\frac{\lambda ab}{a+b}}$ . Таким образом, поле в точке  $A$

от источника  $P$  определяется в основном первой зоной Френеля. Так как выбор вспомогательной поверхности произволен, то можно представить себе на пути от  $P$  к  $A$  множество таких сферических поверхностей  $\Sigma_i$ , в каждой из которых определена своя первая зона Френеля. Мысленно соединим центры первых зон Френеля некоторой линией, а края отдельных зон соединим друг с другом некоторой поверхностью. Форма такой поверхности (рис. 4.2) похожа на сильно вытянутый эллипсоид с осью  $PA$  — линией, соединяющей центры первых зон Френеля и проходящей через точки  $P$  и  $A$ . Действительно, приняв  $a + b = c = \text{const}$ , находим, что радиусы зон пропорциональны  $\sqrt{a(c-a)}$ . Это выражение имеет максимум при значении  $a = \frac{c}{2}$ .

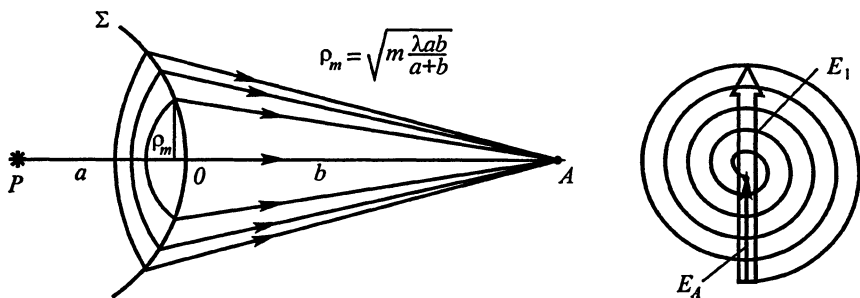


Рис. 4.1

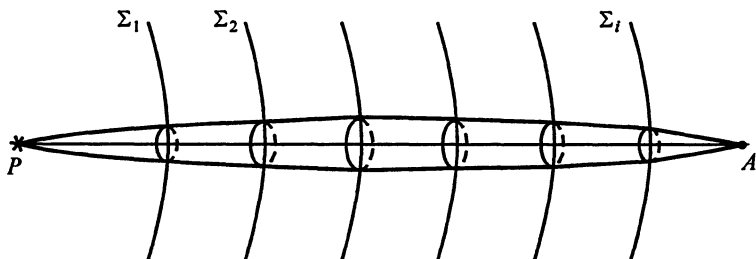


Рис. 4.2

Из этого рассмотрения ясно, что внутри объема, ограниченно-го эллипсоидом, называемого *объемом Френеля*, в основном и распространяется свет от  $P$  к  $A$ . Радиусы поперечных сечений объема Френеля пропорциональны  $\sqrt{\lambda}$ . В предельном случае, когда  $\lambda \rightarrow 0$ , объем Френеля стягивается в линию, которую и называют лучом света. Конечно, луч света как линия, вдоль которой распространяется свет, представляет скорее математическое понятие. С точки зрения физики луч света – это жгут с поперечным размером, равным размеру первой зоны Френеля. В пределах этой области поле световой волны можно описывать уравнением плоской волны, амплитуда которой равна амплитуде поля в пределах первой зоны Френеля, а фаза равна фазе поля в этой же области. Ясно, что при этом реальные изменения амплитуды и фазы поля в направлении, перпендикулярном направлению распространения света, должны быть такими малыми, что в пределах характерного размера первой зоны Френеля эти величины можно считать постоянными. Если эти условия выполнены, то амплитуда поля, распространяющегося вдоль луча, может быть выражена произведением действительной амплитуды  $E_0(x, y, z)$  и множителя, зависящего от фазы волны, т. е.

$$\dot{E} = E_0(x, y, z) \exp[i\Phi(x, y, z)]. \quad (4.1)$$

Величину  $\Phi(x, y, z)$  в геометрической оптике называют *эйконалом* (от греческого *εικον* – изображение). Из волнового уравнения при условии, что  $\lambda \rightarrow 0$ , можно получить уравнения, определяющие  $E_0$  и  $\Phi$  при распространении света в реальных физических условиях. Из этих уравнений, в частности, следует, что лучи распространяются по нормали к поверхностям *равного эйконала* или *равной фазы*, называемым *волновыми поверхностями*. Для изотропных сред форма волновой поверхности совпадает с фронтом волны.

## 4.2. ПРИНЦИП ФЕРМА. ЗАКОНЫ ОТРАЖЕНИЯ И ПРЕЛОМЛЕНИЯ СВЕТА

Световые лучи являются одной из форм представления электромагнитного поля наряду со сферическими или плоскими волнами. Действительно, поле в световом луче описывается решением волнового уравнения; значения амплитуды и фазы этого поля однозначно определяются физическими условиями распространения света в пространстве, лучи распространяются независимо, не влияя друг на друга. Остается выяснить, каким законам подчиняется распространение лучей в пространстве, как поведение лучей связано с теми волновыми представлениями о природе света, которые были изложены выше. Для ответа на поставленные вопросы рассмотрим еще раз характер распространения света от  $P$  к  $A$ , используя представление поля в виде сферических вторичных волн. Выберем для простоты рассуждения в качестве вспомогательной поверхности плоскость  $S_1$ , расположенную перпендикулярно линии, соединяющей  $P$  с  $A$  (рис. 4.3).

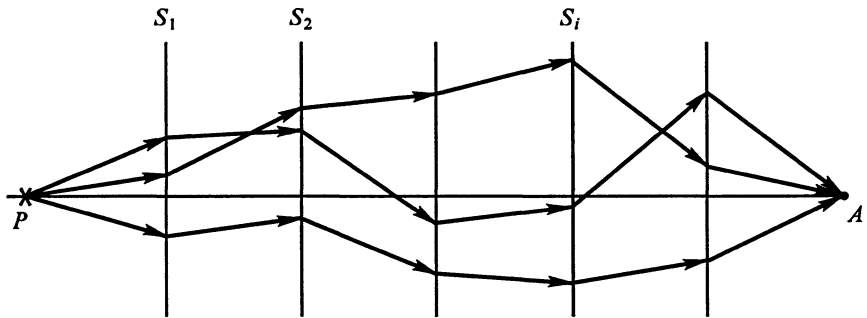


Рис. 4.3

**Ферма Пьер (1601–1665)**, французский физик и математик. В 1662 г. сформулировал основной принцип геометрической оптики – вариационный принцип Ферма, согласно которому свет распространяется между двумя точками по пути, для прохождения которого необходимо наименьшее время.



Свет от  $P$  может прийти в любую точку плоскости  $S_1$ , где можно поместить вторичный сферический источник света. Предположим, что на некотором расстоянии  $dz_{12}$  находится еще одна вспомогательная плоскость  $S_2$ , каждая точка которой также может рассматриваться как вторичный источник. Амплитуда вторичного источника на плоскости  $S_2$  будет определяться суммой амплитуд колебаний от всех источников плоскости  $S_1$ ; помещая на расстоянии  $dz_{23}$  третью плоскость  $S_3$  и т.д., мы сможем представить себе распространение света от  $P$  к  $A$  как последовательный процесс возбуждения вторичных источников в каждой точке плоскостей  $S_i$ . При этом колебание в точке  $A$  будет определяться суммой колебаний, прошедших из  $P$  в  $A$  по всевозможным траекториям между плоскостями (рис. 4.3). Так как условия распространения света по каждому из возможных путей примерно одинаковы, то можно полагать, что амплитуда колебаний света для каждой траектории примерно одна и та же, разница же проявляется только в фазе за счет разных путей, проходимых светом по разным траекториям от  $P$  к  $A$ . Если длина пути для двух близких траекторий меняется незначительно, так, что лучи приходят в фазе, то они будут усиливать друг друга; если же разница в длинах траекторий соседних лучей такова, что они приходят в противофазе, то лучи будут гасить друг друга. Очевидно, что усиление будет происходить для тех лучей, у которых небольшие изменения формы траектории практически не приводят к изменению фазы колебаний в точке  $A$ . Это условие будет выполняться для тех траекторий, длина которых имеет экстремум при незначительных отклонениях траектории от первоначальной формы. Так как фаза  $d\Phi$  световой волны, прошедшей путь  $dz$ , определяется зависимостью

$$d\Phi = \omega \frac{ndz}{c}, \quad (4.2)$$

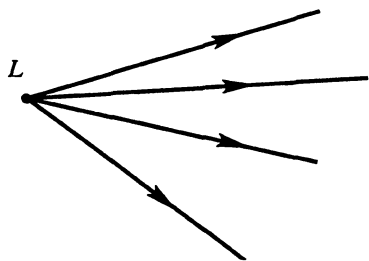


Рис. 4.4

а отношение  $\frac{ndz}{c} = d\tau$  определяет время распространения света  $d\tau$  на пути  $dz$ , то условие экстремального пути при распространении света от  $P$  к  $A$  означает экстремальность того интервала времени, которое свет затрачивает на распространение от  $P$  к  $A$ :

$$\tau = \int_{PA} \frac{ndz_i}{c}. \quad (4.3)$$

Таким образом, волновые представления о характере распространения света в свободном пространстве приводят к обоснованию принципа Ферма: свет распространяется по такому пути, для прохождения которого необходимо экстремальное время. Для многих случаев в оптике это время является минимальным. В § 1.2 с помощью принципа Ферма был дан вывод законов преломления и отражения света от плоской границы раздела двух сред. Для малых углов падения  $i$  закон преломления  $n \sin i = n' \sin i'$  можно записать особенно просто:

$$in = i'n', \quad (4.4)$$

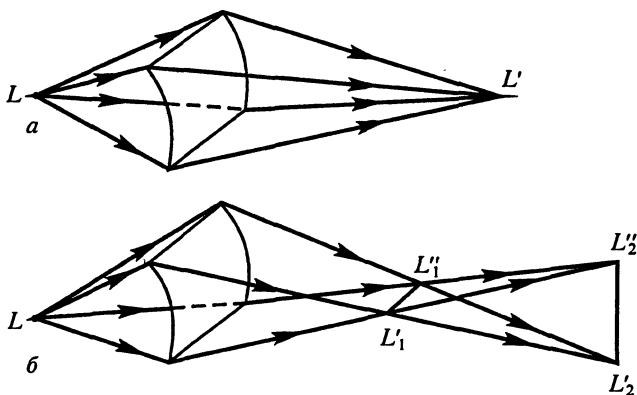


Рис. 4.5

где  $i$  – угол падения,  $i'$  – угол преломления,  $n$  – показатель преломления одной среды,  $n'$  – показатель преломления другой среды.

При формальной замене  $n = -n'$  из (4.4) получаем закон отражения в виде

$$i = -i'. \quad (4.5)$$

При дальнейшем изложении вопросов геометрической оптики понадобится несколько понятий, связанных с особенностями описания распространения лучей света. Если пучок лучей имеет одну общую вершину, то его называют *гомоцентрическим*. Точечный источник света создает, таким образом, гомоцентрический пучок лучей (рис. 4.4). Если лучи гомоцентрического пучка из точки  $L$ , пройдя через некоторое оптическое устройство (границу раздела двух сред, неоднородную оптическую среду), вновь собираются в точку  $L'$ , то гомоцентричность при этом сохраняется и точку  $L'$  называют точкой, сопряженной с  $L$ , или изображением  $L$ . Систему, сохраняющую гомоцентричность пучка, называют *стигматической* (рис. 4.5, а), в противном случае ее называют *астигматической* (рис. 4.5, б).

### 4.3. ОТРАЖЕНИЕ И ПРЕЛОМЛЕНИЕ СВЕТА НА ПЛОСКОЙ ГРАНИЦЕ РАЗДЕЛА. ПРИЗМЫ. СВЕТОВОДЫ

Луч света, достигнув плоской границы раздела двух сред, частично отражается от нее, частично проходит из одной среды в другую, испытывая преломление. Особенно отчетливо это явление можно наблюдать, пропуская луч лазера через плоскую границу воздуха и стекла. Для проведения эксперимента используют оптический диск, на котором в качестве осветителя устанавливается маломощный гелий-неоновый лазер. Луч от лазера скользит по поверхности диска, показывая направление распространения света. Для улучшения видимости на выходе лазера устанавливают цилиндрическую линзу, которая расширяет луч света в направлении, перпендикулярном плоскости диска. Линзой может служить небольшой отрезок стеклянного стержня диаметром 5–10 мм, установленный параллельно диску. Линзу помещают в оправу, позволяющую поворачивать линзу вокруг оптической оси лазера, что облегчает подготовку прибора к демонстрации. Если на пути светового луча поставить толстое стекло, то можно продемонстрировать отражение и преломление света на границе двух сред (рис. 4.6).

Законы отражения и преломления позволяют установить особенности поведения лучей света при прохождении плоской границы двух сред. Так как угол падения равен углу отражения, то гомоцентричность отраженных лучей сохраняется (рис. 4.7). Действительно, лучи света от точечного источника  $L$ , находящегося на расстоянии  $a$  от границы раздела, после отражения будут создавать





Рис. 4.6

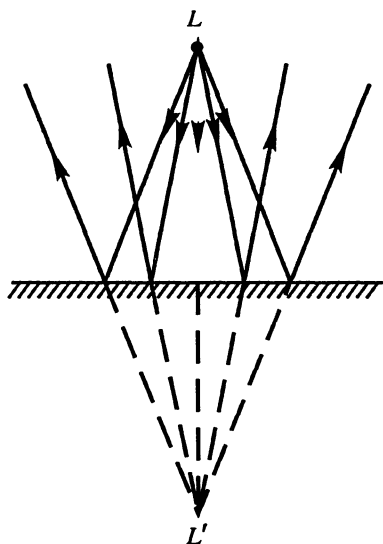


Рис. 4.7

расходящийся пучок лучей; если их продолжить назад, то они сойдутся в точке, находящейся на расстоянии  $a$  от границы. В этом случае говорят, что плоская граница создает мнимое изображение точечного источника. Если источник протяженный, то каждой точке его поверхности будет соответствовать свое изображение; изображение источника в этом случае будет прямым и мнимым.

В силу отмеченных выше причин изображения предметов, получаемые в плоских зеркалах, являются также прямыми и мнимыми. Изображение предмета в плоском зеркале обладает такой особенностью: его невозможно совместить с оригиналом поворотом предмета вокруг оси на  $180^\circ$  и последующим параллельным переносом на удвоенное расстояние от места его расположения за зеркало. При такой процедуре левая часть предмета совместится с правой частью изображения. Если предмет не симметричен, то предмет и изображение не совпадут друг с другом. Если совпадение имеет место, то говорят, что предмет обладает *зеркальной симметрией*.

Из рис. 4.8 видно, что поворот зеркала на угол  $\varphi$  приводит к отклонению отраженного луча на угол  $2\varphi$ . Это обстоятельство используется при проведении точных измерений углов.

Если луч света попадает в двугранный прямой угол, образованный двумя плоскими зеркалами, то он отражается в первоначальном направлении (рис. 4.9). То же справедливо и для трехгранного угла. Такие «уголковые отражатели», в частности, были

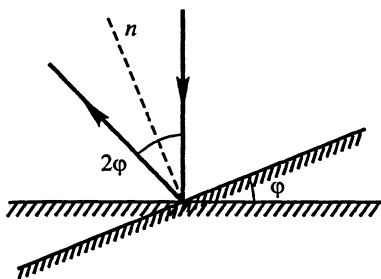


Рис. 4.8

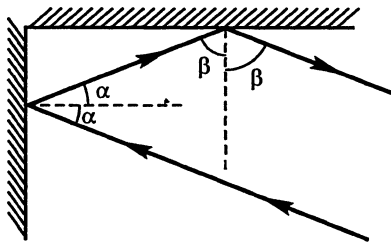


Рис. 4.9

доставлены на поверхность Луны, и при их помощи производились точные оптические измерения расстояния до нее.

Для преломленных лучей гомоцентричность пучка нарушается. Это связано с тем, что по закону преломления пропорциональны между собой не значения углов падения и преломления, а их синусы. В том случае, когда углы падения малы и справедливо выражение (4.4), гомоцентричность пучков при преломлении практически сохраняется. При наблюдении из оптически более плотной среды будет казаться, что источник света находится на расстоянии

$a \frac{n_2}{n_1}$  от границы раздела. Наблюдатель, находящийся в менее

оптически плотной среде, увидит источник света на расстоянии

$a \frac{n_1}{n_2}$  от границы. Именно поэтому нам кажется, что предметы,

находящиеся в воде, как бы уменьшаются в размерах.

Из закона преломления, примененного к случаю падения луча из среды, в которой свет распространяется со скоростью  $v_1$ , в среде, где свет распространяется со скоростью  $v_2 > v_1$ , следует, что угол преломления больше угла падения:

$$n_1 \sin \alpha = n_2 \sin r, \quad n_1 > n_2.$$

Но если угол падения удовлетворяет условию

$$n_1 \sin \alpha_{\text{пр}} = n_2, \quad \sin \alpha_{\text{пр}} = \frac{n_2}{n_1}, \quad (4.6)$$

то угол преломления становится равным  $90^\circ$ , т.е. преломленный луч скользит по границе раздела. Такой угол падения называют предельным ( $\alpha_{\text{пр}}$ ). При дальнейшем увеличении угла падения проникновение луча в глубь второй среды прекращается и наступает полное отражение (рис. 4.10). Строгое рассмотрение вопроса с

волновой точки зрения показывает, что в действительности при полном отражении волна проникает во вторую среду на глубину порядка длины волны.

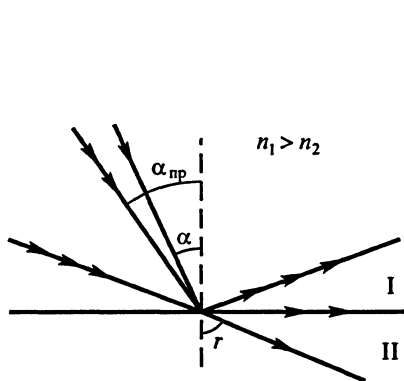


Рис. 4.10

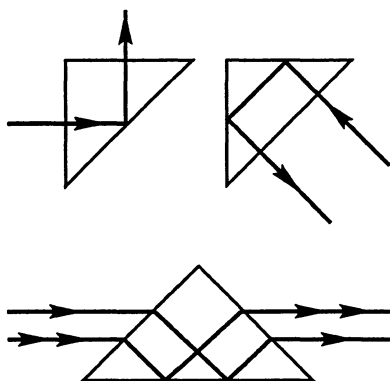


Рис. 4.11

Полное отражение находит различные практические применения. Так как для системы стекло–воздух предельный угол  $\alpha_{пр}$  составляет менее  $45^\circ$ , то призмы, показанные на рис. 4.11, позволяют изменять ход луча так, что на рабочей границе отражение происходит практически без потерь.

Если ввести свет в тонкую стеклянную трубку с ее торца, то, испытывая на стенках полное отражение, луч будет следовать вдоль трубки даже при сложных изгибах последней. На этом принципе работают световоды – тонкие прозрачные волокна, позволяющие проводить световой пучок по искривленному пути.

На рис. 4.12 показан отрезок световода. Луч, входящий в световод с торца под углом падения  $\alpha$ , встречает поверхность световода под углом  $\gamma = 90^\circ - \beta$ , где  $\beta$  – угол преломления. Чтобы при этом возникло полное отражение, необходимо выполнение условия

$$\sin \gamma \geq \frac{1}{n},$$

где  $n$  – показатель преломления вещества световода.

Так как треугольник  $ABC$  прямоугольный, то получается:

$$\sin \beta = \frac{1}{n} \sin \alpha = \cos \gamma = \sqrt{1 - \sin^2 \gamma}.$$

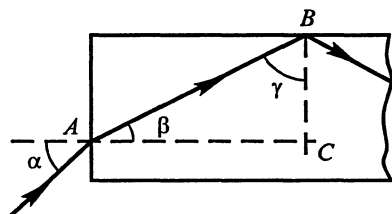


Рис. 4.12

Следовательно,  $\sin \alpha \leq n \sqrt{1 - \frac{1}{n^2}} = \sqrt{n^2 - 1}$ .

Полагая  $\alpha \rightarrow 90^\circ$ , находим:

$$n^2 \geq 2.$$

Таким образом, даже при почти скользющем падении луч испытывает в световоде полное отражение, если выполняется условие

$$n > 1,4.$$

В действительности световод набирается из тонких гибких волокон с показателем преломления  $n_1$ , окруженных оболочкой с показателем преломления  $n_2 < n_1$ ; каждое волокно передает по световоду небольшой участок изображения, получающегося на выходе световода.

Изучая явление преломления, И. Ньютон выполнил опыт (рис. 4.13, а), ставший классическим: узкий пучок белого света, направленный на стеклянную призму, давал ряд цветных изображений сечения пучка — спектр. Затем спектр попадал на вторую такую же призму, повернутую на  $180^\circ$  вокруг горизонтальной оси. Пройдя эту призму, спектр снова собирался на экране в единственное белое изображение сечения светового пучка. Тем самым был доказан сложный состав белого света. Из этого опыта следует, что показатель преломления зависит от длины волны (дисперсия). Рассмотрим сначала работу призмы для монохроматического света, падающего под углом  $\alpha_1$  на одну из преломляющих граней прозрачной призмы (рис. 4.13, б) с преломляющим углом  $\theta$ .

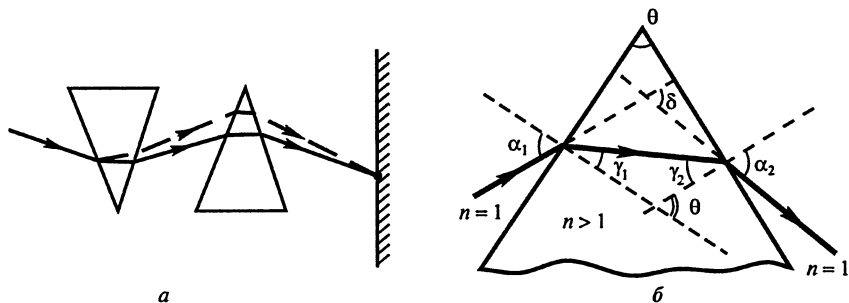


Рис. 4.13

Из построения видно, что угол отклонения луча  $\delta$  связан с преломляющим углом призмы сложным соотношением:

$$\delta = (\alpha_1 - \gamma_1) + (\alpha_2 - \gamma_2) = \alpha_1 + \alpha_2 - \theta,$$

так как

$$\theta = \gamma_1 + \gamma_2. \quad (4.7)$$

Перепишем его в виде

$$\delta = \arcsin (n \sin \gamma_1) + \arcsin [n \sin (\theta - \gamma_1)] - \theta$$

и исследуем на экстремум функцию угла отклонения луча. Возьмем производную от  $\delta$  по  $\gamma_1$  и приравняем ее нулю:

$$\frac{d\delta}{d\gamma_1} = \frac{n \cos \gamma_1}{\sqrt{1 - (n \sin \gamma_1)^2}} - \frac{n \cos(\theta - \gamma_1)}{\sqrt{1 - [n \sin(\theta - \gamma_1)]^2}} = 0.$$

Отсюда следует, что экстремальное значение угла отклонения получается при симметричном ходе луча внутри призмы:

$$\gamma_1 = \gamma_2 = \frac{\theta}{2}.$$

Легко видеть, что при этом получается минимальный угол отклонения

$$\delta_{\min} = 2\alpha - \theta,$$

поэтому

$$n = \frac{\sin \frac{\theta + \delta_{\min}}{2}}{\sin \frac{\theta}{2}}. \quad (4.8)$$

Уравнение (4.8) применяется для определения показателя преломления по углу минимального отклонения.

Если призма имеет малый преломляющий угол, такой, что можно синусы заменить углами, получается соотношение

$$\delta_{\min} = \theta (n - 1), \quad (4.9)$$

совпадающее с выражением, полученным в § 3.7.

Опыт показывает, что стеклянные призмы сильнее преломляют коротковолновую часть спектра (синие лучи) и что нет линейной связи между  $\lambda$  и  $\delta_{\min}$ . Теорию дисперсии мы рассмотрим в главе 6. Пока для нас важно ввести меру дисперсии – разность показателей преломления двух определенных длин волн (одна из них берется в красной, другая – в синей части спектра):

$$\Delta n = n_c - n_k.$$

Мера дисперсии для разных сортов стекла различна. На рис. 4.14, *a* изображен ход кривой зависимости показателя преломления от длины волны для двух распространенных сортов стекла: легкого – крона и тяжелого – флинта. Из чертежа видно, что меры дисперсии различаются значительно.

Это дает возможность создать весьма удобную призму прямого зрения, где свет разлагается в спектр, почти не меняя направления распространения. Эта призма делается из нескольких (до семи) призм разного стекла с несколько различными преломляющими углами (рис. 4.14, *б*). За счет различной меры дисперсии добиваются хода луча, приблизительно показанного на рисунке.

В заключение отметим, что пропускание света через плоскопараллельную пластину (рис. 4.15) позволяет получить смещение луча параллельно его первоначальному направлению. Значение смещения легко вычислить. Оно равняется

$$AB = d \frac{\sin(\alpha - \gamma)}{\cos \gamma}$$

и зависит от оптических свойств пластины, ее толщины и угла падения на нее первичного луча.

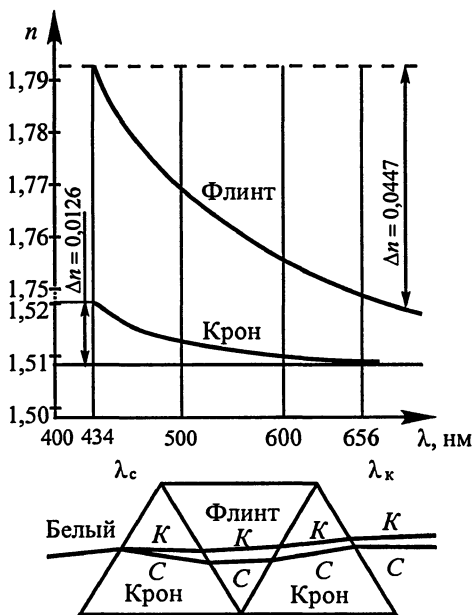


Рис. 4.14

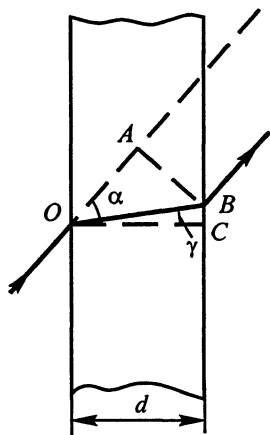


Рис. 4.15

#### 4.4. ОТРАЖЕНИЕ И ПРЕЛОМЛЕНИЕ СВЕТА НА СФЕРИЧЕСКОЙ ПОВЕРХНОСТИ РАЗДЕЛА

Рассмотрим прохождение лучей света через сферическую границу раздела двух сред с показателями преломления  $n$  и  $n'$ . На рис. 4.16 изображен след сферической поверхности раздела двух сред, имеющий радиус кривизны, равный  $R$ . Рассмотрим преломление на такой поверхности лучей от точечного источника  $L$ , находящегося слева от нее. Будем рассматривать только те лучи, направление которых с нормалью к поверхности, проведенной из  $L$ , составляет малые углы, т.е. такие, при которых тангенсы и синусы углов могут быть заменены значениями самих углов.

Такие лучи, как уже отмечалось, называются параксиальными. При расчете будем использовать следующие правила знаков для расстояний и углов. Введем прямоугольную систему координат с началом  $O$ , лежащим на сферической поверхности, и осью абсцисс  $OC$ , проходящей через центр поверхности  $C$ . Считаем, что лучи распространяются слева направо. Все расстояния, отсчитываемые от поверхности влево, считаются отрицательными, вправо – положительными. Вертикальные отрезки считаются положительными, если они отсчитываются вверх, отрицательными – вниз. Углы, отсчитываемые от прямой  $LOC$ , имеют отрицательное значение, если их тангенсы и синусы отрицательны, и принимаются положительными, если их тангенсы и синусы положительны.

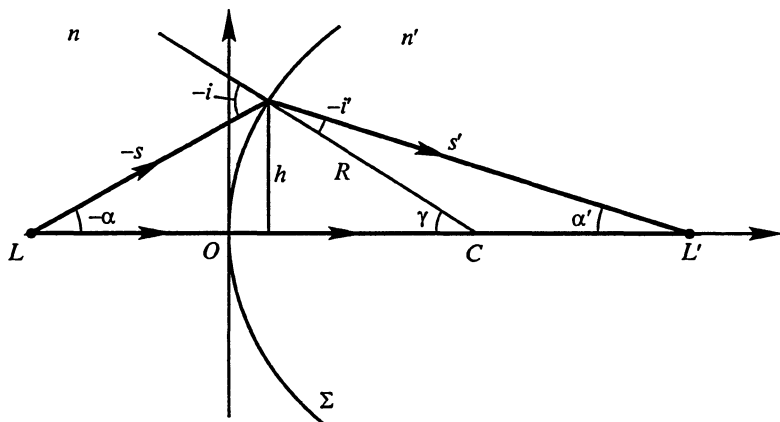


Рис. 4.16

Если углы отсчитываются от нормали к сферической поверхности, не совпадающей с выбранной осью абсцисс системы коор-

динат, то углы между лучом и нормалью считаются положительными, если поворот луча к нормали происходит против часовой стрелки, и отрицательными, если поворот происходит по часовой стрелке. Радиус кривизны сферической поверхности отсчитывается также от начала координат и считается положительным, если центр кривизны лежит справа от начала координат, и отрицательным, если находится слева. Таким образом, выпуклая (по ходу луча) поверхность имеет положительный радиус, вогнутая – отрицательный.

Пользуясь сформулированными выше правилами знаков, рассмотрим преломление на поверхности  $\Sigma$  двух лучей: одного, распространяющегося вдоль оси абсцисс, другого – образующего с этой осью малый угол  $-\alpha$  (см. рис. 4.16). Первый луч как идущий по нормали к поверхности  $\Sigma$  не изменит направления распространения при переходе из одной среды в другую. Вторым луч, падая на поверхность  $\Sigma$  под углом  $-i$ , преломится под углом  $-i'$ , причем для параксиальных лучей

$$in = i'n'.$$

Точку пересечения лучей во второй среде обозначим  $L'$ . Как видно из рис. 4.16, угол падения  $-i = -\alpha + \gamma$ , а угол преломления  $-i' = -\alpha' + \gamma$ . Тогда закон преломления для луча на сферической поверхности можно записать следующим образом:

$$(\alpha - \gamma)n = (\alpha' - \gamma)n'. \quad (4.10)$$

Имея в виду, что

$$\alpha = \frac{h}{s}, \quad \gamma = \frac{h}{R}, \quad \alpha' = \frac{h}{s'}, \quad (4.11)$$

где  $h$  – ордината точки пересечения лучом поверхности  $\Sigma$ , выражение (4.10) можно переписать следующим образом:

$$\left(\frac{h}{s} - \frac{h}{R}\right)n = \left(\frac{h}{s'} - \frac{h}{R}\right)n'. \quad (4.12)$$

Или после сокращения на  $h$ :

$$\left(\frac{1}{s} - \frac{1}{R}\right)n = \left(\frac{1}{s'} - \frac{1}{R}\right)n' = Q, \quad (4.13)$$

т.е. при преломлении параксиальных лучей на сферической поверхности остается постоянной некоторая величина  $Q$ , зависящая только от расстояния до источника света, радиуса кривизны сфери-



ческой поверхности и показателя преломления среды, где находится источник света. Эта величина называется *инвариантом Аббе*.

Преобразуя выражение (4.12), получим формулу для преломления лучей на сферической поверхности в виде

$$\frac{n'}{s'} - \frac{n}{s} = \frac{n' - n}{R}. \quad (4.14)$$

Величину  $\frac{n' - n}{R}$  принято называть *оптической силой сферической поверхности* и обозначать буквой  $D$ . Единицей оптической силы в СИ является диоптрия (1 дптр = 1 м<sup>-1</sup>).

Таким образом

$$D = \frac{n' - n}{R}. \quad (4.15)$$

Если источник света располагается бесконечно далеко от поверхности  $\Sigma$ , т.е.  $-s \rightarrow -\infty$ , то после преломления лучи собираются в точке, называемой задним фокусом сферической поверхности  $F'$  (рис. 4.17). Значение  $s'$  в этом случае равно  $f'$ . Из (4.14) получаем:

$$f' = \frac{n'}{n' - n} R. \quad (4.16)$$

Если источник  $L$  поместить в точку на расстоянии  $-s = -f$ , т.е. в передний фокус сферической поверхности, то  $s' \rightarrow +\infty$  и лучи во второй среде будут распространяться параллельно друг другу.

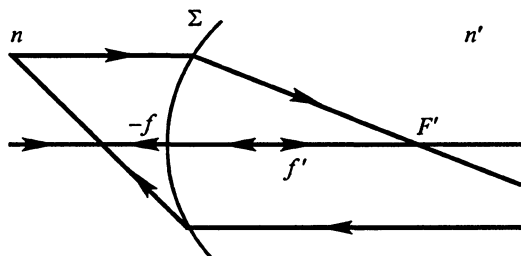


Рис. 4.17

Из (4.14) следует, что

$$-f = \frac{n}{n' - n} R. \quad (4.17)$$

Умножив (4.16) на  $n$ , а (4.17) на  $n'$  и сложив полученные выражения, получим:

$$nf + nf' = 0. \quad (4.18)$$

Используя выражения (4.16) и (4.17), формулу (4.14) можно переписать следующим образом:

$$\frac{f}{s} + \frac{f'}{s'} = 1. \quad (4.19)$$

Выражения (4.12) – (4.17) эквивалентны друг другу. Из них видно, что любой парааксиальный луч, выйдя из  $L$ , попадет в  $L'$ . Следовательно, гомоцентричность парааксиальных лучей сохраняется при преломлении на сферической поверхности.

Замена в (4.14)  $n$  на  $-n'$  позволяет получить формулу сферического зеркала. После подстановки  $n = -n'$  в (4.14) получим:

$$\frac{1}{s} + \frac{1}{s'} = \frac{2}{R}. \quad (4.20)$$

Величина  $f = \frac{R}{2}$  называется *фокусным расстоянием зеркала*. Если  $R > 0$ , то  $s' > 0$ , т. е. изображение, даваемое выпуклым сферическим зеркалом, всегда мнимое. Если  $R < 0$ , то  $s' = \frac{fs}{S - f}$  и в зависимости от значения  $s$  изображение может быть как мнимым, так и действительным.

Если  $R \rightarrow \infty$ , то  $s' = -s$  и, следовательно, изображение, даваемое плоским зеркалом, всегда мнимое, что соответствует выводам предыдущего параграфа.

Лучи света от источника конечных размеров, пройдя через сферическую границу раздела двух сред, могут дать стигматическое изображение предмета. Назовем *линейным увеличением*  $V$  отношение поперечного размера изображения  $-h'$  к поперечному размеру предмета  $h$ , *угловым увеличением*  $W$  – отношение значения угла  $u'$ , под которым лучи сходятся в точку изображения, к значению угла  $-u$ , под которым соответствующие лучи выходят от источника света (рис. 4.18). Рассмотрим связь между линейным и угловым увеличениями, даваемыми сферической поверхностью.

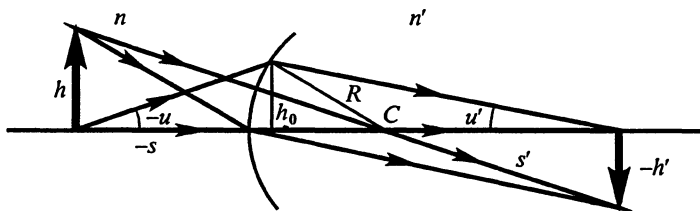


Рис. 4.18

Как видно из рис. 4.18,

$$V = \frac{-h'}{h} = \frac{s' - R}{-s + R}, \quad (4.21)$$

т.е.

$$\frac{h'}{h} = \frac{R - s'}{R - s}.$$

Имея в виду выражение для инварианта Аббе (4.13), получим:

$$\frac{R - s'}{R - s} = \frac{n s'}{n' s}. \quad (4.22)$$

Подставляя (4.22) в (4.21), приходим к выражению

$$u'n'h' = unh,$$

что составляет содержание *теоремы Лагранжа – Гельмгольца*.

Из теоремы следует, что **произведение линейного увеличения**  $V = -\frac{h'}{h}$ , **углового увеличения**  $W = -\frac{u'}{u}$  и **отношения показателей преломления двух сред**  $\frac{n'}{n}$  **для сферической поверхности есть величина постоянная и равная единице**, т.е.

$$VW \frac{n'}{n} = 1.$$

Сопряженные плоскости, для которых  $V = 1$ , называются **главными плоскостями**. Нетрудно показать, что главные плоскости сферической поверхности сливаются в одну, проходящую через вершину сферической поверхности перпендикулярно главной оптической оси.

#### 4.5. ТОНКИЕ ЛИНЗЫ. ФОРМУЛА ЛИНЗЫ. ОПТИЧЕСКАЯ СИЛА ЛИНЗЫ

Рассмотрим прохождение луча света через две сферические поверхности, расположенные так, что их центры  $O$ ,  $O'$  лежат на прямой  $LL'$ . В соответствии с правилами знаков радиус одной поверхности обозначим через  $R_1$ , другой – через  $-R_2$  (рис. 4.19). Ось  $OO'$ , проходящую через центры поверхностей, назовем **главной оптической осью**. Для описания хода одного из паракиальных

лучей воспользуемся соотношением (4.10). Для первой поверхности имеем:

$$n'\alpha'_1 - n\alpha_1 = \frac{n' - n}{R_1} h_1, \quad (4.23)$$

здесь  $\alpha_1$  – угол между направлением луча, падающего на первую сферическую поверхность  $\Sigma_1$  и главной оптической осью,  $\alpha'_1$  – угол между лучом, преломленным на  $\Sigma_1$ , и главной оптической осью,  $h_1$  – высота, на которой луч пересекает  $\Sigma_1$ ,  $n'$  и  $n$  – показатели преломления справа и слева от  $\Sigma_1$  соответственно. Для сокращения дальнейших математических выкладок воспользуемся понятием оптической силы сферической поверхности. Тогда с учетом (4.15) выражение (4.23) можно записать в виде

$$n'\alpha'_1 - n\alpha_1 = D_1 h_1. \quad (4.24)$$

Аналогично для луча, преломленного на второй поверхности, имеем:

$$n\alpha_2 - n'\alpha'_2 = D_2 h_2, \quad (4.25)$$

где  $D_2 = \frac{n - n'}{R_2}$ , остальные обозначения понятны из рис. 4.19.

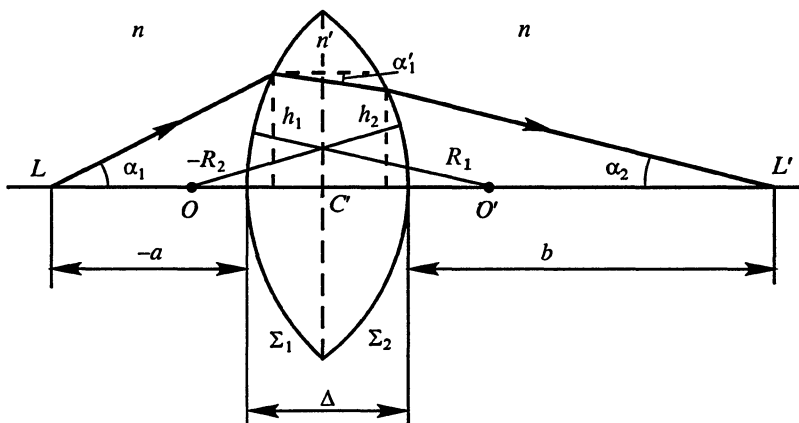


Рис. 4.19

Сложив (4.24) и (4.25), получим:

$$n\alpha_2 - n\alpha_1 + n'(\alpha'_1 - \alpha'_2) = D_1 h_1 + D_2 h_2, \quad (4.26)$$

где  $h_1$  и  $h_2$ ,  $\alpha'_1$  и  $\alpha'_2$  связаны простыми соотношениями:

$$h_1 = h_2 + \alpha'_1 \Delta, \quad \alpha'_1 = \alpha'_2, \quad (4.27)$$

где  $\Delta$  – расстояние между поверхностями  $\Sigma_1$  и  $\Sigma_2$ , т.е. толщина линзы. Если  $\Delta$  много меньше радиусов линзы (тонкая линза), то можно приближенно принять

$$h_1 = h_2. \quad (4.28)$$

Тогда (4.26) примет более простой вид:

$$n(\alpha_2 - \alpha_1) = h_1(D_1 + D_2). \quad (4.29)$$

Сумма  $D_1$  и  $D_2$  называется оптической силой линзы  $D$ . С учетом зависимостей  $D_1$  и  $D_2$  от  $n'$ ,  $n$ ,  $R_1$  и  $R_2$  можно записать:

$$D = (n' - n) \left( \frac{1}{R_1} - \frac{1}{R_2} \right). \quad (4.30)$$

После деления (4.29) на  $h_1$  получим:

$$\frac{1}{b} - \frac{1}{a} = \frac{1}{f}, \quad (4.31)$$

где  $f = \frac{n}{D}$  – фокусное расстояние тонкой линзы.

Выражение (4.31) называется *формулой тонкой линзы*.

Так как  $\frac{1}{b} \equiv k_2$  – это *кривизна* сферической волны, распространяющейся за линзой, а  $\frac{1}{a} \equiv k_1$  – кривизна волны, падающей на линзу, то (4.31) можно переписать и так:

$$k_2 = k_1 + \frac{D}{n}, \quad (4.32)$$

т.е. линза меняет кривизну фронта сферической волны, падающей на нее из точки  $L$ , таким образом, что она преобразуется в сферическую волну, сходящуюся в точку  $L'$  за линзой. Такой взгляд на функцию тонкой линзы полностью соответствует волновым представлениям, развитым в § 3.7.

Если  $D > 0$ , то линза называется *положительной*, или *собирающей*; если  $D < 0$ , то линза называется *отрицательной*, или *рассеивающей*.

Из (4.31) следует, что при  $D > 0$  и  $a \rightarrow -\infty$   $b \rightarrow f$ , т.е. лучи, падающие слева на линзу с положительной оптической силой параллельно главной оптической оси, собираются в точке, которая называется *задним фокусом линзы*, а расстояние  $f$  – фокусным рас-

стоянием. При падении на линзу справа лучей, параллельных главной оптической оси, лучи собираются в переднем фокусе линзы на расстоянии  $-a = -f$ . Таким образом, переднее и заднее фокусные расстояния тонкой линзы равны друг другу. Различные типы собирающих и рассеивающих линз приведены на рис. 4.20.

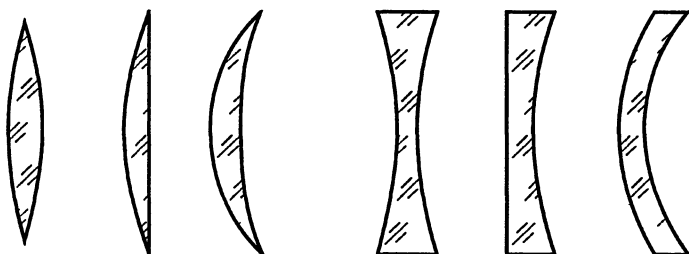


Рис. 4.20

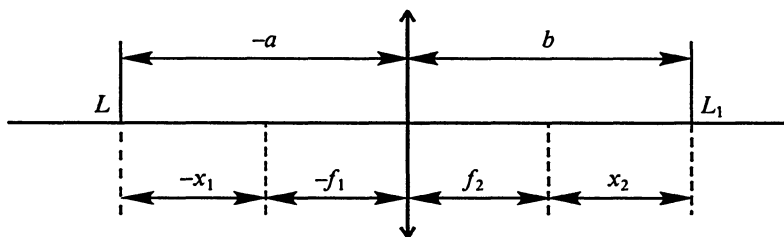


Рис. 4.21

Главные фокусы линзы могут служить точками отсчета расстояний от предмета до его изображения, даваемого линзой. Обозначим расстояние от предмета до переднего фокуса через  $x_1$ , от изображения до заднего фокуса через  $x_2$ . Будем использовать известное нам правило знаков. Расстояния, отсчитываемые влево от фокусов, считаем отрицательными, вправо – положительными. Как видно из рис. 4.21,

$$\begin{aligned} a &= f_1 + x_1, \\ b &= f_2 + x_2. \end{aligned} \quad (4.33)$$

С учетом (4.31) формулу тонкой линзы можно записать следующим образом:

$$\frac{1}{f_2 + x_2} - \frac{1}{x_1 + f_1} = \frac{1}{f_2},$$

или

$$x_1 x_2 = f_1 f_2, \quad (4.34)$$

так как  $-f_1 = f_2$ .

Формула тонкой линзы в форме (4.34) называется *формулой Ньютона*.

В случае параксиальных лучей для каждой из сферических поверхностей, образующих линзу, справедлива теорема Лагранжа–Гельмгольца. Если считать, что показатель преломления среды справа и слева от линзы одинаков, то, применяя теорему Лагранжа–Гельмгольца, получим:

$$h_1 u_1 n = h_2 u_2 n,$$

или

$$VW = 1. \quad (4.35)$$

Таким образом, для тонкой линзы произведение линейного и углового увеличений равно единице.

Для построения изображения точечного источника в тонких линзах достаточно определить ход двух лучей. Обычно рассматривают такие лучи, поведение которых при прохождении через линзу

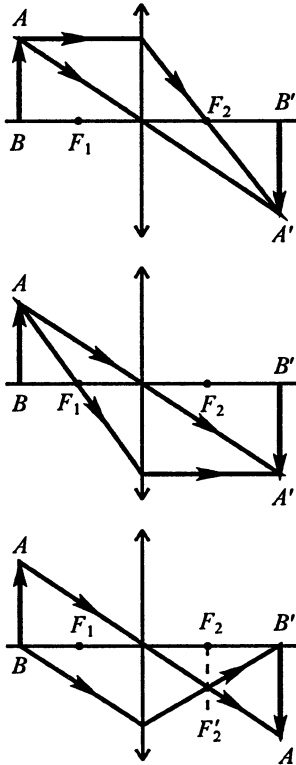


Рис. 4.22

хорошо известно. Так, луч, падающий на линзу параллельно главной оптической оси, проходит после линзы через главный задний фокус. Луч, идущий через главный передний фокус, после преломления идет параллельно главной оптической оси. Луч, идущий вдоль оптической оси, проходит линзу без преломления. Любая прямая, проходящая через центр линзы под углом к главной оптической оси, называется *побочной оптической осью*; точку ее пересечения с фокальной плоскостью называют *побочным фокусом*. Параксиальные лучи, идущие вдоль побочных оптических осей, проходят линзу без преломления.

Лучи, падающие на линзу параллельно побочной оптической оси, после линзы соберутся в побочном фокусе. Рисунок 4.22 иллюстрирует приемы построения изображения предметов в тонких собирающих линзах.

При построении изображений в рассеивающих линзах пользуются теми же лучами. Однако при этом параллельный главной оптической оси пучок становится расходящимся, но продолжения лучей

назад сходятся в переднем главном фокусе  $F$  на расстоянии  $-f$  от линзы (рис. 4.23). Косые параллельные лучи также становятся расходящимися, причем их продолжения назад сходятся в переднем побочном фокусе  $F'$ , для нахождения которого нужно провести побочную оптическую ось.

В заключение отметим, что с волновой точки зрения сохранение гомоцентричности светового пучка при его преобразовании в оптической системе означает, что оптическая система изменяет кривизну фронта падающей волны (увеличивает при положительной оптической силе, уменьшает при отрицательной оптической силе).

Но время распространения лучей в системе одно и то же, так что в фокусе фазы колебаний всех лучей одинаковы (принцип равного времени распространения – т а у т о х р о н и з м).

Нарушение гомоцентричности для непараксиальных пучков на волновом языке означает нарушение сферичности волновых фронтов.

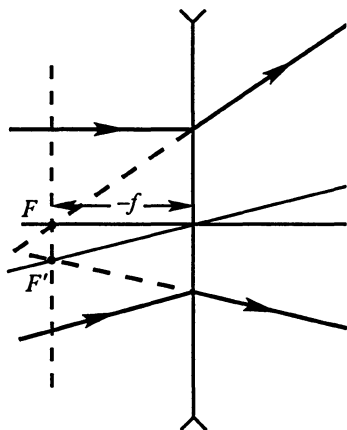


Рис. 4.23

## 4.6. ЦЕНТРИРОВАННЫЕ ОПТИЧЕСКИЕ СИСТЕМЫ

В общем случае оптическая система может состоять из нескольких линз, расположенных друг от друга на расстояниях, сравнимых с радиусами кривизны ограничивающих их сферических поверхностей. Если оптические центры этих линз расположены на одной прямой, то такую совокупность линз называют *центрированной оптической системой*. Линия, соединяющая центры линз, называется *главной оптической осью центрированной системы*. Так как каждая сферическая поверхность сохраняет гомоцентричность приосевого пучка, то каждому точечному источнику света  $L_m$  будет соответствовать свое точечное изображение  $L'_m$ . Так как для каждой сферической поверхности можно записать в параксиальном приближении инварианты Аббе и Лагранжа – Гельмгольца, то естественно возникает мысль о возможности описания действия центрированной оптической системы на лучи от точечного источника формулой линзы. Это особенно просто сделать, если применить формулу Ньютона (4.34).



Ограничимся далее лишь системами с положительной оптической силой  $D$ . Показатель преломления среды перед системой и за ней будем считать одинаковым и равным единице.

Если на такую систему пустить слева пучок лучей (рис. 4.24), параллельных главной оптической оси, то они пересекут эту ось справа от края системы в некоторой точке  $F_2$  – заднем фокусе системы. Направив лучи справа налево, таким же образом определим передний фокус  $F_1$ . Плоскости, перпендикулярные оптической оси и проходящие через фокусы, называют *главными фокальными плоскостями*. Фокальные точки принимаются за точки, от которых отсчитываются расстояния  $x$  и  $x'$  до предмета  $AB$  и его изображения  $A_1B_1$ . Определив таким образом  $x$  и  $x'$ , можно найти фокусное расстояние для центрированной оптической системы как  $\sqrt{xx'} = f$ . Откладывая от фокусов расстояние, равное  $f$ , вправо для переднего фокуса и влево для заднего фокуса, мы определим *главные точки* оптической системы. Плоскости, перпендикулярные к главной оси, проходящие через главные точки системы, называются *главными плоскостями*  $H_1$  и  $H_2$ . Любой луч, пересекающий переднюю главную плоскость на высоте  $h$  от оптической оси, встретит вторую главную плоскость на такой же высоте. Знание положения главных плоскостей достаточно для построения изображения предмета.

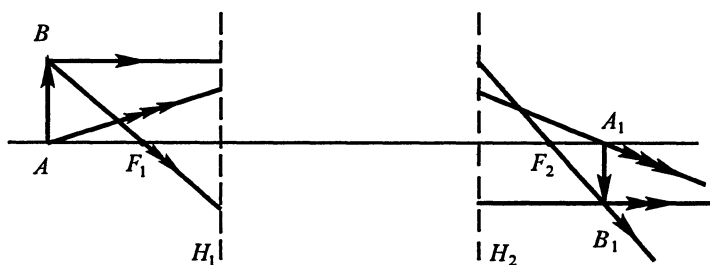


Рис. 4.24

В тонкой линзе главные плоскости сливаются в одну и остаются три кардинальные точки: главные фокусы и центр линзы.

Значение фокусного расстояния  $f$  системы сферических центрированных поверхностей можно определить и теоретически.

Положим, что оптическая система состоит из произвольного числа  $M$  центрированных сферических поверхностей (оптические среды справа и слева от системы одинаковы с показателем преломления  $n$ ). Будем считать, что луч пересекает  $m$ -ю поверхность

на расстоянии  $h_m$  от оси. Записав для каждой поверхности выражения, подобные (4.24), и сложив их, получим:

$$n(\alpha' - \alpha) = \sum_m D_m h_m, \quad (4.36)$$

где  $\alpha'$  – угол луча с оптической осью на выходе системы,  $\alpha$  – угол луча с осью на входе системы,  $D_m = \frac{n_{m+1} - n_m}{R_m}$ ,  $n_{m+1}$  – показатель преломления  $(m + 1)$ -й среды,  $n_m$  – показатель преломления  $m$ -й среды,  $R_m$  – радиус кривизны  $m$ -й сферической поверхности.

Сравнивая (4.36) с выражением (4.29), можно сделать вывод, что система центрированных поверхностей эквивалентна тонкой линзе с оптической силой  $D$  в том случае, когда

$$Dh_1 = \sum_m D_m h_m,$$

или

$$D = \frac{\sum_m D_m h_m}{h_1}, \quad (4.37)$$

где  $h_1$  – расстояние луча от главной оптической оси на входе системы.

Если известны радиусы сферических поверхностей и расстояния между ними, то всегда можно рассчитать значение  $D$  по формуле (4.37). Знание  $D$  позволяет определить положение фокусов оптической системы. Действительно, предположим, что слева направо на систему падает параллельный пучок лучей, тогда  $\alpha = 0$  и из (4.36) и (4.37) следует, что

$$n\alpha' = Dh_1. \quad (4.38)$$

Угол  $\alpha'$  определяет направление луча, идущего в задний фокус системы, вошедшего в систему на расстоянии  $h_1$  от ее главной оптической оси. Если положить, что  $\alpha' = \frac{h_1}{f_2}$ , где  $f_2$  – расстояние от главной плоскости до заднего фокуса, т.е. фокусное расстояние оптической системы, то получим

$$f_2 = \frac{n}{D} = \frac{h_1 n}{\sum_m D_m h_m}. \quad (4.39)$$

Так как для тонкой линзы фокусное расстояние определяется как расстояние между фокальной точкой и главной плоскостью,

то (4.39) позволяет определить положение одной из главных плоскостей системы.

Проделав аналогичные рассуждения для луча, идущего справа налево через систему, можно получить выражение для  $f_1$  и определить положение второй главной плоскости. Рисунок 4.25 поясняет расположение фокусов и главных плоскостей в оптической системе из центрированных поверхностей.

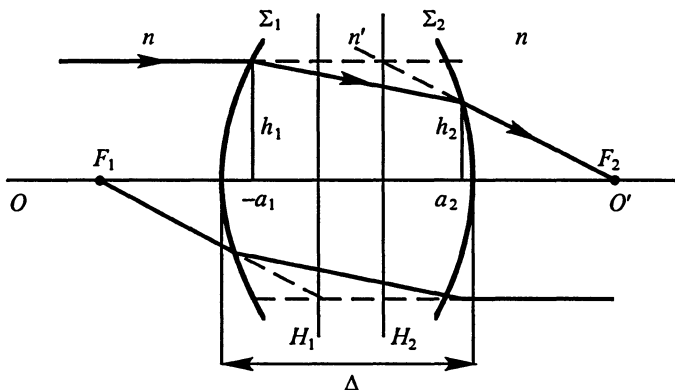


Рис. 4.25

На примере двух поверхностей  $\Sigma_1$  и  $\Sigma_2$ , имеющих оптические силы  $D_1$  и  $D_2$  соответственно, расположенных на расстоянии  $\Delta$  друг от друга, определим положения фокусов и главных плоскостей системы (см. рис. 4.25). Будем считать, что показатель преломления среды вне поверхности равен  $n$ , а вещества  $n'$ . Такие системы носят название *толстых линз*. Для определения оптической силы толстой линзы воспользуемся выражением (4.24). Если  $\alpha_1 = 0$  и  $n\alpha_2 = Dh_1$ , то из (4.38) можно найти  $D$ .

Оптическая сила  $D$  толстой линзы равна:

$$D = D_1 + D_2 - D_1 D_2 \frac{\Delta}{n},$$

$$D = (n' - n) \left( \frac{1}{R_1} - \frac{1}{R_2} \right) + \frac{(n' - n)^2 \Delta}{n R_1 R_2}. \quad (4.40)$$

При малом  $\Delta$  выражение (4.40) переходит в формулу для оптической силы тонкой линзы.

Откладывая от заднего фокуса  $F_2$  линзы расстояние  $f_2$  в направлении, противоположном направлению распространения лучей, получим местоположение одной из главных точек и соот-

ветствующей главной плоскости оптической системы. Нетрудно убедиться, что расстояние  $a_2$  главной плоскости  $H_2$  от второй сферической поверхности равно:

$$a_2 = \frac{D_1 \frac{\Delta}{n}}{D_1 + D_2 - D_1 D_2 \frac{\Delta}{n}}. \quad (4.41)$$

Аналогичные расчеты, проведенные для лучей, идущих справа налево, позволяют определить местоположение переднего фокуса  $F_1$  и расстояние  $a_1$  между передней главной плоскостью  $H_1$  и сферической поверхностью  $\Sigma_1$ . Именно:

$$-f_1 = f_2,$$

$$a_1 = \frac{D_2 \frac{\Delta}{n}}{D_1 + D_2 - D_1 D_2 \frac{\Delta}{n}}. \quad (4.42)$$

Следует подчеркнуть, что равенство (4.42) имеет место для любой центрированной системы, если показатели преломления слева  $n_1$  и справа  $n_{m+1}$  от системы одинаковы и равны  $n$ .

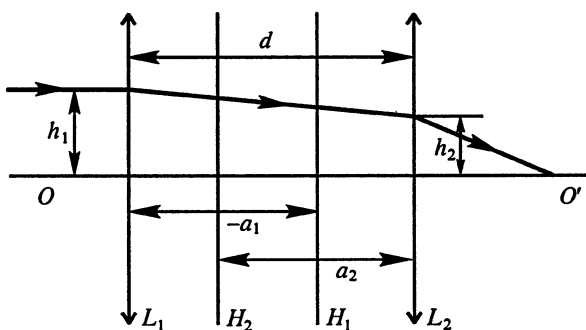


Рис. 4.26

Рассмотрим вопрос об оптической силе и о положении главных плоскостей системы, состоящей из двух тонких линз  $L_1$  и  $L_2$ , расположенных на расстоянии  $d$  друг от друга, с оптическими силами  $D_1$  и  $D_2$  соответственно. Показатель преломления среды вокруг линз примем за  $n$ . Для определения положения заднего фокуса будем считать, что на систему слева направо падает луч парал-

лельно главной оптической оси на расстоянии  $h_1$  от нее, как показано на рис. 4.26. Из рисунка видно, что точка пересечения луча со второй линзой расположена на расстоянии  $h_2$ , которое определяется линейным соотношением

$$h_2 = h_1 - \frac{D_1 h_1}{n}. \quad (4.43)$$

Подставляя (4.43) в (4.39), получим:

$$D = D_1 + D_2 - D_1 D_2 \frac{d}{n}. \quad (4.44)$$

Расстояния главных плоскостей  $a_1$  и  $a_2$  системы от линз находятся аналогично рассмотренному выше примеру и равны:

$$a_1 = \frac{D_2 \frac{d}{n}}{D_1 + D_2 - D_1 D_2 \frac{d}{n}}, \quad (4.45)$$

$$a_2 = \frac{D_1 \frac{d}{n}}{D_1 + D_2 - D_1 D_2 \frac{d}{n}}.$$

Так как для главных плоскостей линейное увеличение равно единице, то, следовательно, для этих же плоскостей и угловое увеличение равно единице. Точки системы, для которых угловое увеличение  $W = +1$ , называются *узловыми* точками. Фокусы, главные и узловые точки называются *кардинальными точками оптической системы*.

Зная расположение кардинальных точек системы, можно легко построить изображение любого предмета, даваемое сложной оптической системой, не анализируя реального хода лучей внутри системы (рис. 4.27).

Исключением из этого правила является построение изображения в так называемой *телескопической* системе, для которой  $D = 0$ .

Если телескопическая система образована двумя собирающими линзами, то из выражения (4.44) нетрудно показать, что расстояние между линзами  $d$  в этом случае равно сумме фокусных расстояний первой и второй линз. Для такой системы и главные фокусы, и главные плоскости лежат на бесконечности, поэтому применять рекомендованную ранее методику для построения изображения предмета, находящегося на конечном расстоянии от

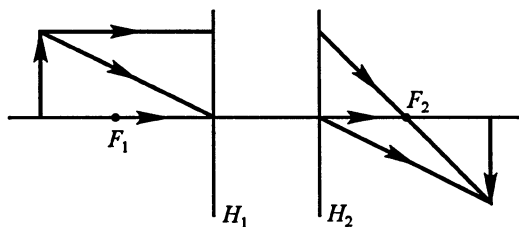


Рис. 4.27

одной из линз, не имеет смысла. Однако если для каждой линзы записать уравнение для параксиального луча:

$$\begin{aligned} n(\alpha' - \alpha_1) &= D_1 h_1, \\ n(\alpha_2 - \alpha') &= D_2 h_2 \end{aligned} \quad (4.46)$$

и учесть, что

$$h_2 = h_1 - \alpha' (f_1 + f_2) \quad (4.47)$$

(рис. 4.28), то нетрудно получить, что

$$W = \frac{\alpha_2}{\alpha_1} = -\frac{f_1}{f_2}. \quad (4.48)$$

Учитывая, что угловое увеличение и линейное связаны между собой соотношением Лагранжа–Гельмгольца (4.23), получим, что

$$V = -\frac{f_2}{f_1}.$$

Используя (4.46) и (4.47), нетрудно построить изображение предмета в телескопической системе.

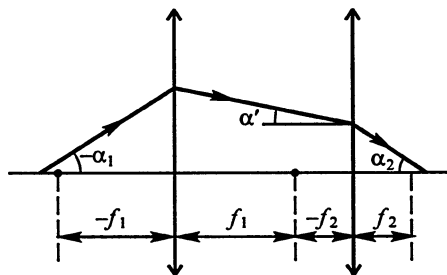


Рис. 4.28

## 4.7. НЕДОСТАТКИ ЛИНЗ

Формулы, описывающие прохождение лучей через линзы, были получены при определенных условиях. К ним относятся такие, как сферичность и центрированность поверхностей линзы, парааксиальность лучей, однородность показателя преломления материала линзы и его независимость от частоты света. Как правило, эти условия выполняются не вполне строго, что приводит к появлению искажений изображений, создаваемых линзами. Принято такого рода искажения называть *абберациями* или *недостатками* линз. Недостатки линз можно классифицировать в зависимости от причин, которыми они вызываются. С нарушением сферичности поверхности линз связан астигматизм, с нарушением условия парааксиальности – сферическая абберация, дисторсия, кома, кривизна поля изображения, с нарушением постоянства показателя преломления как функции частоты света, т.е. с наличием дисперсии в материале линзы, – хроматические абберации.

Рассмотрим наиболее распространенные недостатки линз и коротко остановимся на методах их устранения.

**Астигматизм.** Мерой отклонения от сферичности в окрестности некоторой точки  $P$  поверхности  $\Sigma$  может служить разность радиусов кривизны – максимального  $R_1$  и минимального  $R_2$ , двух ортогональных сечений, проведенных через точку  $P$  так, как показано на рис. 4.29. Лучи света, преломляясь такой поверхностью, будут собираться не в точке, а в некоторых фокальных отрезках, расположенных на разных расстояниях от поверхности  $\Sigma$ . Лучи, прошедшие через точки одного сечения, будут фокусироваться на расстоянии  $PC_1$ , другого – на расстоянии  $PC_2$ . Как видно из рисунка, гомоцентричность пучка при этом нарушается, изображение становится астигматическим. Если через линзу, обладающую астигматизмом, получать изображения объекта типа прямоугольной сетки, то изображения горизонтальных и вертикальных линий будут отчетливо видны в разных положениях экрана за линзой. Исправить астигматизм можно комбинируя линзы, обладающие различными знаками ошибок в

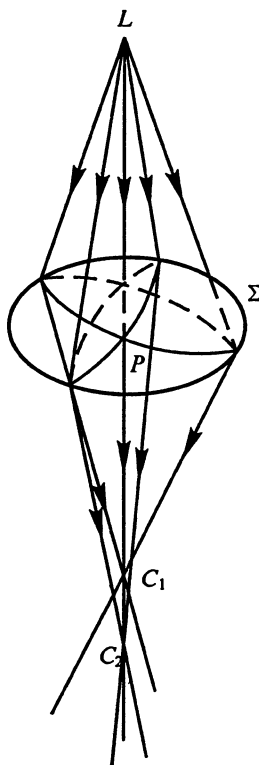


Рис. 4.29

кривизне поверхностей. Оптические системы, исправленные на астигматизм, называются *анастигматами*.

**Сферическая aberrация.** Если на линзу пустить широкий пучок лучей света, то на экране за линзой можно отчетливо увидеть, что фокус лучей, идущих дальше от центра линзы, оказывается ближе к линзе, чем фокус параксиальных лучей (рис. 4.30). Данное обстоятельство связано с тем, что периферийные участки линзы преломляют лучи на больший угол, чем центральные. Это приводит к тому, что изображение точки размывается. Для устранения этого недостатка применяют диафрагмирование линзы, а также сочетание линз, имеющих разные знаки сферической aberrации, например собирающую и рассеивающую.

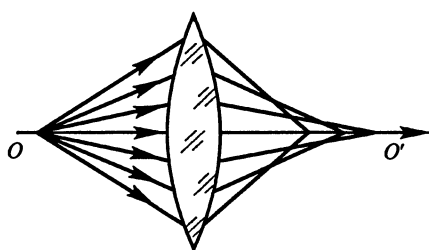


Рис. 4.30

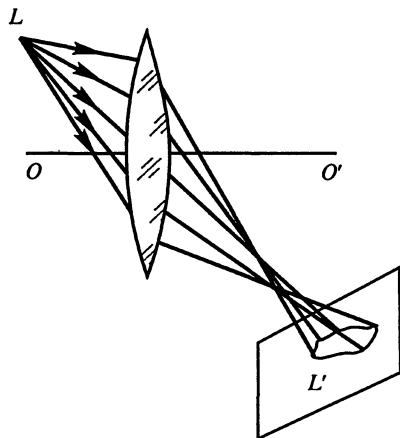


Рис. 4.31

**Кома.** Сферическая aberrация для внеосевых пучков проявляется в характерном виде изображения точечного объекта. Сечение пучка лучей в плоскости изображения плоскостью, перпендикулярной к оптической оси системы, представляет собой пятно, по виду напоминающее хвост кометы (рис. 4.31). Отсюда и название aberrации (от греч. *кома* – волосатая звезда).

Методы уменьшения комы те же, что и в предыдущем случае.

**Дисторсия.** При широких пучках условие Лагранжа–Гельмгольца может нарушаться. Для различных точек плоскости изображения поперечное увеличение может быть различным. Это обстоятельство приводит к характерному искажению формы объекта, например прямоугольных ячеек (рис. 4.32, а). В зависимости от искажений различают бочкообразную дисторсию (рис. 4.32, б) и подушкообразную дисторсию (рис. 4.32, в).



Бочкообразная дисторсия возникает, как правило, при расположении диафрагмы, ограничивающей пучки, перед линзой (рис. 4.32, б), подушкообразная дисторсия проявляется при расположении диафрагмы за линзой (рис. 4.32, в). В системе двух линз с диафрагмой между ними можно практически полностью избавиться от дисторсии.

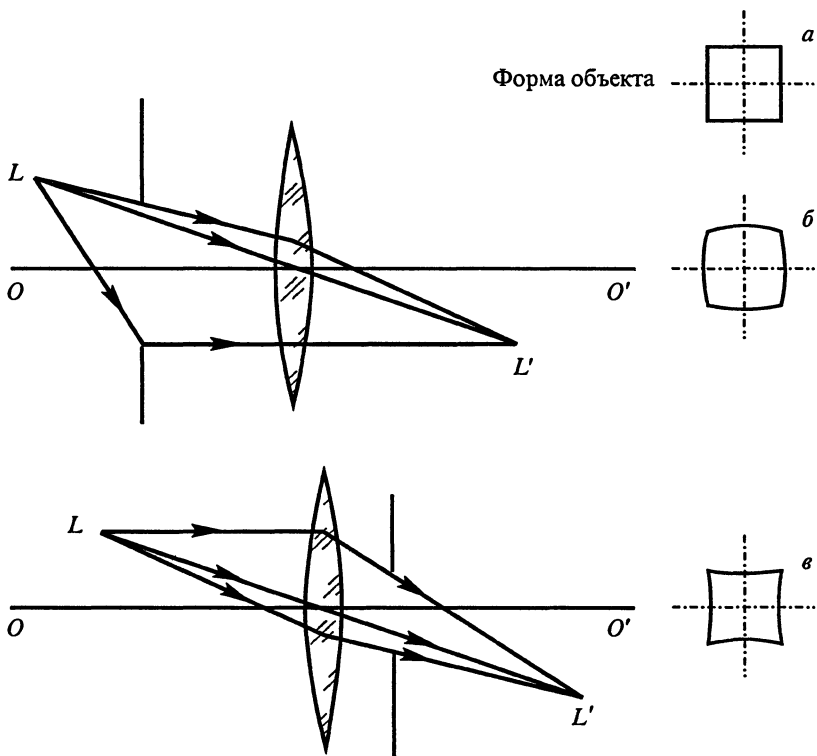


Рис. 4.32

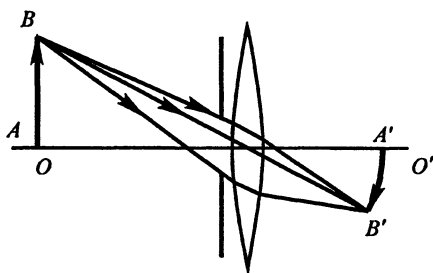


Рис. 4.33

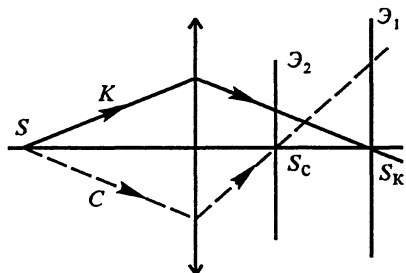


Рис. 4.34

Разные увеличения для разных лучей приводят к появлению искривления поля изображения (рис. 4.33).

**Хроматическая аберрация.** Причина хроматической аберрации лежит в зависимости показателя преломления материала линзы от частоты (или длины волны) света. Поэтому изображение белых предметов оказывается окрашенным [см. рис. 4.34, где сплошными линиями показан ход красных (длинноволновых) лучей, пунктиром – синих (коротковолновых)]: на экране  $\mathcal{E}_1$  получается красное изображение, окруженное синим венчиком; на экране  $\mathcal{E}_2$  синее изображение окружено красным ореолом. Борьба с хроматической аберрацией сложна, так как изменение формы преломляющей поверхности не может уничтожить хроматическую аберрацию, поэтому приходится пользоваться системой линз, сделанных из стекол с разной дисперсией (ахроматические линзы).

#### 4.8. ЯРКОСТЬ И ОСВЕЩЕННОСТЬ ОПТИЧЕСКИХ ИЗОБРАЖЕНИЙ

Изображение, формируемое линзой, рассматривается глазом или анализируется каким-либо приемником света. Как отмечалось ранее (см. 1.8), любой приемник реагирует на среднюю мощность излучения или средний поток излучения. Представляет интерес разобраться, можно ли с помощью линзы сконцентрировать энергию излучения на небольших участках так, чтобы стало возможным возгорание дерева или бумаги. Согласно легенде Архимед сжег флот неприятеля, осаждавшего Сиракузы, сфокусировав свет солнечных лучей от сотен зеркал, которые по его команде жители города направили на вражеские корабли. Возможно ли это? Для ответа на эти вопросы необходимо рассмотреть, как яркость и освещенность изображения, даваемого линзой, зависят от яркости и освещенности предмета и от свойств линзы.

В качестве объекта рассмотрим небольшой прямоугольник площадью  $\Delta S_1$ , нормальный к оси линзы, помещенный на расстоянии  $-a$  от нее (рис. 4.35). Как и прежде, будем считать, что среда слева и справа от линзы имеет одинаковый показатель преломления  $n = 1$ . Изображением  $\Delta S_1$  будет прямоугольник площадью  $\Delta S_2$ , расположенный на расстоянии  $b$  от линзы. В параксиальном приближении

$$\frac{\Delta S_2}{\Delta S_1} = \left(\frac{b}{a}\right)^2 \equiv \beta^2. \quad (4.49)$$

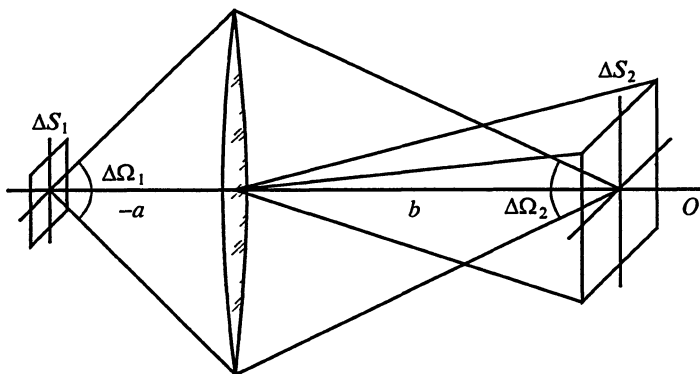


Рис. 4.35

Если яркость объекта равна  $L_v$ , то через линзу пройдет световой поток  $\Delta\Phi_{v1}$ , значение которого определяется выражением

$$\Delta\Phi_{v1} = L_v \Delta S_1 \Delta\Omega_1, \quad (4.50)$$

где  $\Delta\Omega_1$  – телесный угол, под которым линза видна из места расположения объекта. Если обозначить диаметр линзы через  $d$ , то

$$\Delta\Omega_1 = \frac{\pi d^2}{4a^2}.$$

За счет поглощения света веществом линзы и частичного отражения на ее поверхности поток света за линзой  $\Delta\Phi'_v$  может только уменьшиться, т. е.

$$\Delta\Phi'_v = k \Delta\Phi_v, \quad (4.51)$$

где  $k$  – коэффициент потерь (меньше единицы).

Поток за линзой будет распространяться в пределах телесного угла  $\Delta\Omega_2$ , под которым линза видна с площадки, являющейся изображением. Из рисунка видно, что  $\Delta\Omega_2 = \frac{\pi d^2}{4b^2}$ .

Обозначив через  $L'_v$  яркость светового потока, формирующего изображение, выражение для потока  $\Delta\Phi'_v$  можно записать следующим образом:

$$\Delta\Phi'_v = L'_v \frac{\pi d^2}{4b^2} \Delta S_2. \quad (4.52)$$

Или

$$L'_v \frac{\pi d^2}{4b^2} \Delta S_2 = kL_v \Delta S_1 \frac{\pi d^2}{4a^2}. \quad (4.53)$$

С учетом (4.49) имеем:

$$L'_v = kL_v. \quad (4.54)$$

Таким образом, яркость изображения определяется только яркостью объекта и потерями в линзе. Она не может превысить яркость объекта.

Освещенность изображения, как видно из (4.52) и (4.54), равна

$$E_{v2} = \frac{\Delta \Phi'_v}{\Delta S_2} = kL_v \pi \frac{d^2}{b^2}, \quad (4.55)$$

т.е. при заданной яркости объекта она зависит от квадрата отношения диаметра линзы к расстоянию изображения до линзы. Часто это расстояние практически равно фокусному расстоянию  $f$  оптической системы. Поэтому отношение  $\frac{d}{f}$  имеет свое название – его называют *относительным отверстием*; квадрат этого отношения  $\left(\frac{d}{f}\right)^2$  называется *светосилой линзы*  $L$ , т.е.

$$L = \left(\frac{d}{f}\right)^2.$$

Таким образом, применяя линзу, нельзя получить яркость изображения, большую яркости объекта, но увеличить освещенность можно с помощью линзы или зеркала.

Так, Солнце, видимое невооруженным глазом под углом зрения  $30'$ , создает у поверхности Земли освещенность  $E_{v0} = 10^5$  лк. Если получить действительное изображение Солнца при помощи линзы с фокусным расстоянием  $f$ , то (так как угол зрения из центра линзы на это изображение остается равным  $30'$ ) радиус этого изображения будет равен  $\rho = f \operatorname{tg} 15'$ . Освещенность этого изображения Солнца создается световым потоком, проходящим через поверхность линзы диаметром  $d$ . Поэтому освещенность на поверхности изображения будет равна:

$$E_v = E_{v0} \frac{\pi d^2}{4} \frac{1}{\pi f^2 \operatorname{tg}^2 15'},$$

т.е. возрастет примерно в 3000 раз, так как светосила линзы может достигать значения порядка 0,5.

Поглощаясь, световой поток нагревает экран, на котором возникает действительное изображение. Но каждое нагретое тело само становится источником излучения. Поэтому в конце концов устанавливается равновесие: поглощаемая мощность равняется излучаемой. При достаточно больших размерах линзы или собирающего зеркала возможно нагревание до 3500 К (при этом возможно воспламенение экрана).

Мог ли Архимед сжечь с помощью зеркала флот неприятеля? Ответ на этот вопрос предоставим читателю.

## 4.9. ГЛАЗ КАК ОПТИЧЕСКАЯ СИСТЕМА

Большинство оптических приборов так или иначе расширяет возможности человека к восприятию информации, поступающей в его мозг за счет зрения. Глаз человека является тем биологическим устройством, которое осуществляет прием света и его первичную обработку, прежде чем сигналы поступят в мозг. Глаз человека имеет сложное строение, поясняемое рис. 4.36.



Рис. 4.36

Существенными частями глаза (как оптической системы) являются: зрачок – отверстие в непрозрачной радужной оболочке, размеры которого бессознательно меняются в зависимости от яркости объекта, предохраняя глаз от перегрузки; двояковыпуклая линза, называемая хрусталиком; мышечные усилия позволяют человеку менять его кривизну (и тем самым – оптическую силу глаза) в зависимости от расстояния глаза до объекта; стекловидное тело, являющееся дополнительной толстой линзой, вместе с хрусталиком оно обеспечивает создание уменьшенного действи-

тельного перевернутого изображения объекта на сетчатке, где находятся светочувствительные окончания зрительного нерва – колбочки, работающие при более или менее значительной освещенности и обеспечивающие цветное зрение, и палочки, работающие при малых освещенностях, но не различающие цветов. Светочувствительное вещество, имеющееся в этих окончаниях, разлагается под действием света и снова восстанавливается при уменьшении освещенности. Изменение химического состава вызывает раздражение зрительного нерва и посылку соответствующего сигнала в мозг – эта часть процесса восприятия света выходит за рамки физики. Размеры палочек и колбочек очень малы (меньше 0,01 мм).

Оптический центр глаза лежит внутри хрусталика; луч, идущий через него, не испытывает преломления.

В ненапряженном состоянии глаз сфокусирован на весьма удаленные объекты, при этом его оптическая сила достигает 60 дптр. При мышечном напряжении она растет, и глаз способен различать детали более близких предметов. *Расстоянием наилучшего зрения  $L$*  (20–25 см) называют расстояние, на котором глаз работает без утомления и позволяет различать мелкие предметы под наибольшим углом зрения  $\alpha$ . Две светящиеся точки кажутся раздельными, если они возбуждают две различные светочувствительные клетки (колбочки), между которыми остается одна невозбужденная. При этом угол зрения на них составляет не менее одной дуговой минуты; на расстоянии наилучшего зрения этому отвечает расстояние между точками, равное приблизительно 0,06 см.

Если при заболевании глаза хрусталик удаляется, пациенту приходится носить сильные очки (10–15 дптр). Но и без очков он различает контуры удаленных предметов и может ориентироваться в знакомой обстановке.

Глаз почти свободен от сферической аберрации и совершенно не обладает хроматической аберрацией. Чувствительность глаза изменяется в огромных пределах – отношение наибольшей интенсивности, уже опасной для глаза, к наименьшей (для ее восприятия глаз должен довольно длительное время находиться в темноте – приспособливаться) достигает  $10^{12}$ . Напомним, что у обычных измерительных приборов это отношение не превышает  $10^2$ . Как указывалось в главе 2, область длин волн, воспринимаемых глазом, ограничена. Из-за конечной длительности зрительного восприятия (около 0,1 с) быстро меняющиеся образы сливаются в сознании человека в непрерывно меняющийся образ. Это позволило осуществить ряд технических разработок: использовать для освещения лампы с быстро меняющейся интенсивностью



Рис. 4.37

(газоразрядные и люминесцентные), создать кинематограф и телевидение.

Довольно распространенные недостатки глаза – чрезмерная оптическая сила (близорукость) и слишком малая оптическая сила (дальнозоркость) – исправляются простейшими очками: первый – с рассеивающими линзами, второй – с собирающими, приводящими оптическую силу системы к норме.

При рассматривании предмета глаз все время беспорядочно перемещается, разглядывая различные точки поверхности предмета и сосредоточиваясь на наиболее интересных участках. На рис. 4.37 показан след светового зайчика, отраженного маленьким зеркальцем, прикрепленным к главному яблоку. След отмечает области, куда была направлена ось глаза при двухминутном рассматривании портрета девушки.

Ощущение глубины пространства и оценка расстояния до известных предметов (в незнакомой обстановке ошибки в оценке

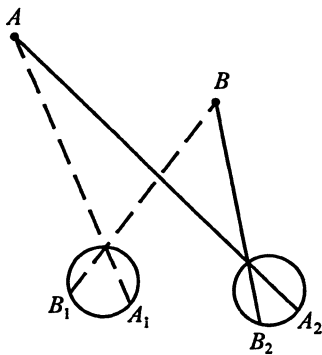


Рис. 4.38

расстояния поразительно велики, о чем знает всякий, впервые попавший в горы) связаны со зрением двумя глазами. На рис. 4.38 схематически показаны изображения двух точек  $A$  и  $B$  в глазах человека. Как видно из рисунка, относительная ориентация оптических глазных осей, положение изображений на сетчатке и их взаимное удаление различны. Оба восприятия сливаются в сознании в одно, причем возникает ощущение глубины пространства и оценивается расстояние между объектами. Это восприятие дается опытом и

у детей развито значительно слабее, чем у взрослых. Определенную роль в таком стереоскопическом зрении играют мышечные усилия, требуемые для ориентации оси глаза в нужном направлении. Способность точной оценки сохраняется до расстояний, близких к 1,5–2 км.

Для увеличения этой способности нужно было бы увеличить расстояние между глазами, что, конечно, невозможно. Нужный эффект достигается в дальномерах (стереотрубах, см. 4.10).

#### 4.10. ОПТИЧЕСКИЕ ПРИБОРЫ

Оптические приборы, служащие для получения изображений, можно разделить на две группы: 1) приборы, работающие без участия глаза, которые должны давать действительные изображения; 2) приборы, работающие с глазом, они должны послать в глаз параллельные пучки света от каждой светящейся точки предмета, действительное изображение будет создано уже самим глазом.

К приборам первой группы относятся фотоаппарат и проекционный фонарь (эпидиаскоп).

Фотоаппарат представляет собой одну линзу (в действительности это сложная линза весьма высокого качества), она должна создать качественное действительное уменьшенное изображение на фотографической пленке или пластинке. Линзы в современных фотоаппаратах имеют фокусные расстояния порядка нескольких сантиметров, т. е. значительно меньше тех расстояний, на которые удалены обычно объекты съемки. Поэтому изображение получается почти в фокальной плоскости, его линейные размеры пропорциональны фокусному расстоянию  $f$ , а площадь – квадрату фокусного расстояния. Световой поток, проникающий в линзу фотоаппарата, в свою очередь пропорционален квадрату диаметра отверстия линзы  $D$ . У лучших объективов светосила

$\left(\frac{D}{f}\right)^2$  достигает значения 1–1,5. Чем больше это отношение, тем меньшая экспозиция требуется при съемке на фотопленку данной чувствительности.

Диафрагма, ограничивающая рабочее отверстие объектива, позволяет изменять светосилу; одновременно она меняет глубину резкости (рис. 4.39).

Проектор (проекционный фонарь) является как бы обращенным фотоаппаратом, так как он призван создавать увеличенные изображения близких к фонарю объектов на удаленном экране.



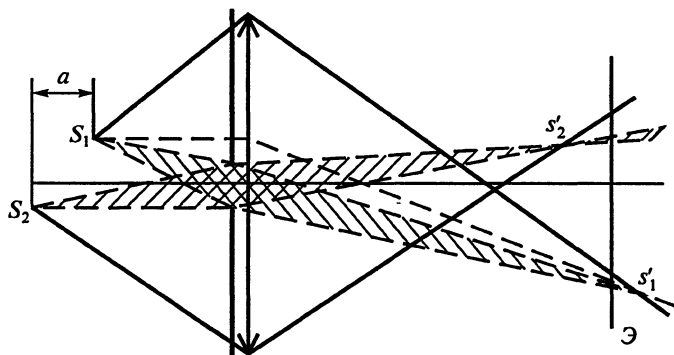


Рис. 4.39

Однако так как эти изображения рассматриваются зрителем с довольно больших расстояний, то требования к качеству изображения гораздо менее строги, чем в случае фотоаппарата. Так, простая колба с водой может дать изображение, приемлемое в целом ряде случаев. Основные трудности в проекционном фонаре – это необходимость сильного освещения объекта и предохранения его от перегрева инфракрасным излучением, мощность которого велика у всех источников белого света.

Схема простейшего проекционного фонаря, работающего «на просвет» (диaproектора), показана на рис. 4.40.

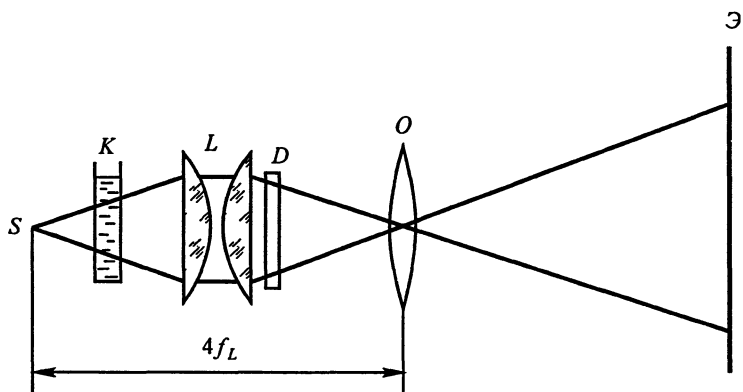


Рис. 4.40

Световой поток от источника  $S$  концентрируется осветительной линзой (часто это комбинация из двух плосковыпуклых линз), затем фокусируется на линзе  $O$ , создающей изображение диапозитива  $D$ , помещенного сразу за осветительной линзой и пронизыва-

ваемого всем световым потоком. При этом выгодно слева иметь симметричный ход лучей, так что объект оказывается удаленным от осветительной линзы приблизительно на удвоенное фокусное расстояние этой линзы; в то же время это расстояние примерно равно фокусному расстоянию линзы  $O$ . Так как экран  $\mathcal{E}$  располагается далеко, то увеличение получается значительным. Между источником света и осветительной линзой можно поместить кювету с водой  $K$ , поглощающей инфракрасное излучение, не участвующее в создании видимого изображения.

В более удобных проекторах (эпидиаскопах), позволяющих отображать и прозрачные (диапроекция), и непрозрачные (эпироэкция) объекты, непрозрачный предмет  $P$  (рис. 4.41) освещается мощным пучком света лампы  $S$ , дополнительно концентрируемым зеркалами  $R$  и  $T$ . Свет, отраженный объектом, при помощи плоского зеркала направляется в объектив  $O$ , дающий увеличенное изображение на удаленном экране. При диапроекции зеркало  $T$  опускается в положение  $T'$ , а прозрачный объект (диапозитив) помещается в сечении  $G$  светового пучка. Объектив  $O_1$  дает увеличенное изображение диапозитива на экране.

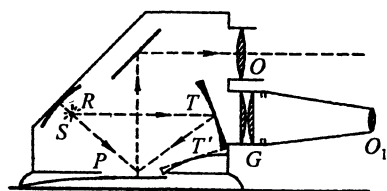


Рис. 4.41

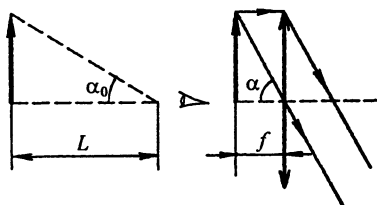


Рис. 4.42

Простейшим оптическим прибором, вооружающим глаз, является лупа (выпуклое стекло с фокусным расстоянием  $f$ , меньшим расстояния наилучшего зрения  $L$ ). Невооруженный глаз видит предмет под углом зрения  $\alpha_0$  (рис. 4.42). Поместив на пути лучей лупу и располагая предмет в ее фокальной плоскости, мы получим увеличение угла зрения до значения  $\alpha$ . Угловое увеличение есть

$$W = \frac{\operatorname{tg} \alpha}{\operatorname{tg} \alpha_0} = \frac{L}{f}. \quad (4.56)$$

Лупа используется также для увеличения освещенности действительного изображения удаленных предметов (см. 4.9)

Простые выпуклые или плосковыпуклые лупы дают удовлетворительные изображения при пяти-восьмикратном увеличении.

Для рассмотрения весьма малых предметов (до 1 мкм) применяется микроскоп (рис. 4.43), состоящий из короткофокусного объектива  $O_1$ , дающего сильно увеличенное действительное изображение  $A_1B_1$  предмета  $AB$ , попадающее в фокальную плоскость окуляра – лупы  $O_2$ . Как видно из рисунка, изображение рассматривается под углом зрения  $\alpha$ . Невооруженный глаз рассматривал бы его под углом  $\alpha_0 = \arctg \frac{h}{L}$ . Таким образом, угловое увеличение в этом случае равно:

$$W = \frac{\operatorname{tg} \alpha}{\operatorname{tg} \alpha_0} = \frac{h_1 L}{f_2 h} \approx \frac{L \Delta}{f_1 f_2},$$

где  $\Delta \gg f_1$  – так называемый *интервал*. Практически не удается получить увеличений, превосходящих 2000–2500, что связано с волновыми свойствами света и возникающими в микроскопе явлениями дифракции.

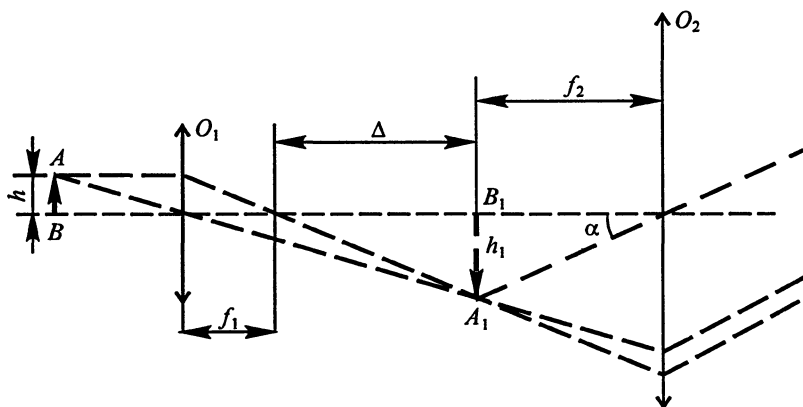


Рис. 4.43

Конечно, можно приспособить микроскоп и для фотографирования. Глаз можно заменить фотоаппаратом, не меняя настройки микроскопа. Можно также, сдвинув окуляр (вправо на рис 4.43) получить действительное изображение прямо на светочувствительной пленке, не пользуясь фотоаппаратом. В реальных микроскопах применяются сложные объективы и окуляры, позволяющие получать качественные изображения даже при очень больших увеличениях.

Телескопы предназначены для рассматривания (или фотографирования) весьма удаленных предметов (небесных тел). В телескопе Кеплера (рис. 4.44) объектив – длиннофокусная линза  $O_1$  с

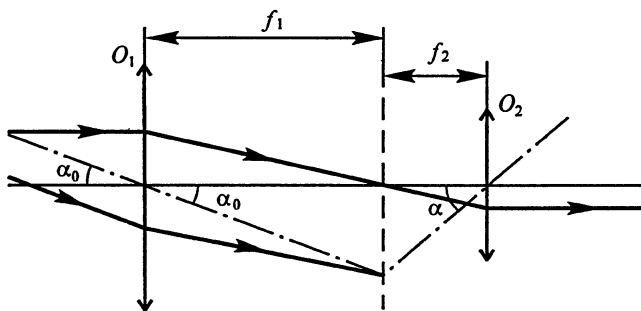


Рис. 4.44

фокусным расстоянием  $f_1$ , окуляр – короткофокусная (фокусное расстояние  $f_2$ ) линза  $O_2$ , причем (для нормального глаза и при фотографировании) задний фокус объектива совмещен с передним фокусом окуляра. Как видно на рис. 4.44, параллельный пучок лучей от звезды, находящейся в направлении оси телескопа, остается параллельным оси, но суживается, причем его площадь

уменьшается в  $\Gamma = \left(\frac{f_1}{f_2}\right)^2$  раз. Если же пучок падает под углом  $\alpha_0$  к

оси телескопа, то глаз рассматривает его под углом  $\alpha$ , причем угловое увеличение составляет

$$W = \frac{\operatorname{tg} \alpha}{\operatorname{tg} \alpha_0} = \frac{f_1}{f_2}.$$

Благодаря этому в телескопе удастся разделить звезды, видимые под очень малыми углами, а также увеличить число видимых звезд за счет увеличения их яркости. Последнее требует пояснения. Дело в том, что при наблюдении невооруженным глазом очень слабые звезды не видны на фоне слабого собственного свечения ночного неба. Казалось бы, что при наблюдении в телескоп, неспособный изменить яркость протяженного объекта, увеличение освещенности изображения звезды будет сопровождаться подобным же увеличением освещенности фона и звезда по-прежнему не будет

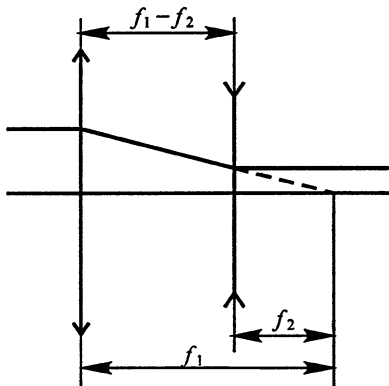


Рис. 4.45

заметна. Но в действительности из-за ничтожных угловых размеров звезды ее изображение уместится на одном светочувствительном окончании глаза (на колбочке); при рассматривании неба в телескоп на эту колбочку поступит большой световой поток, но угол зрения на изображение звезды не изменится (по-прежнему будет возбуждена одна колбочка). Это приведет к увеличению яркости звезды, и она выступит на фоне свечения неба (протяженного объекта), яркость которого не изменилась. Недостатком трубы Кеплера является ее большая длина, равная, очевидно, сумме фокусных расстояний  $f_1 + f_2$ .

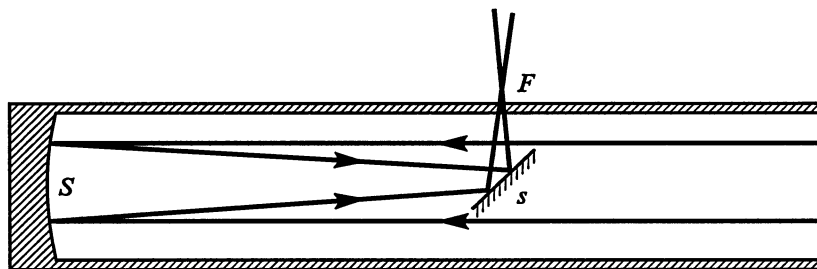


Рис. 4.46

В трубе Галилея (рис. 4.45) окуляр выполнен в виде рассеивающей линзы, причем совмещены задние фокусы объектива и окуляра. Это приводит к уменьшению длины трубы до  $f_1 - f_2$ , оставляя остальные ее характеристики прежними.

Недостатком телескопов, работающих на эффекте преломления (рефракторов), является трудноустраняемая хроматическая аберрация. Этого недостатка нет у телескопов, работающих на эффекте отражения (рефлекторах). Устройство рефлектора Ньютона показано на рис. 4.46. Свет от звезды падает на вогнутое зеркало  $S$  (показан только пучок, идущий параллельно оси прибора), отражается на небольшое вспомогательное зеркало  $s$  и, выходя через отверстие в боковой стенке трубы, собирается в фокусе  $F$  вогнутого зеркала.

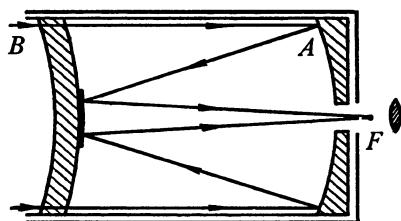


Рис. 4.47

Окуляр, расположенный выше точки  $F$ , на рисунке не показан. Имеются и другие варианты выведения светового пучка из трубы. Объектив должен быть длиннофокусным, поэтому телескоп оказывается длинным.

Для увеличения коэффициента отражения поверхность зеркала

покрывается слоем металла. Так как изготовление зеркал гораздо проще, чем линз, рефлекторы получили большое распространение.

В 40-х годах XX в. Д.Д.Максутов предложил телескоп, состоящий из вогнуто-выпуклой линзы  $B$  и вогнутого зеркала  $A$  (рис. 4.47); сферическая aberrация обеих частей сделана равной, но имеющей противоположные знаки, благодаря чему прибор почти свободен от сферической aberrации. Хроматическая же aberrация, совершенно отсутствующая у зеркала, также весьма мала.

Выходящий из телескопа пучок света попадает в окуляр, расположенный правее точки  $F$ . Так как свет трижды проходит длину телескопа, то размеры трубы сокращаются (по сравнению с обычными приборами).

Для наземных наблюдений фокусировку телескопов следует несколько изменить, отодвигая окуляр от объектива.

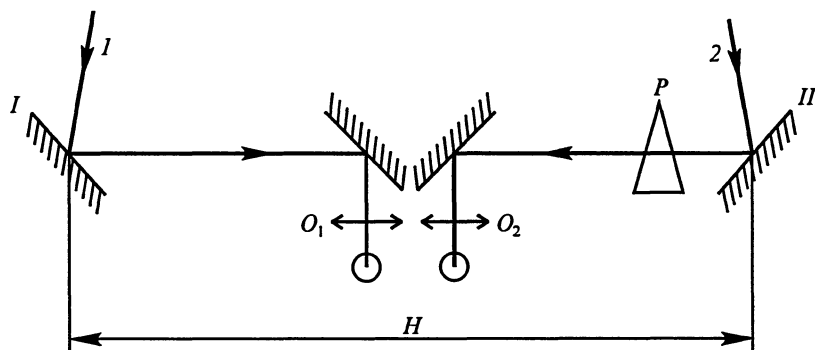


Рис. 4.48

Дальномеры служат для оценки расстояний до удаленных предметов, когда естественная способность глаза оценивать расстояния недостаточна.

Схема стереоскопического дальномера дана на рис. 4.48. От удаленного предмета на зеркала  $I$  и  $II$  дальномера лучи приходят под несколько различными углами. После двукратного отражения и преломления в окулярах  $O_1$  и  $O_2$  они попадают в глаза наблюдателя. В центре поля зрения каждого из окуляров нанесена метка. Оба изображения метки сливаются в одно. При помощи призмы  $P$  можно уравнивать углы падения лучей  $I$  и  $2$ . Тогда изображение предмета кажется расположенным в одной плоскости с изображением метки. По повороту призмы можно судить о скомпенсированном угле и оценить расстояние до предмета. Так как база прибора ( $H$ ) измеряется метрами и даже десятками метров, что в десятки раз превосходит естественную базу (расстояние между ося-

ми глаз составляет всего 60 мм), то во столько же раз возрастают и расстояния, доступные оценке. На похожем принципе основано устройство и дальномеров для одного глаза (здесь для оценки расстояния совмещаются два изображения), применяемых, в частности, в фотоаппаратах.

#### 4.11. РАЗРЕШАЮЩАЯ СПОСОБНОСТЬ ОПТИЧЕСКИХ ПРИБОРОВ

Важным свойством оптических систем является их способность различать как отдельные две близко расположенные точки объекта. Минимальное линейное или угловое расстояние между двумя соседними точками, изображения которых, даваемые оптическим прибором, воспринимаются как отдельные, называется *пределом разрешения*. Обратная величина служит количественной мерой *разрешающей способности* прибора.

Как уже говорилось, оптическая система без aberrаций сохраняет гомоцентричность пучка и, казалось бы, изображением точки должна быть точка. Однако это не так. Дело в том, что в месте пересечения лучей, создающих изображение точечного излучателя, радиус кривизны фронта становится сравнимым с длиной волны света, и, следовательно, в этой области законы геометрической оптики неприменимы.

Для расчета интенсивности в этом случае необходимо использовать законы волновой оптики. Для примера рассмотрим поле в фокусе объективной линзы телескопа, если на нее падает плоская волна от удаленного точечного источника, каким на практике является далекая звезда. Из-за дифракции света на входном отверстии диаметром  $D$  телескопа в фокусе линзы будет создаваться дифракционная картина Фраунгофера в виде центрального яркого пятна с окружающими его чередующимися темными и светлыми кольцами. Первое темное кольцо соответствует значению угла дифракции  $\varphi = 0,61 \frac{\lambda}{D}$ . На центральный максимум дифракционной картины, называемый *пятном Эйри*, приходится 84% светового потока, идущего от источника через телескоп, и этот максимум можно считать изображением звезды.

Для оценки разрешающей способности телескопа Рэлей предложил применять критерий, по которому две точки будут еще различаться, если максимум дифракционной картины от одной точки совпадает с минимумом дифракционной картины от другой (рис. 4.49). При этом интенсивность света в минимуме результирующей дифракционной картины от двух точечных источников

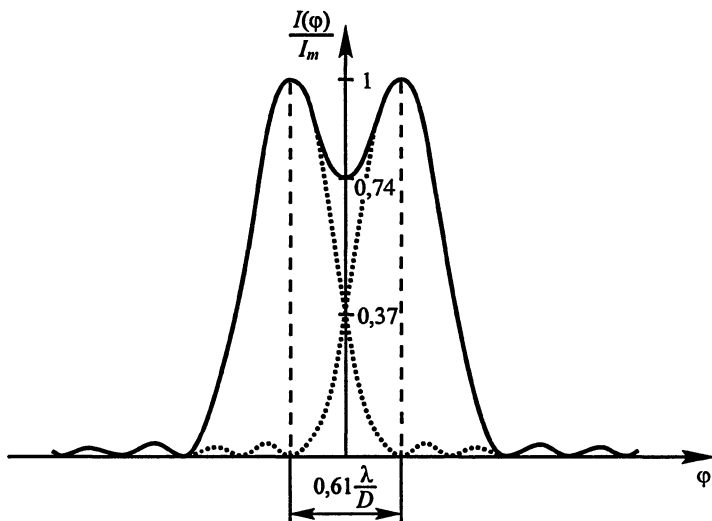


Рис. 4.49

составляет 74% от максимальной и максимумы ее уверенно фиксируются глазом.

Если направления на две звезды образуют угол  $\psi$ , то для их раздельного восприятия, по Рэлю, очевидно, нужно, чтобы центральная часть изображения второй звезды лежала не ближе первого минимума в изображении первой звезды, т.е. звезды будут восприниматься отдельно, если

$$\psi \geq 0,61 \frac{\lambda}{D}.$$

Следовательно, для увеличения разрешающей способности телескопа надо увеличивать диаметр входного отверстия. Увеличение диаметра объектива выгодно и в том отношении, что в создании изображения участвует больший световой поток – здесь требования лучевой и волновой оптики совпадают.

Максимальный диаметр оптического телескопа, установленного в горах Северного Кавказа, равен 6 м. Дальнейшее увеличение диаметра зеркала не дает выигрыша в разрешении, так как сказываются нестабильность атмосферы и неравномерные механические деформации огромного зеркала, которые приводят к ухудшению разрешающей способности. Преодолеть возникшие трудности возможно, разместив оптический телескоп в космосе или применяя принципиально новые методы построения телескопов и



обработки оптической информации. К последним относятся методы *апертурного синтеза и адаптивной оптики*.

При апертурном синтезе оптические сигналы от множества сравнительно небольших зеркал складываются с соответствующими фазовыми сдвигами, компенсирующими временные задержки каждого сигнала. Изготовление малых зеркал технически проще, чем одного большого.

В методе адаптивной оптики большое зеркало телескопа делается составным из многих небольших зеркал, положение каждого из которых можно менять с целью получения наилучшего разрешения.

Разрешающая способность другого широко распространенного оптического прибора – микроскопа ограничена теми же физическими причинами, что и разрешающая способность телескопа, – дифракцией. Для определения разрешающей способности микроскопа воспользуемся рассуждениями, приведенными в § 3.7.

Для получения изображения необходимо, чтобы в объектив микроскопа попали лучи, образующие по меньшей мере первый минимум дифракционного изображения, в противном случае все поле зрения будет засвечено более или менее равномерно. Если считать объект щелью шириной  $h$ , то для направления на первый

минимум имеем  $\sin \alpha = \frac{\lambda}{h}$ . Поэтому наименьший размер доступ-

ного наблюдению объекта есть  $h \geq \frac{\lambda}{\sin \alpha}$ . Здесь единственным

способом увеличения разрешающей способности микроскопа является уменьшение длины волны, чем и объясняется развитие ультрафиолетовой микроскопии, требующей, правда, специальных сортов стекла, прозрачных для ультрафиолетового излучения, и специальных приемников света.

Эта же идея (уменьшение длины волны) использована и в электронных микроскопах.

## Глава 5

# ПОЛЯРИЗАЦИЯ СВЕТА

### 5.1. ПОПЕРЕЧНОСТЬ ЭЛЕКТРОМАГНИТНЫХ ВОЛН

Наблюдения интерференции и дифракции света, отчетливо выявляя его волновые свойства, не позволяют ответить на вопрос, являются ли световые волны продольными или поперечными. Действительно, характерные для этих явлений эффекты наблюдаются для обоих типов волн любой природы. В частности, при одинаковой длине волны (например, длине волны 3 см соответствует акустическая частота 10 кГц и электромагнитная частота  $10^{10}$  Гц) дифракцию можно хорошо наблюдать на одних и тех же объектах. Электромагнитная теория Максвелла предсказывает поперечность световых волн. К группе явлений, доказывающих справедливость предсказания Максвелла, относится поляризация света.

В оптике плоскость, содержащую вектор  $\vec{E}$  и вектор, указывающий направление распространяющейся от передатчика волны (луч), принято называть *плоскостью поляризации*. Плоскость же, содержащую вектор магнитной индукции волн и луч, называют *плоскостью колебаний*. Очевидно, что эти плоскости взаимно перпендикулярны.

На радиочастотах легко обнаружить поперечность излучаемых волн и их *линейную поляризацию*: если волна распространяется свободно, то электрический вектор сохраняет в пространстве неизменное направление; разумеется, то же справедливо и для магнитного вектора, перпендикулярного электрическому.

Если излучение осуществляется прямолинейным проводом, а приемный провод параллелен передающему, то принимаемый сигнал наиболее силен; при вращении приемного провода вокруг прямой, соединяющей его с передающим проводом, сигнал ослабевает и полностью исчезает, когда провода располагаются взаимно перпенди-

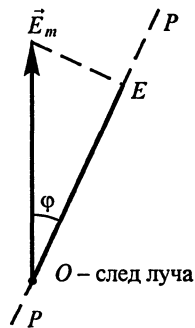


Рис. 5.1

кулярно. Из рис. 5.1 видно, что проекция вектора напряженности  $\vec{E}_m$  (совпадающего с направлением передающего провода) на направление приемного провода  $PP$  составляет

$$E = E_m \cos \varphi.$$

Так как эта проекция определит ток в приемном устройстве, а интенсивность  $I$  сигнала пропорциональна квадрату силы тока, то отсюда получается:

$$I = I_0 \cos^2 \varphi. \quad (5.1)$$

Это соотношение носит название *закона Малюса*. Такой же закон изменения интенсивности проходящей волны получается, если между параллельными излучателем и приемником поместить решетку из параллельных металлических проволок (в плоскости, нормальной вектору скорости волны) и поворачивать ее в собственной плоскости. Не пропущенная решеткой энергия волны отражается от решетки, небольшим поглощением в металле можно пренебречь.

Разумеется, при продольных колебаниях никакой поляризации быть не может, так как все плоскости, в которых лежит луч, равноправны.

Для лучшего понимания оптических опытов, обнаруживающих поперечность световых волн, рассмотрим предварительно несколько опытов с сантиметровыми электромагнитными волнами.

Генератор, излучающий линейно поляризованные волны, снабжен рупором. Вектор электрического поля параллелен узкой стороне рупора, что можно проверить на опыте, принимая волну прямолинейным проводником. Расположим передающий рупор  $1$  так, чтобы колебания вектора  $\vec{E}$  происходили в плоскости рисунка (рис. 5.2). Приемный рупор  $2$  располагаем так, чтобы он мог принимать излучение, отражаемое некоторым препятствием, рас-

положенным в плоскости  $XOZ$ , если вектор  $\vec{E}$  падающей волны лежит в плоскости рисунка. Это препятствие представляет собой набор прямолинейных проволок – полуволновых диполей, укрепленных в тонких диэлектрических стержнях перпендикулярно их осям. Число диполей – 20–30, длина стержней – 15–25 см. Три-четыре таких стержня устанавливаются параллельно друг другу в плоскости  $XOZ$ . Стержни

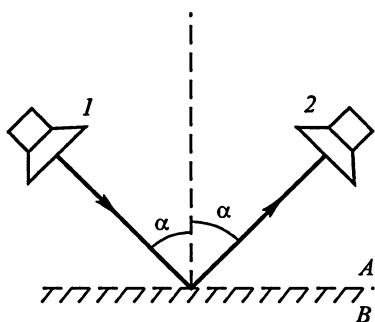


Рис. 5.2

можно поворачивать вокруг их осей, благодаря чему изменяется ориентация диполей относительно вектора  $\vec{E}$  волны, падающей на отражатель. При горизонтальном положении диполей  $A$  при всяком угле падения можно подобрать равный угол отражения  $\alpha$ , и приемник всегда отметит прием, хотя и различной (для разных углов падения) интенсивности.

Но если расположить диполи в направлении, в котором должен идти отраженный луч (положение  $B$ ), то прием прекращается. Причина этого понятна: так как диполи не излучают в направлении своей оси, то когда эта ось совпадает с направлением, определенным законом отражения, отраженный луч образоваться не может.

Если же повернуть оба рупора на  $90^\circ$  вокруг их осей, чтобы вектор  $\vec{E}$  стал перпендикулярен плоскости чертежа (а это есть плоскость падения!), то отражение от диполей (отражатель также должен быть повернут на  $90^\circ$  вокруг оси  $OY$ ) существует всегда (конечно, в направлении отраженного луча, т.е. под углом  $\alpha$ ). И этот результат понятен: теперь ось диполя никогда не совпадает с направлением отраженного луча, а потому отражение всегда существует.

Итак, если электрический вектор падающего луча лежит в плоскости падения, то можно добиться исчезновения отраженного луча. Если же он перпендикулярен этой плоскости, то отражение уничтожить невозможно.

## 5.2. ЯВЛЕНИЕ БРЮСТЕРА. ЕСТЕСТВЕННЫЙ СВЕТ

Если отражать свет обычных источников от плоского диэлектрика, то обычно существуют и отражение, и преломление.

Рассмотрим отражение света последовательно от двух пластин, вырезанных из одного и того же диэлектрика, причем углы падения на обе пластины должны быть одинаковы (рис. 5.3). Плоскости падения луча на обе пластины должны быть взаимно перпендикулярны. В этом случае при некотором угле падения отражение от второй пластины исчезает. Этот эффект называется *явлением Брюстера*. Отражение света есть результат излучения молекулярных

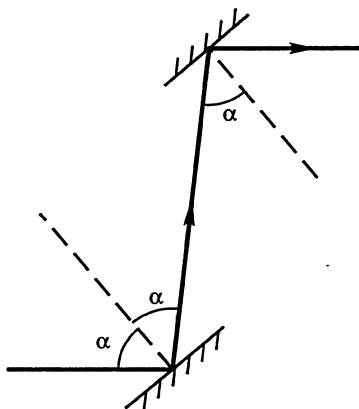


Рис. 5.3

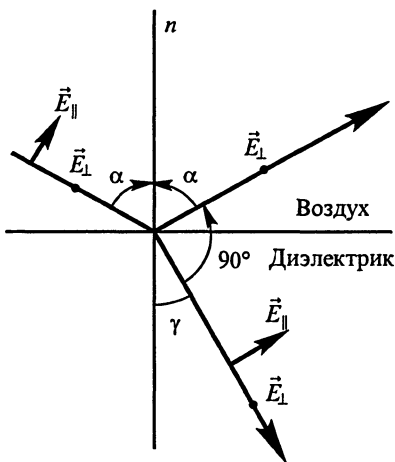


Рис. 5.4

подобран так, что направление отраженного луча должно совпасть с нормалью к преломленному лучу, то отражение составляющей вектора  $\vec{E}$ , лежащей в плоскости падения, будет невозможно. В отраженном от первой пластины свете сохранится лишь составляющая вектора  $\vec{E}$ , нормальная плоскости падения, т.е. отраженный свет станет линейно (плоско) поляризованным. Если теперь он попадет на второй такой же диэлектрик, причем колебания лежат в плоскости падения, то отражение должно исчезнуть, что и наблюдается в действительности. При других положениях плоскости падения отражение существует (для наблюдения второй диэлектрик вращают вокруг луча, не меняя угла падения).

Необходимый для успеха опыта угол, называемый *углом Брюстера*, определяется из условия, что отраженный луч перпендикулярен преломленному. Из рисунка видно, что при этом

$$\alpha + \gamma = 90^\circ, \quad \frac{\sin \alpha}{\sin \gamma} = \operatorname{tg} \alpha = n,$$

и, следовательно, угол Брюстера удовлетворяет условию

$$n = \sqrt{\epsilon} = \operatorname{tg} \alpha, \quad (5.2)$$

где  $n$  – показатель преломления диэлектрика. Уже этого опыта достаточно для доказательства поперечности световых волн. Подчеркнем, что преломленный луч существует всегда. В главе 1 были приведены формулы Френеля, определяющие коэффициен-

диполей диэлектрика, возбужденных световой электромагнитной волной. Допустим, что в падающей волне направление вектора  $\vec{E}$  беспорядочно и быстро меняется (это возможно, так как падающий свет есть совокупность последовательных беспорядочных актов излучения атомов светящегося тела). Тогда и диполи диэлектрика приходят в беспорядочно ориентированные колебания, которые, однако, происходят перпендикулярно преломленному лучу, определяющему поведение молекул диэлектрика (рис. 5.4). Если угол  $\alpha$

ты отражения (по амплитуде) линейно поляризованного света с электрическим вектором, параллельным ( $r_{\parallel}$ ) или перпендикулярным ( $r_{\perp}$ ) плоскости падения:

$$r_{\parallel} = \frac{\operatorname{tg}(\alpha - \gamma)}{\operatorname{tg}(\alpha + \gamma)}, \quad r_{\perp} = -\frac{\sin(\alpha - \gamma)}{\sin(\alpha + \gamma)}, \quad (5.3)$$

где  $\alpha$  – угол падения,  $\gamma$  – угол преломления.

Коэффициенты отражения по энергии  $R_{\perp}$  и  $R_{\parallel}$  равны соответственно  $r_{\perp}^2$  и  $r_{\parallel}^2$ .

Результаты рассмотренного опыта описываются уравнением (5.3) и совпадают с данными опыта, выполненного с сантиметровыми волнами (см. § 5.1). Конечно, явление Брюстера можно наблюдать и при отражении от диэлектрика сантиметровых волн. Но значение угла Брюстера может отличаться от его значения для оптических волн, так как  $\epsilon$  в диэлектрике зависит от частоты (см. гл. 6).

Диэлектрик, позволяющий получить линейно поляризованный свет, называется *поляризатором*. Тот же диэлектрик, использованный для анализа поляризации света, называется *анализатором*.

Опыт показывает, что при  $\alpha = \text{const}$  интенсивность линейно поляризованного света, получаемого при отражении, не зависит от пространственной ориентации плоскости падения. Поэтому приходится допустить, что среднее значение проекций вектора  $\vec{E}$  волны, излучаемой обычными источниками света, на два произвольных взаимно перпендикулярных направления одинаково. Очевидно, оно равно:

$$E_{\text{ср}} = \frac{E_m}{\sqrt{2}}, \quad (5.4)$$

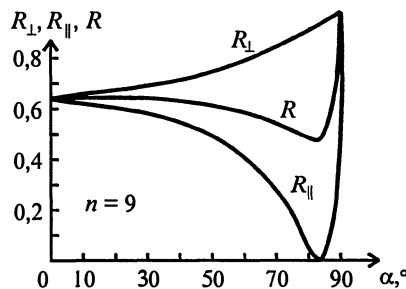
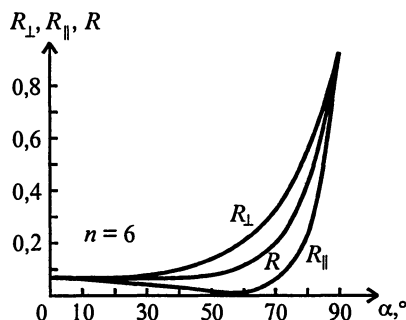
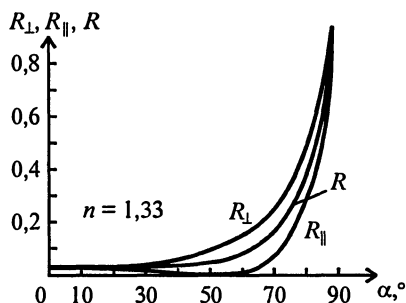


Рис. 5.5

где  $E_m$  – амплитуда вектора  $\vec{E}$ . Тогда интенсивность света для указанных направлений колебаний будет равна:

$$I_{\perp} = I_{\parallel} = \frac{I}{2}, \quad (5.5)$$

где  $I$  – интенсивность падающего света. Это свойство следует рассматривать как определение *полностью неполяризованного (естественного) света*. Для такого света при произвольном угле падения коэффициент отражения по энергии равен:

$$R = \frac{R_{\perp} + R_{\parallel}}{2}.$$

На рис. 5.5 изображены вычисленные (и превосходно подтвержденные опытом) значения коэффициентов отражения  $R_{\perp}$ ,  $R_{\parallel}$  и  $R$  для двух сортов стекол в оптическом диапазоне ( $n = 1,33$  и  $n = 6$ ) и для воды в сантиметровом диапазоне ( $n = 9$ ).

### 5.3. ПОЛЯРИЗАТОРЫ ВИДИМОГО СВЕТА

Опыт, проведенный с сантиметровыми волнами, где была использована решетка, пропускавшая волну в соответствии с законом Малюса, имеет аналогию в оптике. Существуют кристаллы (турмалин и др.), обладающие способностью пропускать волну, имеющую определенное направление колебаний электрического вектора, но сильно поглощать волну с перпендикулярным направлением колебаний. При этом поглощение так велико, что уже при толщине кристалла в несколько миллиметров вторая волна поглощается практически полностью. Тогда из кристалла  $P$  выходит линейно поляризованная волна, и ее очень удобно анализировать таким же кристаллом  $A$ , вращая его в собственной плоскости (рис. 5.6). К сожалению, все подобные «дихроичные» кристаллы прозрачны лишь в какой-либо небольшой части видимого спектра. Подобным же свойством – создавать линейную поляризацию – обладают и прозрачные для видимых лучей тонкие слои некоторых

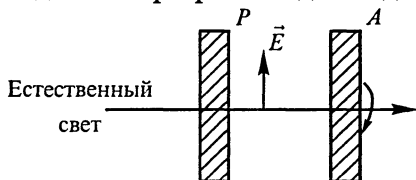


Рис. 5.6

органических веществ (поляриды). Их можно изготавливать искусственно и больших размеров. Последним они выгодно отличаются от естественных кристаллов, всегда относительно небольших. Впрочем, спо-

способность поляризовать свет у поляроидов не столь совершенна, как у кристаллов. Глаз человека не различает степени поляризации света, а потому во всех исследованиях по поляризации необходимо иметь тот или иной анализатор.

Отметим в заключение, что тела, светящиеся отраженным или рассеянным светом, могут создавать частичную поляризацию отражаемого ими естественного света. В общем случае свет, отражаемый диэлектриком, оказывается поляризованным эллиптически (см. ниже). Наконец, современные квантовые генераторы света – лазеры дают плоскополяризованный свет.

Ранее были приведены доказательства поперечности световых волн. Следует указать, что она проверена не только для видимого света, но и для инфракрасных, ультрафиолетовых и рентгеновских излучений.

#### 5.4. ДВОЙНОЕ ЛУЧЕПРЕЛОМЛЕНИЕ

Большой интерес представляет рассмотрение особенностей прохождения света через некоторые кристаллы, называемые *двойнопреломляющими*. Узкий пучок света, проходя через плоскопараллельную пластину такого кристалла, например исландского шпата ( $\text{CaCO}_3$ ), раздваивается (даже при нулевом угле падения); образовавшиеся лучи расходятся в пространстве тем больше, чем длиннее их путь в кристалле (рис. 5.7). Если вращать такой кристалл вокруг падающего луча, то один из лучей остается неподвижным (*обыкновенный луч*), а другой поворачивается вокруг первого (*необыкновенный луч*), хотя угол падения при этом не изменяется; названия «обыкновенный» и «необыкновенный» применимы к лучам, только пока они распространяются в кристалле. На выходе лучи оказываются линейно поляризованными во взаимно перпендикулярных плоскостях, что легко проверить каким-либо анализатором.

Если надлежащим образом сошлифовать грань кристалла, то можно найти в нем такое направление (прямая, соединяющая тупые

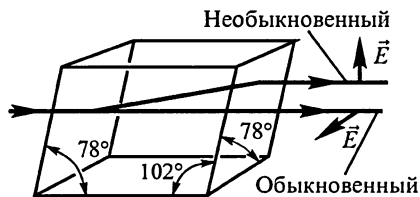


Рис. 5.7

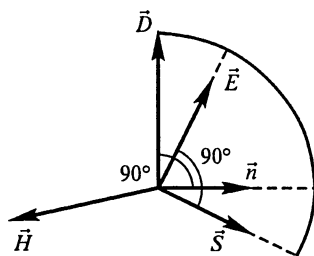


Рис. 5.8



углы кристалла), вдоль которого раздвоение нормально падающего луча отсутствует, – это так называемая *оптическая ось* кристалла. Пространственное раздвоение отсутствует и в направлении, перпендикулярном этой оси. Однако там существует иной эффект, о чем будет сказано далее.

Через точку падения луча на кристалл всегда можно провести оптическую ось; плоскость, содержащая эту ось и падающий луч, называется *главной плоскостью* (главным сечением) для данного луча. При вращении кристалла вокруг луча главная плоскость поворачивается, вместе с ней поворачивается и необыкновенный луч.

Особенности поведения светового луча в кристалле связаны с анизотропией последнего. Значения диэлектрической проницаемости, а следовательно, и скорости распространения света  $v$  (и показателя преломления  $n$ ) также неодинаковы. Для одноосного кристалла существуют три взаимно перпендикулярных направления  $x, y, z$  ( $x$  соответствует оптической оси), для которых справедливы соотношения:

$$n_i = \sqrt{\epsilon_i}, \quad \epsilon_x \neq \epsilon_y = \epsilon_z, \quad D_x = \epsilon_0 \epsilon_x E_x, \quad D_y = \epsilon_0 \epsilon_y E_y, \quad D_z = \epsilon_0 \epsilon_z E_z, \\ \vec{D} = \vec{i}D_x + \vec{j}D_y + \vec{k}D_z, \quad \vec{E} = \vec{i}E_x + \vec{j}E_y + \vec{k}E_z.$$

Таким образом, направления векторов  $\vec{D}$  и  $\vec{E}$  в отличие от изотропной среды уже не совпадают друг с другом (рис. 5.8). Расчет показывает, что при этом вектор  $\vec{D}$  перпендикулярен нормали к волновому фронту  $\vec{n}$ , а вектор  $\vec{E}$  перпендикулярен вектору Умова – Пойнтинга  $\vec{S}$ , определяющему направление потока световой энергии (все эти векторы лежат в общей плоскости и перпендикулярны вектору напряженности магнитного поля  $\vec{H}$ ). Это усложняет рассмотрение условий распространения света, и мы ограничимся лишь простейшими случаями.

Пусть весьма узкий пучок света падает нормально на плоскую грань кристалла, отшлифованного так, что оптическая ось его параллельна поверхности (рис. 5.9).

Плоскость чертежа является главной плоскостью для рассматриваемого луча. Согласно Гюйгенсу вторичный волновой фронт обыкновенного луча изобразится полуокружностью радиусом  $v_o \tau$ , где  $v_o$  – скорость распространения обыкновенного луча,  $\tau$  – время распространения света в кристалле. Волновой фронт необыкновенного луча изобразится полуэллипсом. Если необыкновенный луч распространяется медленно, то полуэллипс будет вписан в полуок-

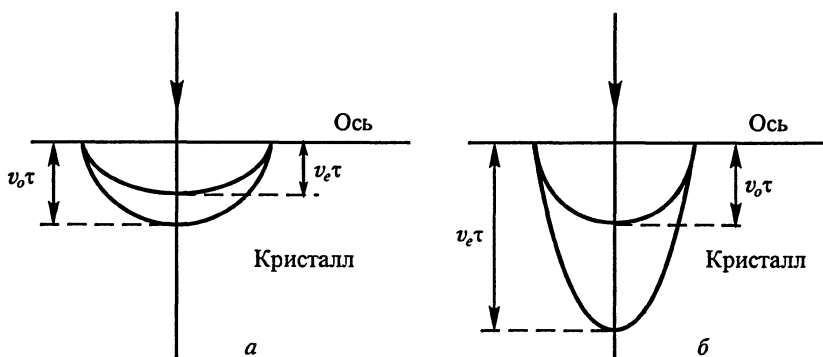


Рис. 5.9

ружность (рис. 5.9, а), имея точки касания с ней по концам диаметра (т.е. на оптической оси). Наименьшую скорость  $v_e$  этот луч имеет в направлении, перпендикулярном оптической оси. В промежуточных направлениях скорость необыкновенного луча меняется непрерывно в пределах  $v_e < v'_e < v_o$ . Такой кристалл, по определению, называется «отрицательным». Если же скорость необыкновенного луча больше, чем обыкновенного («положительный» кристалл), то полуокружность оказывается вписанной в полуэллипс и наибольшее значение скорости  $v_e$  имеет в направлении большой полуоси последнего (рис. 5.9, б).

Различие между  $n_o$  и  $n_e$  довольно значительно. Для исландского шпата  $n_o = 1,66$ ,  $n_e = 1,49$  ( $\lambda = 555$  нм); для кварца  $n_o = 1,544$ ,  $n_e = 1,553$ .

Если вращать чертеж рис. 5.9 вокруг падающего луча, то полуокружность превратится в полусферу, а полуэллипс – в полуэллипсоид вращения. Это соответствует действительным свойствам кристалла.

Рассмотрим некоторые наиболее простые случаи распространения света в кристалле.

а) Если луч а параллелен оптической оси (рис. 5.10), то положение главной плоскости не определено. В частности, плоскость чертежа является главной плоскостью, но такой же является, например, и перпендикулярная ей плоскость. Условия распространения лучей с любой поляризацией одинаковы, и они не раздваиваются.

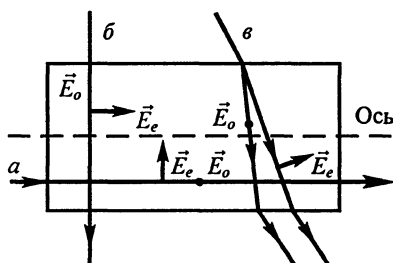


Рис. 5.10

б) Если луч  $b$  идет перпендикулярно оптической оси, то электрический вектор, лежащий в главной плоскости, параллелен оси. Электрический вектор, перпендикулярный оси, лежит при этом в плоскости, нормальной к главной, так что условия распространения для этих составляющих электрического поля световой волны неодинаковы: лучи не раздваиваются, но имеют различную скорость распространения.

в) Если луч  $c$  идет под произвольным углом к оптической оси, то условия распространения указанных выше составляющих также неодинаковы: лучи распространяются по различным направлениям и с различными скоростями.

Однако легко видеть, что луч, имеющий электрический вектор, перпендикулярный оптической оси, во всех этих случаях находится в одинаковых условиях, так что законы его распространения не должны зависеть от направления распространения; это и есть обыкновенный луч ( $\vec{E}_o$ ), подчиняющийся обычным законам преломления.

Второй же, необыкновенный луч ( $\vec{E}_e$ ) во всех трех случаях находится в разных условиях (оптические свойства кристалла не изотропны), а потому и условия его распространения могут усложняться.

Используем теперь три варианта построения Гюйгенса для ограниченного участка плоского волнового фронта, падающего на пластинку толщиной  $h$ , поверхность которой различно ориентирована относительно оптической оси. Пусть  $v_e < v_o$ .

а) Ось кристалла параллельна направлению пучка (рис. 5.11, а). Для решения задачи достаточно построить волновые поверхности для двух крайних лучей светового пучка. Волновые фронты обыкновенного и необыкновенного лучей (см. рис. 5.11, а) распространяются вдоль оси с одной скоростью и одновременно достигают противоположной грани кристалла. При этом никакого раздвоения лучей не происходит, и они покидают кристалл в одной и той же фазе.

б) Если пластина вырезана так, что ось параллельна граням (рис. 5.11, б), то скорости распространения обыкновенной и необыкновенной волн различны, но направления их совпадают. Из кристалла выходят лучи, распространяющиеся в одном направлении, но имеющие разность фаз:

$$\varphi = \frac{2\pi}{T}(t_e - t_o),$$

где  $t_o$  и  $t_e$  – время прохождения кристалла обоими лучами,  $T$  – период волны.

Это выражение можно представить в несколько ином виде:

$$\varphi = \frac{2\pi}{T} \left( \frac{h}{v_e} - \frac{h}{v_o} \right) = \frac{2\pi h}{cT} \left( \frac{c}{v_e} - \frac{c}{v_o} \right) = \frac{2\pi h}{\lambda} (n_e - n_o). \quad (5.6)$$

Глаз не различает разности фаз. Так как полная энергия взаимно перпендикулярных колебаний не зависит от разности их фаз (см. «Механику», § 1.9), а колебания векторов  $\vec{E}_o$  и  $\vec{E}_e$  взаимно перпендикулярны, то никакой интерференционной картины на экране, помещенном за пластиной, не получается. Но специальными методами фазовый сдвиг обнаружить удастся (см. § 5.5).

в) Наконец, если оптическая ось наклонена к грани (рис. 5.11, в), то плоские волновые фронты (огibaющие элементарных сферических и эллипсоидальных фронтов), параллельные грани пластины, придут к нижней грани со сдвигом фаз (во времени). При этом обыкновенные лучи распространяются без преломления. Необыкновенные же лучи – прямые, соединяющие точки  $A$  с точками  $B$ , – оказываются теперь неперпендикулярными фронту необыкновенной волны, т.е. возникает преломление необыкновенных лучей, и необыкновенный пучок смещается в кристалле относительно обыкновенного. На нижней грани необыкновенные лучи еще раз преломляются и выходят из кристалла перпендикулярно нижней грани. Пространственное разделение обыкновенного и необыкновенного пучков, возникшее в кристалле, сохраняется и за его пределами. Кроме того, в плоскостях, параллельных грани, оба пучка во внешнем пространстве имеют и фазовый сдвиг во времени.

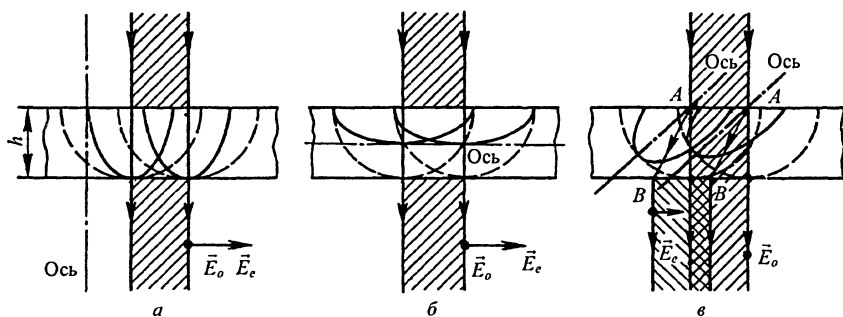


Рис. 5.11

Возможность пространственного разделения двух рассмотренных выше пучков используется в разнообразных кристаллических устройствах для получения линейно поляризованного света. В учебном процессе вместо них применяются более дешевые и имеющие большие размеры поляриды (см. § 5.3).

## 5.5. ИНТЕРФЕРЕНЦИЯ ПОЛЯРИЗОВАННЫХ ЛУЧЕЙ

Мы объяснили все явления, описанные в начале § 5.4. Для проверки заключения об особенностях лучей, идущих перпендикулярно оптической оси, можно воспользоваться следующей установкой (рис. 5.12).

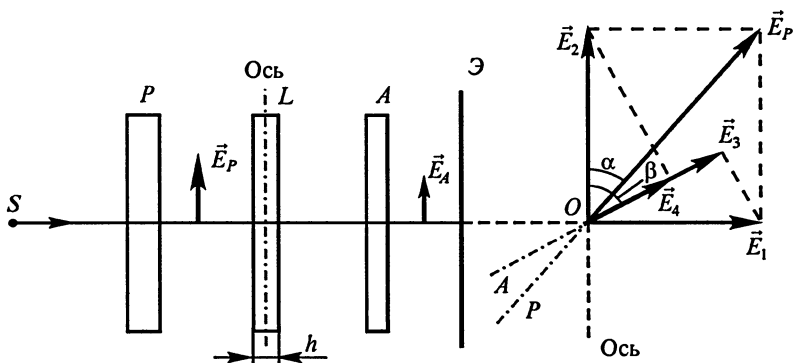


Рис. 5.12

Луч естественного света от источника  $S$  проходит через поляризатор  $P$ , превращающий его в линейно поляризованный (направление вектора  $\vec{E}_P$  в проходящем свете показано и в правой части рисунка, где луч считается нормальным к поверхности чертежа и пересекающим ее в точке  $O$ ). Далее луч проходит плоскопараллельную двоякопреломляющую пластинку  $L$  нормально к ее оптической оси. Пластинка разлагает луч на обыкновенный и необыкновенный с амплитудами колебаний электрических векторов  $\vec{E}_1$  и  $\vec{E}_2$  соответственно. Амплитуды этих лучей зависят от ориентации вектора  $\vec{E}_P$  относительно оси пластинки.

Покидая пластинку  $L$ , лучи имеют разность фаз

$$\varphi = \frac{2\pi}{\lambda} (n_e - n_o) h$$

(она никак не отображается на нашем рисунке), но совпадают по направлению. Далее стоит анализатор  $A$ , пропускающий электрический вектор только определенного направления  $\vec{E}_A$ . Он выделяет из приходящих колебаний колебания, происходящие в направлении  $A$  с амплитудами  $\vec{E}_3$  и  $\vec{E}_4$ . Так как эти колебания сведены в одну плоскость, то они способны интерферировать; поэтому на экране  $\mathcal{E}$  получится освещенность, определяемая результатом интерференции, т. е. пропорциональная величине

$$E^2 = E_3^2 + E_4^2 + 2E_3E_4 \cos \varphi.$$

Но

$$E_3 = E_1 \sin \beta = E_p \sin \alpha \sin \beta, \quad E_4 = E_p \cos \alpha \cos \beta.$$

Поэтому получается:

$$E^2 = E_p^2 \{ \sin^2 \alpha \sin^2 \beta + \cos^2 \alpha \cos^2 \beta + 2 \sin \alpha \cos \alpha \sin \beta \cos \beta \cos \varphi \}. \quad (5.7)$$

Если свет монохроматичен, то освещенность зависит от толщины пластинки, от ориентации ее оси и от углов между направлениями колебаний, пропускаемых поляризатором и анализатором. Поэтому, вращая любую из указанных частей установки относительно луча, мы должны наблюдать изменение освещенности, что и подтверждается опытом. Так как разность хода зависит от длины волны, то при освещении белым светом картина должна оказаться окрашенной. Если толщина пластинки меняется, то интенсивность также должна меняться. Волна, вышедшая из поляризатора  $P$ , характеризуется взаимно перпендикулярными векторами напряженности

$$E_1 = E_p \sin \alpha \cos (\omega t - kx),$$

$$E_2 = E_p \cos \alpha \cos (\omega t - kx - \varphi)$$

(свет распространяется вдоль оси абсцисс). Как известно, в этом случае конец результирующего вектора

$$\vec{E}_p = \vec{E}_1 + \vec{E}_2$$

описывает в пространстве эллипс (см. «Механику», § 1.8, фигуры Лиссажу). Поэтому свет за пластинкой называют *эллиптически поляризованным*.

При вращении анализатора освещенность экрана меняется, но не обращается в нуль (если ни один из векторов  $\vec{E}_1$ ,  $\vec{E}_2$  не был равен нулю).

Некоторые частные случаи, описываемые уравнением (5.7), позволяют провести количественную проверку теории.

Так, при повороте анализатора на  $90^\circ$  угол  $\beta$  заменяется углом  $90^\circ + \beta$ . При этом получается:

$$E_{90}^2 = E_p^2 \{ \sin^2 \alpha \cos^2 \beta + \cos^2 \alpha \sin^2 \beta - 2 \sin \alpha \cos \alpha \sin \beta \cos \beta \cos \varphi \}. \quad (5.8)$$

Сравнивая с (5.7), видим, что  $E^2 = E_p^2 - E_{90}^2$ , т. е. интерференционные картины дополняют друг друга: максимумы интенсивности сменяются минимумами и наоборот.

Если двоякопреломляющая пластинка создает фазовый сдвиг  $\varphi = 90^\circ$ , для чего нужно соблюсти условие

$$h = \frac{\lambda}{4} \frac{1}{n_e - n_o},$$

то при  $\alpha = 45^\circ$  и фиксированной длине волны получается:

$$E^2 = \frac{1}{2} E_p^2,$$

при этом эллиптическая поляризация превращается в круговую. Действительно, амплитуды  $E_3$  и  $E_4$  одинаковы, сдвиг фаз во времени равен  $90^\circ$ . Такая пластинка называется «*четвертьволновой*»,

но ее геометрическая толщина, конечно, больше, чем  $\frac{\lambda}{4}$ , так как  $(n_e - n_o) < 1$ .

Если толщина пластинки такова, что возникает фазовый сдвиг  $\varphi = 180^\circ$  («*полуволновая*» пластинка), то при  $\alpha = 45^\circ$  получается

$$E^2 = \frac{E_p^2}{2} (\sin \beta - \cos \beta)^2.$$

Очевидно, при  $\beta = 45^\circ$  амплитуда  $E_{45} = 0$ , при  $\beta = 135^\circ$  амплитуда  $E_{135} = E_p$ . Следовательно, волна за пластинкой имеет линейную поляризацию, но плоскость поляризации повернута относительно первоначальной на  $90^\circ$ .

Наглядную демонстрацию некоторых поляризационных явлений можно осуществить в сантиметровом диапазоне волн на образцах из древесины (сосна, лиственница). Оказывается, древесина обладает двойным преломлением (при не слишком большом

поглощении, мало сказывающемся в лекционных опытах). Направление волокон древесины является оптической осью. Волна, идущая перпендикулярно оптической оси, разлагается на обыкновенную, электрический вектор которой перпендикулярен волокнам, и необыкновенную с электрическим вектором, параллельным волокнам. Показатель преломления обыкновенного луча равен примерно  $n_o = 1,35$ , необыкновенного  $n_e = 1,5$ .

Для доказательства анизотропии древесины деревянный шар, имеющий горизонтальную оптическую ось, подвешивают между пластинами плоского конденсатора, размер которых больше диаметрального сечения шара. Концы диаметра, совпадающего с оптической осью (наименьшее значение диэлектрической проницаемости), а также перпендикулярного ему горизонтального диаметра (наибольшее значение диэлектрической проницаемости) как-либо помечают. Пластины конденсатора располагают параллельно направлению волокон. При электризации пластин, например при помощи электрофорной машины, шар поворачивается на  $90^\circ$ .

Этот опыт полезно сопроводить опытом с изотропным шаром (из парафина или пластилина), здесь никакого поворота не возникает.

В другом опыте используют вырезанный вдоль волокон деревянный параллелепипед толщиной  $h$  и сечением, достаточным для перекрытия отверстия приемного рупора (из демонстрационного набора для трехсантиметровых электромагнитных волн). Толщину параллелепипеда делают равной  $h = \frac{\lambda}{2(n_o - 1)}$ . Этой пластиной

постепенно перекрывают сечение приемного рупора при горизонтальном направлении волокон. В этом случае в пластине существует только обыкновенная волна, запаздывающая относительно волны, проходящей расстояние  $h$  по воздуху, на половину периода. Минимум принимаемого сигнала получается, когда перекрыта половина сечения рупора. Если же волокна расположить горизонтально, повернув пластину в ее собственной плоскости на  $90^\circ$ , то запаздывание станет больше и минимум сигнала окажется менее отчетливым.

Если провести такие опыты с изотропной (относительно  $n$ ) пластиной, то в обоих случаях результат получается одинаковым. Подобный опыт с пластиной, имеющей  $h \ll \lambda$ , приводит к монотонному ослаблению сигнала (из-за небольшого отражения) во все время перекрытия отверстия рупора. Если же вдоль волокон вырезать пластину толщиной  $h = \frac{\lambda}{4 \Delta n} = 5 \text{ см}$ , то получится чет-



вертьволновая пластина, при прохождении которой линейно поляризованная волна излучателя превращается в волну с круговой поляризацией (при таком расположении пластины необходимо, чтобы направление волокон образовывало угол  $45^\circ$  с вертикалью, а электрический вектор волны был вертикален). Поворачивая приемный рупор вокруг луча, мы будем получать почти одинаковый по интенсивности сигнал. Если же при рупоре, установленном на максимум приема (в отсутствие пластины), поворачивать пластину вокруг луча, то максимумы принимаемого сигнала сменяются минимумами, но до нуля интенсивность не падает ни при каком положении пластины, так как выходящая из пластины волна будет поляризована эллиптически. В двух положениях пластины эллиптическая поляризация перейдет в плоскую.

Наконец, можно вырезать плосковыпуклую линзу (ее ось перпендикулярна направлению волокон). Удобные размеры: радиус кривизны 25 см, диаметр линзы 30 см, толщина на оси 5–6 см. У этой линзы будут два фокусных расстояния (примерно 40 и 50 см), отчетливо проявляющиеся, когда электрический вектор падающей волны параллелен волокнам или перпендикулярен им.

## 5.6. ИСКУССТВЕННОЕ ДВОЙНОЕ ПРЕЛОМЛЕНИЕ

Рассмотренное выше двойное преломление называют *естественным*, так как оно вызвано естественной анизотропией кристаллов. Но анизотропия может создаваться и внешними воздействиями на изотропное вещество.

1. При механической деформации (например, сжатии или растяжении) образца из прозрачного изотропного диэлектрика (например, стекла) он становится анизотропным и может возникнуть двойное преломление. Заменяем в схеме (см. рис. 5.12) пластину  $L$  стеклянной пластинкой или целлофановой пленкой. При скрещенных поляризаторе и анализаторе (направления  $P$  и  $A$  взаимно перпендикулярны) свет не достигнет экрана. При сжатии стекла (или растяжении пленки) возникает анизотропия; свет, выходящий из образца, оказывается эллиптически поляризованным и частично проходит через анализатор – поле зрения освещается. Если деформация неравномерно распределена по толще образца, то неравномерна и освещенность, а при освещении белым светом в поле зрения появляется цветная интерференционная картина, позволяющая судить о распределении деформаций (и следовательно, механических напряжений) в образце. Этот эффект имеет практическое значение: при проектировании деталей сложной

формы на прозрачной модели изучают распределение деформаций, трудно поддающееся прямому расчету. Анизотропия часто может быть обнаружена по поляризационным эффектам. Например, при быстром неравномерном охлаждении нагретых стекол в них возникают остаточные механические напряжения, распределенные неравномерно (появление их при быстром неравномерном нагреве вызывает общеизвестное возникновение трещин в стеклянной посуде); они легко обнаруживаются описанным методом.

2. Если в однородной диэлектрической среде создать электрическое поле, то также возникает двойное преломление (эффект Керра, открытый в 1875 г.), причем направление электрического поля соответствует направлению оптической оси. Поэтому эффект Керра можно наблюдать, заменив в схеме (см. рис. 5.12) пластину  $L$  плоским конденсатором, между пластинами которого проходит световой луч. Удобно использовать кювету с нитробензолом, в который погружен конденсатор. При напряженности поля  $E = 2 \cdot 10^6$  В/м (если расстояние между пластинами  $h = 1$  мм, то требуется напряжение  $U = 2000$  В), длине пластин  $l = 2,5$  см и  $\lambda = 600$  нм (зеленый свет) сдвиг фаз между обыкновенным и необыкновенным лучом

$$\varphi = \frac{2\pi}{\lambda} \Delta n l = 2\pi B l E^2$$

составит около  $20^\circ$ , что доступно наблюдению в лекционном опыте; у нитробензола постоянная Керра

$$B = 2,4 \cdot 10^{-12} \text{ В}^{-2} \cdot \text{м}.$$

У других жидкостей, твердых тел и газов постоянная Керра еще меньше. Так как  $\varphi$  пропорционально  $E^2$ , то эффект Керра существует в переменных электрических полях, причем он практически безынерционен (время установления не превышает  $10^{-13}$  с). В этом его практическая ценность – возможность создания «светового затвора» и модуляции амплитуды светового пучка.

Явление Керра объяснил Ланжевен: в сильном электрическом поле молекулярные диполи ориентируются вдоль поля, что и создает асимметрию в оптических свойствах жидкости. Очевидно, при росте температуры эффект должен ослабляться, что и наблюдается в действительности.

3. Двойное преломление возникает в некоторых веществах, молекулы которых обладают магнитным моментом. Но для его наблюдения требуются весьма значительные магнитные поля, что затрудняет изучение и практическое использование этого эффекта.

## 5.7. ПОВОРОТ ПЛОСКОСТИ ПОЛЯРИЗАЦИИ. ЭФФЕКТ ФАРАДЕЯ

Упомянем еще об одном оптическом эффекте – вращении плоскости поляризации света в некоторых веществах. Поместим между скрещенными поляризатором и анализатором пластину одноосного кристалла (очень удобен кварц, где эффект выражен резко), вырезанную так, чтобы свет шел вдоль оптической оси (двойное преломление в этом случае исключено). Мы заметим, что поле зрения освещается. Если повернуть анализатор на угол

$$\varphi = kh,$$

где  $h$  – длина пути в кристалле,  $k$  – постоянная, характерная для вещества и сильно зависящая от длины волны, то затемнение восстановится. Следовательно, линейно поляризованный луч, вышедший из поляризатора, испытал в кристалле поворот плоскости поляризации, но характер поляризации сохранился – она осталась линейной.

Постоянная  $k$  для желтого света достигает в кварце  $20^\circ/\text{мм}$ , для фиолетового –  $50^\circ/\text{мм}$ . Замечательно, что в природе существуют два типа кварцевых кристаллов, являющихся зеркальным отображением друг друга: одни поворачивают плоскость поляризации вправо (если смотреть навстречу лучу), другие – влево. Еще более замечательно, что поворот плоскости поляризации наблюдается и в аморфных телах, лишенных какой бы то ни было анизотропии, например в растворах сахара и других веществ. Заменяв кварц в предыдущем опыте кюветой с водным раствором сахара, обнаружим поворот плоскости поляризации, происходящий по тому же закону, но здесь угол поворота  $\varphi$  зависит от концентрации  $C$ , причем

$$\varphi = k_0 Ch.$$

Постоянная  $k_0$  приблизительно обратно пропорциональна длине волны и мало зависит от температуры. Последнее свойство позволяет использовать эффект для быстрого определения концентрации сахарного раствора в промышленных условиях (сахариметры).

Искусственный поворот плоскости поляризации может быть получен при помещении некоторых веществ, например стекла, в магнитное поле, вдоль линии индукции которого распространяется линейно поляризованный луч света. Этот эффект был открыт Фарадеем в 1846 г., когда он искал «связь между светом и электричеством». Оказалось, что угол поворота пропорционален длине

пути света в веществе и индукции магнитного поля. Для стекла постоянная вращения (в поле единичной индукции на пути в 1 см) равна  $500 \text{ см}^{-1} \cdot \text{Тл}^{-1}$  (для желтого света). Фарадеевский поворот плоскости поляризации нашел широкое практическое применение в радиотехнике сантиметрового диапазона, где поворот плоскости поляризации происходит в намагниченном феррите.

Еще Френель дал формальную теорию этого явления, ее суть такова. Прежде всего учтем, что линейно поляризованную волну можно рассматривать как сумму двух волн с круговой поляризацией. Действительно, пусть дана бегущая волна с линейной поляризацией:

$$E_x = E_m \cos(\omega t - kz).$$

В веществе ее можно представить как сумму волн:

$$E' \begin{cases} E'_x = \frac{E_m}{2} \cos(\omega t - k_1 z), \\ E'_y = \frac{E_m}{2} \sin(\omega t - k_1 z), \end{cases} \quad E'' \begin{cases} E''_x = \frac{E_m}{2} \cos(\omega t - k_2 z), \\ E''_y = -\frac{E_m}{2} \sin(\omega t - k_2 z). \end{cases}$$

Одна из них (первая) представляет волну с круговой поляризацией, где вектор напряженности вращается вправо, другая – волну с левой круговой поляризацией. Скорости распространения обеих волн несколько отличны друг от друга.

Допустим, что  $n_1 < n_2$ ,  $k - \alpha = k_1 < k_2 = k + \alpha$ . При входе в вещество ( $z = 0$ ,  $t = 0$ ) электрические векторы обеих волн направлены по оси  $X$ . После прохождения слоя толщиной  $z$  плоскость колебаний поворачивается на угол  $\beta$ . Поэтому

$$\begin{aligned} E &= E_m \cos(\omega t - kz) \cos \beta = \\ &= \frac{E_m}{2} \{ \cos[(\omega t - kz) + \alpha z] + \cos[(\omega t - kz) - \alpha z] \} = \\ &= E_m \cos \alpha z \cos(\omega t - kz). \end{aligned} \quad (5.9)$$

Следовательно,

$$\beta = \alpha z,$$

что соответствует действительности.

Физический смысл этой формальной теории связан с существованием сложных молекул, встречающихся в двух видах кристаллов, являющихся зеркальным отображением друг друга. Наглядно можно представить себе модель такой молекулы в виде отрезка

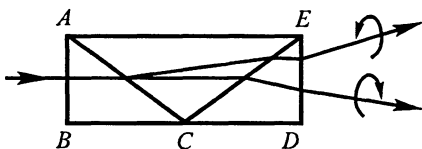


Рис. 5.13

спирали, намотанной правым (или соответственно левым) винтом. Прямой опыт с волнами сантиметрового диапазона показал, что металлические спирали поворачивают плоскость поляризации в разные стороны

(в зависимости от знака намотки спирали) и угол поворота пропорционален длине спирали. При наличии в веществе молекул обоих типов они и создадут суммарный эффект поворота плоскости поляризации. Теоретический расчет этого эффекта слишком сложен, чтобы его здесь приводить.

Рассуждения Френеля казались его современникам очень формальными. Для доказательства физической содержательности своей гипотезы он поставил замечательный опыт. Был изготовлен прямоугольный параллелепипед, состоявший из трех призм (рис. 5.13). Призма  $ACE$  была сделана из левовращающего кварца, две другие из правовращающего. Оптические оси всех призм были параллельны ребру  $BD$ . Линейно поляризованный луч падал по нормали к грани  $B$  и проходил левую призму без отклонения, превращаясь в два луча с круговой поляризацией. На грани  $AB$  он раздваивался (так как  $n_{\text{пр}} < n_{\text{л}}$ ), на грани  $CE$  лучи еще раз преломлялись, при этом расхождение лучей увеличивалось.

Наконец, на грани  $DE$  расхождение еще возрастало; в опытах Френеля за гранью оно составляло  $4'$ . Анализ вышедших лучей показывал, что оба луча имеют круговую поляризацию: нижний – левую, верхний – правую.

## 5.8. ЭФФЕКТЫ ЗЕЕМАНА И ШТАРКА

Наряду с поворотом плоскости поляризации поляризованного света внешнее магнитное поле вызывает еще очень важный эффект, открытый в конце XIX в. Зеemanом и носящий его имя. Именно при помещении излучающего вещества во внешнее магнитное поле наблюдается расщепление спектральных линий. В простейшем классическом случае происходит следующее: при наблюдении вдоль линий индукции магнитного поля (пусть она направлена по оси  $Z$ , рис. 5.14, *a*) видны две спектральные линии, соответствующие лучам света, поляризованным по кругу в противоположных направлениях, и имеющие частоты  $\omega_0 \pm \Delta\omega$  ( $\omega_0$  – частота в отсутствие поля) (рис. 5.14, *б*). При наблюдении перпендикулярно индукции поля видны три линии, соответствующие ли-

нейно поляризованному свету (рис. 5.14, в). Один из лучей, соответствующий частоте  $\omega_0$ , имеет электрический вектор, колеблющийся в направлении  $Z$ ; два других, соответствующие частотам  $\omega_0 \pm \Delta\omega$ , имеют электрические векторы, колеблющиеся перпендикулярно оси  $Z$  и направлению наблюдения (оси  $X$ ). При этом изменение частоты

$$\Delta\omega = \frac{e}{2m} B,$$

где  $e$  и  $m$  – соответственно заряд и масса электрона,  $B$  – индукция внешнего поля. Изменения частоты не очень велики. Так, при  $B = 0,5$  Тл (довольно сильное поле) получается  $\Delta\omega = 4 \cdot 10^{10} \text{ с}^{-1}$ , что для видимого света (частота  $\omega_0 \approx 4 \cdot 10^{15} \text{ с}^{-1}$ ) дает относительное изменение частоты:

$$\frac{\Delta\omega}{\omega_0} = 10^{-5},$$

т. е. очень незначительную величину.

Описанный простейший эффект Зеемана был теоретически объяснен Лоренцем – создателем классической электронной теории. Согласно этой теории электроны в атоме совершают гармонические колебания частотой  $\omega_0$ , поляризованные во всевозможных направлениях, и излучают при этом электромагнитные волны той же частоты. Сложное движение электрона можно рассматривать как сумму колебательного движения вдоль оси  $Z$  и кругового движения в плоскости  $XOY$ . Последнее может (с равной вероятностью) происходить как по часовой стрелке, так и против нее.

Приводимый ниже расчет относится к установившемуся состоянию ( $\vec{B} = \text{const}$ ).

До включения магнитного поля электрон обращается по орбите радиусом  $R$  под действием кулоновской силы  $\vec{f}_e$ , создан-

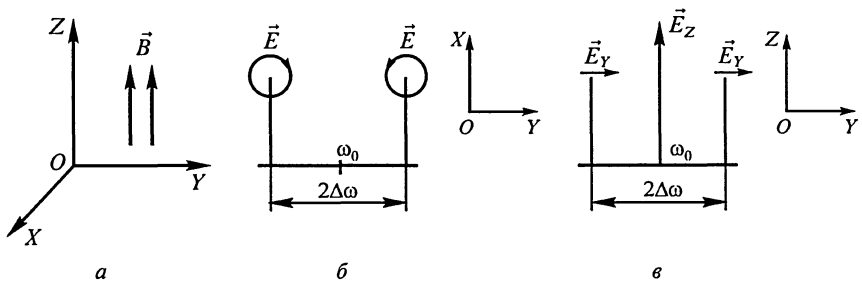


Рис. 5.14

ной ядром и определяющей центростремительное ускорение, при этом

$$m\omega_0^2 R = f_e.$$

После включения магнитного поля действует еще сила Лоренца  $\vec{f}_L$ :

$$f_L = e\omega BR$$

(электрон движется в плоскости  $XOY$ ).

Поэтому

$$f_e + f_L = m\omega_0^2 R \pm e\omega BR = m\omega^2 R.$$

Отсюда получается:

$$\omega^2 - \omega_0^2 = \pm \frac{e}{m} \omega B. \quad (5.10)$$

Как показывает опыт, изменение частоты относительно мало, поэтому можно принять

$$\omega^2 - \omega_0^2 = \pm 2\omega\Delta\omega.$$

Тогда изменение частоты

$$\Delta\omega = \pm \frac{e}{2m} B,$$

что согласуется с опытом. Излучение, соответствующее этому движению электрона, будет наблюдаться вдоль оси  $Z$  как поляризованное по кругу в двух взаимно противоположных направлениях. Излучение, обусловленное колебаниями электрона вдоль оси  $Z$ , при наблюдении вдоль этой оси отсутствует (диполь не излучает вдоль оси!).

При наблюдении вдоль оси  $Y$  (или  $X$ ) вместо линий, соответствующих излучению с круговой поляризацией, будут видны линии излучения, имеющего колебания в направлении оси  $X$  (или  $Y$ ) частотами  $\omega_0 \pm \Delta\omega$ , а также излучения с неизменной частотой  $\omega_0$ , имеющего колебания вдоль оси  $Z$ .

Если первоначальная спектральная линия имеет более сложную структуру, то эффект Зеемана усложняется и может быть объяснен только с помощью квантовой механики.

Если излучающие атомы находятся во внешнем электрическом поле, то также наблюдается расщепление спектральных линий, впервые обнаруженное Штарком в 1913 г. Эффект Штарка требует сильных электрических полей, его сложные закономерности объясняются только квантовой механикой.

## Глава 6

# ДИСПЕРСИЯ И РАССЕЯНИЕ СВЕТА

### 6.1. КЛАССИЧЕСКАЯ ТЕОРИЯ ДИСПЕРСИИ

Особенности преломления света на границе раздела двух сред свидетельствуют о том, что скорость света при переходе из одной среды в другую изменяется, причем неодинаково для различных частот. Зависимость скорости света от частоты световых колебаний называют *дисперсией*. Кроме дисперсии, любая среда (за исключением вакуума) обладает тем или иным поглощением.

В межзвездном пространстве средняя плотность вещества не превышает  $10^4$  частиц/м<sup>3</sup>; в пространстве между галактиками – их среднее удаление друг от друга измеряется сотнями световых лет – плотность еще на порядок меньше (напомним, что световой год – расстояние, проходимое светом за год, – равен  $9,5 \cdot 10^{15}$  м). Но даже при столь малой плотности межзвездная среда обладает дисперсией. Строгое объяснение дисперсии, как и всех взаимодействий света с веществом, возможно только в рамках квантовой механики. Однако оказалось, что простейший случай – дисперсия в газах при небольших давлениях, когда можно пренебречь взаимодействием молекул друг с другом, – достаточно хорошо описывается при помощи классической модели – упруго связанного атомного электрона, совершающего вынужденные гармонические колебания под действием электрического поля монохроматической электромагнитной волны.

Вторичные волны, излучаемые электронами, отличаются по фазе от проходящей волны (см. с. 193), и это изменяет скорость распространения волнового фронта (фазовую скорость). Так как вполне возможно, что вторичное излучение электронов лишь частично возмещает потерю энергии волны, поглощенной электронами, то при этом процессе переизлучения получается и некоторое поглощение.

Явление дисперсии в стекле было впервые детально исследовано Ньютоном, предложившим замечательный способ получения зависимости показателя преломления от частоты:

$$n = f(\omega).$$



На рис. 6.1 воспроизведен подлинный чертеж Ньютона. Лучи от Солнца  $S$  проходят через малое круглое отверстие  $F$  в непрозрачном ставне окна  $EG$  и дают на белой стене изображение Солнца  $Y$ . Если на их пути поставить призму  $ABC$ , имеющую преломляющее ребро, перпендикулярное чертежу, то она даст вертикальный спектр  $PT$ , верхний конец которого  $QK$  соответствует синему, нижний конец  $VN$  – красному свету. Если же заставить лучи пройти еще через призму с вертикальным преломляющим ребром  $DH$ , то она растянет спектр по горизонтали, причем получится кривая цветная полоса  $pt$ ; верхний конец ее синий ( $qk$ ), нижний – красный ( $vn$ ).

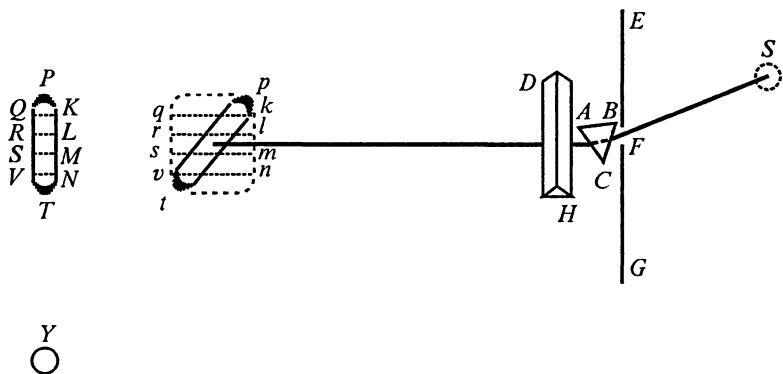


Рис. 6.1

Метод сохранил практическое значение до нашего времени.

Так как подобная зависимость  $\left(\frac{dn}{d\omega} > 0\right)$  наблюдалась и во многих других средах, то ее назвали *нормальной дисперсией*.

Для демонстрации поглощения получают сплошной спектр (от раскаленных твердых тел) и на пути лучей к экрану помещают плоскопараллельную пластину из исследуемого вещества (либо кювету с изучаемым раствором, или сосуд с газом). В тех участках спектра, где происходит поглощение, освещенность уменьшается и по контрасту глаз видит темные линии.

Во второй половине XIX в. была обнаружена *аномальная дисперсия* – в ряде веществ в области фиолетовых и ультрафиолетовых лучей показатель преломления уменьшался с ростом частоты. Так как при этом возникает очень сильное поглощение, то демонстрация этого явления в аудитории весьма затруднительна.

Количественный расчет дисперсии удобно вести комплексным методом. Итак, пусть в диэлектрик проникает волна с напряженностью

$$\dot{E} = \dot{E}_m \exp(i\omega t).$$

Уравнение движения упруго связанного электрона [см. «Механику», уравнение (7.36)] таково:

$$\frac{d^2 \dot{x}}{dt^2} + 2\alpha \frac{d\dot{x}}{dt} + \omega_0^2 \dot{x} = \frac{e}{m} \dot{E}. \quad (6.1)$$

Здесь  $\omega_0$  – частота свободных колебаний электрона,  $\alpha$  – коэффициент затухания собственных его колебаний. Значения  $\omega_0$  и  $\alpha$  не могут быть вычислены классической физикой и вводятся чисто формально.

Решение уравнения (6.1) ищем в виде

$$\dot{x} = \dot{x}_0 \exp(i\omega t),$$

где  $\dot{x}_0$  – комплексная амплитуда. Подставляя  $\dot{x}$  в (6.1), получаем:

$$\dot{x}_0 = \frac{e}{m} \dot{E}_m \frac{1}{(\omega_0^2 - \omega^2) + 2i\alpha\omega}.$$

При этом диэлектрик поляризуется. Поляризация

$$\dot{P} = e\dot{x}N,$$

где  $N$  – концентрация электронов. Поэтому смещение

$$\dot{D} = \epsilon_0 \dot{E} + \dot{P} = \dot{\epsilon} \epsilon_0 \dot{E}.$$

Следовательно, диэлектрическая проницаемость равна:

$$\dot{\epsilon} = 1 + \frac{\dot{P}}{\epsilon_0 \dot{E}} = 1 + \frac{Ne^2}{m\epsilon_0} \frac{1}{(\omega_0^2 - \omega^2) + 2i\alpha\omega}. \quad (6.2)$$

Разделим действительную и мнимую части выражения (6.2):

$$\dot{\epsilon} = \epsilon_1 - i\epsilon_2 = 1 + \frac{Ne^2}{m\epsilon_0} \left[ \frac{\omega_0^2 - \omega^2}{(\omega_0^2 - \omega^2)^2 + 4\alpha^2\omega^2} - i \frac{2\alpha\omega}{(\omega_0^2 - \omega^2)^2 + 4\alpha^2\omega^2} \right]. \quad (6.3)$$

В этом уравнении и содержится вся элементарная классическая электронная теория дисперсии.

Комплексность  $\dot{\epsilon}$  означает, что в веществе происходят два процесса: изменяется скорость распространения волны и возника-

ет ее поглощение. Поэтому если плоская волна распространяется в направлении оси  $Z$ , то она будет описываться формулой

$$E = E_m \exp(-kz) \cos\left(\omega t - \frac{2\pi}{\lambda_0} nz\right), \quad (6.4)$$

где  $n$  – показатель преломления,  $k$  – коэффициент поглощения.

Перейдем к анализу уравнения (6.3). При очень низких частотах ( $\omega \ll \omega_0$ ) и небольших затуханиях ( $\alpha$  мало) получается:

$$\varepsilon_1 = 1 + \frac{Ne^2}{m\omega_0^2 \varepsilon_0} = n^2 = \text{const}, \quad \varepsilon_2 = 0,$$

т.е. показатель преломления при очень низких частотах практически постоянен (статическое значение), а затем медленно увеличивается. Поглощение (кривая  $nk$ ) при этом незаметно (левая часть рис. 6.2).

Вблизи резонанса ( $\omega = \omega_0$ ) частотный ход обоих коэффициентов усложняется (см. рис. 6.2), поглощение становится значительным. При росте частоты показатель преломления сначала растет (нормальная дисперсия), проходит через максимум и резко падает (аномальная дисперсия). В области аномальной дисперсии поглощение велико.

При очень высоких частотах ( $\omega \gg \omega_0$ )

$$\varepsilon_1 = 1 - \frac{Ne^2}{m\omega^2 \varepsilon_0} = n^2 < 1, \quad \varepsilon_2 = 0,$$

т.е. показатель преломления, меньший единицы, растет с частотой, поглощение снова ничтожно мало.

Если вещество содержит ионы, то изложенные соображения пригодны и для них. Но так как массы ионов в десятки тысяч раз больше, чем масса электрона, то их собственные частоты в сотни раз меньше, а потому сложный ход показателя преломления и поглощения наблюдается в инфракрасной части спектра.

Если в среде имеются свободные электроны (плазма, см. «Электродинамику», § 3.3), не имеющие собственной частоты, то в уравнении (6.2) нужно принять  $\omega_0 = 0$ . Тогда получается:

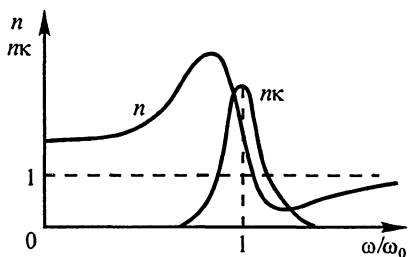


Рис. 6.2

$$\dot{\epsilon} = 1 - \frac{\omega_p^2}{\omega^2 - i \cdot 2\alpha\omega}$$

Величина

$$\omega_p = \sqrt{\frac{Ne^2}{m\epsilon_0}}$$

называется *плазменной частотой*. Пренебрегая затуханием, что допустимо при высоких частотах, получаем:

$$\epsilon = n^2 = 1 - \left(\frac{\omega_p}{\omega}\right)^2$$

При  $\omega < \omega_p$  показатель преломления становится чисто мнимой величиной. Это означает сильное поглощение. Поэтому длинные волны не распространяются в ионизированной среде, а отражаются от нее.

В атмосфере, на высотах, превышающих 50 км, имеются сильно ионизированные слои (ионосфера), где концентрация электронов достигает значений  $10^{12} - 10^{14}$  частиц/м<sup>3</sup>. Поэтому волны с частотами  $\omega < \omega_p = 10^8 \text{ с}^{-1}$  отражаются от ионосферы, не проникая вглубь. Такие волны применяются при радиосвязи. Они распространяются в огромном сферическом слое, между поверхностью Земли и нижней границей ионосферы. Волны более высоких частот, для которых существуют антенны направленного действия, зеркально отражаются от ионосферы к поверхности Земли. Если подобные волны распространяются в космосе, то они, отражаясь от верхних слоев ионосферы, не могут достичь Земли.

Волны еще более высоких частот  $\omega \gg \omega_p$  пронизывают ионосферу, испытывая некоторое поглощение. Они пригодны для космической связи (со спутниками). Они же приходят к нам из космоса.

Наконец, если в веществе имеются полярные молекулы, то приходящая электромагнитная волна приводит их в колебания, определяющие поляризацию вещества и его диэлектрическую проницаемость  $\epsilon$ . Примером служит вода, имеющая статическую диэлектрическую проницаемость  $\epsilon = 81$ . Так как за быстрыми изменениями поля массивные молекулы следовать не успевают, то дисперсия наступает при относительно малых частотах ( $\omega \approx 10^{12} \text{ с}^{-1}$ ), что соответствует миллиметровым волнам. Значение  $\epsilon$  для оптических частот, равное примерно 2,2, получается за счет упруго связанных электронов.

У льда статическая диэлектрическая проницаемость  $\epsilon \approx 60$ . Область дисперсии охватывает частоты от 600 до 60 000  $\text{с}^{-1}$ . Это лег-

ко продемонстрировать, соединив последовательно два конденсатора – конденсатор постоянной емкости  $C_0$  и «ледяной» конденсатор, имеющий при малых частотах емкость  $C_{л} = 3C_0$ . Подключив конденсаторы к генератору низкой частоты (типа ЗГ-112), при помощи осциллографа сравнивают напряжения на конденсаторах. При низкой частоте получается

$$\frac{u_{л}}{u_0} = 0,3;$$

при увеличении частоты это отношение возрастает в десятки раз, что свидетельствует о резком уменьшении  $\epsilon$  льда во втором случае.

Вернемся к формуле (6.3). При  $\omega \gg \omega_0$ , т.е. для рентгеновского излучения, получим:

$$\epsilon_1 = 1 - \frac{Ne^2}{m\epsilon_0\omega^2} = n^2 < 1, \quad \epsilon_2 = 0.$$

Значения  $n < 1$  наблюдались при преломлении рентгеновских лучей. Отличие значения  $n$  от единицы очень мало (порядка  $10^{-6}$ ), но было измерено вполне надежно.

Так как уравнение плоской бегущей волны в поглощающей среде (6.4) содержит показательный множитель, а интенсивность волны пропорциональна квадрату амплитуды, то закон поглощения имеет вид:

$$I = I_0 \exp(-2kz),$$

где  $I_0$  – интенсивность в плоскости  $z = 0$ .

При поглощении света в сильно разбавленных растворах выполняется условие

$$k = AC,$$

где  $C$  – концентрация, величина  $A$  меняется с длиной волны, но от концентрации не зависит.

До сих пор при объяснении дисперсии мы рассматривали простейший случай одинаковых вынужденных колебаний электронов в атомах (или ионов). Если в веществе имеются частицы с различными характерными собственными частотами  $\omega_0$  и движение их описывается различными коэффициентами затухания  $\alpha$ , то в выражении (6.3) появится сумма членов, отвечающих разным частотам; ход показателей преломления и поглощения соответственно усложнится.

В диэлектриках обычно наблюдаются линии поглощения, обусловленные упруго связанными электронами, лежащие в видимой области спектра. При более низких частотах появляются линии (инфракрасные), обусловленные колебаниями ионов, обладающих

в твердых телах определенными положениями равновесия. В области сантиметровых и еще более длинных волн диэлектрики обычно обладают малым поглощением.

В металлах существуют электроны проводимости, не имеющие упругих связей и способные совершать нерезонансные вынужденные колебания. Поэтому металл обладает поглощением при любых частотах. Но это поглощение сравнительно невелико, так как при большой концентрации свободных электронов коэффициент отражения у металла значителен – до 95% (характерный металлический блеск).

Конечно, классическая электронная теория дисперсии является лишь первым приближением. Тем не менее она дает удовлетворительные результаты.

## 6.2. ФАЗОВАЯ И ГРУППОВАЯ СКОРОСТИ СВЕТА

Так как показатель преломления и, следовательно, скорость света зависят от частоты, а любой свет не строго монохроматичен, то возникает вопрос, что же следует понимать под скоростью распространения светового сигнала, измеряемой на опыте.

Все приемники света реагируют на энергию, поэтому во всех опытах измеряется скорость переноса энергии световым сигналом; ее называют *групповой скоростью*  $u$ . Она отличается от скорости распространения фазы (*фазовой скорости*)  $v_\phi$ , являющейся расчетной величиной и определяемой действительной частью показателя преломления. Вдали от области дисперсии обе скорости практически совпадают.

Чтобы уточнить введенные понятия, рассмотрим две волны, имеющие равные амплитуды и относительно близкие частоты:

$$E_1 = E_m \cos(\omega t - kx), \quad E_2 = E_m \cos[(\omega + d\omega)t - (k + dk)x].$$

Складывая, получим:

$$E = E_1 + E_2 = 2E_m \cos\left[\frac{td\omega}{2} - \frac{xdk}{2}\right] \cos(\omega t - kx). \quad (6.5)$$

Вообразим наблюдателя, движущегося вместе с волной и видящего ее в одной и той же фазе. Для этого наблюдателя выполняется условие

$$\omega t - kx = \text{const},$$

и скорость его движения, называемая фазовой скоростью волны, есть

$$v_{\phi} = \frac{dx}{dt} = \frac{\omega}{k}.$$

Пусть теперь другой наблюдатель будет двигаться вместе с максимумом амплитуды «группы волн» (т.е. максимумом энергии), для него соблюдается условие

$$td\omega - xdk = 0,$$

и скорость движения (групповая скорость) есть

$$u = \frac{dx}{dt} = \frac{d\omega}{dk} = \frac{d(kv_{\phi})}{dk} = v_{\phi} + k \frac{dv_{\phi}}{dk}. \quad (6.7)$$

Замечая, что между производной по волновому числу  $k$  и производной по длине волны (в среде) существует соотношение

$$\frac{d}{dk} = \frac{d}{d\lambda} \frac{d\lambda}{dk} = -\frac{\lambda^2}{2\pi} \frac{d}{d\lambda},$$

получаем связь между групповой и фазовой скоростью:

$$u = \frac{d\omega}{dk} = v_{\phi} + k \frac{dv_{\phi}}{dk} = v_{\phi} - \lambda \frac{dv_{\phi}}{d\lambda}. \quad (6.8)$$

Полученное выражение называется формулой Рэлея по имени Д. У. Рэлея, впервые установившего связь между фазовой и групповой скоростями.

Таким образом, групповая скорость может совпадать с фазовой (в отсутствие дисперсии); она бывает меньше фазовой (при нормальной дисперсии) или больше ее (в области аномальной дисперсии). Однако можно показать, что в соответствии с теорией относительности групповая скорость никогда не превышает скорости света в вакууме:

$$u < c.$$

На рис. 6.3, *a, б* показана сумма двух гармонических бегущих волн равной амплитуды в моменты  $t = 0$  и  $t = 1$  с. Они отличаются по частоте на 3,5%, по фазовой скорости на 7% (сильная дисперсия). При этом групповая скорость составляет всего 0,4 фазовой скорости. Бросается в глаза негармоничность суммарного процесса.

Заметим в заключение, что при сильной дисперсии понятия групповой и фазовой скорости недостаточны для правильного описания распространения волны. Но мы не будем заниматься дальнейшими уточнениями.

$$E = \cos(30t - 1,7x) \cos(1700t - 42,5x)$$

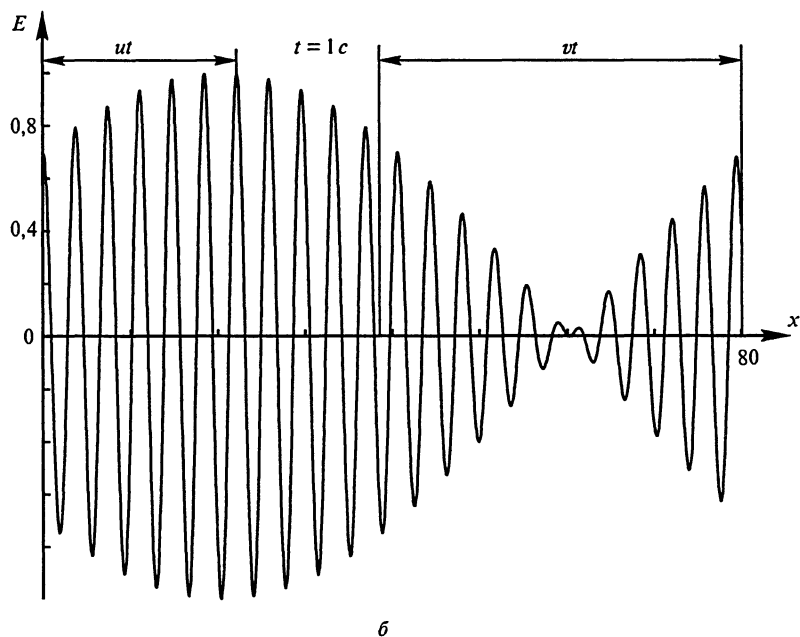
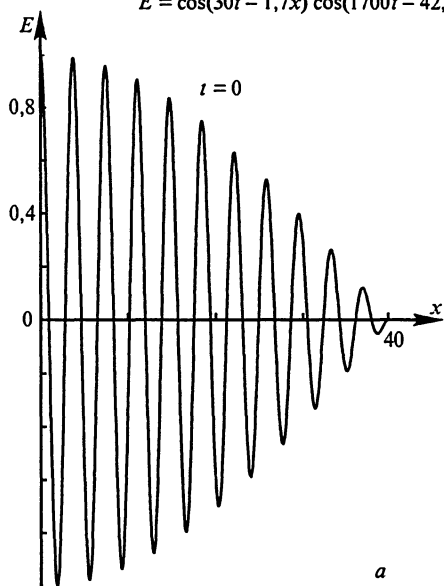


Рис. 6.3



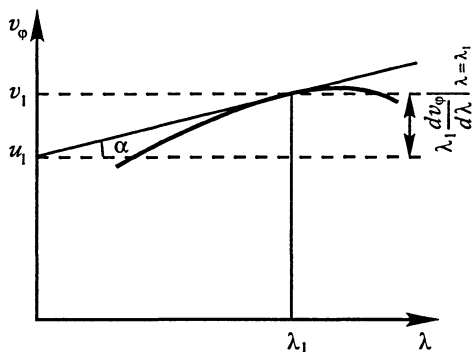


Рис. 6.4

$$u_1 = v_1 - \lambda_1 \left. \frac{dv_\phi}{d\lambda} \right|_{\lambda=\lambda_1} \quad [\text{см. уравнение (6.8)}].$$

П. Эренфест предложил изящный способ нахождения групповой скорости. Зная ход показателя преломления  $n = f(\lambda)$ , можно построить кривую  $v_\phi = f(\lambda)$  (рис. 6.4). Проведя касательную к кривой в точке с координатой  $\lambda_1$ , определяем отрезок, отсекаемый касательной на оси ординат, равный значению групповой скорости вблизи длины волны  $\lambda_1$ :

Теория Максвелла предсказывает уменьшение фазовой скорости распространения волны в диэлектрике, зависящее от его диэлектрической проницаемости; электронная теория дисперсии объясняет частотную зависимость  $\epsilon$ . Но каков механизм замедления?

Молекулы (или атомы) диэлектриков под влиянием поля электромагнитной волны

$$E_1 = E_m \cos(\omega t - kx), \quad k = \frac{2\pi}{\lambda}, \quad (6.9)$$

распространяющейся в диэлектрике со скоростью света  $c$ , приходят в вынужденные колебания и сами становятся излучателями вторичных волн, когерентных с основной волной (6.9), но сдвинутых по фазе. Складываясь с основной волной, эти волны дают новую волну, фаза которой также отличается от фазы основной волны, — это и можно истолковать как распространение суммарной волны с фазовой скоростью, отличной от  $c$ .

Если волна проходит в диэлектрике путь  $l$  со скоростью  $v = \frac{c}{n}$ ,

где  $n = \sqrt{\epsilon}$ , то ею затрачивается время

$$t_1 = \frac{l}{v} = \frac{l}{c} n.$$

Если бы волна прошла тот же путь в вакууме со скоростью  $c$ , то затраченное время было бы равно  $t_2 = \frac{l}{c}$ . Поэтому запаздывание во времени равно:

$$\tau = t_1 - t_2 = \frac{l}{c}(n-1).$$

Если период волны равен  $T$ , то запаздывание по фазе составит:

$$\Phi = 2\pi \frac{\tau}{T} = kl(n-1). \quad (6.10)$$

Покажем, как в простейшем случае можно учесть влияние вторичных волн. Пусть плоская волна (6.9), распространяющаяся в сторону возрастающих  $x$ , встречает на пути плоский слой диэлектрика; его грани имеют координаты  $x = 0$  и  $\Delta x$ . Найдем напряженность поля в точке  $B$  с координатами  $x = A$ ,  $y = 0$ ,  $z = 0$ , причем  $A \gg \lambda$ . Это поле складывается из поля волны (6.9) и дополнительного поля, созданного диполями диэлектрика; т. е.

$$E = E_1 + \Delta E. \quad (6.11)$$

Для вычисления  $\Delta E$  воспользуемся методом зон Френеля (см. гл. 3). Поле в точке  $B$  определяется действием половины первой зоны Френеля; она представляет собой круг с центром в точке  $x = 0$ , на который опираются лучи, выходящие из разных точек зоны и сходящиеся в точке  $B$ . Расстояния до точки  $B$  от точек половины зоны Френеля меняются от  $A$  до  $A + \frac{\lambda}{4}$ . Очевидно, радиус половины первой зоны есть

$$\rho = \sqrt{\left(A + \frac{\lambda}{4}\right)^2 - A^2} = \sqrt{\frac{A\lambda}{2}}.$$

Площадь ее равна  $S = \pi\rho^2$ . Объем малого цилиндра из диэлектрика, опирающегося на зону, равен  $\Delta V = S\Delta x$ . При концентрации молекул  $N$  число молекул в указанном объеме составляет  $\Delta N = N\Delta V$ .

Под влиянием поля волны (6.9) молекулы приобретают дипольные моменты  $p$ . Напряженность поля излучения диполя в его экваториальной плоскости на расстоянии  $R$  равна (см. «Электродинамику», § 12.4):

$$E_0 = \frac{pk^2}{4\pi\epsilon_0 R} \cos(\omega t - kR). \quad (6.12)$$

Так как угловой размер зоны очень мал, то можно считать, что все диполи излучают в своей экваториальной плоскости. Расстоя-

ние  $R$  в знаменателе (6.12) можно принять равным  $A$ . В аргументах же можно взять среднее расстояние:

$$\bar{R} \approx A + \frac{\lambda}{8}.$$

Тогда напряженность поля, созданного в точке  $B$  всеми диполями объема  $\Delta V$ , будет равна:

$$\begin{aligned} \Delta E &= \frac{1}{2} E_0 \Delta N = \frac{E_0 N p k^2 \pi A \lambda \Delta x}{2 \cdot 4 \pi \epsilon_0 A} \cos \left[ \omega t - k \left( A + \frac{\lambda}{8} \right) \right] = \\ &= \frac{p k^2 N}{8 \epsilon_0} \lambda \Delta x \cos \left( \omega t - k A - \frac{\pi}{4} \right) = \Delta E_m \cos \left( \omega t - k A - \frac{\pi}{4} \right). \end{aligned} \quad (6.13)$$

Складывая ее с напряженностью поля основной волны, получаем:

$$\begin{aligned} E &= E_m \left[ \cos(\omega t - k A) + \frac{\Delta E_m}{E_m} \cos \left( \omega t - k A - \frac{\pi}{4} \right) \right] = \\ &= E_m D \cos(\omega t - k A - \Phi), \end{aligned} \quad (6.14)$$

где

$$D \cos \Phi = 1 + \frac{\Delta E_m}{E_m \sqrt{2}}, \quad D \sin \Phi = \frac{\Delta E_m}{E_m} \frac{1}{\sqrt{2}}.$$

Так как (из-за малости объема)  $\frac{\Delta E_m}{E_m} \ll 1$ , то можно принять

$$D = 1, \quad \sin \Phi \approx \Phi = \frac{\Delta E_m}{E_m \sqrt{2}}.$$

Итак, запаздывание по фазе равняется:

$$\Phi = \frac{p N}{\epsilon_0 E_m} \frac{k^2 \lambda \Delta x}{8 \sqrt{2}}.$$

Но, как известно (см.: «Электродинамику», §1.12),

$$\epsilon = n^2 = 1 + \frac{p N}{\epsilon_0 E_m}.$$

Поэтому

$$\Phi = (n^2 - 1) \frac{k^2 \lambda \Delta x}{8 \sqrt{2}}. \quad (6.15)$$

Мы не учитывали взаимодействия диполей друг с другом, что допустимо лишь при малых концентрациях молекул, т.е. для газов. Но при этом  $n$  мало отличается от единицы и можно принять

$$n^2 - 1 = (1 + \Delta n)^2 - 1 \approx 2\Delta n = 2(n - 1).$$

Поэтому из (6.15) получается окончательное выражение для фазового сдвига:

$$\Phi = k\Delta x(n - 1)\frac{\pi}{2\sqrt{2}}.$$

Это выражение отличается от точного выражения (6.10) лишь множителем  $\frac{\pi}{2\sqrt{2}}$ , близким к единице. Появление этого множителя объясняется упрощенными расчетами (нужно было интегрировать поля диполей, а мы взяли среднее значение и умножили на число диполей).

Таким образом, описанный выше механизм запаздывания привел нас к верной оценке фазового сдвига.

### 6.3. РАССЕЯНИЕ СВЕТА

Объясняя распространение света в прозрачных средах с волновой точки зрения, мы предполагали, что вторичное излучение электронов, возбужденных световой волной, когерентно с падающим. Действительно, классическая теория дисперсии основана на теории вынужденных колебаний электронов. А вынужденные колебания когерентны с вынуждающими, т.е. с возбуждающей электромагнитной волной. Учет интерференции этого излучения с первичным и приводит к известным законам отражения и преломления. При этом преломленная волна движется только вперед.

Иногда в реальных условиях возникает заметное рассеяние света, т.е. распространение вторичных волн в различных направлениях, не совпадающих с направлением первичной волны.

Существенно здесь следующее: проходящая волна приводит атомы в возбужденное состояние, т.е. их энергия растет. Через малые ( $10^{-8} - 10^{-9}$  с) промежутки времени атомы возвращаются в нормальное состояние, давая вторичное излучение, причем оно уже не когерентно с падающим, так как акты вторичного излучения распределены во времени по случайному закону. В результате вторичное излучение распространяется во все стороны – возникает рассеяние. Такое рассеяние называется *резонансным* – оно про-

исходит на частотах, лежащих в полосе поглощения, и наблюдать его нелегко.

Более распространенный тип рассеяния – рассеяние на неоднородностях, позволяющее, например, следить за распространением светового луча в запыленном воздухе или в сосуде с водой при рассмотрении их сбоку. В чистой воде рассеяние незначительно. Если же капнуть в воду одеколон (или раствор канифоли в спирту), то вода мутнеет и рассеяние сильно возрастает. Пока рассеяние невелико, рассеянный свет имеет голубоватый оттенок (при распространении белого света), а проходящий чуть-чуть желтеет. При увеличении мутности рассеяние усиливается, а в проходящем свете остаются только лучи длинноволновой части видимого спектра.

Так как при восходе и заходе Солнца его лучи проходят значительный путь в нижних слоях атмосферы, содержащих различные загрязнения, то возникает заметное рассеяние и Солнце кажется красноватым.

Теория рассеяния на неоднородностях была дана Рэлеем. Он показал, что частицы, размеры которых малы по сравнению с длиной волны, рассеивают свет более или менее равномерно. На рис. 6.5, *а* приведена диаграмма рассеяния света на частице, выражающая зависимость интенсивности рассеянного света от направления наблюдения. Направление падающей волны указано на рисунке стрелкой, причем интенсивность рассеянного света пропорциональна четвертой степени частоты. Если же размеры рассеивающих частиц сравнимы с длиной волны, то рассеяние происходит в основном в направлении падающей волны (рис. 6.5, *б*), а интенсивность его мало зависит от частоты. Для еще больших частиц длина волны почти совсем перестает влиять на интенсивность рассеянного света (поэтому облака кажутся белыми).

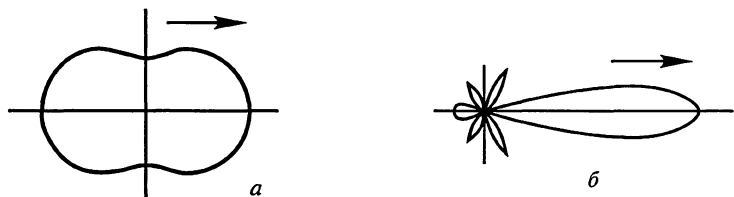


Рис. 6.5

Л. И. Мандельштам (1879–1944) показал, что флуктуации плотности атмосферы на больших высотах, где она практически не содержит загрязнений, происходящие в малых объемах (линейные размеры их меньше длины волны), влекут за собой изменения показателя преломления, т. е. создают микронеоднородности, вызы-

вающие сильное рассеяние синей части спектра солнечного света, поэтому чистое небо кажется синим.

На очень больших высотах (сотни километров), где концентрация молекул атмосферы ничтожна, рассеяние практически исчезает; небо должно казаться черным, а звезды видны в присутствии Солнца. При космических полетах все эти предсказания подтвердились полностью.

При рассеянии линейно поляризованного света легко обнаружить существование поляризации. Так, если вдоль оси  $X$  распространяется волна с электрическим вектором  $\vec{E}_z$ , то при наблюдении рассеяния вдоль оси  $Y$  свет виден хорошо (молекулярные диполи излучают в этом направлении). Но при наблюдении вдоль оси  $Z$  интенсивность рассеянного света очень мала.

Эффект рассеяния поляризованного света использован Умовым в превосходной демонстрации вращения плоскости поляризации в водном растворе сахара (рис. 6.6). Узкий пучок белого света падает на зеркало  $З$  и идет затем вдоль оси высокого (50–70 см) цилиндра  $М$ , наполненного водным раствором сахара. Между зеркалом и цилиндром находится поляризатор  $П$ . Плоскость поляризации в растворе постепенно поворачивается, причем угол поворота на единицу длины пути зависит от длины волны света. Наблюдатели  $A$  и  $B$ , смотрящие на цилиндр в направлениях, образующих прямой угол, воспринимают разную окраску некоторого сечения, а весь цилиндр кажется им пронизанным цветным винтом. Если поворачивать поляризатор, то этот винт также поворачивается. При повороте поляризатора на  $90^\circ$  максимум интенсивности некоторого цвета сменяется минимумом и наоборот. Во всех рассмотренных случаях частота света при рассеянии сохраняется. Явления рассеяния с изменением частоты света не могут быть объяснены с волновой точки зрения, они описаны в главе 11.

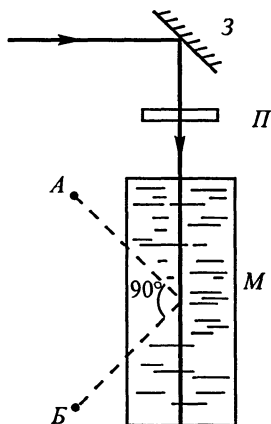


Рис. 6.6

#### 6.4. ЦВЕТ ТЕЛ

Воспринимаемые нами цвета тел представляют субъективную характеристику света, так как эти цвета существенно зависят от свойств глаза. Объективной же характеристикой остается спектр частот, соответствующий сложному отраженному свету.

В отличие от уха, способного анализировать сложный звук, глаз не способен к такому анализу света. Цвет самосветящихся тел зависит от излучаемых ими частот. В частности, раскаленное твердое тело, дающее сплошной спектр, кажется ослепительно белым. Если белый свет отражается от поверхности несамосветящегося тела (в темноте такое тело не видно), то цвет поверхности зависит от коэффициентов отражения различных частот, связанных с показателем преломления (см. формулы Френеля, справедливые для диэлектрика). Существуют различные сорта матовой бумаги, у которых коэффициент отражения во всем видимом диапазоне изменяется от нескольких процентов до 90–92%.

Расположенные рядом полоски различной матовой бумаги кажутся (при освещении их белым светом) тем более серыми, чем меньше коэффициент отражения; при больших коэффициентах отражения они имеют почти белый цвет, при очень малых – почти черный. Ощущение серого цвета возникает по контрасту, если же любую из этих полосок осветить белым светом в темноте на фоне черного бархата (коэффициент отражения бархата не более 1%), то она кажется белой.

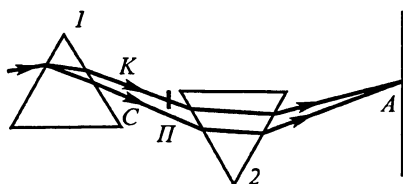


Рис. 6.7

Столь же субъективно и цветовое восприятие. Ньютон доказал это таким опытом (рис. 6.7). Луч белого света разлагался призмой *I* в спектр *КС* и попадал на вторую такую же призму *2*, повернутую относительно первой на  $180^\circ$ . Она снова собирала спектр *КС* в одну точку *А* на белом экране. Точка казалась белой. Если же при помощи узкого непрозрачного экрана *П* заслонялся какой-либо участок спектра, то окраска в точке *А* становилась цветной, причем наблюдающийся цвет мог не содержаться в спектре «чистых» цветов спектра твердого раскаленного тела (коричневый, розовый и т. д.).

Мы привыкли видеть предметы в отраженном свете источников, дающих непрерывный спектр (Солнце, лампа накаливания). Если же их осветить источником, дающим линейчатый или полосатый спектр, то видимая окраска резко меняется. Весьма поучителен простой опыт: на черном фоне укрепляют полосы материи (или ленты) разной окраски и наблюдают их цвет в обычном от-

раженном свете и в свете ртутной (или натриевой) лампы. Цвет сильно изменяется; в последнем случае многие полосы кажутся почти черными, так как видимое излучение натрия состоит всего из двух весьма близких линий в желтой части спектра.

Матовые поверхности рассеивают свет при отражении более или менее равномерно по всем направлениям. Если же поверхность диэлектрика полирована, покрыта лаком или сделана глянцевой (бумага), то отражение становится правильным и в некоторых направлениях (определяемых расположением источников света) возможно резкое увеличение интенсивности отраженного света – появляется блеск (по контрасту с направлениями, где интенсивность освещения мала). Такой же блеск присущ и гладкой поверхности металла.



## Глава 7

# ОПТИЧЕСКИЕ ЯВЛЕНИЯ В АТМОСФЕРЕ

### 7.1. ПРОЗРАЧНОСТЬ АТМОСФЕРЫ

Земная атмосфера существенно влияет на электромагнитные излучения, приходящие из космоса, и прежде всего от Солнца. Атмосфера сильно поглощает значительную часть излучений. В сущности, имеется два «окна прозрачности»: «окно», пропускающее видимые и инфракрасные лучи (длина волн от 0,3 до 14 мкм с полосой поглощения от 5 до 8 мкм), и «радиоокно», пропускающее волны от 1 мм до 30 м (с полосами поглощения 2,5 и 5 мм, присущими молекулам кислорода, и 0,16 и 1,35 мм, присущими молекулам водорода). Существование первого окна прозрачности атмосферы, несомненно, определило строение человеческого глаза. С другой стороны, отсутствие у человека органов, воспринимающих длинные электромагнитные волны, можно объяснить незначительной интенсивностью естественных волн этого диапазона в земных условиях.

Так как показатель преломления среды зависит от ее плотности, а плотность атмосферы с высотой убывает, то атмосфера представляет среду с непрерывно возрастающим (при приближении к Земле) показателем преломления.

Поэтому лучи света, идущие от небесных тел, например от звезд, в атмосфере искривляются. А так как мы судим о направлении на источник света по направлению луча, приходящего в наш глаз, то звезды кажутся нам приподнятыми над горизонтом (рис. 7.1). Поэтому восход (и закат) небесных тел происходит раньше (и соответственно позже) их действительного появления над горизонтом (и ухода за горизонт). Таким образом, день длит-

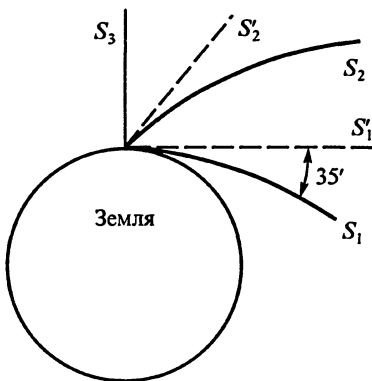


Рис. 7.1

сы примерно на 5 мин больше, чем он длился бы в отсутствие преломления в атмосфере. Высота подъема звезды (у горизонта) достигает 35' (на рис. 7.1 угол сильно преувеличен). Случайные колебания плотности атмосферы нарушают прямолинейность распространения света от звезды. Если плоский фронт световой волны попадает в область, где показатель преломления случайно беспорядочно меняется, то фронт приобретает выпуклости и вогнутости (рис. 7.2), вследствие чего происходит перераспределение светового потока: кое-где он концентрируется (усиливается), кое-где ослабевает. Так как переходы от усиления к ослаблению происходят часто, то глаз наблюдает мерцание звезд.

Фронт волны вдали от атмосферы

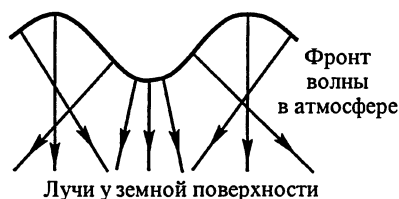


Рис. 7.2



Рис. 7.3

Однако планеты, угловые размеры которых больше, чем звезд, не мерцают – условия прохождения через атмосферу лучей от разных участков планетного диска достаточно различны и в среднем лучи всегда доходят до глаза наблюдателя.

Если распределение плотности воздуха испытывает заметное местное отклонение от нормы, то это может сопровождаться явлениями миража. В частности, когда в жаркий день воздух над асфальтированным шоссе перегревается, то показатель преломления может приобрести местный аномальный ход. В результате луч, идущий сверху, может испытать искривление у поверхности Земли (рис. 7.3) и попасть в глаз наблюдателя, которому покажется, что на поверхности шоссе образовалась лужа, от которой и отражается участок небесного свода. При приближении к этому месту оказывается, что шоссе сухое, а мираж может снова появиться вдали.

## 7.2. ДИФРАКЦИЯ НА СЛУЧАЙНЫХ НЕОДНОРОДНОСТЯХ АТМОСФЕРЫ

При изучении дифракции было выяснено, что дифракционная картина, создаваемая системой периодически расположенных

одинаковых объектов (например, решеткой), определяется произведением двух множителей: один из них учитывает влияние единичного объекта, создающего дифракцию, другой – их совместное действие [уравнение (3.33)]. При этом последний сомножитель в направлениях максимума света пропорционален квадрату числа дифрагирующих объектов. Можно показать, что если объекты, создающие дифракцию, расположены хаотически, то этот сомножитель (в направлениях на максимумы света) окажется пропорциональным числу объектов. Поэтому при прохождении световой волны от Луны через хаотически расположенные многочисленныи микроскопические кристаллы льда, иногда появляющиеся в верхних слоях атмосферы, создается достаточно яркая дифракционная картина, состоящая из цветных колец, окружающих светило (венцы). В земных условиях подобную же картину можно наблюдать, рассматривая удаленный светильник через запотевшее стекло или через стеклянную пластину, покрытую слоем мелкого порошка (ликоподий, детская присыпка). Из-за неполной однородности дифрагирующих объектов дифракционные кольца получаются обычно размытыми.

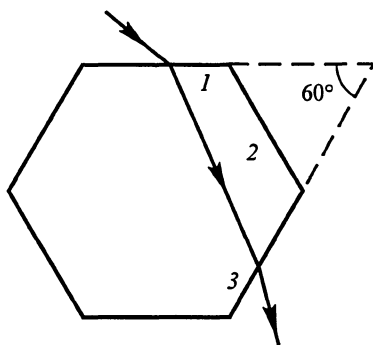


Рис. 7.4

Если же микрокристаллы оказываются более однородными (что, конечно, бывает реже), то наблюдаются более красивые явления, например образование вокруг Солнца или Луны четких колец вполне определенного радиуса ( $22^\circ$ ) – так называемое *галó*. При этом внутренний край кольца бывает красным, наружный почти белым. Если кристаллы льда имеют форму, изображенную на рис. 7.4 (правильный шестиугольник), то свет, преломленный на грани 1, может выйти через грань 3 (усеченная призма с преломляющим углом  $60^\circ$ ), причем угол наименьшего отклонения для такого случая [согласно формуле (4.8)] равен  $22^\circ$ , так как показатель прелом-

ления льда близок к 1,3. Кроме того, следует иметь в виду, что в направлении наименьшего отклонения призмы пропускают максимальную энергию света, чем и объясняется образование гало на фоне более слабого света, прошедшего через кристаллы в других направлениях. Более детальное рассмотрение позволяет понять и еще реже наблюдающиеся явления образования ложных солнц и др.

### 7.3. РАДУГА

Радуга может появиться, если соблюдены два условия: наблюдатель находится между Солнцем и дождем и Солнце расположено довольно низко (не выше  $42^\circ$  над горизонтом).

Радуга представляет собой цветную дугу угловым размером около  $42^\circ$ , причем центр ее  $O$  расположен на линии, проходящей через Солнце и глаз наблюдателя  $A$  (рис. 7.5). Наружный край радуги красный, внутренний – голубой. Иногда появляются вторичные радуги с обратным порядком цветов. Главная радуга возникает благодаря двукратному преломлению и однократному отражению света внутри дождевых капель и дифракционному эффекту, создаваемому громадным числом хаотически расположенных капель.

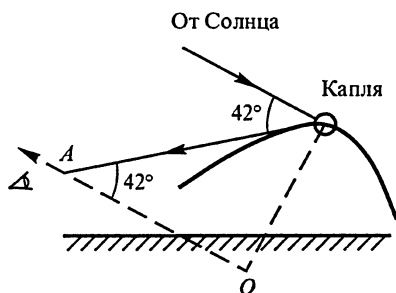


Рис. 7.5

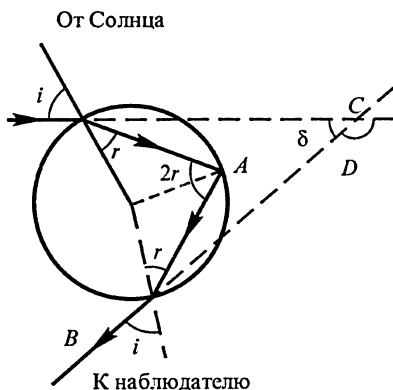


Рис. 7.6

Итак, пусть на шаровую каплю падает параллельный пучок света от Солнца (рис. 7.6). Часть этих лучей претерпит внутри капли полное отражение и, выйдя из нее, может попасть в глаз наблюдателя. При этом в некотором направлении  $CB$  произойдет концентрация лучей (это направление зависит от показателя преломления, т. е. от длины волны).

Действительно, изменение направления луча определяется углом

$$D = 2(i - r) + (\pi - 2r).$$

Найдем экстремальное значение  $D$ . Дифференцируя по  $i$  и приравнявая результат нулю, получим:

$$\frac{dD}{di} = 2 - 4 \frac{dr}{di} = 0, \quad \frac{di}{dr} = 2.$$

Но по закону преломления

$$\sin i = n \sin r.$$

Поэтому

$$\frac{di}{dr} = 2 = \frac{n \cos r}{\cos i}.$$

Возводя в квадрат и исключая (при помощи закона преломления)  $\cos r$ , получим:

$$n^2 = 1 + 3 \cos^2 i,$$

откуда

$$\cos i = \sqrt{\frac{n^2 - 1}{3}}.$$

Взяв вторую производную  $D$  по  $i$ , легко убедиться, что полученный экстремум есть максимум, и, следовательно, в направлении  $CB$  происходит концентрация отраженного света, что мы и воспринимаем как раду. Приняв среднее значение  $n = 1,33$ , получаем  $i = 59^\circ 20'$ ,  $r = 40^\circ 12'$ ,  $D = 137^\circ 52'$ , поэтому  $\delta = 180^\circ - 137^\circ 52' = 42^\circ 08'$ , что отвечает действительности. Так как  $n$  для синих лучей больше, чем для красных, то угол  $\delta$  для синего света меньше, т.е. нижний (внутренний) край радуги должен быть синим, что также отвечает действительности. Если учесть многократные отражения, то получаются верные результаты и для второй (иногда появляющейся) радуги.

Из других интересных оптических явлений в атмосфере отметим один из так называемых оптических обманов – глазомерную оценку угловых размеров Луны. Общеизвестно, что в зените Луна кажется гораздо меньше, чем вблизи горизонта. Дело заключается в следующем: если мы рассматриваем ряд одинаковых объектов, например телеграфных столбов, то их угловой размер уменьшается по мере удаления. Но психологические причины восприятия приводят к тому, что линейные размеры столбов кажутся нам одинаковыми.

Когда Луна близка к горизонту, то ее угловые размеры такие же, как в зените. Но на фоне столбов или других предметов мы совершаем психологическую ошибку и считаем Луну гораздо большей. При этом оптический обман настолько силен, что даже зная о нем, мы не можем отделаться от впечатления об увеличении размеров Луны у горизонта. Очень полезно сравнить фотографию Луны в зените с ее фотографией у горизонта, снятой тем же аппаратом. В обоих случаях Луна видна одинаковой и неожиданно малых размеров. Последнее связано еще с одним обманом: яркие поверхности кажутся увеличенными по сравнению с темными.

Существует большое число оптических обманов – они возникают в условиях, отличающихся от привычных. Так, человеку, впервые попавшему в горную местность, горы кажутся более близкими.

О причинах голубого цвета неба и цветовых эффектов при восходе и закате Солнца сказано в § 6.3.

## Глава 8

# СКОРОСТЬ СВЕТА. СВЕТ И ТЕОРИЯ ОТНОСИТЕЛЬНОСТИ

### 8.1. ИЗМЕРЕНИЕ СКОРОСТИ СВЕТА

Первые измерения скорости света пытался осуществить Галилей. Хотя принципиальная сторона его метода была безупречна, но ошибки опыта из-за очень большого значения скорости света оказались столь велики, что числовых результатов ему получить не удалось. Тем не менее представление о конечности скорости света продолжало существовать. Первое более или менее удачное определение скорости света принадлежит датскому астроному Рёмеру (1676).

Рёмер изучал затмения спутников Юпитера, исходя из представления о том, что период  $\tau$  их обращения вокруг Юпитера постоянен. Но при наблюдениях с Земли оказалось, что промежутки времени между затмениями (вхождением спутника в тень Юпитера) периодически изменяются. Рёмер объяснил это изменением относительного положения Земли и Юпитера. Пусть сначала Земля и Юпитер находятся в положениях  $T_1$  и  $J_1$  (рис. 8.1). Пока

Земля и Юпитер перейдут в положения  $T_2$  и  $J_2$ , произойдет  $N_1$  затмений (период обращения  $\tau_0$  близок к 42 ч). Для земного наблюдателя промежутков времени, за который произойдут эти затмения, равен:

$$\tau_1 = N_1 \tau_0 + \frac{D}{c},$$

где  $D$  – диаметр земной орбиты,  $c$  – неизвестная еще скорость света.

Затем Земля и Юпитер перейдут в положения  $T_3$  и  $J_3$ ; на это потребуется время  $\tau_2$ , равное:

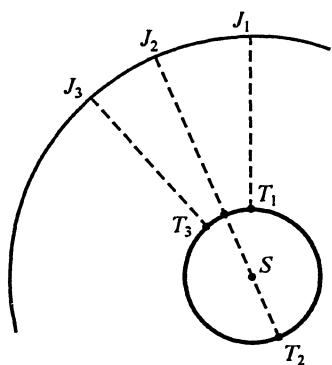


Рис. 8.1

$$\tau_2 = N_2 \tau_0 - \frac{D}{c},$$

где  $N_2$  – число происшедших затмений. Из этих уравнений можно найти истинный период обращения спутника и скорость света. При этом можно считать, что свет распространяется практически в вакууме. Результат Рёмера был довольно близок к истинному значению скорости света.

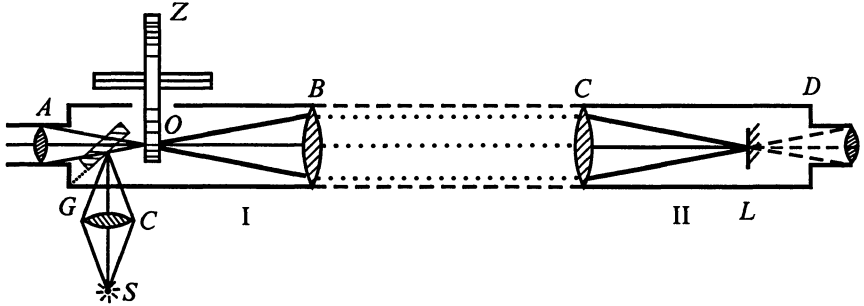


Рис. 8.2

В земных условиях скорость света измерил Физо (1849), реализовавший на улучшенной технической основе идею Галилея. Схема опыта показана на рис. 8.2. Свет от источника  $S$  отражается полупрозрачной пластиной  $G$  в промежуток между зубцами колеса  $Z$ , вращающегося вокруг горизонтальной оси. Затем он выходит параллельным пучком из линзы  $B$ , достигает линзы  $C$  и фокусируется на зеркале  $L$ ; отразившись от него, свет возвращается обратно к колесу и через пластину  $G$  и линзу  $A$  попадает в глаз наблюдателя. Линза, расположенная справа от зеркала  $L$ , служит для контроля юстировки системы.

Пусть при неподвижном колесе поле зрения освещено. При вращении колеса возникают мелькания, сменяющиеся полным затмением, если свет, прошедший через промежуток между зубцами, на обратном пути встретит непрозрачный зубец, т.е. если зеркало повернется на угол

$$\alpha = \frac{2\pi}{N} = \omega\tau = \omega \frac{2h}{c},$$

где  $N$  – число зубцов (и соответственно промежутков между ними).

При увеличении угловой скорости вращения колеса  $\omega$  следующее затмение наступит при вдвое, втрое и т. д. большей скорости вращения.



Расстояние  $h = OL$  в опыте Физо составляло около 8,5 км, число зубцов – 720. Основная трудность заключалась в создании строго равномерного вращения колеса и точном измерении частоты его вращения. Результаты Физо были довольно точными.

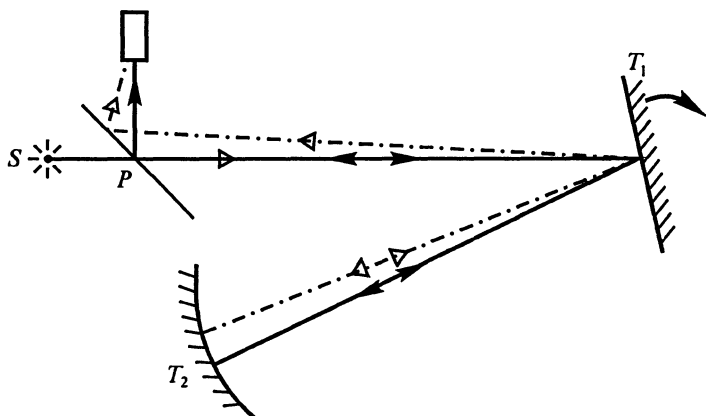


Рис. 8.3

Фуко (1860) воспользовался установкой (рис. 8.3), в которой расстояния, проходимые светом, были гораздо меньше (десятьки метров). Свет от источника  $S$  попадает на зеркало  $T_1$  и отражается на вогнутое зеркало  $T_2$ . Не показанная на рисунке оптика позволяет сфокусировать изображение источника на поверхности зеркала  $T_2$ . Отраженный свет проходит обратный путь и отражается полупрозрачной пластинкой  $P$  в зрительную трубу, где дает изображение источника. Если зеркало  $T_1$  вращать вокруг оси, перпендикулярной чертежу, то отраженный свет будет попадать в трубу лишь при повороте зеркала  $T_1$  на небольшой угол. При быстром вращении получается смещенное изображение. По смещению можно определить угол поворота зеркала. Если измерена частота его вращения, то определяется и скорость света (при известных путях, проходимых светом).

Между зеркалами  $T_1$  и  $T_2$  Фуко помещал полую трубу, а затем заполнял ее той или иной прозрачной жидкостью. Таким образом можно было установить, что скорость света в жидкости меньше, чем в воздухе, но числовых значений он получить не смог. Это было сделано позже при повышенной точности измерений.

Метод Фуко был значительно усовершенствован Майкельсоном, получившим весьма точные результаты.

В последнее время вместо механического затвора (зубчатого колеса) стали применять электрический затвор (ячейку Керра),

работающий гораздо быстрее и надежнее. Это позволило резко уменьшить размеры измерительной установки и повысить точность измерений.

Развитие радиолокационных методов позволило измерять скорость «света» на радиочастотах. Проводились также определения скорости света по длине стоячих волн в электромагнитных резонаторах и многими другими методами.

Результатом всех этих измерений явилось установление замечательного факта: **скорость света в вакууме совершенно не зависит от частоты электромагнитных волн**; измерениями был охвачен диапазон от 50 МГц (радиоволны) до  $10^{16}$  МГц (жесткие рентгеновские волны).

В настоящее время значением скорости света в вакууме считается

$$c = 299\,792\,458 \text{ м/с.}$$

Отметим, что высокая точность определения значения  $c$  позволила в настоящее время именно скорость света, а не длину отрезка  $l$ , измеряемую с меньшей точностью, использовать в качестве эталона в системе мер.

## 8.2. ЭКСПЕРИМЕНТАЛЬНЫЕ ОСНОВЫ СПЕЦИАЛЬНОЙ ТЕОРИИ ОТНОСИТЕЛЬНОСТИ

При ознакомлении с механикой теории относительности (см. «Механику», гл. 6) было указано, что предпосылкой к разработке специальной теории относительности послужили трудности, возникшие при исследовании распространения света в движущихся средах. Теперь можно рассмотреть некоторые из этих оптических эффектов.

Классическая физика начала XIX в. считала, что свет распространяется в некоторой гипотетической среде – эфире. Когда господствовала механическая теория света, свойства этого эфира были крайне странными (громадная упругость, необходимая для обеспечения высокой скорости, при ничтожной плотности). При переходе к электромагнитной теории света «механический» эфир был заменен «электромагнитным», единственной функцией которого было служить средой для распространения света. Было совершенно неясно, как ведет себя эфир по отношению к физическим телам, особенно при движении последних. Было поставлено много тонких опытов, способствовавших разъяснению этой загадки. Рассмотрим некоторые из них.

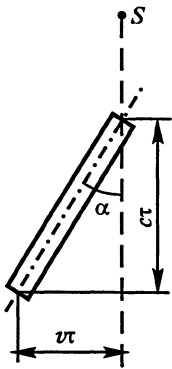


Рис. 8.4

1. Еще в начале XVIII в. Брэдли обнаружил, что неподвижные звезды описывают на небесном своде небольшие эллипсы, причем во всех наблюдаемых случаях время прохождения эллипса равнялось году, а большая полуось эллипса для всех звезд равнялась  $20,45''$ . Поэтому эти эллипсы нельзя было объяснить только годичным движением Земли вокруг Солнца, так как тогда для звезд, разнородных от Земли, размеры эллипсов должны были бы изменяться, убывая при увеличении расстояния до звезды. Брэдли правильно заключил, что звезды настолько удалены от Земли, что для них годичное движение проявиться не может. Причина же кажущегося движения (абберации) звезд была им найдена в конечной скорости распространения света, одинаково влияющей при любом расстоянии до звезды.

Действительно, пусть звезда  $S$  находится как раз в зените (рис. 8.4). Астроном хочет получить ее изображение на оптической оси телескопа. Но если он направит телескоп на звезду, то, пока свет будет проходить по телескопу, последний сместится в сторону. Поэтому, чтобы изображение получилось на оси, астроном должен наклонить телескоп на угол  $\alpha$  в направлении движения Земли. Если  $c$  – скорость света,  $v$  – скорость Земли, то

$$\operatorname{tg} \alpha = \frac{v}{c}.$$

Так как  $v \approx 30$  км/с, то получается  $\alpha \approx 20,5''$ , что приблизительно отвечает опыту.

В этом объяснении неявно предполагается, что эфир совершенно не участвует в движении Земли (и ее атмосферы).

2. В 1851 г. Физо исследовал влияние движения воды на распространение света в ней. Схема установки показана на рис. 8.5. Свет источника  $S$  делится на полупрозрачной пластине  $1$ ; часть его проходит путь  $1, 2, 3, 4, 1$  и попадает в зрительную трубу  $T$ . Другая часть идет по пути  $1, 4, 3, 2, 1$  и также попадает в зрительную трубу. Происходит интерференция пучков (при неподвижной воде). Затем по изогнутой трубе заставляют течь воду в направлении, указанном стрелкой. При этом один из пучков света распространяется в направлении течения воды, другой – против течения. Наблюдатель контролирует интерференционную картину, изменения которой позволяют судить о скорости света в воде. Опыт показал, что эта скорость

$$c_1 = \frac{c}{n} + v \left( 1 - \frac{1}{n^2} \right), \quad (8.1)$$

где  $n$  – показатель преломления воды,  $v$  – ее скорость.

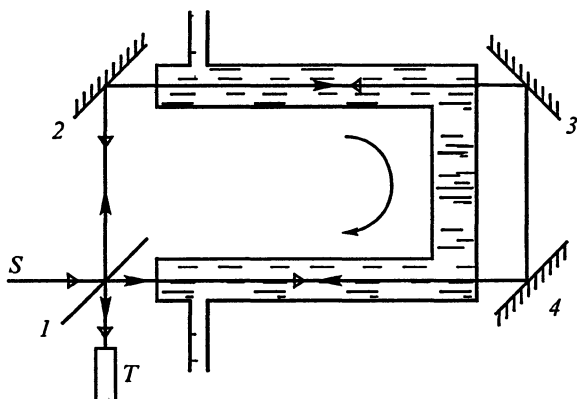


Рис. 8.5

С точки зрения гипотезы эфира это означает, что эфир увлекается водой лишь частично; если бы эфир увлекался полностью, второе слагаемое равнялось бы  $v$ , если бы не увлекался совсем, то оно равнялось бы нулю.

Такое объяснение противоречит данному выше объяснению явления абберации.

3. В 1881 г. (и позже) Майкельсон с помощью своего интерферометра пытался обнаружить влияние движения Земли на распространение света. Для этого он располагал интерферометр так, чтобы один из лучей распространялся вдоль вектора скорости Земли в ее орбитальном движении  $\vec{v}$ , другой – перпендикулярно этой скорости (рис. 8.6). При этом получалась некоторая интерференционная картина, контролируемая наблюдателем на Земле.

При медленном повороте всего прибора (он плавал на плите, погруженной в ртуть) вокруг вертикальной оси роли обоих лучей менялись. Если Земля не увлекает эфир, то должно было произойти изменение интерференционной картины. Опыт дал противоположный результат – интерференционная картина не изменялась. С позиций гипотезы эфира это означало, что Земля полностью увлекает эфир. В этих опытах движение Земли можно было считать равномерным, так как время проведения опыта достаточно мало по сравнению с периодом вращения Земли вокруг оси и тем более

с периодом ее обращения вокруг Солнца. Движение воды в опыте Физо также можно считать равномерным. Следовательно, все измерения производились в инерциальных системах.

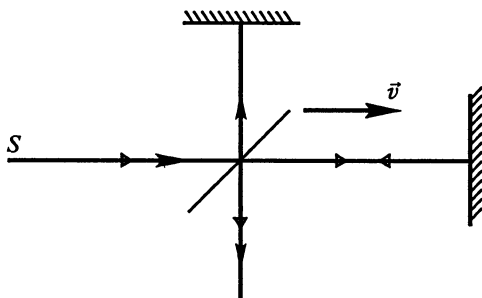


Рис. 8.6

Создавшееся положение, когда для объяснения трех опытов нужно делать три взаимно исключающих допущения о свойствах эфира, конечно, неприемлемо. Значит, гипотеза эфира противоречива.

Обычно считается, что эти исследования послужили толчком к возникновению специальной теории относительности Эйнштейна. Однако сам Эйнштейн писал, что его рассуждения базировались на других соображениях, что об опыте Майкельсона он узнал после создания основ теории относительности.

Эйнштейн принял за основу своей теории, что скорость света, измеряемая в инерциальных системах, не зависит от движения наблюдателя и источника. Он совершенно отказался от гипотезы эфира, приписав электромагнитному излучению самостоятельное существование вне какой-либо среды, утверждая тем самым материальность излучения (переменного электромагнитного поля).

Применяя закон сложения скоростей, полученный в специальной теории относительности (см. «Механику»), к опыту Физо, сразу получаем, пренебрегая слагаемыми со второй степенью  $\frac{v}{c}$ :

$$c_1 = \frac{\frac{c}{n} \pm v}{1 \pm \frac{cv}{nc^2}} = \left( \frac{c}{n} \pm v \right) \left( 1 \pm \frac{v}{cn} \right) = \frac{c}{n} \pm v(1 - n^2), \quad (8.2)$$

т. е. результат, совпадающий с опытом [см. формулу (8.1)].

Применяя тот же закон к опыту Майкельсона, получаем:

$$c_1 = \frac{c \pm v}{1 \pm \frac{cv}{c^2}} = c \frac{c \pm v}{c \pm v} = c = \text{const},$$

как и должно быть (здесь считается, что опыт производится в вакууме или показатель преломления воздуха принимается равным единице).

При релятивистском расчете аберрации вместо полученного нами тангенса получается синус, при малом угле аберрации значения этих функций практически совпадают.

### 8.3. ЭФФЕКТ ДОПЛЕРА В ОПТИКЕ

Специальная теория относительности позволяет рассчитать оптический эффект Доплера; его механический аналог рассматривался в акустике (см. «Механику»). Однако если в акустике приходится считаться со скоростями волны, источника и наблюдателя относительно воздуха (или другой среды, где распространяется звук), то в оптике, если электромагнитные волны распространяются в вакууме, не требуя никакого носителя (эфира), эффект может зависеть лишь от относительной скорости наблюдателя и источника, которую обозначим  $v$ .

Расчет показывает, что изменение частоты при этом определяется выражением

$$v = v_0 \sqrt{\frac{1 \mp \beta}{1 \pm \beta}}, \quad \beta = \frac{v}{c},$$

пригодным для движения источника и наблюдателя по лучу света, причем верхние знаки соответствуют взаимному удалению. При  $\beta \ll 1$  это выражение можно упростить и привести к виду

$$v = v_0(1 \mp \beta),$$

совпадающему с выражением, полученным в акустике (в таком же приближении).

Благодаря высокой монохроматичности современных генераторов сантиметровых электромагнитных волн наблюдение эффекта Доплера стало возможно при помощи интерферометра Майкельсона даже в лекционных условиях. Генератор  $\Gamma$  (рис. 8.7) посылает волну на полупрозрачную пластину  $\Pi$  (точное разделение волны на две части с равными амплитудами желательнее, но необязательно), сделанную из плексигласа или стекла. Одна часть волны падает под

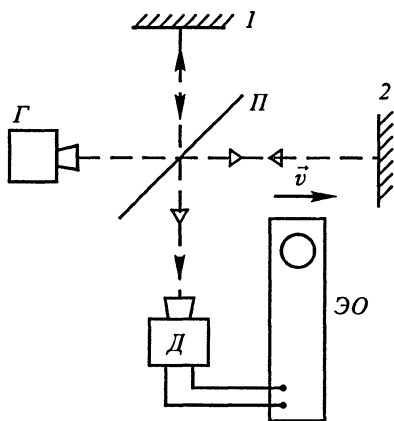


Рис. 8.7

углом, равным нулю, на плоское зеркало 1 (простой металлический лист), отражается им и после прохождения пластины П поступает в приемную рупорную антенну Д. Другая часть волны, отразившись от такого же зеркала 2, также попадает в приемную антенну, испытывая отражение от пластины П. Обе волны (они, конечно, когерентны), интерферируя, дают после детектирования сигнал некоторой амплитуды, регистрируемый на экране электронного осциллографа ЭО.

При перемещении одного из зеркал с постоянной скоростью  $\vec{v}$  вдоль падающего на него луча наблюдается периодическое усиление и ослабление принятого сигнала. Обычно это явление объясняют изменением разности хода одного из лучей (при перемещении на отрезок  $h = \frac{\lambda}{4}$  раз-

ность хода меняется на  $2h = \frac{\lambda}{2}$ , что приводит к смене максимума амплитуды на минимум; при этом скорость  $v$  может быть непостоянной).

Но можно рассуждать и так: при отражении от движущегося зеркала происходит доплеровское изменение частоты, что приводит к возникновению биений между обоими сигналами, попадающими в приемник. Пусть скорость движения зеркала равна 1 см/с, частота колебаний генератора  $\nu_0 = 10^{10}$  Гц. Тогда изменение частоты составит:

$$\Delta\nu = \nu_0 \frac{v}{c} = 0,3 \text{ Гц},$$

т.е. становится вполне доступным наблюдению.

Нетрудно показать подобные же биения на оптическом интерферометре, освещаемом лазером. При очень медленном смещении одного из зеркал возникают биения, частота которых, конечно, на несколько порядков больше (так как частота  $\nu_0$  соответственно больше). Изменение частоты легко сделать равным  $10^3 - 10^4$  Гц. Принимая сигналы с помощью фоторезистора (нелинейная система), можно выделить эту частоту и подать на громкоговоритель.

Специальная теория относительности предсказывает также возникновение «поперечного» эффекта Доплера, наблюдаемого в направлении, перпендикулярном лучу света. Этот эффект меньше рассмотренного выше «продольного» эффекта, и наблюдение его более сложно. Результаты таких наблюдений соответствуют теории.

#### 8.4. ЭФФЕКТ ВАВИЛОВА – ЧЕРЕНКОВА

Волновые представления позволяют объяснить замечательный эффект, открытый в механике Э.Махом (1883), а в оптике П.А.Черенковым и С.И.Вавиловым (1934). Для лучшего понимания этого эффекта рассмотрим сначала (в системе отсчета, связанной с Землей и неподвижной относительно воздуха) акустический излучатель, периодически посылающий импульсы. Если излучатель неподвижен (относительно воздуха), то волновые фронты последовательных импульсов образуют систему концентрических сфер. В момент  $t = 0$  фронты импульсов, испущенных в более ранние моменты ( $-1, -2$  и т.д.), занимают положения, изображенные на рис. 8.8.

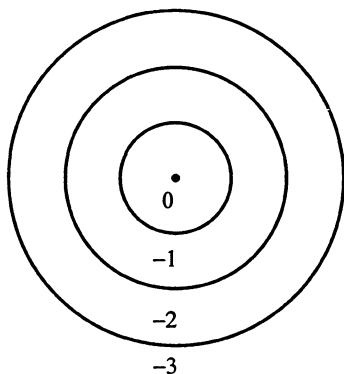


Рис. 8.8

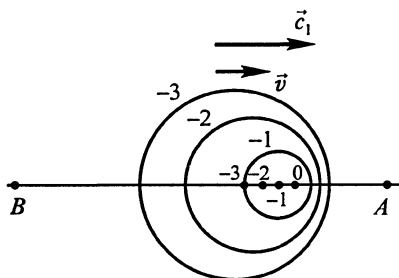


Рис. 8.9

Пусть теперь излучатель движется, например, вправо со скоростью  $\vec{v}$ , меньшей скорости  $\vec{c}_1$  распространения импульсов; положения фронтов импульсов в момент  $t = 0$ , когда излучатель приходит в точку  $O$ , показаны на рис. 8.9. Теперь фронты импульсов представляют систему неконцентрических сфер, вложенных одна в другую и непересекающихся. На рис. 8.9 скорость излучателя принята равной половине скорости импульса  $c_1$ . Числа на горизонтальной оси определяют мгновенные положе-



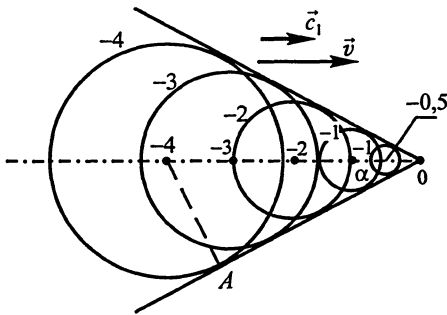


Рис. 8.10

ния излучателя. Наблюдатель  $A$  (неподвижный относительно воздуха) будет воспринимать большее число импульсов в единицу времени, чем наблюдатель  $B$ , — возникает эффект Доплера.

Если, наконец, излучатель движется вправо со скоростью  $v > c_1$ , то фронты последовательных импульсов (на рис. 8.10 скорость источника

принята равной удвоенной скорости импульса) пересекаются, причем возникает интерференция налагающихся фронтов. Простое построение показывает, что общая огибающая фронтов образует конус с вершиной в точке нахождения источника. Этот конус называют *конусом Маха*. Угол раствора его, как видно из рисунка, определяется простым соотношением  $\sin \alpha = \frac{c_1}{v}$ . Такая же

картина будет возникать и при непрерывном излучении волн движущимся излучателем.

Этот конус (точнее, сечение конуса плоской поверхностью воды) можно наблюдать при движении в спокойной воде теплохода, идущего со скоростью, превышающей скорость распространения поверхностных поперечных волн, которая невелика. Двигая в ванне брусок, можно без труда реализовать случаи, отвечающие рисункам 8.9 и 8.10.

В 1937 г. И. Е. Тамм и И. М. Франк объяснили эффект Вавилова — Черенкова. Электроны, равномерно движущиеся в жидкости со скоростью, превышающей скорость света в этой жидкости, создают аналогичный эффект: в результате интерференции волн, излучаемых возбужденными молекулами среды, образуется полый световой конус.

Скорость света в прозрачной среде равна  $\frac{c}{n}$ , где  $n$  — показатель преломления, поэтому скорость электронов должна удовлетворять условию

$$v_e > \frac{c}{n},$$

а угол раствора светового конуса при этом определяется из выражения

$$\sin \alpha = \frac{c}{nv_3}.$$

Так как излучение Черенкова распространяется вдоль направления движения электронов, то его можно использовать для регистрации быстрых элементарных частиц (счетчики Черенкова), причем сразу определяется и направление движения частицы, и ее скорость, что представляет большие преимущества по сравнению с другими типами счетчиков.

Замечательно, что это излучение создается равномерно движущимся электроном; в тех случаях, когда скорость электрона меньше скорости света в среде, он излучает только при наличии ускорения.

В 1958 г. П. А. Черенков, И. Е. Тамм и И. М. Франк были удостоены Нобелевской премии; так как эта премия не присуждается посмертно, то С. И. Вавилов, скончавшийся в 1951 г., не стал ее лауреатом.

## Глава 9

# КВАНТОВЫЕ СВОЙСТВА ИЗЛУЧЕНИЯ

### 9.1. ФОТОЭЛЕКТРИЧЕСКИЙ ЭФФЕКТ. КВАНТОВАЯ ТЕОРИЯ ФОТОЭФФЕКТА

Многочисленные оптические явления, рассмотренные выше, непротиворечиво объясняли, исходя из представлений о волновой природе света. Однако в конце XIX – начале XX в. были открыты и изучены такие явления, как фотоэффект, рентгеновское излучение, эффект Комптона, излучение атомов и молекул, тепловое излучение и другие, объяснение которых с волновой точки зрения оказалось невозможным. Объяснение новых экспериментальных фактов было получено на основе корпускулярных представлений о природе света. Возникла парадоксальная ситуация, связанная с применением совершенно противоположных физических моделей волны и частицы для объяснения оптических явлений. В одних явлениях свет проявлял волновые свойства, в других – корпускулярные.

Для последовательного изучения квантовых свойств света обратимся прежде всего к анализу экспериментальных фактов, начав его с исследования фотоэффекта.

*Фотоэффект* – явление испускания электронов поверхностью металлов под действием электромагнитного излучения – был открыт Г.Герцем в 1887 г. Исследование законов фотоэффекта связано прежде всего с именами А.Г.Столетова, Ф.Ленарда и А.Эйнштейна. Последнему за открытие законов фотоэффекта была присуждена в 1921 г. Нобелевская премия по физике.

Для последовательного изучения квантовых свойств света обратимся прежде всего к анализу экспериментальных фактов, начав его с исследования фотоэффекта.

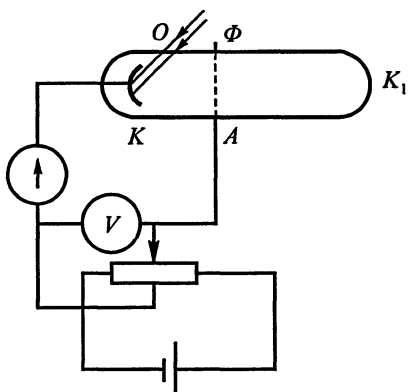


Рис. 9.1

**Столетов Александр Григорьевич (1839–1896)**, русский физик. В 1872 г. провел исследования магнитных свойств железа, получил кривую магнитной проницаемости ферромагнетика. В 1888–1890 гг. исследовал явление внешнего фотоэффекта. Открыл пропорциональную зависимость фототока от интенсивности света. Обнаружил фототок насыщения. Создал первый фотоэлемент.



Для количественного изучения фотоэлектрического эффекта применяется схема, изображенная на рис. 9.1. Здесь  $K_1$  – колба, в которой создан высокий вакуум,  $K$  – цезиевый (или другой подходящий) катод,  $A$  – анод,  $O$  – прозрачное для исследуемого излучения окошко,  $\Phi$  – световой поток от источника монохроматического света (или источника белого света с соответствующими светофильтрами, вырезающими очень узкий участок спектра).

Вольт-амперная характеристика прибора при неизменной интенсивности света и заданной его частоте  $\nu$  имеет вид, показанный на рис. 9.2 (кривая 1). Изучение ее позволяет установить, что под действием света с поверхности катода вырываются частицы с отрицательным зарядом (специальными исследованиями было доказано, что это электроны), обладающие некоторой начальной скоростью. Для их торможения приходится создавать встречное «запирающее» электрическое поле, подавая на анод отрицательное (относительно катода) напряжение  $U_3$ . Существование тока насыщения  $I_n$ , не зависящего от приложенного напряжения, говорит о том, что число электронов, вырываемых в единицу времени, ограничено.

Кривая 2 на том же рисунке свидетельствует о возрастании числа электронов, вырываемых в единицу времени, при увеличении интенсивности света данной частоты. Но поразительным является совпадение начальных точек обеих кривых, свидетельствующее о том, что максимальная скорость вырываемых светом электронов не зависит от интенсивности света.

Связь между током насыщения  $I_n$  и световым потоком  $\Phi$  была

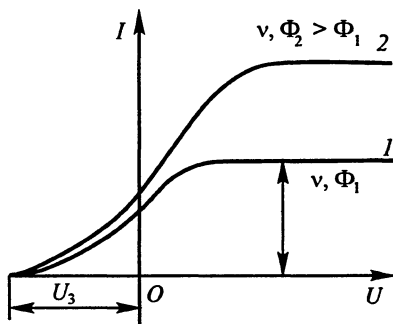


Рис. 9.2

изучена Столетовым, установившим простой закон – величины  $I_n$  и  $\Phi$  пропорциональны друг другу:

$$I_n = \text{const} \cdot \Phi \quad (9.1)$$

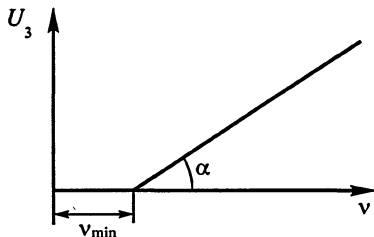
При некоторой частоте  $\nu_{\min}$ , характерной для данного металла, фотоэффект исчезает. При этом увеличение интенсивности света не дает никакого результата. Экспериментальное изучение зависимости между частотой и запирающим напряжением, т.е. наибольшей кинетической энергией электронов в момент их вылета из металла, показало, что между этими величинами существует линейная зависимость (рис. 9.3), причем наклон прямолинейного участка характеристики

$$\frac{dU_3}{d\nu} = \frac{h}{e}, \quad (9.2)$$

где  $h = 6,6 \cdot 10^{-34}$  Дж·с – постоянная Планка,  $e$  – заряд электрона.

Наконец, было установлено, что фотоэффект возникает мгновенно, т.е. практически безынерционен, – изменения силы тока сразу следуют за изменениями освещенности. Кроме того, фотоэффект возникает при сколь угодно малой интенсивности света (но при  $\nu > \nu_{\min}$ ).

С волновой точки зрения понятен лишь закон Столетова: чем больше интенсивность падающего света, тем больше и поглощенная энергия, тем больше электронов вырывается из катода. Но безынерционность и независимость максимальной скорости электронов от интенсивности света, как и существование минимальной частоты света, необходимой для возникновения фотоэффекта, с волновой точки зрения совершенно непонятны. Казалось бы, что электроны должны постепенно накапливать энергию и этот процесс должен зависеть от интенсивности света. Специальными опытами А.Ф.Иоффе и Н.И.Добронравов показали, что и при малых интенсивностях света фотоэффект возникает практически мгновенно, а вырывание электронов с поверхности тела малых размеров (пылинка в конденсаторе Милликена, см. «Электродинамику», § 1.5) происходит дискретно – между отдельными актами фотоэффекта существуют заметные паузы.



В 1905 г. Эйнштейн, опираясь на работы М.Планка по излучению (§ 9.7), предложил теорию фотоэф-

факта, в основе которой лежали совершенно новые представления о свете. По Эйнштейну, световой поток представляет собой поток атомов света, названных фотонами; каждый фотон обладает энергией

$$E = h\nu$$

и импульсом

$$p = \frac{E}{c} = \frac{h\nu}{c}. \quad (9.3)$$

При этом отдельный фотон поглощается отдельным электроном и электрон приобретает возможность покинуть металл, если его энергия превышает «работу выхода» из металла, характеризующую разностью потенциалов  $U_k$  ( $A = eU_k$ ). Применяя закон сохранения энергии, получим:

$$h\nu = eU_k + \frac{1}{2}mv_{\max}^2, \quad (9.4)$$

где  $\frac{1}{2}mv_{\max}^2$  — максимальная кинетическая энергия вылетевшего электрона. За счет взаимодействия с окружающими частицами электрон может вылететь с меньшей энергией, поэтому кривая (см. рис. 9.2) имеет пологий спад.

Запирающее напряжение  $U_3$  может быть связано с максимальной энергией вылетевшего электрона соотношением

$$\frac{1}{2}mv_{\max}^2 = eU_3.$$

Из уравнения (9.4) следует, что существует минимальная частота света, необходимая для фотоэффекта:

$$\nu_{\min} = \frac{e}{h}U_k,$$

т. е. фотоэффект имеет «красную границу» (этот термин подчеркивает невозможность возбуждения эффекта при частоте, меньшей  $\nu_{\min}$ ). Запирающее напряжение не должно зависеть от интенсивности света; наконец, выполняется уравнение (9.2).

Закон Столетова (9.1) означает, что число освободившихся электронов пропорционально числу падающих фотонов, имеющих определенную вероятность поглотиться в данном веществе; коэффициент пропорциональности меньше единицы, так как не каждый электрон, поглотивший фотон, обязательно покинет металл; он может до вылета отдать избыток энергии соседним частицам.

Таким образом, фотоэффект получает полное объяснение, но с совершенно новой точки зрения.

Нужно отметить, что Эйнштейн не пользовался законом сохранения импульса. Вероятно, это связано с неясностью механизма взаимодействия электрона с металлом до вылета из последнего. Но следует указать, что импульс фотона, например, при частоте  $\nu \approx 5 \cdot 10^{14}$  Гц равен:

$$p = \frac{h\nu}{c} \approx 10^{-27} \frac{\text{КГ} \cdot \text{М}}{\text{С}}.$$

Импульс вылетевшего электрона (при запирающем напряжении  $U_3 = 1\text{В}$ ) достигает значения:

$$p_e = \sqrt{2emU_3} = 5 \cdot 10^{-25} \frac{\text{КГ} \cdot \text{М}}{\text{С}},$$

что на два-три порядка превышает импульс фотона.

Поэтому явления, доказывающие приложимость обоих законов сохранения к процессу взаимодействия двух микрочастиц, в теоретическом отношении очень важны (см. «Эффект Комптона», § 9.5).

Так как вероятность последовательного поглощения двух фотонов одним и тем же электроном весьма мала, то в первом приближении с таким явлением можно не считаться.

Явление испускания электронов поверхностью металлов под действием света часто называют *внешним* фотоэффектом в отличие от *внутреннего* фотоэффекта, наблюдаемого в полупроводниках и диэлектриках под действием поглощенного света. При внутреннем фотоэффекте электроны увеличивают свою энергию, приобретая возможность участвовать в создании тока, например, в полупроводнике, но не выходят при этом из полупроводника наружу.

Квантовый характер этого (более сложного) процесса также выявляется вполне отчетливо.

Если частота света мала, то при его поглощении фотоэффект не возникает, но вещество нагревается – растет его внутренняя энергия; нагревание вещества имеет место и при фотоэффекте.

## 9.2. ПРИМЕНЕНИЕ ФОТОЭФФЕКТА

Преобразование энергии фотонов в энергию электрического тока при фотоэффекте с последующим усилением и преобразованием электронного потока в электрических и магнитных полях открывает широкие возможности для разнообразных применений фотоэф-

факта. Одним из основных применений внешнего фотоэффекта является его использование в таких приемниках света, как фотоэлемент и фотоэлектронный умножитель (ФЭУ). Схема фотоэлемента приведена на рис. 9.4.

В вакуумированной стеклянной колбе располагается фотокатод  $K$ , имеющий форму полусферы, и кольцообразный анод  $A$ , помещенный в центре этой полусферы. При освещении светом фотокатода из последнего вырываются электроны, которые, двигаясь в электрическом поле, фокусируются на аноде, создавая фототок, вполне доступный для измерения. Для увеличения фототока пространство между фотокатодом и анодом иногда заполняют газом. Тогда при соответствующих значениях напряженности поля внутри фотоэлемента можно добиться эффекта ударной ионизации молекул газа ускоряющимися электронами, что приводит к увеличению фототока в десятки раз. Однако в этом случае утрачивается безынерционность, так что газополные фотоэлементы применяются только при медленно меняющихся световых потоках.

Чувствительность современных фотоэлементов составляет  $\approx 10^{-5}$  А/лм.

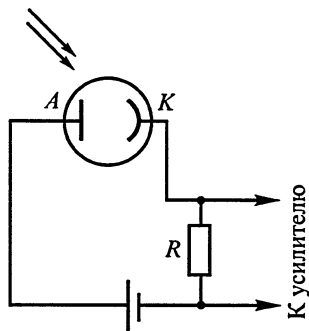


Рис. 9.4

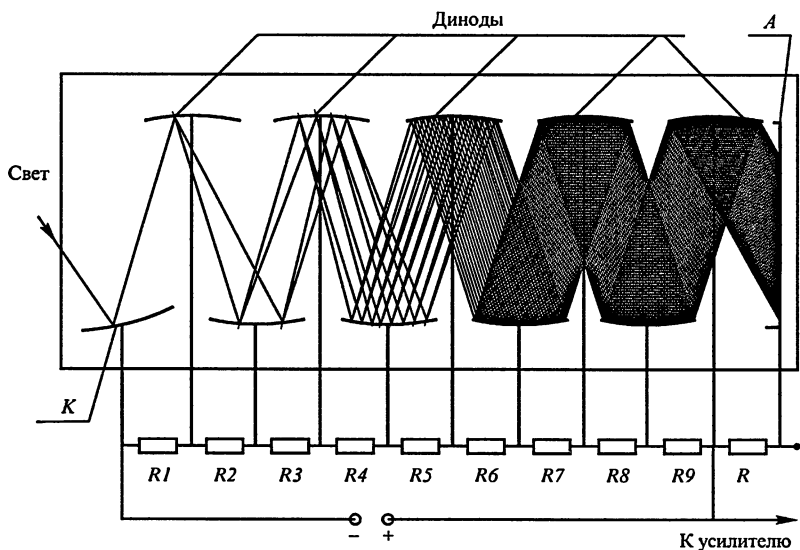


Рис. 9.5



Гораздо большими возможностями с точки зрения регистрации слабых световых потоков обладают фотоэлектронные умножители. Схема ФЭУ представлена на рис. 9.5. Отличительной чертой ФЭУ является наличие в его вакуумированной колбе дополнительных электродов, так называемых *динодов*, число которых может доходить до 15–16. Между парой соседних динодов прикладывается ускоряющее напряжение около 200 В. Этого оказывается достаточно, чтобы электрон после ускорения в этом поле, ударившись о поверхность соответствующего динода, выбил из него 3–4 новых, вторичных, электрона. Нетрудно понять, что фотон, выбивший из фотокатода один электрон, создаст около анода ФЭУ целую лавину электронов. Отношение числа электронов на «выходе» ФЭУ (на аноде *A*) к числу электронов на его «входе» (на первом диноде) характеризуется *коэффициентом умножения* *M*, значение которого в современных ФЭУ достигает  $10^9 - 10^{11}$ .

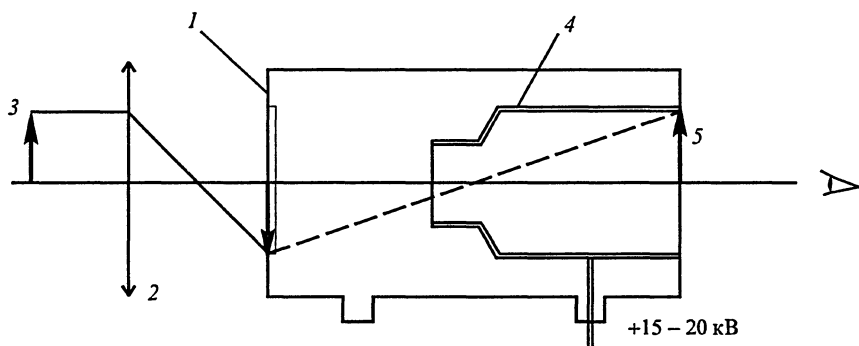


Рис. 9.6

Чувствительность ФЭУ сравнима с чувствительностью человеческого глаза. В режиме счетчика фотонов ФЭУ может регистри-



**Рентген Вильгельм Конрад (1845–1923)**, немецкий физик. В 1895 г. открыл электромагнитное излучение с длиной волны около  $10^{-10}$  м. Впоследствии эти волны стали называть рентгеновскими. Изобрел трубку для получения рентгеновских лучей, первым сделал фотографию при помощи рентгеновских лучей. Рентгену в 1901 г. первому среди физиков была присуждена Нобелевская премия.

ровать отдельные фотоны. Таким образом, ФЭУ является таким физическим устройством, которое преобразует микроскопическое событие – взаимодействие фотона с металлом – в макроскопическое явление – прохождение импульса тока в электрической цепи, доступное регистрации наблюдателем.

К числу приборов, основанных на внешнем фотоэффекте, обеспечивающих наблюдение микроявления на макроуровне, относится также электронно-оптический преобразователь (ЭОП). Схема ЭОП приведена на рис. 9.6. На переднем торце вакуумированной цилиндрической стеклянной колбы располагается фотокатод 1. Диаметр фотокатода не превышает нескольких сантиметров. На поверхность фотокатода с помощью оптической линзы 2 фокусируется изображение объекта 3. Под действием света из фотокатода выбиваются электроны, которые под действием системы электродов 4 внутри ЭОП, играющей роль электронной линзы, формируют на люминесцирующем экране изображение предмета 5. Электроны, ускоряемые разностью потенциалов между электродами линзы ЭОП, приобретают значительную энергию, ударяются в люминесцирующий экран, вследствие чего возникает интенсивное свечение его люминофора. Отношение светового потока, излучаемого на «выходе» ЭОП, к световому потоку, падающему от объекта на фотокатод, называется *коэффициентом преобразования ЭОП*. Значение коэффициента преобразования современных ЭОП достигает  $10^6$  и более.

Кроме усиления оптического изображения, ЭОП может выполнить преобразование изображения из одного спектрального диапазона в другой. В частности, с его помощью удается увидеть «невидимые» изображения в ИК диапазоне.

Столь же широко, как внешний фотоэффект, для создания приборов, регистрирующих световые потоки, используется и внутренний фотоэффект. К числу наиболее распространенных устройств, принцип действия которых основан на внутреннем фотоэффекте, относятся фоторезистор, фотодиод, фототранзистор, кремниевые батареи и др.

### **9.3. РЕНТГЕНОВСКОЕ ИЗЛУЧЕНИЕ. ТОРМОЗНОЕ И ХАРАКТЕРИСТИЧЕСКОЕ ИЗЛУЧЕНИЯ И ИХ СПЕКТРЫ**

Рентгеновское излучение было впервые обнаружено Рентгеном в 1895 г. В настоящее время его получают в высоковакуумированных трубках с накаливаемым катодом 1, служащим источником электронов (рис. 9.7). На трубку подается высокое напряжение (десятки и

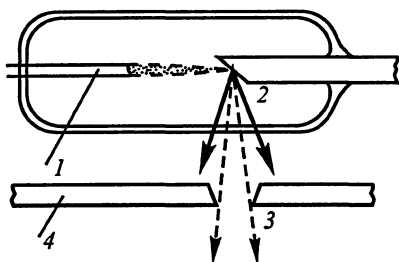


Рис. 9.7

сотни киловольт), ускоряющее электроны. Последние бомбардируют металлический анод 2, плоскость которого образует угол  $45^\circ$  с направлением движения электронов. Благодаря этому возникающее излучение свободно выходит из трубки и через отверстие 3 в защитном свинцовом экране 4 направляется на мишень.

Так как напряжение на трубке высокое, то она всегда работает в режиме насыщения. Для регулировки тока через трубку изменяют накал катода, т.е. число электронов, поступающих в трубку в единицу времени; при этом изменяется и интенсивность излучения трубки.

Диапазон частот рентгеновского излучения простирается от  $10^{17}$  до  $10^{19}$  Гц. Еще более высокие частоты, излучаемые при внутриатомных процессах, называют гамма-излучением (частоты от  $10^{19}$  до  $10^{23}$  Гц).

Источники рентгеновского и гамма-излучения являются также радиоактивные изотопы (см. гл. 12).

Рентгеновские лучи можно обнаружить при помощи люминесцирующего экрана по их ионизирующему действию на газы, по фотохимическому действию на фотопластинку. Электромагнитная природа рентгеновского излучения не вызвала сомнений у исследователей. Однако доказательство их волновых свойств было нелегкой задачей, так как для столь коротких волн обычные дифракционные решетки были слишком грубы (и наблюдать дифракцию рентгеновских лучей при помощи обычной решетки удалось лишь в 1926 г.). Но в 1912 г. Лауэ пришел к мысли, что закономерно расположенные в кристалле атомы вещества могут играть роль дифракционной решетки для рентгеновских волн. Действительно, при пропускании

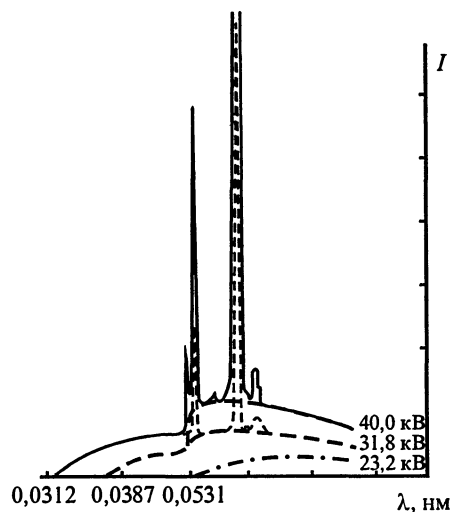


Рис. 9.8

рентгеновских волн. Действительно, при пропускании

узкого пучка рентгеновских лучей через кристалл был обнаружен прямой неотклоненный пучок и боковые (дифрагировавшие) пучки. Их расположение менялось при замене одного кристалла другим. Дифракция рентгеновских лучей на кристаллической решетке была рассмотрена в § 4.5.

На базе открытия Лауэ основан рентгеноструктурный анализ – основной метод изучения кристаллической структуры вещества.

Спектр излучения рентгеновской трубки показан на рис. 9.8. При сравнительно низких напряжениях спектр сплошной, причем его коротковолновая граница очерчена очень резко, а длинноволновая асимптотически спадает до нуля. При повышении напряжения интенсивность излучения растет, резкая граница смещается в сторону коротких волн. Начиная с некоторого напряжения, характерного для металла анода, на фоне сплошного спектра появляются резко выраженные линии; их интенсивность в тысячи раз превосходит интенсивность сплошного спектра. Возникновение сплошного рентгеновского спектра классическая электродинамика объясняет как результат торможения электронов в поле кристаллической решетки анода. При этом часть кинетической энергии электрона переходит в энергию излучения. Большая же часть энергии идет на нагревание анода, поэтому иногда нуждающегося в искусственном охлаждении. Существование высокочастотной границы излучения («фиолетовой») с классической точки зрения непонятно. Если же стать на фотонную точку зрения, трудности объяснения отпадают: каждый электрон при торможении рождает один фотон. При полном переходе энергии электрона в энергию излучения должен рождаться фотон с наибольшей частотой, определяемой уравнением

$$eU = h\nu_{\max},$$

что и соответствует действительности.

Появление характеристического излучения также объясняется с фотонной точки зрения: в этом случае отдельный электрон взаимодействует с электронной оболочкой отдельного атома, вырывая из нее один из внутренних электронов (см. § 11.2). При восстановлении начального состояния атом отдает энергию вполне определенного значения, которому отвечает фотон определенной частоты. Увеличение интенсивности излучения при увеличении тока через трубку, естественно, объясняется возрастанием числа электронов, ежесекундно достигающих анода.

Квантовые свойства рентгеновского излучения отчетливо проявляются в классическом опыте Боте (1925), который теперь легко демонстрируется на лекциях.

Очень слабый пучок рентгеновских лучей рассеивается фольгой; два счетчика, расположенные симметрично относительно фольги, регистрируют рассеянное излучение. Оказывается, что моменты регистрации излучения обоими счетчиками не совпадают друг с другом; следовательно, акты рассеяния не имеют волнового характера (волна должна была бы рассеиваться во все стороны одновременно).

Так как рентгеновские лучи вызывают фотоэффект и способны создавать ионизацию газа, то для их регистрации можно применить оба эти явления. Для измерения интенсивности применяются ионизационные камеры, т.е. цилиндрические конденсаторы (рис. 9.9), подключенные последовательно с измерителем тока к источнику постоянного напряжения. Эти камеры работают в режиме насыщения (участок 1 на вольт-амперной характеристике, рис. 9.10). Излучение поступает через прозрачную для лучей стенку камеры (или окошко в непрозрачной стенке). В известных пределах сила тока насыщения пропорциональна интенсивности излучения.

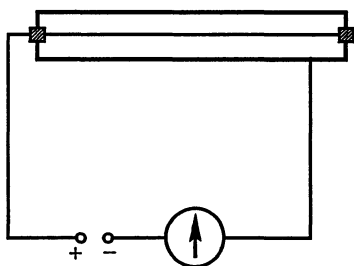


Рис. 9.9

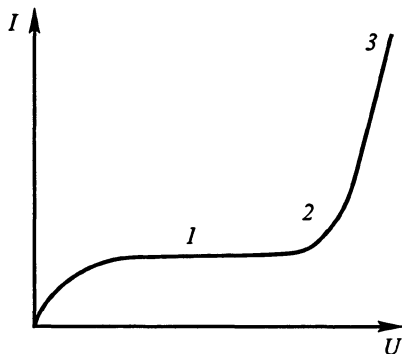


Рис. 9.10

При повышении напряжения возникает ударная ионизация (см. «Электродинамику», § 3.2), причем имеется участок 2, где сила тока пропорциональна начальному числу образовавшихся ионов, а усиление достигает столь больших значений, что можно регистрировать попадание отдельных частиц и отличать их по силе тока (например, можно отличить  $\alpha$ -частицу от рентгеновского фотона). Камера, работающая в таком режиме, называется *пропорциональным счетчиком*.

Наконец, при еще большем напряжении (участок 3) возникает самостоятельный разряд, используемый в счетчике Гейгера. Последовательно с этим счетчиком  $G$  включен резистор  $R$ , имеющий большое (несколько мегаом) сопротивление (рис. 9.11). Централь-

ный проводник сделан тонким, так что поле около него велико, и газ, заполняющий счетчик, находится в условиях, при которых возможно возникновение самостоятельного разряда. При влечении в счетчик заряженной частицы или фотона, способного создать ионизацию, электроны, летя к центральному электроду, создают самостоятельный разряд, ускоряясь в сильном поле. При этом ток резко возрастает и импульс напряжения с резистора поступает в осциллограф или другое регистрирующее устройство. Так как при этом напряжение на конденсаторе соответственно уменьшается, то разряд прекращается и счетчик снова готов к регистрации следующей частицы. Счетчиком Гейгера можно регистрировать быстро следующие друг за другом ионизирующие частицы, но отличить их друг от друга невозможно.

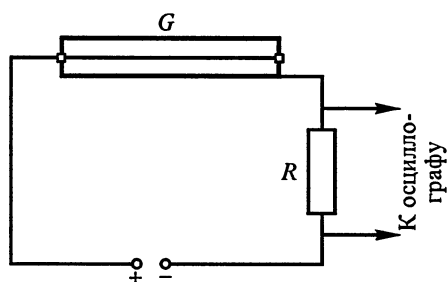


Рис. 9.11

Наконец, если рентгеновские фотоны столь энергичны, что могут создать в среде электроны, движущиеся со скоростью, превышающей скорость света в данной среде, возникает эффект Черенкова (см. § 8.4), и регистрация излучения этих быстрых электронов позволяет судить о направлении скорости приходящих в счетчик фотонов.

Поглощение рентгеновских лучей при прохождении через вещество описывается следующим законом поглощения:

$$I_x = I_0 \exp(-kx),$$

где  $I_0$  – интенсивность на поверхности,  $I_x$  – интенсивность на глубине  $x$ ,  $k$  – коэффициент поглощения. Этот коэффициент определяется двумя факторами: истинным поглощением и рассеянием – и может быть представлен суммой двух коэффициентов:

$$k = k_n + k_p.$$

Первый коэффициент определяет истинное поглощение, проявляющееся при относительно длинных волнах («мягкие лучи»). Он растет с увеличением плотности и атомного номера поглощающих

атомов. Поэтому атомы, находящиеся в конце периодической системы Менделеева, образующие вещество достаточно большой плотности (например, свинец), должны сильно поглощать рентгеновское излучение. Это подтверждается опытом с линзой, сделанной из стекла, содержащего свинец; она совершенно непрозрачна для рентгеновских лучей, хотя хорошо пропускает видимое излучение.

Второй коэффициент определяет рассеяние лучей (с изменением длины волны) и заметен при коротких волнах («жесткие лучи»). От атомного номера он не зависит.

Весьма примечательно, что эти эффекты являются атомными, так что при рассеянии рентгеновского излучения в молекулярной среде молекулярный коэффициент поглощения равен сумме атомных коэффициентов атомов, образующих молекулу.

При изучении биологического действия рентгеновских лучей вводится специальная дозировка их по энергии.

Сложные приборы, позволяющие регистрировать рентгеновское излучение от удаленных космических объектов (рентгеновские телескопы), устанавливаются на космических кораблях (атмосфера поглощает и рассеивает это излучение) и дают ценные сведения о строении Вселенной. Различие в поглощении рентгеновского излучения средами неодинаковой плотности находит широкие общеизвестные применения в медицине и дефектоскопии.

## 9.4. ДАВЛЕНИЕ СВЕТА

Электромагнитная теория света, созданная Максвеллом, предсказала, что электромагнитные волны, падающие на преграду, должны оказывать на нее давление. Такое действие света

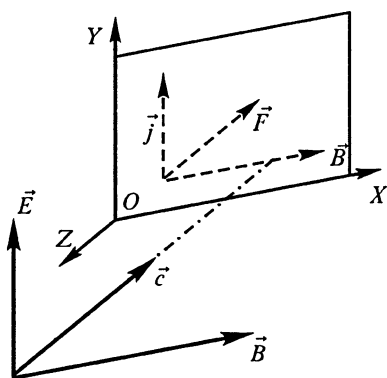


Рис. 9.12

объясняется поперечностью электромагнитной волны. Если в веществе преграды имеются электроны проводимости, то под действием электрического поля падающей волны в нем возникают микроскопические токи, на которые со стороны магнитного поля волны будет действовать сила Лоренца. Как видно из рис. 9.12, направление силы Лоренца  $\vec{F}$ , действующей на электроны, совпадает с направлением распространения падающей волны.

Максвелл нашел, что при нормальном падении плоской монохроматической электромагнитной волны на плоскую преграду с коэффициентом отражения  $R$  световое давление

$$p = \frac{I}{c}(1 + R), \quad (9.5)$$

где  $I$  – интенсивность,  $c$  – скорость света в вакууме.

Вывод теории Максвелла о существовании светового давления имел принципиальное значение в обосновании теории близкодействия, так как доказывал возможность переноса электромагнитными волнами импульса между взаимодействующими телами и, следовательно, объяснял природу взаимодействия с полевой точки зрения. Доказательство давления света на опыте являлось одной из сложнейших задач экспериментальной физики. Первые попытки измерения светового давления были предприняты задолго до работ Максвелла. Так, в 1754 г. французские экспериментаторы де Мэран и Дюфей сделали безуспешную попытку измерения давления света, столкнувшись с непреодолимыми в то время трудностями. Конвекция воздуха, возникающая от нагревания его лучами света, приводила к такому сильному воздействию на чувствительную часть прибора, прикрепленную к крутильным весам, что зафиксировать световое давление было невозможно. В 1825 г. О.Френель повторил попытки измерения давления света и тоже потерпел неудачу.

В 1874 г. английский физик В.Крукс впервые попытался устранить помехи, связанные с конвекцией воздуха, за счет создания вакуума в сосуде, где располагались чувствительные поверхности экспериментального прибора, выполненные в виде тонких крылышек из металлической фольги, размещенных на вертикальной оси вращения. Каждое крылышко с одной стороны имело зеркальную поверхность, с другой стороны поверхность крылышка была зачернена. В процессе эксперимента выяснилось, что вследствие разности температур между зачерненной и зеркальной поверхностями создается разность давлений, значительно превосходящая разность давлений света на эти поверхности. Силы, возникающие из-за неравенства температур различных поверхностей крылышек, получили название радиометрических, а прибор, с помощью которого был обнаружен радиометрический эффект, с тех пор называется радиометром Крукса. В 1877 г. немецкий физик Ф.Цельнер повторил опыты Крукса и установил, что радиометрические силы в сотни тысяч раз превышают силы светового давления.

Действительно, световое давление чрезвычайно мало. Так, интенсивность солнечного излучения у границы атмосферы Земли



равна  $1400 \text{ Вт/м}^2$  и соответствующее световое давление (при  $R = 0,5$ ) составляет  $7 \cdot 10^{-5} \text{ Па}$ , что в  $10^{10}$  раз меньше атмосферного давления.

Для экспериментального обнаружения давления света нужно было исключить действие конвекционных и радиометрических сил. Впервые это удалось сделать русскому физику П.Н.Лебедеву в 1899 г.

Для уменьшения эффекта конвекции воздуха Лебедев использовал более глубокий вакуум, чем его предшественники, сравнительно большой по объему стеклянный баллон, где размещались крылышки, стенки которого не поглощали падающие световые лучи, что достигалось использованием специального светофильтра, задерживающего свет. Кроме того, Лебедев учел, что конвекционные силы образуются от восходящих потоков воздуха в баллоне. Следовательно, при наклонном положении плоскости крылышек они будут складываться с силой светового давления, когда действие света совпадает с действием конвекционных сил, и вычитаться, если действие света противоположно действию этих сил. Поэтому, измеряя отклонение измерительной части прибора в двух этих случаях и

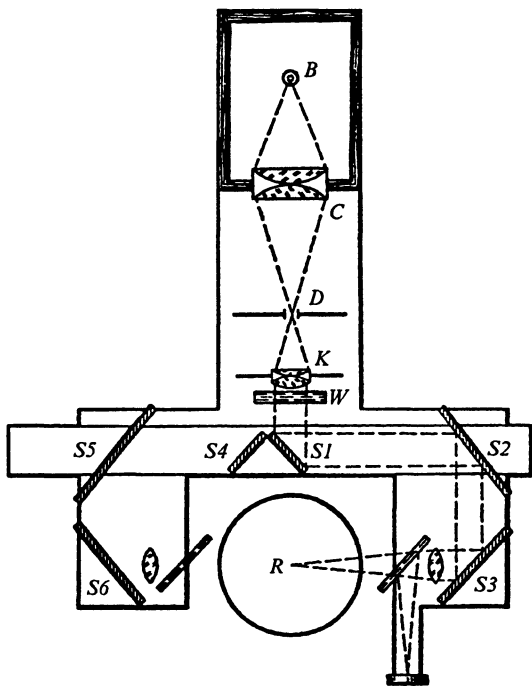


Рис. 9.13

складывая полученные результаты, можно полностью исключить действие конвекционных сил.

Радиометрические силы в опытах Лебедева были сведены до минимума светофильтрами, поглощающими инфракрасную составляющую падающего света, а также за счет создания высокого вакуума и применения крылышек измерительного механизма из весьма тонкой фольги, что обеспечивало равенство температуры по обеим сторонам крылышек. П.Н.Лебедеву благодаря использованию методов диффузии и «вымораживания» удалось достигнуть давления в стеклянном баллоне, где размещалась чувствительная часть прибора, равного 0,0001 мм рт. ст., что на два порядка было меньше давления в опытах Крукса. Для измерения давления Лебедев использовал манометр Мак-Леода – Кальбаума, впервые описанный авторами в 1895 г. Схема экспериментальной установки Лебедева для измерения давления света на твердые тела приведена на рис. 9.13.

Свет от электрической дуги *B* через конденсор *C*, диафрагму *D*, коллиматор *K*, ИК-фильтр *W* и систему зеркал *S* падал на чувствительную часть прибора *R*, представляющую собой набор крылышек, подвешенных на кварцевой нити и коромысле.

Крылышки выполнялись из различного материала: платины, алюминия, никеля и слюды. Лебедев применял крылышки различной толщины, что позволило ему оценить отклонение при отсутствии радиометрических сил, когда толщина крылышек стремилась к нулю. Измеренная таким образом сила светового давления оказалась равной  $2,58 \cdot 10^{-10}$  Н.

Позже (в 1907 г.) П.Н.Лебедев провел серию экспериментов, доказавших существование давления света и на газы.

Несмотря на малость светового давления, с ним приходится считаться по крайней мере в трех случаях:

1. Сила гравитационного взаимодействия частицы радиусом  $r$  с другими телами пропорциональна кубу радиуса. Сила светового

---

Лебедев Пётр Николаевич (1866–1912), русский физик. В 1895 г. получил электромагнитные волны миллиметрового диапазона. В 1899 г. экспериментально доказал существование давления света на твердые тела, а в 1907 г. – на газы. Исследовал природу межмолекулярных взаимодействий. Объяснил происхождение кометных хвостов давлением света.



давления на такую частицу пропорциональна квадрату радиуса. Поэтому при достаточно малом радиусе сила светового давления может сравняться с силой гравитационного взаимодействия. Тот факт, что кометные хвосты всегда отклонены от Солнца, позволяет думать, что одной из причин этого является световое давление.

2. Внутри горячих звезд существуют весьма высокие температуры (миллионы кельвин) и соответствующие им громадные интенсивности излучения. Световое давление, препятствуя сжатию звезды под действием гравитационных сил, играет большую роль в эволюции горячих звезд.

3. Неравномерное освещение поверхности искусственных спутников приводит в некоторых случаях к возникновению нежелательных вращающих моментов, что приходится учитывать при расчете условий полета космических аппаратов.

В заключение отметим, что, как показал в конце XIX в. русский физик А. И. Садовский, свет, поляризованный по кругу, должен обладать некоторым моментом механического импульса и, следовательно, вращать преграду, поставленную на его пути, в ее плоскости. Этот эффект был измерен на опыте только в середине XX в.

Существование светового давления при рассмотрении его с фотонной точки зрения вынуждает учесть импульс каждого фотона. Так как он движется со скоростью  $c$ , то его импульс равен:

$$p = \frac{h\nu}{c}. \quad (9.6)$$

Если коэффициент отражения энергии преградой равен  $R$ , а число фотонов, падающих на единицу поверхности преграды, при интенсивности света  $I$  равно:

$$N = \frac{I}{h\nu},$$

то из них поглотится  $(1 - R) N$  фотонов и отразится  $RN$  фотонов.

Изменение импульса фотона при отражении равно  $2p$ , а при поглощении  $-p$ . Поэтому полное давление света равно:

$$\frac{I}{c}(2R + 1 - R) = \frac{I}{c}(1 + R),$$

что совпадает с (9.5).

Высокая когерентность излучения современных лазеров позволяет концентрировать его в пучки с очень малым сечением, где развивается громадное давление (гл. 11).

## 9.5. ЭФФЕКТ КОМПТОНА

В «Механике» было доказано, что фотон не может быть поглощен свободным электроном, так как такой процесс несовместим с законами сохранения энергии и импульса. По той же причине невозможно и излучение фотона свободным электроном. Действительно, выберем инерциальную систему координат, связанную с электроном. В ней электрон обладает только собственной энергией  $E = m_0 c^2$ , где  $m_0$  – масса покоя электрона. Если бы произошло излучение фотона, то собственная энергия электрона должна была бы уменьшиться, т.е. должно было бы произойти превращение электрона в какую-то новую частицу. Но пока подобные превращения физике неизвестны.

Если же электрон движется с ускорением, т.е. взаимодействует с какими-то физическими объектами, то он излучает. Это излучение хорошо известно как для электронов, движущихся в металле – на этом основана вся радиотехника, так и для быстрых электронных пучков в современных ускорителях.

Однако все эти факты, как и рассмотренные выше экспериментальные данные о фотоэффекте, люминесценции, фотохимических реакциях, показывают, что взаимодействие света с веществом происходит путем обмена энергией; наличие светового давления свидетельствует об обмене импульсом. При этом проявляются квантовые свойства света, так что можно утверждать, что взаимодействие осуществляют фотоны, имеющие энергию  $E = h\nu$ , импульс  $p = \frac{h\nu}{c}$ , нулевой заряд и массу  $m = \frac{h\nu}{c^2}$  ( $c$  – скорость фотона). Однако прямого доказательства, что в каждом элементарном акте взаимодействия единичного фотона с единичным атомом или электроном выполняются законы сохранения импульса и энергии, эти опыты не дают.

Прямое доказательство было получено А.Комптоном (1892–1962), обнаружившим в 1925 г. эффект, носящий ныне его имя. Комптон показал, что при рассеянии рентгеновских лучей ( $\nu = 3 \cdot 10^{16}$  Гц) на электронах, очень слабо связанных с ядрами атомов (практически свободных), происходит следующее: наряду с прошедшим через слой вещества неотклоненным пучком рентгеновских лучей, ослабленным, но сохранившим неизменную длину волны, наблюдается рассеяние рентгеновских лучей на разные углы. Это рассеяние сопровождается увеличением длины волны, происходящим по закону

$$\Delta\lambda = 2,42 \cdot 10^{-12} (1 - \cos \gamma), \quad (9.7)$$

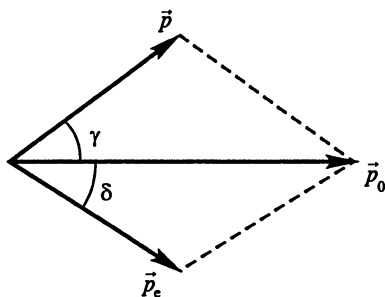


Рис. 9.14

где  $\gamma$  – угол рассеяния (рис. 9.14). Одновременно наблюдаются электроны отдачи, летящие под разными углами и имеющие импульсы, зависящие от угла рассеяния электронов  $\delta$ . Весьма удивительно, что изменение длины волны не зависит от первоначальной длины волны. Доля фотонов, рассеянных под углом  $\gamma$ , и доля электронов, рассеянных под соответствующим

углом  $\delta$ , одинаковы.

В этом эффекте совершенно ясно выявляется применимость законов сохранения энергии и импульса к элементарным процессам. Действительно, фотоны, не испытавшие взаимодействия с электронами, проходят через вещество, не изменяя направления движения и сохраняя импульс и энергию, следовательно, не меняется и их частота. Примем далее, что взаимодействие фотона частотой  $\nu_0$  с электроном, имеющим практически нулевую скорость и массу  $m_e$ , подчиняется законам упругого соударения. Пусть фотон рассеян на угол  $\gamma$ , электрон – на угол  $\delta$  (см. рис. 9.14, где  $p_0 = \frac{h\nu_0}{c}$ ,

$$p = \frac{h\nu}{c}, \quad p_e = \frac{m_e v}{\sqrt{1 - \frac{v^2}{c^2}}}. \text{ Применяя законы сохранения импульса и}$$

энергии, получаем два уравнения:

$$\frac{m_e^2 v^2}{1 - \left(\frac{v}{c}\right)^2} = \left(\frac{h\nu_0}{c}\right)^2 + \left(\frac{h\nu}{c}\right)^2 - 2\frac{h\nu h\nu_0}{c^2} \cos \gamma,$$

$$h\nu_0 + m_e c^2 = h\nu + \frac{m_e c^2}{\sqrt{1 - \left(\frac{v}{c}\right)^2}},$$

где  $v$  – скорость электрона. Зададим угол рассеяния фотона  $\gamma$ . Тогда в этих уравнениях останется два неизвестных ( $\nu$  и  $v$ ), их можно определить. Получается:

$$v_0 - v = \frac{h}{m_e c^2} v_0 v (1 - \cos \gamma).$$

Умножая на  $\frac{c}{vv_0}$  и замечая, что

$$\frac{c}{v_0} = \lambda_0, \quad \frac{c}{v} = \lambda,$$

находим окончательно:

$$\Delta \lambda = \lambda - \lambda_0 = \frac{h}{m_e c} (1 - \cos \gamma) = 2,42 \cdot 10^{-12} (1 - \cos \gamma) \text{ м.} \quad (9.8)$$

Далее можно определить скорость электрона, а из нижнего треугольника (см. рис. 9.13) получить уравнение для определения угла рассеяния электрона  $\delta$ . Опыт подтверждает все теоретические предсказания.

Величина  $\Lambda = \frac{h}{m_e c} = 2,42 \cdot 10^{-12} \text{ м}$  называется *комптоновской длиной волны*. Так как она очень мала, то эффект Комптона удается наблюдать только для рентгеновского или  $\gamma$ -излучения.

## 9.6. ТЕПЛОВОЕ ИЗЛУЧЕНИЕ. ЗАКОН КИРХГОФА

Как известно из опыта, любое твердое тело при температуре  $T$  излучает в окружающее пространство электромагнитные волны. Такое излучение, называемое *тепловым*, происходит за счет внутренней энергии тела и имеет сплошной спектр в отличие от *люминесценции* – излучения, происходящего под действием внешних источников энергии (см. гл. 11): оптических (фотолюминесценция), химических (хемилюминесценция), электрических (электролюминесценция), электронных (катодолюминесценция). Энергия излучения в спектрах распределена по частотным интервалам различно (в зависимости от свойств излучающего тела).

Замкнутая система тел, обменивающихся между собой энергией в виде теплового излучения, через некоторое время приходит в состояние температурного или теплового равновесия. Представим себе некоторое тело  $A$ , расположенное в полости другого тела  $B$  (рис. 9.15); эти тела обмениваются друг с другом излучением. Если их температуры  $T_A$  и  $T_B$  были вначале различны, то через некоторое время они сравняются. Значение равновесной температуры обозначим через  $T$ . Предположим, что в стенках полости имеется

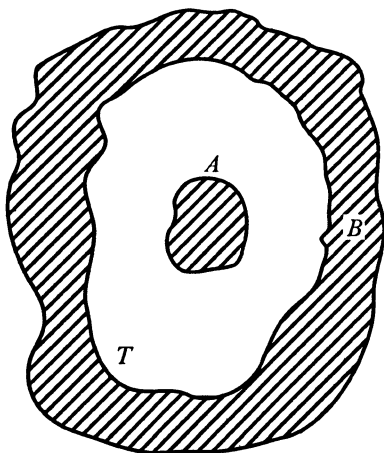


Рис. 9.15

небольшое отверстие площадью  $dS$ , наличие которого практически не влияет на общий энергетический баланс между взаимодействующими телами. Тогда, наблюдая излучение из отверстия, можно исследовать свойства теплового равновесного излучения. Для определенности описания теплового излучения введем ряд понятий.

Величину, определяемую энергией поля излучения в единичном объеме свободного пространства внутри полости в интервале частот  $(\nu, \nu + d\nu)$ , назовем *объемной плотностью энергии* излучения  $\rho(\nu, T) d\nu$ .

Величину, определяемую энергией, испускаемой с единичной площади отверстия в стенке в единичном интервале частот около частоты  $\nu$ , будем называть *поверхностной плотностью энергии излучения*  $\epsilon(\nu, T)$ . Можно показать, что

$$\epsilon(\nu, T) = \frac{\rho c}{4}. \quad (9.9)$$

Аналогичная величина, характеризующая излучение поверхности тела с температурой  $T$ , называется *лучеиспускательной способностью* тела  $e(\nu, T)$ .

Введем также безразмерный коэффициент  $a(\nu, T)$ , равный отношению мощности излучения, поглощаемой элементом поверхности тела, находящегося в полости, к падающей на него мощности; его называют *поглощательной способностью* тела. Для отверстия в стенках, очевидно,  $a(\nu, T) = 0$ .

Если существует тепловое равновесие между полем и веществом при некоторой температуре  $T$ , то мощности излучения, проходящие через каждую элементарную площадку поверхности тел от поля к веществу и в обратном направлении, должны быть одинаковыми. Мощность излучения, проходящая от поля к веществу через единичную площадку в диапазоне частот  $d\nu$  около частоты  $\nu$ , равна  $\epsilon(\nu, T) d\nu$ ; мощность излучения, проходящая в обратном направлении, представляет сумму отраженной мощности  $[1 - a(\nu, T)] d\nu \times \epsilon(\nu, T)$  и мощности, излученной телом  $e(\nu, T) d\nu$ . Таким образом, при равновесии

$$\varepsilon(\nu, T) d\nu = [1 - a(\nu, T)] d\nu \varepsilon(\nu, T) + e(\nu, T) d\nu. \quad (9.10)$$

Равенство (9.10) является не чем иным, как выражением закона сохранения энергии для теплового равновесия. Из (9.10) следует, что

$$\frac{e(\nu, T)}{a(\nu, T)} = \frac{\varepsilon(\nu, T)}{1}. \quad (9.11)$$

Отношение лучеиспускательной способности к поглощательной способности для любого тела, находящегося в равновесии с излучением при температуре  $T$ , является величиной постоянной. Это утверждение выражает содержание закона Кирхгофа.

Мы не налагали никаких ограничений на свойства тела, находящегося в полости. Следовательно, уравнение (9.11) имеет общий характер.

Из (9.11) видно, что величину  $\varepsilon(\nu, T)$  можно рассматривать как лучеиспускательную способность такого тела, у которого поглощательная способность  $a(\nu, T)$  для всех частот равна единице. Такое тело называют *абсолютно черным*. Поэтому излучение из небольшого отверстия в стенках полости при тепловом равновесии можно рассматривать как излучение абсолютно черного тела. В то же время ясно, что внешнее излучение, попадающее через такое отверстие внутрь полости, имеет ничтожно малую вероятность выйти обратно, т.е. полость обладает полным поглощением, как это и должно быть у абсолютно черного тела.

Опыт показывает, что небольшое отверстие в стенке, например, муфельной печи при комнатной температуре кажется черным, так как полость, поглощая все попадающее в нее излучение, почти не излучает, будучи холодной. Но при нагреве стенок печи отверстие кажется ярко светящимся, так как поток «черного» излучения, выходящий из него при высокой температуре (900 К и выше), достаточно интенсивен. По мере роста температуры интенсивность растет; кроме того, красное вначале излучение делается желтым, а затем белым.

Если в полости находится, например, чашка из белого фарфора с темным узором, то внутри горячей печи узор не будет заметен, так как его собственное излучение вместе с отраженным совпадает по составу с излучением, заполняющим полость. Если быстро вынести чашку наружу, в светлую комнату, то сначала темный узор светится ярче белого фона. После охлаждения собственное излучение чашки становится исчезающе малым, в свете, заполняющем комнату, снова получается темный узор на белом фоне.



Качественная проверка следствий из уравнения (9.11) может быть проведена при помощи полого кубика, имеющего тонкие металлические стенки; одна из граней отполирована, другая покрыта слоем сажи или черной краски. Кубик снабжен электрическим нагревателем и заполнен водой, температура воды поддерживается близкой к температуре кипения. Вблизи кубика расположен чувствительный термоэлемент с гальванометром.

Если обратиться к термоэлементу полированную грань, то термоэлемент нагревается едва заметно; нагрев резко увеличивается при обращении к термоэлементу черной грани. Далее, вблизи черной грани устанавливается термоэлемент из проволок, имеющих блестящую поверхность. Он нагревается не очень сильно. Если же проволоки зачернить, например покрыв слоем сажи, то нагрев резко возрастает. Описанные результаты соответствуют закону Кирхгофа: **большой поглотительной способности отвечает большая лучеиспускательная.**

## 9.7. ЗАКОНЫ ИЗЛУЧЕНИЯ АБСОЛЮТНО ЧЕРНОГО ТЕЛА. ФОРМУЛА ПЛАНКА

Из закона Кирхгофа видна важная роль лучеиспускательной способности абсолютно черного тела, характеризующей отношение  $\frac{e(\nu, T)}{a(\nu, T)}$  для любого тела независимо от его природы при теп-

ловом равновесии. Поэтому понятен интерес физиков к экспериментальному исследованию излучения абсолютно черного тела и теоретическому объяснению полученных результатов.

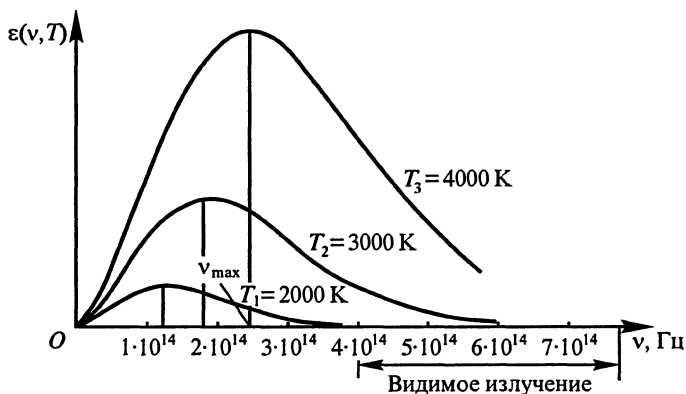


Рис. 9.16

**Планк Макс (1858–1947)**, немецкий физик. В 1900 г. ввел понятие кванта электромагнитного излучения, с помощью которого объяснил особенности излучения абсолютно черного тела. Ввел фундаментальную физическую постоянную –  $h$  (постоянную Планка). Известен работами в области теории относительности и термодинамики. За работы в области квантовой теории удостоен Нобелевской премии по физике (1918).



Кривые, характеризующие распределение энергии в спектре черного тела при нескольких температурах, показаны на рис. 9.16. Их характерные особенности таковы:

1. Мощность излучения (в интервале частот  $\nu, \nu + d\nu$ ) – монотонная функция частоты. Она имеет максимум вблизи некоторой частоты  $\nu_{\max}$ . Этот максимум при повышении температуры смещается в сторону высоких частот, причем выполняется *закон смещения*, теоретически найденный *Винном*:

$$\frac{\nu_{\max}}{T} = \beta, \text{ где } \beta = 5,88 \cdot 10^{10} \text{ с}^{-1} \cdot \text{К}^{-1}. \quad (9.12)$$

2. При повышении температуры мощность излучения в любом интервале частот увеличивается.

3. Плотность (поверхностная) потока излучения (интенсивность)  $I$ , характеризуемая площадью под кривой  $\epsilon(\nu, T)$ , растет с температурой по *закону*, найденному теоретически *Стефаном и Больцманом*:

$$I = \int_0^{\infty} \epsilon(\nu, T) d\nu = \sigma T^4, \quad (9.13)$$

где  $\sigma = 5,67 \cdot 10^{-9} \text{ Вт} \cdot \text{м}^{-2} \cdot \text{К}^{-4}$ .

Однако аналитическое выражение всей кривой теоретически получить не удалось, пока применялись методы классической физики, в частности пока предполагалось, что элементарные излучатели, совокупность которых соответствует черному телу, могут иметь любую энергию и излучают непрерывно.

В 1900 г. Планк получил сначала эмпирическое (на основании опытных данных) выражение для функции  $\epsilon(\nu, T)$ , затем это выражение, превосходно совпадающее с опытом, было им выведено теоретически. Но при этом Планку пришлось сделать допущения, в корне противоречившие классическим представлениям.

Ему пришлось допустить, что элементарные излучатели могут иметь лишь энергию, удовлетворяющую условию

$$W = h\nu n, \quad (9.14)$$

где  $h = 6,626 \cdot 10^{-34}$  Дж·с – постоянная Планка (уже встречавшаяся нам),  $n = 1, 2, \dots$ . Излучение также следовало считать не непрерывным, а дискретным, причем излучаемая порция энергии (квант света) равнялась:

$$E = h\nu. \quad (9.15)$$

При этих предположениях Планк получил следующее выражение:

$$\varepsilon(\nu, T) d\nu = \frac{2\pi\nu^2}{c^2} \frac{h\nu}{\exp(h\nu/kT) - 1} d\nu, \quad (9.16)$$

где  $k = 1,38 \cdot 10^{-23}$  Дж·К<sup>-1</sup> — постоянная Больцмана, одна из важнейших постоянных молекулярной физики.

Покажем, что формуле Планка удовлетворяют законы (9.12) и (9.13).

Введя переменную

$$\frac{h\nu}{kT} = x$$

и интегрируя по всем частотам, найдем интенсивность излучения:

$$I = \frac{2\pi k^4}{c^2 h^3} T^4 \int_0^{\infty} \frac{x^3 dx}{\exp(x) - 1} = \sigma T^4$$

(интеграл равен  $\frac{\pi^4}{15}$ ). Результат полностью согласуется с законом Стефана – Больцмана.

Найдем теперь максимум функции распределения. Беря производную подынтегральной функции и приравнявая ее нулю, находим:

$$\frac{x^2 \exp(x) \{3 - 3 \exp(-x) - x\}}{[\exp(x) - 1]^2} = 0.$$

Это уравнение имеет решения:

$$x_1 = 0, x_2 \rightarrow \infty, x_3 = 2,821.$$

Первое и второе решения дают минимум (нуль), третье же – максимум излучения:

$$\frac{h\nu_{\max}}{kT} = 2,821,$$

$$\frac{\nu_{\max}}{T} = 5,88 \cdot 10^{10} \text{ с}^{-1} \cdot \text{К}^{-1}, \quad (9.17)$$

что соответствует закону смещения Вина.

Работа Планка была первой работой, где появилась идея дискретности энергии излучения. Мы уже пользовались этой идеей при объяснении ряда явлений поглощения и рассеяния света веществом.

Следует отметить, что вместо функции  $\varepsilon(\nu, T)$  часто вводят функцию  $\varepsilon(\lambda, T)$  так, что  $\varepsilon(\nu, T) d\nu = \varepsilon(\lambda, T) d\lambda$ . Эти функции отличаются друг от друга. Так как между частотой  $\nu$  и длиной волны  $\lambda$  существует соотношение

$$\nu = \frac{c}{\lambda},$$

то спектральному интервалу частоты  $d\nu$  отвечает волновой интервал

$$|d\lambda| = \frac{\lambda^2}{c} |d\nu|.$$

Поэтому получается:

$$\varepsilon(\lambda, T) d\lambda = \frac{c}{\lambda^2} \varepsilon(\nu, T) d\lambda = \frac{2\pi ch}{\lambda^5} \frac{1}{\exp\left(\frac{hc}{kT\lambda}\right) - 1} d\lambda.$$

Ход функций  $\varepsilon(\lambda, T)$  и  $\varepsilon(\nu, T)$  неодинаков, но обе они имеют максимум. При этом закон смещения Вина принимает вид:

$$\lambda_{\max} T = \text{const} = 2,90 \cdot 10^{-3} \text{ м} \cdot \text{К}. \quad (9.18)$$

При этом  $\nu_{\max}$  и  $\lambda_{\max}$  не соответствуют друг другу:

$$\lambda_{\max} \neq \frac{c}{\nu_{\max}},$$

что объясняется различным видом кривых распределения мощности по частотам и по длинам волн.

Кривые  $\varepsilon(\lambda, T)$  для нескольких температур показаны на рис. 9.17.

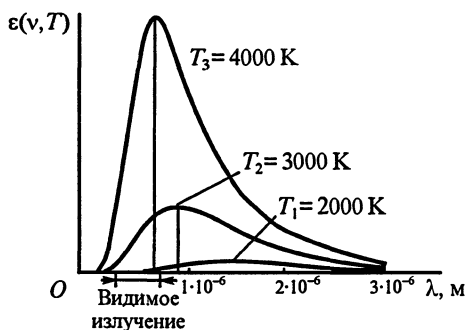


Рис. 9.17

Закон Планка достаточно сложен. Если рассматривать область малых частот

$$\frac{h\nu}{kT} \ll 1,$$

то получается приближенное соотношение

$$\varepsilon_1(\nu, T) d\nu = \frac{2\pi\nu^2}{c^2} kT d\nu, \quad (9.19)$$

называемое *формулой Рэля – Джинса*. Здесь постоянная Планка, отражающая дискретность излучения, отсутствует, так как при малых частотах фотонные свойства делаются малозаметными. Напротив, при больших частотах, когда

$$h\nu \gg kT,$$

получается приближенное выражение

$$\varepsilon_2(\nu, T) d\nu = \frac{2\pi h}{c^2} \nu^3 \exp\left(-\frac{h\nu}{kT}\right) d\nu, \quad (9.20)$$

называемое *формулой излучения Вина*. Здесь фотонные свойства проявляются отчетливо.

Нужно сказать, что закон смещения Вина и формулы излучения Вина и Рэля–Джинса были теоретически получены до завершения работы Планка, причем авторы исходили из предпосылок классической физики. В формуле Вина (9.20) показатель степени имел вид  $-A\frac{\nu}{T}$ , а константа  $A$ , как и значение множителя

$\frac{2\pi h}{c^2}$ , была определена из

опытных данных. Их квантовый характер, конечно, не был известен Вину.

Но обе формулы отвечали действительности лишь в ограниченных областях частот. Кроме того, из формулы (9.19) следует, что при неограниченном росте частоты неограниченно растет и функция  $\epsilon_1(\nu, T)$ , что невозможно, так как энергия любого тела конечна.

Формула Вина не вела к физически невозможным следствиям, но не отвечала опыту при малых частотах.

На рис. 9.18, где по обеим осям выбран логарифмический масштаб, кроме кривых Планка ( $\Pi$ ) для пяти температур, изображены также (для температуры  $10^5$  К) кривая Рэля – Джинса ( $P - Д$ ) и кривая Вина ( $B$ ). Сопоставление кривых показывает, что кривая Рэля – Джинса отражает действительность только при  $\nu < \nu_{\max}$ , а кривая Вина – лишь при высоких частотах  $\nu \geq \nu_{\max}$ , где она практически совпадает с кривой Планка. Логарифмический масштаб удобен для представления функции лучеиспускания в широком интервале частот и температур. В частности, хорошо видно, что максимум излучения приходится на диапазон видимого излучения лишь при достаточно высокой температуре (порядке  $10^4$  К). При комнатной же температуре (300 К) максимум соответствует низким, инфракрасным частотам (около  $10^{13}$  Гц). Бросается в глаза очень крутой спад кривой  $\epsilon(\nu, T)$  на частотах, превышающих  $\nu_{\max}$ .

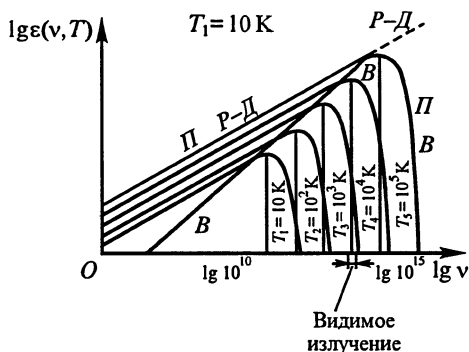


Рис. 9.18

## 9.8. ПРИЛОЖЕНИЯ ФОРМУЛЫ ПЛАНКА. ИСТОЧНИКИ СВЕТА. ПИРОМЕТРИЯ

Формула Планка поясняет, почему КПД источников света типа ламп накаливания оказывается очень малым. Реальные тела излучают хуже черных, но даже для черного тела при температурах порядка 1400 К (более сильные нагревы нитей накала невозможны из-за быстрого испарения металла нити) максимум излучения лежит в инфракрасной части спектра, а на видимую область приходится лишь малая доля полного излучения. Так, даже газополные лампы (наполнение газом препятствует испа-

рению нити) имеют КПД, не превышающий 3%, а у маломощных ламп он еще ниже.

Более выгодны люминесцентные источники (гл. 11), так как при люминесценции газов излучение сосредоточено в отдельных спектральных областях. Но при этом состав света отличается от состава привычного нам солнечного света (сплошной спектр с максимумом в его желто-зеленой части), и это ограничивает возможности применения, например, натриевых ламп, дающих не очень приятный желтый свет, но обладающих высоким КПД – до 30%.

В современных люминесцентных лампах применяется также преобразование света: электрический разряд вызывает свечение паров ртути, при этом максимум энергии излучения лежит в ультрафиолетовой области. Этот ультрафиолетовый свет вызывает люминесценцию порошка, покрывающего изнутри стенки лампы. Состав порошка можно подобрать так, что его суммарная люминесценция будет близка по составу излучения к солнечному спектру, почему такие лампы и называют *лампами дневного света*. КПД таких ламп доходит до 8%, что значительно лучше, чем у ламп накаливания.

Другим применением законов излучения является *пирометрия* – оптические методы измерения высоких (1500 К и выше) температур без контакта с исследуемым телом.

Широко распространенный метод таков: пусть на пути излучения черного тела с температурой  $T_x$  поставлено черное тело меньшей температуры  $T$  (практически на пути лучей от источника ставят нить лампы накаливания). Согласно закону Кирхгофа (конечно, он применим лишь приближенно, так как металл не вполне является черным телом) нить в проходящем свете будет казаться темной. Если повышать температуру нити, то контрастность тени уменьшается и при равенстве температур изображение нити практически исчезает. Если же еще повысить температуру нити, то она будет казаться яркой на фоне излучения изучаемого объекта. Так как можно проградуировать прибор, связав силу тока, проходящего через нить, с температурой нити, то получается удобный способ измерения высоких температур. Отклонения от свойств черного тела требуют введения ряда уточнений и вспомогательных понятий – мы не будем ими заниматься.

Хороший пример использования законов излучения черного тела – оценка поверхностной температуры Солнца. Солнце вполне можно считать черным телом, так как падающий на него свет проникает в глубинные слои, почти не испытывая отражения (плотность слоев меняется медленно). Область максимального излучения Солнца приходится примерно на длину волны  $\lambda_{\max} =$

$= 0,48$  мкм, поэтому по формуле Вина можно найти температуру поверхности Солнца ( $T = 5800$  К).

Закон Кирхгофа позволяет производить анализ слоев вещества, испускающих свет (если слои достаточно горячи) или поглощающих проходящий свет (если слои холодны). Зная, какой спектр отвечает тому или иному веществу (а все атомные и молекулярные спектры индивидуальны), можно по спектрам испускания или поглощения судить о химическом составе тела. Этот способ послужил основой широко используемого спектрального анализа веществ. В частности, именно таким образом был открыт на Солнце гелий, в то время не обнаруженный еще на Земле.

Применение спектрального анализа в астрономии позволяет судить о составе небесных тел и убедиться, что они состоят из тех же веществ, которые встречаются на Земле. Впрочем, иногда эти вещества находятся в иных внешних условиях: так, в недрах звезд, где температура достигает миллионов кельвин, атомы могут быть практически полностью лишены своих электронов, т.е. испытать многократную ионизацию (в земных условиях она труднодостижима).

## 9.9. ФЛУКТУАЦИИ СВЕТОВОГО ПОТОКА. ОПЫТЫ С.И. ВАВИЛОВА

С точки зрения квантовых представлений о природе света излучение представляет собой поток фотонов, число которых непрерывно изменяется со временем, флуктуирует около некоторого среднего значения. Относительное значение флуктуаций тем меньше, чем выше интенсивность излучения, и наоборот. Таким образом, при малых интенсивностях флуктуации света легче наблюдать экспериментально, располагая чувствительным приемником света. С.И. Вавилов для наблюдения флуктуации использовал глаз человека как приемник света, имея в виду, что при длительной

---

**Вавилов Сергей Иванович (1891–1951)**, советский физик, президент Академии наук СССР (1945–1951). Исследовал явление люминесценции. Установил в 1927 г. зависимость квантового выхода люминесценции от частоты возбуждающего излучения (закон Вавилова), обнаружил (совместно с В.Л. Левшиным) нелинейный эффект в оптике (1923). Аспирантом Вавилова Черенковым П.А. в 1934 г. обнаружено свечение жидкостей под действием  $\gamma$ -лучей (эффект Вавилова–Черенкова). Разработал люминесцентные лампы.





(порядка одного часа) адаптации к темноте глаз реагирует на число фотонов, равное 10–20 (в зеленой части спектра). Кроме того, глаз имеет явно выраженный порог чувствительности. Так, если в него поступает десять фотонов, реакция есть, а при девяти фотонах реакция отсутствует. Если представить, что в глаз поступает излучение в виде коротких вспышек, длительность которых соответствует времени реакции глаза ( $\approx 0,1$  с), то при интенсивности, равной или большей пороговой, наблюдатель увидит вспышку света, в противном случае не увидит.

Схема эксперимента С. И. Вавилова приведена на рис. 9.19.

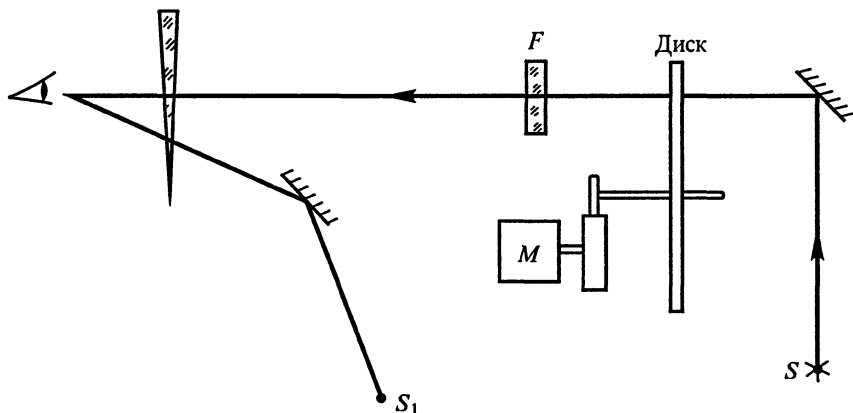


Рис. 9.19

Свет от источника  $S$  проходил через прорези равномерно вращаемого мотором  $M$  диска и зеленый фильтр  $F$  и после ослабляющего стеклянного клина попадал в глаз наблюдателя. Для фиксации глаза в одном положении использовался второй источник  $S_1$ , свет от которого пропускался через красный фильтр. В эксперименте глаз наблюдателя фиксировался на излучении от источника  $S_1$ , что позволяло регистрировать свет от источника  $S$  палочками – клетками, наиболее чувствительными к слабому свету, располагающимися на периферийной части сетчатки глаза. Частота вращения диска и число прорезей в нем подбирались таким образом, чтобы вспышка зеленого света длилась 0,1 с, а промежуток между вспышками составлял 0,9 с. За это время глаз полностью восстанавливал свою способность к восприятию следующей вспышки света. Интенсивность света от источника  $S$  можно было изменять с помощью клина. Если наблюдатель видел вспышку, то он нажимал кнопку, замыкающую электрическую цепь, подключенную к самописцу, что позволяло

фиксировать на его ленте реакцию наблюдателя. На этой же ленте регистрировались те моменты, когда диск пропускал свет в глаз наблюдателя.

Результаты экспериментов оказались следующими. При интенсивностях излучения пучка, значительно превышающих зрительный порог, каждая вспышка регистрировалась наблюдателем. Когда же интенсивность излучения уменьшалась и становилась сравнимой с пороговой, то происходило следующее: наблюдатель то отмечал вспышку, то не замечал ее. Такие результаты можно объяснить тем, что число фотонов в отдельных вспышках отличались друг от друга за счет флуктуации числа фотонов в пучке света от источника  $S$ . Это приводило к тому, что в отдельных случаях число фотонов, достигающих глаза наблюдателя, было меньше порогового значения и наблюдатель не видел света.

Сложная статистическая обработка результатов этих трудных опытов показала, что число незамеченных вспышек соответствует теории флуктуации.

## 9.10. ДВОЙСТВЕННОСТЬ ПРЕДСТАВЛЕНИЙ О СВЕТЕ

Изучая свойства света, мы столкнулись с положением, нетерпимым в науке. Для описания явлений распространения света (интерференция, дифракция) используется волновая модель, превосходно объясняющая указанные явления и позволяющая построить теорию оптических приборов. Но процессы взаимодействия света с веществом и излучения света удалось объяснить, пользуясь фотонной (корпускулярной) моделью света, находящейся в кажущемся противоречии с волновой моделью.

Эта двойственность объясняется несовершенством нашего восприятия внешнего мира. Далее мы увидим (гл. 10), что привычные для нас частицы (электрон, протон и др.) также обладают волновыми свойствами (например, могут дифрагировать на препятствиях), так что и их описание имеет двойственный характер.

В 20-х годах XX в. была создана новая глава физики – квантовая механика, описывающая с единых позиций волновые и корпускулярные свойства частиц. Дальнейшее развитие этих взглядов привело к созданию квантовой электродинамики, описывающей с единой точки зрения свойства электромагнитного поля, в частности света.

Можно надеяться, что дальнейшее развитие физики приведет к созданию непротиворечивой единой модели частиц и поля. Од-

ним из ключевых понятий квантовой теории является амплитуда вероятности. Поясним его смысл, рассмотрев еще раз явление дифракции света, например, в опыте Юнга.

Свет, пройдя через две щели, создает хорошо известную дифракционную картину. Регистрация дифрагированного света производится тем или иным фотоприемником, отклик которого, как мы знаем, пропорционален средней интенсивности света, поступающего на чувствительную площадку приемника за время его срабатывания. Если поле излучения описывать напряженностью электрического поля  $\vec{E}$ , то отклик приемника пропорционален  $|\vec{E}|^2$ . Как будет изменяться дифракционная картина при уменьшении интенсивности света? В результате уменьшения светового потока можно добиться, чтобы через экран с двумя щелями фотоны проходили последовательно друг за другом, разделенные во времени и в пространстве. Что будет при этом регистрировать фотоприемник, например ФЭУ? Каждый фотон, попав на вход приемника, приводит к появлению на его выходе  $10^9$  электронов, которые после усиления могут создать такой импульс тока, что громкоговоритель, подключенный к усилителю, воспроизведет его как хорошо слышимый щелчок. Если за экраном с двумя вертикальными щелями расположить несколько ФЭУ в горизонтальный ряд и к каждому из них подключить усилитель и громкоговоритель, то попадание фотона в тот или иной ФЭУ будет отмечено щелчком соответствующего громкоговорителя. Эксперимент показывает, что при малых интенсивностях излучения, когда заведомо известно, что через экран проходит по одному фотону, фотоприемники реагируют отдельными щелчками на отдельные фотоны. Если эксперимент продолжать длительное время и отмечать все это время места попадания отдельных фотонов, то оказывается, что распределение фотонов повторяет дифракционную картину, полученную при дифракции световой волны сравнительно большой интенсивности: наибольшее число фотонов попадает в места максимумов освещенности; в места минимумов они не попадают. Отсюда можно сделать вывод о том, что дифракцию нельзя рассматривать как результат взаимного влияния фотонов при прохождении через щели.

Существенной особенностью эксперимента является невозможность точного предсказания того, в каком месте окажется фотон. Результат наблюдений можно описать на вероятностном языке, введя понятие вероятности  $dW$  того, что фотон попадет на некоторую площадку  $dS$  за экраном со щелями. Значение этой вероятности определяется отношением числа фотонов  $dN_s$ , по-

павших на эту площадку, к общему числу фотонов, прошедших через щели, т. е.

$$dW = \frac{dN_S}{N}. \quad (9.21)$$

Отношение  $\frac{dW}{dS}$  называется *плотностью вероятности*, и равно вероятности того, что фотон попадет в единичную площадку с координатами  $x, y, z$ .

Для того чтобы значения плотности вероятности как функции координат соответствовали экспериментально наблюдаемым данным, считают, что она пропорциональна квадрату модуля некоторой комплексной функции  $\psi$ , называемой *амплитудой вероятности*, т. е. описание процесса детектирования единичных фотонов аналогично описанию процесса регистрации волн в оптическом диапазоне. Только теперь фотону сопоставляется поле амплитуд вероятности, и квадрат модуля этого поля выражает вероятность того, что фотон будет зарегистрирован в определенной области пространства. Понятно, что при этом  $\psi$  определяется с точностью до фазового множителя. Квадрат модуля  $|\psi|^2 = \psi\psi^*$ , где  $\psi^*$  – комплексно-сопряженная величина  $\psi$ . Если считать  $\psi$  пропорциональной  $\dot{E}$ , то плотность вероятности будет пропорциональна  $|\dot{E}|^2$ , что соответствует экспериментальным результатам.

Может показаться на первый взгляд, что введение амплитуды вероятности излишне, так как, по существу, она совпадает с напряженностью электрического поля  $\dot{E}$ . Однако это не так. Как будет видно из дальнейшего изложения, амплитуда вероятности описывает свойства не только фотонов, но и других микрочастиц. Но для фотонов эти две величины тесно связаны друг с другом.

При таком подходе дифракционный эксперимент с отдельными фотонами на двух щелях можно описать следующим образом. Падению на экран одного фотона соответствует падение на него плоской волны амплитуды вероятности. Пройдя обе щели, поле амплитуд вероятности распространяется дальше. В точку наблюдения  $P$  может попасть поле амплитуд вероятности как от щели  $S_1 - \psi_1$ , так и от щели  $S_2 - \psi_2$ . Результирующая амплитуда вероятности  $\psi$  будет равна сумме амплитуд вероятности  $\psi_1$  и  $\psi_2$ , т. е.

$$\psi = \psi_1 + \psi_2.$$

Плотность вероятности того, что фотон будет обнаружен в точке наблюдения  $P$ , будет пропорциональна квадрату модуля  $|\dot{\psi}|^2$ :

$$\frac{dW}{dS} \equiv |\dot{\psi}|^2 = |\dot{\psi}_1|^2 + |\dot{\psi}_2|^2 + \dot{\psi}_1 \dot{\psi}_2^* + \dot{\psi}_1^* \dot{\psi}_2. \quad (9.22)$$

Последние два слагаемые выражения (9.22) описывают эффект интерференции полей амплитуд вероятности для фотона, дифрагирующего на двух щелях. Продолжая оптическую аналогию, можно заметить, что правило сложения амплитуд полей  $\dot{E}_1$  и  $\dot{E}_2$  (см. § 2.5), аналогичное (9.22), выполняется в том случае, если  $\dot{E}_1$  и  $\dot{E}_2$  когерентны. Подобное условие должно выполняться и для  $\dot{\psi}_1$  и  $\dot{\psi}_2$ .

Правило сложения (9.22) будет выполняться в том случае, если прохождение фотона через щель  $S_1$  или щель  $S_2$  физически неразличимо; в противном случае складываются вероятности, а не их амплитуды.

Таким образом, отвечая на вопрос, что же собой представляет свет – волну или частицу, следует сказать, что это ни то и ни другое. Фотон представляет собой некоторый физический объект, поведение которого описывается полем амплитуд вероятности  $\dot{\psi}$ , квадрат модуля которого представляет собой плотность вероятности обнаружить фотон в той или иной точке пространства. В одних физических экспериментах проявляются волновые свойства фотонов, в других – корпускулярные. Это обстоятельство ни в коей мере не говорит о несовершенстве новых представлений о природе фотона, а скорее свидетельствует о неполном соответствии классических понятий квантовомеханическим явлениям. Если в классической физике модели волны и частицы применялись для описания взаимно исключаящих друг друга явлений, то в квантовой механике они дополняют друг друга в характеристике одного и того же физического объекта.

## Глава 10

# ВОЛНОВЫЕ СВОЙСТВА ВЕЩЕСТВА

### 10.1. ГИПОТЕЗА ДЕ БРОЙЛЯ. ДИФРАКЦИЯ ЭЛЕКТРОНОВ

В 1924 г. французский физик Луи де Бройль пришел к заключению, что все частицы вещества обладают волновыми свойствами. Этот вывод был сделан на основании внешнего сходства уравнений, описывающих поведение лучей света методами геометрической оптики и движение частиц в механике методом уравнений Гамильтона.

В работах Луи де Бройля аналогичность уравнений оптики и механики получила физическое обоснование. По де Бройлю, каждой свободно движущейся в пространстве частице с энергией  $E$  и импульсом  $\vec{p}$  соответствует волновая функция – плоская волна  $\psi$ , частота и волновой вектор которой связаны с  $E$  и  $\vec{p}$  следующим образом:  $E = \hbar\omega$ ,  $\vec{p} = \hbar\vec{k}$ . Следовательно, выражение для  $\psi$  будет иметь вид:

$$\psi = \psi_0 \exp[-i(\omega t - \vec{k} \cdot \vec{r})] = \psi_0 \exp\left[-i\left(\frac{E}{\hbar}t - \frac{\vec{p}}{\hbar} \cdot \vec{r}\right)\right]. \quad (10.1)$$

---

**Луи де Бройль (1892–1987)**, французский физик. Один из создателей квантовой механики. В 1924 г. применил идеи Эйнштейна – Бора о дуализме света к частицам вещества, предположив, что они обладают волновыми свойствами, однозначно связанными с импульсом и энергией частиц (волны де Бройля). В 1929 г. за открытие волновой природы электронов де Бройль удостоен Нобелевской премии по физике.



Как оказалось в дальнейшем, волновые представления о природе микрочастиц хорошо согласуются с экспериментом, если считать, что квадрат модуля волновой функции  $\psi$  равен плотности вероятности того, что частица может быть обнаружена в точке с координатами  $x, y, z$ . Таким образом, вероятность  $dW$  того, что частица при измерении находится в объеме  $dV$  около точки с координатами  $x, y, z$ , равна:

$$dW = |\psi|^2 dV. \quad (10.2)$$

Такая трактовка свойств волновой функции принадлежит немецкому физику М. Борну (1882–1970) и подтверждена огромным количеством экспериментов.

Так как  $|\psi|^2$  имеет смысл плотности вероятности, то сама функция  $\psi$  определяется с точностью до множителя типа  $\exp(-i\Phi_0)$ , где  $\Phi_0$  – произвольная функция координат и времени, а интеграл  $\int_{-\infty}^{\infty} |\psi|^2 dV = 1$ , поскольку обнаружение частицы в произвольной точке пространства – достоверное событие. Очевидно, что функция  $\psi$ , введенная де Бройлем, является функцией амплитуды вероятности, рассмотренной ранее при описании свойств фотона.

В случае одномерного движения частицы вдоль оси  $X$  со скоростью  $v$ , малой по сравнению со скоростью света  $c$ , выражение (10.1) можно переписать следующим образом:

$$\psi(t, x) = \psi_0 \exp \left[ -i \left( \frac{p_x^2}{2m_0 \hbar} t - \frac{p_x}{\hbar} x \right) \right], \quad (10.3)$$

где  $\psi_0 = \psi_0 \exp \left( -i \frac{E_0}{\hbar} t \right)$ ,  $E_0 = m_0 c^2$  – энергия покоя частицы.

Выражение (10.3) получено с учетом того, что  $E^2 = m_0^2 c^4 + p^2 c^2$ , или  $E = m_0 c^2 \sqrt{1 + \left( \frac{p}{m_0 c} \right)^2}$ . При малых скоростях движения

$\frac{p_x}{m_0} = \frac{m_0 v_x}{m_0} = v_x$ , тогда

$$E \approx m_0 c^2 + \frac{p_x^2}{2m_0}. \quad (10.4)$$

Из (10.3) видно, что групповая скорость волны де Бройля  $v_x = \frac{d\omega}{dk}$  равна скорости частицы  $v_x$ , а длина волны де Бройля связана с импульсом частицы  $p_x$  соотношением

$$\lambda = \frac{2\pi\hbar}{p_x} = \frac{h}{p_x}. \quad (10.5)$$

Гипотеза де Бройля позволяет расширить представление о корпускулярно-волновом дуализме на все микрочастицы независимо от того, являются ли они квантами электромагнитного поля или частицами вещества.

Появляется возможность, используя поток частиц, например электронов, наблюдать интерференционные или дифракционные явления при взаимодействии электронов с устройствами типа дифракционной решетки или интерферометра.

Первое опытное подтверждение гипотезы де Бройля было получено в опытах американских исследователей Девиссона и Джермера (1927), изучавших угловое распределение электронов, рассеивающихся на монокристалле никеля. Схема эксперимента представлена на рис. 10.1.

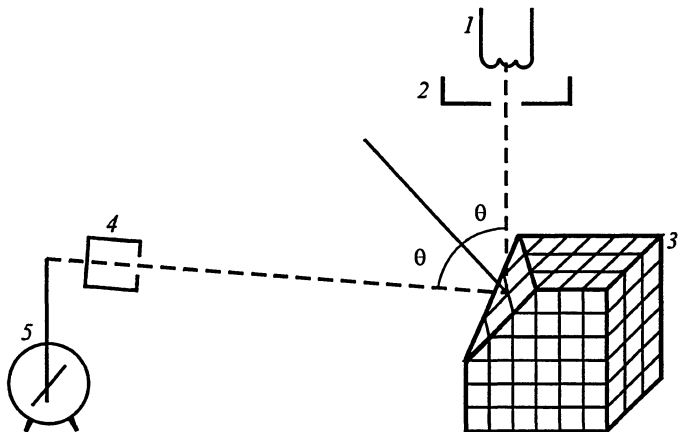


Рис. 10.1

Термоэлектроны, вылетающие из нити накала 1, попадали в ускоряющее поле между электродами 2 с разностью потенциалов  $U$ , в котором они приобретали кинетическую энергию  $\frac{p^2}{2m} = eU$ . Пройдя отверстие в электроде 2, электроны попадали на кри-



сталл никеля 3, на котором происходило их рассеяние. При помощи детектора 4–5 измерялось число электронов, рассеянных на угол  $\theta$  от нормали к грани кристалла. Меняя положение детектора, можно было исследовать зависимость числа рассеянных электронов от угла  $\theta$  при различных значениях энергии электронов.

В этих опытах были установлены два замечательных факта:

1. При изменении угла падения электронов данной скорости отражение имеет резко выраженные максимумы при углах падения, удовлетворяющих условию Вульфа–Брэгга, полученному ранее для отражения рентгеновских лучей от кристаллов:

$$2d \sin \alpha = n\lambda, \quad n = 1, 2, \dots$$

(здесь  $d$  – расстояние между атомными плоскостями кристалла, параллельными его поверхности,  $\alpha = 90^\circ - \theta$  – угол скольжения падающего пучка,  $\lambda$  – длина волны де Бройля). На рис. 10.2 приведена полярная диаграмма зависимости интенсивности отраженных электронов от угла рассеяния на кристаллическом образце.

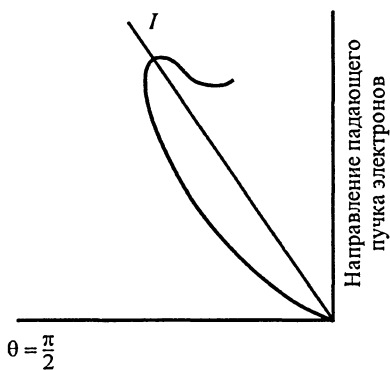


Рис. 10.2

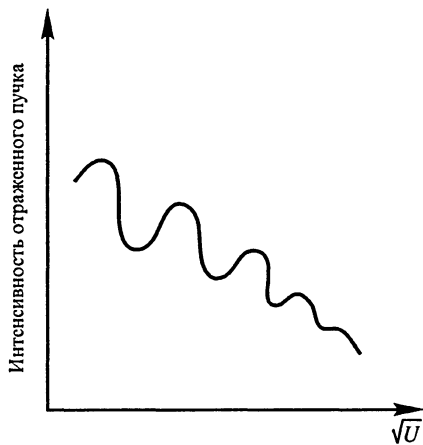


Рис. 10.3

2. Еще более поразительным оказался второй результат. При данном угле падения и изменении скорости электронов  $v$ , что достигалось изменением напряжения  $U$ , ускоряющего электроны, интенсивность отраженного пучка периодически изменялась (рис. 10.3).

Используя (10.5), нетрудно получить зависимость длины волны электронов в опыте Девиссона и Джермера от значения ускоряющего напряжения  $U$ . Именно:

$$\lambda = \frac{h}{\sqrt{2emU}} = \frac{12,3 \cdot 10^{-10}}{\sqrt{U}}, \quad (10.6)$$

где  $\lambda$  – длина волны, м;  $U$  – напряжение, В.

При  $U = 400$  В, что отвечает условиям опыта, это дает для длины волны де Бройля

$$\lambda = 6,2 \cdot 10^{-11} \text{ м.}$$

Позже Дж. П. Томсон, П. С. Тартаковский и другие физики получили дифракционные кольца, пропуская электроны через тонкие слои металла.

Электронная дифракционная картина очень похожа на рентгеновскую дебаграмму. Чтобы доказать, что она не вызвана вторичными рентгеновскими лучами, возникающими при торможении электронов в веществе, вдоль фотопластинки, где образовывалась электронная дифракционная картина, создавалось магнитное поле. При этом вся картина смещалась поперек поля. Если бы картина создавалась рентгеновскими лучами, то никакого смещения не получалось бы.

Позже дифракцию наблюдали и для более тяжелых заряженных частиц – протонов, ионов гелия и др., а также для нейтральных атомов, причем соотношение (10.5) хорошо подтвердилось.

Интерференцию волн де Бройля наблюдал немецкий физик Г. Мёлленштедт с сотрудниками на установке, схема которой приведена на рис. 10.4.

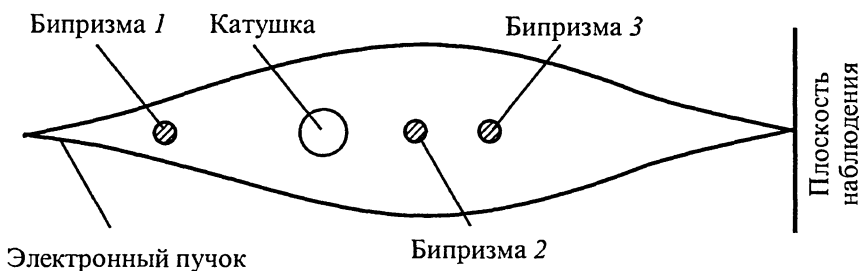


Рис. 10.4

Электронный пучок расщеплялся с помощью электронной бипризмы на два пучка. Роль бипризмы выполняла тонкая металли-

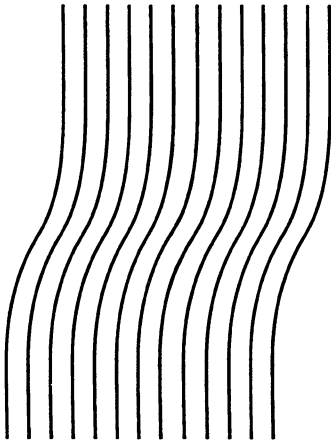


Рис. 10.5

зированная кварцевая нить 1. С помощью бипризм 2, 3 электроны вновь соединились в один пучок, на пути которого помещалась регистрирующая фотопленка. В пространстве между интерферирующими пучками с помощью миниатюрной катушки создавалось магнитное поле, благодаря которому возникала некоторая разность фаз между волнами де Бройля, соответствующими разным электронным пучкам. На рис. 10.5 приведена интерференционная картина, зарегистрированная на пленке, при различных значениях силы тока в катушке. Отчетливо видны интерференционные полосы и

их сдвиг при изменении индукции магнитного поля. Вид интерференционной картины определяется тем, что пленка в процессе эксперимента смещалась перпендикулярно плоскости рисунка.

В 1949 г. советские физики Л.М.Биберман, Н.Г.Сушкин и В.А.Фабрикант, пропуская через дифракционное устройство слабый по интенсивности поток электронов, обнаружили явление дифракции. В опыте промежуток времени между двумя последовательными прохождениями электронов сквозь мишень в  $3 \cdot 10^4$  раз превышал время прохождения отдельного электрона через экспериментальную установку. Этот эксперимент можно интерпретировать только так, что каждый электрон дифрагирует, проходя через дифракционную решетку, а вероятность его обнаружения за решеткой определяется квадратом модуля волновой функции, описывающей поведение частицы в свободном пространстве.

Так как длина волны де Бройля обратно пропорциональна массе частицы, то у макроскопических тел волновые свойства практически не проявляются. Действительно, пылинка массой  $10^{-6}$  кг, движущаяся со скоростью 10 м/с, характеризуется очень малой длиной волны де Бройля ( $\lambda = 6,6 \cdot 10^{-29}$  м), не проявляющейся в современных экспериментах.

## 10.2. СООТНОШЕНИЯ НЕОПРЕДЕЛЕННОСТЕЙ ГЕЙЗЕНБЕРГА

Волновые свойства частицы делают невозможным описание ее движения классическим способом, так как одновременное опре-

деление координат и импульса частицы оказывается неосуществимым. Как видно из выражения (10.1), свободно движущаяся частица не локализована в какой-либо пространственной области, и понятие траектории для нее теряет физический смысл. Любая попытка локализации частиц с помощью экранов, физических полей или других методов приведет к изменению вида волновой функции. Подобно оптическому полю, эта волновая функция может быть представлена набором плоских волн де Бройля с соответствующими амплитудами и фазами. Там, где эти волны складываются с одинаковыми фазами, плотность вероятности для частицы максимальна, там, где разность фаз слагаемых такая, что результирующая волновая функция равна нулю, плотность вероятности будет нулевой.

Предположим, что вероятность найти частицу в пределах некоторой области  $d$  на оси  $Ox$  постоянна, а вне этой области равна нулю. Амплитуда вероятности для такой частицы будет выражаться цугом волны де Бройля, длина которого  $\Delta x = d$ . Цуг волны де Бройля подобен цугу электромагнитной волны длительностью  $\tau = \Delta t$ . Как было показано ранее (см. § 1.5), длительность цуга и длина цуга выражаются через полосу частот  $\Delta \nu$  цуга, длину волны цуга  $\lambda$  и интервал длин волн  $\Delta \lambda$ , образующих цуг, соотношениями:

$$\Delta t = 1/\Delta \nu; \quad (10.7)$$

$$\Delta x = \lambda^2/\Delta \lambda.$$

Учитывая связь между энергией частицы  $E$  и частотой волны де Бройля  $\nu$  ( $E = h\nu$ ), проекцией импульса  $p_x$  и длиной волны цуга  $\lambda$  ( $p_x = h/\lambda$ ), нетрудно найти, что

$$\Delta t \Delta E = h, \quad (10.8)$$

$$\Delta x \Delta p_x = h.$$

Полученные соотношения между неопределенностями времени существования частицы и ее энергии, а также между неопределенностями положения частицы и проекции ее импульса на соответствующее направление обычно записывают в виде (в пределах точности порядка считается  $h = \hbar$ ):

$$\Delta t \Delta E \geq \hbar; \quad (10.9)$$

$$\Delta x \Delta p_x \geq \hbar,$$

так как (10.8) выражают соотношения между неопределенностями физических величин лишь приближенно, для ограниченной области их изменения.

Для трехмерного случая имеют место соотношения:

$$\begin{aligned} \Delta t \Delta E &\geq \hbar; \\ \Delta x \Delta p_x &\geq \hbar; \\ \Delta y \Delta p_y &\geq \hbar; \\ \Delta z \Delta p_z &\geq \hbar. \end{aligned} \quad (10.10)$$

Соотношения неопределенностей для пространственных координат и соответствующих проекций импульса частицы были впервые получены немецким физиком В.Гейзенбергом (1901–1976) в 1927 г.

Из соотношений неопределенностей следует, что невозможно точно измерить координату и импульс частицы одновременно, нельзя точно определить значение энергии частицы за бесконечно малый интервал времени.

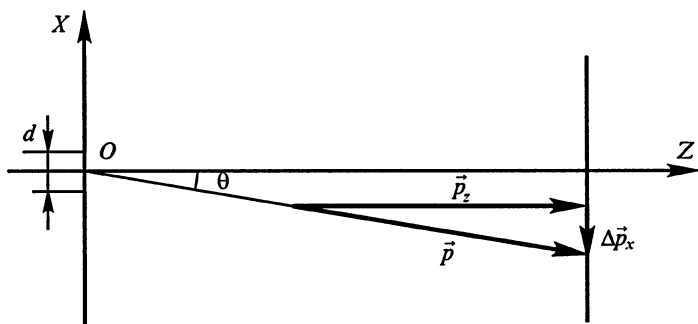


Рис. 10.6

Соотношения неопределенностей есть следствие характерных особенностей поведения микрочастиц и не связаны с наличием или отсутствием наблюдателя, проводящего эксперимент. В про-



**Гейзенберг Вернер (1901–1976)**, немецкий физик, один из создателей квантовой механики. В 1925 г. разработал матричную механику, описывающую свойства микрочастиц. В 1927 г. сформулировал принцип неопределенности, устанавливающий границы применимости классических представлений к описанию микрообъектов. В 1928 г. совместно с английским физиком П.Дираком выдвинул идею обменного взаимодействия между квантовыми частицами. В 1932 г. предложил нуклонную модель ядра атома. В 1932 г. удостоен Нобелевской премии по физике за создание квантовой механики.

цессе измерения, например, координаты частицы не может быть достигнута точность, превышающая ту, которая определяется неравенствами (10.10).

В качестве примера рассмотрим определение координаты  $x$  электронов методом диафрагмирования.

Схема эксперимента представлена на рис. 10.6. Пучок электронов проходит через диафрагму со щелью шириной  $d$ . Очевидно, что определить координату электрона вдоль оси  $OX$  можно с точностью до значения  $d$ . Чем меньше  $d$ , тем точнее можно определить положение электронов, проходящих через диафрагму. Однако при уменьшении размеров щели будет происходить дифракция, в результате чего часть электронов отклонится от первоначального направления движения на некоторый угол  $\theta$ . Если на экране, расположенном параллельно щели, регистрировать прилетающие электроны, то мы увидим некоторое распределение числа электронов по углам дифракции  $\theta$ . Наибольшая часть электронов попадет в те точки экрана около нормали, которые лежат в пределах угла, определяющего направление на первый дифракционный максимум:

$$d \sin \theta = \lambda. \quad (10.11)$$

Эти электроны будут иметь компоненту импульса вдоль  $OX$ , равную

$$\Delta p_x = p \sin \theta,$$

и, следовательно,

$$\Delta p_x = p \frac{\lambda}{d} = \frac{h}{d}.$$

Так как  $d \equiv \Delta x$ , то

$$\Delta x \Delta p_x = h. \quad (10.12)$$

С учетом электронов, попадающих к экрану вне угла, ограничивающего первый дифракционный максимум, (10.12) заменяется соответствующим неравенством  $\Delta x \Delta p_x \geq \hbar$ , т.е. мы получили, что с помощью дифракционного эксперимента можно измерить координату и соответствующую проекцию импульса микрочастицы только с точностью, определяемой соотношением неопределенностей.

Соотношения неопределенностей имеют не только смысл утверждений о невозможности совместного измерения некоторых величин, определяющих фазу волновой функции, но могут применяться и как эвристические правила для оценки по порядку величины некоторых физических характеристик микрообъектов.

Рассмотрим некоторые примеры.

Оценим размер атома водорода и энергию электрона в атоме. Энергия электрона в атоме водорода  $E$  определяется суммой его кинетической энергии  $E_k = \frac{p^2}{2m}$  и потенциальной энергии куло-

новского взаимодействия  $U = -\frac{e^2}{4\pi\epsilon_0 r} = -\frac{(e^*)^2}{r}$ , где  $e^* = \frac{e}{\sqrt{4\pi\epsilon_0}}$ ,

т. е.

$$E = \frac{p^2}{2m} - \frac{(e^*)^2}{r}. \quad (10.13)$$

В качестве грубой оценки по порядку величины примем за неопределенность координаты  $r$  электрона в атоме само значение  $r$ , а за меру неопределенности импульса  $\Delta p$  значение  $p$ . Тогда соотношение неопределенностей координата – импульс запишется в виде

$$pr \approx \hbar. \quad (10.14)$$

С учетом соотношения неопределенностей (10.14) выражение (10.13) можно переписать следующим образом:

$$E = \frac{p^2}{2m} - \frac{(e^*)^2 p}{\hbar}. \quad (10.15)$$

Найдем первую производную  $E$  по  $p$  и приравняем ее нулю:

$$\frac{dE}{dp} = \frac{p}{m} - \frac{(e^*)^2}{\hbar} = 0. \quad (10.16)$$

Так как вторая производная по импульсу положительна, то значение  $p_1$ , найденное из (10.16), определяет импульс электрона в атоме с минимальной энергией, т. е. в основном, невозбужденном, состоянии. Именно:

$$p_1 = \frac{m(e^*)^2}{\hbar}. \quad (10.17)$$

С учетом (10.14) радиус орбиты электрона в невозбужденном состоянии, так называемый *боровский радиус*, очевидно, равен:

$$r_1 = \frac{\hbar^2}{m(e^*)^2}, \quad (10.18)$$

соответственно энергия  $E_1$  невозбужденного состояния равна:

$$E_1 = -\frac{m(e^*)^4}{2\hbar^2}. \quad (10.19)$$

Интересно, что полученные из оценочных формул выражения (10.18) и (10.19) совпадают с точными формулами для  $r_1$  и  $E_1$ , которые будут получены позже.

Как видно из (10.18), значение боровского радиуса определяется комбинацией фундаментальных констант, которой можно придать и такой вид:

$$r_1 = \frac{\hbar^2 c^2 (e^*)^2}{(e^*)^4 mc^2} = \frac{1}{\alpha^2} r_0,$$

где  $\alpha = \frac{(e^*)^2}{\hbar c} \approx \frac{1}{137}$  — так называемая *постоянная тонкой структуры*,

$r_0 = \frac{(e^*)^2}{mc^2}$  — классический радиус электрона, вычисленный в предположении, что собственная энергия уединенного электрона есть энергия его электростатического поля.

Из (10.17) можно получить, что скорость электрона на первой боровской орбите  $v = \alpha c$ , т. е. движение электрона в атоме является нерелятивистским.

Непосредственная подстановка в полученные формулы значений фундаментальных констант позволяет определить величины  $r_0$ ,  $r_1$  и  $E_1$ :

$$r_0 = 2,8 \cdot 10^{-15} \text{ м},$$

$$r_1 = 5 \cdot 10^{-11} \text{ м},$$

$$E_1 = -13,6 \text{ эВ}.$$

Энергия  $E$  обеспечивается кулоновским взаимодействием между электроном и ядром атома водорода — протоном. Из-за малости значения  $\alpha$  электрон не может находиться на более близком расстоянии от ядра, тем более входить в состав ядра. В противном случае неопределенность его координаты определялась бы размерами ядра, при этом для обеспечения соответствующей неопределенности импульса не хватило бы энергии не только электромагнитного, но и сильного (ядерного) взаимодействия (см. гл. 13).



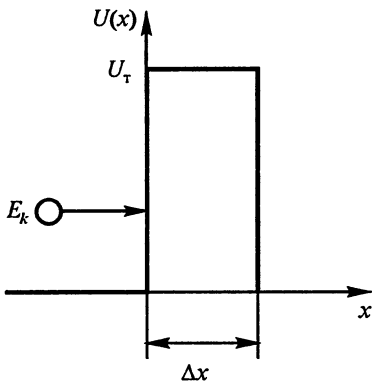


Рис. 10.7

В качестве другого примера рассмотрим прохождение частицы, имеющей кинетическую энергию  $E_k$  (скорость  $v$ ), через потенциальный барьер высотой  $U_T$  (рис. 10.7). По классическим представлениям частица с энергией  $E_k < U_T$  не может преодолеть барьер. Только в том случае, когда  $E_k > U_T$ , частица оказывается по другую сторону барьера. В микромире дело обстоит не так. Частица просачивается через барьер, наблюдается *туннельный эффект* даже тогда, когда  $E_k < U_T$ .

Этот экспериментальный факт (см. гл. 12) можно понять, применив для описания эффекта соотношение неопределенностей энергия – время. Неопределенность времени в данном случае определяется временем прохождения частицы через барьер, которое пропорционально его ширине  $\Delta x$ . Тогда из соотношения неопределенностей

$$\Delta E \Delta t \geq \hbar \text{ следует, что } \Delta E \geq \frac{\hbar v}{\Delta x}$$

$\Delta x$  частица оказывается способной туннелировать через барьер со значительной энергией  $U_T$ .

Соотношения неопределенностей делают невозможным описание состояния макрочастиц и их динамики методами классической механики, где состояние частиц предполагается строго детерминированным. В микромире это не так. Примером может служить опыт с дифрагирующими на отверстиях электронами, описанный в начале параграфа. Спрашивается: какие скорость, импульс, координату можно приписать электрону в любой момент времени? В этих условиях даже понятие о траектории движения бессодержательно.

### 10.3. ОСОБЕННОСТИ ПРОЦЕССА ИЗМЕРЕНИЯ В КВАНТОВОЙ МЕХАНИКЕ. ПРИНЦИП СУПЕРПОЗИЦИИ

Как же следует описывать состояние микрочастиц? Для ответа на поставленный вопрос необходимо проанализировать процесс измерения в квантовой механике, который представляет некоторое взаимодействие микрообъекта с макроскопическим телом – прибором. Взаимодействие между микрообъектом и макрообъектом вызывает наблюдаемые макроскопические события, напри-

мер импульс электрического тока в цепи ФЭУ от лавины электронов, почернение фотоэмульсии в результате восстановления огромного количества атомов серебра при фотохимической реакции от одного фотона, появление треков в пузырьковой камере за счет испарения перегретой жидкости.

Предположим, что измерительный прибор устроен так, что его показания позволяют определить значение некоторой физической величины  $L$ . Например, наличие фототока в цепи нагрузки ФЭУ определяет координату или составляющую импульса (в зависимости от условий опыта) микрочастицы, попавшей на вход прибора. В таком случае взаимодействие микрообъекта с прибором можно представить следующим образом. До измерения микрообъект находился в состоянии, характеризующемся некоторой волновой функцией  $\psi(x)$ , показания прибора были нулевыми. После взаимодействия в результате измерения показания прибора стали равными  $L$ , а микрообъект стал характеризоваться новой волновой функцией  $\psi_L(x)$ . Математически преобразование одной функции в другую описывается некоторым оператором, обозначим его через  $\hat{L}$ . Тогда

$$\hat{L}\psi(x) = \psi_L(x). \quad (10.20)$$

Если провести повторные измерения над объектом в состоянии с волновой функцией  $\psi_L(x)$ , то результаты измерения  $L$  будут, вообще говоря, другими. Но в том случае, если

$$\hat{L}\psi_L(x) = L\psi_L(x), \quad (10.21)$$

результаты повторного измерения останутся прежними, так как волновая функция частицы не изменяется в результате взаимодействия с прибором.

Функции  $\psi_L(x)$ , удовлетворяющие операторному уравнению (10.21), называются *собственными функциями* оператора  $\hat{L}$ , числа  $L$  называются собственными значениями оператора  $\hat{L}$ , совокупность значений  $L$  называется спектром оператора  $\hat{L}$  и может быть дискретной или непрерывной, или той и другой. Предположим, что спектр оператора  $\hat{L}$  дискретный, тогда уравнение

$$\hat{L}\psi_{L_n}(x) = L_n\psi_{L_n}(x) \quad (10.22)$$

определяет набор собственных значений  $L_n$ , равных показаниям прибора, взаимодействующего с микрочастицей, имеющей волновую функцию  $\psi_{L_n}(x)$ .

Если принять, что функция  $\psi_{L_n}$  нормирована к единице, т.е.

$$\int_{-\infty}^{\infty} \psi_{L_n} \psi_{L_n}^* dx = 1, \quad (10.23)$$

то значение  $L$ , характеризующее показания прибора, можно получить, умножая левую и правую части (10.22) на  $\psi_{L_n}^*(x)$  и проинтегрировав затем по  $x$  от  $-\infty$  до  $+\infty$ :

$$\int_{-\infty}^{\infty} \psi_{L_n}^* \hat{L} \psi_{L_n} dx = \int_{-\infty}^{\infty} \psi_{L_n}^* L_n \psi_{L_n} dx = L_n.$$

Так как  $\psi_{L_n}^* \psi_{L_n} = |\psi_{L_n}|^2$ , то последнее соотношение можно рассматривать как правило для нахождения среднего значения измеряемой величины:

$$\langle L \rangle = \int_{-\infty}^{\infty} |\psi_{L_n}|^2 L_n dx = \int_{-\infty}^{\infty} \psi_{L_n}^* L_n \psi_{L_n} dx. \quad (10.24)$$

Соотношение (10.24) поясняется схемой на рис. 10.8. Физический прибор, блок-схема которого соответствует рисунку, служит для измерения среднего значения физических величин, для которых оператор  $\hat{L}$  имеет соответствующие собственные значения. Так как в данном случае прибор не меняет волновую функцию микрообъекта, то, очевидно,  $\langle L \rangle = L_n$ . Нетрудно понять, что только в случае выполнения соотношения (10.21) повторные измерения будут давать устойчивые результаты. Именно такие величины в квантовой механике, которые доступны измерениям в результате взаимодействия микрообъекта с прибором, называются *физическими величинами*. Каждой физической величине соответствует свой оператор, подчиняющийся условию (10.21). Изучение свойств микроскопических объектов показывает, что при измерениях не только одна, а сразу несколько физических величин могут быть измерены для состояния системы, задаваемого одной волновой функцией  $\psi(x)$ .

Совокупность одновременно измеряемых физических величин, исчерпывающе определяющих состояние квантового объекта, называется *полным набором физических величин*.

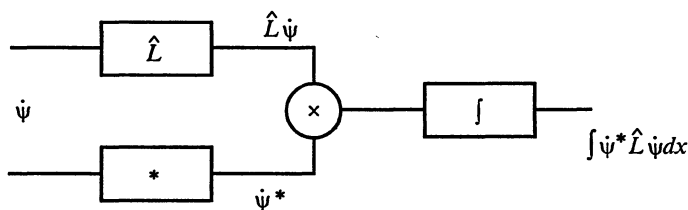


Рис. 10.8

Задачей квантовой механики является предсказание вероятности измерения определенного значения физической величины и среднего значения измеряемой физической величины по виду волновой функции микрообъекта.

Покажем, что знание собственных функций операторов физических величин и их собственных значений позволяет в принципе решить поставленную задачу. Для простоты рассуждений будем считать, что полный набор образует всего одна физическая величина, которой соответствует оператор  $\hat{L}$  с собственными функциями  $\psi_n$  и дискретным спектром  $L_n$ , т. е.  $\hat{L}\psi_n = L_n\psi_n$ .

Так как в физических измерениях  $L_n$  соответствуют действительные числа, то, как показывают математические исследования, собственные функции оператора  $\hat{L}$  образуют полный набор ортогональных функций. Как известно, такой же полный набор образуют гармонические функции типа  $\sin n\omega$  и  $\cos n\omega$  или  $\exp(\pm i\omega n)$ , по которым осуществляется разложение в ряд, или интеграл, Фурье.

Аналогично ряду Фурье любая функция  $\psi(x)$ , описывающая свойства микрообъекта до взаимодействия, может быть представлена рядом

$$\psi(x) = \sum_n \dot{c}_n \psi_n(x), \quad (10.25)$$

где  $\dot{c}_n$  – коэффициент разложения.

Соотношение (10.25) является математическим выражением принципа суперпозиции в квантовой механике, который гласит: если система может находиться в состояниях, характеризующихся волновыми функциями  $\psi_1, \psi_2, \dots, \psi_n$ , то она может находиться и в состоянии, волновая функция которого  $\psi$  является линейной суперпозицией этих функций, т. е.

$$\psi = \dot{c}_1 \psi_1 + \dot{c}_2 \psi_2 + \dots + \dot{c}_n \psi_n. \quad (10.26)$$

Используя принцип суперпозиции, результат воздействия прибора на микрообъект можно записать следующим образом:

$$\hat{L}\psi = \hat{L} \sum_n \dot{c}_n \psi_n = \sum_n \dot{c}_n L_n \psi_n.$$

В соответствии с (10.24) среднее значение  $\langle L \rangle$  в этом случае равно:

$$\langle L \rangle = \int_{-\infty}^{\infty} \psi^* \hat{L} \psi dx = \sum_n |\dot{c}_n|^2 L_n.$$

Так как, с другой стороны,  $\langle L \rangle = \sum_n P_n L_n$ , то

$$P_n = |\dot{c}_n|^2, \quad (10.27)$$

т. е. вероятность того, что при измерении величин  $L$  прибором  $\hat{L}$  будет получено значение  $L_n$ , равна  $|\dot{c}_n|^2$ . Так как сумма вероятностей всех значений измерений величины равна единице, то при условии нормировки (10.23)

$$\sum_n |\dot{c}_n|^2 = 1. \quad (10.28)$$

Таким образом, для предсказания результата измерения заданной волновой функции необходимо знать, какой оператор соответствует измеряемой физической величине, нужно уметь находить собственные функции и собственные значения измеряемой физической величины, уметь разложить исходную волновую функцию системы в ряд (интеграл) по собственным функциям измеряемой величины. Основным уравнением, позволяющим определить волновую функцию микрообъекта, находящегося в определенных физических условиях, является уравнение Шредингера.

#### 10.4. УРАВНЕНИЕ ШРЕДИНГЕРА

Попытаемся найти уравнение для определения волновой функции микрочастицы. По идее де Бройля частице, свободно движущейся вдоль направления  $OX$  со скоростью  $v$ , значительно меньшей скорости света  $c$ , соответствует  $\psi$ -функция в виде плоской волны вида (10.3). Взяв первую производную  $\dot{\psi}$  по времени и вторую производную  $\ddot{\psi}$  по координате, нетрудно установить, что

**Шредингер Эрвин (1887–1961)**, австрийский физик, один из создателей квантовой механики. В 1926 г. ввел для описания состояния микрочастиц волновую функцию и предложил уравнение для ее определения (уравнение Шредингера). Доказал эквивалентность матричной и волновой механики. В 1933 г. за создание квантовой механики был удостоен Нобелевской премии по физике (совместно с Дираком).



они связаны между собой. Эту связь можно выразить в виде дифференциального уравнения вида

$$i\hbar \frac{\partial \psi}{\partial t} = -\frac{\hbar^2}{2m} \frac{\partial^2 \psi}{\partial x^2}. \quad (10.29)$$

Если частица, двигаясь во внешнем поле, имеет потенциальную энергию  $U(x, t)$ , то уравнение, определяющее ее волновую функцию, имеет вид:

$$i\hbar \frac{\partial \psi}{\partial t} = -\frac{\hbar^2}{2m} \frac{\partial^2 \psi}{\partial x^2} + U(x, t) \psi. \quad (10.30)$$

Выражение (10.30) было получено австрийским физиком Э.Шредингером (1887–1961) в 1926 г. и носит название *временного уравнения Шредингера*. В нерелятивистской квантовой механике оно играет такую же роль, что и уравнения Максвелла в классической электродинамике или уравнение второго закона Ньютона в классической механике. Понятно, что приведенные рассуждения не претендуют на вывод уравнения Шредингера. По существу, уравнение (10.30) постулируется, а о его справедливости судят, сравнивая следствия из этого уравнения с результатами экспериментов. Многочисленные опыты свидетельствуют о том, что уравнение Шредингера успешно описывает поведение микроробъектов.

Если потенциальная энергия не зависит от времени и является только функцией координат, то решение уравнения Шредингера можно представить в виде двух сомножителей, один из которых зависит только от времени, другой – только от координат:

$$\psi = \psi(x) \exp\left(-i \frac{E}{\hbar} t\right).$$

Тогда получим:

$$i\hbar \frac{\partial \psi}{\partial t} = E\psi(x). \quad (10.31)$$

Подставив (10.31) в (10.30), найдем:

$$-\frac{\hbar^2}{2m} \frac{\partial^2 \psi(x)}{\partial x^2} + U(x)\psi(x) = E\psi(x), \quad (10.32)$$

где  $E$  – полная энергия системы, не зависящая от времени.

Уравнение (10.32), называемое *стационарным уравнением Шредингера*, определяет характер  $\psi(x)$  в зависимости от вида функции  $U(x)$  и граничных условий.

Как уже отмечалось выше, уравнение Шредингера справедливо в нерелятивистском приближении. Кроме того, уравнение Шредингера не описывает процессы, происходящие с изменением числа взаимодействующих частиц, их рождением или аннигиляцией, и не учитывает внутренних степеней свободы частиц, таких, например, как спин.

Рассмотрим определение волновой функции микрообъекта с помощью стационарного уравнения Шредингера на частном примере движения электрона в потенциальной яме.

Рассмотрим случай, когда потенциальная энергия частицы, например электрона,  $U(x)$  равна нулю на отрезке  $0 \leq x \leq a$  и обращается в бесконечность при  $x < 0$  и  $x > a$  (рис. 10.9). Движение электрона ограничено, очевидно, областью с координатами  $0 \leq x \leq a$ , вне этой области электрон физически не может быть обнаружен, волновая функция при  $x > a$  и  $x < 0$  равна нулю; в таком случае и говорят, что частица находится в потенциальной яме. В силу условия непрерывности волновой функции будем считать, что

$$\psi(0) = \psi(a) = 0. \quad (10.33)$$

Уравнение Шредингера для частицы в потенциальной яме имеет вид:

$$\frac{\hbar}{2m} \frac{\partial^2 \psi}{\partial x^2} + E\psi = 0,$$

или

$$\frac{\partial^2 \psi}{\partial x^2} + k^2 \psi = 0, \quad (10.34)$$

$$\text{где } k^2 = \frac{2mE}{\hbar^2}.$$

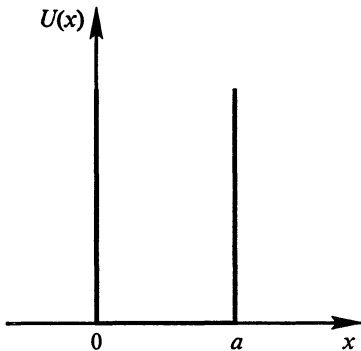


Рис. 10.9

Очевидно, возможным решением является функция

$$\psi = \psi_0 \sin kx,$$

причем должно быть выполнено условие

$$ka = n\pi, \quad n = 1, 2, 3, \dots \quad (10.35)$$

Поэтому для энергии электрона в яме получается:

$$E = \frac{\hbar^2 k^2}{2m} = \frac{\hbar^2 \pi^2}{2ma^2} n^2, \quad (10.36)$$

т. е. его энергия квантуется.

Из (10.36) следует, что энергия частицы в потенциальной яме может принимать только дискретные, квантованные значения энергии, которые называются *уровнями энергии*. На рис. 10.10 приведена схема уровней энергии для электрона в яме. Как видно из формулы (10.36), разность энергий двух соседних уровней  $\Delta E_n$  изменяется линейно с ростом  $n$ :

$$\Delta E_n = E_{n+1} - E_n = \frac{\pi^2 \hbar^2}{2ma} (2n + 1).$$

При больших  $n$

$$\Delta E_n \approx \frac{\pi^2 \hbar^2}{ma^2} n.$$

Графики функций, характеризующих плотность распределения вероятности при различных значениях  $n$ , приведены на рис. 10.11. Видно, что с ростом  $n$  вероятность обнаружить электрон в произвольной точке внутри ямы описывается быстро осциллирующей функцией от  $x$ , что при конечных размерах детекторов частиц приводит к одинаковому значению вероятности обнаружения электронов в любой точке ямы.

Таким образом, при определенных условиях квантовые закономерности совпадают с закономерностями классической физики, что является выражением весьма общего физического *принципа соответствия*. Принцип соответствия утверждает, что любая физическая теория, развитая на основе новых экспериментальных фактов, должна в пределе соответствовать старой классической теории, базирующейся на других хорошо проверенных экспериментах.

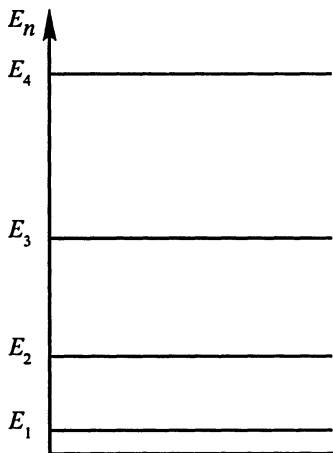


Рис. 10.10



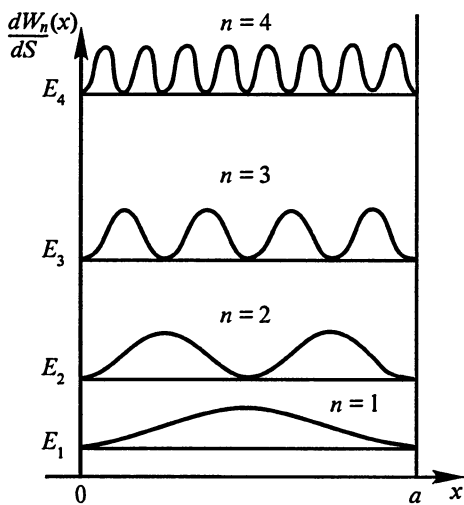


Рис. 10.11

Так как уравнение Шредингера является линейным дифференциальным уравнением, то линейная комбинация функций типа (10.35) также будет решением этого уравнения. Коэффициенты перед соответствующими слагаемыми будут зависеть от физических условий, определяющих поведение микрочастицы внутри ямы. С другой стороны, эти коэффициенты будут определять вероятность того, что при изменении энергии частицы она будет находиться в состоянии с энергией  $E_n$ .

## 10.5. ФИЗИЧЕСКИЕ ВЕЛИЧИНЫ И ОПЕРАТОРЫ

Стационарное уравнение Шредингера в форме (10.32) можно рассматривать как операторное уравнение, описывающее взаимодействие некоторого прибора с микрообъектом, находящимся в состоянии с волновой функцией  $\psi(x)$ , с целью измерения энергии этого микрообъекта. Взаимодействие прибора с микрочастицей в этом случае можно описать следующим операторным уравнением:

$$\hat{H} \psi_n = E_n \psi_n, \quad (10.37)$$

где  $\hat{H}$  – оператор энергии, называемый *гамильтонианом*,  $\psi_n$  – собственная функция оператора энергии, а  $E_n$  – собственные значения.

Сравнивая (10.37) с (10.32), находим, что

$$\hat{H} = -\frac{\hbar^2}{2m} \frac{\partial^2}{\partial x^2} + U(x). \quad (10.38)$$

Действие  $\hat{H}$  на волновую функцию  $\psi$  определяется, очевидно, следующим выражением:

$$\hat{H} \psi = -\frac{\hbar^2}{2m} \frac{\partial^2 \psi}{\partial x^2} + U\psi.$$

Если положить, что проекции импульса  $p_x$  соответствует оператор

$$\hat{p}_x = -i\hbar \frac{\partial}{\partial x}, \quad (10.39)$$

то гамильтониан принимает вид:

$$\hat{H} = \frac{\hat{p}_x^2}{2m} + U(x), \quad (10.40)$$

совпадающий по форме с выражением для полной механической энергии классической частицы массой  $m$ .

Такое предположение оправдывает себя согласием с результатами экспериментов по определению значений проекции импульса  $p_x$  по заданной функции  $\psi(x)$ .

В частности, среднее значение проекции импульса на ось  $OX$   $\langle p_x \rangle$  находится по формуле

$$\langle p_x \rangle = \int_{-\infty}^{\infty} \psi^* \hat{p}_x \psi dx = \int_{-\infty}^{\infty} \psi^* \frac{\hbar}{i} \frac{\partial \psi}{\partial x} dx. \quad (10.41)$$

Операторы для других физических величин вводят так, чтобы они по структуре совпадали с соответствующими формулами классической физики. Как отмечалось выше, операторы физических величин, образующих полный набор, имеют одинаковые собственные функции. Воздействие таких операторов на волновую функцию не зависит от последовательности их применения. Например, для двух операторов имеем:

$$\hat{L} \hat{H} \psi = \hat{H} \hat{L} \psi,$$

или

$$[\hat{L} \hat{H} - \hat{H} \hat{L}] \psi = 0. \quad (10.42)$$

Оператор в скобках имеет особое название – *коммутатор*.

Таким образом, для двух величин, входящих в полный набор, коммутатор равен нулю, при этом говорят, что операторы  $\hat{L}$  и  $\hat{H}$  коммутируют друг с другом. Верно и обратное утверждение: если операторы коммутируют, то величины могут быть измерены по одной волновой функции  $\psi$ . Если (10.42) не имеет места, то опе-

раторы не коммутируют и соответственно величины нельзя измерить по одной волновой функции  $\psi$ .

Примером некомутирующих операторов являются операторы координаты  $x$  и проекции импульса на ось  $Ox$ :  $-i\hbar \frac{\partial}{\partial x}$ . Действительно,

$$(x \hat{p}_x - \hat{p}_x x) \psi = -x i \hbar \frac{\partial \psi}{\partial x} + i \hbar \frac{\partial}{\partial x} (x \psi) = i \hbar \psi \neq 0,$$

или

$$x \hat{p}_x - \hat{p}_x x = i \hbar. \quad (10.43)$$

Соотношение (10.43) является выражением соотношения неопределенностей между  $x$  и  $p_x$  в операторной форме.

## 10.6. ДУАЛИЗМ ПРЕДСТАВЛЕНИЙ О ВЕЩЕСТВЕ

Эксперименты по дифракции электронов и других микрочастиц вещества с очевидностью убеждают нас в том, что вещество, так же как и электромагнитное поле, обладает волновыми свойствами. Это обстоятельство является чрезвычайно удивительным, так как находится в резком противоречии со сложившимися представлениями об окружающем нас физическом мире. Действительно, модель корпускулы, частицы, с помощью которой в классической физике описывали движение макроскопических тел, подразумевает локализацию этих тел в пространстве, при этом координаты пространственного положения частицы и их изменения со временем могут быть определены путем физических экспериментов для любого момента времени. Однако эксперименты по дифракции электронов, например, на экране из двух щелей, ставят вопрос об адекватности этой модели реальным процессам, происходящим в природе. Действительно, невозможно представить себе электрон проходящим через обе щели сразу, как того требуют результаты экспериментов. Переход на язык классического волнового описания также мало что дает, так как электрон во всех экспериментах регистрируется всегда целиком и все попытки определить, через какую щель в опыте по дифракции все-таки проходит электрон, оканчиваются неудачей.

Единственным выходом из создавшегося положения явился отказ от классических моделей волны или частицы при описании свойств микробъектов. Электрон, так же, впрочем, как и фотон

или какой-то другой микрообъект, – ни волна и ни частица. Микрообъекты представляют собой, таким образом, квантовые образования, поведение которых можно описать на языке волновых функций или амплитуд вероятности. Специфичность такого описания представляется необычной, однако последовательное применение квантовомеханического метода для описания физических экспериментов дает превосходное совпадение теории с опытом. Наиболее убедительно это проявляется в объяснении физики атомов и молекул и закономерностей их спектров.

## Глава 11

# ФИЗИКА АТОМОВ И МОЛЕКУЛ

### 11.1. ОПЫТЫ РЕЗЕРФОРДА. ПЛАНЕТАРНАЯ МОДЕЛЬ АТОМА

Одним из впечатляющих успехов квантовой теории является описание с ее помощью особенностей строения атомов и их спектральных закономерностей. Несомненно, что атомы вещества являются микроскопическими объектами, поэтому естественно применить для описания их свойств уравнение Шредингера. Однако прежде чем это сделать, нужно выяснить, каково строение атома.

Одной из первых физически обоснованных моделей атома была модель атома английского физика Дж. Дж. Томсона (1856–1940). Основываясь на экспериментальных фактах классической оптики, Томсон предположил, что атом представляет собой положительно заряженную область пространства, ограниченную сферой, внутри которой находятся отрицательные заряды. Радиус сферы имеет порядок  $10^{-10}$  м. В простейшем атоме водорода отрицательный заряд (электрон) находится в центре сферы. Если по какой-либо причине он сместится, то возникает квазиупругая кулоновская сила, возвращающая его в положение равновесия. Атом поляризуется. В поле внешней периодической силы он будет совершать гармонические колебания.

Эта модель позволила объяснить в первом приближении дисперсию, рассеяние света и возникновение излучения, но не могла объяснить сложного строения спектров. При возрастании атомной массы число электронов увеличивается и, что весьма важно, они располагаются определенными слоями. Это предположение позволило объяснить периодическую систему Менделеева и в дальнейшем сыграло большую роль в теоретических построениях тогдашних физиков (конец XIX в.).

Но положение совершенно изменилось, когда английский физик Резерфорд (1871–1937) с сотрудниками в 1911 г. осуществил серию экспериментов по рассеянию  $\alpha$ -частиц на атомах золота.

Схема эксперимента показана на рис. 11.1.  $\alpha$ -Частицы, выпускаемые радиоактивным препаратом RaC, проходят через золотую фольгу  $F$  и попадают на экран  $S$ , покрытый сульфидом цинка ZnS. Особенностью молекул ZnS является их способность испускать кванты света при соударении с  $\alpha$ -частицами. В этом случае в местах попадания  $\alpha$ -частиц на экран наблюдаются слабые, но вполне доступные наблюдению вспышки света – сцинтилляции. Подсчитывая число сцинтилляций за определенный промежуток времени в зависимости от угла рассеяния  $\theta$ , можно было установить распределение положительного заряда внутри атома.

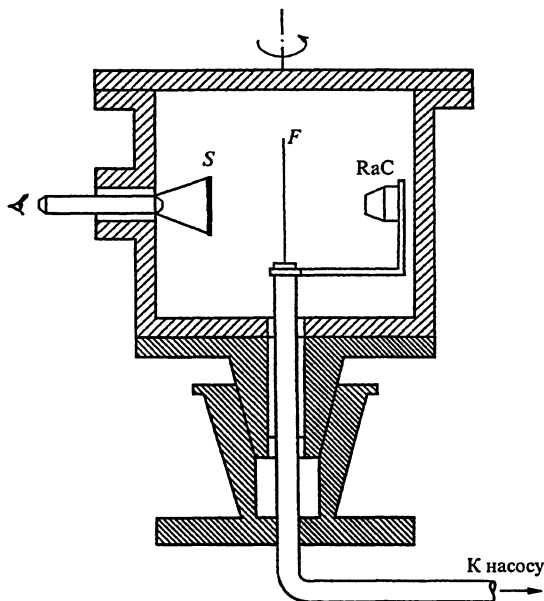


Рис. 11.1

Используя законы классической механики, можно показать, что при пролете  $\alpha$ -частиц на расстоянии  $p$  от рассеивающего положительно заряженного центра с зарядом  $Ze$  они отклоняются на угол  $\theta$  (рис. 11.2), причем

$$\operatorname{ctg} \frac{\theta}{2} = \frac{m_{\alpha} v^2}{2Z(e^*)^2} p, \quad (11.1)$$

где  $m_{\alpha}$  – масса  $\alpha$ -частицы,  $v$  – ее скорость,  $e^* = \frac{e}{\sqrt{4\pi\epsilon_0}}$ .

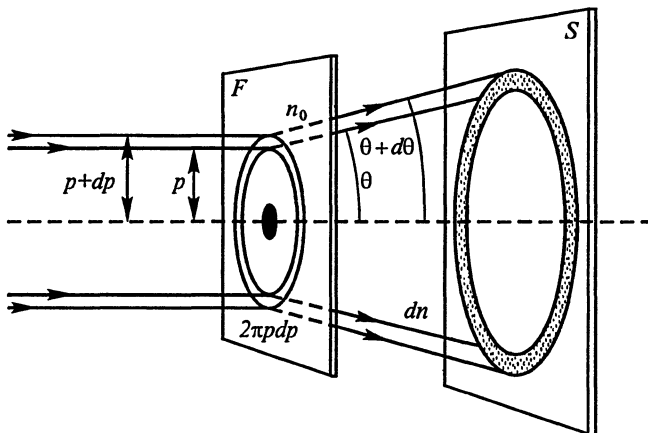


Рис. 11.2

Или

$$\operatorname{ctg} \frac{\theta}{2} = \gamma p, \quad (11.2)$$

где  $\gamma = \frac{m_{\alpha} v^2}{2Z(e^*)^2}$ .

Каждая  $\alpha$ -частица, пролетая в интервале прицельных расстояний от  $p$  до  $p + dp$ , будет рассеяна в пределах углов  $\theta, \theta + d\theta$  и попадет на экране наблюдения в область кольца (см. рис. 11.2), площадь которого определяется телесным углом  $d\Omega = 2\pi \sin\theta d\theta$ . Если принять плотность потока  $\alpha$ -частиц равной  $n_0$ , а поверхностную плотность атомов золота  $N$ , и считать, что золотая фольга такая тонкая, что  $\alpha$ -частицы взаимодействуют только с одним слоем рассеивающих атомов, то число  $\alpha$ -частиц  $dn_{\theta}$ , попадающих в единичный телесный угол рассеяния под углом  $\theta$ , очевидно, равно:

$$dn_{\theta} = \frac{Nn_0 2\pi r dr}{2\pi \sin\theta d\theta}. \quad (11.3)$$

Возведя (11.2) в квадрат и взяв производную от левой и правой частей равенства, найдем связь между  $p dr$  и  $d\theta$ . Именно:

$$\gamma^2 p^2 = \operatorname{ctg}^2 \frac{\theta}{2},$$

$$2\gamma^2 p dp = \frac{1}{2} \frac{\operatorname{ctg} \frac{\theta}{2}}{\sin^2 \frac{\theta}{2}} d\theta,$$

$$p dp = \frac{\sin \theta d\theta}{4\gamma^2 \sin^4 \frac{\theta}{2}}.$$

Таким образом,

$$dn_{\theta} = \frac{Nn_0}{\left( \frac{m_{\alpha} v^2}{Z(e^*)^2} \right)^2 \sin^4 \frac{\theta}{2}}. \quad (11.4)$$

Выражение (11.4) носит название *формулы Резерфорда*. Видно, что произведение

$$dn_{\theta} \sin^4 \frac{\theta}{2}$$

для заданных условий эксперимента есть величина постоянная. В опытах Резерфорда как раз проверялось постоянство произведения  $dn_{\theta} \sin^4 \frac{\theta}{2}$  при различных углах рассеяния  $\theta$ .

В результате экспериментов выяснилось, что положительный заряд атома, играющий роль рассеивающего центра, не размещен внутри сферы радиусом  $\approx 10^{-10}$  м, а сосредоточен в объеме гораздо меньшего радиуса, порядка  $10^{-14}$ – $10^{-15}$  м. Было высказано предположение, что атом имеет положительно заряженное ядро, в котором сосредоточена практически вся масса атома. Это приводило к тому, что  $\alpha$ -частицы, налетающие на ядро, иногда отскакивали от него как мячики от стенки, испытывая

**Резерфорд Эрнест (1871–1937)**, английский физик, один из создателей ядерной физики. В 1899 г. открыл  $\alpha$ - и  $\beta$ -лучи. В 1903 г. доказал, что  $\alpha$ -лучи представляют собой положительно заряженные частицы. Доказал, что  $\alpha$ -лучи есть дважды ионизированные атомы гелия. В 1911 г. в опытах по рассеянию  $\alpha$ -частиц установил у атомов наличие ядер. В 1919 г. открыл протон. В 1934 г. осуществил реакцию синтеза дейтронов с образованием трития. В 1908 г. Резерфорду была присуждена Нобелевская премия по химии.





отклонение на  $180^\circ$  от первоначального направления движения. Опыты привели Резерфорда к новым представлениям о строении атома, к разработке так называемой *планетарной модели* атома. В соответствии с этой моделью атом состоит из ядра, в котором сосредоточен положительный заряд  $Ze$  и практически вся масса атома; вокруг ядра располагаются электроны. Однако такая модель не выдерживала критики, так как для сохранения механической устойчивости такой системы из положительных и отрицательных зарядов они должны быть в движении друг относительно друга, электроны должны обращаться вокруг ядра с определенной скоростью. Но при этом электроны будут излучать электромагнитные волны, имеющие сплошной спектр излучения. Потери энергии атомом на излучение, как показывают расчеты, таковы, что через  $10^{-8}$  с электрон должен будет упасть на ядро. Таким образом, планетарная модель атома приводит к таким следствиям, которые резко противоречат классической физике.

В действительности атомы весьма стабильные образования, а их спектры излучения представляют собой совокупность отдельных спектральных линий. Еще в 1885 г. швейцарский физик И. Бальмер (1825–1898) установил простую закономерность, позволяющую определять частоты наблюдаемых линий излучения в спектре водорода (*серия Бальмера*). Бальмер нашел, что волновые

числа  $\left(\frac{1}{\lambda_{2,m}}\right)$  излучения для линий водорода могут быть определены по формуле

$$\frac{1}{\lambda_{2,m}} = R \left( \frac{1}{2^2} - \frac{1}{m^2} \right), \quad (11.5)$$

где  $m = 3, 4, 5, 6$ ;  $R$  – постоянная величина, называемая *постоянной Ридберга* по имени шведского физика Э.Г. Ридберга (1902–1980).

В дальнейшем оказалось, что и частоты других линий излучения в спектре водорода описываются сериальными формулами, подобными (11.5):

$$\frac{1}{\lambda_{1,m}} = R \left( \frac{1}{1^2} - \frac{1}{m^2} \right), \quad m = 2, 3, \dots, \text{ – серия Лаймана, ультрафиолетовая часть спектра;} \quad (11.6, a)$$

$$\frac{1}{\lambda_{3,m}} = R \left( \frac{1}{3^2} - \frac{1}{m^2} \right), \quad m = 4, 5, \dots, \text{ – серия Пашена, инфракрасная часть спектра;} \quad (11.6, б)$$

$$\frac{1}{\lambda_{4,m}} = R \left( \frac{1}{4^2} - \frac{1}{m^2} \right), \quad m = 5, 6, \dots, \text{ — серия Брэкета, инфракрасная часть спектра;} \quad (11.6, \text{ в})$$

$$\frac{1}{\lambda_{5,m}} = R \left( \frac{1}{5^2} - \frac{1}{m^2} \right), \quad m = 6, 7, \dots, \text{ — серия Пфунда, инфракрасная часть спектра.} \quad (11.6, \text{ з})$$

Линии видимой части спектра соответствуют серии Бальмера. Очевидно, что формулы (11.5) и (11.6) можно объединить в одну, записав для частоты произвольной линии излучения  $\nu_{n,m}$  выражение

$$\nu_{n,m} = \tilde{R} \left( \frac{1}{n^2} - \frac{1}{m^2} \right), \quad (11.7)$$

где  $n = 1, 2, 3, 4$ ;  $m$  — целые числа, начиная с  $(n + 1)$ ;  $\tilde{R} = cR$ .

Из (11.7) видно, что частоты  $\nu_{n,m}$  являются комбинацией слабых типа  $\frac{\tilde{R}}{n^2}$ .

В 1908 г. швейцарский физик Р. Ритц (1878–1909) выдвинул принцип, согласно которому частота  $\nu$  любой спектральной линии излучения атома водорода равна разности значений двух величин вида  $\frac{\tilde{R}}{n^2}$ , названных терминами, присущих данному атому. Комбинаторный принцип Ритца был необходим с точки зрения планетарной модели атома и классических представлений о поведении электрона в поле ядра для описания спектральных закономерностей атомов водорода.

## 11.2. МОДЕЛЬ АТОМА БОРА – РЕЗЕРФОРДА

Выход из создавшегося положения нашел датский физик Н. Бор (1885–1962), предложив в 1913 г. знаменитые постулаты, носящие его имя.

Первый постулат Бора гласит, что существуют такие стационарные орбиты для электрона, движение по которым не сопровождается излучением.

Для стационарных круговых орбит должно выполняться условие

$$m_e r v = n \hbar, \quad (11.8)$$



**Бор Нильс (1885–1962)**, датский физик, один из создателей квантовой теории. В 1913 г. сформулировал постулаты, объясняющие строение атома водорода и спектральные закономерности его излучения. Сформулировал принципы соответствия и дополнительности. В 1922 г. Бору за исследования строения атомов и испускаемого ими излучения присуждена Нобелевская премия по физике.

---

т.е. момент импульса электрона на таких орбитах может принимать только значения, кратные  $\hbar$ .

Второй постулат Бора утверждает, что **излучение наблюдается только при переходе атома из одного состояния с энергией  $E_n$  в другое с энергией  $E_m$ , причем в результате такого перехода энергия кванта излучения  $\hbar\omega_{n,m}$  равна:**

$$\hbar\omega_{n,m} = E_n - E_m. \quad (11.9)$$

Постулаты Бора являются эвристическими правилами, представляющими собой первую попытку ввести в классическую теорию взаимодействия электронов с ядром элементы квантовых представлений о дискретности момента импульса электронов и дискретности энергии электронных состояний. Полуклассическая, полуквантовая теория, основанная на постулатах Бора, примененная к описанию движения электрона по круговой орбите в поле ядра атома с зарядом  $Ze$ , лишенного остальных  $Z - 1$  электронов (такие атомы называют *водородоподобными*), позволила объяснить ряд экспериментальных фактов.

Рассчитаем энергию электрона, движущегося на расстоянии  $r$  в поле ядра с зарядом  $Ze$  по круговой орбите. В соответствии со вторым законом Ньютона произведение массы электрона на центростремительное ускорение равно кулоновской силе:

$$\frac{Z(e^*)^2}{r^2} = \frac{m_e v^2}{r}. \quad (11.10)$$

Полная механическая энергия электрона на круговой орбите в поле ядра равна:

$$E = \frac{m_e v^2}{2} - \frac{Ze^{*2}}{r} = -\frac{Z(e^*)^2}{2r}, \quad (11.11)$$

где второе слагаемое определяет потенциальную энергию. С учетом условия квантования (11.8)

$$r_n = \frac{n^2 \hbar^2}{Z(e^*)^2 m_e}, \quad (11.12)$$

и, следовательно, энергия  $E$  может принимать только дискретные значения  $E_n$ :

$$E_n = -\frac{Z^2 (e^*)^4 m_e}{2n^2 \hbar^2}. \quad (11.13)$$

Из правила Бора (11.9) определим энергию кванта излучения  $\hbar\omega_{n,m}$ :

$$\hbar\omega_{n,m} = \frac{Z^2 (e^*)^4 m_e}{2\hbar^2} \left( \frac{1}{n^2} - \frac{1}{m^2} \right),$$

или

$$\frac{1}{\lambda_{n,m}} = \frac{Z^2 (e^*)^4 m_e}{4\pi c \hbar^2} \left( \frac{1}{n^2} - \frac{1}{m^2} \right). \quad (11.14)$$

Для атома водорода  $Z = 1$ , тогда выражения (11.12), (11.13), (11.14) примут следующий вид:

$$r_n = \frac{\hbar^2}{(e^*)^2 m_e} n^2, \quad (11.15)$$

$$E_n = -\frac{(e^*)^4 m_e}{2\hbar^2} \frac{1}{n^2}, \quad (11.16)$$

$$\frac{1}{\lambda_{n,m}} = \frac{(e^*)^4 m_e}{4\pi c \hbar^3} \left( \frac{1}{n^2} - \frac{1}{m^2} \right). \quad (11.17)$$

Формула (11.17) совпадает с формулой (11.7), если

$$R = \frac{(e^*)^4 m_e}{4\pi c \hbar^3}. \quad (11.18)$$

Выражение (11.18) позволяет рассчитать постоянную Ридберга по значениям фундаментальных констант и сравнить полученное значение с результатами эксперимента. Расчет постоянной Ридберга дает значение  $R = 10973\,731,77 \text{ м}^{-1}$ . Значение  $R$ , определенное экспериментально для водорода, несколько отличается от расчетного и равно:  $R = 10\,967\,757,77 \text{ м}^{-1}$ . Одна из причин расхождения

связана с тем, что при выводе расчетных формул мы считали электрон обращающимся вокруг неподвижного ядра. Если учесть, что движение электрона и ядра происходит при их взаимодействии вокруг центра инерции, то в (11.18) вместо массы электрона следует подставить его приведенную массу:

$$\mu = \frac{m_e M_{\text{яд}}}{m_e + M_{\text{яд}}} = \frac{m_e}{1 + \frac{m_e}{M_{\text{яд}}}}. \quad (11.19)$$

Для водорода  $\frac{m_e}{M_{\text{яд}}} = \frac{1}{1836,1}$ .

Постоянная Ридберга, вычисленная с учетом приведенной массы, почти совпадает с ее экспериментальным значением. Знание постоянной Ридберга позволяет рассчитать длины волн спектральных линий в серии Бальмера и сравнить с экспериментом. Теория и эксперимент в данном случае прекрасно совпадают, что иллюстрируется таблицей 11.1.

Таблица 11.1

Линия	$\lambda_{\text{теор}}, \text{нм}$	$\lambda_{\text{эксп}}, \text{нм}$
$H_{\alpha}$	656,47	656,28
$H_{\beta}$	486,27	486,13
$H_{\gamma}$	434,17	434,05

Таким образом, теория Бора, исходя из очевидного факта стабильности атомов и применимости закона сохранения энергии для описания внутриатомных процессов, приводит к впечатляющим результатам: постоянная Ридберга выражается через значения мировых постоянных, радиус электронных орбит в атоме водорода оказывается пропорциональным  $n^2$ , причем коэффициент пропорциональности является также комбинацией фундаментальных постоянных и равен радиусу *первой боровской орбиты*  $r_B$ . Именно:

$$r_B = \frac{\hbar^2}{(e^*)^2 m_e} = \frac{\lambda_e}{\alpha} = 5,2918 \cdot 10^{-11} \text{ м}, \quad (11.20)$$

где  $\lambda_e = \frac{\hbar}{m_e c}$  – комптоновская длина волны электрона,  $\alpha = \frac{(e^*)^2}{\hbar c}$  –

так называемая *постоянная тонкой структуры*. Это название связано с тем, что величина  $\alpha$  определяет весьма слабое (тонкое)

расщепление спектральных линий атома водорода за счет спин-орбитального взаимодействия (см. § 11.8).

Наконец, получено явное выражение для энергии атома в  $n$ -м возбужденном состоянии, с помощью которого легко определить не только спектр излучения атома водорода и других водородоподобных атомов, а также энергию их ионизации. Для этого достаточно найти разность между энергиями атома в состояниях с  $n \rightarrow \infty$  и  $n = 1$ . Для атома водорода

$$E_{\infty} = 13,6 \text{ эВ},$$

что прекрасно согласуется с экспериментом.

### 11.3. ЭКСПЕРИМЕНТАЛЬНЫЕ ПОДТВЕРЖДЕНИЯ МОДЕЛИ АТОМА БОРА – РЕЗЕРФОРДА

В настоящее время известно множество физических экспериментов, подтверждающих вывод Бора о квантовании энергии. Первыми экспериментами такого рода были опыты Франка и Герца (1913), суть которых состоит в следующем.

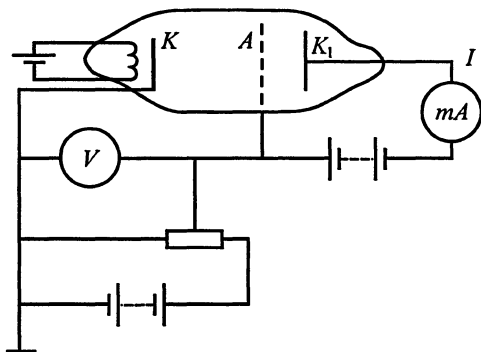


Рис. 11.3

В электронной лампе, содержащей пары ртути при низком давлении, имеются (рис. 11.3) накаливаемый катод  $K$ , служащий источником электронов, анод  $A$ , выполненный в виде сетки, и коллектор  $K_1$ . Потенциал коллектора на несколько вольт меньше потенциала анода. Ускоряемые в пространстве катод – анод электроны движутся затем к коллектору, и создаваемый ими ток контролируется миллиамперметром. Непрерывно изменяя разность потенциалов  $U_a$  между анодом и катодом, снимают вольт-

амперную характеристику  $I = f(U_a)$ ; на ней обнаруживается ряд провалов тока (рис. 11.4, а). Кроме того, в опыте сразу же после первого провала возникает ультрафиолетовое излучение ртутных паров ( $\lambda = 253,7$  нм).

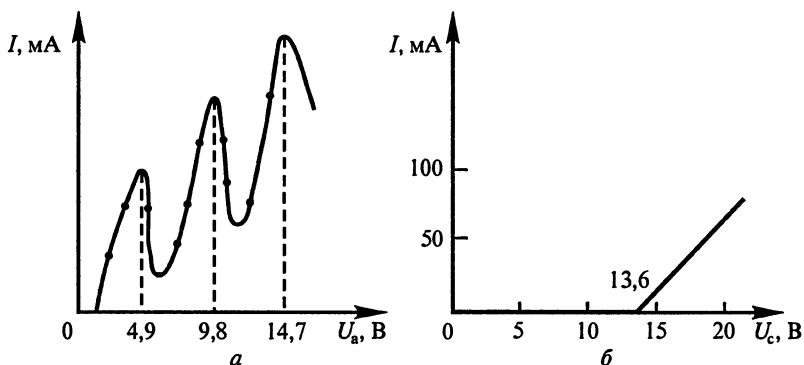


Рис. 11.4

Объяснение заключается в следующем. До тех пор, пока энергия электронов меньше 4,9 эВ, соударения их с атомами ртути происходят упруго. Так как масса атома в сотни тысяч раз превосходит массу электрона, то электроны при этом практически не теряют энергии и, преодолевая тормозящее действие поля на участке анод–коллектор, достигают коллектора. При энергии 4,9 эВ, соответствующей энергии возбуждения атома ртути, т. е. переходу электрона с начального уровня на ближайший верхний, соударение (если оно происходит) становится неупругим. Электрон отдаст энергию атому ртути, а потому сила тока уменьшается. Значение этой энергии, отнесенное к заряду электрона, называется *потенциалом возбуждения*. По мере роста ускоряющего напряжения сила тока снова растет, так как электроны, претерпевшие одно неупругое соударение, сохраняют достаточную для преодоления тормозящего поля энергию и опять участвуют в создании тока. При напряжении 9,8 В электроны могут вновь испытать неупругое соударение. Однако электронов, испытавших двукратное неупругое соударение, относительно мало, поэтому второй провал в характеристике будет не таким глубоким, как первый.

Атом, возбужденный электронным ударом, может излучить фотон с частотой

$$\nu_0 = \frac{E}{h}, \quad \nu_0 = \frac{4,9 \cdot 1,6 \cdot 10^{-19} \text{ Дж}}{6,6 \cdot 10^{-34} \text{ Дж} \cdot \text{с}} = 1,2 \cdot 10^{15} \text{ с}^{-1},$$

которой отвечает длина волны

$$\lambda_0 \approx 259 \text{ нм},$$

хорошо соответствующая опыту.

Может возникнуть вопрос: почему в этом опыте не наблюдается поглощение меньшей энергии, соответствующей более длинным волнам, имеющимся в спектре ртути? Дело в том, что линия  $\lambda_0$  является самой интенсивной, т.е. вероятность процессов, описанных выше, наибольшая. Поглощение и излучение, отвечающие другим линиям, гораздо менее вероятны и просто ускользают от наблюдения.

На установке, подобной той, которая применялась в опытах Франка и Герца, можно измерить не только значение потенциалов возбуждения атомов, но и ионизационный потенциал, определяемый отношением энергии ионизации к заряду электрона. Для проведения таких измерений задерживающее напряжение между анодом и коллектором увеличивают до значения, превышающего расчетное значение ионизационного потенциала. Тогда ток в цепи коллектора будет определяться положительными ионами, образующимися только в том случае, когда напряжение  $U_c$  превышает ионизационный потенциал. Вольт-амперная характеристика в этом случае имеет вид, изображенный на рис. 11.4, б (при заполнении трубки водородом).

Как следует из (11.17), ионизационный потенциал соответствует переходу электрона с первой орбиты на орбиту с бесконечно большим  $n$ . Из (11.15) видно, что при больших  $n$  радиус  $r_n$  электронной орбиты может достигать весьма внушительных значений. При  $n = 10^3$  радиус атома в миллион раз превышает радиус первой боровской орбиты. Возникает вопрос об экспериментальной проверке возможности состояния атомов водорода с большими  $n$ . Результаты экспериментального исследования излучения атомов водорода показали, что далеко за пределами Земли в космосе возможна реализация состояния с  $n \approx 10^3$ . Вполне понятно, что частота линии излучения, соответствующая этому переходу, лежит в метровом диапазоне длин волн.

С помощью радиотелескопа была зафиксирована линия излучения атома водорода, соответствующая переходу между уровнями с  $m = 733$  и  $n = 732$ . На рис. 11.5 приведены данные о результатах спектральных исследований излучения атома водорода, полученных за сто лет, начиная с 1885 г.

Теорию Бора с успехом можно применить и для описания свойств других систем, подобных атому водорода.



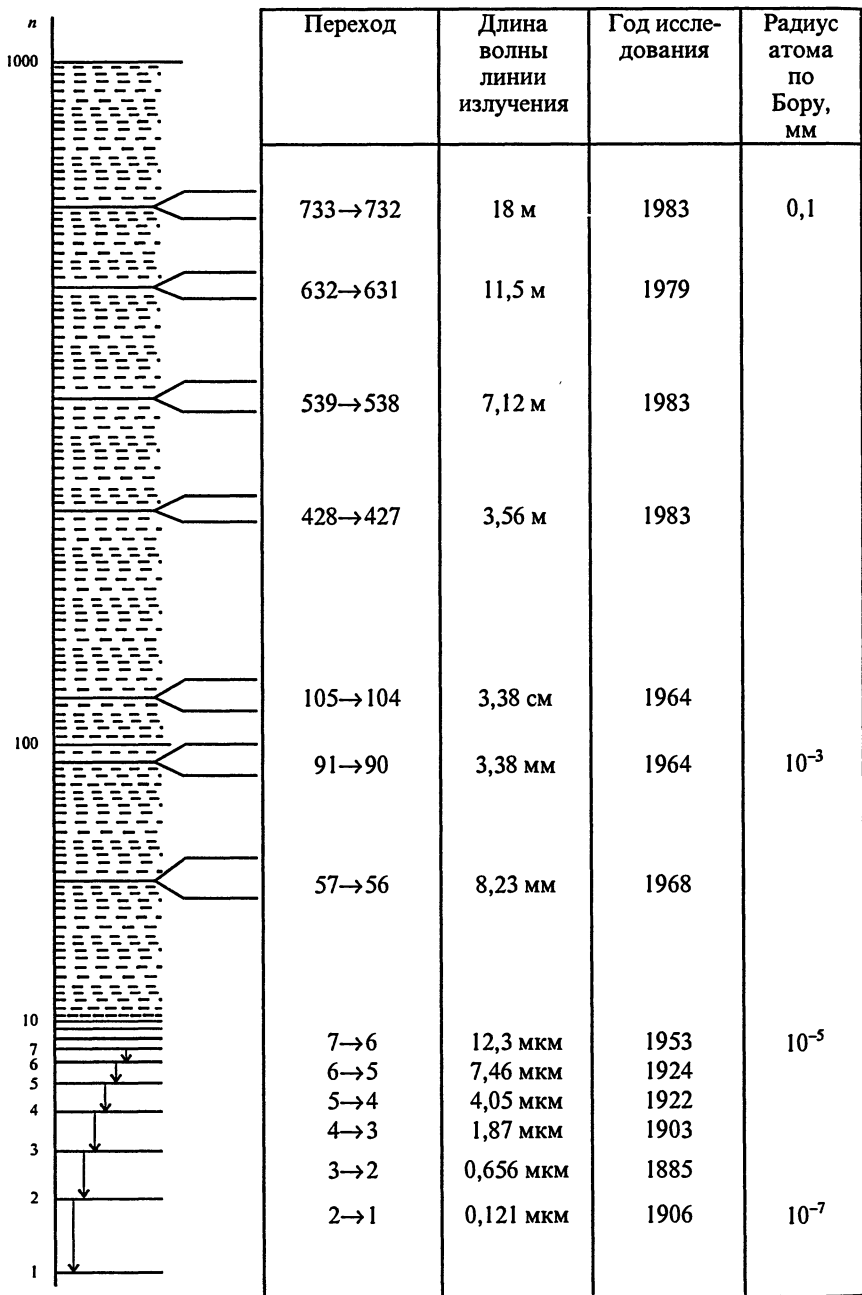


Рис. 11.5

К числу таких водородоподобных атомов можно отнести однократно ионизированный атом гелия или многократно ионизированные атомы других элементов, *позитроний* – систему из электрона и его положительно заряженной античастицы (позитрона), *мезоатом* – атом, на орбите которого вместо электрона находится мезон (частица, обладающая отрицательным зарядом  $-e$  и массой, в 207 раз большей массы электрона), *экситон* – систему из электрона и дырки, образующуюся в полупроводниковых материалах.

В спектре однократно ионизированного атома гелия также была выделена серия, частоты линий в которой совпадают с соответствующими линиями в серии Бальмера с точностью до поправки, вычисленной с учетом приведенной массы электрона в атоме гелия. Впервые экспериментально такие линии излучения были обнаружены в спектре Солнца в 1895 г., лишь через 25 лет гелий был найден на Земле. Атом позитрония интересен тем, что масса его ядра равна массе электрона.

Это обстоятельство приводит к тому, что приведенная масса электрона равна в этом случае

$$\mu = \frac{m_e m_{\text{поз}}}{m_e + m_{\text{поз}}} = \frac{m_e}{2}.$$

И следовательно,

$$E = \frac{13,6 \text{ эВ}}{2} = 6,8 \text{ эВ},$$

что соответствует экспериментальным данным.

В мезоатоме на орбите вокруг ядра движется мезон. Так как масса мезона в 207 раз больше массы электрона, радиус первой боровской орбиты во столько же раз меньше. Это приводит к тому, что поле других электронов, если они есть в атоме, практически не влияет на поведение мезона и его энергию взаимодействия с ядром можно рассчитывать, не принимая во внимание другие электроны. При больших значениях  $Z$  радиус орбиты мезона может быть меньше радиуса ядра. Это приводит к нарушению кулоновской зависимости для потенциальной энергии взаимодействия мезона с ядром, что сказывается на спектре мезоатома. Последнее обстоятельство используют для определения размеров ядер.

Совокупность теоретических и экспериментальных исследований приводит к выводу о том, что рассмотренное движение электрона в атоме соответствует нерелятивистскому приближению, так как скорость движения электрона на боровской орбите есть  $\alpha c$ , а энергия возбуждения имеет значение порядка десятков электрон-

вольт, что значительно меньше собственной энергии электрона  $m_e c^2 = 0,511$  МэВ, и, следовательно, внутренние процессы не могут привести к рождению или уничтожению электронов или частиц, входящих в ядро, которые еще массивнее. Эти соображения являются физическим обоснованием возможности применения уравнения Шредингера для расчета атомных систем.

#### 11.4. КВАНТОВАНИЕ МОМЕНТА ИМПУЛЬСА И ЕГО ПРОЕКЦИИ ДЛЯ ЭЛЕКТРОНА В АТОМЕ

Для описания свойств атома водорода Н. Бор постулировал квантование момента импульса электрона, движущегося по орбите вокруг ядра атома. В квантовой механике это свойство является следствием уравнений, определяющих поведение электрона в атоме. Как отмечалось выше, физические величины, операторы которых коммутируют, могут быть измерены одновременно. Можно показать, что с оператором  $\hat{H}$  коммутируют оператор проекции момента импульса электрона в атоме на некоторую ось (назовем ее  $OZ$ ) и оператор квадрата момента импульса  $\hat{M}^2$ . Доказательство этого утверждения выходит за рамки курса общей физики, и мы его не будем приводить.

По виду оператор  $\hat{M}_z$  аналогичен оператору проекции импульса на некоторую ось  $OX$  с той лишь разницей, что вместо пространственной координаты  $x$  в выражении для производной стоит угловая координата  $\varphi$ :

$$\hat{M}_z = -i\hbar \frac{\partial}{\partial \varphi}. \quad (11.21)$$

С учетом (11.21) уравнение для определения собственных функций проекции момента импульса на ось  $OZ$  примет вид:

$$-i\hbar \frac{\partial \psi}{\partial \varphi} = M_z \psi, \quad (11.22)$$

где  $M_z$  – собственное значение оператора  $\hat{M}_z$ , т. е. значение проекции момента импульса, которое будет определяться прибором в процессе измерения. Решением (11.22) с учетом условия нормировки волновой функции является выражение

$$\psi = \frac{1}{\sqrt{2\pi}} \exp\left(i \frac{M_z}{\hbar} \varphi\right). \quad (11.23)$$

Для выполнения условия однозначности  $\psi$  следует положить

$$\frac{M_z}{\hbar} 2\pi = m_l 2\pi, \quad (11.24)$$

где  $m_l$  – целое число, или

$$M_z = m_l \hbar, \quad m_l = 0, \pm 1, \pm 2, \dots \quad (11.25)$$

Таким образом, проекция момента импульса на произвольную ось квантуется, ее значение кратно  $\hbar$ .

Условие (11.25) означает, что в процессе эксперимента, в котором измеряется  $M_z$ , каждый раз будет для значения  $M_z$  измеряться значение, кратное  $\hbar$ .

Такое свойство, связанное с особенностями поведения квантовомеханических объектов, часто называют *пространственным квантованием*. Решая уравнения для определения собственных функций оператора для квадрата момента импульса

$$\hat{M}^2 \psi = M^2 \psi, \quad (11.26)$$

где  $M^2$  – собственное значение оператора  $\hat{M}^2$ , можно показать, что  $M^2$  принимает только определенные значения. Именно:

$$M^2 = l(l+1)\hbar^2, \quad (11.27)$$

т. е. момент импульса электрона в атоме также квантуется.

Квантовые числа  $n$ ,  $l$  и  $m_l$ , определяющие физические свойства электрона в атоме, связаны между собой. Если число  $n$ , называемое *главным квантовым числом*, задано, то  $l$ , называемое *орбитальным квантовым числом*, принимает целые значения:

$$l = 0, 1, 2, \dots, (n-1). \quad (11.28)$$

Число  $m_l$ , называемое *магнитным квантовым числом*, принимает значения

$$m_l = 0, \pm 1, \pm 2, \dots, \pm l, \quad (11.29)$$

т. е. всего  $2l + 1$  значений.

На рис. 11.6 приведена схема, поясняющая пространственное квантование вектора момента импульса электрона при некотором значении  $l$  орбитального квантового числа. Состояния с различными значениями  $l$  в атомной физике имеют свои названия:

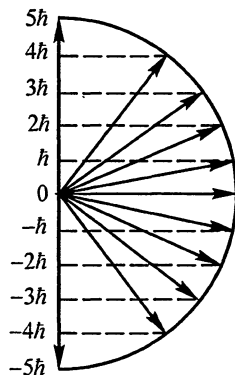


Рис. 11.6

$l = 0$  –  $s$ -состояния;  
 $l = 1$  –  $p$ -состояния;  
 $l = 2$  –  $d$ -состояния;  
 $l = 3, 4, 5 \dots$  соответственно  $f$ -,  $g$ -,  $h$ - (и далее по алфавиту) состояния.

Таким образом, при  $n = 1$  электрон в атоме может находиться только в  $s$ -состоянии, а при  $n = 2$  – как в  $s$ -, так и в  $p$ -состоянии. В  $s$ -состоянии значение момента импульса равно 0. Такое состояние противоречит классическим представлениям о движении электрона по орбите.

### 11.5. ОПЫТ ШТЕРНА И ГЕРЛАХА. СПИН ЭЛЕКТРОНА. МАГНЕТОН БОРА

В 1922 г. немецкие физики О. Штерн (1888–1969) и В. Герлах (1889–1979) поставили эксперимент по определению магнитного момента атомов. Схема эксперимента приведена на рис. 11.7.

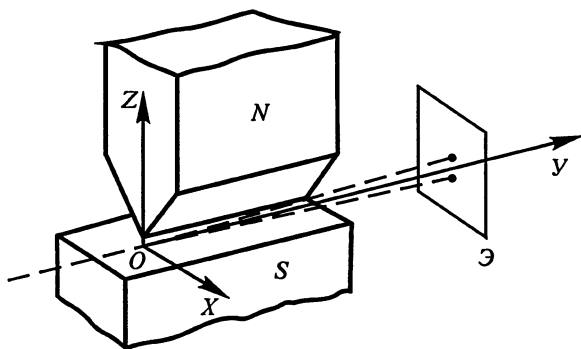


Рис. 11.7

Пучок атомов серебра после щели и ряда диафрагм проходил пространство между полюсами магнита такой формы, что между ними создавалось сильно неоднородное магнитное поле. На экране Э наблюдались следы осажденных из пучка атомов. При отсутствии магнитного поля на экране наблюдалось просто изображение щели. При наличии поля ожидалось увидеть следующую картину. Если атом имеет магнитный момент относительно оси  $OZ$ , перпендикулярной оси магнита, то в поле с магнитной индукцией  $B$  он приобретет дополнительную энергию  $\Delta U$ :

$$\Delta U = -\mu_z B_z. \quad (11.30)$$

В неоднородном магнитном поле на атом с магнитным моментом  $\mu_z$  действует сила

$$F = -\text{grad } \Delta U = \text{grad}(\mu_z B_z),$$

направленная вдоль оси  $OZ$ . В классической механике между значениями магнитного момента и момента импульса электрона в атоме имеется пропорциональная зависимость. Коэффициентом пропорциональности служит *гиромагнитное отношение*  $g = \frac{e}{2m}$ .

Очевидно, что между проекциями магнитного момента и момента импульса на ось  $OZ$  имеется такое же соотношение. Так как векторы магнитного момента  $\vec{\mu}$  и момента импульса  $\vec{M}$  направлены в противоположные стороны, то

$$\mu_z = -gM_z.$$

Можно предположить, что пространственное квантование проекции момента импульса связано с пространственным квантованием магнитного момента. Строгое рассмотрение показывает, что это действительно так, и правило квантования для  $\mu_z$  выглядит следующим образом:

$$\mu_z = -\frac{e\hbar}{2m} m_l = -\mu_B m_l,$$

где  $\mu_B = \frac{e\hbar}{2m}$  — магнетон Бора.

Сила, действующая на атом вдоль оси  $OZ$ , равна:

$$F_z = \mu_z \frac{\partial B_z}{\partial z} = -m_l \mu_B \frac{\partial B}{\partial z}.$$

Так как сила определяется значением проекции  $\mu_z$ , то пучок в магнитном поле должен расщепиться на несколько пучков, число которых равно всевозможным допустимым значениям  $m_l$ , т. е.  $2l+1$ . Для атомов серебра у валентного электрона в  $s$ -состоянии ( $l = 0$ ) расщепления не должно наблюдаться, а в  $p$ -состоянии ( $l = 1$ ) пучок должен расщепиться на три пучка. Однако результаты эксперимента оказались резко противоречащими теории. Пучок атомов в  $s$ -состоянии после прохождения магнитного поля расщепился на два пучка.

Опыты Штерна и Герлаха привели к необходимости приписать электрону еще одну степень свободы, характеризующую собственный момент импульса электрона, или *спин* электрона. Спиновое квантовое число, характеризующее значение спина, обозначим через  $s$ . Считая, что проекция спина на ось  $OZ$  так же квантуется, как и проекция орбитального момента, и характеризуя эту проекцию магнитным квантовым числом  $m_s$ , получим, что общее число возможных проекций спина на ось  $OZ$  равно

$$2s + 1.$$

Так как из опыта Штерна и Герлаха оказалось, что  $2s + 1 = 2$ , то

$$s = \frac{1}{2},$$

а  $m_s$  принимает лишь два значения:

$$m_s = \pm \frac{1}{2}.$$

Квадрат спинового момента и его проекция на ось  $OZ$  квантуются по правилам квантования орбитального момента:

$$s^2 = \hbar^2(s+1)s = \frac{3}{4}\hbar^2,$$

$$s_z = \hbar m_s = \pm \frac{1}{2}\hbar. \quad (11.31)$$

С учетом спинового квантового числа  $s$  состояние электрона в атоме характеризуется четырьмя квантовыми числами  $n, l, m_l, m_s$ .

Как следует из (11.13), энергия электрона в атоме определяется главным квантовым числом  $n$ . Но при определенном значении  $n$  электрон может находиться в состояниях с различными  $l, m_l$  и  $m_s$ . Нетрудно подсчитать, что число таких состояний  $N$  равно:

$$N = 2 \sum_{l=0}^{n-1} (2l+1) = 2n^2. \quad (11.32)$$

Каждое из этих  $2n^2$  состояний имеет одну и ту же энергию. В таком случае говорят, что состояние с  $n$  вырождено. Число состояний с одинаковой энергией называется *кратностью вырождения*. В данном случае кратность вырождения есть  $2n^2$ . Во внешнем магнитном поле энергетические уровни могут расщепляться; говорят, что вырождение в этом случае снимается.

## 11.6. ПРИНЦИП ПАУЛИ. ПЕРИОДИЧЕСКАЯ СИСТЕМА ЭЛЕМЕНТОВ МЕНДЕЛЕЕВА

Как следует из вышесказанного, состояние электрона в атоме может быть вполне описано заданием четырех величин: энергии, квадрата момента импульса, проекции момента импульса и проекции спина на ось  $OZ$ ; каждому квантовому состоянию соответствует набор четырех квантовых чисел  $n, l, m_l, m_s$ .

Как показали результаты квантовомеханических исследований, все микрообъекты можно разделить на две группы в связи с их поведением по заполнению квантовых состояний, характеризующихся набором определенных значений  $n, l, m_l, m_s$ . Оказалось, что все частицы с полуцелым спином (к их числу относятся и электроны) ведут себя так, что в одном квантовом состоянии может находиться только одна частица. Такие частицы получили название *фермионов* по имени итальянского физика Э. Ферми.

Этот экспериментальный факт лег в основу фундаментального принципа запрета, сформулированного швейцарским физиком В. Паули в 1925 г., заключающегося в том, что **в системе тождественных частиц (например, электронов) не может быть двух частиц, находящихся в одинаковом состоянии (описываемых одинаковым набором квантовых чисел).**

Частицы с целым спином (в том числе и нулевым) ведут себя иным образом. Они стремятся попасть в состояние с минимальной энергией. По имени индийского физика Ш. Бозе (1894–1974) они получили название *бозонов*.

С помощью принципа Паули удается объяснить порядок заполнения электронных состояний в атомах с изменением заряда их ядер, что приводит к пониманию физических основ фундаментального закона – периодического закона химических элементов, открытого русским химиком Д. И. Менделеевым (1834–1907) в 1869 г. В формулировке Д. И. Менделеева периодический закон

---

**Паули Вольфганг (1890–1958)**, австрийско-швейцарский физик. В 1925 г. теоретически предсказал наличие спина у электрона. Сформулировал принцип запрета, согласно которому две тождественные частицы с полуцелым спином не могут находиться в одном квантовом состоянии. В 1931 г. предсказал существование нейтрино. В 1955 г. сформулировал СРТ-теорему, отражающую симметрии элементарных частиц. В 1945 г. за открытие принципа запрета был удостоен Нобелевской премии по физике.





гласил: «Свойства элементов, а потому и свойства образуемых ими простых и сложных тел, стоят в периодической зависимости от их атомного веса».

Успехи квантовой физики и, в частности, понимание свойств ферми-частиц позволили установить, что **свойства элементов и их соединений определяются зарядом ядер атомов.**

Периодический закон Д. И. Менделеева выражается в виде таблицы, содержащей все известные в настоящее время химические элементы. Таблица содержит 8 групп и 7 периодов. В шестом и седьмом периодах имеются группы элементов с очень близкими химическими свойствами, которые объединяются в семейство редких земель, или лантаноидов, и семейство актиноидов. Принадлежность элемента к определенной группе соответствует некоторой валентности элемента.

Рассмотрим, как происходит заполнение электронных состояний в атоме по мере увеличения заряда его ядра, руководствуясь принципом Паули и квантовомеханическим описанием состояний электрона.

Простейший атом водорода имеет ядро с зарядом  $+e$ . Его единственный электрон находится в состоянии с наименьшей энергией, характеризуемым квантовыми числами  $n = 1$ ,  $l = 0$ ,  $m_l = 0$ ,  $m_s = \frac{1}{2}$ .

В зависимости от значения главного квантового числа  $n = 1, 2, 3, 4, \dots$  различают соответственно  $K$ -,  $L$ -,  $M$ -,  $N$ -, ... -слои, в которых может находиться электрон.

Таким образом, электрон в основном состоянии атома водорода находится в  $K$ -слое в  $s$ -состоянии. Часто оно обозначается следующим образом:  $1s$ -состояние. В соответствии с принципом Паули в  $1s$ -состоянии могут находиться два электрона с противоположными спинами. Эта возможность реализуется в атоме гелия, имеющем ядро с  $Z = 2$  и два электрона в  $1s$ -состоянии. Водород и гелий, содержащие электроны в  $K$ -слое, образуют первый период. Гелий является инертным газом.

Второй период открывает литий ( $Z = 3$ ), в котором два электрона занимают  $1s$ -состояние, а третий занимает  $2s$ -состояние. Этот электрон слабее связан с ядром, чем электроны в  $1s$ -состоянии, он легко может образовывать пару с электронами других элементов, поэтому валентность лития равна единице. Электрон в  $2s$ -состоянии по понятным причинам называется валентным электроном. Всего в  $L$ -слое могут находиться восемь электронов — два в  $2s$ -состоянии и шесть в  $2p$ -состоянии. По мере роста  $Z$  идет заполнение второго периода, который содержит восемь элементов

[см. формулу (11.32)] от лития до неона – инертного газа с полностью заполненным  $L$ -слоем.

В соответствии с (11.32) следовало бы ожидать, что третий период будет содержать 18 элементов, однако это не так. Третий период, как и второй, содержит 8 элементов: от натрия – одновалентного металла до инертного газа аргона. Валентные электроны в элементах третьего периода заполняют по мере роста  $Z$   $3s$ - и  $3p$ -состояния.

Калий открывает четвертый период, и его валентный электрон занимает не  $3d$ -состояние, а  $4s$ -, что оказывается энергетически более выгодным, в кальции с  $Z = 20$  также идет заполнение  $4s$ -состояния вторым электроном. Заполнение  $4s$ -состояния приводит к такому положению, при котором дальнейшее заполнение электронных состояний выгодно проводить на  $3d$ -уровнях, что и происходит на протяжении последующих десяти элементов таблицы Менделеева, начиная со скандия ( $Z = 21$ ). Электроны цинка ( $Z = 30$ ) завершают заполнение всех возможных состояний  $M$ -слоя, и, начиная с галлия ( $Z = 31$ ), идет заполнение  $N$ -слоя, в котором могут разместиться 32 электрона. Как и в предыдущем периоде, электроны криптона заполняют  $4s$ - и  $4p$ -состояния. В рубидии ( $Z = 37$ ) и стронции ( $Z = 38$ ), которые открывают пятый период, при незаполненных 24 состояниях  $N$ -слоя идет заполнение  $5s$ -состояний. С иттрия ( $Z = 39$ ) начинается заполнение  $4d$ -состояний вплоть до индия ( $Z = 49$ ), от индия до ксенона ( $Z = 54$ ) электроны заполняют  $5p$ -состояния.

Формирование шестого периода начинается с заполнения  $6s$ -состояний у цезия ( $Z = 55$ ) и бария ( $Z = 56$ ) при 14 незаполненных состояниях в  $N$ -слое и 42 в  $O$ -слое. В лантане начинается заполнение  $5d$ -состояний, но во всех последующих 14 элементах идет заполнение вакансий  $N$ -слоя. Эти элементы образуют семейство лантаноидов, или редких земель, и имеют вследствие схожести валентных электронов практически одинаковые химические свойства. Начиная с гафния ( $Z = 72$ ) идет заполнение  $5d$ -состояний, включая ртуть ( $Z = 80$ ). От таллия ( $Z = 81$ ) до радона ( $Z = 86$ ) идет заполнение  $6p$ -состояний. Франций ( $Z = 87$ ) и радий ( $Z = 88$ ) открывают седьмой период. Электроны этих элементов заполняют  $7s$ -состояния, при этом 24 состояния в  $O$ -слое и 64 в  $P$ -слое остаются незаполненными. Заполнение  $O$ -слоя идет у элементов с номерами от  $Z = 90$  (торий) до  $Z = 103$  (лоуренсий), обладающих, как и редкие земли, сходными химическими свойствами.

В элементах с  $Z = 104$  и более высокими номерами идет заполнение  $6d$ -состояний. Изучение свойств тяжелых элементов, начиная с  $Z = 83$ , затруднено, так как их ядра являются неустойчивыми

образованиями и распадаются на более легкие ядра в результате радиоактивности.

Таким образом, понимание характера заполнения электронных состояний в атоме по мере роста заряда ядра  $Z$  позволило обосновать периодичность химических свойств элементов и их спектральных закономерностей.

Действительно, электроны внешнего слоя (валентные) определяют химические свойства элемента, так как они связаны с ядром слабее, чем все остальные электроны. Они же ответственны и за оптические спектры веществ, поэтому в физике их часто называют оптическими. В частности, наибольшая частота оптического излучения атома определяется потенциалом ионизации.

Так как на внешней оболочке у щелочных металлов находится по одному валентному электрону, становится понятной схожесть их оптических спектров, в частности, наличие в их спектрах всех характерных серий.

Заполнение внутренних оболочек в отличие от внешних, начиная с гелия, не меняется с ростом  $Z$ . Это обстоятельство приводит к существенному отличию рентгеновских спектров атомов от оптических. При передаче атому энергии, достаточной для перевода электронов с внутренних оболочек на внешние или даже ионизации атома, на освободившееся место переходят электроны с соседних оболочек. При этих переходах атомы испускают фотоны, частота которых лежит в рентгеновском диапазоне частот. Это излучение называется *характеристическим*, так как оно зависит только от природы излучающего атома, в частности от значения его зарядового числа  $Z$ .

Частота линий характеристического излучения определяется законом Мозли:

$$\nu_{n,p} = \tilde{R}(Z - \alpha)^2 \left( \frac{1}{n^2} - \frac{1}{p^2} \right),$$

выражение для которого подобно формуле Бальмера, с той лишь разницей, что заряд ядра  $Z$  имеет некоторую поправку для одинаковых сериальных линий в спектрах разных атомов. Эта поправка называется *поправкой экранирования*, так как учитывает экранирование поля ядра другими электронами. Из-за того что строение внутренних оболочек у атомов практически одинаковое,  $\alpha$  не зависит от  $Z$  при достаточно большом (в пределах десятка) изменении значения  $Z$ . Частота излучения определенной линии в спектре характеристического рентгеновского излучения атомов с разными значениями  $Z$  изменяется пропорционально квадрату  $Z$ . Эта за-

кономерность была впервые установлена Мозли в 1913 г. и сыграла большую роль в установлении зарядового числа  $Z$  для различных элементов и, следовательно, в уточнении места некоторых химических элементов в таблице Менделеева.

## 11.7. ВЛИЯНИЕ СПИНА ЭЛЕКТРОНОВ НА АТОМНЫЕ СПЕКТРЫ. СПИН-ОРБИТАЛЬНОЕ ВЗАИМОДЕЙСТВИЕ

Экспериментальное изучение спектра испускания атома натрия привело к открытию так называемой *тонкой структуры спектральных линий*. С помощью спектрального прибора, имеющего разрешение  $\approx 1 \text{ см}^{-1}$ , можно обнаружить, что самая интенсивная желтая линия в спектре испускания натрия представляет собой две близко расположенные линии – так называемый *желтый дублет* натрия.

Для объяснения экспериментального факта расщепления спектральных линий на две близко расположенные линии необходимо учесть взаимодействие магнитного поля, возникающего из-за орбитального движения электрона, с собственным магнитным моментом электрона. Такое взаимодействие носит название *спин-орбитального* взаимодействия. Не имея возможности описать это явление математически, постараемся качественно понять его происхождение. Если электрон находится в состоянии с  $l \neq 0$ , двигаясь в поле ядра атома, то в результате такого движения возникает магнитное поле с индукцией  $\vec{B}_l$ , задающее в пространстве выделенное направление. Проекция спина электрона на это направление может принимать два значения, что приводит к квантованию полного момента импульса электрона. В зависимости от ориентации спина относительно вектора  $\vec{B}_l$  результирующий момент характеризуется или суммой  $l + s$ , или разностью  $l - s$ , значения которых приписывают так называемому *внутреннему квантовому числу*  $j$ , определяющему квантование полного момента импульса электрона в атоме  $J$ . Полный момент импульса квантуется так же, как и орбитальный момент, т. е.

$$J^2 = \hbar^2(j+1)j, \quad (11.33)$$

где  $j = |l \pm s|$ .

Проекция  $j$  на некоторое направление  $OZ$  при некотором  $j$  может принимать  $2j + 1$  значений, причем

$$j_z = m_j \hbar, \quad (11.34)$$

где  $m_j = \pm j; \pm(j-1); \pm(j-2); \dots$ .

Если, например,  $l = 1$ , то  $j$  может принимать значения  $j_1 = \frac{3}{2}$  и  $j_2 = \frac{1}{2}$ . В первом случае спин направлен вдоль орбитального мо-

мента, во втором – против. Это приводит к тому, что в этих состояниях значения энергии электрона несколько отличаются друг от друга, так как собственный магнитный момент электрона по-разному взаимодействует с магнитным полем, вызванным орбитальным движением электрона. При спин-орбитальном взаимодействии вырождение по спину снимается, энергетический уровень с  $l \neq 0$  расщепляется на два. Так как расщепление невелико для оптических переходов по сравнению с энергией исходного состояния, то такое расщепление приводит к *тонкой структуре уровней*.

Энергия электрона в атоме водорода с учетом спин-орбитального взаимодействия может быть рассчитана в квантовой механике. Правда, уравнение Шредингера для этого неприменимо, так как в нем не учитываются спин электрона и релятивистские эффекты, которые существенны в этом случае.

Правильный ответ можно получить, применяя уравнение Дирака. Расчетная формула имеет вид:

$$E = -\tilde{R}Z^2 \frac{1}{n^2} - \frac{\alpha^2 \tilde{R}Z^4}{n^3} \left( \frac{1}{j + \frac{1}{2}} - \frac{3}{4n} \right). \quad (11.35)$$

Она отличается от выражения (11.13) вторым слагаемым, зависящим от квантовых чисел  $s$  и  $j$ . Видно, что значение этого слагаемого

зависит от  $\alpha^2 = \left( \frac{e^* \hbar}{\hbar c} \right)^2$ , где  $\alpha$  – постоянная тонкой структуры.

В результате тонкой структуры энергетических уровней будет наблюдаться тонкая структура спектральных линий. Это явление проще экспериментально наблюдать у водородоподобных атомов, так как расщепление уровня пропорционально  $Z^4$ . Если вторым слагаемым в (11.35) можно пренебречь по сравнению с первым, то тонкую структуру можно не учитывать, спектральные линии при этом являются синглетными (от англ. single – одиночный).

## 11.8. СПЕКТРЫ МНОГОЭЛЕКТРОННЫХ АТОМОВ

Спектры многоэлектронных атомов существенно отличаются от сравнительно простых спектров водородоподобных атомов. Они оказываются гораздо более сложными.

Бросается в глаза обилие спектральных линий и отсутствие на первый взгляд какой-либо закономерности в их расположении. Такой характер спектра многоэлектронных атомов можно качественно объяснить следующим образом. Наличие электронов, находящихся в поле ядра, приводит к экранированию электрического поля ядра. Следствием этого является зависимость энергии электрона не только от  $n$ , но и от  $l$ . Чем больше значение  $|\psi(n, l)|^2$  на расстояниях, близких к ядру, тем больше энергия взаимодействия электрона, находящегося в этом состоянии, с ядром. Таким образом, вырождение энергии по  $l$  в сложных атомах снимается. Расщепление уровней с данным значением  $n$ , но с разными  $l$  может быть таким большим, что уровни энергии, соответствующие разным  $n$ , могут перемешиваться (рис. 11.8). Учет спин-орбитального взаимодействия приводит к дополнительному расщеплению  $p$ -,  $d$ - и других уровней. Всевозможные переходы между различными энергетическими уровнями и обуславливают ту сложную картину спектров, которая наблюдается в эксперименте. Очевидным также является утверждение, что орбитальное движение любого электрона, создающее магнитное поле, должно влиять на орбитальное движение других электронов в атоме. Возникает естественный вопрос о взаимодействии как орбитальных, так и спиновых моментов электронов. Как показывают результаты экспериментов и квантовомеханические расчеты, суммарный момент электронов в атоме можно находить по следующим правилам.

Для легких и средних атомов, для которых спин-орбитальным взаимодействием можно пренебречь, суммарный орбитальный момент атома является суммой орбитальных моментов  $\vec{M}_1, \vec{M}_2, \dots, \vec{M}_n$  отдельных электронов, т.е.

$$\vec{M} = \vec{M}_1 + \vec{M}_2 + \vec{M}_3 + \dots + \vec{M}_n. \quad (11.36)$$

Также и суммарный спин  $\vec{S}$  является суммой отдельных спинов:

$$\vec{S} = \vec{s}_1 + \vec{s}_2 + \vec{s}_3 + \dots + \vec{s}_n. \quad (11.37)$$

Полный момент атома  $\vec{J}$  определяется геометрической суммой  $\vec{L}$  и  $\vec{S}$ :

$$\vec{J} = \vec{L} + \vec{S}. \quad (11.38)$$

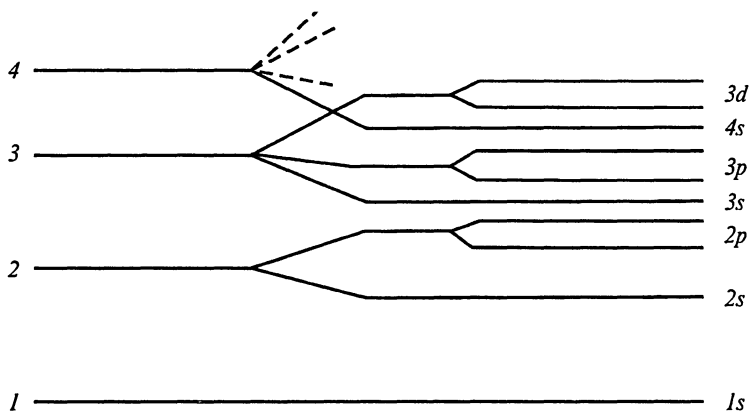


Рис. 11.8

Каждому из моментов  $\vec{L}, \vec{S}, \vec{J}$  соответствуют свои квантовые числа  $l, s, j$ . Причем правила квантования этих величин такие же, какие были введены выше при описании квантования квадрата момента импульса и его проекции на ось.

Связь между  $\vec{L}$  и  $\vec{S}$ , задаваемая соотношением (11.38), называется *нормальной связью*, или *связью Рассела–Саундерса*.

В тяжелых атомах из-за значительного спин-орбитального взаимодействия результирующий момент  $\vec{J}$  равен:

$$\vec{J} = \sum_{i=1}^n \vec{J}_i, \text{ где } \vec{J}_i = \vec{M}_i + \vec{S}_i. \quad (11.39)$$

Такой вид связи носит название  $j-j$ -связи.

Поясним правило сложения моментов импульсов в квантовой механике на примере многоэлектронного атома, рассмотрев сложение моментов всего лишь двух электронов с результирующими моментами  $\vec{J}_1$  и  $\vec{J}_2$ . Значения  $J_1$  и  $J_2$  квантуются в соответствии с правилом (11.33). Если числа  $j_1$  и  $j_2$  заданы, то значения  $J_1$  и  $J_2$  определяются из соотношений

$$J_1^2 = \hbar^2(j_1 + 1)j_1,$$

$$J_2^2 = \hbar^2(j_2 + 1)j_2,$$

Значение результирующего момента  $\vec{J} = \vec{J}_1 + \vec{J}_2$  также квантуется, причем

$$J^2 = \hbar^2(j + 1)j,$$

где  $j$  – число, принимающее ряд возможных значений, зависящих от  $j_1$  и  $j_2$  следующим образом:

$$j = j_1 + j_2, \quad j_1 + j_2 - 1, \dots, |j_1 - j_2|,$$

т. е.  $j$  может иметь все значения от  $j_1 + j_2$  до  $|j_1 - j_2|$ , отличающиеся друг от друга на единицу.

Определение результирующего момента всех электронов, входящих в состав многоэлектронного атома, может быть получено последовательным применением рассмотренного правила для всех моментов.

Учет особенностей сложения угловых моментов электронов в сложных атомах позволяет объяснить спектральные закономерности таких систем, понять особенности их поведения во внешних электрических и магнитных полях.

При излучении фотона, связанного с переходом атома из одного энергетического состояния в другое, должны выполняться законы сохранения энергии и импульса. Как показывает анализ переходов в атомах с большими значениями  $Z$ , т. е. со сложной электронной оболочкой, не все переходы отвечают этому требованию. Однако можно сформулировать «правила отбора», определяющие те переходы, при которых происходит излучение фотона. Рассмотрение этих правил в этой книге невозможно.

## 11.9. ЭЛЕКТРОННЫЙ ПАРАМАГНИТНЫЙ РЕЗОНАНС

Как видно из (11.30), разность энергий между соседними расщепившимися уровнями атома водорода в магнитном поле равна:

$$\Delta E = \mu_B B. \quad (11.40)$$

С учетом спин-орбитального взаимодействия выражение (11.40) принимает вид:

$$\Delta E = \mu_B g B, \quad (11.41)$$

где  $g$  – так называемый *множитель Ланде*, который определяется значениями квантовых чисел  $j, l, s$  для электрона в атоме. Обычно  $g$  имеет значение порядка единицы. Благодаря взаимодействию, существующему между атомами, например из-за соударений в результате теплового движения, атомы в магнитном поле могут переходить в возбужденные состояния, в том числе и с энергией расщепленных уровней. При этом число атомов будет больше на уровнях с меньшей энергией. Такая система атомов может поглощать элект-



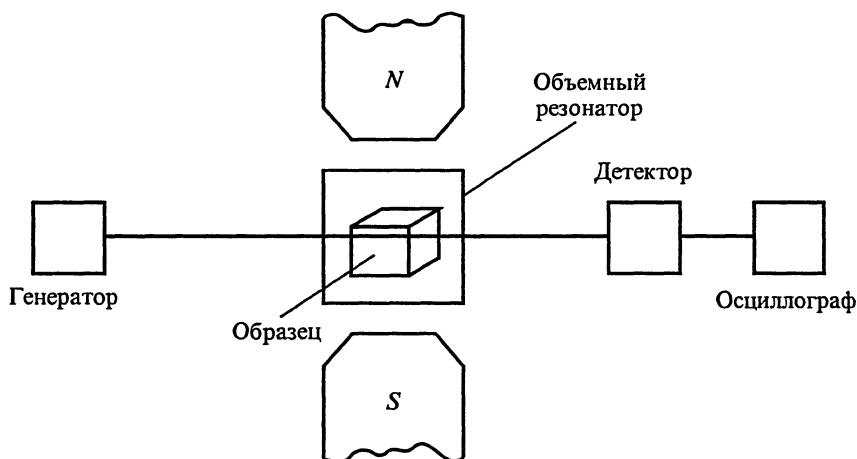


Рис. 11.9

ромагнитное излучение, частота которого удовлетворяет условию

$$\hbar\omega = \mu_B g B. \quad (11.42)$$

Такое явление поглощения электромагнитного излучения веществом, помещенным в магнитное поле, называется *электронным парамагнитным резонансом* (ЭПР), так как оно имеет место лишь для парамагнетиков. Электронный парамагнитный резонанс впервые наблюдался в 1944 г. советским физиком Е. К. Завойским. Нетрудно оценить частоту перехода при ЭПР, воспользовавшись условием (11.42). Полагая  $g = 1$ , а  $B = 1$  Тл, получим:

$$f \approx 10^{10} \text{ Гц},$$

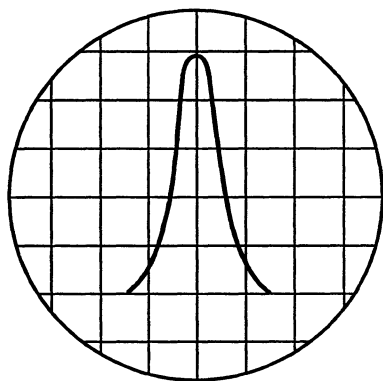


Рис. 11.10

т. е. частоту, соответствующую сантиметровому диапазону длин волн. Хорошая техническая освоенность этого диапазона позволяет сравнительно просто реализовать экспериментальную установку для наблюдения ЭПР, блок-схема которой приведена на рис. 11.9.

От генератора сантиметровых волн излучение по волноводу направляется к образцу, помещенному в объемный резонатор. Последний находится между полю-

сами электромагнита. После объемного резонатора излучение по волноводу поступает на детектор, регистрирующий интенсивность прошедшей через резонатор волны. В процессе измерения значение индукции магнитного поля  $B$  линейно меняется со временем. В те моменты, когда значение  $B$  удовлетворяет условию ЭПР (11.42), наблюдается резонансное поглощение падающего излучения. Если синхронизировать частоту изменения магнитного поля с частотой развертки осциллографа, то на его экране можно увидеть кривую поглощения образца (рис. 11.10). Метод ЭПР широко применяется в экспериментальной физике для измерения магнитных моментов атомов и молекул.

## 11.10. ПРИРОДА ХИМИЧЕСКОЙ СВЯЗИ. МОЛЕКУЛЫ

Проблема объяснения природы химических соединений возникла задолго до создания квантовой механики и современных представлений о строении атомов. Изучение внутренней структуры различных веществ позволило исследователям установить, что в основном все многообразие химических соединений определяется двумя типами связей: *гетерополярной*, или *ионной*, характерной для ионизированных атомов, и *гомополярной*, или *ковалентной*, осуществляемой между нейтральными атомами.

Ионная связь легко объясняется электрическим взаимодействием между ионизированными атомами. Характерным представителем молекулы, образованной за счет такой связи, является молекула  $\text{NaCl}$ .

Происхождение ковалентной связи удалось объяснить только на основе квантово-механических представлений. Впервые это сделали в 1927 г. немецкие физики В. Гайтлер и Ф. Лондон, изучив взаимодействие двух нейтральных атомов водорода.

Рассмотрим качественно картину образования молекулы водорода при сближении двух атомов водорода. Пока атомы водорода  $\text{H}'$  и  $\text{H}''$  находятся на достаточ-

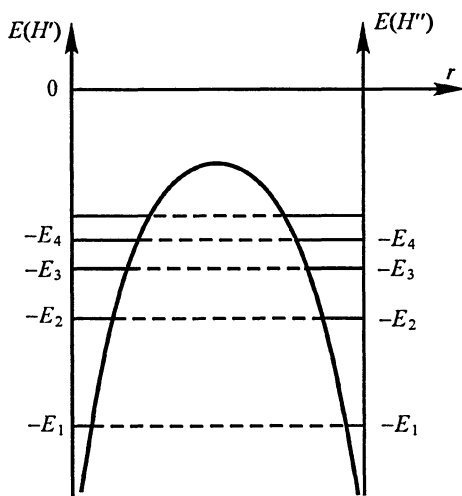


Рис. 11.11

но большом расстоянии, при котором их взаимодействием можно пренебречь, энергетические уровни и волновые функции электронов в этих атомах одинаковы. По мере сближения атомов друг с другом появляется возможность обмена электронами между атомами за счет туннельного эффекта через энергетический барьер, разделяющий электроны в соседних атомах (рис. 11.11). Как видно из рисунка, кинетическая энергия электрона  $E_k$  будет иметь отрицательное значение, определяемое энергией его стационарного состояния в атоме (например,  $E_k = -E_1$ ). Частицы с отрицательной кинетической энергией в квантовой механике называются *виртуальными частицами* в отличие от реальных, для которых кинетическая энергия больше нуля. Для виртуального электрона импульс  $p$  оказывается чисто мнимой величиной:  $p = i\sqrt{2mE_1}$ . Амплитуда вероятности для электрона перейти от одного атома водорода к другому, удаленному на расстояние  $r$  от него, определяется сферической волной де Бройля 
$$\psi = \frac{\exp(ipr / \hbar)}{r}.$$

Если в выражение для  $\psi$  подставить значение импульса виртуального электрона, то получим, что амплитуда вероятности перехода для виртуального электрона определится выражением:

$$\psi = \frac{e^{-\frac{r\sqrt{2mE_1}}{\hbar}}}{r} = \frac{e^{-\frac{r}{R}}}{r}, \text{ где } R = \hbar / \sqrt{2mE_1}.$$

Из полученной формулы видно, что амплитуда вероятности обмена электронами является действительной величиной, значение которой увеличивается с уменьшением расстояния между атомами. Величина  $R$  характеризует эффективный радиус области обменного взаимодействия атомов водорода. Значение  $R$  уменьшается с ростом массы виртуальной частицы.

При сближении атомов водорода волновые функции их электронов перекрываются. Так как электроны не могут находиться в одном состоянии с одинаково направленными спинами, то их расположение в пространстве между атомами водорода будет зависеть от взаимной ориентации спинов электрона.

Если спины направлены в одну сторону, то электроны удаляются как можно дальше друг от друга, что приводит к дополнительному отталкиванию атомов и увеличению энергии взаимодействия электрона с ядром атома. Если же спины электронов направлены противоположно друг другу, то вероятность совмест-

ного пребывания электронов максимальна в области пространства между атомами, что приводит к уменьшению энергии взаимодействия электрона с ядром атома, экранированию положительного заряда ядер атомов водорода и, как следствие этого, к их взаимному притяжению.

Таким образом, туннелирование электронов через энергетический барьер приводит к дополнительному, по сравнению с электрическим, взаимодействию, называемому *обменным*. При этом оказывается, что энергия обменного взаимодействия  $U_{об.вз}$  пропорциональна амплитуде вероятности  $\psi$ , т.е.  $U_{об.вз} \approx e^{-r/R} / r$ .

На рис. 11.12 показана зависимость энергии  $E$  стационарных состояний электронов в молекуле водорода от расстояния  $r$  между атомами. Каждый уровень при сближении атомов расщепляется на два, характеризующихся своей энергией взаимодействия:  $E_n + U_{об.вз}$  при суммарном спине электронов  $S = 1$  и  $E_n - U_{об.вз}$  при  $S = 0$ .

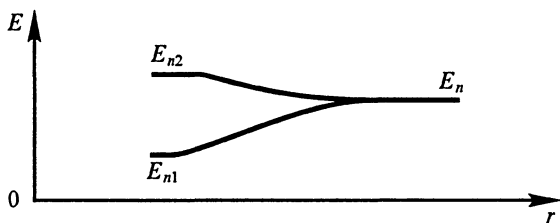


Рис. 11.12

Совместное действие электрического и обменного взаимодействий приводит к характерной зависимости энергии взаимодействия между нейтральными атомами от их взаимного расстояния. На рис. 11.13 представлен график, характеризующий изменение энергии взаимодействия между нейтральными атомами водорода в зависимости от расстояния  $r$  между их ядрами. Стрелки определяют ориентацию спинов электронов в молекуле водорода. Энергия взаимодействия между атомами водорода в случае противоположно направленных спинов их электронов имеет явно выраженный минимум при  $r_1 = 0,14$  нм, что согласуется с результатами экспериментов по определению размеров молекулы водорода. Видно, что для состояния с противоположными спинами при некотором значении  $r$ , равном  $r_0$ , имеется отчетливый минимум энергии взаимодействия, что приводит к возможности образования молекулы водорода. В состоянии с сонаправленными спинами такой возможности нет.

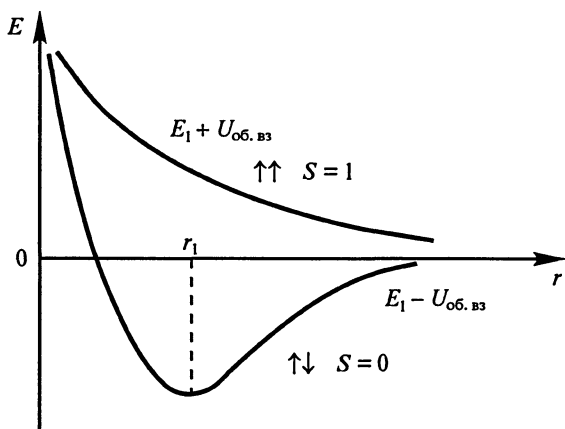


Рис. 11.13

Таким образом, химическая связь объясняется специфической особенностью поведения квантовомеханических объектов, связанной с существованием различных состояний электронов благодаря взаимной ориентации их спинов.

Число неспаренных электронов, находящихся на внешних электронных оболочках атомов, определяет их валентность, т. е. возможность атомов вступать в химические соединения с определенным числом других атомов, например атомов водорода. На примере элементов второго периода периодической системы элементов Менделеева проследим за изменением валентности с увеличением их порядкового номера. Литий, открывающий второй период, — одновалентный элемент, так как на его  $2s$ -уровне находится один неспаренный электрон.

В атоме бериллия в  $2s$ -состоянии находятся два электрона, и, следовательно, валентность этого элемента должна быть равна нулю. Однако связь электрона в этом состоянии невелика, и он может легко возбуждаться в  $2p$ -состояние, что приводит к появлению двух неспаренных электронов и к валентности бериллия, равной 2. Необходимую энергию атом бериллия получает в процессе химической реакции.

В атоме бора один электрон в  $2p$ -состоянии обеспечивает ему валентность, равную 1. Однако в процессе химической реакции один электрон из  $2s$ -состояния может перейти в  $2p$ -состояние, и бор станет трехвалентным элементом.

Углерод по этим же причинам может быть или двух-, или четырехвалентным элементом. Возможность образовывать четыре ковалентные связи делает углерод чрезвычайно важным элемен-

том при формировании сложных, в том числе органических, молекул. В азоте три электрона в  $2p$ -состоянии обеспечивают его валентность, равную 3.

Атом кислорода двухвалентен. Фтор имеет валентность, равную 1, так как в  $2p$ -состоянии находятся пять электронов, среди которых только один с «неспаренным» спином. У неона  $2p$ -уровень заполнен, поэтому неон – инертный газ.

## 11.11. МОЛЕКУЛЯРНЫЕ СПЕКТРЫ

Помещая вещество в пламя горелки или в область электрического разряда, например между электродами искрового или дугового разряда, можно наблюдать свечение соединений, имеющих молекулярное строение. Изучение спектров этого излучения с помощью спектральных приборов позволяет выявить ряд закономерностей молекулярных спектров. Если, как мы убедились ранее, спектры атомов состоят из отдельных линий, то молекулярные спектры имеют структуру в виде полос, состоящих из многих отдельных спектральных линий. Отсюда название молекулярных спектров – *полосатые*. Наличие таких регулярно повторяющихся полос говорит о существовании механизма квантования энергетических уровней молекул. Основной причиной, приводящей к квантованию энергии молекулы, является существование потенциальной ямы для атомов, составляющих молекулу. Пространственное ограничение движения электронов около ядер атомов, как следует из предыдущих рассуждений, приводит к квантованию значений энергии электронов. Однако, как показывает расчет, переходы молекул из возбужденного в невозбужденное электронное состояние не могут привести к «полосатости» молекулярного спектра; они могут дать лишь отдельные линии, подобные линиям в атомных спектрах.

В молекулах в отличие от атомов изменения энергии возможны не только за счет перестройки электронных орбит, но и за счет движения ядер атомов, образующих молекулу.

Во-первых, ядра могут совершать колебательные движения. В этом случае молекула будет вести себя как квантовый осциллятор, энергия которого квантуется.

Во-вторых, молекула как целое может совершать вращательное движение, при котором энергия также принимает только определенные значения.

Таким образом, энергию определенного состояния молекулы  $E$  можно представить суммой энергии электронных состояний  $E_e$ ,

энергии колебательного движения  $E_k$  и энергии вращательного движения  $E_{вр}$ :

$$E = E_3 + E_k + E_{вр}. \quad (11.43)$$

Пусть энергия возбужденного состояния  $E'$  будет обусловлена изменением всех трех слагаемых в (11.43), т. е.

$$E' = E'_3 + E'_k + E'_{вр}. \quad (11.44)$$

Тогда при переходе из возбужденного состояния в невозбужденное, если это разрешено правилами отбора, будет испущен квант электромагнитного излучения с энергией

$$\hbar\omega = E' - E = (E'_3 - E_3) + (E'_k - E_k) + (E'_{вр} - E_{вр}). \quad (11.45)$$

Физика молекул такова, что  $E'_3 - E_3$  примерно на порядок превышает  $E'_k - E_k$  и на два-три порядка больше  $E'_{вр} - E_{вр}$ .

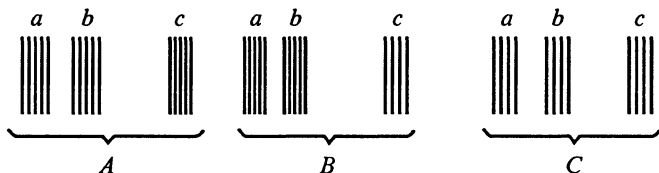


Рис. 11.14

Изменение энергии вращения приводит к появлению отдельных полос в спектре испускания молекулы, изменение колебательной энергии приводит к появлению системы полос  $a$ ,  $b$ ,  $c$  (рис. 11.14), изменение же энергии электронных состояний вызывает появление системы полос  $A$ ,  $B$ ,  $C$ . Из сказанного ясно, что полосатые спектры получаются при таких внешних воздействиях, которые приводят не только к возбуждению колебательных и вращательных степеней свободы, но и к перестройке электронных конфигураций. Если же энергии возбуждения хватает только на возбуждение, например, вращательных уровней, то соответствующие линии испускания наблюдаются в инфракрасной области спектра.

## 11.12. КОМБИНАЦИОННОЕ РАССЕЯНИЕ СВЕТА

Наличие колебательных и вращательных уровней энергии обнаруживается в явлении комбинационного рассеяния света, открытого независимо друг от друга в 1928 г. советскими физиками Г.С.Ландсбергом, Л.И.Мандельштамом и индийскими учеными

Раманом и Кришнаном. Суть явления заключается в следующем. При освещении веществ светом с частотой  $\omega_0$  в рассеянном излучении наблюдаются линии с частотами  $\omega_0 \pm \omega_i$ , где  $\omega_i$  – частота вращательных или колебательных переходов молекул вещества. На рис. 11.15 приведена схема энергетических уровней молекулы некоторого вещества, в котором наблюдается эффект комбинационного рассеяния света.

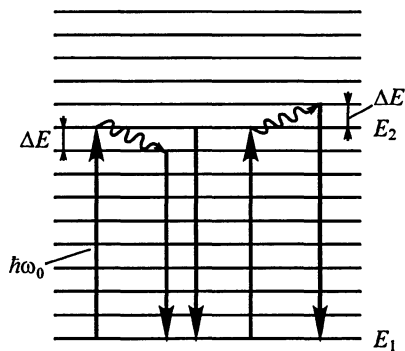


Рис. 11.15

При освещении светом с частотой  $\omega_0 = \frac{E_2 - E_1}{\hbar}$  молекула совершает переход из состояния, характеризуемого энергией  $E_1$ , в состояние, характеризуемое энергией  $E_2$ , с поглощением кванта энергии  $\hbar\omega_0$ . Из возбужденного состояния молекула может перейти опять в состояние  $E_1$ , что приводит к появлению в спектре рассеянного света линии с «несмещенной» частотой  $\omega_0$ . Возможны, однако, и другие пути перехода молекулы в невозбужденное состояние. Так, молекула может сначала перейти в состояние с энергией  $E_2 - \Delta E$ , где  $\Delta E$  – энергия колебательного или вращательного возбужденного состояния молекулы, а затем уже перейти в состояние с энергией  $E_1$ . Этому переходу соответствует спектральная линия с частотой

$$\omega_1 = \frac{E_2 - E_1 - \Delta E}{\hbar} = \omega_0 - \frac{\Delta E}{\hbar} = \omega_0 - \omega_i, \quad (11.46)$$

или так называемый «красный» спутник.

Из состояния  $E_2$  молекула за счет обмена энергией с другими молекулами может перейти в состояние с энергией  $E_2 + \Delta E$ , а оттуда в состояние с энергией  $E_1$ . Этому переходу соответствует «фиолетовый» спутник в спектре рассеянного света:

$$\omega_2 = \frac{E_2 + \Delta E - E_1}{\hbar} = \omega_0 + \frac{\Delta E}{\hbar} = \omega_0 + \omega_i. \quad (11.47)$$

Измерение частот спектральных линий при комбинационном рассеянии света позволяет определить значения собственных частот молекул, совершающих колебательные и вращательные движения.



### 11.13. ЛЮМИНЕСЦЕНЦИЯ. ПРАВИЛО СТОКСА

При переходе возбужденных молекул на более низкие энергетические уровни в общем случае наблюдается довольно сложный спектр излучения. Интенсивность излучаемого света превышает интенсивность теплового излучения вещества и, следовательно, это излучение является неравновесным. С течением времени после прекращения действия механизма возбуждения молекул интенсивность такого излучения уменьшается по экспоненциальному закону. Явление сверхравновесного излучения, уменьшающегося с течением времени, называется *люминесценцией*.

В зависимости от времени затухания, или, как говорят, времени *послесвечения*  $\tau$ , различают *флюоресценцию* ( $10^{-9} \text{ с} < \tau < 10^{-5} \text{ с}$ ) и *фосфоресценцию* ( $10^{-5} < \tau < 10^4 \text{ с}$ ), а в зависимости от механизма возбуждения различают несколько видов люминесценции.

При возбуждении светом говорят о *фотолюминесценции*.

Фотолюминесценцию удобно изучать, освещая вещество светом от источника  $S$  через фильтр  $A$  и наблюдая по направлению, перпендикулярному направлению распространения света, вызвавшего люминесценцию, через фильтр  $B$ , дополнительный по полосе пропускания фильтру  $A$  (рис. 11.16).

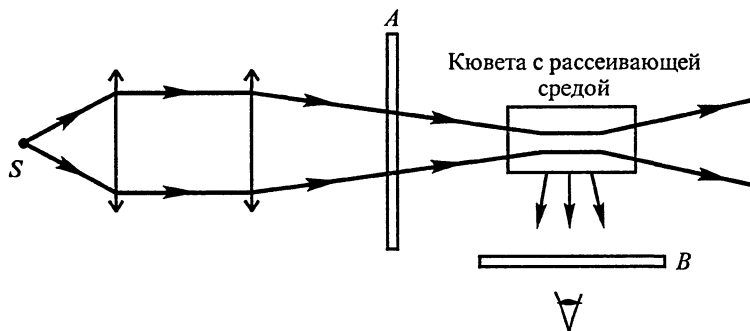


Рис. 11.16

Спектр фотолюминесценции отличается от спектра возбуждающего излучения, что было установлено впервые английским физиком Дж. Стоксом (1819–1903) в 1852 г. Правило Стокса утверждает, что **спектр люминесценции характеризуется большей длиной волны по сравнению с длиной волны возбуждающего излучения**. Расположение спектров поглощения и люминесценции показано на рис. 11.17.

Происхождение длинноволнового излучения при фотолюминесценции легко понять, если рассмотреть возбуждение вещества монохроматическим излучением. При освещении вещества излучением с частотой, соответствующей переходу молекулы из основного состояния с энергией  $E_0$  в возбужденное состояние с энергией  $E$ , возбужденная молекула может перейти в любое состояние с меньшей энергией, если это не запрещено правилами отбора. Очевидно, что частота при таких переходах меньше частоты возбужденного излучения. В некоторых случаях правило Стокса может нарушаться, когда в спектре фотолюминесценции появляются *антистоксовы* линии, т. е. линии, частоты которых больше частоты линии в спектре поглощения. Если фотолюминесценция возбуждается источником со сплошным спектром, то спектр люминесценции представляет собой множество линий, характерных для данного вещества, смещенных по отношению к спектру поглощения в сторону больших длин волн.

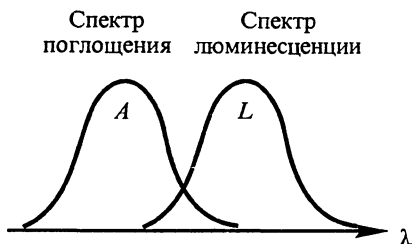


Рис. 11.17

Большую роль в изучении явления люминесценции сыграл советский физик академик С. И. Вавилов.

## 11.14. СПОНТАННОЕ И ВЫНУЖДЕННОЕ ИЗЛУЧЕНИЯ

Дискретность энергии стационарных состояний атомов и молекул приводит к характерным особенностям взаимодействия света и вещества. Обмен энергией между электромагнитным полем и веществом может происходить только отдельными порциями, квантами, энергия которых равна разности энергий отдельных устойчивых состояний атомов или молекул. В условиях теплового равновесия для каждого перехода энергия, поглощаемая системой, должна быть равна энергии, испускаемой системой за то же время. Это утверждение часто называют *принципом детального равновесия*. Из него, в частности, следует, что особенности взаимодействия поля с веществом при тепловом равновесии можно установить, рассматривая переходы квантовой системы только между двумя произвольными уровнями энергии. Такую квантовую систему для краткости называют *двухуровневой*. В 1917 г. А. Эйнштейн впервые рассмотрел взаимодействие двухуровневой системы с полем излучения в условиях теплового равновесия и

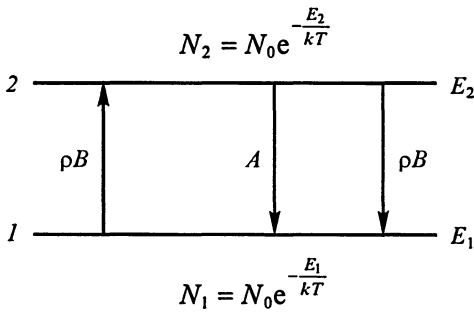


Рис. 11.18

пришел к выводу о существовании двух механизмов испускания света веществом: спонтанного (некогерентного) и вынужденного. Для обоснования этого утверждения мы рассмотрим двухуровневую систему, имеющую уровни энергии  $E_1$  и  $E_2$  (рис 11.18). Будем считать, что при некоторой температуре  $T$  число атомов на первом уровне равно

$N_1$ , а на втором  $N_2$ . Причем

$$N_1 = N_0 e^{-\frac{E_1}{kT}} \quad \text{и} \quad N_2 = N_0 e^{-\frac{E_2}{kT}}, \quad (11.48)$$

где  $N_0$  – концентрация атомов. Такое распределение называют распределением Больцмана. Атомы или молекулы вещества могут взаимодействовать с полем излучения, поглощая или испуская фотоны с энергией

$$h\nu = E_2 - E_1.$$

Поглощение фотона связано с переходом атома с уровня  $1$  на уровень  $2$ . Вероятность такого перехода в единицу времени пропорциональна объемной плотности энергии излучения  $\rho$  на частоте перехода. Коэффициент пропорциональности  $B_{12}$  определяется свойствами атома или молекулы. Обратный переход с уровня  $2$  на уровень  $1$  сопровождается испусканием фотона. По гипотезе Эйнштейна переход  $2 \rightarrow 1$  может осуществляться двумя способами: спонтанно с вероятностью  $A$  и вынужденно с вероятностью, пропорциональной объемной плотности излучения  $\rho$ . Коэффициент пропорциональности  $B_{21}$ , так же как и  $B_{12}$ , определяется свойствами излучающей системы. Если уровни энергии не вырождены, то  $B_{21} = B_{12} = B$ . Мы будем для простоты рассматривать именно такой случай. Коэффициенты  $A$  и  $B$  называются коэффициентами Эйнштейна. При спонтанном переходе атом излучает фотон независимо от самого поля излучения. Фотон, испущенный за счет механизма вынужденного (индуцированного) излучения, полностью идентичен, когерентен фотону, вызвавшему переход. Схема возможных переходов в двухуровневой системе приведена на рис. 11.18.

Запишем уравнения, определяющие изменение числа атомов на уровнях 1 и 2 со временем:

$$\begin{aligned}\frac{dN_1}{dt} &= (A + \rho B)N_2 - \rho BN_1, \\ \frac{dN_2}{dt} &= \rho BN_1 - (A + \rho B)N.\end{aligned}\tag{11.49}$$

В условиях теплового равновесия населенность уровней со временем не меняется, т.е.

$$\frac{dN_1}{dt} = -\frac{dN_2}{dt} = 0.$$

В этом случае состояние системы характеризуется уравнениями:

$$(A + \rho B)N_2 - \rho BN_1 = 0,$$

$$N_1 + N_2 = \text{const.}$$

Отсюда

$$\rho = \frac{AN_2}{BN_1 - BN_2},$$

или с учетом (11.48):

$$\rho = \frac{A}{B} \frac{1}{e^{kT} - 1}.\tag{11.50}$$

Выражение (11.50) по своей структуре идентично формуле Планка (см. гл. 9). Если предположить, что эти выражения тождественны, то получим соотношение между коэффициентами Эйнштейна в виде:

$$\frac{A}{B} = \frac{8\pi h\nu^3}{c^3}.\tag{11.51}$$

Из (11.51) видно, что отношение вероятности спонтанного излучения к вероятности вынужденного излучения растет пропорционально третьей степени частоты света. Это приводит к резкому увеличению доли некогерентного теплового излучения с ростом частоты и, в частности, затрудняет экспериментальное наблюдение вынужденных переходов в оптическом диапазоне.

Проведенные выше рассуждения показывают, что предположение о существовании вынужденных переходов позволяет получить выражение для объемной плотности энергии, по струк-

туре совпадающее с формулой Планка. Это дало основание Эйнштейну считать такой механизм вынужденного излучения реально существующим, что впоследствии было подтверждено экспериментально.

Знание механизмов поглощения и испускания света атомами или молекулами позволяет ответить на вопросы, почему свет поглощается, проходя через вещество, и возможно ли усиление света.

Рассмотрим распространение параллельного пучка света с интенсивностью  $I_0$  через слой вещества единичной площади в положительном направлении оси  $X$  и поглощение света в слое вещества между плоскостями  $x$  и  $x + dx$ . Пусть  $dN_{1\nu}$  атомов из  $N_1$ , находящихся на первом уровне, участвуют в поглощении света в интервале частот от  $\nu$  до  $\nu + d\nu$ . На уровне 2  $dN_{2\nu}$  атомов участвуют в излучении света в этом же диапазоне частот.

Очевидно, что прохождение волны через слой вещества толщиной  $dx$  приведет к уменьшению интенсивности волны на величину

$$d(I_\nu d\nu) = \rho_\nu h\nu (BdN_{1\nu} - BdN_{2\nu}) dx \quad (11.52)$$

(здесь  $\rho_\nu$  – объемная плотность энергии на частоте  $\nu$ ).

Так как в случае направленного распространения света  $\rho_\nu$  и  $I_0$  связаны соотношением

$$\rho_\nu = \frac{I_0}{v},$$

где  $v$  – скорость света в веществе, то (11.52) можно записать так:

$$-\frac{d(I_\nu d\nu)}{I_\nu dx} = h\nu B \frac{n}{c} (dN_{1\nu} - dN_{2\nu}), \quad (11.53)$$

где  $n$  – показатель преломления.

Так как согласно закону Бугера

$$I_\nu = I_0 e^{-\kappa_\nu x}, \quad (11.54)$$

где  $\kappa_\nu = -\frac{dI_0}{I_0 dx}$  – показатель поглощения света веществом, то из

(11.53) следует, что

$$\kappa_\nu d\nu = h\nu B \frac{n}{c} (dN_{1\nu} - dN_{2\nu}). \quad (11.55)$$

При выводе выражения (11.55) мы пренебрегли вкладом спонтанного излучения в интенсивность по заданному направлению по-

тому, что вероятность его испускания по этому направлению очень мала. Интегрируя (11.55) по частотам, соответствующим линии поглощения вещества, получим:

$$\int_{\Delta\nu} \kappa_\nu d\nu = \int_{\Delta N_\nu} h\nu B \frac{n}{c} (dN_{1\nu} - dN_{2\nu}). \quad (11.56)$$

Учитывая малую ширину линии поглощения, можно считать, что  $\nu$  мало изменяется в пределах линии поглощения, и принять значение  $\nu$  внутри линии постоянным, равным  $\nu_0$  – значению частоты, соответствующей максимуму поглощения света. Тогда (11.56) можно переписать в виде

$$\int_{\Delta\nu} \kappa_\nu d\nu = h\nu_0 B \frac{n}{c} (N_1 - N_2). \quad (11.57)$$

Величину  $\kappa = \int_{\Delta\nu} \kappa_\nu d\nu$  называют интегральным коэффициентом

поглощения света в веществе. Удобно выразить интегральный коэффициент через вероятность спонтанного перехода, так как величина  $\kappa$  может быть экспериментально измерена по ширине спектральной линии излучения вещества. Имея в виду выражение (11.51), получим:

$$\kappa = A \frac{c^2}{8\pi\nu_0^2 n^2} (N_1 - N_2). \quad (11.58)$$

Из (11.58) видна возможность получения эффекта отрицательного поглощения света в веществе, т.е. усиления света. Очевидно, что это явление будет наблюдаться при прохождении света через вещество с инверсной населенностью уровней, при которой  $N_2 > N_1$ . В обычных условиях, близких к равновесным, в силу распределения Больцмана  $N_1 > N_2$ , и наблюдается привычное для нас положительное поглощение.

Таким образом, существование индуцированного механизма излучения света приводит к возможности когерентного усиления света в среде с инверсной населенностью соответствующих уровней.

## 11.15. ЛАЗЕРЫ И ИХ ПРИМЕНЕНИЕ

Если часть излучения с выхода оптического усилителя подать снова на его вход, то можно при определенных условиях получить генерацию света. Для этого нужно, чтобы потери энергии в коле-



**Басов Николай Геннадиевич (1922 г.р.),** российский физик, один из основоположников квантовой электроники. В 1954 г. совместно с А.М.Прохоровым создал первый квантовый генератор на пучке молекул аммиака. В 1955 г. предложил трехуровневую схему для создания инверсного состояния в квантовых системах. В 1964 г. удостоен Нобелевской премии по физике за фундаментальную работу в области квантовой электроники.

бательной системе компенсировались поступлением энергии от внешнего источника и выполнялись определенные требования к фазе волны, поступающей с выхода системы опять на ее вход по цепи обратной связи, именно необходимо, чтобы изменение фазы колебаний на этом пути было кратно  $2\pi$ .

Впервые генераторы электромагнитного излучения, использующие механизм вынужденного перехода, были созданы в 1954 г. советскими физиками А.М.Прохоровым и Н.Г.Басовым и американским физиком Ч.Таунсом на частоте 24 ГГц. Активной средой служил аммиак.

Первый лазер в оптическом диапазоне на рубине был создан в 1960 г. американским физиком Мейманом. Осенью этого же года Джават Беннет и Эрриот продемонстрировали работу газового лазера, в котором инверсная населенность создавалась в смеси двух газов – гелия и неона.

На примере этих лазеров рассмотрим их особенности.

Активной средой в рубиновом лазере был кристалл розового рубина. По химическому составу он представлял собой корунд  $Al_2O_3$  с примесью оксида хрома  $Cr_2O_3$  (0,05%). При достижении

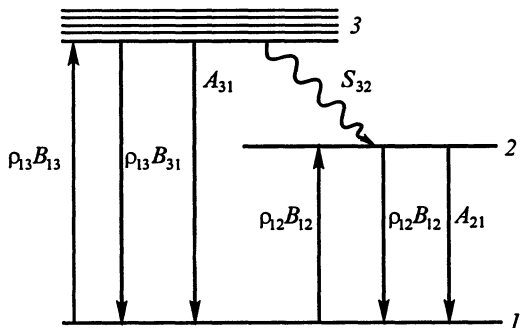


Рис. 11.19

**Прохоров Александр Михайлович (1916 г.р.),** российский физик, один из создателей квантовой электроники. В 1954 г. совместно с Н.Г.Басовым создал первый квантовый генератор на пучке молекул аммиака. В 1955–1960 гг. работал над созданием квантовых парамагнитных усилителей СВЧ-диапазона. В 1958 г. предложил в качестве резонатора квантового генератора использовать открытый резонатор. В 1964 г. за фундаментальные работы в области квантовой электроники удостоен Нобелевской премии по физике.

---



инверсной населенности использовались возбужденные состояния ионов  $\text{Cr}^{3+}$ . Концентрация ионов хрома в кристалле розового рубина первого лазера составляла  $1,62 \cdot 10^{19} \text{ см}^{-3}$ . Для ионов хрома характерна так называемая трехуровневая схема расположения энергетических состояний, показанная на рис. 11.19. Инверсная населенность в рубине достигалась оптическим методом при помощи мощной импульсной ксеноновой лампы. Под воздействием ультрафиолетового излучения лампы ионы хрома возбуждаются с вероятностью  $\rho_{13}B_{13}$  и переходят на систему уровней 3. Отсюда они могут перейти или снова на уровень 1 с вероятностью  $A_{31} + \rho_{13}B_{31}$  или на уровень 2 в результате безызлучательного перехода с вероятностью  $S_{32}$ . Энергия, выделяющаяся при таком переходе, идет на нагревание кристалла. Состояние 2 для ионов хрома является метастабильным, оно обуславливает фосфоресценцию рубина в красной области спектра. При определенной концентрации ионов хрома и мощности излучения, возбуждающего ионы хрома (она называется мощностью «накачки»), удастся создать такое распределение ионов по уровням, при котором  $N_2 > N_1$ , т.е. получить инверсное состояние. Между уровнями 1 и 2 возможны переходы, подобные переходам в двухуровневой системе.

В качестве системы, обеспечивающей обратную связь, применялся по предложению А.М.Прохорова оптический резонатор Фабри–Перо. Зеркала резонатора  $Z_1$  и  $Z_2$  наносили непосредственно на торцы тщательно отполированного (с точностью до  $\lambda/8$ ) рубинового стержня. Кристалл рубина помещали вдоль оси спиральной лампы накачки  $L$ . Схема рубинового лазера показана на рис. 11.20. В более поздних конструкциях применялись иные схемы оптического возбуждения кристалла, позволяющие улучшить условия освещения рубина. Например, использовались зеркальные отражатели, имеющие форму эллиптических цилиндров. В одном из фокусов такого отражателя помещался кристалл ру-



бина  $P$  в другом – цилиндрическая лампа накачки  $L$  (рис. 11.21). Рубиновый лазер работает в импульсном режиме, генерируя волны длиной  $0,68 \text{ мкм}$ .

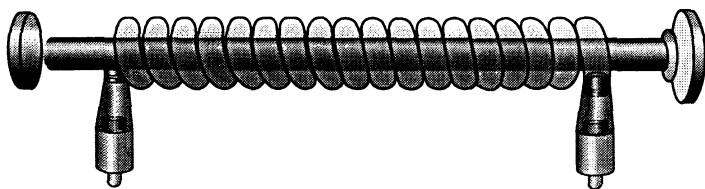


Рис. 11.20

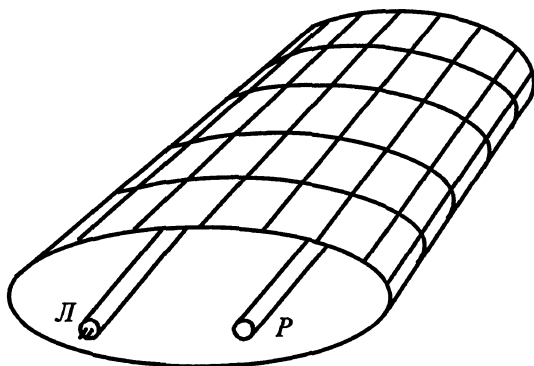


Рис. 11.21

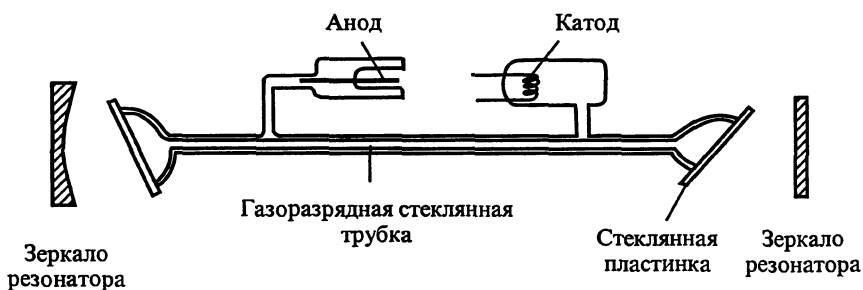


Рис. 11.22

В отличие от рубинового лазера газовые лазеры работают в непрерывном режиме. Схема газового лазера представлена на рис. 11.22. Инверсное состояние создается в смеси двух газов: ге-

лия с парциальным давлением 130 Па (1 мм рт. ст.) и неона с парциальным давлением 13 Па (0,1 мм рт. ст.); для этого в трубке со смесью газов возбуждается электрический разряд. При этом атомы гелия, сталкиваясь с электронами, переходят на уровень 2s. Схема расположения уровней атомов He и Ne показана на рис.

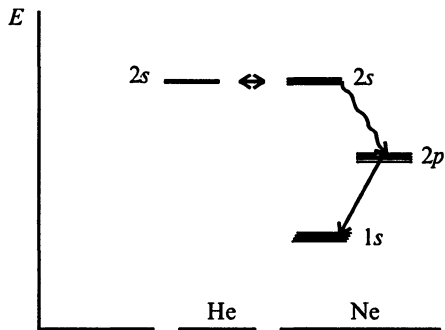


Рис. 11.23

11.23. Излучательный переход в основное состояние с уровня

2s для атомов гелия запрещен. Атомы гелия, сталкиваясь с атомами неона, которые на уровне возбуждения 2s имеют ту же энергию, что и атомы гелия на уровне 2s, передают им свою энергию. Инверсная населенность достигается между отдельными уровнями 2s и 2p, если время жизни на уровнях 2p достаточно мало.

Газоразрядная трубка с торцов ограничена стеклянной пластинкой, приклеенной под углом Брюстера к оси трубки, что позволяет исключить отражение поляризованного излучения лазера на торцевых стенках трубки. Трубка помещается между зеркалами с диэлектрическими покрытиями, что обеспечивает необходимый коэффициент отражения от этих зеркал на частоте генерации. Газовые гелий-неоновые лазеры генерируют излучение на длине волны 0,63 мкм.

В настоящее время существует множество лазеров, излучение которых перекрывает весьма широкий диапазон спектра электромагнитных волн от  $\lambda < 1$  см до  $\lambda = 0,1$  мкм.

Излучение лазера отличается высокой степенью временной и пространственной когерентности, может достигать огромной мощности – порядка нескольких гигаватт. Эти свойства излучения определяют широкое применение лазеров в интерферометрии, голографии, устройствах обработки информации, медицине и т. д.

Мощные когерентные световые пучки открыли в оптике новую главу – нелинейную оптику, интенсивно развивающуюся в настоящее время. При обычных интенсивностях света характеристики вещества ( $\epsilon$ ,  $\mu$ ,  $\gamma$ ) не зависят от напряженности электрического поля световой волны. Уравнения, описывающие распространение волн, линейны, поэтому частота электрической волны не изменяется. Но в световой волне современных сверхмощных лазеров электрические поля столь велики, что существенно влияют на распределение зарядов в атомах и молекулах. Это вызывает

изменение характеристик среды: уравнивание волны становится нелинейным, условия распространения усложняются. В частности, может возникнуть изменение частоты волны. Благодаря большой плотности энергии становится возможным «двухфотонный» процесс: молекула поглощает последовательно два фотона, а потом сразу возвращается в невозмущенное состояние, излучая фотон двойной частоты. Так, под влиянием инфракрасного излучения мощного лазера возникает рассеянный свет удвоенной частоты (зеленый). Разумеется, при нелинейных процессах меняются и другие характеристики: показатель преломления, коэффициент поглощения света и т. д.

## 11.16. ЭЛЕКТРОННЫЙ МИКРОСКОП

Убедительные успехи молекулярной физики не вызывают сомнений в реальном существовании атомов и молекул. Однако из-за своих малых размеров они недоступны для непосредственного восприятия человеком. Возможен ли такой метод наблюдения, который позволил бы «увидеть» молекулы или атомы, увидеть внутреннюю структуру вещества? Ответ на этот вопрос дает сама атомная физика.

Волновые свойства частиц позволяют использовать их для получения изображений, т. е. создавать приборы, аналогичные оптическим. Наибольшее значение имеет электронный микроскоп, обладающий большей разрешающей способностью, чем оптический, так как длину волны де Бройля, связанную с движущимся электроном, легко сделать очень малой, а разрешающая способность увеличивается по мере уменьшения длины волны. Действительно, в §10.1 было найдено, что электрон, ускоренный разностью потенциалов  $U$ , имеет длину волны де Бройля  $\lambda = \frac{12,3}{\sqrt{U}} 10^{-10}$ .

(где  $\lambda$  – длина волны, м;  $U$  – напряжение, В), так что для получения длины волны порядка  $10^{-10}$  м требуется напряжение около 150 В.

Электронный микроскоп позволяет получать изображения как «самосветящихся» (т.е. испускающих электроны) предметов, так и тел, отражающих и пропускающих (с некоторым рассеянием) электронные пучки.

В обоих случаях электронный пучок, выходящий из некоторой точки «предмета», подвергается воздействию электрического или магнитного поля и либо собирается на люминесцирующем экране

или фотопленке, либо создает дифракционную картину в фокальной плоскости линзы, куда помещается экран. Затем эта картина анализируется при помощи электронно-вычислительных машин с целью воспроизведения изображения.

Управление электронным пучком в микроскопе производится электрическими или магнитными полями. Действие их можно описать на языке «лучевой электронной оптики», подобно тому как работу обычных оптических приборов было удобно описывать в терминах «лучевой оптики».

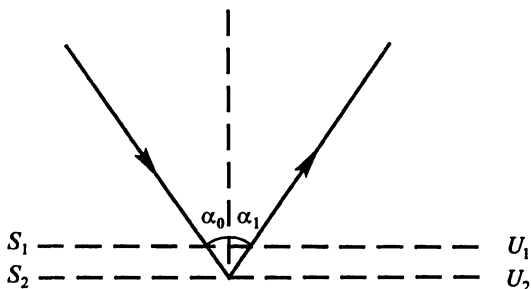


Рис. 11.24

Пусть электронный пучок, движущийся со скоростью  $\vec{v}$ , попадает в пространство между двумя параллельными сетками  $S_1$ ,  $S_2$  (рис. 11.24), между которыми создана тормозящая разность потенциалов  $U_T = U_1 - U_2$ . Тогда электроны будут постепенно тормозиться и окажутся выброшенными из междусеточного пространства, причем, так как составляющая скорости, нормальная к вектору напряженности тормозящего поля, изменений не претерпит, угол падения окажется равным углу отражения – к электронам приложим закон отражения света.

Пусть теперь тормозящая разность потенциалов меньше ускорившей электроны. Тогда составляющая скорости, параллельная линиям напряженности поля, будет уменьшаться, но не до нуля. Электронный пучок пройдет сквозь сетки, испытав преломление: угол его с вертикалью станет больше, чем при входе в поле (рис. 11.25).

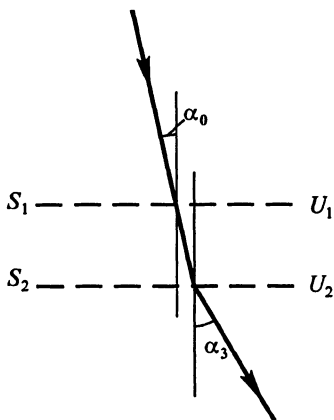


Рис. 11.25

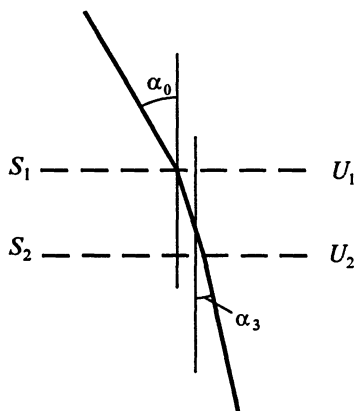


Рис. 11.26

Если же между сетками создано ускоряющее поле, то также произойдет преломление пучка (рис. 11.26), но теперь угол преломления будет меньше, чем угол падения.

Электрические линзы представляют собой систему диафрагм (в простейшем случае – одну диафрагму, рис. 11.27), находящихся под разными потенциалами. Примерная форма поверхностей равного потенциала показана на рисунке. Узкий пучок электронов, испускаемых точкой  $K$  катода, выходя под разными углами, будет подвергаться различному влиянию электрического поля. Так как

более удаленные от оси электроны попадут в более сильное поле, то возможно реализовать такую конфигурацию поля, при которой электроны, вышедшие из одной точки, снова соберутся в некоторой другой точке  $K_1$ , т. е. осуществится процесс фокусировки.

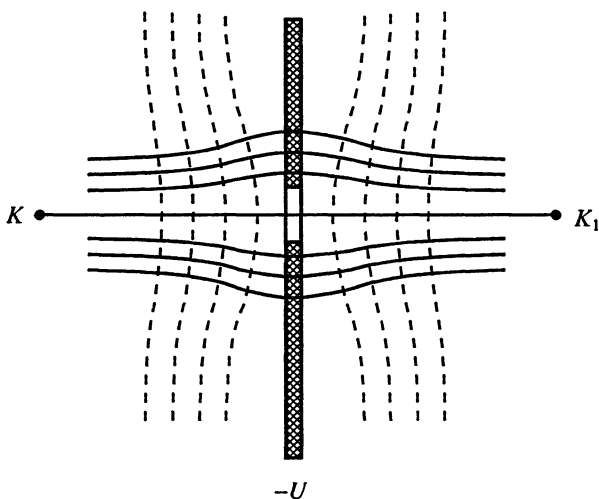


Рис. 11.27

В практическом отношении удобнее магнитные линзы. Так как сила Лоренца влияет лишь на составляющую скорости электрона, нормальную к вектору магнитной индукции, то при попадании в однородное магнитное поле с индукцией  $\vec{B}$  электрон будет дви-

гаться по винтовой линии. При этом для электронов, скорости которых образуют малые углы с вектором индукции, продольные составляющие скорости практически одинаковы. Поэтому, так как время оборота под действием силы Лоренца не зависит от радиуса, электроны фокусируются на оси поля.

Удобство магнитных линз, в частности, заключается в возможности легкого изменения оптической силы (для этого достаточно изменить ток в обмотке катушки, образующей линзу). Электронный микроскоп представляет подходящую комбинацию таких линз и зеркал.

Наибольшее распространение получил просвечивающий электронный микроскоп (ПЭВ) и растровый электронный микроскоп (РЭМ).

Схема ПЭВ дана на рис. 11.28. При исследовании объектов при помощи ПЭВ большое значение имеет методика приготовления объекта или, как говорят, препарирование образца. Обычно с объекта снимают слепок его поверхности, или реплику, осаждая методом вакуумного напыления углеродную или пластиковую пленку. После получения реплики с помощью ПЭВ исследуют рельеф ее поверхности. ПЭВ также широко используют для получения изображений тонких металлических слоев.

Схема РЭМ приведена на рис. 11.29. Здесь электронные линзы служат для формирования тонкого электронного пучка (электронного зонда), который сканирует по поверхности образца синхронно с движением электронного луча в телевизионной трубке. Таким образом, электронный зонд за время одного периода кадровой развертки вычерчивает полный растр.

Под действием электронов из образца выбиваются вторичные электроны, испускается рентгеновское излучение, происходит рассеяние падающих электронов и другие явления. Если около образца установить детектор для регистрации вторичных электронов (например, фотоэлектрический умножитель ФЭУ), сигнал

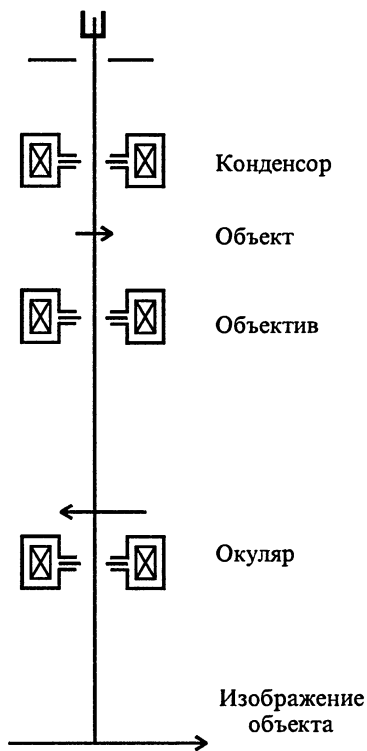


Рис. 11.28

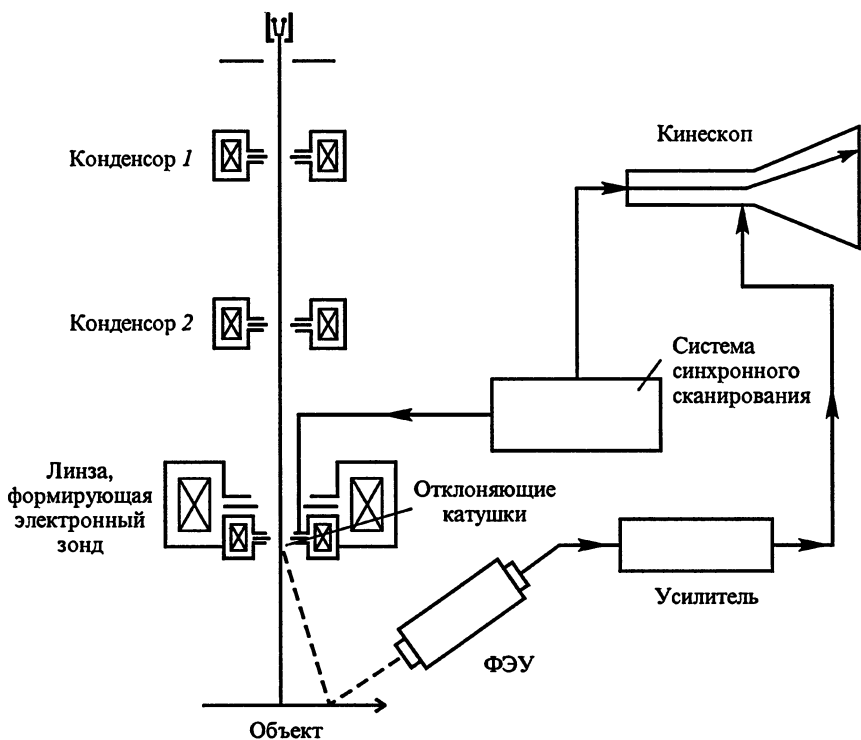


Рис. 11.29

с его выхода после усиления подать на сетку телевизионной трубки, в которой электронный луч вычерчивает растр синхронно с электронным зондом, то на экране трубки получится увеличенное изображение объекта. Разрешение такого микроскопа определяется диаметром электронного зонда, а увеличение – отношением линейных размеров растров телевизионной трубки и электронного зонда.

## Глава 12

### ФИЗИКА АТОМНОГО ЯДРА

#### 12.1. РАЗВИТИЕ ИДЕИ АТОМИЗМА

Представления об атомном строении вещества восходят к глубокой древности. Эмпедокл (490–430 гг. до н.э.) учил, что Вселенная построена из четырех элементов – огня, воздуха, воды и земли. Их существование вечно; соединяясь в разных количествах, они создают все макроскопические тела. Демокрит (460–370 гг. до н.э.) ввел понятие об атомах – неделимых частицах, бесконечных по числу и разнообразных по форме. Их соединения создают физические тела. Аристотель (384–322 гг. до н.э.), чье влияние на развитие естествознания было очень продолжительно (до конца средневековья), считал, что элементы могут превращаться друг в друга, и критиковал идеи атомистов. Эпикур (347–270 гг. до н.э.) и Лукреций Кар (99–55 гг. до н.э.) развивали атомистические идеи: они считали атомы очень малыми и приписывали им постоянное беспорядочное движение, вес, плотность. Архимед (287–212 гг. до н.э.) даже подсчитал число «песчинок» (атомов) во Вселенной и нашел, что оно равно  $10^{63}$ . Для сравнения заметим, что средняя масса галактик равна  $2 \cdot 10^{42}$  кг. Если подсчитать число протонов и нейтронов, то оно составит  $10^{69}$  нуклонов.

Ньютон считал, что существуют частицы (из которых образуются атомы) столь малые, что при расчетах, касающихся макроскопических тел, их можно рассматривать как бесконечно малые и применять методы математического анализа, разработанного самим Ньютоном и Лейбницем. Кроме того, Ньютон считал эти частицы «самотождественными», т.е. одинаковыми и сохраняющими свои свойства при группировках их в атомы и атомов – в макроскопические тела. Поэтому для Ньютона плотность была просто мерой числа этих частиц в единице объема, а масса была аддитивна.

Сторонником атомизма был и Ломоносов (1711–1765), эмпирически установивший закон сохранения массы при химических





**Ломоносов Михаил Васильевич (1711–1765)**, русский ученый-энциклопедист. В 1756 г. доказал закон сохранения массы вещества. Обосновал закон сохранения материи и движения. Изучал вещества в различных агрегатных состояниях. Является одним из основоположников молекулярно-кинетической теории. В 1761 г. с помощью созданного им телескопа открыл атмосферу Венеры. Проводил исследования в области атмосферного электричества.

---

реакциях и объяснивший теплоту и свойства макроскопических тел беспорядочным движением атомов.

В дальнейшем развитие физики и особенно химии укрепило представление о существовании атомов (неделимых частиц) различных сортов.

Успехи химии XVIII–XIX вв. позволили уточнить понятия атома и молекулы (А.Авогадро). Наконец, создание в 1869 г. Менделеевым периодической системы элементов (их тогда было известно всего 63) упорядочило наши знания об атомах. Предсказанные Менделеевым элементы, а также и другие, открытые позже, также уложились в систему Менделеева. К концу XIX в. считалось, что атомы элементов химически неразделимы на более мелкие части, что они способны вступать в те или иные соединения и восстанавливать свою индивидуальность при разрушении образовавшегося соединения.

После опытов Резерфорда, Франка и Герца и теоретических работ Бора стало ясно, что атом не является неделимой частицей, а имеет сложную структуру, – состоит из ядра и электронов. При взаимодействии атомов с другими микрочастицами с энергией порядка 10 эВ внутреннее строение атома проявляется по характерному излучению или по электрическому току, который появляется в результате ионизации атомов. Таким образом, при энергиях взаимодействия, меньших энергии возбуждения и ионизации атомов, последние ведут себя как неделимые, бесструктурные частицы, оправдывая свое название. При больших энергиях взаимодействия проявляется внутренняя структура атомов и они могут быть разделены на составные элементы: ядро и электроны. Очевидно, что ядра и электроны представляют собой следующий структурный уровень организации материи. Может быть, и на этом уровне существуют неделимые элементы, из которых состоит все вещество? Обратимся теперь к изучению свойств ядер.

## 12.2. ЕСТЕСТВЕННАЯ РАДИОАКТИВНОСТЬ

В конце XIX в. выяснилось, что вещества, содержащие соединения урана, замыкавшего в то время периодическую систему, непрерывно излучают невидимые лучи, действующие на фотопластинку. Кроме того, и это казалось наиболее удивительным, происходит непрерывное выделение энергии – колбочка с таким радиоактивным веществом длительное время остается более теплой, чем окружающие ее предметы; при этом атомы урана превращаются в атомы других элементов (см. § 12.4).

Работами А. Беккереля (1852–1908), П. Кюри (1859–1906) и М. Склодовской-Кюри (1867–1934), Э. Резерфорда и других было установлено, что эти процессы, названные *естественной радиоактивностью*, практически не зависят от внешних условий, а также от того, свободны превращающиеся атомы или входят в состав каких-либо молекул. Как мы теперь знаем, это признак ядерного характера процессов (на электронную оболочку атомов влиять сравнительно легко).

Физические методы исследования радиоактивности на первых порах были весьма примитивны, но тем не менее позволили получить фундаментальные результаты. Регистрация излучений производилась по их действию на фотографическую пластинку. Пропуская излучение через сильное магнитное поле, линии индукции которого перпендикулярны направлению распространения излучения, удалось установить существование трех видов излучений: положительно заряженных частиц, отрицательно заряженных частиц и фотонов.

1. Положительно заряженные частицы получили название *альфа-частиц*. Резерфорд поместил соль урана, излучающую  $\alpha$ -частицы, в запаянную пробирку, разделенную на две части очень тонкой перегородкой, более или менее прозрачной для  $\alpha$ -частиц. В пространстве за перегородкой, где вначале был создан технический вакуум, имелось два электрода; на них можно было подать высокое напряжение.

Через некоторое время после подачи напряжения возникал газовый разряд, сопровождавшийся свечением. Изучая спектр свечения, Резерфорд отождествил его со спектром незадолго до того открытого гелия. Позже, когда были созданы масс-спектрометры (см. «Электродинамику», § 5.2), позволяющие определить скорость заряженной частицы и отношение ее заряда к массе, было найдено, что  $\alpha$ -частицы представляют собой дважды ионизированные атомы гелия. Еще позже, когда было выяснено, что в электронной оболочке гелия находятся всего два электрона, заключили, что  $\alpha$ -частицы – ядра гелия.

Вылетающие из радиоактивных ядер  $\alpha$ -частицы имеют скорости, достигающие десятых долей скорости света, что соответствует кинетической энергии порядка нескольких мегаэлектронвольт.

Атомы данного сорта излучают  $\alpha$ -частицы с энергией, имеющей определенный спектр значений. С современной точки зрения это свидетельствует о существовании у ядер дискретных энергетических состояний, причем разность энергий двух состояний достигает 1 МэВ; это в миллион раз больше, чем разность энергий устойчивых состояний электронной оболочки атомов.

Попадая на флюоресцирующий экран,  $\alpha$ -частица дает на нем кратковременную вспышку, воспринимаемую тренированным глазом, что позволило Резерфорду провести тщательное изучение рассеяния  $\alpha$ -частиц тонкими слоями различных веществ. Это классическое исследование было описано в § 11.1.

Отметим, что при  $\alpha$ -излучении химические свойства атома изменяются (см. § 12.4).

2. Отрицательно заряженные частицы, вылетающие при радиоактивном превращении (распаде), названном  $\beta$ -распадом, оказались электронами. Скорости их различны и имеют практически непрерывный ряд значений, четко ограниченный некоторой наибольшей скоростью, характерной для данного атома. По модулю скорости электронов близки к скорости света. Причины различия скоростей выяснились гораздо позже (см. § 12.12).

В настоящее время мы знаем, что электронов в ядре нет и не может быть. Первоначальное, вполне естественное, предположение, что они в ядре имеются, пришлось отвергнуть. Дело в том, что когда был открыт спин микрочастиц (это произошло в начале 1930-х годов) и рассчитаны спины ядер, то результаты расчетов (исходивших из предположения, что электроны находятся в ядрах) и измерений противоречили друг другу. После открытия соотношения неопределенностей стало ясно, что электроны не могут входить в состав ядра. Действительно, так как неопределенность координаты ядерного электрона порядка диаметра среднего по размерам ядра, т.е.

$$\Delta x \approx 10^{-14} \text{ м,}$$

то неопределенность его импульса должна получиться равной

$$\Delta p_x \geq \frac{\hbar}{\Delta x} \approx 1 \cdot 10^{-20} \text{ Н}\cdot\text{с.}$$

Конечно, сам импульс не меньше этой неопределенности. Тогда энергия электрона должна быть не меньше, чем

$$E = \sqrt{m_0^2 c^4 + p^2 c^2} \approx pc = 110 \text{ МэВ},$$

а действительная энергия  $\beta$ -электронов не превышает нескольких мегаэлектронвольт, явно не соответствуя сделанной оценке. Поэтому приходится принять, что электроны рождаются в момент  $\beta$ -распада атома. Наконец, при  $\beta$ -распаде изменяются химические свойства атома.

3. Третий тип излучения, не отклоняющегося в магнитном поле, был назван *гамма-излучением*; он представляет собой фотоны очень жесткого рентгеновского излучения. Они возникают вслед за  $\alpha$ - или  $\beta$ -превращением, причем ядро избавляется от избыточной энергии и приходит в устойчивое энергетическое состояние. Химических изменений в атоме при этом не происходит.

Спектр  $\gamma$ -излучения прерывен; ему отвечают фотоны с энергией от 10 кэВ до 5 МэВ, имеющие частоты до  $10^{21}$  Гц.

### 12.3. ИЗОТОПЫ

Продукты радиоактивного распада, как оказалось, в большинстве случаев сами радиоактивны. Многочисленные продукты распада по своим химическим свойствам должны были расположиться в десяти последних клетках таблицы Менделеева. При этом в каждую клетку попадали атомы разных (как тогда казалось) веществ с различными относительными атомными массами. Их назвали *изотопами* (занимающими одно и то же место). После разработки точных методов масс-спектро스코пии удалось установить, что атомы каждой группы изотопов имеют одинаковый положительный заряд (и одинаковое число электронов в оболочке), но различные массовые числа  $A$  (ближайшее к относительной атомной массе  $A$ , целое число называют массовым числом). При этом относительные атомные массы изотопов  $A$ , весьма близки к целым числам.

В ядерной физике массу частицы обычно выражают в атомных единицах массы (а.е.м.); 1 а.е.м. равна  $\frac{1}{12}$  массы атома углерода с массовым числом 12.

В единицах СИ

$$1 \text{ а.е.м.} = 1,667 \cdot 10^{-27} \text{ кг},$$

а соответствующая ей собственная полная энергия

$$W = 931 \text{ МэВ}.$$

Для ядра атома водорода ( $Z = 1$ ) получается:

$$A_r = 1,0081, \quad A = 1, \quad W = 938 \text{ МэВ.}$$

Напомним, что для электрона эти величины соответственно равны:

$$A_r = 5,5 \cdot 10^{-4}, \quad A = 0, \quad W = 0,511 \text{ МэВ.}$$

Естественные элементы являются смесью изотопов, поэтому их относительные атомные массы далеко не целочисленны. Изотопы существуют практически у всех элементов. Так как различия в относительных атомных массах изотопов данного элемента невелики, а электронные оболочки их одинаковы, то химически изотопы тождественны, а физически весьма близки друг другу.

Так, у неона ( $Z = 10$ ) с относительной атомной массой  $A_r = 20,2$  имеется два изотопа ( $A_1 = 20$  и  $A_2 = 22$ ), у многих других элементов число изотопов больше.

По общепринятой символике около обозначения элемента слева внизу указывается его атомный номер  $Z$  (т.е. заряд ядра), а слева вверху – массовое число  $A$ .

Водород имеет три изотопа. Наиболее распространенный – обычный водород  ${}^1_1\text{H}$ ; его ядро состоит из одного протона. Иногда его называют *протий*. Спин протона равен половине.

Дейтерий с ядром, называемым *дейтроном* ( ${}^2_1\text{H}$ ), устойчив, встречается в природе в небольших количествах, входя в состав тяжелой воды ( ${}^2_1\text{H}_2\text{O}$ ), резко отличной по своим физическим свойствам от обычной воды ( ${}^1_1\text{H}_2\text{O}$ ). Иногда его обозначают символом  ${}^2_1\text{D}$ .

Тритий с ядром, называемым *тритоном* ( ${}^3_1\text{H}$ ), неустойчив, в природе встречается в атмосфере, где он образуется в весьма малых количествах под действием космических лучей. Он получается и при некоторых искусственных превращениях атомов. Соединения трития также отличаются по физическим свойствам от соединений водорода. Иногда он обозначается символом  ${}^3_1\text{T}$ .

При малых массовых числах хорошо выполняется равенство

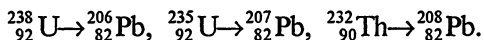
$$A = 2Z.$$

При росте  $Z$  коэффициент пропорциональности увеличивается, достигая у урана значения 2,6.

Как известно, естественная система химических элементов заканчивалась ураном ( ${}^{238}_{92}\text{U}$ ). Искусственным путем были созданы

элементы с атомными номерами вплоть до  $Z = 114$ . Все они оказались неустойчивыми. Что касается массовых чисел, то при  $A > 210$  все ядра нестабильны; наибольшее полученное массовое число  $A = 289$ . Смысл массовых чисел выяснился только в середине 1930-х годов, после открытия нейтрона (см. § 12.7).

Систематика естественных элементов конца периодической таблицы и их изотопов позволила установить существование трех «радиоактивных семейств» со следующими родоначальниками и конечными продуктами распадов:



## 12.4. ЗАКОНЫ РАДИОАКТИВНЫХ ПРЕВРАЩЕНИЙ

Радиоактивные превращения происходят по законам, позволяющим определить продукты распада, так как при этом выполняются законы сохранения заряда (числа  $Z$ ) и массы (числа  $A$ ).

Обозначим исходный элемент  ${}^A_Z\text{Э}$ . Тогда закон альфа-распада запишется так:



а закон бета-распада примет вид:



где  ${}^0_{-1}e$  – символ электрона.

Нетрудно показать, что в каждом из радиоактивных семейств происходит

$$n_\alpha = \frac{1}{4}(A_{\text{нач}} - A_{\text{кон}}) \text{ альфа-распадов,}$$

$$n_\beta = 2n_\alpha - (Z_{\text{нач}} - Z_{\text{кон}}) \text{ бета-распадов.}$$

При гамма-излучении величины  $A$  и  $Z$  не изменяются. Порядок следования превращений не может быть описан простыми правилами. Более того, в некоторых случаях одинаковые ядра могут испытать сначала  $\alpha$ -распад, потом  $\beta$ -распад либо наоборот. О законе сохранения спина при радиоактивных распадах будет сказано позже (см. § 12.7).

Распад ядер носит статистический характер, невозможно предсказать, когда распадется данное ядро. Но для большой совокупности ядер можно оценить вероятность распада отдельного ядра.

Пусть в момент  $t$  имеется  $N_t$  ядер и за малый промежуток времени  $dt$  убыль ядер составляет в среднем  $-dN_t$ . Тогда вероятность распада определится отношением

$$-\frac{dN_t}{N_t} = \lambda dt,$$

где  $\lambda$  – постоянная, характерная для данного распада. Интегрируя это уравнение в пределах от  $t = 0$  до  $t$ , получаем:

$$N_t = N_0 \exp(-\lambda t), \quad (12.3)$$

где  $N_0$  – начальное число ядер. Все ядра распадаются (теоретически) через бесконечный промежуток времени. Поэтому для характеристики скорости распада вводят *период полураспада*  $T$ , за который распадается половина начальных ядер. Уравнение (12.3) дает:

$$0,5N_0 = N_0 \exp(-\lambda T),$$

откуда

$$T = \frac{\ln 2}{\lambda}.$$

Значения  $T$  для разных ядер составляют от  $10^{-6}$  с до миллиардов лет. Определение больших периодов полураспада не представляет принципиальных трудностей, так как можно непосредственно считать число ядер, распадающихся в удобные макроскопические промежутки времени. Измерение очень малых периодов гораздо сложнее. Один из методов – изучение равновесного состояния продуктов последовательных распадов, помещенных в замкнутый сосуд, где сначала находилось лишь известное число атомов родоначальника – очень медленно распадающегося элемента. Если период его полураспада так велик, что число наличных ядер в течение опыта практически не изменяется (например, для урана  ${}_{92}^{238}\text{U}$  период равен  $4,5 \cdot 10^9$  лет), то число ядер урана, распадающихся за время  $dt$ , есть

$$-dN_1 = N_1 \lambda_1 dt$$

и остается постоянным за время выполнения опыта. Очевидно, за время  $dt$  появится такое же число ядер-потомков, но если они сами радиоактивны, то распадутся, породив новое поколение, вплоть до конечного, уже стабильного, продукта распада – он

будет со временем непрерывно накапливаться в сосуде. Поэтому можно написать систему равенств:

$$N_1\lambda_1 dt = N_2\lambda_2 dt = \dots = N_i\lambda_i dt = \dots = N_k\lambda_k dt, \quad (12.4)$$

где  $N_i$  – число наличных ядер того или иного промежуточного вещества, накопленное к моменту установления равновесия. Таким образом, изучая концентрацию продуктов распада и зная один из коэффициентов  $\lambda_i$  (а он обратно пропорционален периоду полураспада), можно найти остальные  $\lambda_i$ .

## 12.5. МЕТОДЫ РЕГИСТРАЦИИ ЧАСТИЦ И ИХ ТРАЕКТОРИЙ

Описанные выше фундаментальные результаты в изучении ядра были получены между 1895 и 1910 гг. при помощи самых простых физических средств и изощренной техники химического анализа. Дальнейшие исследования в области ядерной физики требовали разработки более совершенных физических методов регистрации излучений.

Пролетая в газе или жидкости, быстрая заряженная частица, как и рентгеновский фотон, создает ионизацию. Поэтому такие частицы могут быть обнаружены при помощи ионизационных камер и различных счетчиков, например, при помощи счетчика Гейгера–Мюллера. Лучшие конструкции счетчиков Гейгера–Мюллера позволяют регистрировать до  $10^7$  разрядов в 1 с.

Если частица настолько энергична, что выходит из счетчика с достаточной энергией, то она может заставить сработать и второй счетчик. Это дает возможность, усложнив радиотехническую часть приемного аппарата, регистрировать только частицы, прошедшие через два или несколько счетчиков; по расположению счетчиков можно судить о направлении движения ионизирующей частицы.

Люминесцентные счетчики используют свечение, вызываемое быстрыми частицами при попадании на некоторые вещества, что было применено уже в первых опытах Резерфорда.

Современные люминесцентные счетчики (рис. 12.1) имеют

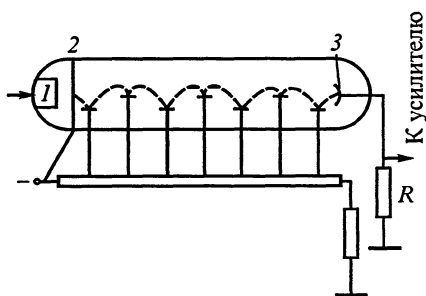


Рис. 12.1



люминесцирующий кристалл 1; свет, вызванный поглощенной частицей, попадает на чувствительный фотокатод 2; фотоэлектроны направляются к вспомогательным электродам, имеющим более высокий потенциал, и вызывают там вторичную эмиссию электронов. Схема включения такова, что электроны вторичной эмиссии летят с каждого электрода на следующий, пока не будут захвачены анодом 3. Импульс напряжения, получившийся при этом на резисторе  $R$ , подается в регистрирующее радиотехническое устройство. Так как вспомогательные электроды имеют электронный выход, превышающий единицу (т.е. на каждый пришедший электрон рождается от 3 до 10 электронов), то получается многократное усиление сигнала (в десятки и сотни тысяч раз), что позволяет регистрировать и не слишком энергичные частицы. Интенсивность выхода сигнала оказывается линейно связанной с энергией первичной частицы, быстрота счета велика (до  $10^5$  частиц в 1 с).

Разновидностью люминесцентных счетчиков является черенковский счетчик. В нем используется эффект Черенкова–Вавилова (см. § 9.5) – создание остронаправленного излучения заряженной частицей, движущейся в среде со скоростью, превышающей скорость света. Так как угол раствора светового конуса

$$\theta = \arccos \frac{c}{nv},$$

где  $\frac{c}{n}$  – скорость света в среде,  $v$  – скорость частицы, то счетчик позволяет отделить одни частицы от других. Если, например, в опыте получаются частицы со скоростями  $v_1$  и  $v_2$ , то, выбрав вещество, в котором скорость света удовлетворяет неравенству

$$v_1 < \frac{c}{n} < v_2,$$

мы сможем регистрировать только более быстрые частицы. Кроме того, черенковский счетчик позволяет определить направление скорости приходящих частиц.

В полупроводниковых счетчиках дополнительная ионизация, созданная заряженной частицей, вызывает импульс тока, доступный регистрации после соответствующего усиления. Так как используемый слой полупроводника тонок, то быстрые частицы проходят через него, сохранив часть энергии. Но для медленных частиц, имеющих низкую энергию, полупроводниковые счетчики весьма удобны.

Кроме счетчиков существуют приемники, регистрирующие траекторию частицы, что позволяет получить дополнительные сведения о свойствах последней.

Камера Вильсона, изобретенная в 1912 г., представляет собой сосуд, заполняемый переохлажденным паром. Если туда попадает ионизирующая частица, то на ионах начинается конденсация пара. Объяснить это можно так. У поверхности микроскопических капель, случайно образующихся в переохлажденном паре, давление насыщенного пара повышено, что препятствует дальнейшей конденсации. Поэтому такие случайные капли появляются и исчезают по закону случая. Но когда капля заряжена, то электростатические силы уменьшают дополнительное давление и вероятность конденсации возрастает.

Процесс регистрации частиц в камере заключается в следующем. В камере создается насыщенный пар. Быстрое увеличение объема камеры приводит к охлаждению пара и его перенасыщению. Если в этот момент в камеру попадает частица, создающая ионизацию, то возникает конденсация на цепочке ионов – туманный след частицы. След обрывается, когда энергия частицы становится малой и она перестает ионизировать газ, имеющийся в камере. Этот след фотографируется, а камера возвращается в исходное состояние.

Громадным преимуществом камеры Вильсона является возможность определить заряд и энергию частицы. Если камера находится в магнитном поле, линии индукции которого перпендикулярны вектору скорости частицы, то след искривляется. По направлению искривления и радиусу кривизны можно судить о знаке заряда и импульсе частицы. А по характеру ионизации и длине следа можно оценить энергию частицы. Таким образом, определяется и масса частицы, и ее скорость.

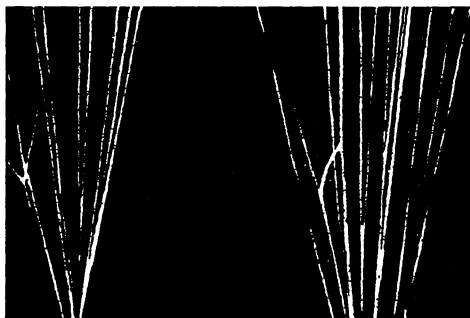


Рис. 12.2

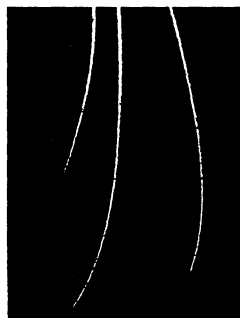


Рис. 12.3

На рис. 12.2 представлена фотография следов, оставляемых альфа-частицами, покидающими распадающиеся радиоактивные ядра. Для этих следов характерна значительная толщина (т. е. интенсивная ионизация газа) и прямолинейность (так как масса альфа-частицы примерно в 7000 раз превосходит массу электронов, с которыми она взаимодействует).

Следы частицы в камере, помещенной в магнитное поле с вектором индукции, направленным из-за чертежа, показаны на рис. 12.3. Частицы влетают сверху. Применяя правило левой руки, убеждаемся в положительности заряда частицы. Кривизна следа позволяет судить об импульсе частицы. Современные камеры управляемы: расширение происходит только по сигналу счетчика, предварительно зарегистрировавшего происхождение частицы, после счетчика она попадает в камеру. По ряду технических причин объем камеры невелик, и это мешает регистрации частиц высоких энергий – их следы не умещаются в объеме камеры.

Недостатком камеры является также медленность ее работы: за минуту можно провести не более 10 циклов.

Для частиц, обладающих высокими энергиями (сотни мегаэлектронвольт и больше), применяются пузырьковые камеры. В такой камере под высоким давлением находится перегретая жидкость. Случайные пузырьки пара, образующиеся в ней, расти не могут. Но при резком сбросе давления, если в этот момент в жидкость попадает заряженная частица, вдоль ее следа произойдет парообразование, и цепочка пузырьков пара может быть сфотографирована. Видимо, в образовании пузырьков играют роль и электрические силы, и дополнительный нагрев жидкости быстрой частицей. Так как плотность жидкости много больше плотности пара, то расход энергии на ионизацию (на единицу длины пути частицы) в жидкости гораздо больше. Поэтому в жидкости удается тормозить и весьма энергичные частицы.

Фотографическая регистрация частиц очень высокой энергии производится при помощи пластинок с толстым слоем фотоэмульсии (сотни микрометров вместо обычных 10 мкм). После проявления пластинки в эмульсии появляются черные следы – металлическое серебро, выделившееся вдоль следа. По длине и плотности следа можно судить об энергии и массе частицы. Частица тормозится в эмульсии примерно в тысячу раз сильнее, чем в газе, что позволяет регистрировать очень быстрые частицы. Так как оставленный частицей след может длительно храниться (до проявления), то пластинки можно поместить в труднодоступном месте на длительное время, причем они все время готовы к работе.

Сравнительно новым прибором является искровая камера. Основу ее составляют тонкие металлические параллельные пластины, образующие систему плоских конденсаторов. Пластины соединены вместе (через одну) и подключены к источнику высоковольтных импульсов. Если непосредственно перед подачей импульса или во время его существования через камеру прошла ионизирующая частица, импульс создаст искровой разряд вдоль ее траектории (где проводимость газа, заполняющего камеру, повышена). Искры фотографируют; таким образом, получается след, похожий на следы в камере Вильсона.

Незаряженная частица, проходя через регистраторы, обычно не создает там ионизации. Но взаимодействуя непосредственно с ядром одного из атомов газа, заполняющего камеру, она может отдать ему столь значительную энергию, что ядро, покинув электронную оболочку, само создаст ионизацию и оставит след, позволяющий судить о происшедшем столкновении. Именно так был открыт (в 1932 г.) нейтрон, предсказанный Резерфордом еще в 1920 г. (см. § 12.7).

## 12.6. ПОЛУЧЕНИЕ ЧАСТИЦ ВЫСОКИХ ЭНЕРГИЙ

Резерфорд был первым, применившим альфа-частицы для бомбардировки ядер, и достиг здесь исключительных успехов (см. § 12.9). Но естественные частицы не слишком многочисленны, их энергия имеет определенные значения и не поддается удобному регулированию; для многих целей она недостаточна.

Для исследования внутреннего строения ядер, их уровней возбуждения и их разрушения необходимы частицы с энергиями, превышающими по порядку величины 10 МэВ. Для измерения размеров ядер, как показали первые опыты Резерфорда, имеющих порядок  $10^{-15}$  м, нужны частицы, способные дифрагировать на препятствии такого размера. Длина волны де Бройля для подобных частиц также должна быть порядка  $10^{-15}$  м. Для альфа-частиц это соответствует энергиям порядка десятков мегаэлектронвольт. Поэтому стали применяться различные ускорители заряженных частиц; они должны были обеспечить увеличение интенсивности пучков и энергии частиц, а также возможность регулировки этих величин по мере необходимости.

Известные из курса электродинамики (§ 7.5) бетатроны позволяют получить электронные пучки с энергиями до 50 МэВ. Они работают в импульсном режиме, давая импульсы, содержащие до 10 электронов; эти электроны внутри ускорителя направляются на

подходящую мишень, где тормозятся и создают гамма-излучение. Получение электронов с большей энергией в бетатронах невозможно, так как возрастают потери на излучение (ведь электроны движутся с ускорением).

Электроны больших энергий получают в линейных ускорителях. Уже при энергии в 10 МэВ электрон приобретает скорость, практически равную скорости света. Если создать электромагнитную волну, распространяющуюся вдоль некоторой оси, например, в металлической трубе, и впустить туда предварительно ускоренный пучок так, чтобы он попал в область, где электрическое поле максимально (у волны в трубе имеется продольное поле, см. § 8.3), то пучок, двигаясь вместе с волной, будет увеличивать свою энергию – такова идея линейного ускорителя, позволяющего получить электроны с энергиями в десятки гигаэлектронвольт.

В обычном циклотроне (см. «Электродинамику», § 5.3) время обращения частицы зависит от ее массы и от индукции магнитного поля. Так как масса электронов сильно меняется со скоростью, то при постоянном магнитном поле их ускорение невозможно. Но если сначала ускорить их по принципу бетатрона, а затем, когда они приобретут скорость, практически равную скорости света, обеспечить их попадание в постоянное магнитное поле и включить переменное напряжение, то электроны будут увеличивать энергию, находясь на фактически неизменной орбите. На таком принципе работают ускорители, названные синхротронами. Однако благодаря наличию центростремительного ускорения электроны начинают излучать, как и всякий ускоренно движущийся заряд, что ограничивает возможности синхротрона энергиями в сотни мегаэлектронвольт.

Для ускорения тяжелых частиц (до сотен мегаэлектронвольт), у которых релятивистские эффекты проявляются при более высоких энергиях, успешно применяются циклотроны. Меняя по определенному закону частоту переменного поля в циклотроне, можно подобрать ее так, чтобы компенсировать изменение времени обращения частицы при росте ее массы. Приборы такого типа (фазотроны) позволяют получать энергии до 1 ГэВ.

Наконец, комбинируя изменения индукции магнитного поля и ускоряющего напряжения, создают системы, способные ускорять тяжелые частицы до 100 ГэВ, – синхрофазотроны. Наиболее крупными являются протонный синхрофазотрон на 400 ГэВ (Швейцария) и синхрофазотрон на 1000 ГэВ (США). В СНГ работает синхрофазотрон на 76 ГэВ и проектируется ускоритель на 600 ГэВ.

Наконец, в последнее время созданы ускорители, где взаимодействуют встречные пучки частиц одинаковой массы. Если при

обстреле неподвижной мишени (частицы) значительная часть энергии ускоренной частицы пойдет на сообщение мишени кинетической энергии и лишь небольшая часть энергии будет определять внутреннее взаимодействие с ядром, то при встречных пучках после соударения (если оно неупругое) частицы останавливаются, так что их энергия используется более рационально. Так, первый в мире электронно-позитронный ускоритель на встречных пучках обеспечивал ускорение частиц до энергии  $W = 0,16$  ГэВ, что равносильно обычному ускорителю на 100 ГэВ. Он был запущен в СССР в 1967 г.

Современные ускорители на встречных пучках для электронов с энергией 100–300 ГэВ равносильны обычным ускорителям на энергии  $4 \cdot 10^7$ – $4 \cdot 10^8$  ГэВ. Протонные ускорители на встречных пучках строятся для протонов с энергией порядка тысяч гигаэлектронвольт. Установки подобного типа получили название коллайдеров. Для увеличения плотности потока взаимодействующих частиц в коллайдерах применяются накопительные кольца, представляющие собой ускорители, в которых идет накопление ускоренных частиц. Крупнейшими коллайдерами в мире являются Большой электрон-позитронный коллайдер LEP (Large Elektron-Positron Collider) Европейской организации ядерных исследований (ЦЕРН) с энергией взаимодействия 640 ГэВ и «тэватрон» Национальной ускорительной лаборатории им. Э. Ферми (США) с энергией взаимодействия протонов и антипротонов в 2 ТэВ.

Полученные в ускорителях частицы направляются на мишень, содержащую интересующие нас частицы. Мишень – это блок из исследуемого вещества. Его характерным параметром является произведение плотности вещества  $\rho$  на геометрическую толщину (в направлении движущихся частиц) мишени  $d$ . В зависимости от поставленных задач это произведение может меняться от  $10^{-4}$  до  $100$  г/см<sup>2</sup>.

Во всех рассмотренных выше ускорителях (кроме последних) используются заряженные частицы одного знака. Но вообразим пучок плазмы, содержащий электроны (масса  $m_e$ ) и ионы (масса  $M$ ). Пусть они ускоряются внешним электрическим полем. Тогда электроны, приобретающие большие скорости, чем ионы, могут передавать им часть своей кинетической энергии, увеличивая их скорость. Таким образом, ионы будут получать от электрического поля большую энергию, чем если бы поле просто ускоряло ионный пучок. Предельная скорость ионов может сравняться со скоростью электронов, т.е. энергия ионов возрастет в  $\frac{M}{m_e}$  раз; это

отношение даже для протонов близко к 2000. Частицы высоких энергий необходимы для осуществления ядерных реакций с ядрами, имеющими большие  $Z$ .

## 12.7. ОТКРЫТИЕ НЕЙТРОНА. СОСТАВ АТОМНОГО ЯДРА

Ученик Резерфорда – Чедвик обнаружил, что иногда в камере Вильсона получается след быстрой частицы, начинающийся не от стенки, где частицы влетают в камеру, а где-то внутри камеры и там же заканчивающийся. Резерфорд и он объяснили это как результат соударения проникшей в камеру быстрой нейтральной частицы (не оставляющей следа) с ядром атома газа, заполняющего камеру; след оставляло ядро, выбитое из своей электронной оболочки. По характеру и длине следа можно было оценить скорость ядра. Допустим, что соударение является упругим и лобовым. Осуществив такое же наблюдение при заполнении камеры другим газом (причем длина следа изменилась), можно провести следующее сопоставление этих явлений.

Пусть неизвестная частица имеет массу  $m$  и скорость  $v$ . Ядро до соударения можно считать практически покоящимся. Обозначим известную массу ядра через  $M$ , а полученную им скорость (она измеряется по длине следа) через  $V$ . Применяя законы сохранения кинетической энергии и импульса

$$mv = mv_1 + MV, \quad mv^2 = mv_1^2 + MV^2$$

и исключая скорость неизвестной частицы после соударения  $v_1$ , получим:

$$2v = V \frac{m + M}{m}.$$

Если допустить, что и при втором измерении свойства неизвестной частицы были прежними, то, повторяя рассуждения, получим:

$$2v = V_1 \frac{m + M_1}{m}, \quad (12.5)$$

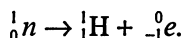
где  $M_1$  – масса ядра другого газа. Теперь можно найти массу неизвестной частицы:

$$m = \frac{M_1 V_1 - MV}{V_1 - V_2}, \quad (12.6)$$

Оказалось, что масса частицы близка к массе протона. Более точные исследования привели к следующим величинам, характеризующим частицу, которую называли нейтроном: она имеет нулевой заряд ( $Z = 0$ ); ее масса равна 1,009 а.е.м., что несколько превышает массу протона; ее массовое число равно 1. Отсюда обозначение нейтрона  ${}^1_0n$ . Спин нейтрона равен  $\frac{1}{2}$ .

Скорости нейтронов оказались значительными – до десятых долей скорости света. Это свидетельствовало об их ядерном происхождении. Впрочем, позже были получены и медленные нейтроны. Замедление нейтронов (если оно требуется) производят пропуская их через среду с частицами, близкими по массе к массе нейтронов и имеющими значительную вероятность взаимодействия с ними (тяжелая вода, графит). Для выделения из пучка нейтронов частиц с более или менее равными скоростями пучок нейтронов направляют в длинную трубу. Летя вдоль ее оси, нейтроны сами распределяются по скоростям. Если синхронизировать время открытия заслонки, имеющейся в трубе, с работой импульсного источника нейтронов, то на выходе из трубы будут получены нейтроны с более или менее одинаковой скоростью. Возможны и другие устройства подобного рода.

В нейтральном состоянии нейтрон радиоактивен. Период полураспада нейтронов равен примерно 15 мин, распад происходит по схеме



Сразу же после открытия нейтрона стало ясно, что ядра состоят только из протонов и нейтронов. Таким образом, смысл массового числа – общее число частиц в ядре; разность  $A - Z$  равна числу нейтронов  $N$ . Понятно, что ядра изотопов отличаются друг от друга числом нейтронов при равенстве в них числа протонов. Стала понятна и сущность бета-распада: один из ядерных нейтронов распадается на протон и электрон; последний и покидает пределы атома (см. также § 12.10). Кроме изотопов в природе встречаются ядра с равными массовыми числами  $A$ , но разными порядковыми номерами  $Z$ , которые называются изобарами. Примерами изобар являются ядра:  ${}^{36}_{16}\text{S}$ ,  ${}^{36}_{18}\text{Ar}$ ;  ${}^{104}_{44}\text{Ru}$ ,  ${}^{104}_{46}\text{Pd}$ ;  ${}^{96}_{40}\text{Zr}$ ,  ${}^{96}_{42}\text{Mo}$ ,  ${}^{96}_{44}\text{Ru}$ .

Ядра с  $Z = 0, 43, 61, 85, 93 - 114$  в природе не встречаются. Ядра с  $Z$  (или  $N$ ), равными 2, 8, 20, 28, 50, 82 характеризуются высокой стабильностью и широкой распространенностью в природе.



Для характеристики магнитных моментов ядерных частиц вводится (по аналогии с магнетонам Бора, см. § 13.4) ядерный магнетон  $\mu_N$ :

$$\mu_N = \frac{1}{2} \frac{e}{m_p} \frac{\hbar}{2\pi} = 5,05 \cdot 10^{-27} \text{ Дж/Тл},$$

где  $m_p$  – масса протона. Он меньше магнетона Бора в  $\frac{m_p}{m_e} = 1840$  раз.

При этом, как показали измерения, протон имеет магнитный момент, равный

$$p_p = 2,79\mu_N,$$

а нейтрон, у которого знаки спина и магнитного момента взаимно противоположны, характеризуется магнитным моментом:

$$p_n = -1,91\mu_N.$$

Отношение магнитных моментов протона и нейтрона

$$\frac{p_p}{p_n} = -\frac{3}{2}.$$

Такое значение, предсказанное квантовой механикой, имеет глубокий смысл.

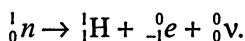
При всех превращениях атомных ядер выполняется ряд законов сохранения, а именно:

- закон сохранения массы (или энергии);
- закон сохранения электрического заряда (алгебраическая сумма зарядов постоянна);
- закон сохранения импульса;
- закон сохранения момента импульса;
- закон сохранения спина (сохраняется целочисленность или полуцелость спина).

Напомним, что протон, нейтрон и электрон имеют полуцелые спины, фотон – целочисленный.

В связи с законом сохранения спина нужно внести уточнения в уравнения некоторых ядерных реакций, так как в этих реакциях получается еще одна частица – с нулевой массой покоя, нулевым зарядом, различной энергией и полуцелым спином. Эта частица получила название *нейтрино* и обозначается символом  $\bar{\nu}$ . Например, написанное выше уравнение распада нейтрона следу-

ет писать так (протон, нейтрон и электрон имеют полуцелые спины):



Роль нейтрино в процессе бета-распада будет рассмотрена в § 12.12.

Есть и более частные законы сохранения, справедливые лишь для некоторых взаимодействий. Мы их рассматривать не будем.

Так как в составе ядра имеются только протоны и нейтроны, то их часто просто называют *ядерными частицами (нуклонами)*; есть даже основания полагать, что протон и нейтрон представляют собой два различных состояния одной и той же частицы. Одним из оснований служит факт существования так называемых «зеркальных ядер», состав нуклонов в которых симметричен по отношению к числу нейтронов и протонов. Возбужденные уровни энергии таких ядер практически совпадают. Примером «зеркальных ядер» могут служить ядра бора-11 ( $Z = 5, N = 6$ ) и углерода-11 ( $Z = 6, N = 5$ ).

Законы сохранения справедливы и для  $\beta$ -радиоактивности. При этом в (12.2) должна быть сделана поправка, учитывающая закон сохранения спина (вылет нейтрино).

В заключение остановимся на красивом опыте, доказавшем, что микрочастицы подчиняются закону всемирного тяготения. Обычно гравитационное взаимодействие не учитывается, так как оно (для отдельных энергичных частиц) мало по сравнению с другими взаимодействиями, но доказать его существование все же поучительно.

Для доказательства узкий пучок нейтронов, имевших строго горизонтальный вектор скорости, выпускался из малого отверстия в диафрагме, расположенной на определенной высоте  $H$  над поверхностью Земли. На расстоянии  $L$  (несколько десятков метров) находился вертикальный штатив, по которому можно было передвигать приемник нейтронов. При расположении приемника на высоте  $H$  нейтроны не регистрировались. Опуская приемник, можно было найти такую высоту  $H_1$ , для которой число зарегистрированных нейтронов было наибольшим. Зная скорость нейтронов  $v$ , расстояние  $L$  и расстояние  $H - H_1$ , можно было вычислить вертикальное ускорение нейтронов. Оно хорошо совпало с известным значением ускорения свободного падения.

## 12.8. ЭНЕРГИЯ СВЯЗИ АТОМНЫХ ЯДЕР

Если сравнить сумму масс покоя нуклонов, образующих ядро, с массой ядра, то окажется, что по всей периодической системе выполняется неравенство

$$Zm_p + Nm_n > m_{\text{я}}. \quad (12.7)$$

Разность  $\Delta m$  между суммой масс нуклонов (нейтронов и протонов), входящих в состав ядра, и массой ядра называют *дефектом массы*:

$$\Delta m = Zm_p + Nm_n - m_{\text{я}}.$$

Соответственно отличаются друг от друга полная энергия частиц, образующих ядро, и полная энергия самого ядра.

Разность

$$(Zm_p + Nm_n)c^2 - m_{\text{я}}c^2 = \Delta W \quad (12.8)$$

называют *энергией связи*. Энергия связи определяет наименьшую энергию, которую необходимо затратить для разделения ядра на отдельные нуклоны. Энергия связи растет с массовым числом и составляет, например, для гелия  ${}^4_2\text{He}$  приблизительно 28,3 МэВ, а для урана  ${}^{138}_{92}\text{U}$  – 1800 МэВ.

Для практических целей гораздо важнее знать энергию связи, приходящуюся на один нуклон (удельную энергию связи):

$$w = \frac{\Delta W}{A}. \quad (12.9)$$

Эта величина меняется сравнительно мало (рис. 12.4), имея максимум  $w = 8,8$  МэВ/нуклон и почти постоянное значение  $w \approx 8,6$  МэВ/нуклон в средней части периодической системы ( $40 < A < 120$ ) и уменьшаясь к ее краям. Громадные значения энергии связи говорят об исключительной устойчивости ядер – их практически невозможно разделить на нуклоны. Но если бы удалось разбить массивное ядро на два других ядра (средней массы), то энергия связи системы увеличилась бы.

Значит, процесс «деления ядра» должен сопровождаться выделением энергии в относительно большом количестве. Так, например, при захвате нейтрона ядром  ${}^{238}_{92}\text{U}$  ( $\Delta W = 1780$  МэВ) происходит деление по схеме

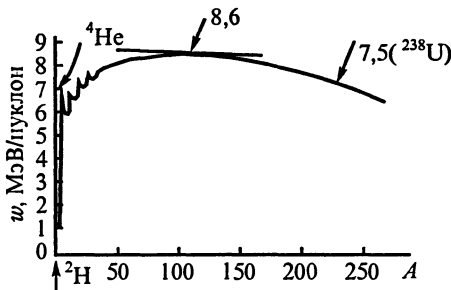
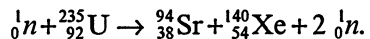


Рис. 12.4

Выделяющиеся нейтроны могут вызвать дальнейшие деления, и начавшаяся реакция будет развиваться дальше. Осколки ядра неустойчивы; так,  ${}^{94}_{38}\text{Sr}$  превращается в  ${}^{94}_{40}\text{Zn}$ , а  ${}^{140}_{54}\text{Xe}$  в  ${}^{140}_{58}\text{Ce}$ ; эти превращения сопровождаются  $\beta$ -излучением. Уравнение, описывающее деление, показывает, что законы сохранения заряда и массового числа выполнены. Разность полных энергий в начальном и конечном состоянии есть

$$\Delta W \approx 8,6 (94 + 140) \text{ МэВ} - 1780 \text{ МэВ} \approx 220 \text{ МэВ}.$$

Эта энергия в том или ином виде (энергия излучения или кинетическая энергия продуктов деления) освобождается при каждом акте деления. При делении одного моля урана выделится энергия, равная

$$W = 220 \text{ МэВ} \cdot 6 \cdot 10^{23} \text{ моль}^{-1} = 1,32 \cdot 10^{26} \text{ МэВ/моль},$$

в то время как при химических превращениях выделяемая энергия не превышает

$$W = 10^{20} \text{ МэВ/моль}.$$

Таким образом, процесс деления ядер может служить базой для получения внутриядерной энергии, если удастся обеспечить достаточное число делений в единицу времени, достаточную продолжительность процесса и регулировку его интенсивности.

## 12.9. ИСКУССТВЕННОЕ ПРЕВРАЩЕНИЕ ЯДЕР. ПОЗИТРОН. ПОЯВЛЕНИЕ И ИСЧЕЗНОВЕНИЕ ПАР

Основные явления естественной радиоактивности были изучены в первом десятилетии XX в. Тогда же возникла идея: обстреливая ядра быстрыми частицами, преобразовывать их. Резерфорд пользовался для этого альфа-частицами; в 1918 г. ему удалось получить в камере Вильсона среди многих прямолинейных следов редкие следы, заканчивающиеся «вилкой». Свойства прямых следов были уже исследованы – они оканчивались вследствие израсходования кинетической энергии альфа-частиц на работу ионизации газа в камере; «вилка» свидетельствовала о появлении двух быстрых частиц, создающих ионизацию (рис. 12.5). Резерфорд истолковал это как результат захвата альфа-частицы ядром и последующего распада ядра. Одна из частиц была отождествлена с протоном. Так как камера была заполнена азотом  $\text{N}_2$ , то, следовательно, происшедшая ядерная реакция была такова:



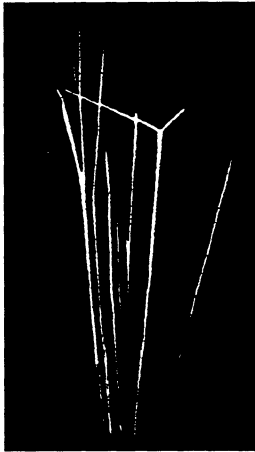


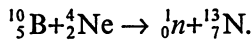
Рис. 12.5

Так впервые в истории науки удалось вызвать искусственное превращение одного элемента в другой.

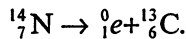
По мере развития ускорителей и получения все более мощных пучков частиц больших энергий удалось установить, что ядерные реакции весьма разнообразны и могут происходить под влиянием не только альфа-частиц, но и других частиц, обладающих большой кинетической энергией, в частности протонов.

Весьма удобными для обстрела ядер оказались и нейтроны: лишенный заряда нейтрон не испытывает кулоновского взаимодействия с ядром, а потому легче проникает в ядро, нарушая его устойчивость и вызывая то или иное ядерное превращение.

В 1934 г. Ирен и Фредерик Жолио-Кюри обнаружили поразительное для того времени явление: если длительно облучать некоторые вещества альфа-частицами, то они становятся радиоактивными, имея периоды полураспада порядка десятков минут. Так, при бомбардировке бора получается радиоактивный азот. Реакция идет по схеме



Азот излучает положительные электроны (позитроны – они были открыты раньше) и превращается в углерод:



Последний процесс продолжается и после прекращения облучения. Это явление получило название *наведенной*, или *искусственной*, радиоактивности. В дальнейшем было показано, что искусственная радиоактивность имеет место и при бомбардировке разнообразных веществ протонами, дейтронами или нейтронами. Получающиеся при этом неустойчивые изотопы обладают либо положительной, либо отрицательной бета-активностью.

В настоящее время известно около 2000 изотопов, из них только 300 естественные, остальные получены в ядерных лабораториях.

Так как принципиальной разницы в поведении неустойчивых изотопов искусственного и естественного происхождения нет, то теперь обе радиоактивности можно рассматривать как одно целое.

Позитроны были открыты в 1932 г., когда Андерсон получил в камере Вильсона, перегороденной пластиной свинца, след, показанный на рис. 12.6. Камера находилась в постоянном магнитном поле с индукцией, направленной за чертеж. Полученный след искривился вследствие действия на движущуюся заряженную частицу силы Лоренца. Так как искривление следа в верхней части более значительно, чем в нижней, то скорость частицы соответственно была больше в нижней части следа. Поэтому можно сделать вывод, что частица пронизала свинцовую пластину, летя снизу вверх и теряя внутри пластины часть энергии. Но тогда по правилу левой руки легко определить знак заряда частицы – он положителен. Количественное исследование особенностей следа позволило установить, что частица несет единичный заряд и имеет массу покоя, близкую (в дальнейшем оказалось, что равную) к массе электрона. Эти частицы были названы *позитронами*. Они имеют полуцелый спин.

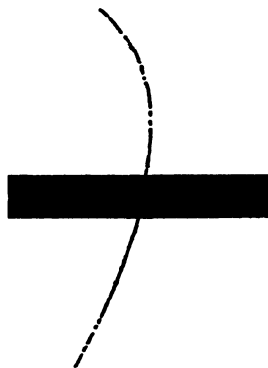


Рис. 12.6

Другое замечательное открытие иллюстрируется снимком, полученным при облучении камеры Вильсона жесткими гамма-лучами – энергия их фотонов превосходит 1 МэВ (рис 12.7). На рисунке видны два следа, подобные друг другу по степени ионизации, они выходят из общей точки, но искривлены магнитным полем в противоположные стороны. Трактовка этого явления, названного образованием пар, такова: в поле одного из ядер вещества пластины, перегораживающей камеру, гамма-фотон превращается в пару электрон – позитрон, реакция идет с выполнением законов сохранения. Так как масса покоя позитрона и электрона в энергетических единицах равна 0,511 МэВ, то избыток энергии переходит в кинетическую энергию членов пары.

Присутствие тяжелого ядра необходимо, так как при образовании пары оно берет на себя часть импульса и энергии фотона.

Действительно, допустим, что возникающие электроны приобретают равные импульсы  $\vec{p}_1$ , совпадающие по направлению с импульсом гамма-фотона  $\vec{p}$ .

Для фотона энергия  $W = pc$ . Для электронов общая энергия

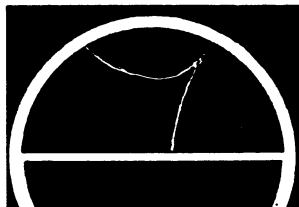


Рис. 12.7

$$W_1 = 2mc^2 = 2mv \frac{c^2}{v} = 2p_1 \frac{c^2}{v},$$

поэтому отношение импульсов

$$\frac{p}{2p_1} = \frac{W}{W_1} \frac{c}{v} > 1.$$

Избыток импульса

$$\Delta p = p - 2p_1$$

и избыток энергии

$$\Delta W = W - W_1$$

принимает тяжелое ядро.

Одновременно был открыт и обратный процесс – превращение пары электрон–позитрон в два гамма-фотона. При этом по-прежнему сохраняются суммарные энергия и импульс. Последнее возможно лишь при условии, что одновременно рождаются два фотона; действительно, если импульсы взаимодействующих заряженных частиц равны по модулю и противоположны по направлению, то и после превращения импульс должен быть равен нулю, а это требует появления не менее чем двух фотонов.

По тем же причинам (избыток импульса) невозможно поглощение фотона свободным электроном. Поглощение становится возможным, если электрон входит в состав микросистемы (атом, молекула) или в состав большого коллектива частиц (электрон в металле при фотоэлектрическом эффекте).

В природе свободные позитроны не встречаются. Появившись, например, в результате ядерной реакции, позитрон через некоторое время взаимодействует со случайным электроном, причем оба обращаются в гамма-фотоны.

Оба эти эффекта имеют огромное значение для понимания свойств материи. Возможность превращения частиц вещества в «частицы» электромагнитного поля – фотоны, как и обратное превращение, свидетельствует о тесной связи двух видов материи, ранее противопоставлявшихся друг другу, так как в макромире подобные превращения, конечно, не наблюдаются.

Позитрон называют античастицей электрона. Возникает вопрос: существуют ли другие античастицы? Оказалось, что существуют. В настоящее время получены антипротон ( ${}_{-1}^1\text{H}$ ), антинейтрон ( ${}_{-1}^1\text{D}$ ) и антигелий ( ${}_{-2}^3\text{He}$ ). Они при встрече с соответствующими

щими частицами – протоном, дейтроном и гелием – попарно исчезают, рождая фотоны большой энергии.

Но в принципе античастица может захватить антиэлектрон и образовать антиатом, ничем (кроме знаков заряда) не отличающийся от обычного атома. В частности, спектр излучения должен быть таким же, как у обычного атома, поэтому, изучая излучение звезд или галактик, нельзя решить, состоят они из вещества или антивещества. Однако превращение частицы и античастицы в излучение говорит о том, что близкое соседство галактик и антигалактик невозможно – они бы при взаимодействии исчезли, породив невообразимо мощное излучение.

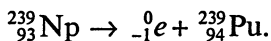
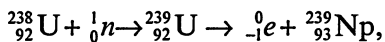
Существует также и антинейтрон, отличающийся от нейтрона направлением собственного магнитного момента. У нейтрона направления собственного и механического момента антипараллельны, у антинейтрона эти направления совпадают.

Возможность существования более тяжелых античастиц, чем антинейтрон и антипротон, не вызывает сомнений – для их получения нужны только более энергичные фотоны.

Закон сохранения спина и некоторые энергетические соображения привели к заключению о существовании еще одной частицы – уже упоминавшегося *нейтрино*, по-видимому, не обладающего массой покоя, с нулевым зарядом и полуцелым спином. Действительно, рассмотрим, например, распад нейтрона: нейтрон распадается самопроизвольно на протон и электрон; каждая из этих частиц имеет полуцелый спин. Следовательно, для сохранения спина нужно допустить образование еще одной частицы (нейтрино  ${}^0_0\nu$  с половинным спином); остальные законы сохранения уже выполнены. Нейтрино появляется и в ряде других ядерных реакций. Так как оно лишено заряда и имеет нулевую массу покоя, то взаимодействие с ядрами весьма маловероятно; нейтрино может пролететь через громадную толщу вещества, не взаимодействуя с атомами. Поэтому непосредственное его наблюдение – очень трудная задача, которая, однако, была успешно решена.

Нейтрино имеет античастицу. При этом оказывается, что при превращении нейтрона в протон в действительности вылетает именно антинейтрино, но мы не будем учитывать это различие.

В 40-х годах XX в. началось создание заурановых элементов. Первые заурановые элементы были получены в результате следующих реакций:





В настоящее время синтезированы все элементы до  $Z = 114$  включительно. Они неустойчивы, имеют по несколько радиоактивных изотопов. Поэтому в таблице дан определенный атомный номер, а массовые числа указаны в пределах от наименьшего до наибольшего, причем весьма вероятно, что еще не все возможные изотопы открыты; периоды полураспада всех заурановых элементов малы – не превышают тысячи лет (кроме плутония  $^{294}_{94}\text{Pu}$  – 80 млн лет, нептуния  $^{237}_{93}\text{Np}$  – 2 млн лет и плутония  $^{239}_{94}\text{Pu}$  – 10 тыс. лет). Этим и объясняется отсутствие остальных заурановых элементов в природе.

Название элемента	Символ элемента	$Z$	$A$
Нептуний	Np	93	227–241
Плутоний	Pu	94	232–246
Америций	Am	95	237–247
Кюрий	Cm	96	238–250
Берклий	Bk	97	243–251
Калифорний	Cf	98	242–251
Эйнштейний	Es	99	245–255
Фермий	Fm	100	244–257
Менделевий	Md	101	255–258
Нобелий	No	102	251–257
Лоуренсий	Lr	103	260
Дубний	Db	104	261
Жолиотий	Jl	105	262
Резерфордий	Rf	106	263
Борий	Bh	107	262
Ганий	Hn	108	265
Мейтнерий	Mt	109	266

Сейчас ведутся поиски элементов с атомными номерами, близкими к  $Z = 114$ , где согласно теоретическим расчетам возможно появление более или менее долгоживущих изотопов. В начале 1999 г. появилось сообщение об открытии этого элемента с  $A = 289$  в г. Дубне, с периодом полураспада около 30 с.

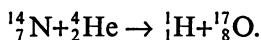
## 12.10. ЯДЕРНЫЕ РЕАКЦИИ

Ядерные реакции, происходящие при обстреле ядер различными частицами, весьма разнообразны. Мы рассмотрим только важнейшие особенности и некоторые примеры.

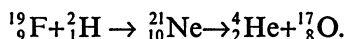
Так как диаметр среднего ядра примерно равен  $10^{-14}$  м, а обстреливающие частицы движутся со скоростью, близкой к скорости света, то время пролета через ядро составляет  $\tau \approx 10^{-23}$  с. Однако в действительности реакция может длиться дольше, так как частица, поглощенная ядром, возбуждает ядро, вызывает его перестройку и устойчивое состояние, наступающее после выбрасывания ядром другой частицы, может возникнуть через больший промежуток времени.

Поэтому различают реакции следующего вида:

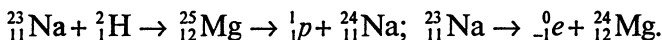
1. Если время взаимодействия оказывается порядка  $\tau$ , то реакция называется прямой, например:



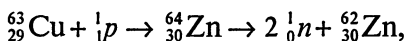
2. Если время взаимодействия превышает  $\tau$  на несколько порядков, то приходится считаться с образованием промежуточного ядра, например:



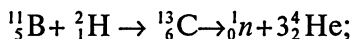
3. Если распад конечного ядра происходит много позже, то говорят об искусственной радиоактивности, например:



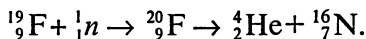
Реакция может вызываться протонами:



дейтронами:



применяются также нейтроны, проникновение которых в ядро облегчено, так как они лишены электрического заряда:



Весьма энергичные гамма-фотоны (с энергией, превышающей 3–10 МэВ) также способны вызывать ядерные превращения;

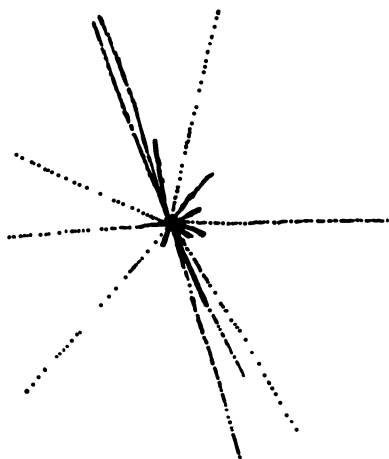
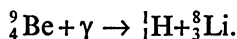


Рис. 12.8

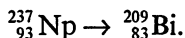
В рассмотренных примерах массы исходного и конечного ядра мало отличались друг от друга. Если же распад ядра происходит на две части или большее число частей сравнимых масс, то реакцию называют *делением ядра*. Примером этого является реакция, рассмотренная в § 12.8. При этом обычно кроме двух крупных осколков получается несколько частиц (например, нейтронов).

При воздействии гамма-фотона большой энергии ядро может

«взорваться», раздробившись на большое число осколков. Так как эти осколки оставляют в камере Вильсона или в фотоэмульсии целый пучок следов, имеющих различное направление и напоминающих звезду (рис. 12.8), то этот процесс называют образованием «звезд». Поскольку некоторые получающиеся при этом частицы могут вызвать такой же эффект, то получается процесс, называемый «ливнем», где общее число рожденных частиц измеряется десятками.

Еще при изучении естественной радиоактивности было установлено, что ядро, подобно атому, имеет дискретный спектр устойчивых энергетических состояний. Это следовало из ряда опытных фактов. Так, спектр энергий альфа-частиц дискретен. Дискретен и спектр гамма-излучения, сопровождающего альфа-распад. При изучении искусственных превращений ядер выяснилось, что некоторые реакции имеют резонансный характер, их вероятность резко возрастает при определенных значениях энергии частиц, вызывающих реакцию. Подобный резонанс также служит признаком дискретности энергетических состояний ядер.

В заключение стоит упомянуть о создании четвертого радиоактивного семейства, родоначальником которого является нептуний:



В природе радиоактивных членов этого семейства уже нет.

## 12.11. ТЕОРИЯ АЛЬФА-РАСПАДА

Ядро, представляющее собой довольно устойчивую систему, состоит из протонов и нейтронов. Следовательно, кроме кулоновских сил, вызывающих взаимное отталкивание протонов, существуют еще иные силы, преодолевающие это отталкивание. Эти силы, называемые *ядерными* (связанные с ними взаимодействия называются *сильными*), должны быть очень короткодействующими, т.е. сильно зависящими от расстояния, так как за пределами ядра, диаметр которого порядка  $10^{-14}$  м, эти силы не проявляются, что было установлено в опытах по рассеянию альфа-частиц.

Альфа-частицы могут приближаться к ядру на расстояние  $R \approx 10^{-14}$  м, испытывая только кулоновское взаимодействие с ядром; энергия альфа-частиц, способных проникнуть в ядро, должна превышать (при  $Z = 50$ ) значение, определяемое по формуле

$$W_p = 2eU = 2e \frac{eZ}{4\pi\epsilon_0 R} = 14,4 \text{ МэВ.}$$

Это подтверждается и опытными данными: в тяжелые ядра проникают лишь достаточно быстрые альфа-частицы.

Но, с другой стороны, известно, что энергия альфа-частиц, покидающих, например, ядро урана при его распаде, составляет всего лишь  $W = 4$  МэВ (энергии такого же порядка имеют и другие альфа-частицы естественного происхождения); между тем для урана  $W_p = 28$  МэВ.

С точки зрения классической физики это непонятно: казалось бы, что энергия вылетающих частиц должна быть не меньше «высоты потенциального барьера»  $W_p(x)$ , окружающего ядро, т.е. в случае урана не меньше 28 МэВ.

Квантовая механика, однако, способна объяснить это явление. В главе 11 было показано, что частица с массой  $m$  и энергией  $W$  имеет определенную вероятность преодолеть потенциальный барьер, характеризующийся потенциальной энергией  $W_p$ . Эта вероятность пропорциональна величине

$$\exp \left[ -A \sqrt{m} \int_R^x \sqrt{W_p(R) - W} dx \right], \quad (12.11)$$

где  $A$  – постоянная,  $R$  и  $x$  – координаты начала и конца барьера для данного значения  $W$ . Так как (12.11) сильно зависит от разности  $(W_p - W)$ , то небольшое изменение значения  $W$  влечет за собой резкое изменение вероятности вылета частицы. Количественные

расчеты дают хорошее совпадение с опытом. Различие в скорости вылетающих частиц объясняется тем, что внутри ядра частицы могут находиться в состояниях с различной энергией, число этих состояний невелико и их энергии дискретны, почему и энергии альфа-частиц дискретны.

Ядро, испустившее альфа-частицу, может остаться возбужденным; тогда после альфа-распада оно испускает гамма-фотон. Дискретность частот испускаемых фотонов также соответствует расчетам.

Так как масса протона в 4 раза меньше массы альфа-частицы, а заряд вдвое меньше, то показатель в выражении (12.11) резко уменьшается. Поэтому вероятность вылета протона, находящегося в одном из состояний с избыточной энергией, настолько велика, что таких ядер в естественном состоянии не существует. По той же причине нет и альфа-частиц с большими энергиями – они не могут задержаться в ядре.

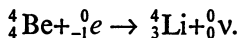
## 12.12. ТЕОРИЯ БЕТА-РАСПАДА

Особенностью бета-распада (как положительного, так и отрицательного) является непрерывный спектр энергий вылетевших электронов, обрывающийся на некоторой определенной наибольшей энергии. Последнюю нужно рассматривать как разность двух значений энергий, соответствующих двум устойчивым состояниям ядра.

Появление электронов с меньшей энергией было объяснено Паули в 1930 г. Он считал, что одновременно с электроном вылетает нейтрино (нулевой заряд и масса), берущее на себя соответствующую долю энергии. Так как электронов в ядре нет, то они появляются при распаде ядра лишь в результате превращения нейтрона в протон и электрон (или протона в нейтрон и позитрон). Эти превращения обусловлены не внутриядерными силами, а силами, действующими внутри отдельных нуклонов (как известно, нейтрон может распадаться и в свободном состоянии). Связанные с этими силами взаимодействия называют *слабыми*, так как они гораздо слабее других ядерных (сильных) взаимодействий. Слабые взаимодействия проявляются главным образом в возникновении распадов там, где за счет других взаимодействий распады происходить не должны.

Замечательным является существование неустойчивых изотопов, обладающих бета-активностью, во всей периодической системе, начиная с  $Z = 0$  (нейтрон); изотопы же с альфа-активностью наблюдаются только при достаточно больших  $Z$ .

К бета-распаду относят и процесс захвата ядром электрона его собственной электронной оболочки; при этом один из протонов превращается в нейтрон, так что атомный номер ядра уменьшается на единицу, например:



При этом испускается нейтрино, так как должен выполняться закон сохранения спина.

### 12.13. ЯДЕРНЫЕ СИЛЫ

Многочисленные экспериментальные факты, рассмотренные выше, позволяют составить следующее представление о строении ядра. Ядро является микроскопическим объектом, имеющим характерный размер порядка  $10^{-14}$  м. Оно состоит из некоторого числа нуклонов, каждый из которых имеет массу покоя порядка 1 ГэВ. Нуклоны связаны в ядре благодаря действующим между ними ядерным силам. На расстоянии  $\approx 10^{-15}$  м эти силы имеют характер притяжения и во много раз превышают кулоновские силы отталкивания, действующие между одноименно заряженными протонами. Энергия связи нуклонов в ядре порядка единиц мегаэлектронвольт. Ядра, так же как и атомы, обнаруживают наличие дискретных состояний, характеризующихся как определенным значением энергии, так и собственным моментом импульса. Переходы ядер из одного состояния в другое, так же, как и для атома, сопровождаются рождением новых частиц. Однако здесь имеются и существенные отличия от атомов.

При переходе атома из возбужденного состояния в нормальное излучается фотон с энергией, не превышающей 100 эВ (световой). А возбужденное ядро при переходе в нормальное состояние излучает гамма-фотоны с гораздо большей энергией, так как разности энергий внутриядерных уровней гораздо больше, чем атомных. Кроме того, при альфа- или бета-распаде наблюдается совершенно новое явление: ядро излучает электрон или альфа-частицу, т. е. изменяется заряд ядра.

Естественно возникает проблема описания состояния ядер на основе квантовомеханических представлений, рассмотренных ранее. Можно ли для этого применить уравнение Шредингера? Для ответа на этот вопрос оценим скорость нуклонов в ядре и сравним энергию возбуждения ядер и энергию связи нуклонов в ядре с энергией покоя нуклонов.

Последнее сделать особенно просто, так как мы уже знаем, что энергия связи нуклонов  $\approx 8$  МэВ, а энергия возбуждения ядра несколько мегаэлектронвольт, что определяется из энергетического спектра  $\gamma$ -квантов, испускаемых возбужденным ядром. Эти значения гораздо меньше собственной энергии нуклонов, и, следовательно, рождения новых частиц типа нуклонов при ядерных переходах не должно происходить. Скорость нуклона в ядре оценим с помощью соотношения неопределенностей

$$v \approx \frac{\hbar}{r_{\text{я}} m_{\text{н}}} = \frac{1,05 \cdot 10^{-34} \text{ Дж} \cdot \text{с}}{10^{-14} \text{ м} \cdot 1,7 \cdot 10^{-27} \text{ кг}} = 0,6 \cdot 10^7 \text{ м} \cdot \text{с}^{-1},$$

т.е. нуклоны в ядре еще можно рассматривать как нерелятивистские частицы и применять для их описания уравнение Шредингера. Это возможно, если будет известна зависимость потенциальной энергии взаимодействия нуклонов от расстояния между ними.

Какова же природа ядерных сил и каковы их свойства? Обобщение экспериментальных данных позволяет сделать следующие выводы о характере ядерных сил:

1. Ядерные силы являются короткодействующими силами. Зависимость потенциальной энергии взаимодействия нуклонов в ядре от расстояния графически можно представить кривой, приведенной на рис. 12.9. Энергия взаимодействия резко изменяется при  $r = r_0$  ( $r_0 = 1,5 \cdot 10^{-15}$  м) и при  $r \geq r_0$  стремится к нулю; при расстояниях  $r = r'_0$  ( $r'_0 = 10^{-15}$  м) притяжение нуклонов сменяется отталкиванием, что препятствует дальнейшему сближению нуклонов.

2. Ядерные силы обладают свойством зарядовой независимости, т.е. их действие не зависит от того, имеют нуклоны электрический заряд или нет. Их действие проявляется одинаковым образом между протоном и нейтроном, нейтроном и протоном, протоном и протоном.

3. Ядерные силы обладают свойством насыщения, т.е. они действуют только между соседними нуклонами. Это проявляется в том, что энергия связи в ядрах пропорциональна числу нуклонов в ядре. В этом отношении ядерные силы похожи на силы химического взаимодействия. Последние, как мы выясни-

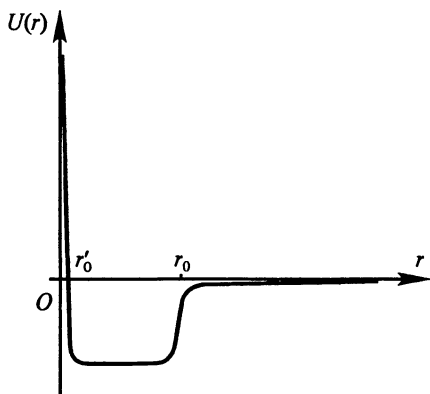


Рис. 12.9

ли, являются вторичными силами, вызванными взаимодействием электронов в атомах. Оказывается, что и ядерные силы обусловлены более глубокими процессами взаимодействия в нуклонах.

4. Ядерные силы не центральные, они не обладают центральной симметрией, что также является отражением сложной внутренней структуры нуклонов.

5. Ядерные силы, действующие между нуклонами, зависят от ориентации спинов взаимодействующих частиц.

6. Природа ядерных сил связана с обменом между нуклонами определенными частицами – переносчиками ядерного взаимодействия. Впервые идея об обменном характере ядерных сил была высказана советскими физиками И.Е.Таммом и Д.Д.Иваненко, окончательно сформулирована японским физиком Х.Юкавой.

С точки зрения обменной теории взаимодействие между двумя нуклонами происходит вследствие обмена между ними третьей частицей – переносчиком взаимодействия. В какой-то степени здесь ситуация подобна той, которая возникает при обмене мячами между двумя партнерами, стоящими на подвижных тележках. Переброс мячей сопровождается обменом импульса и вызывает силу отталкивания между взаимодействующими телами.

В микромире обмен между нуклонами приводит к появлению между ними силы притяжения. Откуда появляется частица – переносчик взаимодействия и каковы ее характеристики? Ответ на этот вопрос связан с соотношением неопределенностей для величин энергия – время. Закон сохранения энергии не будет нарушен, если за время  $\Delta t$ , равное отношению расстояния между нуклонами  $r$  к скорости гипотетической частицы – переносчика взаимодействия (примем ее равной скорости света), один нуклон испустит частицу, энергия покоя которой не превышает  $\Delta E = \frac{\hbar}{\Delta t}$ , а другой поглотит эту же частицу. Масса покоя такой частицы, очевидно, равна:

$$m = \frac{\Delta E}{c^2} = \frac{\hbar}{rc} = \frac{10^{-34} \text{ Дж} \cdot \text{с}}{10^{-15} \text{ м} \cdot 3 \cdot 10^8 \text{ м/с}} = 3 \cdot 10^{-28} \text{ кг},$$

т.е. примерно в 300 раз превышает массу покоя электрона. Эта частица была в 1947 г. обнаружена в составе космического излучения; ее назвали  $\pi$ -мезоном, масса покоя частицы оказалась равной 270 массам покоя электрона.

Обменная теория ядерных сил оказалась очень плодотворной и в настоящее время используется для объяснения всех типов фундаментальных взаимодействий, известных в природе.



## 12.14. МОДЕЛИ ЯДРА

В настоящее время не существует законченной модели ядра, и для объяснения тех или иных явлений пользуются двумя моделями: *оболочечной* и *капельной*. Каждая из них работает в определенной области явлений и непригодна в другой. Это, конечно, свидетельствует о несовершенстве современных знаний о ядре.

Мы рассмотрим идеи, лежащие в основе моделей ядра, и качественные результаты, получаемые с помощью последних.

Опыты по рассеянию быстрых частиц на ядре показывают, что объем ядра пропорционален числу содержащихся в нем нуклонов и, следовательно, радиус ядра, считаемого шарообразным, пропорционален массовому числу в степени  $\frac{1}{3}$ :

$$R = 1,25 \cdot 10^{-15} \sqrt[3]{A} \text{ м.}$$

Отсюда следует, что радиусы ядер меняются от  $1,2 \cdot 10^{-15}$  м (водород) до  $6,2 \cdot 10^{-15}$  м (уран); ядра имеют примерно одинаковую громадную плотность:

$$\rho \approx 2,7 \cdot 10^{17} \text{ кг/м}^3.$$

Сами нуклоны имеют плотность, в несколько раз большую.

Независимость плотности ядер от их размеров и своеобразный характер ядерных сил, аналогичных химическим силам, позволяют представить ядро в виде капли жидкости. Такое представление о ядре получило название *капельной модели ядра*. Эта модель позволяет получить выражение для энергии связи нуклонов в ядре в следующем виде:

$$\Delta W_{\text{св}} = a_{\text{об}} A - b_{\text{пов}} A^{2/3} - d_{\text{кул}} \frac{Z^2}{A^{1/3}} - k \frac{(Z - N)^2}{A}; \quad (12.12)$$

здесь  $\Delta W_{\text{св}} = c^2 [Zm_p + Nm_n - m_{\text{я}}(Z, N)]$ ,  $Z$  – число протонов,  $N$  – число нейтронов,  $m_{\text{я}}(Z, N)$  – масса ядра,  $A$  – число нуклонов, равное  $Z + N$ .

В выражении (12.12) первое слагаемое соответствует объемной энергии связи ядерного вещества; второе слагаемое выражает поверхностную энергию, ее отрицательное значение показывает, что нуклоны на поверхности ядра имеют ненасыщенные связи; третье слагаемое соответствует энергии кулоновского взаимодействия между заряженными протонами; четвертое слагаемое учитывает

экспериментально наблюдаемую зависимость энергии связи ядер от соотношения числа протонов и нейтронов в ядре. В природе наиболее стабильными являются ядра с четным числом  $N$  и  $Z$ . Коэффициенты в уравнении (12.12) определены из экспериментальных данных.

Разделив (12.12) на число нуклонов  $A$ , получаем уравнение, хорошо описывающее кривую (см. рис. 12.4), для ядер со средними и большими значениями  $A$ , имеющих важное практическое значение. Для легких ядер формула (12.12) неприменима.

Капельная модель ядра позволяет также качественно описать процесс деления тяжелых ядер; однако она не может объяснить такие явления в ядерном мире, как существование ядер с магическими числами, немонотонность функции энергии связи нуклонов в ядрах от их числа, стабильность изотопов. Давно было замечено, что наиболее стабильными являются ядра, для которых  $Z$  или  $N$  имеют значения 2, 8, 20, 28, 50, 82, 126. Эти числа называют магическими.

Объяснение существования ядер с магическими числами дает так называемая *оболочечная модель ядра*. Эта модель основана на представлении о существовании дискретных состояний для нуклонов и о сильном спин-орбитальном взаимодействии нуклонов внутри ядра. Решение уравнения Шредингера для нуклонов в поле нуклонов ядра приводит к квантованию энергий нуклонов в ядре и к появлению определенных состояний, которые характеризуются главным квантовым числом  $n$ , орбитальным квантовым числом  $l$ , проекцией магнитного момента на ось  $OZ$  и спином нуклона. Из-за сильного спин-орбитального взаимодействия состояние нуклона характеризуется квантовым числом  $j = |l \pm s|$ . Число возможных состояний нуклона в ядре при данном  $j$  определяется как  $2j + 1$ . Заполнение отдельных квантовых состояний отдельными нуклонами идет в соответствии с принципом Паули (так как нуклоны являются фермионами), отдельно для протонов и для нейтронов.

Подобно электронной оболочке атомов, где при заполнении наружного слоя восемью электронами образуются химически неактивные инертные газы, в ядре также заполняются определенные слои оболочки, причем ядра приобретают наибольшую устойчивость.

Так объясняются магические числа.

Каждая из рассмотренных моделей ядер имеет свою ограниченную область применения. Так, например, оболочечная модель не может правильно предсказать значения магнитных моментов ядер, капельная модель не учитывает квантовомеханическую природу нуклонов.

От этих недостатков свободна так называемая обобщенная модель ядра, в которой учитывается коллективное взаимодействие нуклонов при расчете состояния нуклонов в ядре. Однако и эта модель имеет свои ограничения, что свидетельствует о неполноте наших знаний о внутриядерных процессах.

## 12.15. ИСПОЛЬЗОВАНИЕ ЯДЕРНОЙ ЭНЕРГИИ

В § 12.8 мы выяснили, что все атомные ядра характеризуются энергией связи и что при делении ядра, т.е. распаде его на два осколка более или менее одинаковой массы, может выделиться значительная энергия. Кроме того (и это очень важно!), при делении освобождаются два-три нейтрона, обладающие кинетической энергией порядка нескольких мегаэлектронвольт; их называют *быстрыми* в отличие от *медленных* нейтронов (энергия меньше 1 МэВ) и *тепловых* нейтронов, имеющих энергию порядка килоэлектронвольта, т.е. соизмеримую с энергией атомов при такой же температуре. Освобожденные нейтроны, захватываясь другими ядрами делящегося вещества, могут вызвать их деление и т.д. Такой процесс может иметь практическое значение, если удастся осуществить цепную реакцию, т.е. вызвать быстрое нарастание процесса, затем остановку нарастания и создание стационарного процесса, уровень которого может устанавливаться экспериментатором.

Наиболее подходящим для цепной реакции является природный уран. Однако распространенный изотоп природного урана  ${}_{92}^{238}\text{U}$  делится только под действием быстрых нейтронов, и то с небольшой вероятностью, так как имеется ряд процессов, при которых захват нейтрона не сопровождается делением. В естественном уране, содержащем более 99% ядер  ${}_{92}^{238}\text{U}$ , цепная реакция самопроизвольно не возникает.

Редкий изотоп  ${}_{92}^{235}\text{U}$ , присутствующий в природном уране в количестве 0,7%, делится как быстрыми, так и медленными нейтронами, причем вероятность деления после захвата нейтрона гораздо больше, чем у  ${}_{92}^{238}\text{U}$ .

Поэтому в устройствах для получения ядерной энергии (ядерных реакторах) основную роль играют деления именно редкого изотопа  ${}_{92}^{235}\text{U}$ . Некоторые из так называемых гетерогенных реакторов (т.е. реакторов с разделенными веществами) представляют собой систему графитовых блоков, в которые вставлены в

определенном порядке урановые стержни, а между последними помещены подвижные стержни, содержащие кадмий. Уран является ядерным горючим; графит служит для замедления быстрых нейтронов (замедлитель); кадмий, хорошо поглощающий нейтроны (поглотитель), позволяет регулировать интенсивность процесса деления: для его ослабления стержни с кадмием вдвигают в реактор, для ускорения выдвигают из него. Область, где разыгрывается реакция (активная зона), окружена слоем вещества, отражающего нейтроны, стремящиеся вылететь из зоны (слой бериллия), и защитным внешним слоем, поглощающим вредные для человека излучения, возникающие при делении ядер урана (рис. 12.10).

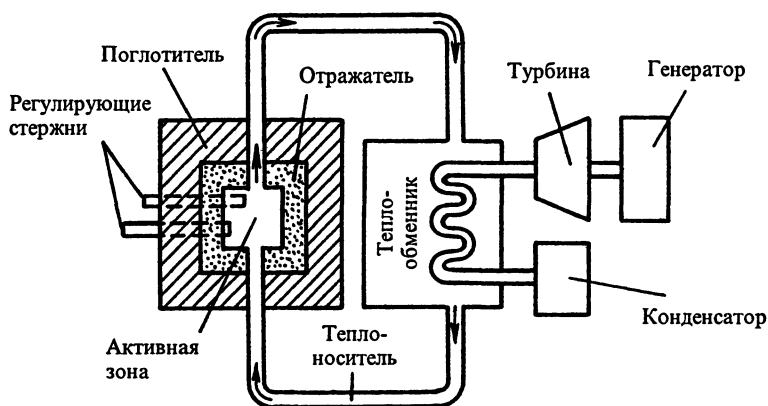
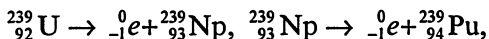


Рис. 12.10

Помимо делений ядер  $^{235}_{92}\text{U}$ , вызываемых главным образом нейтронами, замедленными в графите до «тепловых» скоростей, при захвате такого нейтрона ядром  $^{238}_{92}\text{U}$  образуется изотоп  $^{239}_{92}\text{U}$ ; он неустойчив и претерпевает два бета-превращения по схеме



образуя изотопы нептуния и плутония. Последний сам способен делиться при поглощении нейтрона, освобождая значительную энергию.

При правильно выбранном режиме работы реактора ежесекундное число превращений  $^{238}_{92}\text{U}$  и делений  $^{235}_{92}\text{U}$  и  $^{239}_{94}\text{Pu}$  примерно одинаково, так что реактор длительно работает в устойчивом

режиме. При этом в нем постепенно накапливается плутоний, который сравнительно легко отделить от урана химическими методами и использовать для других целей.

Возникающие при делении ядер нейтроны далеко не все принимают участие в дальнейших делениях. Они могут замедляться, захватываться ядрами, не вызывая их деления, могут просто покидать реактор и т. д. Среднее число нейтронов, возникающих при каждом акте деления и участвующих в дальнейших делениях, называют *коэффициентом размножения нейтронов*  $k$ . Эта величина, конечно, меньше, чем истинное число появляющихся нейтронов. Для развития цепной реакции необходимо иметь  $k > 1$ ; для стационарной реакции нужно  $k = 1$ . Наконец, при  $k < 1$  реакция прекращается (или не возникает).

Для уменьшения потерь нейтронов нужен замедлитель с малым поглощением; размеры реактора должны быть не слишком малы, поверхность его – по возможности малой.

Последующие ступени цепной реакции следуют друг за другом очень быстро (примерно через  $10^{-8}$  с). Поэтому при малейшем увеличении коэффициента размножения  $k$  сверх единицы реакция нарастает весьма бурно. Расчеты показывают, что при  $k = 1,005$  число нейтронов уже через 1 с возрастает в 150 раз. Поэтому регулировку интенсивности (перемещение стержней, содержащих кадмий) производят автоматически и очень быстро.

Для уменьшения размеров активной зоны (при заданной интенсивности делений) применяют обогащенный уран, в котором содержание  $^{235}_{92}\text{U}$  повышено до нескольких процентов.

Для отвода выделяющейся в реакторе энергии применяется теплоноситель в системе охлаждения (см. рис. 12.10), например вода, находящаяся под большим давлением (до  $10^7$  Па, причем температура кипения достигает  $300^\circ\text{C}$ ), или жидкий легкоплавкий металл (натрий, висмут). Циркулируя в реакторе, охлаждающая жидкость нагревается, а вне реактора, в теплообменнике, сама нагревает воду, содержащуюся в другой системе труб. В них происходит парообразование (давление там невелико), и пар подается на паротурбогенератор электрической энергии. По описанной схеме работает ряд атомных (точнее, ядерных) электростанций промышленного значения.

Другим видом реакторов является гомогенный реактор (однородный), в нем горючее – соли урана – растворено в замедлителе – тяжелой воде, обладающей малым поглощением и прекрасными замедляющими свойствами. В тяжелой воде быстрые нейтроны, теряя энергию при неупругих столкновениях, превра-

**Ферми Энрико (1901–1954)**, итало-американский физик, один из создателей квантовой электродинамики и теории слабого взаимодействия. В 1925 г. разработал статистику частиц с полуцелым спином. В 1933 г. создал количественную теорию  $\beta$ -распада. Предложил название нейтринно. В 1934 г. открыл искусственную радиоактивность, вызванную нейтронами. За открытие ядерных реакций, вызванных медленными нейтронами, Ферми в 1938 г. был удостоен Нобелевской премии по физике.



щажются в тепловые (в среднем) после 35 соударений, а в углероде (графите) для этого требовалось около 115 столкновений.

Первый ядерный реактор был запущен в США под руководством Э. Ферми в 1942 г.

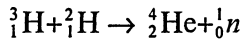
Работы по освоению ядерной энергии в СССР велись под руководством И. В. Курчатова (1903–1960). В 1954 г. начала работать первая в мире промышленная атомная электростанция, в 1957 г. построен первый в мире атомный ледокол, позволивший значительно улучшить условия навигации по Северному морскому пути.

В настоящее время атомных электростанций в мире несколько тысяч, электрическая мощность отдельных станций достигает десятков гигаватт. Их доля среди других типов электростанций непрерывно растет в соответствии с широкими планами мирного использования ядерной энергии.

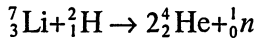
Если тело из делящегося вещества занимает малый объем, но имеет большую поверхность, то из-за потерь нейтронов через поверхность ядерная цепная реакция не возникает. Наименьший размер, при котором она начинается, называют критическим размером. При быстром соединении двух тел, каждое из которых имеет размеры, меньшие критического, а вместе они обладают размером, превосходящим критический, возникает неуправляемая цепная реакция – такая реакция происходит в атомной бомбе, обладающей громадной разрушительной силой.

В § 12.8 говорилось о том, что у элементов с малым  $Z$  энергия связи меньше, чем у элементов, расположенных в середине таблицы Менделеева. Поэтому в принципе возможно получение ядерной энергии при синтезе тяжелых элементов из более легких, в частности из водорода.

Так как у гелия ( ${}^4_2\text{He}$ ) энергия связи очень велика (28,3 МэВ), то возможно получение ядерной энергии, например, при осуществлении таких реакций:



(при этом освобождается энергия 17,6 МэВ),



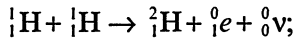
(при этом освобождается энергия 15,1 МэВ).

В обеих реакциях (и в других возможных случаях) бомбардирующая частица несет положительный заряд. Поэтому проникновение ее в ядро затруднено и она должна обладать большой энергией, т.е. реакция может развиваться лишь при очень высоких температурах – порядка сотен миллионов кельвин; такие реакции называют *термоядерными*. Управляемые термоядерные реакции пока не осуществлены, так как очень велики трудности удержания в стационарном состоянии горячей плазмы.

Неуправляемые взрывные реакции осуществляются в водородной бомбе.

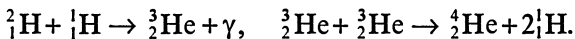
Термоядерные реакции, несомненно, идут в недрах звезд и служат одним из основных источников звездной энергии. По-видимому, многие звезды образовались из первичного водородного газового облака под действием гравитационного сжатия случайного уплотнения, возникшего в газовом облаке. В процессе сжатия звезда разогревается, и рано или поздно в ее недрах может начаться следующая цепь реакций, ведущая к дальнейшему разогреву звезды:

1. Образование дейтронов:

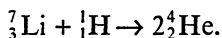
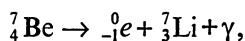
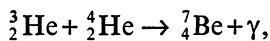


на Земле эта реакция не наблюдалась, теоретическая оценка ее вероятности дает весьма малые значения, однако за время эволюции звезды реакция проявляется достаточно четко.

2. После накопления дейтронов дальнейшие реакции ускоряются:



3. Возможен и более сложный случай:



Таким образом, в результате таких водородных циклов из четырех протонов получается ядро гелия. Полный энергетический выход составляет 28,3 МэВ.

Если же в недрах звезды образовались тем или иным путем более тяжелые элементы, то возможны и другие циклы. Например, цепочка последовательных превращений с участием изотопа углерода  $^{12}\text{C}$  также приводит к образованию гелия из четырех протонов.

Водородный цикл играет основную роль при более низких температурах, а углеродный – при более высоких. После исчерпания ядерного горючего звезда остывает и вступает в фазу дальнейшего сжатия и уменьшения светимости.

В условиях, существующих в недрах Солнца, обе реакции дают примерно одинаковые вклады в излучение –  $4 \cdot 10^{26}$  Вт. При этом масса Солнца ( $2 \cdot 10^{30}$  кг) каждую секунду уменьшается на  $4,4 \cdot 10^{10}$  кг, т.е. на  $2 \cdot 10^{-21}$  часть имеющейся массы.



## Глава 13

### ФИЗИКА ЭЛЕМЕНТАРНЫХ ЧАСТИЦ

#### 13.1. ЧТО ТАКОЕ ЭЛЕМЕНТАРНЫЕ ЧАСТИЦЫ?

Изучение свойств ядер показало, что и они не могут быть отнесены к тем неделимым частицам, из которых, как предполагалось, состоит все вещество. При взаимодействии ядер с другими частицами, имеющими энергию порядка 5–10 МэВ, проявляется внутренняя структура ядер и может произойти их разрушение на составляющие элементы.

Таким образом, приходится признать, что ядра атомов не могут претендовать на роль неделимых частиц и в этом смысле не являются элементарными частицами. Но возможно, что нуклоны, из которых они состоят; электроны, образующие атом; фотоны, появляющиеся при перестройке электронных состояний атома; электронное нейтрино, открытое при  $\beta$ -распаде;  $\pi$ -мезоны – переносчики ядерных сил – и образуют тот класс истинно элементарных частиц, к открытию которых мы так стремимся?

Представим перечисленные микрочастицы точками на плоскости, где по оси абсцисс будем откладывать значение электрического заряда частицы  $q$ , выраженное в зарядах электрона  $e$ , а по оси ординат – энергию (или массу) покоя в мегаэлектронвольтах.

На рис. 13.1 даны не только частицы, но и их античастицы, существование которых было теоретически предсказано Дираком в 1927 г.

К «легким» частицам, или *лептонам* (от греч. leptos – легкий), можно отнести электрон, электронное нейтрино, масса покоя которого, по последним измерениям, возможно, отлична от нуля. Фотоны выделяют в особый класс частиц с нулевой массой покоя.

К «тяжелым» частицам, *барионам* (от греч. barys – тяжелый), относятся протон и нейтрон. Частицы, имеющие промежуточную массу покоя, называют *мезонами* (от греч. mesos – средний).

Ситуация, показанная на рис. 13.1, была характерной для начала 30-х годов XX в. и вселяла надежду, что желанный уровень

элементарности наконец-то достигнут. Действительно, изучаемые физической объекты соответствовали определенному структурному уровню организации перечисленных элементарных частиц.

Ядра – совокупность нейтронов и протонов, взаимодействие между которыми переносится  $\pi$ -мезонами.

Атомы – структуры из ядер и электронов, взаимодействие между которыми обеспечивается обменом фотонами.

Молекулы – соединения атомов. Химические вещества (неорганические и органические) – соединения молекул.

Наличие различных структурных уровней организации материи позволяет выявить две группы частиц: частицы, участвующие во взаимодействии и являющиеся составляющими элементами для другого структурного уровня организации, и частицы – переносчики взаимодействия.

Анализируя рис. 13.1, мы не находим применения ни электронному нейтрину  $\nu_e$ , ни  $\mu$ -мезону. Из них ничто не состоит, и они как будто не переносят каких-либо взаимодействий. Может быть, просто мы не знаем всех взаимодействий в природе или наши представления об элементарных частицах вновь оказались неполными? Ответим на эти вопросы чуть позже. А сейчас постараемся ответить на вопрос, вынесенный в название параграфа.

Очевидно, что понятие элементарной частицы, или неделимой частицы, из которой состоят все вещества, аналогично понятию атома, рассмотренному в § 12.1. Понятие элементарной частицы, как показывает история развития физики, зависит от энергии взаимодействия измерительного прибора, находящегося в распоряжении ученых, с исследуемыми микрообъектами. Чем больше энергия взаимодействия, тем глубже структурный уровень, доступный исследованию, и каждому уровню соответствуют свои элементарные частицы. Но все-таки остается вопрос: существует ли в природе такой уровень организации вещества, глубже которого ничего нет?

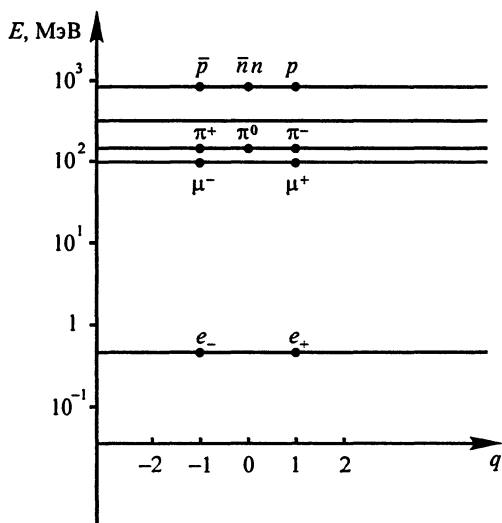


Рис. 13.1

Вполне определенно на этот вопрос физика ответить в настоящее время не может. Можно лишь заметить, что реальная физика элементарных частиц, интенсивно развиваемая учеными в XX в., по своим результатам превзошла самые смелые ожидания. В настоящее время таких частиц открыто уже около 400. За этими частицами оставили название «элементарные», хотя, как мы теперь понимаем, они таковыми не являются, т.е. с элементарными частицами случилось то же, что и с атомами, когда название, обозначающее неделимость, сохранили за объектом, который имеет весьма сложную структуру.

Оказалось, что барионы и мезоны также представляют собой сложные объекты. Их составными частями являются *кварки* (см. § 13.7).

Кварки, лептоны и частицы – переносчики фундаментальных взаимодействий являются теми истинно элементарными частицами, из которых состоят все другие частицы, встречающиеся в микромире.

Кажется удивительным, но все, что известно в окружающей нас природе, состоит из кварков и лептонов, взаимодействие между которыми осуществляют частицы – переносчики взаимодействия.

В настоящее время структурные уровни организации вещества можно представить следующим образом (табл. 13.1).

Таблица 13.1

Уровни организации вещества	Размер, м	Энергия связи
Мегагалактика	$10^{26}$	
Скопление галактик	$10^{21}$	
Галактика	$10^{19}$	
Звездное скопление	$10^{16}$	
Звезды	$10^6 - 10^{11}$	
Планеты	$10^3 - 10^6$	
Макротела	$10^{-1} - 10^3$	
Молекулы	$10^{-8} - 10^{-4}$	0,1 эВ
Атомы	$10^{-10}$	10 эВ
Ядра	$10^{-15}$	10 МэВ
Элементарные частицы	$10^{-15} - 10^{-18}$	
Кварки, лептоны	$10^{-18}$	

## 13.2. ФУНДАМЕНТАЛЬНЫЕ ВЗАИМОДЕЙСТВИЯ И КЛАССИФИКАЦИЯ ЭЛЕМЕНТАРНЫХ ЧАСТИЦ

В настоящее время известно четыре типа фундаментальных взаимодействий: сильное, электромагнитное, слабое и гравитационное. Общепризнанной точкой зрения на их природу является обменный характер взаимодействия. Впервые идея об обменном характере ядерных сил была разработана японским физиком Юкавой в 1935 г. В соответствии с теорией обменного взаимодействия потенциал любого фундаментального поля описывается выражением

$$U(r) = \frac{A}{r} \exp\left(-\frac{r}{R}\right), \quad (13.1)$$

где  $A$  – константа, зависящая от природы взаимодействия,  $R = \frac{2\pi\hbar}{mc}$  – характерная длина, равная комптоновской длине волны частицы – переносчика взаимодействия ( $m$  – масса частицы-переносчика).

Так как значение  $R$  зависит лишь от отношения мировых констант и от массы частицы-переносчика, то ясно, что чем массивнее последняя, тем более короткодействующим будет взаимодействие между частицами. Наоборот, взаимодействиям, имеющим бесконечный радиус действия, соответствуют частицы – переносчики взаимодействия с нулевой массой покоя.

К последним, как известно, относятся электромагнитное и гравитационное взаимодействия. Первое переносится фотоном – частицей с нулевой массой покоя и спином, равным 1, второе – гравитоном, пока не обнаруженной частицей, предположительно имеющей нулевую массу покоя и спин, равный 2.

Одинаковая зависимость от расстояния потенциала для всех видов взаимодействия позволяет сравнивать их между собой по значению энергии взаимодействия между частицами, находящимися на определенном расстоянии друг от друга.

Сравним, например, энергии электростатического и гравитационного взаимодействий между двумя протонами на расстоянии  $r$ . Энергия электростатического взаимодействия в этом случае равна:

$$W_e = \frac{(e^*)^2}{r}, \quad (13.2)$$

энергия гравитационного взаимодействия

$$W_g = \frac{Gm_p^2}{r}, \quad (13.3)$$

где  $e^* = \frac{e}{\sqrt{4\pi\epsilon_0}}$ ,  $m_p$  – масса протона,  $G = 6,67 \cdot 10^{-11}$  Дж·м·кг<sup>-2</sup> – гравитационная постоянная. Отношение

$$\frac{W_g}{W_e} = \frac{Gm_p^2}{e^{*2}} = 8 \cdot 10^{-37}. \quad (13.4)$$

Его можно переписать по-другому, используя выражение для постоянной тонкой структуры  $\alpha = \frac{e^{*2}}{\hbar c}$  – безразмерной величины, которую удобно принять за меру электромагнитного взаимодействия. Умножив и разделив (13.4) на  $\hbar c$ , получим:

$$\frac{W_g}{W_e} = \frac{Gm_p^2 \hbar c}{\hbar c \cdot e^{*2}}. \quad (13.5)$$

Обозначим  $\delta = \frac{Gm_p^2}{\hbar c}$ . Эта величина, так же как и  $\alpha$ , является безразмерной. Ее можно принять за меру гравитационного взаимодействия. Непосредственные вычисления дают для  $\delta$  значение порядка  $10^{-39}$ , т.е. гравитационное взаимодействие в указанном выше смысле значительно слабее электромагнитного.

Без доказательства укажем, что соответствующий коэффициент для сильного взаимодействия имеет значение  $\beta = 10$ , а для слабого –  $\gamma = 10^{-10}$ .

Масса частиц – переносчиков сильного и слабого взаимодействий отлична от нуля, так как слабое взаимодействие короткодействующее. Сильное взаимодействие проявляется в пределах радиуса ядра ( $10^{-15}$  м), а слабое ограничено еще меньшим радиусом ( $\approx 10^{-18}$  м).

По оценкам Юкавы, частица, осуществляющая перенос взаимодействия между нуклонами внутри ядра, должна иметь массу  $\approx 140$  МэВ. Эти частицы были открыты в 1947 г. и получили название  $\pi$ -мезонов. Различают три  $\pi$ -мезона:  $\pi^-$ ,  $\pi^+$ ,  $\pi^0$ , отличающиеся друг от друга знаком и значением электрического заряда. В дальнейшем выяснилось, что силы между нуклонами в ядре вторичны,

подобно тому как силы между молекулами вещества являются следствием сил электромагнитного происхождения. Первичными здесь являются силы, действующие между кварками – составными частями нуклонов. Сильное взаимодействие между кварками осуществляется глюонами. Подробнее о свойствах глюонов и кварков будет сказано далее.

Слабое взаимодействие проявляется на еще более коротких расстояниях. Этот вид взаимодействия обеспечивается более массивными частицами-переносчиками, так называемыми *промежуточными векторными бозонами*:  $W^\pm$  - и  $Z^0$ -бозонами. Массы этих бозонов соответственно 80 и 90 ГэВ. Векторные бозоны были открыты в 1983 г. на коллайдоре в ЦЕРНе.

Еще одной широко распространенной характеристикой взаимодействия является *характерное время взаимодействия*, определяемое отношением характерных расстояний к характерной скорости взаимодействия, принимаемой, как правило, за скорость света. Так, для сильного взаимодействия характерным временем  $\tau_c$  является отношение радиуса действия ядерных сил, определяемого комптоновской длиной  $\pi$ -мезона, к скорости света:  $\tau_c = 10^{-23}$  с.

Процессы, связанные с электромагнитным и слабым взаимодействиями, протекают гораздо медленнее. Характерное время для этих взаимодействий  $\tau_{эс} = 10^{-12}$  с.

Существующий взгляд на характер фундаментальных взаимодействий в природе позволяет установить классификацию элементарных частиц в зависимости от их участия в тех или иных взаимодействиях. В мире элементарных частиц гравитационное взаимодействие по сравнению с другими из-за своей слабости практически не играет роли. Частицы, которые участвуют в сильном взаимодействии, называются *адронами*, остальные частицы – *лептонами*.

К адронам относятся барионы и мезоны, а к барионам – нуклоны и гипероны. Последние имеют массу, превышающую массу нуклонов: протона и нейтрона. Время жизни гиперонов, как правило, составляет примерно  $10^{-10}$  с. Все гипероны имеют целый спин, т.е. являются фермионами. К числу гиперонов относятся, например:  $\Lambda^0$  (лямбда-нуль-гиперон),  $\Sigma^-$  (сигма-минус-гиперон),  $\Sigma^0$  (сигма-нуль-гиперон),  $\Sigma^+$  (сигма-плюс-гиперон),  $\Xi^-$  (кси-минус-гиперон),  $\Xi^0$  (кси-нуль-гиперон),  $\Omega^-$  (омега-минус-гиперон),  $\Delta^-$  (дельта-минус-гиперон) и др.

Особенностью взаимодействия элементарных частиц является сохранение числа лептонов и барионов в процессе взаимодействий. Этот экспериментально установленный факт дает основание ввести по аналогии с электрическим зарядом, сохраняющимся в

процессе физических взаимодействий, понятия лептонного и барионного зарядов. Каждому лептону приписывается лептонный заряд  $L = +1$ , а каждому бариону – барионный заряд  $B = +1$ . Барионный заряд лептонов и лептонный заряд барионов равны нулю. При любом взаимодействии элементарных частиц суммарный барионный и лептонный заряды до и после взаимодействия остаются неизменными.

### 13.3. ВЗАИМОДЕЙСТВИЯ ЭЛЕМЕНТАРНЫХ ЧАСТИЦ И ЗАКОНЫ СОХРАНЕНИЯ

Свойства элементарных частиц проявляются при их взаимодействиях. Для описания взаимодействия частиц с большими энергиями уравнение Шредингера оказывается непригодным, так как энергия взаимодействия сравнима с собственной энергией взаимодействующих частиц. Из-за этого в процессе взаимодействия двух элементарных частиц наблюдается, как правило, рождение новых частиц, которые не входят в состав взаимодействующих частиц. Такие взаимодействия частиц описываются методами квантовой электродинамики, если речь идет об электрослабом взаимодействии, или методами квантовой хромодинамики при сильном взаимодействии. И в том и в другом случае для менее детального описания процессов взаимодействия элементарных частиц успешно применяют законы сохранения, которые устанавливают сохранение некоторых физических величин до и после взаимодействия, не детализируя того, как это сохранение обеспечивается. Причем, как показывает эксперимент, в мире элементарных частиц действуют как хорошо известные законы сохранения: энергии, импульса, момента импульса, электрического заряда  $Q$ , так и новые, специфичные только для взаимодействия элементарных частиц: *барионного заряда ( $B$ ), лептонных зарядов ( $L$ ), изотопического спина ( $I$ ), странности ( $S$ ), очарования ( $C$ ), красоты ( $b$ ), четности ( $P$ ), истинности ( $t$ ).*

Как известно, каждый закон сохранения связан с определенной симметрией окружающего мира. Специфической симметрией для мира элементарных частиц является так называемая изотопическая инвариантность, характерная для сильного взаимодействия. Впервые с изотопической инвариантностью физики столкнулись при изучении сильного взаимодействия нуклонов, входящих в состав ядер атомов. Опыты показали, что сильное взаимодействие протона с протоном, протона с нейтроном, нейтрона с нейтроном одинаковы и не зависят от электрического заряда этих частиц.

Это свойство зарядовой независимости сильного взаимодействия позволяет трактовать протон и нейтрон как два состояния одной и той же частицы – нуклона. По аналогии с состояниями электрона, отличающимися проекцией спина на некоторое выделенное направление в пространстве, состояниям нуклона приписывают различное значение проекции  $I_3$  так называемого изотопического спина (изоспина  $I$ ) в пространстве изотопического спина. Величина  $I_3$  может принимать все значения от  $+I$  до  $-I$  с интервалом в единицу. Общее число проекций изотопического спина  $I$  равно  $n_I = 2I + 1$ , что совпадает с числом проекций спина  $J$  квантовой частицы, равным  $2J + 1$ , на некоторое выделенное направление  $OZ$ . Если число проекций изоспина равно двум, то  $I = 1/2$ . При этом возможными проекциями изоспина могут быть  $I_3 = \pm 1/2$ .

Каждому значению  $I_3$  соответствует определенное состояние элементарной частицы в пространстве изотопического спина, что в обычном пространстве соответствует определенной элементарной частице. В случае нуклона значение  $I_3 = +1/2$  соответствует протону, а значение  $I_3 = -1/2$  соответствует нейтрону. Если для электрона его различные состояния отличались различными значениями проекции спина на ось  $OZ$  в геометрическом пространстве, то для нуклона его различные состояния, протон и нейтрон, характеризуются различными значениями проекции изоспина  $I_3$  в изотопическом пространстве.

Группу частиц, одинаковым образом участвующих в сильном взаимодействии, но отличающихся друг от друга электрическим зарядом, называют изотопическим мультиплетом. Частицы с  $I = 0$  не имеют партнеров в изотопическом пространстве и образуют изотопические синглеты, например,  $\Lambda^0$  и  $\Omega^-$ -гипероны. Частицы с  $I = 1$  образуют группы из трех частиц и входят в состав изотопических триплетов. К числу последних относятся, например,  $\rho$ -мезоны.

Каждая частица изотопического мультиплета отличается друг от друга только значением  $I_3$ , что позволяет рассматривать переход от одной частицы к другой в изотопическом пространстве как поворот вектора изоспина с сохранением его длины. Инвариантность изоспина элементарных частиц к поворотам в изотопическом пространстве представляет своеобразную симметрию частиц, участвующих в сильном взаимодействии.

Законы сохранения, о которых мы говорили в начале параграфа, следует рассматривать как весьма строгие правила отбора, в соответствии с которыми происходят процессы взаимодействия, рождения и распада элементарных частиц.

Для сильных и электромагнитных взаимодействий выполняют следующие правила:



$$\Delta B=0, \quad \Delta L=0, \quad \Delta S=0, \quad \Delta C=0, \quad \Delta b=0, \quad \Delta P=0$$

во всех процессах превращения и взаимодействия элементарных частиц. Для слабого взаимодействия последние четыре правила могут нарушаться.

### 13.4. ЧАСТИЦЫ И АНТИЧАСТИЦЫ. КОСМИЧЕСКОЕ ИЗЛУЧЕНИЕ

На рис 13.1 были приведены примеры частиц и античастиц: позитрон есть античастица электрона,  $\pi^+$ -мезон – античастица для  $\pi^-$ -мезона и т.д. Впервые понятие *античастицы* было введено английским физиком Дираком в результате рассмотрения следствий, вытекающих из уравнения для описания движения электрона. В 1928 г. Дирак вывел уравнение, с помощью которого удалось описать квантовомеханическое поведение электрона в релятивистском приближении с учетом спина электрона. Из уравнения Дирака следовало наличие магнитного момента, значение которого было определено с точностью до 0,1%. Из этого уравнения также следовало, что электрон может находиться не только в энергетических состояниях с положительными значениями энергий

$E = \sqrt{c^2 p^2 + m_e^2 c^4}$ , но и в состояниях с отрицательными значениями энергий

$E = -\sqrt{c^2 p^2 + m_e^2 c^4}$ . Состояния с положительными и отрицательными значениями энергии электрона разделялись энергетическим промежутком в  $2m_e c^2$  (рис. 13.2).

Чтобы избежать затруднений в физической интерпретации состояний электронов с отрицательной энергией, Дирак предположил, что в обычных условиях все квантовые состояния с отрицательной энергией заняты электронами и последние никак себя не проявляют. Но стоит под действием внешнего воздействия с энергией  $E > 2m_e c^2$  одному электрону перейти из зоны отрицательных энергий в зону положительных энергий, как на месте этого электрона образуется вакансия – «дырка», которая ведет себя среди «моря» электронов с

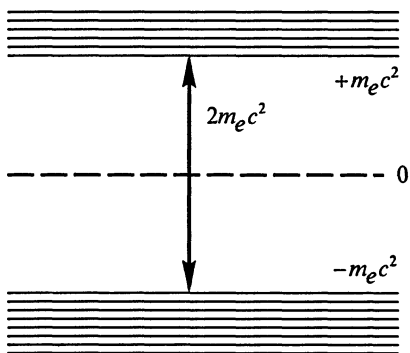


Рис. 13.2

**Дирак Поль Анриен Морис (1902–1984)**, английский физик, один из создателей квантовой механики и квантовой электродинамики. В 1928 г. предложил для описания свойств релятивистского электрона уравнение, из которого следовало наличие спина у электрона и существование античастиц. В 1933 г. за открытие новых продуктивных форм квантовой теории удостоен Нобелевской премии по физике.

---



отрицательной энергией как положительно заряженная частица – античастица электрона – позитрон.

Идеи Дирака были встречены с большим недоверием. Однако в 1932 г. позитрон был открыт американским физиком К.Андерсоном в составе космического излучения.

Еще в начале XX в. было обнаружено, что заряженный электрометр со временем всегда теряет заряд, что было приписано ионизации окружающего воздуха неизвестным излучением. Проникающая способность его очень велика – от него нельзя загордиться даже толстыми экранами (например, свинцовыми). Это излучение получило название *космического излучения*. В настоящее время об этом излучении известно следующее: первичное излучение приходит из космоса, где оно распределено довольно равномерно. Оно состоит главным образом из протонов и альфа-частиц большой энергии (средняя энергия частиц 10 ГэВ, но изредка встречаются частицы с энергией более  $10^{10}$  ГэВ, что в сотни миллионов раз превышает энергию частиц, полученных в самых мощных современных ускорителях). Взаимодействуя с атомами верхних слоев атмосферы, эти частицы вызывают целый ряд ядерных превращений, вследствие чего к поверхности Земли приходит излучение существенно иного состава (электроны, протоны, более тяжелые ядра, фотоны и пр.). Наличие магнитного поля Земли несколько искажает изотропность потока космических частиц и ограничивает возможность прохождения к Земле частиц сравнительно малых энергий. Интенсивность потока космических лучей у границы атмосферы составляет около 1–2 частиц/(см<sup>2</sup>·с). Космические лучи исследуют при помощи толстослойных пластинок, камеры Вильсона, полость которой перегороджена свинцовыми пластинами, а также при помощи счетчиков.

Так как частицы с очень высокой энергией не получаются ни при каких ядерных превращениях, осуществленных на Земле, то можно допустить, что космические частицы, блуждая в космосе,

ускоряются в электрических и переменных магнитных полях, существующих вокруг некоторых небесных тел. По-видимому, космические частицы в среднем проходят (до попадания в земную атмосферу) расстояние, на два-три порядка превышающее радиус Галактики ( $10^{21}$  м); это служит косвенным доказательством того, что частицы в Галактике движутся непрямолинейно, так как их скорость может изменяться при прохождении частицы в космических электромагнитных полях.

Космические частицы с меньшей энергией, по-видимому, приходят на Землю от Солнца.

При неупругом соударении космического протона с ядром земного происхождения из ядра вылетают протоны и нейтроны с энергией до 150 МэВ; одновременно появляются жесткие гамма-лучи (фотоны), электроны, позитроны и пионы.

Образовавшиеся после первого соударения частицы могут оказаться достаточно энергичными для создания второго поколения частиц и т. д. Таким образом, одна частица весьма высокой энергии может породить целый «ливень» вторичных частиц. Такие ливни можно наблюдать в камере Вильсона, снабженной твердыми перегородками (для увеличения вероятности последовательных соударений). Подобный ливень изображен на рис. 13.3. В конечном счете влияние космических лучей на атмосферу сводится к поддержанию в ней некоторого количества радиоактивных изотопов, в частности трития  $^3\text{H}$ , и накоплению устойчивых изотопов (впрочем, относительно ничтожному).

В космических лучах и в современных ускорителях происходят и другие ядерные превращения, приводящие к рождению частиц с массами покоя, превышающими массу покоя протона (0,938 ГэВ). Эти частицы нестабильны, распадаются за время  $10^{-10}$ – $10^{-20}$  с.



Рис. 13.3

Развитие квантовой теории поля позволило трактовать наличие частиц и их античастиц с иной точки зрения. С точки зрения квантовых полевых представлений частицы типа электрона или позитрона могут как уничтожаться, так и возникать, рождаться из поля.

Ситуация здесь аналогична рождению и уничтожению фотонов – квантов электромагнитного

поля. При таком подходе число частиц, например электронов, уже не является сохраняющейся величиной.

Электрон и позитрон отличаются друг от друга знаками электрического и лептонного зарядов. При взаимодействии друг с другом они аннигилируют, превращаясь в два или, реже, в три  $\gamma$ -кванта в соответствии с законами сохранения энергии, импульса, зарядов и спинов:

$$e^- + e^+ \rightarrow \gamma + \gamma.$$

Рождение электронно-позитронных пар происходит, как правило, при прохождении  $\gamma$ -квантов через вещество. Типичные реакции рождения электронно-позитронных пар имеют вид:

$$\gamma + e^- \rightarrow e^- + e^- + e^+,$$

$$\gamma + X \rightarrow X + e^- + e^+.$$

Здесь  $X$  означает ядро, в поле которого происходит рождение пары.

Как уже говорилось выше, из теории Дирака следовало, что частицы могут иметь свои античастицы (например, антипротон и антинейтрон).

Антинейтрон имеет направление магнитного момента, совпадающее с направлением механического момента, и отрицательный барионный заряд (см. § 13.3).

При взаимодействии протона и нейтрона со своими античастицами наблюдается аннигиляция, в результате чего могут рождаться другие частицы, например пионы. Примеры таких реакций:

$$\bar{p} + p \rightarrow \pi^+ + \pi^- + \pi^+ + \pi^- + \pi^0,$$

$$\bar{p} + p \rightarrow \pi^+ + \pi^- + \pi^0 + \pi^0 + \pi^0,$$

$$\bar{p} + n \rightarrow \pi^+ + \pi^- + \pi^- + \pi^0 + \pi^0,$$

здесь черточка над символом означает античастицу.

Среди частиц встречаются такие, которые совпадают со своими античастицами, их называют абсолютно нейтральными. Таковыми частицами на рис. 13.1 являются фотон и  $\pi^0$ -мезон. Все антибарионы имеют барионный заряд, равный  $-1$ . Лептонный заряд антилептонов равен  $-1$ .

## 13.5. РЕЗОНАНСЫ

Элементарные частицы отличаются друг от друга не только массами, зарядами, квантовыми числами, но и временем жизни.

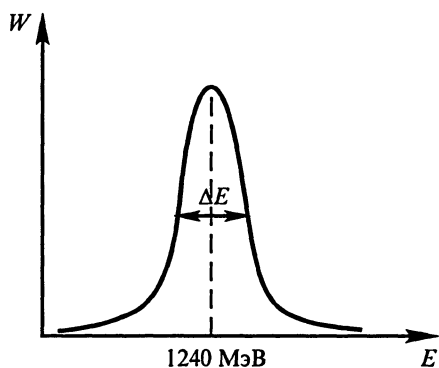


Рис. 13.4

Протон, электрон, фотон, нейтрино являются стабильными частицами; нейтрон распадается за время  $\approx 10^{-3}$  с; частицы, участвующие в слабом и электромагнитном взаимодействии, живут  $\approx 10^{-8} - 10^{-12}$  с, а частицы, участвующие в сильных взаимодействиях, живут  $10^{-10} - 10^{-23}$  с.

Короткоживущие частицы, наблюдаемые по резкому возрастанию вероятности образования мезона и нуклона, полу-

чили название *резонансов*. На рис. 13.4 изображена кривая зависимости вероятности рождения  $\pi$ -мезона и нуклона от суммарной энергии взаимодействующих частиц. Частицу-резонанс можно было представить себе как некоторое промежуточное возбужденное состояние составной частицы, которая за время порядка  $10^{-23}$  с распадается на новые частицы.

В настоящее время резонансов известно свыше трехсот. Анализ значений масс этих частиц и характера распадов позволил выявить существенные детали, связанные со строением и взаимодействием элементарных частиц. Физики поняли, что элементарные частицы могут рассматриваться как составные частицы, энергия возбуждения которых сравнима с энергией покоя самих частиц. Это обстоятельство в корне отличает поведение элементарных частиц при возбуждении от поведения атомов или ядер.

В атоме при возбуждении перестраивается конфигурация электронной оболочки. Но при этом изменение энергии системы ( $\approx 1$  эВ) мало по сравнению с собственной энергией электронов (0,5 МэВ) или ядер ( $10^3 - 10^5$  МэВ), так что можно использовать нерелятивистские уравнения для описания структуры атома и быть уверенными, что не произойдет рождения новых тяжелых частиц или исчезновения существующих.

Атом при возбуждении не меняет своей физической индивидуальности. При переходе из возбужденного состояния в невозбужденное происходит рождение новой легкой частицы – фотона.

Примерно такая же картина наблюдается при возбуждении ядер. При возбуждении ядра какой-либо частицей с энергией порядка 10 МэВ наблюдается возбуждение ядра. Переход ядра из возбужденного состояния в невозбужденное сопровождается большим разнообразием, здесь возможно рождение как  $\gamma$ -квантов,

так и лептонов ( $\bar{e}$  и  $\bar{\nu}_e$ ); при больших энергиях возбуждения возможен также и распад ядра.

При возбуждении элементарных частиц физическая картина перехода частицы из невозбужденного состояния в возбужденное и обратно существенно меняется. Из-за того что энергия возбуждения сравнима или превышает массу покоя частицы, в процессе взаимодействия могут родиться новые частицы. При переходе из возбужденного в невозбужденное состояние может наблюдаться рождение  $\gamma$ -квантов, лептонов, мезонов.

Что же дает нам уверенность утверждать, что новая, по существу, частица – это возбужденное состояние уже известной сложной частицы?

Во-первых, сохранение во всех превращениях электрического заряда и квантовых чисел, характерных только для данной частицы.

Во-вторых, анализ спектра масс всех частиц, появляющихся в результате взаимодействий.

В-третьих, анализ законов сохранения, выполняющихся при распадах частиц.

Рассмотрение с этих позиций совокупности резонансов позволило расшифровать своеобразный спектр возбужденных состояний барионов и мезонов, что помогло установить их сложную внутреннюю структуру.

### 13.6. СПЕКТРЫ БАРИОНОВ И МЕЗОНОВ

При столкновении протонов (или нейтронов) с частицами, например электронами, имеющими энергию, превышающую несколько сотен мегаэлектронвольт или несколько гигаэлектронвольт, наблюдались резонансы, которые можно рассматривать как возбужденные состояния протонов (или нейтронов). На рис. 13.5 изображен спектр возбуждения протона, наблюдаемый при рассеянии электронов с энергией 7 ГэВ на угол  $6^\circ$ . Здесь по оси абсцисс отложена масса частицы, образующейся в результате взаимодействия электрона с протоном, а по оси ординат – вероятность появления частиц с такой массой. На графике отчетливо видны три максимума, соответствующие трем резонансам с массой 1232 МэВ, 1520 МэВ и 1680 МэВ.

Анализ возбужденных состояний барионов и мезонов на первый взгляд не оставляет надежд на установление каких-либо закономерностей в расположении уровней, характеризующих массы частиц. В значениях масс огромного количества частиц, участвующих, например, в сильных взаимодействиях, не просматривается

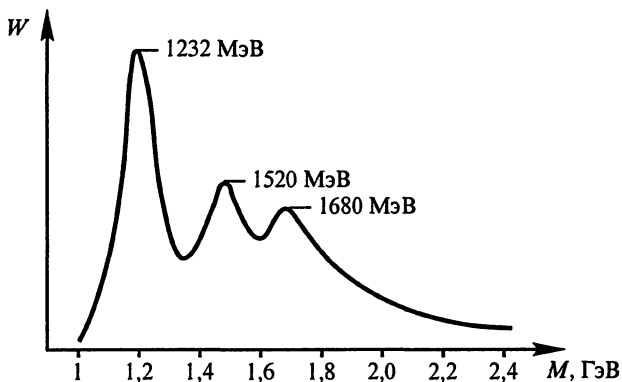


Рис. 13.5

закономерностей, которые характерны для возбужденных состояний водородоподобных атомов или ядер. Однако со временем было обнаружено, что если в качестве основы классификации выбрать определенное сочетание сохраняющихся величин, то частицы группируются в так называемые *супермультиплеты*, существование которых нашло объяснение в рамках кварковой модели строения адронов.

В § 13.3 отмечалось, что зарядовую независимость сильного взаимодействия можно охарактеризовать специфической симметрией – изотопической инвариантностью, проявляющей себя в сохранении изотопического спина при его вращении в изотопическом пространстве. При обсуждении этого вопроса не учитывалось, что в сильном взаимодействии сохраняются и другие заряды элементарных частиц, такие как странность  $S$ , очарование  $C$ , красота  $b$ , истинность  $t$ .

С учетом сохранения всех зарядов формула, связывающая между собой  $Q$ ,  $I_3$ ,  $B$ ,  $S$ ,  $C$ ,  $b$ ,  $t$  будет выглядеть следующим образом:  $Q = I_3 + (B + S + C + b + t)/2$ . Это выражение называется обобщенной формулой Гелл-Манна–Нишиджимы.

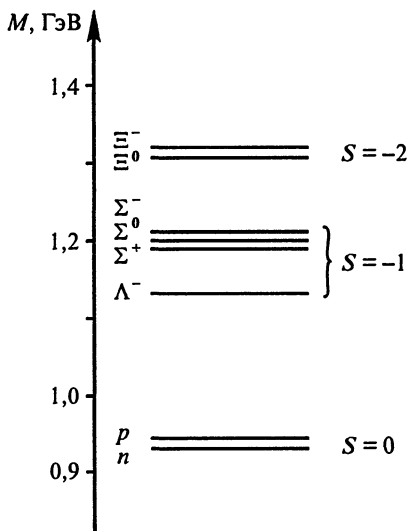


Рис. 13.6

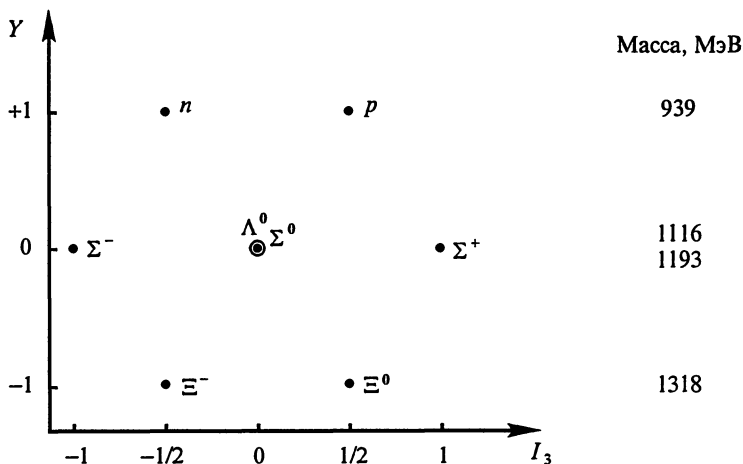


Рис. 13.7

В формуле Гелл-Манна – Нишиджимы величина, стоящая в скобках, называется гиперзарядом  $Y$ :  $Y = B + S + C + b + t$ . Элементарные частицы, отличающиеся друг от друга гиперзарядом, участвующие в сильном взаимодействии, близкие по массам, схожие по другим физическим характеристикам, таким как спин, четность волновой функции, образуют группы частиц, называемые супермультиплетами. На рис. 13.6 приведен спектр масс восьми барионов, имеющих спин  $J = 1/2$  и четную волновую функцию. Октет барионов представляет собой супермультиплет, состоящий из отдельных групп частиц, для каждой из которых странность  $S$  имеет вполне определенное значение. Если частицы супермультиплета изобразить на плоскости с координатами  $(I_3, Y)$ , то они расположатся симметрично друг относительно друга, как показано на рис. 13.7.

Не менее поучительным выглядит спектр масс десяти барионов с  $J = 3/2$ , имеющих четную волновую функцию и отличающихся друг от друга значением странности (рис. 13.8). На плоскости  $(I_3, Y)$

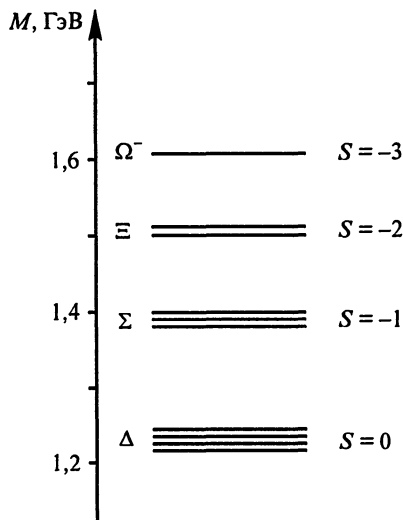


Рис. 13.8



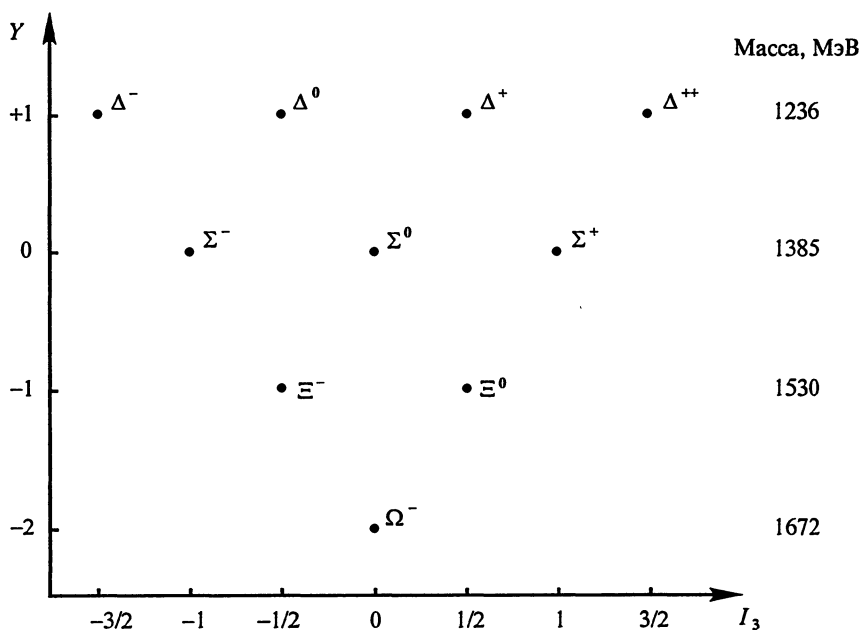


Рис. 13.9

частицы этого супермультиплета снова образуют симметричную структуру (рис. 13.9).

Экспериментальные исследования обнаружили существование супермультиплетов, содержащих группы частиц, отличающиеся друг от друга не только странностью  $S$ , но и другими рядами:  $C$ ,  $b$ ,  $t$ .

Объяснение существования такого рода супермультиплетов удалось найти, предположив, что адроны имеют сложное строение.

### 13.7. КВАРКИ

Анализ спектров масс адронов позволил американским физикам Гелл-Манну и Цвейгу независимо друг от друга в 1964 г. выдвинуть гипотезу о существовании кварков — частиц, из которых состоят все адроны. Название кварка взято из сюрреалистического романа Д.Джойса «Поминки по Финнегану» и означает нечто воображаемое, плод воспаленного воображения, не существующий на самом деле.

Результаты экспериментов по так называемому *глубоконеупругому рассеянию* электронов на нуклонах подтвердили наличие

у последних внутренней структуры. Опыты по рассеянию электронов на нуклонах подобны опытам Резерфорда по рассеянию  $\alpha$ -частиц на атомах золота. И в том и в другом случаях была обнаружена сложная структура частиц, являющихся центрами рассеяния.

Всего существует шесть типов кварков с различными ароматами (зарядами):  $u$  (от англ. слова *up*, что значит верхний),  $d$  (*down* – нижний),  $s$  (*strange* – странный),  $c$  (*charm* – очарованный),  $b$  (*beauty* – прелестный),  $t$  (*top* – топ). Кварк каждого аромата может существовать в трех различных состояниях, отличающихся свойством, условно названным цветом: красным, зеленым, синим. Цвет кварка – его квантовое свойство, подобное проекции спина для электрона. Все кварки – фермионы, т.е. имеют полуцелый спин. Барионный заряд каждого кварка дробный и равен  $1/3$ . Кварки характеризуются своими квантовыми числами  $U, D, S, C, b, t$  в зависимости от аромата. Электрический заряд кварка связан с барионным зарядом и своими квантовыми числами формулой Гелл-Манна–Нишиджимы:  $Q = B/2 + (D+U+S+C+b+t)/2$ . Значения  $U, C$  и  $t$  для  $u$ -,  $c$ - и  $d$ -кварков соответственно равны 1, а значения  $D, S$  и  $b$  для  $d$ -,  $s$ - и  $b$ -кварков равны  $-1$ . Из формулы Гелл-Манна – Нишиджимы следует, что электрический заряд  $u$ -,  $c$ - и  $d$ -кварков равен  $+2/3$ , а электрический заряд  $d$ -,  $s$ - и  $b$ -кварков равен  $-1/3$ . Каждый кварк имеет свой антикварк, отличающийся знаком соответствующего квантового числа. Считается, что цвет антикварка дополняет цвет кварка до белого. Смесь красного, зеленого и синего кварков также приводит к «белому» цвету составной частицы. Считается, что все адроны – бесцветные частицы. В таблице 13.2 приведены характеристики кварков.

Таблица 13.2

Название	Символ	$J$	$Q$	$B$	$U$	$D$	$C$	$S$	$t$	$b$	$L$
Верхний	$u$	$1/2$	$+2/3$	$1/3$	1	0	0	0	0	0	0
Нижний	$d$	$1/2$	$-1/3$	$1/3$	0	$-1$	0	0	0	0	0
Очарованный	$c$	$1/2$	$+2/3$	$1/3$	0	0	1	0	0	0	0
Странный	$s$	$1/2$	$-1/3$	$1/3$	0	0	0	$-1$	0	0	0
Топ	$t$	$1/2$	$+2/3$	$1/3$	0	0	0	0	1	0	0
Прелестный	$b$	$1/2$	$-1/3$	$1/3$	0	0	0	0	0	$-1$	0

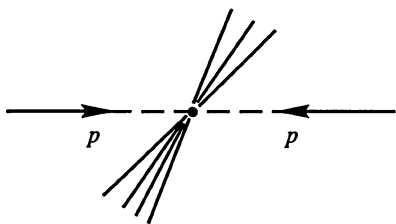


Рис. 13.10

Кварки взаимодействуют между собой, участвуя в сильном взаимодействии. Взаимодействие кварков обеспечивается переносом частиц с нулевой массой – глюонов (от англ. слова glue – клей). Глюоны при обмене между кварками переносят цвет. Чтобы обеспечить взаимодействие между цветными кварками, входящими в состав адронов, число глюонов должно быть равно восьми. Как показывают исследования, характер взаимодействия между кварками таков, что с уменьшением расстояния между ними энергия их взаимодействия уменьшается. Это обстоятельство приводит к явлению так называемой асимптотической свободы кварков внутри адронов. Кварки внутри адронов ведут себя почти как свободные частицы. Но стоит расстоянию между кварками увеличиться, как характер взаимодействия резко меняется. Энергия взаимодействия растет пропорционально расстоянию между кварками; кварки оказываются как бы связанными глюонной струной, что делает невозможным их существование в свободном состоянии, кварки оказываются в заточении (англ. confinement) внутри адронов. Такой характер взаимодействия между кварками делает невозможным их наблюдение в свободном состоянии.

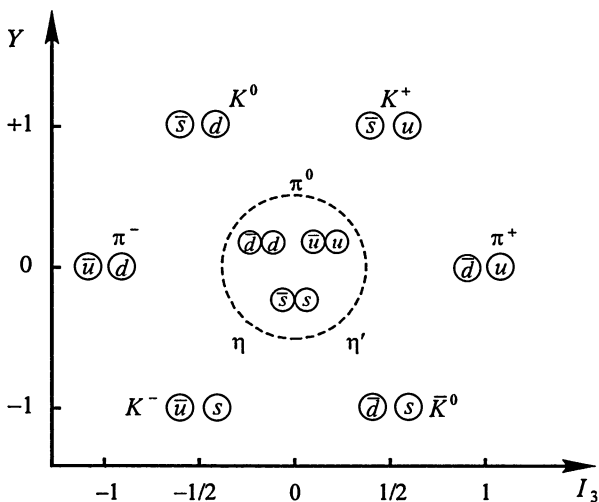


Рис. 13.11

Существует ряд экспериментов, которые подтверждают струнную модель взаимодействия кварков в адронах. Наличие глюонных струн приводит к характерной картине рождения частиц при переходе адрона из возбужденного состояния в невозбужденное. Рождающиеся частицы при таких переходах (распадах) должны появляться в виде двух или трех адронных струй, что и было обнаружено экспериментально (рис. 13.10). Наличие третьей адронной струи свидетельствует о наличии внутри адронов глюонов.

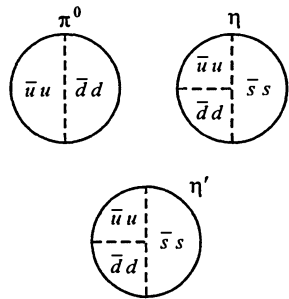


Рис. 13.12

С точки зрения кварковой модели все адроны состоят из кварков. Мезоны и мезонные резонансы состоят из двух кварков, барионы и барионные резонансы – из трех кварков. Как уже отмечалось, мезоны и барионы являются «бесцветными» частицами. Для мезонов это условие выполняется в том случае, если в их состав входит кварк и соответствующий антикварк. В зависимости от направления спинов кварков, входящих в состав мезонов, последние могут иметь или нулевой, или целочисленный спин. Ясно, что мезоны являются бозонами. На рис. 13.11 приведена схема кваркового строения девяти мезонов:  $\pi$ ,  $K$ ,  $\eta$ ,  $\eta'$ , образующих супермультиплет. Нейтральные мезоны  $\pi^0$ ,  $\eta$ ,  $\eta'$ , являются частицами со смешанными кварковыми структурами (рис 13.12).

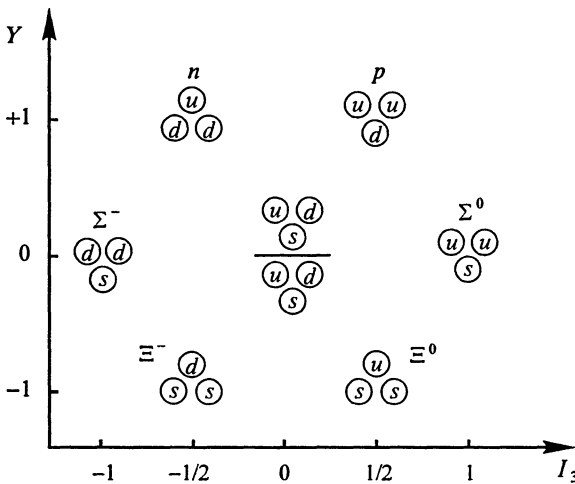


Рис. 13.13

В состав барионов должны входить три «разноцветных» кварка, в совокупности дающих белый цвет. На рис. 13.13 и 13.14 в качестве примера приведены схемы кваркового строения восьми и десяти барионов (гиперонов), образующих супермультиплеты, изображенные на рис. 13.7 и 13.9.

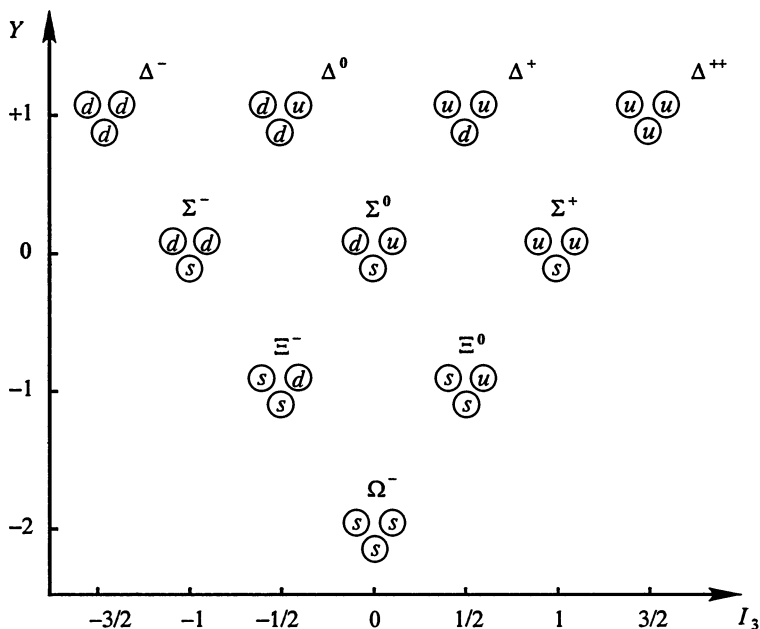


Рис. 13.14

### 13.8. СТАНДАРТНАЯ МОДЕЛЬ

После открытия кварков наши представления о строении материи приобрели известную законченность и эстетическую привлекательность. В настоящее время в рамках так называемой стандартной модели считается, что все окружающее нас в природе состоит из фундаментальных частиц, участвующих в четырех фундаментальных взаимодействиях: сильных, электромагнитных, слабых и гравитационных. Фундаментальные частицы делятся на две группы: частицы – участники взаимодействий и частицы – переносчики взаимодействий. К частицам – участникам взаимодействий относятся кварки и лептоны. Все они имеют полуцелый спин, поэтому относятся к фермионам. Число лептонов совпадает с числом кварков и равно шести. К лептонам относятся электрон

( $e$ ), мюон ( $\mu$ ), таон ( $\tau$ ) и нейтрино трех сортов: электронное ( $\nu_e$ ), мюонное ( $\nu_\mu$ ), таонное ( $\nu_\tau$ ). Каждая пара лептонов ( $e, \nu_e$ ), ( $\mu, \nu_\mu$ ), ( $\tau, \nu_\tau$ ) характеризуется своим квантовым числом – лептонным зарядом  $L_e, L_\mu, L_\tau$  соответственно, сохраняющимся во всех процессах с элементарными частицами. Антилептоны отличаются от лептонов знаком своего лептонного квантового числа. В таблице 13.3 приведены характеристики лептонов. Пара лептонов по своим физическим свойствам практически ничем не отличается от других пар за исключением массы частиц, входящих в ее состав. Масса нейтрино окончательно не установлена, масса электрона меньше массы мюона и массы таона, которая столь велика, что превышает массу нуклона. Кварки и лептоны удобно объединить в группы из четырех частиц. Эти группы называются поколениями фундаментальных частиц. Первое поколение образуют  $u$ -,  $d$ -кварки,  $e$ -,  $\nu_e$ -лептоны; второе поколение состоит из  $c$ -,  $s$ -кварков,  $\mu$ -,  $\nu_\mu$ -лептонов; третье поколение – из  $t$ -,  $b$ -кварков и  $\tau$ -,  $\nu_\tau$ -лептонов (рис. 13.15). Практически все частицы окружающего нас мира состоят из четырех фундаментальных частиц первого поколения.



Рис. 13.15

Таблица 13.3

Название	Символ	$J$	$Q$	$L_e$	$L_\mu$	$L_\tau$	$M$ , МэВ
Электрон	$e$	1/2	-1	1	0	0	0,5
Нейтрино электронное	$\nu_e$	1/2	0	1	0	0	< 18
Мюон	$\mu$	1/2	-1	0	1	0	105,7
Нейтрино мюонное	$\nu_\mu$	1/2	0	0	1	0	< 0,25
Таон	$\tau$	1/2	-1	0	0	1	1782
Нейтрино таонное	$\nu_\tau$	1/2	0	0	0	1	< 35

Частицы – переносчики взаимодействий обеспечивают фундаментальные взаимодействия между кварками и лептонами за счет механизма обменного взаимодействия. Фотоны переносят электромагнитное взаимодействие,  $W^{\pm}$ - и  $Z^0$ -бозоны обеспечивают слабое взаимодействие, восемь глюонов – сильное взаимодействие. Гравитон (неоткрытая пока частица) переносит гравитационное взаимодействие.

В настоящее время создается впечатление, что, возможно, физика достигла, наконец, того уровня в познании структуры материи, который является истинно фундаментальным. Правда, до сих пор остается нерешенной проблема происхождения масс фундаментальных частиц. Ее решение физики связывают с существованием сверхтяжелого бозона Хиггса  $H^0$ , поле которого порождает массы фундаментальных частиц. Хиггсовский бозон может быть обнаружен только на Большом адронном коллайдере в ЦЕРНе, сооружение которого должно завершиться в 2005 г.

### 13.9. ЯДЕРНАЯ ФИЗИКА И КОСМОЛОГИЯ

Законы ядерной физики (сильное и слабое взаимодействия) проявляются лишь внутри ядра. Процессы, происходящие внутри атома, и все процессы окружающего нас мира, как уже указывалось, объясняются электромагнитным и гравитационным взаимодействиями (внутри ядра последние не проявляются).

Но диалектика процессов природы такова, что процессы микромира сталкиваются с процессами космического масштаба. Приведем несколько примеров.

Как известно, при относительном перемещении источника излучения и приемника, если они удаляются друг от друга, длина принимаемой волны уменьшается (эффект Доплера, красное смещение). В 1929 г. астроном Хаббл обнаружил, что красное смещение наблюдается в спектрах внегалактических объектов, причем оно тем значительнее, чем больше расстояние между галактиками. Отсюда можно было заключить, что галактики «разбегаются» от какого-то общего центра (гипотеза расширяющейся Вселенной). Еще раньше (в 1922–1924 гг.) советский физик А.А.Фридман (1888–1925), опираясь на общую теорию относительности, показал, что Вселенная, заполненная тяготеющим веществом, не может находиться в стационарном состоянии, а должна либо расширяться, либо сжиматься, причем эти процессы могут переходить один в другой. Если когда-то Вселенная была предельно сжата, то плотность вещества в ней

должна была быть чудовищно велика, температура вещества очень высока. Это неустойчивое состояние приводит к «взрыву», в результате которого начинается расширение Вселенной. Но так как силы тяготения действуют на любом расстоянии, то, возможно, они затормозят расширение и оно сменится сжатием. Если же эти силы недостаточно велики, расширение будет происходить беспредельно. Что именно произойдет, зависит от массы Вселенной. До 50-х годов XX в. масса Вселенной считалась меньше критической и предполагалось, что современное расширение Вселенной будет продолжаться вечно. Но после того как было экспериментально доказано существование нейтрино (см. § 13.1) и выяснилось, что нейтрино широко распространены в природе, оценка массы Вселенной была пересмотрена. Если масса нейтрино отлична от нуля и достаточно велика, то масса Вселенной окажется больше критической, рано или поздно расширение сменится сжатием. Таким образом, вопросы ядерной физики пересекаются с важнейшими вопросами космологии.

В то же время само существование нынешних галактик, согласно современным представлениям, обязано тому, что звезды и другие космические объекты создаются из нагретого газа (плазмы) в условиях, когда в случайно возникшем местном уплотнении гравитационное притяжение преодолевает отталкивание любой природы. В этих условиях сжатие и захват новых порций вещества приводят к дополнительному росту гравитационного сжатия и в конечном итоге к образованию тел громадных размеров. Возникновение звезд из конденсирующейся межзвездной среды сопровождается сжатием газа до очень высоких плотностей при гигантских температурах, причем происходит химическая эволюция вещества звезд, обогащение их тяжелыми элементами. Термоядерный синтез элементов, происходящий в недрах звезд, является источником звездной энергии: протоны через ряд превращений соединяются в альфа-частицы, а за счет освобождающейся энергии связи возникает гамма-излучение и происходит нагревание вещества внутри звезды. Кроме того, увеличивающиеся силы давления излучения, направленные наружу, препятствуют гравитационному сжатию. Протоны и альфа-частицы, постепенно объединяясь, порождают все более тяжелые атомные ядра. Затем по мере исчерпания ядерного горючего происходит понижение температуры и уменьшение давления излучения в недрах звезд; звезда начинает сжиматься. Если звезда имеет массу, большую массы Солнца ( $2 \cdot 10^{30}$  кг), то она сжимается до очень малого радиуса (несколько километров). При этом плотность вещества внутри звезды достигает колоссальных значений ( $\approx 10^{19}$  кг/м<sup>3</sup>), что на один-два порядка превышает плот-



ность ядра в обычных условиях. Такая плотность достигается, если вещество сжато так, что все атомы лишены своих электронов и эти электроны, взаимодействуя с протонами «раздавленных» ядер, приводят к значительному уменьшению числа свободных протонов и электронов и соответственно увеличению числа нейтронов, доля которых достигает 95–98%, – образуется *нейтронная звезда*.

Устойчивость нейтронной звезды определяется конкуренцией чудовищных по значению сил взаимного отталкивания частиц и сил их гравитационного притяжения. Кроме сжатия, нейтронная звезда может прийти в очень быстрое вращение (с периодом порядка сотых долей секунды). Так как она обладает и сильным неоднородным магнитным полем, вращающимся вместе с нею, то ускоряемые полем электроны наружных слоев звезды создают анизотропное излучение. При наблюдении такой звезды экспериментатор воспринимает периодически повторяющиеся импульсы излучения. Объекты подобного типа, названные *пульсарами*, были открыты в 1968 г. Они повысили уверенность астрофизиков в реальности нейтронных звезд.

Но на этом развитие нейтронной звезды может не остановиться. Расчеты показывают, что если масса звезды значительна (выше 2,5 масс Солнца), то воздействие тяготения может вызвать быстрое дополнительное сжатие звезды (коллапс), в результате чего вещество и излучение (в том числе свет) будут лишь захватываться звездой извне и направляться «внутри» звезды, но не выходить из нее наружу. Поэтому внешний наблюдатель ничего не увидит. Действительно, чтобы получить сведения о процессах, происходящих в звезде, нужно исследовать ее вещество или излучение. Отсюда и название, присвоенное таким объектам, – *«черная дыра»*.

Сказанное не означает, что «черная дыра» вообще не может быть обнаружена. Создаваемое ею гравитационное поле проявляется и во внешнем (относительно звезды) пространстве. Поэтому, например, в системе, состоящей из обычной звезды и «черной дыры», обращающихся вокруг общего центра масс, влияние «черной дыры» на звезду может быть обнаружено при наблюдении за движением последней, а также в случае захвата «черной дырой» вещества другой звезды. Кроме того, в этих условиях должно возникнуть жесткое гамма-излучение. Есть основания считать, что один из найденных источников рентгеновского излучения имеет такую природу.

Влияние сильного поля тяготения на излучение, например, наблюдаемое на Земле отклонение лучей света звезд, проходящих в

непосредственной близости к Солнцу во время его полного затмения, было предсказано общей теорией относительности и является одним из основных опытных подтверждений этой теории. Кроме того, воздействие поля тяготения на свет уменьшает частоту колебаний световой волны, т. е. создает дополнительное (к доплеровскому) «красное смещение», по-видимому, обнаруженное у излучения квазаров – новых небесных объектов, до 1970-х годов неизвестных физикам.

## ЗАКЛЮЧЕНИЕ

Мы живем в мире, населенном частицами. Рождающиеся при ядерных превращениях античастицы (даже устойчивые) вскоре встречаются с соответствующими частицами и совместно исчезают, порождая фотоны или  $\pi$ -мезоны.

Однако, как уже указывалось, в принципе возможно существование мира, состоящего из античастиц, и столь же устойчивого, как наш мир. В этом антимире, например, атом антиводорода состоял бы из антипротона и положительного электрона. Его химические свойства и его спектр ничем не должны отличаться от химических свойств и спектра водорода. Поэтому, изучая спектры далеких галактик, мы не можем сказать, состоят ли они из вещества или антивещества. Во всяком случае, последняя возможность не исключена, и, быть может, в развитии Вселенной могли иметь место случаи взаимодействия галактик из вещества и антивещества, приводившие к колоссальным взрывам с весьма быстрым и мощным выделением энергии.

Многообразие явлений микромира, совершенно непохожих на явления привычного нам макромира, подчиняется вполне определенным (еще мало изученным) законам и, несмотря на свою непривычность, является блестящим подтверждением идеи о неисчерпаемости мира и его познаваемости. Буквально то же самое можно сказать и о мегамире – мире звезд, пульсаров и «черных дыр».

Опираясь на научные эксперименты и практику их технических приложений, научные теории становятся все более надежными. Но в них всегда имеются (наряду с объективной истиной) еще недостаточно проверенные высказывания, требующие дальнейших научных изысканий и отражающие неисчерпаемость свойств объективно существующей материи.

# ОГЛАВЛЕНИЕ

Предисловие.....	3
Введение.....	5
<b>Глава 1. Основные свойства света и его характеристики .....</b>	<b>10</b>
1.1. Электромагнитная природа света .....	10
1.2. Основные законы распространения света. Принцип Гюйгенса. Принцип Ферма .....	15
1.3. Теория Максвелла и основные законы оптики. Формулы Френеля.....	17
1.4. Волновые и корпускулярные свойства света.....	23
1.5. Источники света.....	24
1.6. Приемники света .....	27
1.7. Математическое описание оптических полей и их воздействия на приемники излучения .....	29
1.8. Энергетические фотометрические величины.....	32
1.9. Световые величины. Элементы фотометрии .....	37
<b>Глава 2. Интерференция света.....</b>	<b>41</b>
2.1. Сложение световых волн. Интерференция света .....	41
2.2. Когерентность .....	45
2.3. Основные понятия элементарной теории когерентности.....	50
2.4. Временная и пространственная когерентность .....	52
2.5. Методы наблюдения интерференционной картины в оптике.....	56
2.6. Влияние размеров и немонохроматичности источников света на интерференционную картину.....	60
2.7. Интерференция в тонких пленках. Просветление оптики.....	62
2.8. Двухлучевые интерферометры .....	67
2.9. Многолучевые интерферометры .....	72
<b>Глава 3. Дифракция света .....</b>	<b>74</b>
3.1. Явление дифракции. Принцип Гюйгенса–Френеля .....	74
3.2. Дифракционная теория Кирхгофа. Метод Рэлея.....	80
3.3. Дифракция Френеля. Спираль Корню .....	86
3.4. Зонная пластинка .....	90
3.5. Дифракция Фраунгофера .....	92
3.6. Дифракционные решетки .....	96
3.7. Дифракция рентгеновских волн. Формула Вульфа–Брэгга .....	104
3.8. Дифракция света на фазовых экранах .....	105
3.9. Дифракционная природа оптического изображения.....	110
3.10. Голография .....	116
<b>Глава 4. Геометрическая оптика .....</b>	<b>122</b>
4.1. Геометрическая оптика как предельный случай волновой оптики. Световые лучи .....	122
4.2. Принцип Ферма. Законы отражения и преломления света.....	124

4.3. Отражение и преломление света на плоской границе раздела. Призмы. Световоды .....	127
4.4. Отражение и преломление света на сферической поверхности раздела.....	134
4.5. Тонкие линзы. Формула линзы. Оптическая сила линзы .....	138
4.6. Центрированные оптические системы.....	143
4.7. Недостатки линз .....	150
4.8. Яркость и освещенность оптических изображений.....	153
4.9. Глаз как оптическая система .....	156
4.10. Оптические приборы .....	159
4.11. Разрешающая способность оптических приборов .....	166
<b>Глава 5. Поляризация света .....</b>	<b>169</b>
5.1. Поперечность электромагнитных волн .....	169
5.2. Явление Брюстера. Естественный свет.....	171
5.3. Поляризаторы видимого света.....	174
5.4. Двойное лучепреломление.....	175
5.5. Интерференция поляризованных лучей .....	180
5.6. Искусственное двойное преломление .....	184
5.7. Поворот плоскости поляризации. Эффект Фарадея .....	186
5.8. Эффекты Зеемана и Штарка.....	188
<b>Глава 6. Дисперсия и рассеяние света.....</b>	<b>191</b>
6.1. Классическая теория дисперсии .....	191
6.2. Фазовая и групповая скорости света.....	197
6.3. Рассеяние света .....	203
6.4. Цвет тел.....	205
<b>Глава 7. Оптические явления в атмосфере.....</b>	<b>208</b>
7.1. Прозрачность атмосферы .....	208
7.2. Дифракция на случайных неоднородностях атмосферы .....	209
7.3. Радуга .....	211
<b>Глава 8. Скорость света. Свет и теория относительности .....</b>	<b>214</b>
8.1. Измерение скорости света .....	214
8.2. Экспериментальные основы специальной теории относительности .....	217
8.3. Эффект Доплера в оптике.....	221
8.4. Эффект Вавилова – Черенкова .....	223
<b>Глава 9. Квантовые свойства излучения .....</b>	<b>226</b>
9.1. Фотоэлектрический эффект. Квантовая теория фотоэффекта .....	226
9.2. Применение фотоэффекта.....	230
9.3. Рентгеновское излучение. Тормозное и характеристическое излучения и их спектры.....	233
9.4. Давление света .....	238
9.5. Эффект Комптона.....	243
9.6. Тепловое излучение. Закон Кирхгофа .....	245
9.7. Законы излучения абсолютно черного тела. Формула Планка .....	248
9.8. Приложения формулы Планка. Источники света. Пирометрия .....	253

9.9. Флуктуации светового потока. Опыты С. И. Вавилова .....	255
9.10. Двойственность представлений о свете.....	257
<b>Глава 10. Волновые свойства вещества .....</b>	<b>261</b>
10.1. Гипотеза де Бройля. Дифракция электронов.....	261
10.2. Соотношения неопределенностей Гейзенберга .....	266
10.3. Особенности процесса измерения в квантовой механике. Принцип суперпозиции .....	272
10.4. Уравнение Шредингера .....	276
10.5. Физические величины и операторы.....	280
10.6. Дуализм представлений о веществе.....	282
<b>Глава 11. Физика атомов и молекул .....</b>	<b>284</b>
11.1. Опыты Резерфорда. Планетарная модель атома .....	284
11.2. Модель атома Бора –Резерфорда.....	289
11.3. Экспериментальные подтверждения модели атома Бора –Резерфорда .....	293
11.4. Квантование момента импульса и его проекции для электрона в атоме .....	298
11.5. Опыт Штерна и Герлаха. Спин электрона. Магнетон Бора .....	300
11.6. Принцип Паули. Периодическая система элементов Менделеева.....	303
11.7. Влияние спина электронов на атомные спектры. Спин-орбитальное взаимодействие.....	307
11.8. Спектры многоэлектронных атомов .....	309
11.9. Электронный парамагнитный резонанс.....	311
11.10. Природа химической связи. Молекулы.....	313
11.11. Молекулярные спектры .....	317
11.12. Комбинационное рассеяние света.....	318
11.13. Люминесценция. Правило Стокса .....	320
11.14. Спонтанное и вынужденное излучения .....	321
11.15. Лазеры и их применение .....	325
11.16. Электронный микроскоп .....	330
<b>Глава 12. Физика атомного ядра .....</b>	<b>335</b>
12.1. Развитие идеи атомизма .....	335
12.2. Естественная радиоактивность.....	337
12.3. Изотопы .....	339
12.4. Законы радиоактивных превращений.....	341
12.5. Методы регистрации частиц и их траекторий.....	343
12.6. Получение частиц высоких энергий .....	347
12.7. Открытие нейтрона. Состав атомного ядра .....	350
12.8. Энергия связи атомных ядер .....	353
12.9. Искусственное превращение ядер. Позитрон. Появление и исчезновение пар .....	355
12.10. Ядерные реакции .....	361
12.11. Теория альфа-распада.....	363
12.12. Теория бета-распада .....	364
12.13. Ядерные силы .....	365
12.14. Модели ядра .....	368

12.15. Использование ядерной энергии .....	370
<b>Глава 13. Физика элементарных частиц .....</b>	<b>376</b>
13.1. Что такое элементарные частицы?.....	376
13.2. Фундаментальные взаимодействия и классификация элементарных частиц .....	379
13.3. Взаимодействия элементарных частиц и законы сохранения .....	382
13.4. Частицы и античастицы. Космическое излучение.....	384
13.5. Резонансы .....	387
13.6. Спектры барионов и мезонов .....	389
13.7. Кварки .....	392
13.8. Стандартная модель .....	396
13.9. Ядерная физика и космология.....	398
<b>Заключение .....</b>	<b>402</b>

*Учебное издание*

**Гершензон Евгений Михайлович  
Малов Николай Николаевич  
Мансуров Андрей Николаевич**

**Оптика и атомная физика**

*Учебное пособие*

**Редактор В. А. Обменина  
Художественный редактор Т. П. Астахова  
Технический редактор Е. Ф. Коржуева  
Компьютерная верстка: Е. В. Поляченко  
Корректор Э. Г. Юрга**

Качество печати соответствует качеству  
предоставленных издательством диапозитивов.

Подписано в печать 03.08.2000. Формат 60×90/16. Гарнитура «Таймс».  
Бумага тип. № 2. Печать офсетная. Усл. печ. л. 25,5. Тираж 20000 экз.  
(1-й завод 1–8000 экз.). Заказ № 2778.

ЛР ИД № 02025 от 13.06.2000. Издательский центр «Академия».  
105043, Москва, ул. 8-я Парковая, 25. Тел./факс: (095) 165-4666, 367-0798, 305-2387.

Отпечатано на Саратовском полиграфическом комбинате.  
410004, г. Саратов, ул. Чернышевского, 59.